

38507

**DOKUZ EYLÜL ÜNİVERSİTESİ
DENİZ BİLİMLERİ VE TEKNOLOJİSİ ENSTİTÜSÜ**

(Yüksek Lisans Tezi)

38507

**İSTANBUL BOĞAZI
METEO - OŞİNOGRAFİK ÖZELLİKLERİNİN
SPEKTRAL ANALİZİ**

**Fakülte
Doktora**

**YÖNETEN
*Prof. Dr. Adnan AKYARLI***

**HAZIRLAYAN
*İns. Müh. Tolga KÖSE***

İZMİR - 1995

Köse, T. (1995) : "İstanbul Boğazı Meteo-Oşinografik Özelliklerinin Spektral Analizi"
İzmir. Dokuz Eylül Üniversitesi Deniz Bilimleri ve Teknolojisi Enstitüsü Yüksek Lisans Tezi
(Yön: Prof. Dr. Adnan AKYARLI)

ÖNSÖZ

1985-1986 yıllarında İstanbul Boğazı'nda bazı uygulamalı araştırma projeleri kapsamında İstanbul Boğazındaki akıntı sistemini incelemeye yönelik uzun süreli bir ölçüm çalışması yapılmıştır. Bu çalışmayı gerçekleştiren Dokuz Eylül Üniversitesi Deniz Bilimleri ve Teknolojisi Enstitüsü böylece oşinografik ve meteorolojik parametrelerden oluşan geniş bir veri tabanı elde etmiştir.

Sunulan çalışmada bu verilerden, uzun süreli akıntı ölçüm ve seviye ölçüm değerleri incelenerek spektral analizlerinin yapılması amaçlanmıştır. Bu analizlerde "SEASPECT" adlı istatistiksel analiz yapan bilgisayar programından yararlanılmıştır. Elde edilen spektrum grafikleri üzerinde yapılan çalışmalar, İstanbul Boğazı'nın akıntı sistemine bir yorum getirmek yerine, spektral analizin doğru olarak yapılmasına yönelikir. Bunun yanısıra İstanbul Boğazı'daki akıntı sistemi ve ölçüm çalışmaları ile ilgili genel bilgilere de bu çalışmada yer verilmesi uygun görülmüştür.

Yazar, tez çalışmasının yürütülmesi sırasında desteği ve yardımlarından dolayı tez yönetici Prof. Dr. Adnan AKYARLI'ya ; bu değerli verilerin sunulan çalışmada kullanımına imkan sağlayan ve aynı konu üzerinde yazdığı doktora tezinden yararlandığım Doc. Dr. Yalçın ARISOY'a özellikle; spektral analizlerde bilgi ve tecrübelerinden faydalandığım Ögr. Gör. Dr. Erdem SAYIN' a teşekkür borç bilir.

Yazar, bu çalışmada sunulan analizlerin bundan sonra veri tabanı daha da geniş tutularak yapılacak daha kapsamlı çalışmalarla katkıda bulunmasını temenni etmektedir.

Ağustos 1995, İzmir

Tolga KÖSE

ÖZET

Dokuz Eylül Üniversitesi Enstitüsü'nin İstanbul Boğazı'nda gerçekleştirdiği meteo-oşinografik ölçüm çalışması sonucu geniş bir veri tabanı elde edilmiştir.

Sunulan bu çalışmada İstanbul Boğazı hakkında genel bilgilerin yanı sıra İstanbul Boğazı'nda yapılan ölçüm ve değerlendirme çalışmaları hakkında da bilgilere yer verilmiştir. Daha sonra uzun süreli akıntı hızı ölçümleri ve seviye farkı ölçümleri ile elde edilen veriler birer zaman serisi olarak ele alınmıştır. Buz aman serileri bilgisayarda istatistiksel analiz programı kullanılarak incelenmiştir.

Elde edilen grafikler ve tablolar Bölüm 6'da incelenerek gözlenen sonuçlar ortaya konmuştur. Bölüm 7'de bu sonuçlar toplanarak çalışma sona erdirilmiştir. Bölüm 9'da bu çalışma boyunca oluşturulan grafikler ek halinde sunularak kullanılan veri kütüklerinin rahatça izlenmesine olanak sağlanmıştır.

SUMMARY

This work is all about the meteo-oceanographic measurement of Bosphorus in Istanbul which has measured by Dokuz Eylül University of Marine Sciences and Technology. And this work of Dokuz Eylül University has given us a large data base.

With this work which we make we can follow the main technical knowledge of Bosphorus in Istanbul and also we can see the results of measurements about Bosphorus in Istanbul. The speed of current in long time and the difference in changement of sea level has given us some numbers which we've put in order the series of time. We examine the results in computer with a statistical analysis program.

In the 6th unit the graphics and the tables shows us the results of measurements. The 7th unit is the end of this work. And it gives us the final numbers and results. The graphics in the 9th unit help us by following the solutions.

İÇİNDEKİLER

SAYFA

1. Giriş	1
2. İstanbul Boğazı	4
3. İstanbul Boğazı nda Ölçüm ve Model Çalışmaları	8
4. Ölçümlerin Değerlendirilme Çalışmaları	10
4.1 Zaman Serileri	12
4.2 Zaman Serileri Arasındaki Bağıntıların Belirlenmesi	13
5. İstanbul Boğazı ndaki Meteo- Oşinografik Çalışmalar	15
5.1 Uzun Süreli Akıntı Ölçümleri	19
5.2 Uzun Süreli Deniz Seviyesi Ölçümleri	19
5.3 Veri Kütükleri	22
6. Veri Kütüklerinin Analizi " SEASPECT"	32
6.1 Spektrum Grafiklerinin İrdelenmesi	33
6.2 Spektral Analiz Tablolarının İrdelenmesi	36
7. Sonuç	46
8. İlgili Yayınlar	47
9. EKLER	50
Ek 1. Akıntı Hızı Ve Seviye Farkı Veri Kütükleri Grafikleri	
Ek 2. Akıntı Hızı Ve Seviye Farkı Veri Kütükleri Spektrum Grafikleri	

ŞEKİLLERİN VE TABLOLARIN LİSTESİ

	SAİFA
Şekiller :	
- Şekil 1. İstanbul Boğazı Ve DBTE nin Veri Toplama Programı	2
- Şekil 2. İstanbul Boğazı Boyunca Enkesit Değişimleri	5
- Şekil 3.1 İki Tabakalı Yoğunluk Akımı	7
- Şekil 3.2 İstanbul Boğazı Boykesiti	7
- Şekil 3.3 Tuzluluk Ve Sıcaklık Kamalarının Şematik Gösterimi	7
- Şekil 4 . Uzun Süreli Akıntı Ölçüm Sistemi	20
- Şekil 5. Kısa Süreli Akıntı Ölçüm Sistemi	21

	SAİFA
Tablolar :	
- Tablo 1. DBTE nin Veri Toplama Programı	16
- Tablo 2. Uzun Süreli Deniz Seviye Gözlem İstasyonları	18
- Tablo 3. Akıntı Hızı Gözlem İstasyonları (Tablo 3.1 ANADOLU KAVAĞI)	26
(Tablo 3.2 PAŞABAHÇE)	27
(Tablo 3.3 BALTALİMANI)	28
(Tablo 3.4 KÜÇÜKSU)	29
(Tablo 3.5 SARAYBURNU)	30
(Tablo 3.6 KIZKULESİ)	30
- Tablo 4. Uzun Süreli Deniz Seviye Gözlem İstasyonları	33
- Tablo 5. Seviye Gözlemlerine Ait Orijinal Veri Kütüğü Örneği	23
- Tablo 6. Akıntı Hızı Gözlemlerine Ait Orijinal Veri Kütüğü Örneği	24
- Tablo 7. Düzenlenmiş Eş Zamanlı Veri Kütükleri Tablosu	39

**-Tablo 8. Veri Kütükleri Spektrum Grafikleri Pik Frekans Değerleri
Ve Enerji Değerleri Tabloları**

	SAYFA
(Tablo 8.1 GRUP I)	40
(Tablo 8.2 GRUP II)	41
(Tablo 8.3 GRUP III)	42
(Tablo 8.4 GRUP IV)	43
(Tablo 8.5 GRUP V)	44
(Tablo 8.6 GRUP VI)	45

1. GİRİŞ

Karadeniz ile Marmara Denizi'ni birbirini bağlayan İstanbul Boğazı'nda ki akıntı sistemi yıllarca araştırmacıların ilgisini üzerinde toplamıştır.

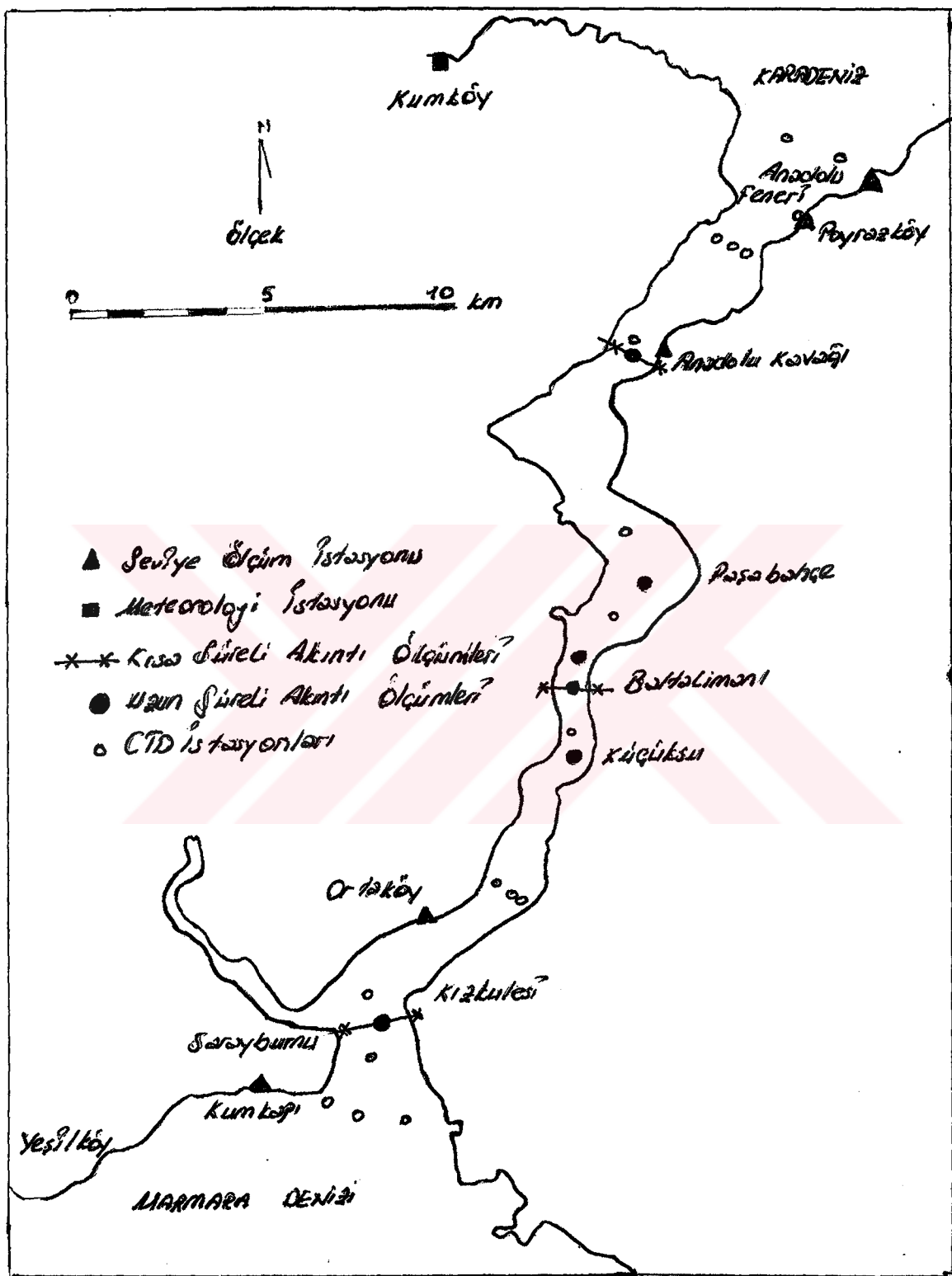
Son yıllarda gündeme gelen planlama ve yapım aşamasında ki mühendislik projeleri, İstanbul Boğazı akım sistemi üzerinde daha ciddi ve daha detaylı çalışmaların gerçekleştirilemesini zorunlu kılmıştır.

İstanbul Boğazı'nda Karadeniz ile Marmara Denizi arasında ki seviye farkından doğan üst akım ile iki deniz arasında yoğunluk farkından doğan alt akım mevcuttur. Boğazda ki bu iki tabakalı yoğunluk akımının sisteminin ayrıca boğaz geometrisinin, rüzgarların ve atmosfer basıncının etkisinde olduğu tespit edilmiştir.

"İstanbul Kanalizasyon Projesi Deniz Deşarjı Yöreleri Oşinografik Etüdleri" ve "İstanbul Boğazı Tüp Geçit Projesi Fizibilite Etüdü" adlı çalışmalar için, Dokuz Eylül Üniversitesi Deniz Bilimleri ve teknolojisi Enstitüsü Boğazda sistemli ve uzun süreli akıntı ve seviye ölçümlerini başlatmıştır (Akyarlı, 1987a, 1987b, 1988; Arısoy ve Akyarlı, 1989). Ölçüm istasyonlarından toplanan oşinografik veriler oldukça geniş kapsamlı, eş zamanlı ve uzun süreli bir veri tabanının elde edilmesine imkan sağlamıştır. İki projede ki veri taban programının birleştirilmesiyle bugüne kadar gerçekleştirilmiş en kapsamlı veri tabanı oluşturulmuştur. Böylece Boğazlardaki çevresel değerlerin korunması ayrıca inşa edilecek mühendislik yapılarının emniyetli tasarımını sağlayacak etkili hidrodinamik kuvvetlerin doğru olarak tahmini için gerekli detaylı bulgular elde edilmiştir.(ŞEKİL 1)

Bu veri tabanından hareket ederek akıntı sistemini meydana getiren öğelerin birbirleriyle etkileşimlerini ve uzun süredeki davranışlarını ortaya koymak üzere istatistik analiz yöntemlerinden faydalılmıştır.

Bu ölçüm zorlukları ile dolu, masraflı bir teknolojiye dayanan ve uzun zaman alan çalışmalar sonunda elde edilen detaylı bilgiler bize şimdije kadar yapılmış çalışma ve kurulmuş matematiksel modellere göre, gerçeğe daha yakın sonuçlara götürmüştür..



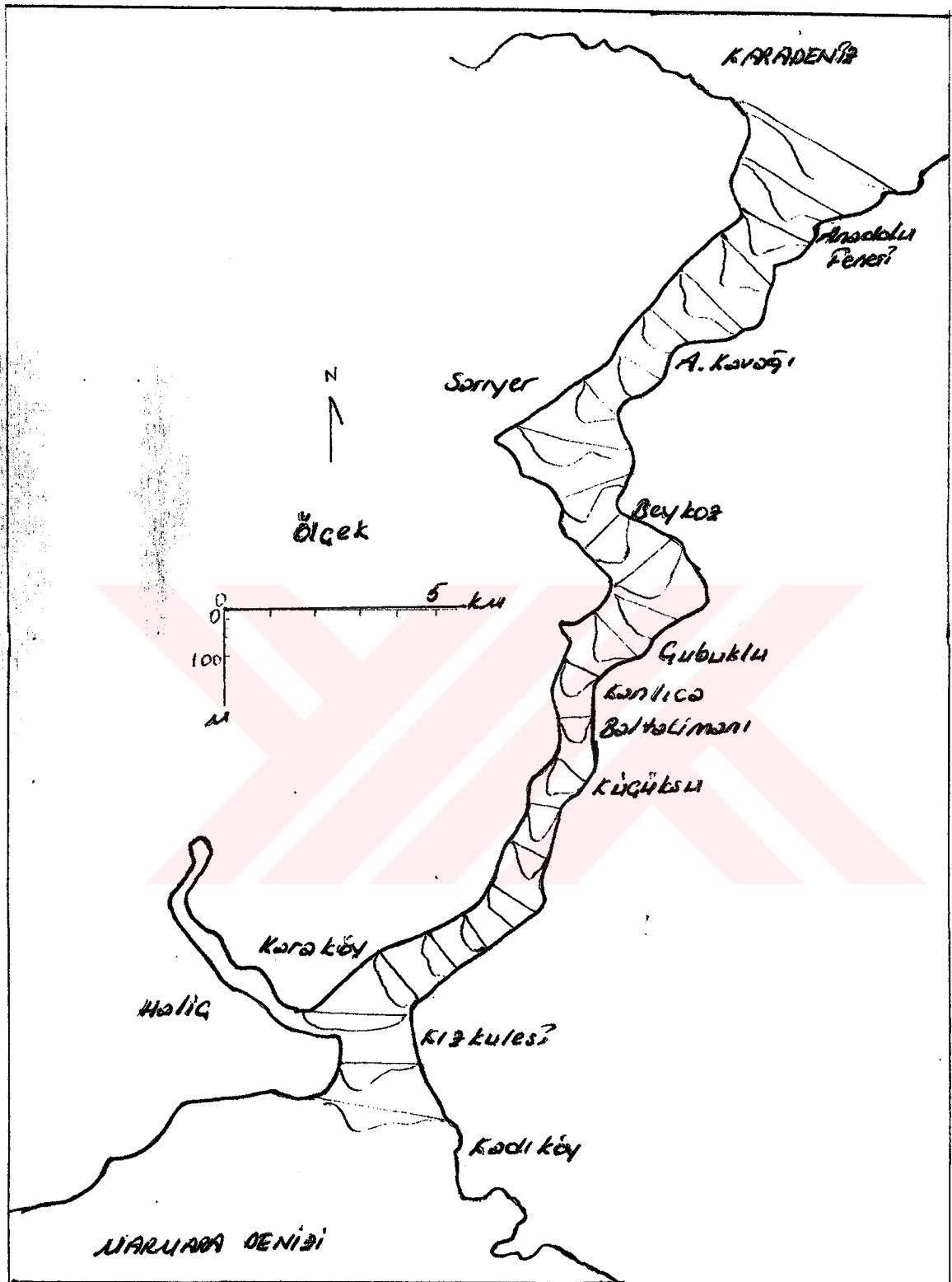
FİGÜR 1 İstanbul Boğazı ve DBTE'nin veri toplama programı

Sunulan bu çalışmada SEASPECT adlı paket program yardımıyla akıntı ve seviye ölçümü veri kütüklerinin spektrum grafikleri hesaplanıp çizilmiştir. Bu grafikler ile çalışılarak spektral analiz sonuçlandırılmıştır.

2. İSTANBUL BOĞAZI

Karadeniz` i Marmara Deniz` ine bağlayan boğaz Asya ve Avrupa toprakları arasında yer almaktadır. Boğaz kuzey ve güney kesimlerinde kuzeydoğu - güneybatı doğrultusundadır. Bu iki kesim ortada birbirine oldukça sert dirseklerle birleşen kuzeybatı - güneydoğu ve kuzey - güney doğrultulu iki parça ile birleşir. Kuzeyde Anadolu ve Rumeli Fenerleri ile Sarayburnu - Kızkulesi arasındaki uzunluğu, boğazın tam ortasından geçen bir çizgi boyunda yaklaşık 30 km` dir. Kıyılardaki girinti ve çıkışlar ölçülecek olursa, Anadolu kıyısı (Kızkulesin` den Anadolu Fenerine) 35 km, Rumeli kıyısı (Sarayburnu` ndan Rumeli fenerine; Haliç kıyıları ile birlikte) 55 km` dir. Boğazın genişliği yer yer değişir; kuzeyde Fener` ler arasında 3600 m olan açıklık Büyükdere-Paşapahçe arasında doğrultu değiştiren kesimde 2 km` ye yaplaşıır. Orta kesimde daha da darlaşarak en dar yeri olan Anadolu ve Rumelihisarıları arasında 698 m` ye iner. Bundan sonra güneye gittikçe genişler. Şemsipaşa- Salıpazarı arasında 1700 m` ye yaklaşır ve güneye dönerken Marmara` ya ulaşır. Boğaz kıyılarının dikkat çeken bir özelliği, karşılıklı kıyaların gidişinde birbirine uyau paralelliktir. Boğazın bir başka özelliği kıyılarının dik yamaçlı olmasıdır. Denizaltı topoğrafyasında ise dikkat çeken özellik, bazen ortada bazen bir kıyıya daha yakın olmak üzere boydan boyaya -50 ` den derin bir olukla geçilmesidir. Bu oluk içerisinde yer yer daha derin çukurların bulunur ve en fazla derinlikler dar kesimlere rastlar. En derin çukur Kandilli Burnuyla Bebek arasında - 120 m` yi bulmaktadır. Ayrıca ortalama derinliği 36 m olan Boğaz` in, iki girişindedede yer alan eşiklerin su derinliğini azaltmaları nedeni ile akım sistemini önemli bir şekilde etkiledikleri bilinmektedir.(ŞEKİL 2)

İstanbul Boğazı`nın meteorolojik koşulları da en az coğrafi özellikleri kadar boğazın akım sistemini etkilemektedir. Boğazda ki hakim rüzgarlar Karadeniz` den esen kuzey rüzgarlarının frekansı %60 olarak tespit edilmiş olup diğer etkili rüzgarlar güney ve güneybatı yönlüdürler. Bu güney rüzgarlarına kiş aylarında daha sık rastlanırken kuzey rüzgarları yaz aylarında daha sık esmektedir. Sert esen kuzey rüzgarları üst akıntıının hızını dahada artırmaktadır. Üst akıntı güney rüzgarları estiği sırada hızını kaybeder, hatta bu rüzgarlar sert ve sürekli bir hal alırsa kuzey suları güneyden kuzeye doğru ters yönde akar. Bu durumda kuzey tabakasında ani tuzlanmalar görülür. Sert ve sürekli kuzey rüzgarları estiğinde ise kuvvetlenen üst akıntı yüzünden zaman zaman alt akıntı sularının Karadeniz` e ulaşamadığı bilinmektedir. Ama genelde bölgede esen rüzgarlar düşük şiddettedir.



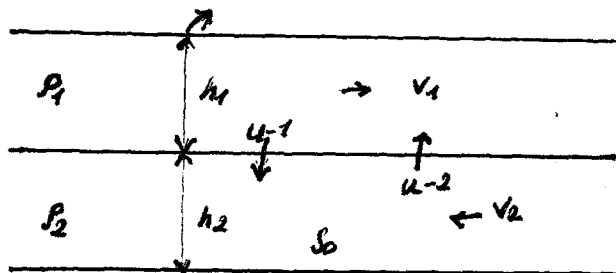
Şekil 2 İSTANBUL BOĞAZI BOYUNCA ENKİSİN DEĞİŞİMLERİ

Hızları 6 m/sn' den daha şiddetli olan rüzgarlar güney rüzgarlarıdır ve de kısa süreli esen rüzgarlardır.

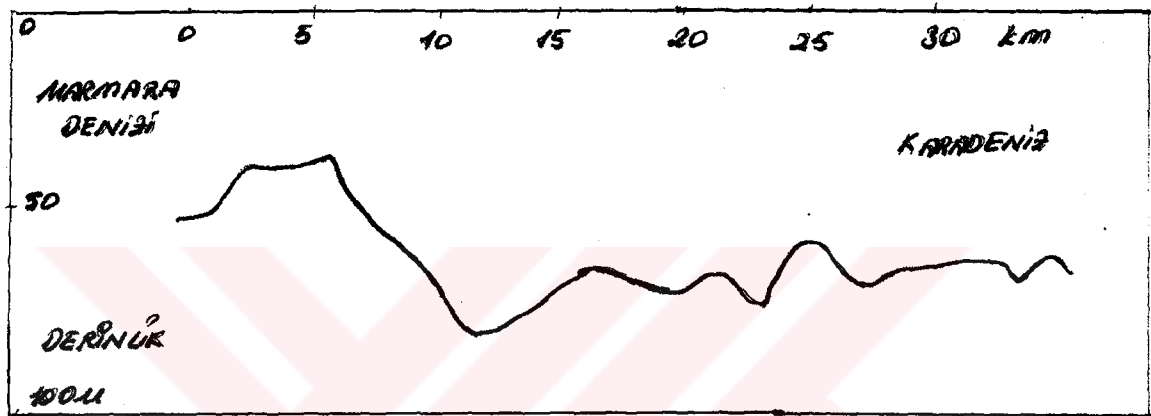
Boğaz' da ki uzun süreli hava sıcaklıklarına bakacak olursak ortalama sıcaklığın kışın 5°C yazın ise 26°C civarında olduğunu görürüz. Ayrıca bu bölgede gece gündüz arası sıcaklık farkları 2°C ile 10°C arasında değişmektedir.

Bütün bunların dışında Karadeniz' in su bütçesini oluşturan etkenlerden akım sisteminde önemli rol oynar. Bu etkenler akarsuların getirdiği akışlar, Karadeniz, e düşen yağışlar, Karadeniz' den buharlaşma, İstanbul Boğazının' da giren ve çıkan akımlar, Karadeniz' in farklı özellikleri alt ve üst tabakaları arasında ki akımdır.

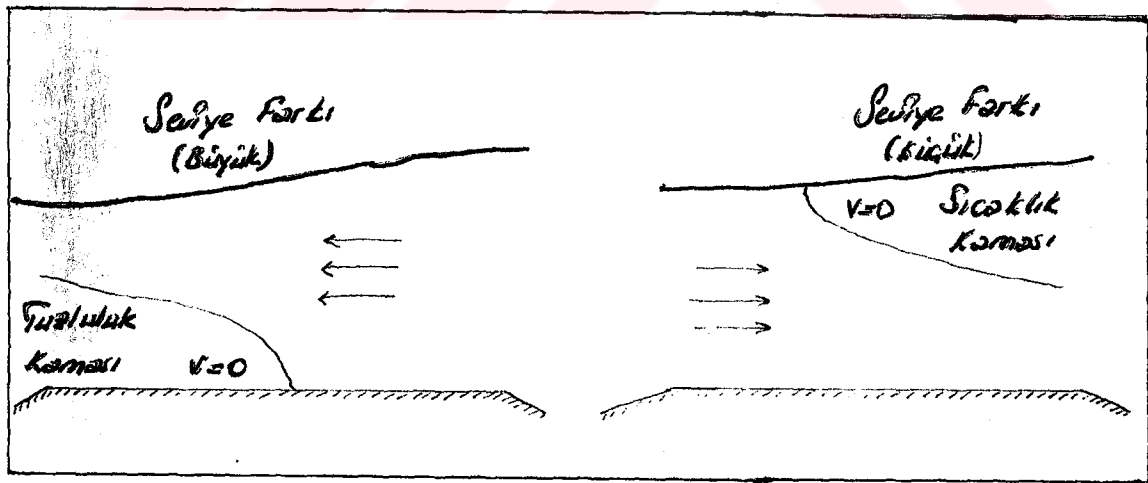
Tuzluluk dereceleri ve seviyeleri bakımından birbirinden farklı iki denizi birleştiren İstanbul Boğazı yukarıda saydığımız coğrafi, meteoroloji, hidroloji ve de oşinografik koşullar altında oluşan bir akıntı sistemine sahiptir. Karadeniz' in az tuzlu (% 017) ve daha hafif olan suları yüzeyden akarak Marmara' ya ulaşmaktadır. Akdeniz asılı çok tuzlu (%035' den fazla) daha ağır olan sularda alttan kuzeye doğru gitmektedir. Bu iki tabaka arasında tuzluluğun ani olarak değiştiği bir ara tabaka mevcuttur. Üst tabaka kalınlığı kuzeye gittikçe artar. Ara tabaka kalınlığı ise az olup Boğaz boyunca doğrusal olarak yer alır. Fakat üst tabakanın kalınlığı ve eğimi mevsimlere göre değişmektedir. İlkbaharda Karadeniz' e giren su miktarlarını artışıyla üs tabaka kalınılaşır ve ara yüzey eğimi fazlalaşır. Hatta üst tabakanın taban ile kesişip alt tabakanın bir tuzlu su kaması şeklinde bloklandığı gözlenmiştir. Sonbahar aylarında ise şiddetli güney rüzgarları ve zayıflayan üst akıntı yüzünden Karadeniz sularının bir sıcak su havası şeklinde bloklanacağı ifade edilmektedir.
(ŞEKİL 3.1,3.2 ve 3.3)



Şekil 3.01 İKİ TABAKALI AKINTI SİSTEMİ



Şekil 3.02 İSTANBUL BOĞAZI BOYKESİ



Şekil 3.03 TÜZÜLÜLÜK VE SICAKLIK KAMALARININ SEMATİK GÖSTERİMİ

3. İSTANBUL BOĞAZI'NDA ÖLÇÜM VE MODEL ÇALIŞMALARI

Boğaz ile ilgili ilk ölçümler 1. Dünya Savaşı sırasında tuzluluk profillerinin belirlenmesi için Merz tarafından gerçekleştirilmiştir. 1928 yılında Möller bu ölçümleri yorumlamıştır. Bunu izleyen yıllarda münferit ölçümler yapılmaya devam edilmiştir. 1965- 66 yıllarında SHOD tarafından ilk sistematik ölçümler başlatılmıştır. 1975` de CAMP - TEKSER konsirsoyonu benzer şekilde ölçümler yapmıştır. 1908` de SHOD yeniden bir ölçüm çalışması gerçekleştirmiştir. 1981` de bu çalışma İTÜ` de değerlendirilmiştir. 1985` de ODTÜ` de İSKİ` nin desteğiyle İstanbul Boğazı, Haliç, Marmara Deniz`i ve Çanakkale Boğazını kapsayan ve daha önceki ölçümlerle birleştirilmiş bir ölçüm çalışması başlatılmıştır. Bu çalışmada kurulan bir çok istasyonda fiziksel, kimyasal ve biyolojik parametreler gözlenmiştir. Bu gözlemlerden hareketle su ve tuz dengeleri belirlenmiş. Bölgenin su bütçesi analiz edilmiş, Boğazda ki düşey karışım ve geri dönüşüm miktarları tespit edilmiştir.

9 Eylül Üniversitesi Deniz Bilimleri ve Teknoloji Enstitüsü (bundan sonra DBTE olarak anılacaktır.) İstanbul Boğazı` nda ilk ölçümlemeii SSCB Türkiye Doğal Gaz Boru Hattı Projesi için gerekli parametrelerin elde edilmesi sırasında gerçekleştirilmiştir. Boru hattının İstanbul Boğazı` nın güneyinden geçen güzergahı için yapılan ölçümler, bu bölgede ki ilk uzun süreli ve sistematik ölçümler olarak gerçekleştirilmiştir. (SNAMPROGETTİ, 1985; Akyarlı, 1985)

Bu çalışmalarında ayrıca 1973-1983 yılları arasında çevredeki meteoroloji istasyonlarında kayıt edilen rüzgar hız ve yönleride dikkate alınmıştır. SHOD tarafından Anadolu Kavağı ve Ortaköyde ölçülen deniz seviyesi değerleri de bir araya getirilmiş ve buna ek olarak kurulan istasyonlarda akıntı ölçümleri gerçekleştirilmiştir. Bu istasyonlarda akıntı hız ve yönlerinden başka kondaktivite ve su sıcaklığı değerleride tespit edilmiştir.

Bu ölçümler üst akıntıının sebebinin Karadeniz ile Marmara Deniz` i arasında ki seviye farkı olduğunu göstermiştir. Üst akıntıının şiddetini Marmara Deniz` inin seviyesine alt akıntıının ise Karadeniz` in seviyesine bağlı olduğu görülmüştür. Bu arada bölgedeki genellikle kuzey yönlü rüzgarların üst akıntıyi etkilediği saptanmıştır.

Bu çalışmadan Boğaza ait kondaktivde sıcaklık ve derinlik (CTD) profillerinin, meterolojik verilerin ve seviye gözlemlerinin birlikte değerlendirilmesi şu sonuçları ortaya koymuştur.:

- 1) İstanbul Boğazı boyunca devam eden, yaklaşık 20 m kalınlığında doğrusal eğimli bir ara yüzey tabakasını mevcut olduğu, bu tabakanın Boğazın giriş ve çıkışlarında inceldiği ve bu bölgelerde ki eğimininde değiştiği tespit edilmiştir.
- 2) Seviye ölçümlerinin spektral analizi sonucunda günlük ve yarı günlük salınımların yanında, meterolojik olaylarla ilişkilendiren 5-7 günlük periyodiksitelerin varlığı belirlenmiştir.
- 3) Karadeniz ve Doğu Akdeniz üzerindeki atmosfer basınçlarının İstanbul Boğazının giriş ve çıkışında ki deniz seviyeleri, dolayısıyla geçen debi üzerinde, farklı etkiler yarattığı tespit edilmiştir.

DBTE bölgede ki diğer uzun süreli ve sistematik çalışması "Giriş" bölümünde bahsedilen projeler kapsamında gerçekleşmiştir. Bu çalışmada veritabanının elde edilişi ilerdeki bölümlerde daha geniş anlatılacaktır.

4) ÖLÇÜMLERİN DEĞERLENDİRİLMΕ ÇALIŞMALARI

İstanbul Boğazı'nda yapılan ölçümlerin çoğunun Boğazın hidrodinamik davranışını belirleyecek yeterlilikte uzun süreli gözlemler olmadığı anlatılmıştı. Bu yüzden araştırmacılar geliştirdikleri matematik ve fiziksel modeller yardımıyla boğazın hidrodinamik davranışını saptamaya çalışmışlardır.

Doğadaki bir olayın mevcut matematik, fizik ve hidrolik bilgiler ışığında tanımlamaya matematik model adı verilmiştir. İçerdeği denklemler, başlangıç ve sınır koşullarıyla yapılan kabullerin birbirinden farklı olmasından dolayı aynı olaya ait birden fazla matematik modelin geliştirilebilmesi mümkündür.

Ayrıca matematik modelin yeterli doğrulukta sonuçlar verebilmesi için doğal olaylarda ki karmaşıklığın ve rastgeleliğin düşük merteblerde gerçekleşmesi gereklidir.

İstanbul Boğazı içinde geliştirilmiş bir çok matematik model çalışması mevcuttur. Bu modellerin hepsi açık kanallarda ki kararlı, tekboyutlu ve iki tabakalı yoğunluk akımları için türetilen diferansiyel denklemlere dayanır. Bu modellerin hepside farklı kabuller altında geliştirilmiştir.

Yine doğada ki bir olayın benzerlik koşullarına uyarak laboratuarda küçük ölçekli benzerini yaratmaya fiziksel model adı verilir. İstanbul Boğazı fiziksel modelinin yapılması İçin İTÜ tarafından bir araştırma yapılmıştır. ve görülmüşdür ki ara yüzeyde karışım olmadığı kabul edildiğinde benzerlik koşulları düşey ve yatay uzunluklar farklı ölçeklerde alınırsa gerçekçi bir model yapılabilecekti. Eğer ölçekler aynı alınarak bir model yapılrsa bu modelden doğda bulunması mümkün olmayan yoğunluklara sahip sıvı kullanılması gerekmektedir. Ayrıca Boğazda ki akım sisteminde en büyük etkiye sahip seviye farkı değeri, elde edilmesi ve kontrolü imkansız olmaktadır.

Bugünün teknolojik imkanlarıyla yapılan ölçümler sayesinde matematik modellerin gözlemlerle desteklenmesi sağlanmıştır. Gelişmiş teknikler, cihazlar ve sistemlerle oşinografik parametreler aynı anda ölçülebilmekte ve bu ölçümler ölçüm süresi boyunca manyetik kaset ve disketlere kaydedilerek saklanabilmektedir. Aynı

zamanda uydu aracılığıyla oşinografik olayların izlenmesi ve kaydedilmeleri olaya bambaşka bir boyut kazandırmaktadır.

Uluslararası düzeyde oşinografik olayların incelenmesinde dört ana adım olduğu kabul edilmiştir.

1- Modelleme

2- Modelle paralel yürütülen uzun süreli gözlem

3- Gözlemlerin gidişine göre modelde kalibrasyon

4- Sentez

Ayrıca ideal bir modelin olmayacağı, modeldeki parametre sayısını artırmakla iyileştirme sağlanabileceğİ, ancak bu durumun modeli kullanımı güç ve karmaşık bir hale sokacağı, bu nedenle geliştirilen tüm modellerin ölçümlerle desteklenmesini ve kontrolünün gerekligi önemle açıklanmıştır.

Gerçekten de gözlemlerin artmasıyla, elde edilen verilerde saklı bilgiyi ortaya çıkaracak zaman serisi ve spektral analiz teknikleride gelişmekte ve önem kazanmaktadır. Özellikle sistem davranışında karmaşıklığın ve rast- geleliğin önemli mertebelerde olduğu zamanlarda istatistiksel analiz yöntemlerine başvurmak ve bunu gerçekleştirmek içinde sistemde yer alan olaylar hakkında yeterli miktarda veri toplamak zorunlu hale gelmektedir: Eğer veriler sistemdeki belli bir karmaşıklığa rağmen fiziksel olarak açıklanabilecek bir düzenlilikte gözlenmişse, analitik ve istatistik yöntemler birlikte kullanılır. Bu durumda yapılan iş: Düzenliliği analitik olarak, model parametre ve girdilerinin yere ve/veya zamana değişiminide istatistik yöntemlerle tanımlamak olacaktır.

İstanbul Boğazın` da ki akıntılar ve bunlara etkiyen deniz seviyeleri , atmosfer basınçları ve rüzgarlar gibi çeşitli değişkenler özellikle zamana göre değişiklerinden, bununda ötesinde akıntı sisteminin etkisi pek çok değişkenin etkisinde oluştugundan sistemde belirli ölçüde bir rastgelilik ve karmaşıklık mevcuttur . Boğazda DBTE tarafından yapılna ölçümlerde akıntı sisteminin istatistiksel modellenmesi amaçlanmıştır. Bunu gerçekleştirmek içinde gözlenmiş olan değişkenler birer zaman serisi olarak ele alınmıştır.

4.1 ZAMAN SERİLERİ

Elimizdeki herhangi bir x değişkenine ait $x_1, x_2, x_3, \dots, x_n$ rastgele olayları , indisler zaman (veya mesafe) aralıklarını göstermek üzere serisel olarak gözlenmişse, bu elimizdeki dizi bir seri oluşturur. Bu rastgele olayların zaman aralıkları "t" bu seri bir zaman serisi " X_t " niteliğindedir denir.

Doğal olayların zaman serisi şeklinde değerlendirmesinin nedenleri :

- 1- Bu olaylarda ki genel ve özel problemlerin çözümünde zaman göre gözlediğimiz dizideki bilgileri ortaya çıkarmak.
- 2- Serinin yapısal özellikleri ve bunlara sebep olan etkenleri saptamak.
- 3- Seriyi uygun matematiksel formülasyonlarla modellemek.
- 4- Geliştirilen modeller yardımıyla zaman serisinin simülasyonunu yapıp yeni örnekler üretmek.

Genel olarak iki tip zaman serisi vardır.

- a) Belli bir noktada gözlenmiş tek değişkene ait zaman serisi (Tek değişkenli hal)
- b) Birden fazla noktadan aynı değişkene ait gözlenmiş zaman serileri veya bir noktadan gözlenmiş farklı değişkenlere ait zaman serileri (Çok değişkenli hal)

Zaman serileri zaman aralıkları açısından dört farklı grupta incelenir.

- a) Sürekli olarak gözlenen seriler (Zaman aralığı = 0)
- b) Günün parçası niteliğindeki zaman aralıklarında gözlenenler (dakika, iki saat, altı saat , oniki saat vb)
- c) Yılın parçası niteliğindeki zaman aralıklarında gözlenenler. (Günlük, haftalık, aylık, mevsimlik)
- d) Yıllık olarak gözlenen seriler

Zaman serilerinde zaman aralığı uzadıkça serinin modellenmesi ve parametre tahmini daha kolay hale gelir .Tek değişkenli serilerde ortalama varyans, çarpıklık olasılık dağılımının ve zaman bağımlılığı yapısı gibi istatistiksel özellikler ile tanımlanabilir. Çok değişkenli serilerde her serinin tek değişkeni olarak sahip olarak özelliklerinin yanısıra, serilerin arasında ilişkinin belirlenmeside önem taşır. Bu tip incelemelerde özellikle zaman serilerinin herbirinin özelliklerini belirlemek üzere tek değişkenli seriler olarak ele alınmalıdır. Daha sonra değişkenler arası

ilişkilerin belirlenmesi için problem çok değişkenli hale dönüştürülür. Serileri belirli zaman aralıklarına göre kesikli biçimde ele alıp incelenir.

Zaman serilerin temel istatistikleri ile ilgili detaylı bilgileri klasik istatistik kitaplarında veya konunun ayrıntılı olarak incelendiği hidroloji konusundaki yaynlardan takip etmek mümkündür. Bu yüzden bu çalışmada bununla ilgili detaylı bilgiler verilmeyecektir.

Zaman serilerinin yapısal analizinde üç ana özellik dikkate alınmalıdır.

- a) Eğilim ve/veya sıçrama : Bu unsurlar ölçümler sırasında meydana gelen sistematik hatalardan ve homojenliğin bozulmasından oluşur . Homojenliğin bozulmasına sebep doğal koşulların insan müdahalesi veya yine doğal olaylarla bozulmasıdır.Gözlemlerdeki rastgele örneklemeye hatalarıda seride gerçekten bulunmayan eğilim unsuru doğurabilir. Seri parametrelerinde zamana göre eğilim ve ani sıçramalara sebep olan unsurlar tespit edilip seriden çıkartılır.
- b) Peryodisite(veya yaklaşık periyodiksita) : Zaman serilerinde ki periyositenin kaynağıda güneş sistemine bağlı astronomik olayların yarattığı devirselliktir. Peryodisite serinin istatiksel parametrelerini gün veya yıl içinde peryodik olarak değişimini tanımlar. Gelgit olaylarının söz konusu olduğu durumlarda ise peryodik olayların frekansı farklı astronomik devirlerin birlikte etkimesiyle ortaya çıkar. Yani sürece etkiyen peryodik değişimlerin frekansı tam belirlenemez ve böyle olaylara yaklaşık peryodik denir. Peryodik özellik gösteren zaman serilerinin peryodik özellikleri saptamak için "spektral analiz" yöntemleri kullanılır. Spektral analizin özelliği, analiz sırasında zaman serisi farklı frekanstaki sinüsodial dalgaların genlik ve frekanslarının belirlenmesidir.
- c) Stokastik bileşen (Rastgelelik): Bu özellik atmosfer, okyanus ve kıtalardaki rastgele süreçlerin neden olduğu rastgele salınımlardır.

Bu üç yapısal özellikten eğilim ve sıçrama ile peryodisite deterministik unsurları rastgelelik ise stokastik unsuru oluşturur.

4.2 ZAMAN SERİLERİ ARASINDA BAĞINTILARIN BELİRLENMESİ

Bir den fazla değişkenin aynı anda aldığıları değerler arasındaki bağıntıları belirlemek için bu değişkenler arasında eş zamanlı gözlemlerden yararlanarak matematiksel bir ifadeyle tanımlanabilecek anlamlı bir bağıntının ortaya konması gereklidir. Böylece değişkenlerden birinin alabileceği değeri diğer cinsinden tahmin

edilebilir. Ve de değişkenler arasındaki sebep sonuç ilişkilerini tanımlayabiliyoruz."Regresyon Analizi" yaparak bu bağıntıyı belirleyebilir. " Korelasyon Analizi" ile de bağımlılığın derecesini tespit edebiliriz. Bu analizlerin teorik açıklamalarını istatistik kitaplarından veya hidroloji konusundaki kitaplardan detaylı olarak elde edebiliriz.

Bu çalışmadaki akıntı sisteme ait veri tabanı akıntı sistemini oluşturan unsurların eş zamanlı gözlemlerini içermektedir. Yapılan gözlemlerin eş zamanlı ve uzun süreli olmasında bu değişkenler arasında regresyon ve korelasyon analizi yapılarak birbirleri arasındaki bağıntının saptanmasına imkan tanımaktadır.

5. BOĞAZDAKİ METEO-OŞİNOGRAFİK ÇALIŞMALAR

DBTE tarafından İstanbul Boğazında yer alan Küçüksu, Balta Limanı, Paşabahçe ve Büyükdere adlı yerleşim bölgelerine ait deniz deşarjı sistemlerinin ve Boğaziçi ve Fatih Sultan Mehmet Köprüleri ile denizaltı geçişini sağlayacak tüp geçidin tasarımindan gerekli verilerin toplanması amacıyla yönelik geniş kapsamlı ve uzun süreli bir çalışma yapılmıştır. (Akyarlı, 1987a, 1987b, 1987c)

Bu program da hem meteo- oşinografi çalışmalar hem de jeomorfolojik etüdler gerçekleştirilmiştir. Böylece deniz içine inşaa edilecek yapıların bulunacağı kesimler akıntı ve deniz suyunu fiziksel özelliklerinin yanı sıra bu bölgelerdeki zemin koşullarının tespitinde kullanılacak veriler toplanmıştır.

Sunulan bu çalışmada uzun süreli akıntı ve deniz seviyesi gözlemlerini içeren veerilerden İstanbul Boğazı akım sistemi temel istatistik karakteristiklerin ve yapısal özelliklerin belirlenmesinde yararlanıldı..

Meteo- Oşinografik etüdler hakkında biraz daha ayrıntılı bilgi verilmektedir:

Bu etüdler kapsamında 5 farklı türde çalışma yürütülmesi planlanmıştır.

- a) Uzun ve kısa süreli akıntı ölçümleri
- b) uzun süreli seviye ölçümleri
- c) Dalga ölçümleri. (Dalga ölçümü çalışmaları proje sahipleri tarafından istediği için gerçekleştirilmemiş.)
- d) Deniz suyu birincil parametreleri ölçümü
- e) Mevcut ilgili meteo- oşinografik verilerin toplanması

Boğazdaki akım sistemini oluşturan unsurlar,

- 1) Karadeniz ve Marmara Denizi arasındaki seviye farkı
- 2) Karadeniz ve Marmara Denizi arasındaki yoğunluk farkı
- 3) Meteolojik koşullar
- 4) Boğazın morfolojik yapısı olarak biliñdiginden ölçüm programı Karadeniz hidrolojisine bağlı olarak Boğazdan çıkan akımın max ve min olduğu dönemlerde (yaz ve kış) gerçekleştirılmıştır.(TABLO 1)

Uzun süreli akıntı ölçümleri boğazın giriş, çıkış ve orta kısımlarında kurulan istasyonlarda yapılmıştır. Akıntı ölçerlerin yerleştirildiği derinlikler ise o kesimdeki üst alt akıntı tabakalarının tahmin edilen kalınlıklarına göre seçilmiştir. Buna

TABLO 1**DBTE tarafından gerçekleştirilen veri toplama programı**

İstasyon	1984	Ay	1986
		1985	
	1 2 3 4 5 6 7 8 9 10 11 12	1 2 3 4 5 6 7 8 9 10 11 12	1 2 3 4 5 6 7 8 9 10 11 12
Anadoluh Kavağı (1)		XXXXX	XXXX
Paşabahçe		XX	
Baltalimanı		XXXX	XXXXXX
Küçükksu		XXXXX	XX
Kızkulesi		XXXX	XXXX
Sarayburnu		XXXXX	XXX
Anadoluh Kavağı (2)		X	X
Baltalimanı		XX	XX
Sarayburnu		X	X
Anadoluh Feneri (3)		XXXXXX	
Poyrazköy			XXXXXXXXXX
Anadoluh Kavağı	XXXXXXXXXX X X X	XXXX XXXXXX X X X	XX
Ortaköy	XXXXXX X X X	XXXX XXXXX X X X	XX
Kumkapı		XXXX X X X	XXXXXXXXXX
Kumköy (4)		XXXXXX X X X	XX
Yeşilköy		XXXXXX X X X	XX
(1) Uzun süreli akıntı ölçümleri			
(2) Kısa süreli akıntı ölçümleri			
(3) Deniz seviyesi ölçümleri			
(4) Meteorolojik veriler			

karşılık üst ve alt akıntı debilerinin tesbiti 3 istasyonda yapılan ölçümlerle gerçekleştirilmiştir.

Seviye ölçümleri için Anadolu Kavağı ve Ortaköyde uzun zamandır kaydedilen analog kayıtlar incelenmiştir. Bu kayıtların kaydediliş şekilleri ve Boğaz'ın değişken topografik yapısının yüzey eğimini etkileyebileceği düşüncesi ile DBTE Anadolu Feneri ve Kumkapı' da ölçüm yapmıştır. Fakat Anadolu Feneri'ndeki seviye ölçüm sistemi bir fırtınada zarar görmüştür. Bunun üzerine gaha güvenli olan Poyrazköy' e seviye ölçüm sistemi kuruluş ve ölçümlere burada devam edilmiştir. (TABLO 2)

Ayrıca ölçüm istasyonlarındaki rela yükseklikler belirlenmiş, böylece Karadeniz ile Marmara Denizi' arasındaki mutlak seviye farkının alarak hesaplanması sağlanmıştır. Buçalışmayı gerçekleştiren "Boğaz Tüp Geçidi ve İstanbul Metro Sistemi Projesi Fizibilite Etidü ve Ön Dizaynı" ni hazırlama konsorsiyonu, BDTE' nin kısa süreli akıntı ölçümleri ile eşzamanlı CTD ölçümlerini gerçekleştirerek akımsisteminin önemli bir parametresi olan ara yüzey konumunu belirleyecek verilerin tespitini sağlamıştır.

Karadeniz kıyısındaki Kumköy ve Marmara kıyısında ki Yeşilköy Meteroloji istasyonundan alınan verilerle meterolojik koşulların Boğaz' daki akımsisteminin nasıl etkilegeceği araştırılmıştır. Bu veriler WMO sistemine göre sıstandart yükseltide ölçülen hava basıncı, sıcaklık, rüzgar yönü ve rüzgar hızlarından oluşur.

DBTE' nin bilimsel ve teknik projelerinin gerçekleştirtiği bu çalışmada R/V K.Piri Reis araştırma gemisi ve R/B ölcen I ile R/B Fırtına teknelerinin cihaz ve olanaklarının yanısıra aşağıdaki donanımlardan faydalılmıştır.

- 1- Gemi konumunu yeterli doğrultuda veren ve "Rocal- Decca Autocarta II Sistemi" ile bağıntılı çalışan "Decca Trisponder Sistemi"
- 2- "Atlas-Deso 10" ekosounder' i, i ve buna bağlı "Atlas-Ediç 10" sayısal göstericisi
- 3- "Eudeco 174 A" ve İnterocean 135M" tibi akımölçer
- 4- "Endeco 900" tipi akustik bırakma düzenleri ve bu cihazların uyarıcı sinyal gönderme ünitesi
- 5- "Endeco 1032" tipi seviye ölçer
- 6- "İnterocean OSEAS" su kalitesi izleme sistemi

TABLO 2

Uzun süreli deniz seviye gözlem istasyonları kotları

İstasyon	Lokasyon		Ölçüm Süresi		Röper Yüksekliği (m)	Su Seviye Ölçeği Yüksekliği (m)
	Enlem	Boylam	Başlangıç	Bitiş		
Anadolu Feneri	41° 13' 05"N	29° 09' 10"E	13/06/1985	14/10/85	1.8698	-1.07
Poyrazköy	41° 12' 28"N	29° 07' 48"E	16/01/86	24/09/86	2.8034	-1.38
Kumkapı	41° 00' 10"N	28° 57' 50"E	02/08/85	29/09/86	1.6963	-0.8031

Sunulan bu çalışmada yaralanan uzun süreli akıntı ölçüm ve seviye ölçüm değerlerinin hangi yöntemlerle elde edildiği hakkında biraz daha detaylı bilgi aşağıda verilmiştir.

5.1 Uzun Süreli Akıntı Ölçümleri

Gemi ile teorik atılma noktası arasında belirli bir noktaya gelindiğinde üst şamandıradan başlanarak suya verilen akıntı ölçüm sistemi tam teoreik noktada beton ağırlığı suya bırakılarak sistemin yerine oturması sağlanmıştır. (ŞEKİL 4 ve 5) Böylece sistem devreye girerek 2 dakika aralıklarla "Akıntı Hızı", "Akıntı yönü", "Sıcaklık" ve "Kondaktivide" değerleri ölçülüp manyetik kasetlere kaydetmeye başlamıştır. Bu kasetler sistem denizden çıkartılıp DBTE' nin mikrobilgisayarlarla donatılmış "Veri Analiz Sistemi" nde işlenmiştir. Gözlemlerde 2 dakika aralıklarla veri kaydedilmiş olmasına rağmen zaman serilerinin temel istatistiklerinin belirlenmesi için 10 dakika aralıklı veriler, yapısal analizinde ise 1 saatlik veriler kullanılmıştır. Çünkü 10 dakika gibi kısa bir sürede akıntı sistemini etkileyebilecek düzeyde değişiklerin beklenmemesidir. Akıntı sistemini tanımlayan zaman serileri saatlik hale çevrilip gün içi değişimleri incelenmiştir. Günün parçası şeklinde zaman aralıklarında ($t=1$ saat) gözlenen zaman serilerinde rastgele değişimlere ek olarak günlük ve yıllık devirsellik özelliği beklenir. Ancak buradaki verilerin yıllar derecesinde gözlenmiş olması nedeniyle gün için değişimin yapısal özellikleri araştırılmıştır.

Sunduğumuz bu çalışmada kullandığımız veri kütükleri akıntı ölçer sisteminde kaydedilen değerlerin "Otrano-Attache" tipi mikrobilgisayar ve diğer yardımcı donanım kullanıp sayısal bilgiye dönüştürülerek diğer bilgisayarlarda kullanılabilecek şekilde gelmiş halidir.

5.2 Deniz Seviyesi Ölçümleri

Uzun süreli deniz seviye gözlemleri geometrik koto bilinen veya ölçülebilen sabit bir noktaya yerleştirilen "Endeco 1032" tipi cihazlarla gerçekleştirilmiştir. Cihazdaki basınçca duyarlı sensör üzerine gelen su yükü + atmosfer basıncı değerini saptar bunu yaparken aynı zamanda su sızaklığını ölçme ve kaydetme işlevide gerçekleştirir. Bu işin belli aralıklarla yapar. Deniz yüzeyindeki hareketlerden etkilenmediği için cihazın çalışması için dalgalanmamış sahaya gerek yoktur.

Deniz Yüzeyi

AÇIKLAMALAR

1- Akıntı ölçer sayısı ve derinlikleri arayüzeyin ortalamaya konumuna göre belirlenmiştir.

2- En Üst şamandranın derinliği en büyük su kesimli gemiler için güvenli seyir sağlayabilecek derinliktedir.

3- "ENDECO" tipli akıntı ölçerler, suda yatay konumda yüzecek şekilde, bulunanları su özelliklerine göre kalibre edilmiştir.

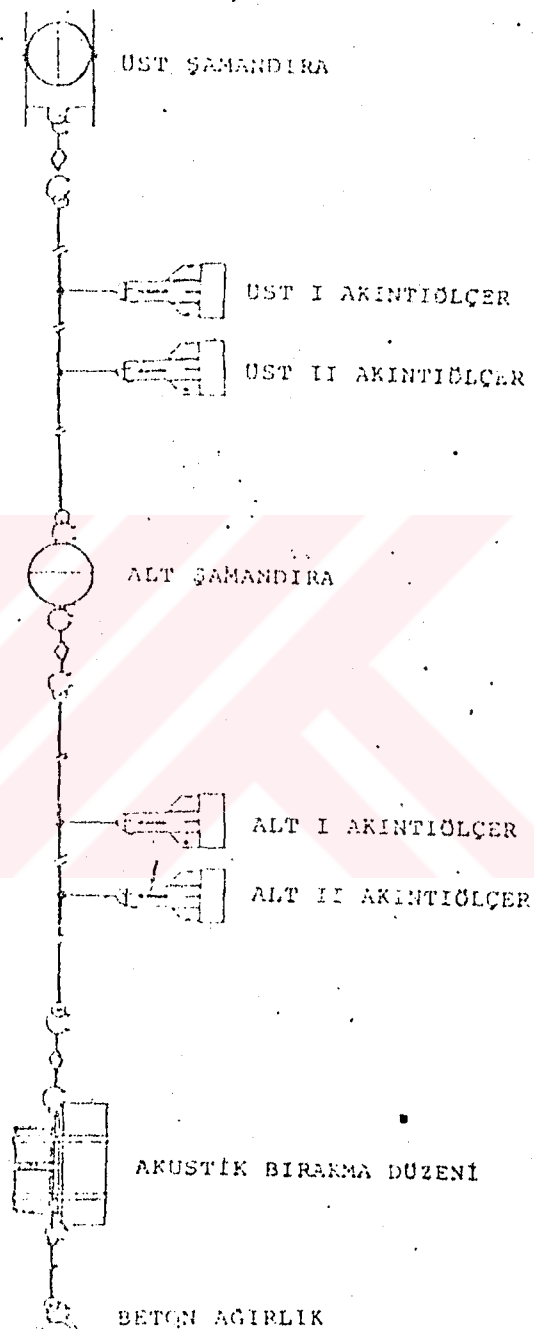
4- Sistem 50 cm çaplı aluminyum ve polyester şamandıralarla düşey doğrultuda tutulmaktadır. Bu şamandıraların kaldırma kuvveti sırasıyla 43 ve 52 kg'dır.

5- Üst şamandıralar çelik bir kafesle birleştirilmiştir.

6- Sistemdeki elemanlar birbirleriyle 8 mm kalınlığında çelik hıllat, paslanmaz çelik fırıldaklı ve kilitlerle bağlanmıştır.

7- Ölçüm sistemi, su içinde 200 kg gelen beton bloklarla sabit konumda tutulmaktadır.

8- Ölçüm periyodunun sonunda, sistem beton bloktan "ENDECO 900" sinyal gönderme cihazı ile ayrılmaktadır.



Şekil 1 Uzun süreli akıntı ölçüm sistemi

AÇIKLAMALAR

1- Akıntıölçer derinlikleri CTD ölçümleri ve analog Echo-sounder kayıtlarından belirlenmiş arayüzey konumuna göre sağlanmıştır.

2- Sistemin deniz trafiği açısından güvenilgi için üst şamandıra deniz yüzeyinde bulunmaktadır. Bunaan başka, R/V Piri Reis ölçümleri sırasında sistem civarında seyretmiştir.

3- Sistem düzeni enkesit geometrisinin özelliklerine göre hazırlanmıştır.

4- İşleme elementlerinin uyumlukları, ard arda atılışlar arasında sistemin hazırlanış zamanını mümkün olduğu ölçüde kısaltmak için, dikkatlice seçilmiştir.

5- Uzun süreli ölçüm sistemleri için verilen 3,4,6,7,8 nolu açıklamalar bu durum içinde geçerlidir.

ÜST ŞAMANDIRA

ÜST I AKINTIÖLÇER

ÜST II AKINTIÖLÇER

ÜST III AKINTIÖLÇER

ALT ŞAMANDIRA

ALT I AKINTIÖLÇER

ALT II AKINTIÖLÇER

ALT III AKINTIÖLÇER

AKUSTİK BİRLEŞME DÜZENİ

BETON AĞIRLIK

Şekil 30: Kısa süren akıntı ölçüm sistemi

5.3 Veri Kütükleri

sunulan bu tez çalışmasında , DBTE' nin önceki bölgelerde anlatılan kapsamlı ve uzun süreli gözlem veri toplama programları ile oluşturulan veri kütükleri kullanılmıştır.fakat yararlanılan veri tabanı, bu çalışmanın amacına uygun olarak, daha sınırlı olarak seçilmiştir.

Seçilen uzun süreli akıntı ölçüm dатaları saatlik olarak ele alınmıştır. Yapılan istatistikler ve spektral analizlerde bu saatlik dатalar kullanılmıştır. Seviye ölçüm dатaları, Kumkapı ve Poyrazköy istasyonlarında tespit edilen dатalar olarak sınırlandırılmış diğer istasyonlarda yapılan seviye ölçümü bu çalışmada incelenmemiştir. Akıntı dатaları olarak ise Anadolu Kavağı, Paşabahçe, Baltalimanı, Küçük, Sarayburnu ve Kızkulesi' nde ölçülen akıntı hız ve yön değerleri kullanılmıştır. Bu seçim sonucu kısa süreli akıntı ölçümü , denizsuyu birincil parametreleri ölçümü , denizsuyu birincil parametreleri ölçümü, meteo- oşinografik gözlemleri kullanılmıştır.

Oluşturulan veri kütükleri kullanım ve yazılım kolaylığı sağlanması açısından "DBINRjDk" şeklinde 8 karakterlik alfanümerik karakterler kullanılarak tanımlanmıştır. Bu tanımda :

DB: Ölçümün yapıldığı istasyonun adını gösteren alfabetik karakterler

I: Ölçümün yapıldığı istasyonun numarası

j: Ölçümü kaydeden akıntı ölçerin numarası

(1 numaralı akıntı ölçer su yüzeyine en yakın akıntı ölçer olup, numara büyündükçe akıntı ölçerin bulunduğu derinlik artmaktadır.)

k: Ölçümü kaydeden akıntı ölçerin suya atılış numarası

Ayrıca veri kütüklerinin arkasına gelen üç alfabetik karakteristikli ek takı ve kütükteki verilerin kaç dakikalık aralıklarla kaydedildiğini gösterir. Bu tez çalışmاسında akıntı kütük adlarının devamına A60, seviye ölçümü kütük adlarının devamına V60 takısı gelmektedir. Bu da tüm verilerin saatlik olduğunu göstermektedir. (Orjinal veri kütüğü örnekleri TABLO 5 ve 6)

Daha önceki yapılan çalışmalar göstermişirki boğazın coğrafik şeklinde etkisiyle akıntılar genelde kuzey- güney doğrultusundadır. Bu durumda boğazdaki akım tek boyutlu düşünülüp akıntı verileri tek değişkenli zaman serisine dönüştürülmüştür. Akıntı ölçer 0° - 360° arasındaki yönü ve bu yöndeği şiddetini

Table 5 Seviye gözlemlerine ait orijinal veri kütükleri
(bir günlük örnek).

TIME OF READING AND DEPTHS, DEPTHS IN METERS				PAGE 2 (CONTINUED) S/N 2				
ANADOLU FENERI TIDE GAUGES STATION, DAY, NR. 1								
DATA DATE: FRI 14 JUN 1985	JULIAN DATE: 165	STATION AF	S/N 0 2					
TIME: QMT				TEMPS IN DEGREES C				
TIME	DEPTH	TEMP	TIME	DEPTH	TEMP	TIME		
0	1.48	14.1	800	1.51	15.9	1600	1.47	15.9
10	1.49	14.1	810	1.50	16.0	1610	1.47	15.9
20	1.49	14.1	820	1.52	16.1	1620	1.48	15.8
30	1.48	14.1	830	1.51	16.1	1630	1.49	15.8
40	1.49	14.2	840	1.52	16.2	1640	1.49	15.8
50	1.47	14.3	850	1.53	16.2	1650	1.49	16.0
100	1.47	14.3	900	1.52	16.2	1700	1.49	16.1
110	1.47	14.2	910	1.52	16.2	1710	1.49	16.2
120	1.47	14.2	920	1.51	16.2	1720	1.49	16.0
130	1.47	14.2	930	1.52	16.2	1730	1.49	16.1
140	1.48	14.2	940	1.52	16.1	1740	1.48	15.9
150	1.46	14.3	950	1.53	16.2	1750	1.50	16.2
200	1.46	14.2	1000	1.52	16.5	1800	1.50	16.4
210	1.46	14.2	1010	1.53	16.6	1810	1.49	16.5
220	1.46	14.2	1020	1.53	16.7	1820	1.49	17.2
230	1.46	14.2	1030	1.53	16.7	1830	1.48	17.2
240	1.46	14.2	1040	1.52	16.9	1840	1.49	17.1
250	1.47	14.3	1050	1.52	16.8	1850	1.50	17.0
300	1.46	14.3	1100	1.54	16.9	1900	1.51	17.0
310	1.46	14.3	1110	1.52	16.7	1910	1.51	17.2
320	1.45	14.4	1120	1.52	16.5	1920	1.51	17.0
330	1.46	14.4	1130	1.53	16.5	1930	1.50	17.0
340	1.47	14.4	1140	1.53	16.5	1940	1.50	17.1
350	1.46	14.5	1150	1.53	16.3	1950	1.50	17.2
400	1.46	14.6	1200	1.51	16.3	2000	1.50	17.2
410	1.46	14.7	1210	1.51	16.3	2010	1.51	17.2
420	1.46	14.7	1220	1.52	16.2	2020	1.51	17.2
430	1.46	14.8	1230	1.52	16.2	2030	1.50	17.1
440	1.46	14.8	1240	1.52	16.1	2040	1.50	17.1
450	1.47	14.9	1250	1.53	16.0	2050	1.49	16.9
500	1.46	14.9	1300	1.52	16.2	2100	1.50	17.0
510	1.47	15.0	1310	1.50	16.4	2110	1.50	17.0
520	1.47	15.0	1320	1.50	16.4	2120	1.49	17.1
530	1.48	15.0	1330	1.50	16.3	2130	1.51	17.2
540	1.48	15.0	1340	1.51	16.2	2140	1.50	17.4
550	1.47	15.0	1350	1.51	16.0	2150	1.52	17.5
600	1.48	15.0	1400	1.51	15.9	2200	1.50	17.5
610	1.47	15.1	1410	1.52	15.9	2210	1.51	17.6
620	1.47	15.1	1420	1.50	15.8	2220	1.51	17.6
630	1.49	15.1	1430	1.49	15.8	2230	1.50	17.6
640	1.49	15.1	1440	1.48	15.8	2240	1.50	17.6
650	1.49	15.3	1450	1.49	15.8	2250	1.51	17.6
700	1.49	15.3	1500	1.48	15.8	2300	1.50	17.6
710	1.49	15.4	1510	1.49	15.8	2310	1.50	17.7
720	1.50	15.4	1520	1.48	15.7	2320	1.51	17.7
730	1.51	15.6	1530	1.48	15.8	2330	1.50	17.6
740	1.51	15.7	1540	1.49	15.8	2340	1.51	17.5
750	1.52	15.8	1550	1.47	15.8	2350	1.52	17.6

kaydetmek üzere düzenlenmiştir. Burada 0° 'nin kuzey yönünü göstermesi sağlanmıştır. Gözlemler boyunda kuzey yönündeki akıntılar (+) pozitif, güney yönündeki akıntılar (-) negatif olarak kaydedilmiştir.

Seviye farkı zaman serilerinin oluşturulmasında ise yapılan gözlemlerin yanısıra gözlem istasyonlarının geometrik koordinatlarının doğru olarak saptanmasıda önem taşımaktadır. Bu yüzden tüp geçit projesi kapsamında geometrik kotlar yapılan nivelman ile saptanmıştır. Yinede bu nivelmanda yapılan hatanın seviye farkı değerlerine aynen yansıyacağı ve oluşan serinin sistematik bir hatayı taşıyabilecegi gözönünde bulundurulmuştur. (TABLO 3 ve 4)

Veri Kütükleri grafikleri EK 1' de verilmiştir. Akıntı ve Seviye ölçümü için yatay eksen ölçümün yapıldığı gün sayısını göstermektedir. Dikey eksende ise akıntı ölçümü için ölçülmüş akıntı hızı değerleri "m/sn" olarak seviye ölçümü için ise seviye ölçer üzerindeki su seviyesi (yüksekliği) "m" olarak çizilmiştir. Akıntı ölçümülerinde pozitif (+) akıntı hızları Karadeniz'e doğru olan akıntıları, negatif (-) akıntı hızları ise Marmara Denizi'ne doğru olan akıntı hızlarını göstermektedir.

TABLO 3.1

Anadolu Kavağı`ndaki uzun süreli akıntı ölçümlerinin istasyonlarına ait veri kütükleri

İstavon Adı	İstasyon No	Lokasyon Enlem Boylam	Su Derinliği (m)	Akıntı Ölçer No Derinliği (m)	Ölçüm Süresi	Ölçüm Başlangıç Tarihi	Ölçüm Bitiş Tarihi	Veri Kütüğü
A	1	41° 12' 20"N 29° 04' 50"E	70	1	22	19 Mayıs 1985	9 HAZ 1985	KG1NR1D1
N	2	41° 12' 20"N 29° 04' 50"E	66	2	27	19 Mayıs 1985	4 HAZ 1985	KG1NR2D1
A				3	68	22	19 Mayıs 1985	9 HAZ 1985
D				1	35,5	38	17 HAZ 1985	KG1NR3D1
O				2	45,5	-		KG2NR1D2
L				3	55,5	46	17 HAZ 1985	Data alınmadı
U				4	59,5	46	17 HAZ 1985	KG2NR3D2
K				5	61,5	47	17 HAZ 1985	KG2NR4D2
A				6	63,5	29	17 HAZ 1985	KG2NR5D2
V				1	25	9	28 OCA 1986	15 TEM 1986
A				2	33	9	28 OCA 1986	5 ŞUB 1986
Ç				3	54	9	28 OCA 1986	5 ŞUB 1986
I	4	41° 10' 35"N 29° 04' 45"E	66	4	58	-	-	Data alınmadı
				1	25	20	6 ŞUB 1986	25 ŞUB 1986
				2	33	20	6 ŞUB 1986	KG4NR1D4
				3	40	20	6 ŞUB 1986	25 ŞUB 1986
				4	50	20	6 ŞUB 1986	KG4NR2D4
				5	54	20	6 ŞUB 1986	KG4NR3D4
				6	58	20	6 ŞUB 1986	KG4NR4D4
				1	25	41	25 ŞUB 1986	KG4NR5D4
	5	41° 10' 33"N 29° 04' 52"E	66	2	54	41	25 ŞUB 1986	6 NIS 1986
				3	58	0	-	KG5NR1D5
							-	Data alınmadı

TABLO 3.2

Paşabahçe`deki uzun süreli akıntı ölçüm istasyonlarına ait veri kütükleri

Istasyon Adı	Istasyon No	Lokasyon Enlem	Boylam	Su Darinliği (m)	Akıntı Ölçer No	Akitindicler Derinliği (m)	Ölçüm Süresi	Ölçüm Başlangıç	Ölçüm Tarihi	Veri Kodu
	1	41° 07' 35"N	29° 05' 03"E	65	1	40	21	19 May 1985	8 HAZ 1985	PK1NR1D1
					2	57	21	19 May 1985	8 HAZ 1985	PK1NR2D1
PASAH CE					3	62	21	19 May 1985	8 HAZ 1985	PK1NR3D1

TABLO 3.3

Baltalimanı`ndaki uzun süreli akıntı ölçümleri istasyonlarına ait veri kütükleri.

İstasyon Adı	No	Lokasyon Enlem	Boylam	Su Derinliği (m)	Akıntı Ölçer No	Akıntı Darinliği (m)	Ölçüm Süresi	Ölçüm Başlangıç	Ölçüm Tarihi	Bittiş	Veri Kodu
B	1	41° 05' 55"N	29° 03' 30"E	60.0	1	22.5	17	19 May 1985	4 HAZ 1985	BL1NR1D1	
A					2	35.5	17	19 May 1985	4 HAZ 1985	BL1NR2D1	
L	2	875	13000	63.0	3	52.0	17	19 May 1985	4 HAZ 1985	BL1NR3D1	
T					4	57.0	-	-	-	Data alınamadı	
A					1	30.0	16	10 HAZ 1985	25 HAZ 1985	BL2NR1D2	
L					2	54.5	43	10 HAZ 1985	22 TEM 1985	BL2NR2D2	
I	3	875	13100	63.0	3	60.0	43	10 HAZ 1985	22 TEM 1985	BL2NR3D2	
M					1	30.0	6	4 AĞU 1985	9 AĞU 1985	BL3NR1D3	
A					2	54.0	6	4 AĞU 1985	9 AĞU 1985	BL3NR2D3	
N					3	60.0	6	4 AĞU 1985	9 AĞU 1985	BL3NR3D3	
I	4	790	12050	68.0	1	22.5	30	27 OCA 1986	25 ŞUB 1986	BL4NR1D4	
					2	27.5	30	27 OCA 1986	25 ŞUB 1986	BL4NR2D4	
					3	50.0	30	27 OCA 1986	25 ŞUB 1986	BL4NR3D4	
	5	790	12050	68.0	4	60.0	27	27 OCA 1986	22 ŞUB 1986	BL4NR4D4	
					1	25.0	39	26 ŞUB 1986	5 NİS 1986	'BL5NR1D5	
					2	50.0	9	26 ŞUB 1986	6 MAR 1986	'BL5NR2D5	
				3	60.0	28	26 ŞUB 1986	25 MAR 1986	'BL5NR3D5		

(*) X ve Y değerleri UTM koordinat sistemine göredir.

TABLO 3.4

Küçük su akıntılarına ait veri kütükleri.

İstasyon Adı	İstasyon No	Lokasyon Erişim	Su Derinliği (m)	Akıntı Ölçer No	Akıntı Derinliği (m)	Ölçüm Süresi	Ölçüm Başlangıç Tarihi	Ölçüm Bitiş Tarihi	Veri Kütüğü
K Ü Ç Ü	1	615	11165	63.0	1	25.5	-	-	4 HAZ 1985 Data alınamadı
K S S U	2	620	11150	63.0	2	35.0	-	-	4 HAZ 1985 Data alınamadı
					3	55.0	-	-	4 HAZ 1985 Data alınamadı
					4	60.0	40	10 HAZ 1985	KS1NR4D1
					1	25.00	6	4 AGU 1985	9 AGU 1985 KS2NR1D2
					2	35.0	6	4 AGU 1985	9 AGU 1985 KS2NR2D2
					3	55.0	6	4 AGU 1985	9 AGU 1985 KS2NR3D2
					4	60.0	6	4 AGU 1985	9 AGU 1985 KS2NR4D2
					1	22.5	19	6 ŞUB 1985	24 ŞUB 1986 KS3NR1D3
					2	37.5	19	6 ŞUB 1985	24 ŞUB 1986 KS3NR2D3
					3	45.0	19	6 ŞUB 1985	24 ŞUB 1986 KS3NR3D3
	3	580	11200	58.0	4	52.0	19	6 ŞUB 1985	24 ŞUB 1986 KS3NR4D3

TABLO 3.5

Sarayburnu akıntılarına ait veri kütükleri

İstasyon Adı	No	Lokasyon	Enlem	Boylam	Su Derinliği (m)	Akıntı Ölçer No	Akıntı Derinliği (m)	Ölçüm Stresi	Ölçüm Başlangıç Tarihi	Ölçüm Bitiş Tarihi	Veri Katılığı
SARAY-BURNU	1	667690	4542600	41.0	1	28.5	2	41	10 HAZ 1985	20 TEM 1985	MK1NR1D1
	2	667690	4542600	41.0	1	28.5	2	6	10 HAZ 1985	15 HAZ 1985	MK1NR2D1
	3	667475	4542625	49.5	1	36.0	2	37.0	4 AGÜ 1985	9 AGÜ 1985	MK2NR1D2
									4 AGÜ 1985	9 AGÜ 1985	MK2NR2D2
									27 OCA 1986	9 MAR 1986	MK3NR1D3

TABLO 3.6

Kızkulesi akıntılarına ait veri kütükleri.

İstasyon Adı	No	Lokasyon	Enlem	Boylam	Su Derinliği (m)	Akıntı Ölçer No	Akıntı Derinliği (m)	Ölçüm Stresi	Ölçüm Başlangıç Tarihi	Ölçüm Bitiş Tarihi	Veri Katılığı
Kızkulesi	1	41° 01'09"N	29° 00'21"E	5.0	1	3.0	1	42	-	-	Data alınamadı
	2	41° 01'28"N	29° 00'20"E	7.0	1	5.0	2	42	26 OCA 1986	8 MAR 1986	KZ2NR1D2

TABLO 4

Uzun süreli deniz seviye gözlemleri.

İstasyon No	İstasyon Adı	Yolcasıyon Enlem	Boylam	Gözleme No	Ölçüm Süresi	Ölçüm Tarihi Başlangıç	Bitiş	Veri Katılığı
ANADOLU FENERI	1	41° 13'05"N	28° 09'10"E	1	50	23 HAZ 1985	1 AĞU 1985	TIDEAFD1
				2	50	1 AĞU 1985	19 EYL 1985	TIDEAFD2
				3	28	19 EYL 1985	14 EKL 1985	TIDEAFD3
				4	-	93 GÜN BOYUNCA	Data alınamadı
POYRAZ- KÖY	41° 12'28"N 28° 07'48"E			5	10	16 OCA 1986	25 HAZ 1986	TIDEAFD5
				6	13	25 OCA 1986	6 ŞUB 1986	TIDEAFD6
				7	20	6 ŞUB 1986	25 ŞUB 1986	TIDEAFD7
				8	41	25 ŞUB 1986	6 NIS 1986	TIDEAFD8
				9	33	6 NIS 1986	8 MAY 1986	TIDEAFD9
				10	47	8 MAY 1985	23 HAZ 1986	TIDEAFD10
				11	31	7 TEM 1986	4 AĞU 1986	TIDEAFD11
				12	50	6 AĞU 1986	24 EYL 1986	TIDEAFD12
				1	-	-	-	Data alınamadı
				2	50	2 AĞU 1985	20 EYL 1985	TIDEAYD2
				3	52	20 EYL 1985	10 KAS 1985	TIDEAYD3
KUMKAPI	41° 00'10"N 28° 57'50"E			4	45	2 ARA 1985	-	TIDEAYD4
				5	-	22 GÜN BOYUNCA	Data alınamadı
				6	19	6 ŞUB 1986	24 ŞUB 1986	TIDEAYD6
				7	43	24 ŞUB 1986	7 NIS 1986	TIDEAYD7
				8	31	7 NIS 1986	7 MAY 1986	TIDEAYD8
				9	48	8 MAY 1986	24 HAZ 1986	TIDEAYD9
				10	24	7 TEM 1986	10 TEM 1986	TIDEAYD10
				11	55	6 AĞU 1986	29 EYL 1986	TIDEAYD11

6. VERİ KÜTÜKLERİNİN ANALİZİ (SEASPECT)

SEASPECT oşinografik zaman serileri analizi için hazırlanmış bir paket programdır. Bu program Atina Üniversitesi 'nın Uygulamalı Fizik Bölümünde A. Lascaratos, J. Daskalakis , L. Perivoliotis ve N. Vlastos tarafından geliştirilmiştir. Bu program PROJ, SPECT, CROSS, ROT, ve SERIES olmak üzere 5 ana programdan oluşmaktadır. Fortran 77 programı yardımıyla oluşturulmuş bu program başlangıç çevirisini HP serileri 9000/300 süper mikro bilgisayarları yönetim sistemi altında yapılmıştır.

Sunulan bu çalışmada PROJ programı yardımıyla veri kütüklerindeki değerler okutulmuş, high pass ve low pass filtreleri alınarak yeni veri kütükleri yaratılmıştır. Ayrıca okutulan veri kütüklerindeki değerlere uygun olarak grafikler çizdirilmiştir. SPECT programıyla da orjinal veri kütüklerindeki dataların spektrum grafikleri hesaplandırılarak çizdirilmiştir. Bunun yanısıra PROJ programıyla yüksek ve alçak frekanslarıfiltrelenerek yaratılan kütüklerin spektrum grafikleride hesaplanmış ve çizdirilmiştir.

Elde edilen grafikler üzerinde yapılan incelemeler ile çalışma sona erdirilmiştir.

Veri kütüklerinin spektrum grafikleri ile aynı veri kütüklerinin low pass ve high pass filtrelenen geçilmiş hallerinin spektrum grafikleri EK 2' de sunulmuştur. Bu ekte bir veri kütüğüne ait filtrelenmemiş spektrum garfiğinin yanısıra o veri kütüğüne ait low pass ve high pass filtrelerinden geçilmiş kütüklerin spektrum grafikleri yan yana konularak incelemede kolaylık sağlanmıştır.

Spektrum grafiklerinde yatay eksende w (frekans) değeri 1/ saat birimi ile dikey eksende ise E (enerji yoğunluğu) değeri gösterilmiştir. Filtrelenmemiş spektrum grafiklerinden faydalananarak grafiklerdeki pik değerle ve bunlara karşılık gelen enerji yoğunluğu değerleri saptanmıştır. Bu değerler biraraya getirilerek Tablo 8 oluşturulmuştur. Bu tablo düzenlenmiş eşzamanlı veri kütükleri gruplarına uygun olarak hazırlanmıştır. Böylece her gruba ait birer adet olmak üzere 6 parçadan oluşan bir tablo elde edilmiştir. Bu tablolar sayesinde grafiklerdeki değerlerin okunması sağlanmıştır. Oluşturulan bu tablolar kullanılarak grafiklerin irdelenmesine geçilmiştir.

6.1 GRAFİKLERİN İRDELENMESİ

Uzun süreli akıntı gözlemleri bize İstanbul Boğazında Marmara Denizi'nden Karadeniz'e doğru akan yoğun bir tabaka ile buna ters yönde akan daha az tuzlu bir tabakadan oluşan iki tabakalı akıntı sisteminin varlığını göstermiştir.

Baltalimanında 23 metre ve 52 metre derinliklerdeki bir alt diğeri üst tabakaya yerleştirilmiş olan akıntı ölçerlerin 19 Mayıs - 4 Haziran 1985 dönemine ait kayıtları Boğazın akıntı sistemini açıkça ortaya koymaktadır.

Doğal olarak Boğazın morfolojik yapısı, Karadeniz su bütçesi, atmosfer koşulları ve Karadeniz ile Marmara denizi arasında ki seviye farkı Boğazın akıntı sistemini etkileyen önemli faktörlerdir. Morfolojik yapısı Boğazdaki akıntı hızlarının konumuna diğer unsurlar ile zamana göre değişiminde etkili olmaktadır. Karadenizdeki su bütçesi deniz seviyelerini dolayısıyla akıntıları uzun sürede etkilemektedir. Atmosfer koşullarının etkileri ise kısa süreli değişimler olarak kendini göstermektedir.

Boğaz'ın kuzeyinde 0,40-0,50 m/sn olan üst tabaka akıntı hızlarının Baltalimanından itibaren güneye doğru inildiğinde 2-3 km darc bölgede 0,80-0,90 m/sn değerlerine ulaştığı görülmektedir. En kesit özelliklerine göre akıntı hızları değişsede üst tabaka hızlarının 0,50-0,60 m/sn, alt tabaka hızlarının ise 0,40-0,50 m/sn ortalama hızları sahip olduğu görülmektedir. Ayrıca akıntı hızlarının derinlik boyuncada değişiklik gösterdiği görülebilmektedir. Örneğin Küçüksuda ki 4 akıntı

ölçerden ikisi üst ikisi alt tabaka içinde yer almaktadır ve bunlardan tabana yakın konumdaki akıntı ölçerlerden daha düşük hızlar saptanmıştır. Bu da bize araya yüzeye ve tabana yakın konumda sürtünmelerin hızlarının azalmasına neden olduğunu göstermiştir. Kış sonu ilkbahar dönemi başlangıcında Karadenizde seviye artışı görülmektedir. Bunun soncu olarak üst tabaka akıntı hızları artmaktadır. Bu dönemde Baltalimanında 1.5 m/sn^* ye yaklaşan Kızkulesinde ise bu değeri aşan hızlar kaydedilmiştir.

Boğazdaki akıntı sistemini etkileyen diğer bir unsurda Karadeniz ve Marmara denizi seviyeleridir. Anadolu Kavağı akıntıları için yapılan çoklu regresyon analizi ile üst akıntıları Karadeniz seviyesi ile daha fazla ilişkili olduğu saptanmıştır. Bu da yüzey akıntılarının güneye doğru ilerledikçe Karadeniz etkisinden çıkarak Marmara denizi etkisi taşıyacağini göstermiştir. (Arısoy, 1990)

Karadeniz`deki seviye artışı serbest su yüzeyi eğimini artırmakta bu da üst tabaka akıntılarının hızlanmasına neden olmaktadır. Oysa Marmara denizi seviyesindeki artış alt tabaka akıntılarının hızlarının fazlalaşması sonucunu doğurmaktadır. Bu durumda seviye farkının üst akıntı hızlarıyla doğru, alt akıntı hızlarıyla ters orantılı olduğunu söylemek mümkündür. İki denizin seviyelerinin Boğazda ki akıntı hızları üzerindeki etkilerinin ters yönde oluştu seviye farkının akıntı sistemi üzerindeki etkisinin araştırılması sonucunda doğrulmuştur. Yapılan bazı araştırmalarda saptanan seviye farkları: Gunnerson ve Özturgut (1974) 35 cm, Çeçen ve arkadaşları (İTÜ, 1981) 33 cm, De Filippi ve diğerleri (1986) 37 cm, Arısoy (1990) 30 cm değerindedir. 2 Ağustos 1985- 24 Eylül 1986 döneminde 77 cm varan değerler ile - 5 cm`e kadar düşen değerler saptanmıştır. 6 Şubat- 7 Mayıs 1986 tarihleri arasındaki ortalama seviye farkı ise 35 cm olarak hesaplanmıştır.

Gözlemlerin spektral analizi deniz seviyelerinde ve seviye farkında günlük ($T=24$ saat) ve yarıgünlük ($T=12$ saat) periyodik değişimlerin olduğunu bize göstermiştir. Bu değişimlerden başka 3 - 4 ve 10 günlük periyotlardaki salınımlarında varlığı görülmektedir. İstanbul Boğazındaki su seviye değişimleri inceleyen araştırmacıların ortak görüşü deniz seviyelerindeki bu değişimlerin rüzgar ve atmosfer basıncı değerlerindeki değişimlere bağlı olduğu yolundadır. Periyodik değişimler deniz seviyelerindeki rast gele değişimlere oranla oldukça düşük mertebelerde olmalarına rağmen hem arayüzey konumunu hemde akıntıları etkilemektedir. Arayüzey tabakasına yakın akıntı ölçerlerinin kaydettiği akıntı hızı değerlerinin zaman içindeki değişimi bize arayüzey konumunun oldukça değişken olduğunu gösterir. Örneğin Anadolu Kavağından arayüzeye yakın konumdaki akıntı

ölçerin arayüzey konumunun düşey doğrultuda yer değiştirmesi ile bazen üst bazende alt tabaka içinde kaldığı gözlenmiştir. Çeşitli derinliklerde yer alan akıntı ölçer verileri incelendiğinde arayüzey konumunun 10-15 m düşey yönde yer değiştiği saptanmıştır. Bu yer değiştirmeler sırasında Boğazın tüm kesiti alt veya üst tabakalarдан birinin etkisine girebilmekte ve daha önceki bölgelerdede bahsedilen, tabakaların birinin bloklanması olayı gerçekleşmektedir. Seviye farkının 15-20 cm altına düşmesi üst tabakanın, 50-55 cm' in üzerine çıkması ise alt tabakanın bloklanmasına sebep olmaktadır. Özellikle atık su deşarjı projesi çerçevesinde bu suların alt tabakaya verilmesi ön görüldüğünden alt tabakanın bloklanmasının ne gibi sonuçlar doğurabileceği önemli bir tartışma konusudur. Diğer önemli bir tartışma konusuda bloklanmanın süresidir. Örneğin Baltalimanı 28 Ocak -9 Mart 1986 döneminde üst ve alt tabaka bloklanmasının bir kaç gün sürdüğü görülmektedir.

Boğazdaki üst ve alt tabaka debileride hem oşinografik hem de çevre mühendisliği açısından önem taşımaktadır. Özellikle bu debilerin doğru olarak tespiti kirlilik konsantrasyonunda doğru olarak hesaplanmasını sağlar bunun için uzun süreli akıntı ölçümlerinden tespit edilen hızlara ve hesap yapılacak en kesitin geometrik özelliklerin bilinmesine gerek vardır. Baltalimanı ve Anadolu Kavağında bu konuya ilgili hesaplamalar yapıldığında, Boğaz boyunca tabakalar arası karışımın uniform olduğu kabulüyle, $750 \text{ m}^3/\text{sn}$ (yaklaşık $24 \text{ km}^3/\text{yıl}$) civarında iki tabaka arası su transferi gerçekleştiği hesaplanmıştır. (Arısoy 1990)

Uzun süreli akıntı hızları ve seviye farkları veri kütüklerinden yararlanılarak oluşturulan grafikler yardımıyla yukarıdaki irdelemeler sunulmuştur. Burada ortaya konan bilgiler bu konu üzerinde yapılacak diğer çalışmalara yarar sağlayacaktır.

6.2 Spektral Analiz Tablolarının İrdelenmesi

Spektral analiz tabloları veri kütüklerinin spektrum grafikleri tek tek ele alınmıştır. Bu grafiklerin incelenmesinde spektrumlardaki pik frekans değerleri tespit edilmiş ve bunlara karşılık gelen enerji değerleri hesaplanmıştır. Daha sonra, üzenlenerek ölçüm tarihlerine göre eş zamanlı hale getirilmiş 6 ölçüm zamanı grubuna ayrılan veri kütükleri (TABLO 7) için gruplarına uygun olarak pik frekans değerleri tablosu oluşturulmuştur.(TABLO 8).Bu tabloya her pik frekans değerine karşılık gelen enerji değeri eklenerek tablolar incelemeye hazır hale getirilmiştir.

Bu tablolarda pik frekans değerleri "1/saat" biriminde, akıntı hızları için enerji yoğunluğu değerleri " $m^2/saat^2$ ", seviye farkları için enerji yoğunluğu değerleri " m^2 " olarak yazılmıştır.

Tabloların irdelenmesi için "Inertial Frequency" olarak adlandırılan frekans değerinin hesaplanması gereklidir.Bu frekans değeri,hareketin (akıntı hızı veya seviye farkı) zamanla değişiminde,dünyanın kendi etrafında dönmesinin meydana getirdiği kabul edilen Coriolis Kuvveti'nden etkilenerek oluşan frekans değeridir.Bu değeri İstanbul Boğazı için hesapırsak:

$$f_{\text{Inertial}} = 2 \cdot \Omega \cdot \sin \theta$$

$\theta=41^\circ$ (İstanbul Boğazı için)

$\Omega=7,29 \cdot 10^{-5} \text{ 1/sen}$ (Dünyanın kendi etrafında dönmefrekansı)

$$f_{\text{Inertial}} = 0,0548 \text{ 1/saat}$$

$$T = 1/f_{\text{Inertial}} = 18,25 \text{ saat}$$

Hazırlanan tablolarda hesaplanan f_{Inertial} değerinden daha yüksek frekans değerleri İstanbul Boğazı'nda su akımında düşey yönde hareketlerin olduğunu gösterir.Bu düşey hareketler iki şekilde olabilir:

1-Üst tabaka kalınlığı artar ve üst tabaka hızı azalır.Diğer yandan alt tabaka kalınlığı azalırken alt tabakanın akış hızı artar.

2-Üst tabaka kalınlığı azalır ve üst tabaka akış hızı artar.Buna karşılık alt tabaka kalınlığı artar ve alt tabakada akıntı hızı azalır.

Akıntı hızı yüksek ,kalınlığı az olan alt tabaka durumunda üst tabakanın içine doğru hidrolik sıçramalarınoluştugu görülür. kalınlığı az,akıntı hızı fazla

olan üst tabaka akımlarında ise hidrolik sıçrama görülmez. Bunlardaki enerji fazlalığı su yüzeyinde geniş çaplı döngüler oluşturarak kendini gösterir.

Yüksek frekansta düşey hareketler oluşuyorsa topoğrafya tarafından tutulan akıntıdan söz edilebilir. Eğer bu hareketler boğazın kıyılara dik doğrultudaysa geostrofik etkilerin başlangıcından bahsedilebilir.

Hazırlanan tablolarda hesaplanan f inertial değerinden daha düşük frekans değerleri İstanbul Boğazı'nda topografik etkinin su hareketleri üzerinde etkili olduğunu gösterir. Düşük frekanslarda kıyı topoğrafyası ile dip topoğrafyasının (derinliğin değişimi) etkili olduğu söylenebilir. Hatta frekansın sıfırı yaklaştığı yerlerde yavaş yavaş su hareketleri zaman bağımlılığından kurtulur. Bu durumda hidrolik veya geostrofik kontroller gözlemlenebilir. Frekansların düşük olduğu yerlerde eğer kanalın iki ucundaki seviye farkı büyükse o zaman kontrolden söz edilebilir. Eğer seviye farkı yoksa hızlı akıntıların olduğu bu bölgede hidrolik kontrolden bahsedilebilir. İstanbul Boğazı'nda devamlı bir seviye farkının varlığı kabul edilebileceği için genelde geostrofik kontrolün varlığı kabul edilebilir.

Sunulan bu çalışmada kullanılan seviye ölçüm değerlerinin hesapların yapılabilmesi için yetersiz oluşu ayrıca İstanbul Boğazı'nın topoğrafyasına ait geometrik değerlerin bilinmemesi nedeniyle geostrofik ve hidrolik etkileri detaylı olarak saptayacak veri tabanı ile çalışma imkanı olmamıştır. Bu yüzden genel bir yorumlama yapılmakla yetinilmiştir. Bu çalışmanın devamı biçiminde gerçekleştirilecek diğer çalışmalarla temel hazırlayıp yön vermesi temenni edilmektedir.

Spektrum analiz tablolarından elde edilen bulgular yazılarken aynı istasyona alt veri kütüklerindeki

ortak olan periyotlar tespit edilip belirtilmiştir. Günlük frekans olarak söylenen frekanslar "0.042 1/saat", yarı günlük olarak söylenen frekanslar "0.080 1/saat" değerine karşılık gelen frekanslardır. En çok rastlanan frekans değerleri olduğu için aşağıdaki açıklamalarda frekansların sayısal değerlerini belirtmek yerine "günlük" ve "yarı günlük" olarak belirtilmişlerdir.

I. grup ölçümler 19 Mayıs 1985-4 Haziran 1985 tarihleri arasında Anadolu Kavağı'nda 62m, 66m ve 68m derinliklerde; Baltalimanı'nda 22.5m, 35.5m ve 52m derinliklerde; Paşabahçe'de 40m, 57m ve 62m derinliklerde yapılan akıntı hızı ölçümleridir. Bu istasyonlarda yapılan

ölçümlerde günlük,yarı günlük frekansların yanı sıra geostrofik frekansların varlığı saptanmıştır.

II.grup ölçümler 10 Haziran 1985-22 Temmuz 1985 tarihleri arasında Anadolu Kavağı'nda 35.5m,55.5m,59.5m,61.5m ve 63.5m derinliklerde;Küçüksu'da 60m derinlikte;Baltalimanı'nda 30m,54m ve 60m'de;Sarayburnu'nda 28.5m ve 37m'de kaydedilen akıntı hızı ölçümleridir.Bu istasyonlarda yapılan ölçümlerde günlük,yarı günlük ve geostrofik frekanslar saptanmıştır.

III.grup ölçümler 4 Ağustos 1985-9 Ağustos 1985 tarihleri arasında Küçüksu'da 25m,35m,55m ve 60m'de;Baltalimanı'nda 30m,54m ve 60m'de;Sarayburnu'nda 28.5m ve 37m'de yapılan akıntı hızı ölçümleridir.Küçüksu istasyonunda 25m ve 35m'de,yarı günlük ve geostrofik frekanslar,55m ve 60m'de ise düşey hareketlerin varlığına işaret eden yüksek frekans değerleri saptanmıştır.Baltalimanı ve Sarayburnu istasyonlarındaki ölçümlerde ise günlük ve yarı günlük frekanslar tespit edilmiştir.

IV.grup ölçümler 26 Ocak 1986-5 Şubat 1986 tarihleri arasında Sarayburnu'nda 36m 2de;Baltalimanı'nda 22.5m,27.5m,50m ve 60m'de;Anadolu Kavağı'nda 25m,33m ve 54m'de;Kızkulesi'nde 5m derinliklerde yapılan akıntı hızı ölçümleridir.Bu istasyonlarda yapılan ölçümlerde günlük,yarı günlük frekansların yanısıra geostrofik frekanslar tespit edilmiştir.

V.grup ölçümler 6 Şubat 1986-25 Şubat 1986 tarihleri arasında Anadolu Kavağı'nda 25m,33m,40m,50m,54m ve 58m'de;Küçüksu'da 22.5m,37.5m,45m ve 52m'de yapılan akıntı hızı ölçümleridir.Bu istasyonlarda yapılan ölçümlerde günlük,yarı günlük ve geostrofik frekanslar tespit edilmiştir.

VI.grup ölçümler 25 Şubat 1986-6 Nisan 1986 tarihleri arasında Anadolu Kavağı'nda 25m ve 54m'de;Baltalimanı'nda 25m ve 50m'de yapılan akıntı hızı ölçümleridir. Bu istasyonlarda yapılan ölçümlerde geostrofik frekansların hakim olduğu saptanmıştır.

Seviye farkı ölçümleri ise düzenlenmemiş halleri ile III.,IV.,V. ve VI. grup akıntı hızı ölçümlerinin zamanına denk gelmektedir.Karadeniz tarafından poyrazköy istasyonunda yapılan ölçümler ile Marmara Denizi tarafından Kumkapı İstasyonunda yapılan ölçümler incelediğinde günlük,yarı günlük ve geostrofik frekansların etkin olduğu saptanmıştır.

GRUP NO	KÜTÜK ADI	DÜZENLENMİŞ ÖLÇÜM TARİHİ
I	KG1 (NR1-NR2-NR3)D1 PK1 (NR1-NR2-NR3)D1 BL1 (NR1-NR2-NR3)D1	19 MAYIS 1985-4 HAZIRAN 1985
II	KG2 (NR1-NR2-NR3-NR4-NR5-NR6)D2 BL2 (NR1-NR2-NR3)D2 KS1 (NR1-NR2)D1 MK1 (NR1-NR2)D1	19 HAZIRAN 1985- 22 TEMMUZ 1985
III	BL3 (NR1-NR2-NR3)D3 KS2 (NR1-NR2-NR3)D2 MK2 (NR1-NR2)D2	4 AĞUSTOS 1985- 9 AĞUSTOS 1985
IV	KG3 (NR1-NR2-NR3)D3 BL4 (NR1-NR2-NR3- NR4)D4 MK3 (NR1)D2	26 OCAK 1985- 5 ŞUBAT 1986
V	KG4 (NR1-NR2-NR3-NR4-NR5-NR6)D4 KS3 (NR1-NR2-NR3-NR4)D3	6 ŞUBAT 1986- 25 ŞUBAT 1986
VI	KG5 (NR1-NR2)D5 BL5 (NR1-NR2-NR3)D5	25 ŞUBAT 1986- 6 NİSAN 1986

TABLO 8.1

GRUP NO : 1 ÖLÇÜM TARİHİ : (03-MAYIS-85) - (04-HAZİRAN-1985)

ISTASYON ADI	KÜTÜK NO	TESPİT EDİLEN FREKANS VE ENERJİ DEĞERLERİ					
		PK	0.004	0.035	0.08		
ANADOLU KAVAĞI	KG1NR1D1	ENERJİ	1.00	0.024	0.054		
		PK	0.005	0.014	0.020	0.026	0.042
	KG1NR2D1	ENERJİ	1.000	0.135	0.74	0.082	0.41
		PK	0.010	0.042	0.060	0.065	0.075
	KG1NR3D1	ENERJİ	1.000	0.020	0.155	0.068	0.074
		PK	0.005	0.020	0.042	0.080	
PAŞABAHÇE	PK1NR1D1	ENERJİ	1.000	0.047	0.054	0.074	
		PK	0.005	0.020	0.042	0.080	
	PK1NR2D1	ENERJİ	1.000	0.128	0.189	0.301	
		PK	0.004	0.020	0.042	0.080	
	PK1NR3D1	ENERJİ	1.000	0.243	0.169	0.234	
		PK	0.005	0.020	0.042	0.065	0.080
BALTAZAR BALTAZAR BALTAZAR BALTAZAR BALTAZAR BALTAZAR	BL1NR1D1	ENERJİ	1.000	0.047	0.074	0.041	0.149
		PK	0.005	0.020	0.042	0.080	
	BL1NR2D1	ENERJİ	1.000	0.034	0.084	0.74	
		PK	0.005	0.020	0.042	0.080	
	BL1NR3D1	ENERJİ	1.000	0.054	0.270	0.287	
		PK	0.005	0.020	0.042	0.080	

TABLO 8.2

GRUP NO : II OLÇÜM TARİHİ : (10-HAZİRAN-1985) - (22-TEMMUZ-1985)

İSTASYON ADI	KÜTÜK NO	TESLİT EDİLEN FREKANS VE ENERJİ DEĞERLERİ						
		PİK	0.003	0.010	0.012	0.020	0.042	0.080
ANADOLU	KG2NR1D2	ENERJİ	1.00	0.297	0.230	0.061	0.088	0.108
KAVAĞI	KG2NR2D2	PİK	-	-	-	-	-	-
		ENERJİ	-	-	-	-	-	-
	KG2NR3D2	PİK	0.003	0.010	0.020	0.042	0.088	
		ENERJİ	1.000	0.277	0.034	0.81	0.149	
	KG2NR4D2	PİK	0.005	0.010	0.020	0.042	0.080	
		ENERJİ	0.155	0.101	0.034	0.034	0.074	
	KG2NR5D2	PİK	0.05	0.010	0.020	0.042	0.080	
		ENERJİ	1.000	0.385	0.041	0.101	0.162	
	KG2NR6D2	PİK	0.004	0.012	0.020	0.028	0.034	0.040
		ENERJİ	0.703	1.000	0.101	0.108	0.115	0.047
	KS1NR4D1	PİK	0.020	0.042	0.080			
KÜÇÜKSU		ENERJİ	0.047	0.037	0.128			
	BL2NR1D2	PİK	0.008	0.016	0.042	0.055	0.080	
		ENERJİ	0.108	0.098	0.027	0.020	0.034	
BALTALIMANI	BL2NR2D2	PİK	0.010	0.020	0.037	0.042	0.080	
		ENERJİ	0.304	0.095	0.098	0.581	1.000	
	BL2NR3D2	PİK	0.010	0.020	0.026	0.037	0.080	
		ENERJİ	0.338	0.068	0.084	0.084	0.547	1.000
SARAYBURNU	MK1NR1D1	PİK	0.010	0.020	0.042	0.080		
		ENERJİ	0.375	0.230	0.280	1.000		
	MK1NR2D1	PİK	0.010	0.029	0.047	0.070	0.145	0.162
		ENERJİ	0.128	0.074	0.074	0.041	0.027	0.034
						0.034	0.047	0.034
						0.041		

TABLO 8.3

GRUP NO : III ÖLÇÜM TARİHİ : (4 AGUSTOS-1985) - (08-AĞUSTOS-1985)

İSTASYON ADI	KÜTÜK NO	TESPİT EDİLEN FREKANS VE ENERJİ DEĞERLERİ					
		PIK	0.012	0.034	0.080		
KÜÇÜKSU	KS2NR1D2	ENERJİ	1.00	0.081	0.027		
	KS2NR2D2	PIK	0.020	0.042	0.065	0.080	0.173
	KS2NR3D2	ENERJİ	1.000	0.186	0.142	0.422	0.095
	KS2NR4D2	PIK	0.020	0.042	0.060	0.080	0.100
	BL3NR1D3	ENERJİ	1.000	0.257	0.024	0.172	0.037
	BL3NR2D3	PIK	0.016	0.042	0.070	0.080	0.100
BALTAZIMANI	BL3NR3D3	ENERJİ	1.000	0.209	0.034	0.128	0.030
	MK2NR1D2	PIK	0.010	0.039	0.080	0.055	0.110
	SARAYBURNU	ENERJİ	1.000	0.088	0.014	0.010	0.014
	MK2NR2D2	PIK	0.016	0.042	0.063	0.080	0.155
	KÜMKAPı	ENERJİ	1.000	0.189	0.061	0.216	0.017
	POYRAZKÖY	PIK	0.008	0.020	0.035	0.042	0.080
SARAYBURNU	BL3NR1D3	ENERJİ	0.919	1.000	0.311	0.392	0.375
	MK2NR1D2	PIK					
	MK2NR2D2	PIK	0.016	0.080	0.100	0.115	0.140
	KÜMKAPı	ENERJİ	1.000	0.034	0.257	0.142	0.054
	POYRAZKÖY	PIK	0.015	0.080			
	POYRAZKÖY	ENERJİ	1.000	0.105			

TABLO 8.4

GRUP NO : IV OLÇÜM TARİHİ : (26- OCAKA-1986) - (5-SUBAT-1986)

İSTASYON ADI	KUTÜK NO	TESLİT EDİLEN FREKANS VE ENERJİ DEĞERLERİ									
		PIK	0.005	0.010	0.020	0.042	0.060	0.080	0.100	0.120	0.150
SARAYBURNU	MK3NR1D3	ENERJİ	1.00	0.988	0.213	0.046	0.016	.193	0.033	0.020	0.026
	0										
BALTALIMANI	BL4NR1D4	PIK	0.020	0.038	0.046	0.080	0.088				
	ENERJİ	0.098	0.030	0.064	0.088	0.014					
	BL4NR2D4	PIK	0.020	0.042	0.080						
	ENERJİ	1.000	0.034	0.084							
	BL4NR3D4	PIK	0.010	0.035	0.042	0.058	0.080				
	ENERJİ	1.000	0.047	0.027	0.030	0.034					
	BL4NR4D4	PIK	0.010	0.020	0.042	0.055	0.080	0.083	0.105	0.130	
	ENERJİ	1.000	1.000	0.054	0.101	0.030	0.037	0.010	0.010		
	KG3NR1D3	PIK	0.010	0.020	0.040	0.045	0.055	0.062	0.080		
ANADOLU KAVAĞI	KG3NR2D3	PIK	0.010	0.042	0.055	0.080					
	ENERJİ	1.000	0.176	0.041	0.027	0.027	0.030	0.182			
	KG3NR3D3	PIK	0.010	0.015	0.045	0.080					
	ENERJİ	1.000	0.791	0.081	0.014						
KIZKULESI	KZ2NR1D2	PIK	0.020	0.028	0.038	0.042					
	ENERJİ	0.100	0.060	0.020	0.016						
POYRAZKÖY	PIK	0.005	0.010	0.015	0.036	0.045	0.080				
	ENERJİ	0.840	0.959	1.000	0.037	0.048	0.061				

TABLO 8.5

GRUP NO : V OLÇÜM TARİHİ : (6 - ŞUBAT-1986) - (25 - ŞUBAT-1986)

ISTASYON ADI	KÜTÜK NO	TESLİT EDİLEN FREKANS VE ENERJİ DEĞERLERİ			
ANADOLU KAVAĞI	KG4NR1D4	PİK	0.004	0.025	0.030
		ENERJİ	1.000	0.0262	0.025
	KG4NR2D4	PİK	0.004	0.023	0.080
		ENERJİ	1.000	0.030	0.010
KG4NR3D4	KG4NR3D4	PİK	0.004	0.014	0.020
		ENERJİ	1.000	0.025	0.020
	KG4NR4D4	PİK	0.004	0.010	0.020
		ENERJİ	1.000	0.300	0.040
KG4NR5D4	KG4NR5D4	PİK	0.004	0.010	0.020
		ENERJİ	1.000	0.500	0.100
	KG4NR6D4	PİK	0.004	0.010	0.020
		ENERJİ	1.000	0.420	0.080
KÜCÜKSU	KS3NR1D3	PİK	0.004	0.020	0.027
		ENERJİ	1.000	0.035	0.015
	KS3NR2D3	PİK	0.004	0.020	0.038
		ENERJİ	1.000	0.035	0.015
KUMKAPI	KS3NR3D3	PİK	0.004	0.009	0.020
		ENERJİ	1.000	0.275	0.130
	KS3NR4D3	PİK	0.003	0.008	0.010
		ENERJİ	1.000	0.770	0.780
POYRAZKÖY		PİK	0.004	0.009	0.013
		ENERJİ	1.000	0.340	0.160
		PİK	0.003	0.008	0.010
		ENERJİ	1.000	0.122	0.095

TABLO 8.6

GRUP NO : VI OLÇÜM TARİHİ : (25-ŞUBAT-1986) - (6-NİSAN-1986)

ISTASYON ADI		KUTÜK NO	TESPİT EDİLEN FREKANS VE ENERJİ DEĞERLERİ			
ANADOLU KAVAĞI	KG5NR1D5	PIK	0.003	0.020	0.042	0.080
		ENERJİ	1.000	0.030	0.017	0.045
	KG5NR2D5	PIK	0.001	0.018		
		ENERJİ	1.000	0.030		
	BALTAZIMANI	BL5NR1D5	PIK	0.001	0.010	0.020
		ENERJİ	1.000	0.160	0.070	0.300
BL5NR2D5	BL5NR2D5	PIK	0.001	0.015	0.025	
		ENERJİ	1.000	0.070	0.020	
	BL5NR3D5	PIK	-	-	-	
		ENERJİ	-	-	-	
	KUMKAPI	PIK	0.003	0.006	0.010	0.042
		ENERJİ	1.000	0.898	0.194	0.068
POYRAZKÖY		PIK	0.003	0.005	0.008	
		ENERJİ	1.000	0.150	0.027	

7. SONUÇ

9 Eylül Üniversitesi Deniz Bilimleri ve Teknolojisi Enstitüsü 1985-1986 yıllarında İstanbul Boğazın`da "İstanbul Kanalazisyon Projesi Deniz Deşarı Yöreleri Oşinografik Etüdleri" ve "İstanbul Boğazı Tüp Geçit Projesi" kapsamlarında uzun süreli bir veri toplama çalışması yapmıştır. Bu çalışma sonucunda akıntı hızları, deniz seviyeleri, deniz suyu sıcaklıkları ve tuzluluklarından oluşan oşinografik değerlerin yanısıra atmosfer basıncı, hava sıcaklıkları ve rüzgar hızlarında oluşan meteorolojik değerleer ölçülmüştür. Oluşturulan bu geniş veri tabanı Boğazdaki akıntı sisteminin detaylı olarak incelenmesine olanak verecek düzeydedir.

Boğazda ki iki tabakalı akımdan alt tabaka akıntısı Marmara Denizi ile Karadeniz arasındaki tuzluluk (yani yoğunluk) farkından, üst tabaka akıntısı ise Kardeniz`e giren suların (yağmur ve nehirler) buradaki buharlaşmanın daha fazla olması nedeniyle Marmara denizine göre oluşan seviye farkıdır. Bu iki tabakadaki akıntı hızları incelendiğinde seviye farkının sebep olduğu günlük ($T= 24$ saat) ve yarı günlük ($T=12$ saat) salınımlar yanında atmosfer koşullarına bağlı olarak ortaya çıkan 3-4 ve daha yüksek periyodlu değişkenler tespit edilmiştir. Ancak bu periyodik unsurlar akıntı sisteminde büyük değişiklere sebep olacak düzeyde değildir. bu iki tabakalı sistemi bozacak, tabakalardaki akımlardan birini bloklayacak veya ortadan kalkmasına sebep olacak ekstrem koşullar atmosfer basıncı ve rüzgarlar tarafından yaratılmaktadır. Bu koşullar ortadan kalktığında Boğazda ki akıntı sistemi hızla eski konumuna dnmektedir. Akıntı hızlarının analizi iki tabakalı halin zamanın %90`ni gibi bir oranda varlığını koruduğunu bize göstermektedir.

Sunulan bu çalışmada yararlanılan uzun süreli akıntı hızları ve seviye farklıları değerleri üzerindeki spektral analiz çalışmalarına ağırlık verilmiş ve buradan çıkan sonuçların daha önceki çalışmalarla uygunluğu ortaya konmuştur. Boğazın akıntı sistemiyle ilgili detaylı sonuçlara varılmasının amaçlanmadığı bu çalışmada yapılan irdelemelerin ve ortaya konulan sonuçların daha sonraki çalışmalarla yardımcı olması amaçlanmıştır. Bundan sonra yapılacak çalışmalar için eldeki verilere yenilerinin eklenip Boğazdaki değişimlerin gözlenmesiyle daha sağlıklı sonuçlara varılabilecektir.

8. İLGİLİ YAYINLAR

- Akyarlı, A. (1984) : Deniz Deşarşı sistemlerinin tasarımında Meteo-Oşinografik Süreçlerin Etkisi. İzmir, Ege Denizi ve Civarı Kıyıları Sorunları Sempozyumu, 35 s
- Akyarlı, A. (1985): "Meteo- Oceanographic and Geomorplogic Studies in Marmara Sea for the crossing of natural Gas Pipeline". İzmir Dokuz Eylül Üniiversty, Institute of Marine Sciences and Technology, (Prepared for Botas).
- Akyarlı, A. (1987a): Geomorphological and Oceanographical Surveys for the Marine Sewerage Outfall Areas of the İstanbul Sewerage Project. İzmir, Dokuz Eylül University, Institute of Marine Science and Techology, Data Reports of the Oceanographical Surveys Conducted at Anadolu Kavağı, Paşabahçe, Baltalimanı, Küçüksu and Sarayburnu Regions (five volumes).
- Akyarlı, A. (1987b): Geomorphological and Oceanographical Surveys for the Marine Sewerage Outfall Areas of the İstanbul Sewerage Project. İzmir, Dokuz Eylül University, Institute of Marine Science and Techology, Data Reports of the Sea Level Measurements Conducted at Anadolu Feneri, Poyrazköy and Kumkapı Regions (Two volumes).
- Akyarlı, A. (1987c).: İstanbul Kanalizasyon Projesi Deniz Deşarşı Yöreleri Jeomorfolojik Etüdleri. İzmir, Çevre` 87 sempozyumu, 37s.
- Akyarlı, A. (1988): Deniz Deşarşı Sistemlerinin Projelendirilmesi için Yapılan Meteo- Oşinografik Çalışmalar. İstanbul Yıldız Üniversitesi Mühendislik Fakültesi Ülkemizin Kalkınmasında Mühendisliğin Rolü Sempozyumu, 10s. (yayınlanacak).
- Anıl, A. (1979): "Boğaz AKımlarının Matematik Modelleri". İstanbul, İ.T.Ü. İnşaat Fakültesi, Su Dalı MMLS Tezi.
- Arısoy, Y.; Akyarlı, A. (1989): Long Term Current and Sea Level Measurements Conducted at Bosphorus. France, NATO/ONR Workshop on the Physical Oceanography of Sea straits (submitted for publication).
- Bayazıt, M.; Anıl, A. (1979): " Mathematical Model of the Two- Layer Current System in the Bosphorus strait". Cagliari, Proceedings of the 18 th. IAHR Congres, pp.287-293.
- Bayazıt, M; Anıl, A. (1980): "İstanbul Boğazı` ndaki Tabakalı Akımın Matematik Modeli". 1980 TBTAK Bilim Kongresi.

- Bayazıt, M. ; Sümer, B.M. (1982): "İstanbul Boğazı'ının Oşinografik Hidrografik Etüdü-2". TBTAK Su Alma Tesisleri Ünitesi Kesin Rapor No.28.
- Bayazıt, M. ; Oğuz, B. (1985) :" Mühendisler için İstatistik". İstanbul Birsən Yayınevi, 187 s.
- Arısoy, Y. (1990): "İstanbul Boğazı Akım Sisteminin Temel İstatistik Özellikleri ve Yapısal Analizi" (Doktora Tezi)
- Benzeden, E. (1981): "Kısa Süreli Aylık Akış Dizileri ile Kurulan Matematik Modellerin Priyodik Bileşen Yapısının İyileştirilmesi". İzmir, Ege Üniversitesi, İnşaat Fakültesi, 178 s.
- CAMP- TEKSER (1975): "Draft Report, İstanbul Sewerage Project Master Plan Revision".
- İlgaç, O. (1944): "Kardenizden İstanbul Boğazı'na Giren Sular" üzerine notlar. Türk Kongr. dergisi cilt 6.
- İstanbul RAIL/TUNNEL CONSULTANS (1987): Bosphorus Railroad Tunnel, TASK 203 Hydrographic Survey. Republic of Turkey Ministry of Transport and Communication General Directorate of Railways, Harbours and Airport Construction, "Feasibility Studies and Preliminary Designs Bosphorus Railroad Tunnel and İstanbul Metro System Project". Vol. I-II, (22 May 1987), Prapered by İstanbul Rail Tunnel Consultants a consorsium of Persons Brinc kerhoff International Inc. and PB-TSB Consulting and Eng. Ltd. Temel Mühendislik A.Ş. Tümaş Mühendislik, Müşavirlik ve Müteahhitlik A.Ş., 500p.
- ITÜ (Çeçen, K.; Bayazıt, M. Sümer, B.M.; Güçlüler, S.; Yüce, H.) (1981): "İstanbul Boğazı'ının Oşinografik ve Hidrografik Etüdü- 1", TBTAK Su Alma Tesisleri Ünitesi, Kesin Rapor No:24, 166s
- METU (Özsoy, E.; Oğuz, T. Latif, M.A.; Ünlüata, Ü) (1986): "Oceanography of the Turkish straits, First Annual Report, V.I.". Erdemli, İçel, Middle East Technical University, Institute of Marine Science, 269p.
- METU (Özsoy, E.; Oğuz, T. Latif, M.A.; Ünlüata, Ü; Sur, H.İ; Beşiktepe, Ş.)) (1988): "Oceanography of the Turkish straits, First Annual Report, V.I.". Erdemli, İçel, Middle East Technical University, Institute of Marine Science, 110p
- Özturgut, E. (1971). İstanbul Boğazı'ının Fiziksel Oşinografisi (Doktora Tezi). İstanbul Üniversitesi, Coğrafya Enstitüsü.

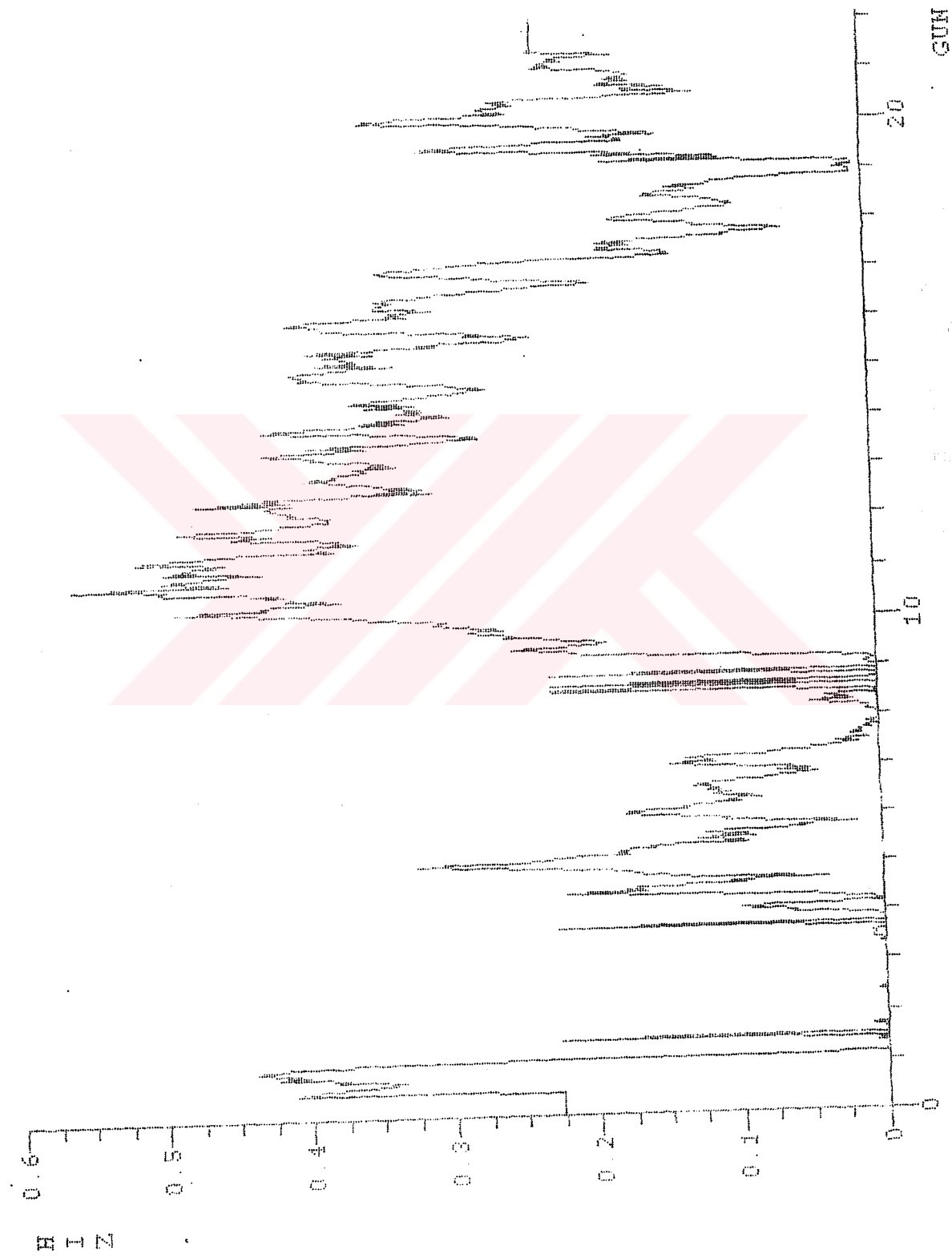
- Pektaş, H. (1953): İstanbul Boğazı'nda ve Marmara Denizi'ndeki Yüzey Akıntıları. İstanbul Üniversitesi, Fen Fakültesi Hidrobiyoloji Araştırma Enstitüsü yayını, seri A, cilt 1, no:4, s.154-169
- Pektaş, H. (1954): "Boğaziçi'nde Satılık Altı Akıntıları ve Su Karışımıları" Washington, D.C., U.S. Weather Bureau, 27p.
- Sümer, B.M.; Bakioğlu, M. (1981): "Sea- Strait Flow With Special reference to Bosphorus", İ.T.Ü İnşaat Fakültesi.
- TMMOB (1987): "Spektral Analiz ve Jeofizik Uygulamaları". TMMOB Jeofizik Mühendisleri Odası Eğitim Yayınları, (Editörler: N.Canitez, U.Yaramancı, H.Özdemir). No 1, 570s.
- Uslu, O; Orhon, D.; Ünlüata, Ünal Filibeli, A. (1990): İstanbul Boğazı Akıntılarının ve Kentsel Atık Sularının Marmara Denizi Kirliliğine Katkılarının Bilançosu, Çevresel Etki Değerlendirme Raporu (İSKİ için hazırlanmıştır.). İzmir, Dokuz Eylül Üniversitesi, Mühendislik- Mimarlık Fakültesi, 160s.
- Yüce, H. (1986): İstanbul Boğazı'ndaki Su Seviyesi Değişimleri. İstanbul, İstanbul Üniversitesi, Deniz Bilimleri Enstitüsü dergisi. Cilt 2, Nr. 3s.67-78.



9.EKLER

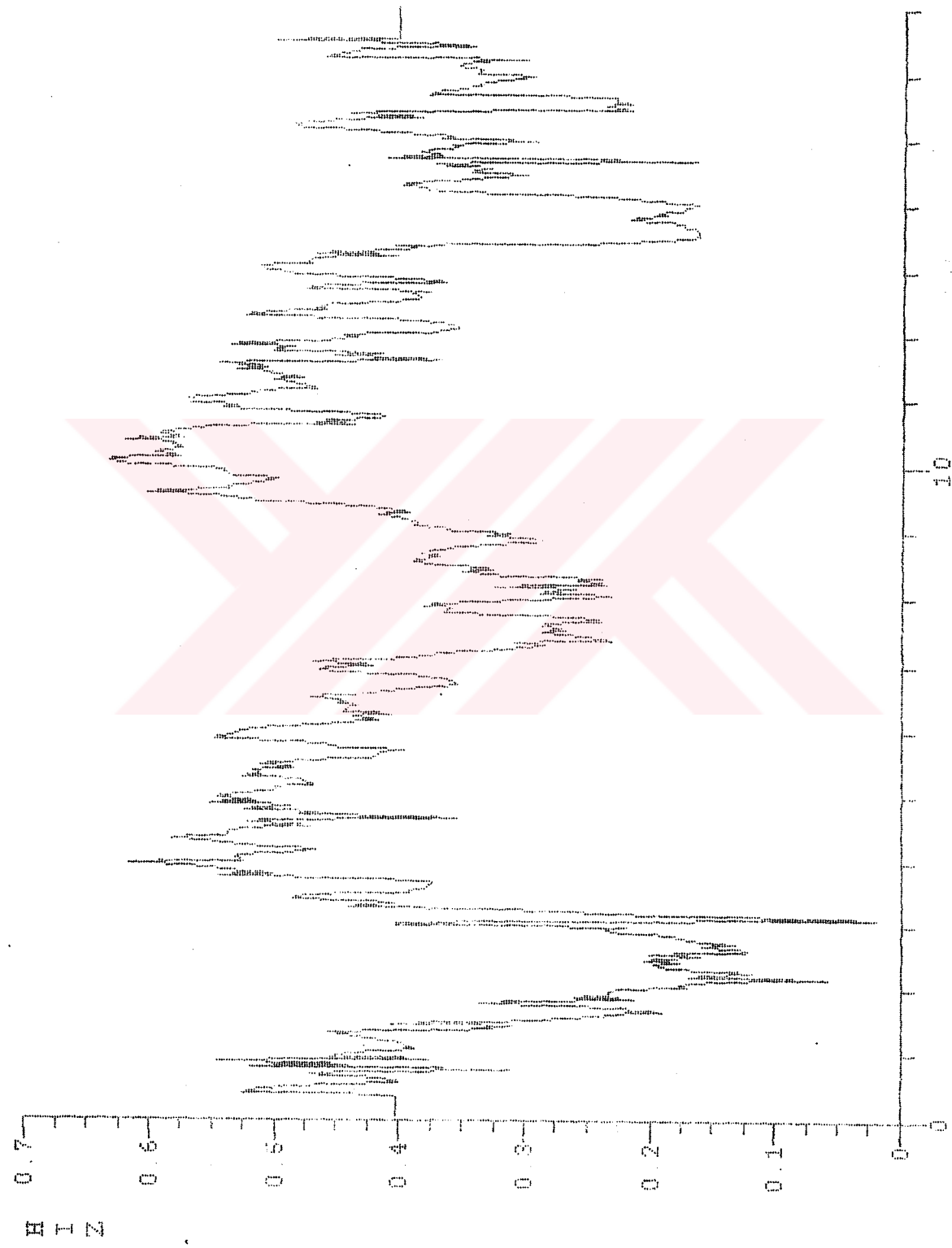
EK-1 · AKINTI HIZI VE SEVİYE FARKI VERT KUTUKLERİ GRAFİKLERİ

KG1MR1D1



“BİNALIYLU KAYAĞI” AKMİNİ FİLAZ ÜLÜĞÜLERİ (m/Sn)

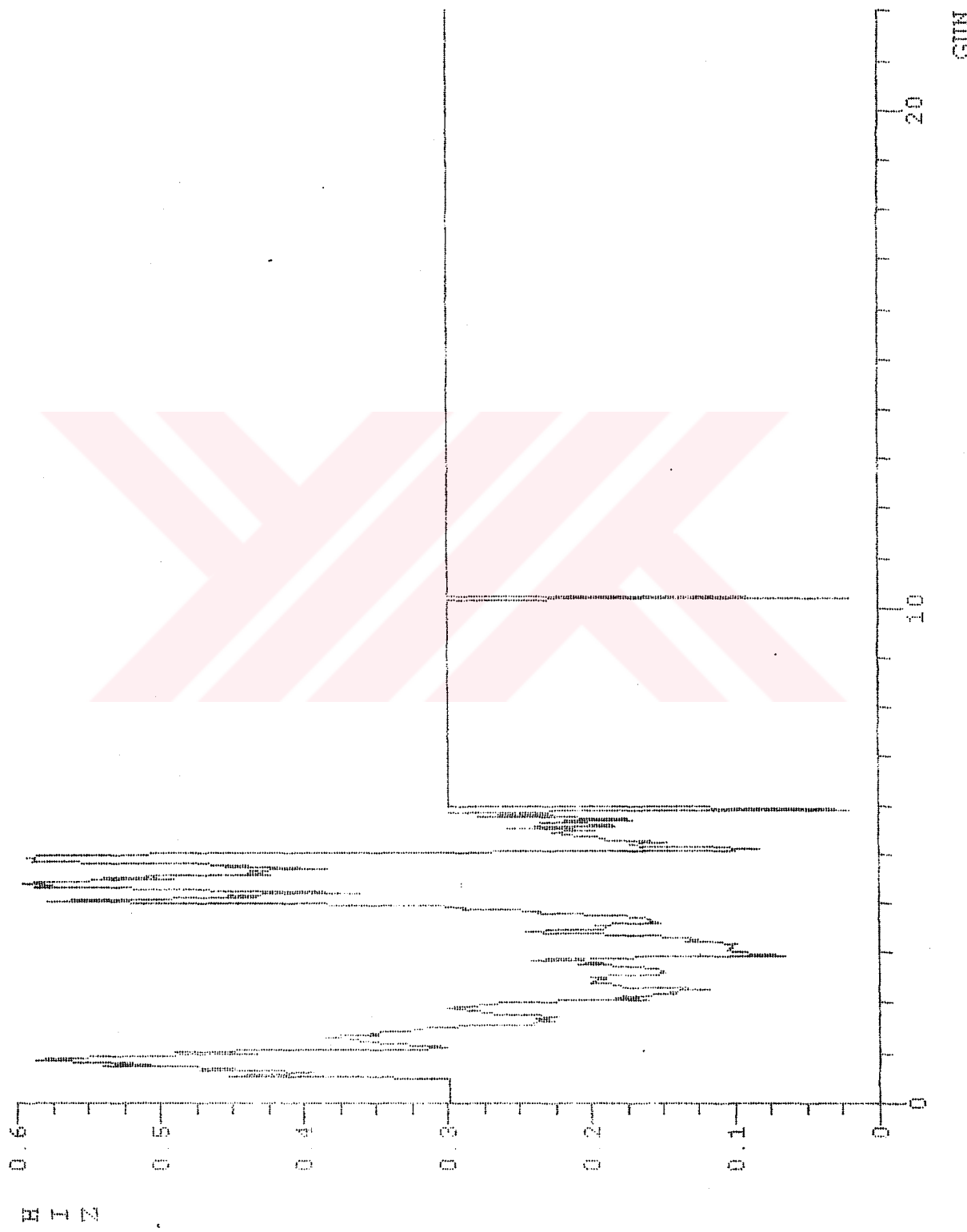
KG1MR2D1



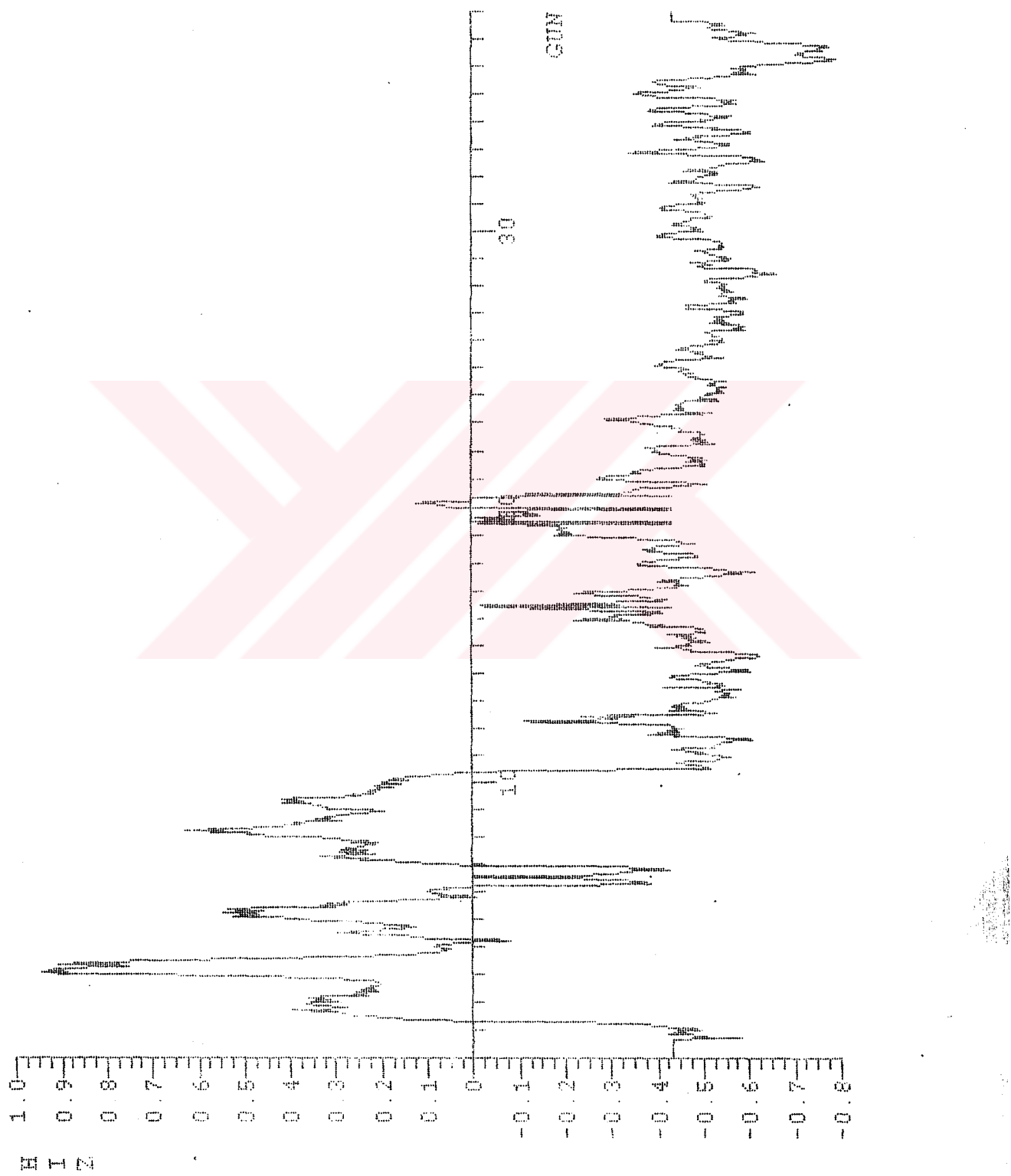
GIN

"ANADOLU KAVAGI" AKINTI HIZI OLCEMLERI (m/sn)

KGIMNRSD1



KG2MIR1D2

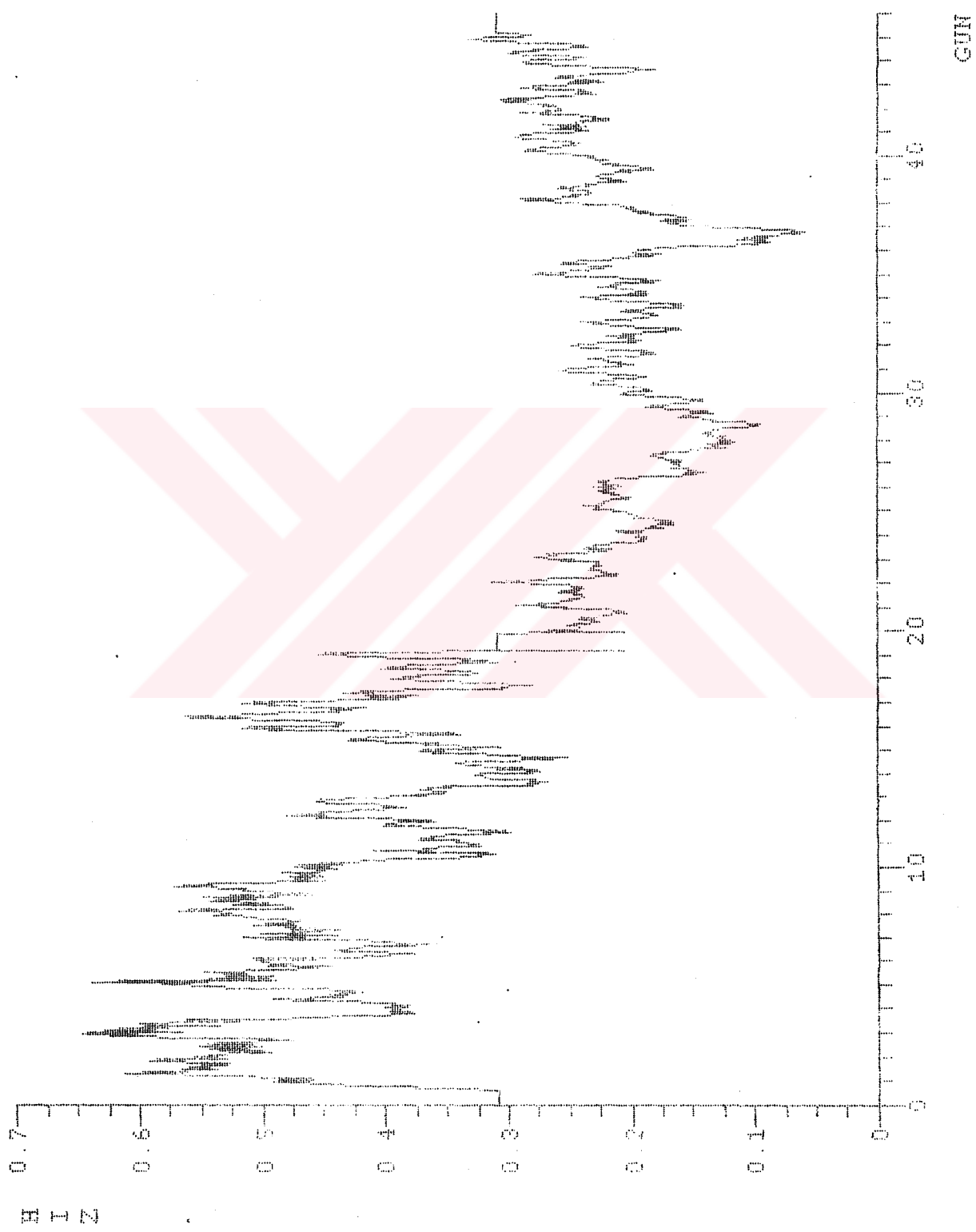


SHM
SHM
SHM
SHM
SHM
SHM
SHM

KG2MR3DZ

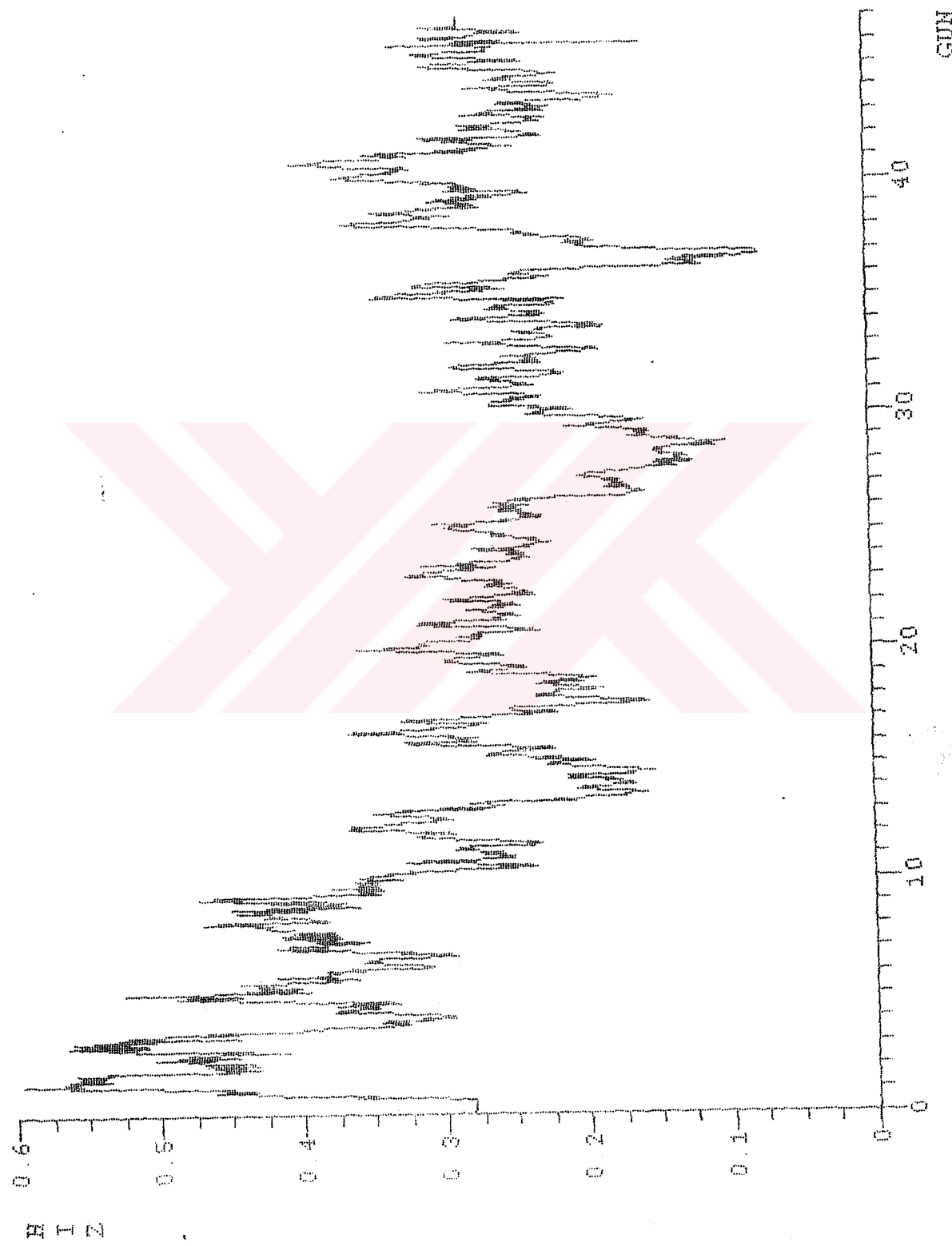


KG2MR4DZ



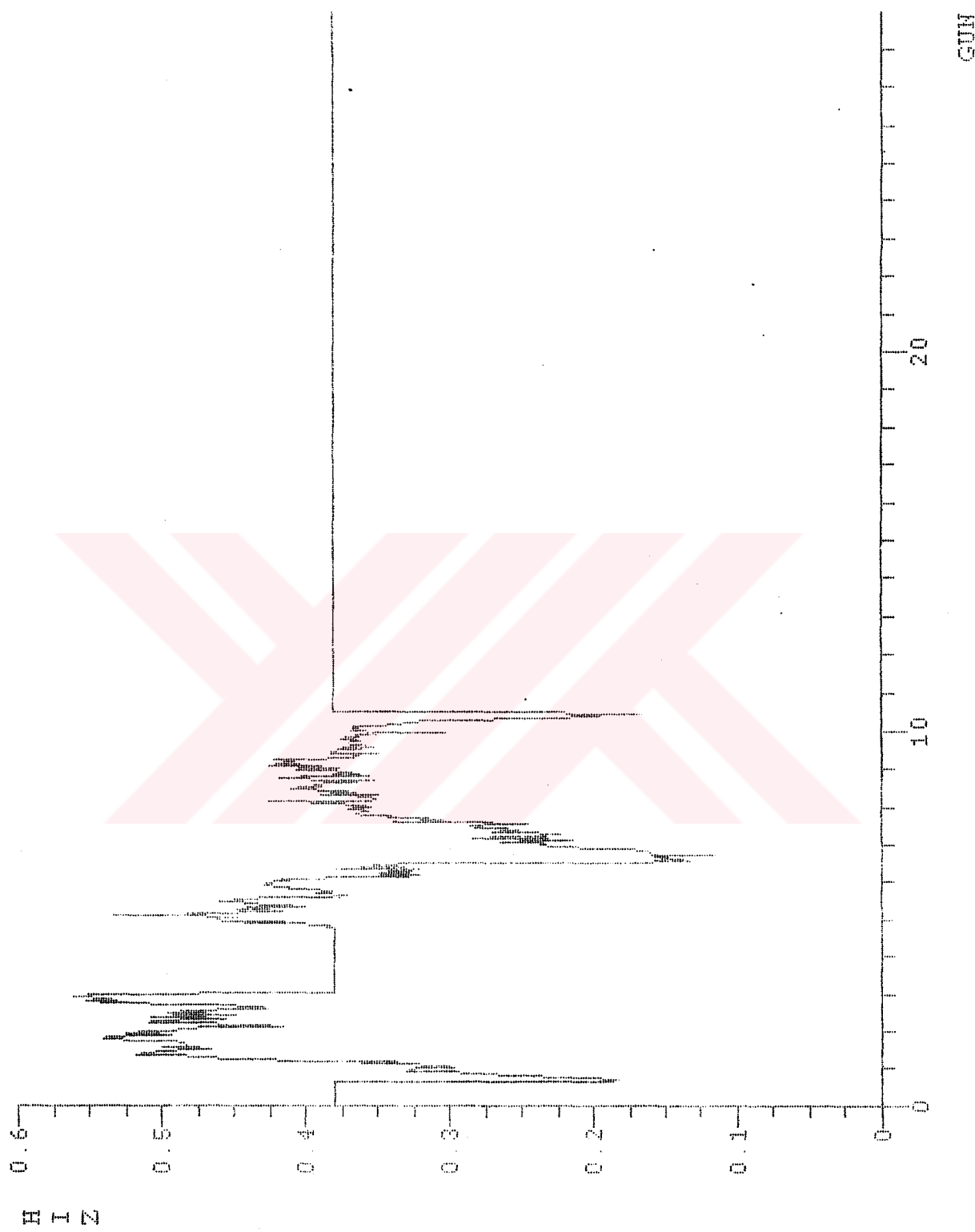
ANSWER PAGE

KG2NMR5D2



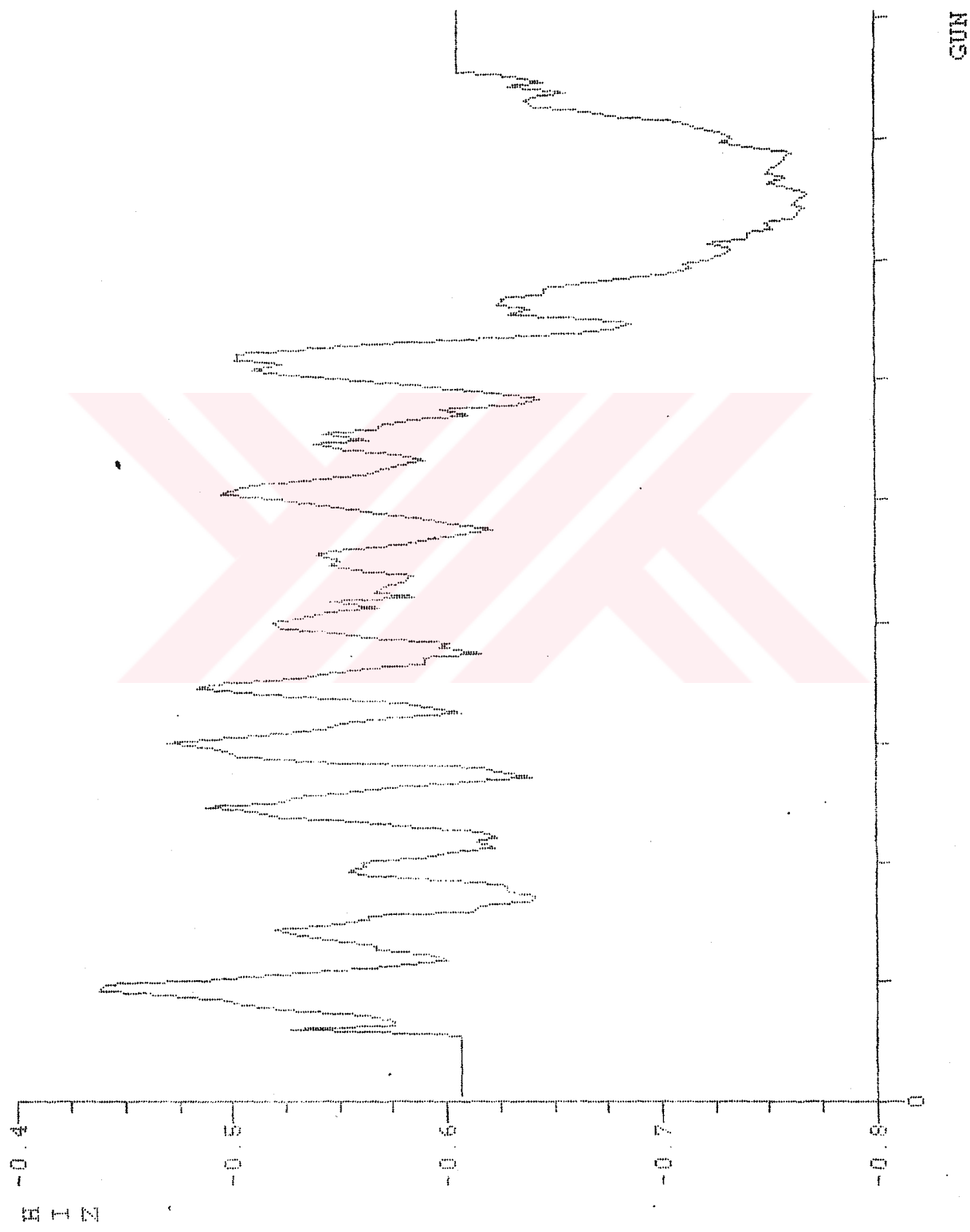
"ANADOLU KAVAGI" AKINTIN HIZLI ULUSLULARA (M/SU)

KG2MR6D2

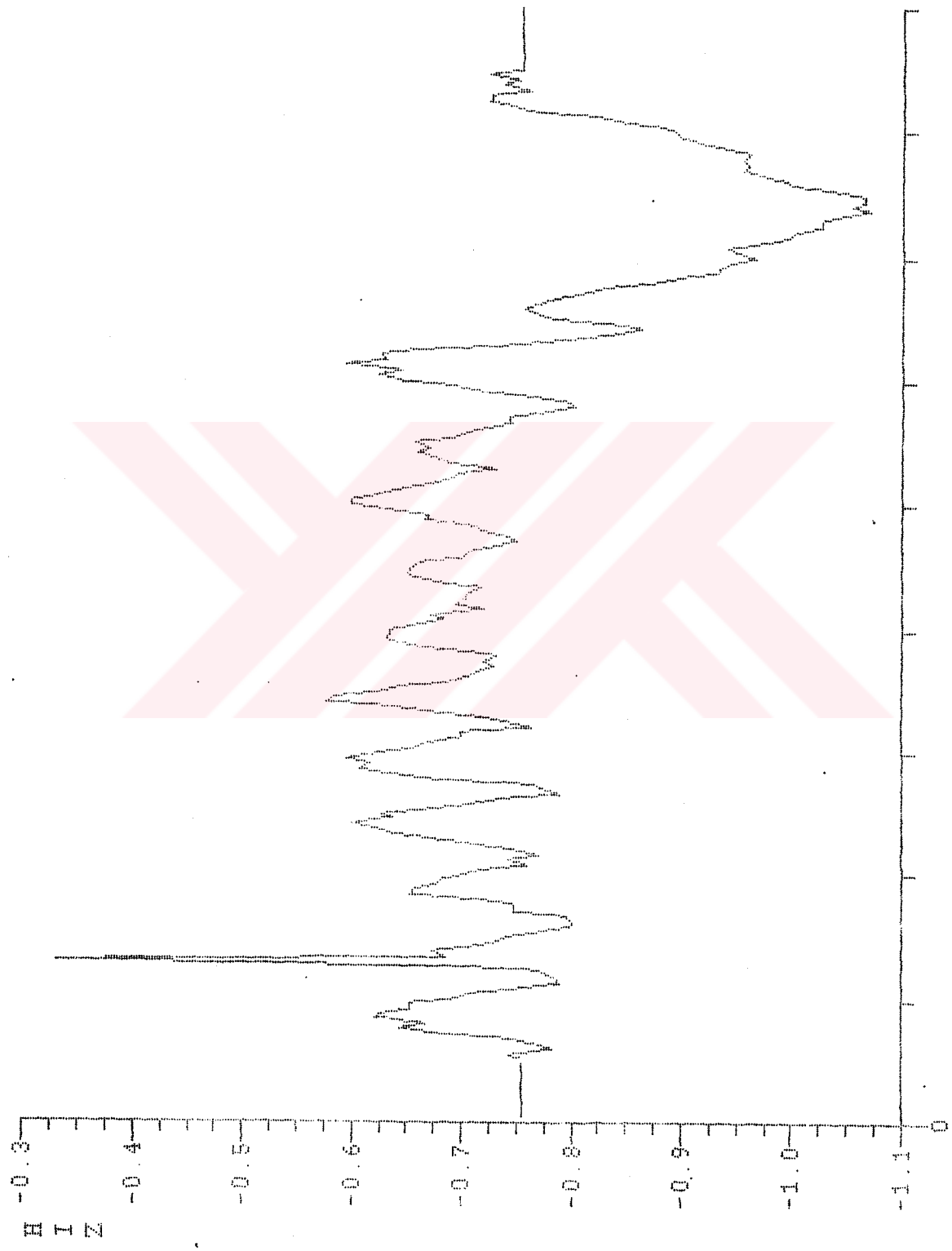


"ANADOLU KAVAGI" AKMENI TILGI ULUSLARARASI YARIŞMA

KGSBIRDS

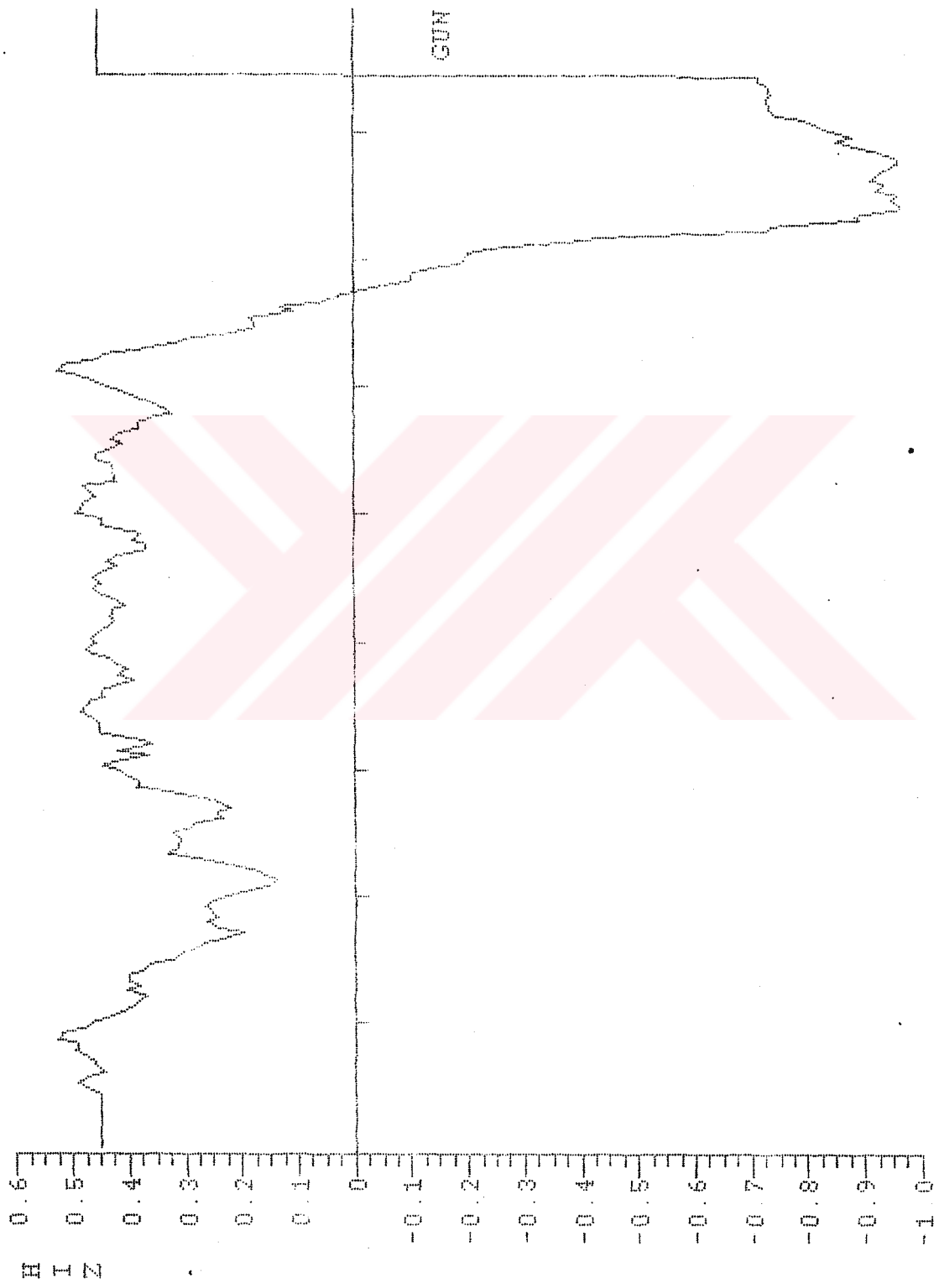


KG3MNR2D3



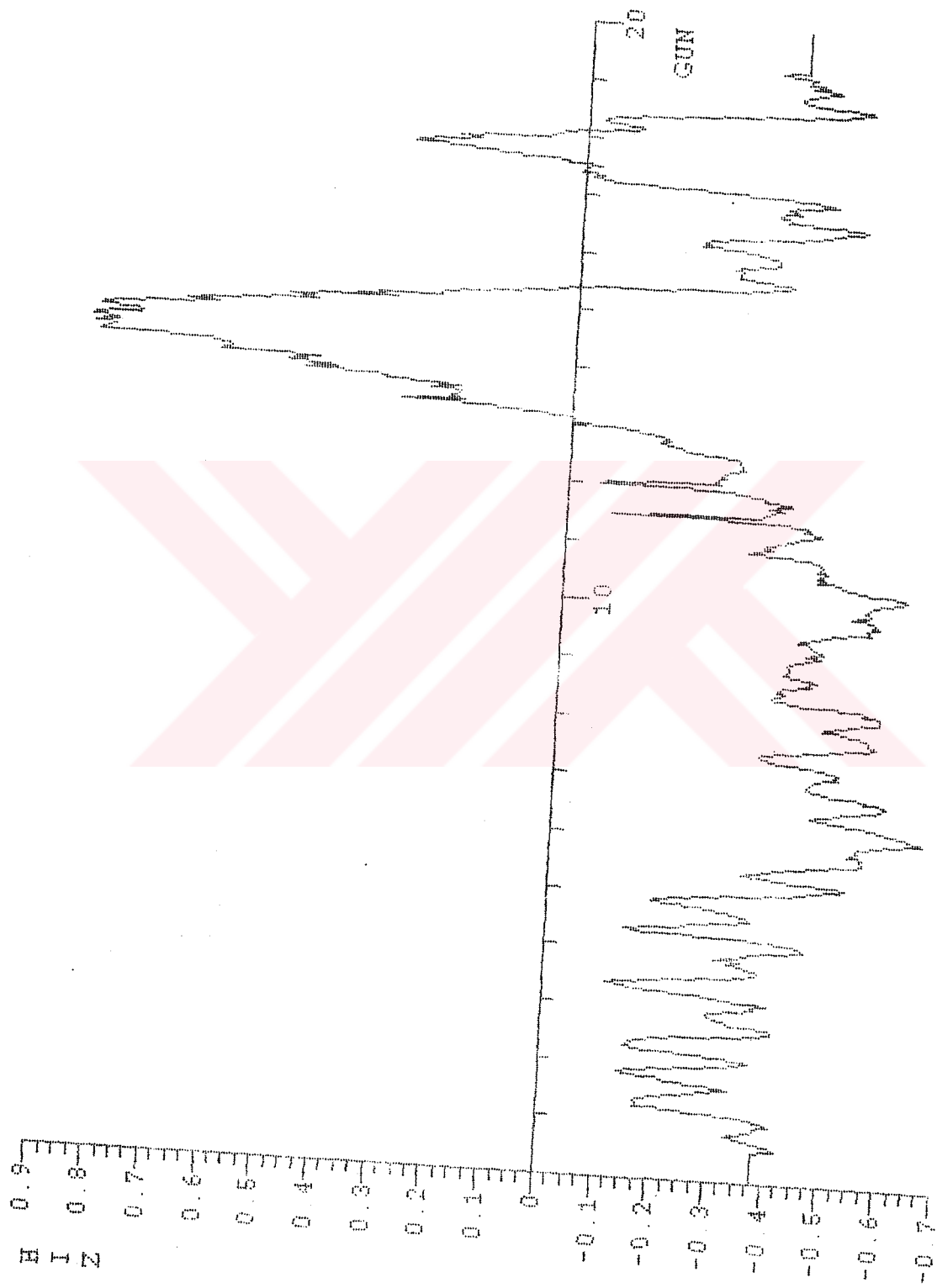
KG3
MNR2D3

KG3NRP3D3

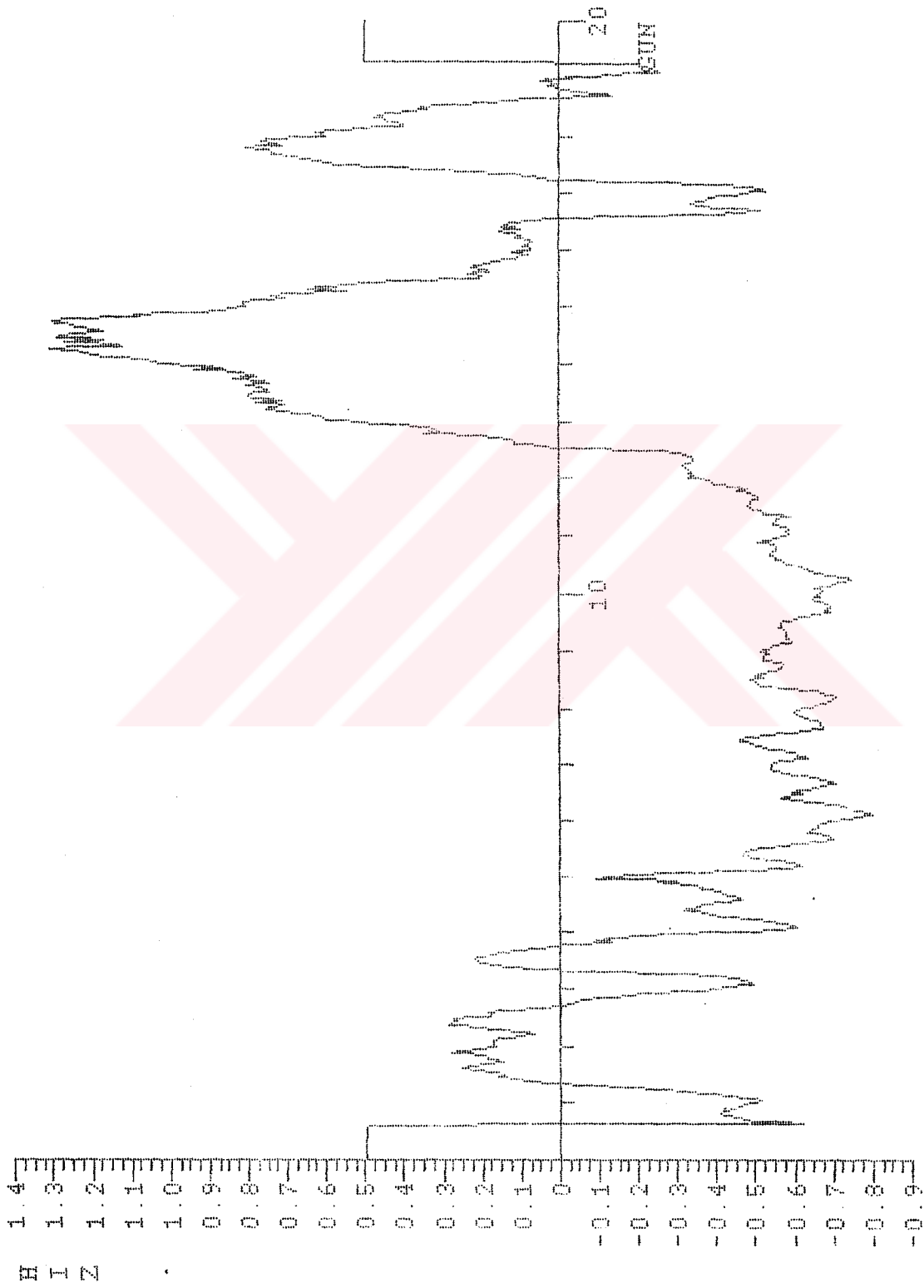


"AMADOLU KAVAGI" AKINTI HIZI ÖLÇÜMLERİ (m/sn)

KG4MR1D4

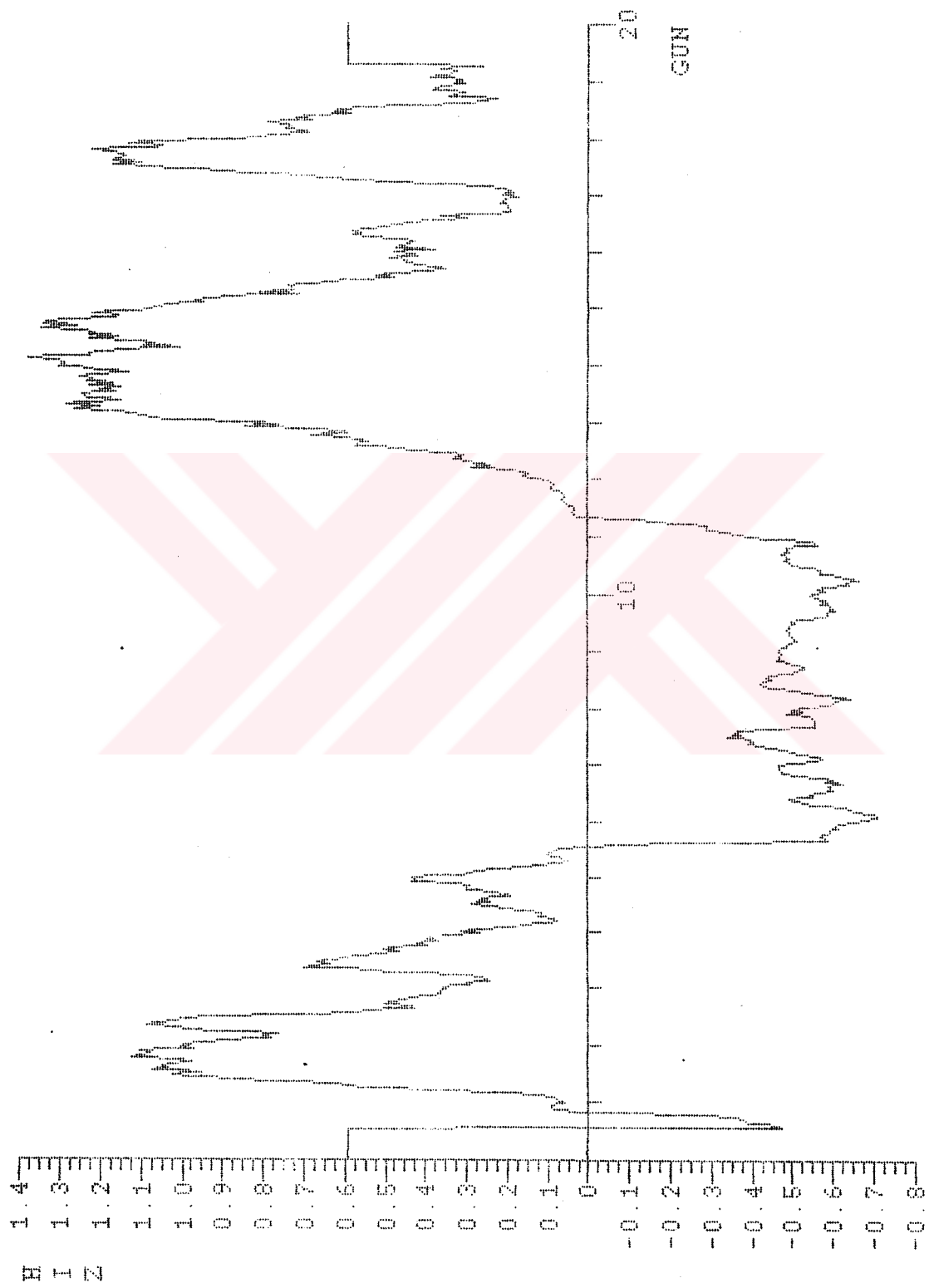


KG-4MR2D4



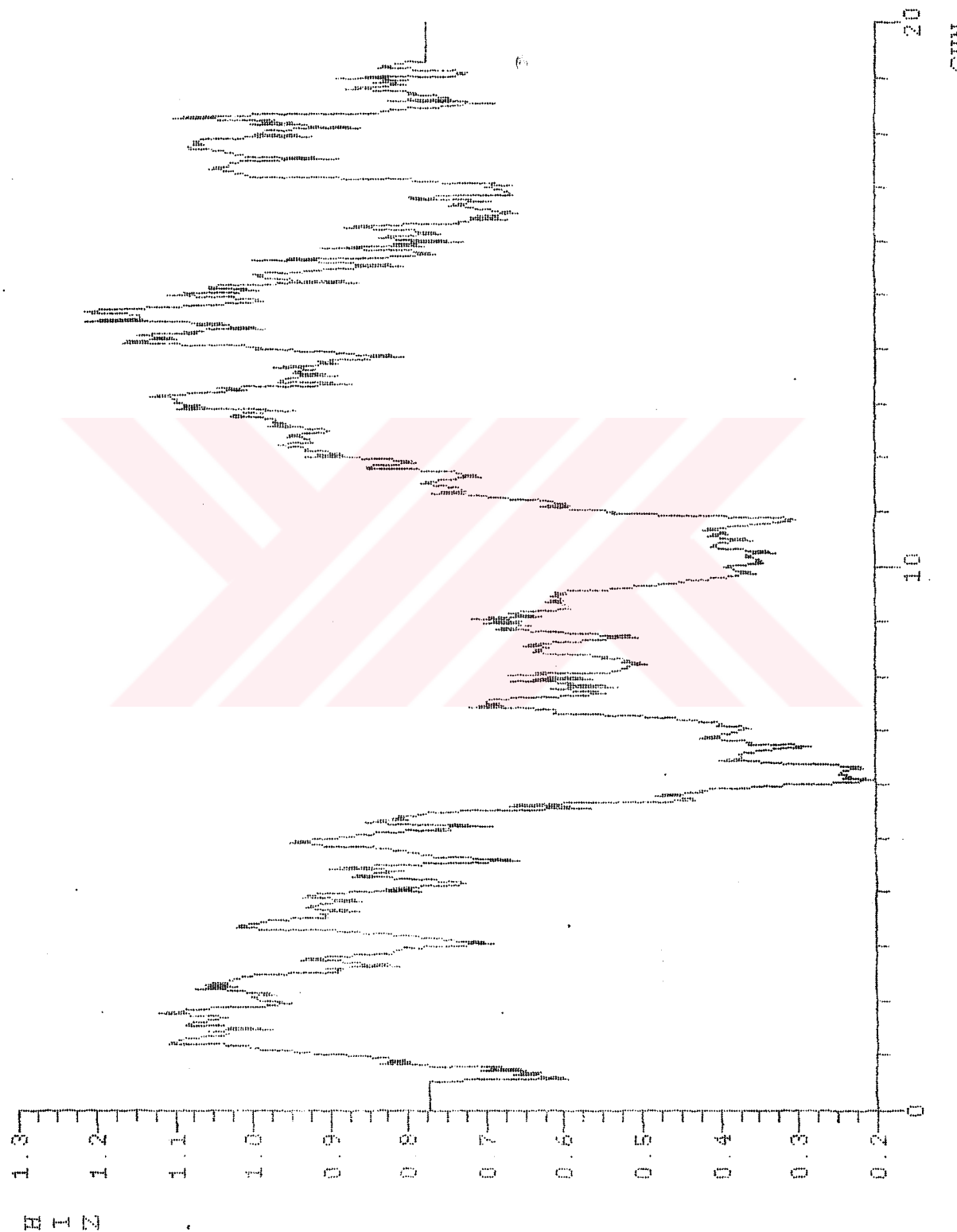
"AKADOLU KAVASI" AKINTI HIZI OLCLIMLERI (m/sn)

KG34NR3D4



KG4NR4D4

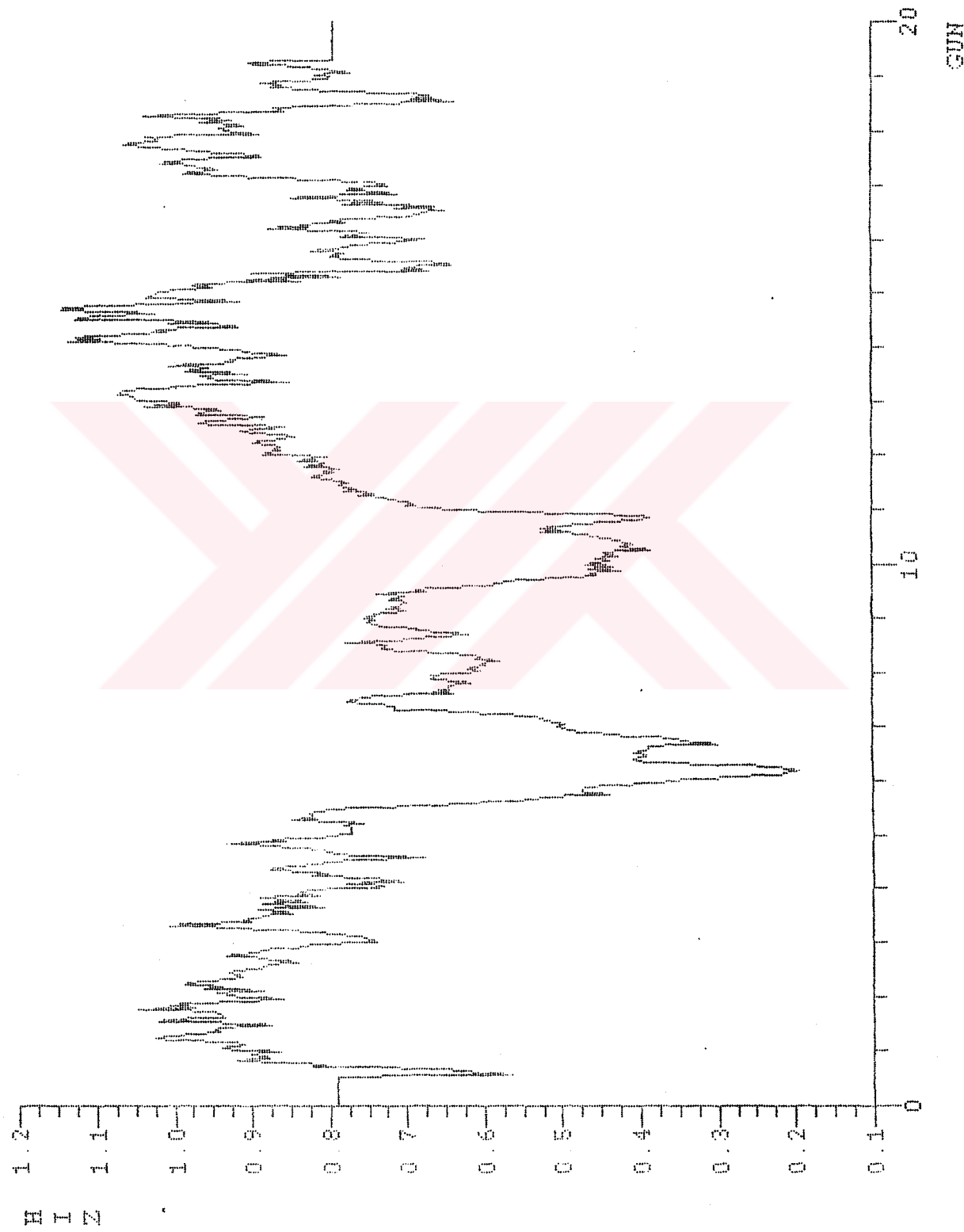
PHOTOULI PIAVESCHI PILLI TITANIO VETRI



GUE

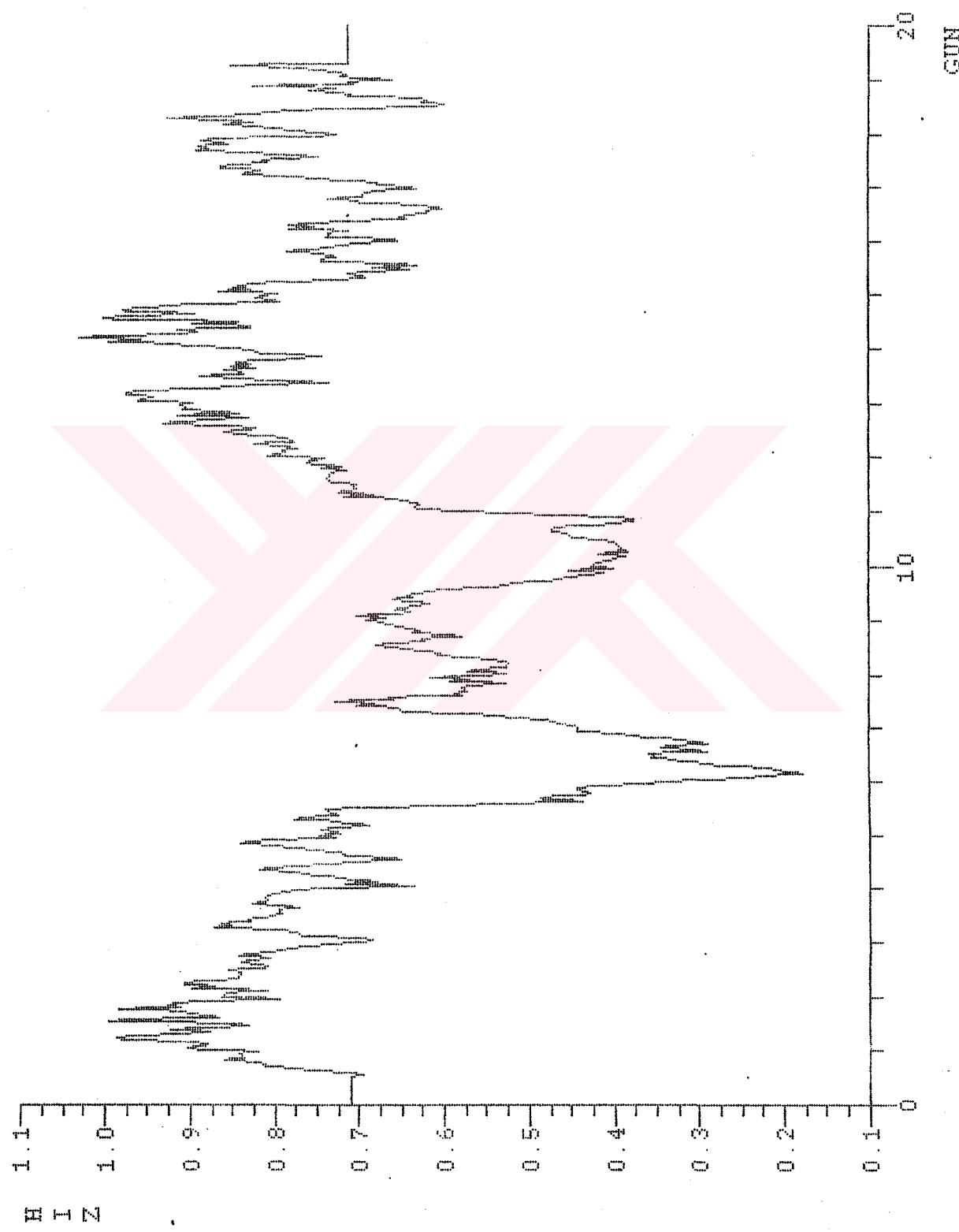
"ANADOLU KAWAGI" AKINTI HIZI OLÇÜMLERİ (m/sn)

KG-4NP5D 4



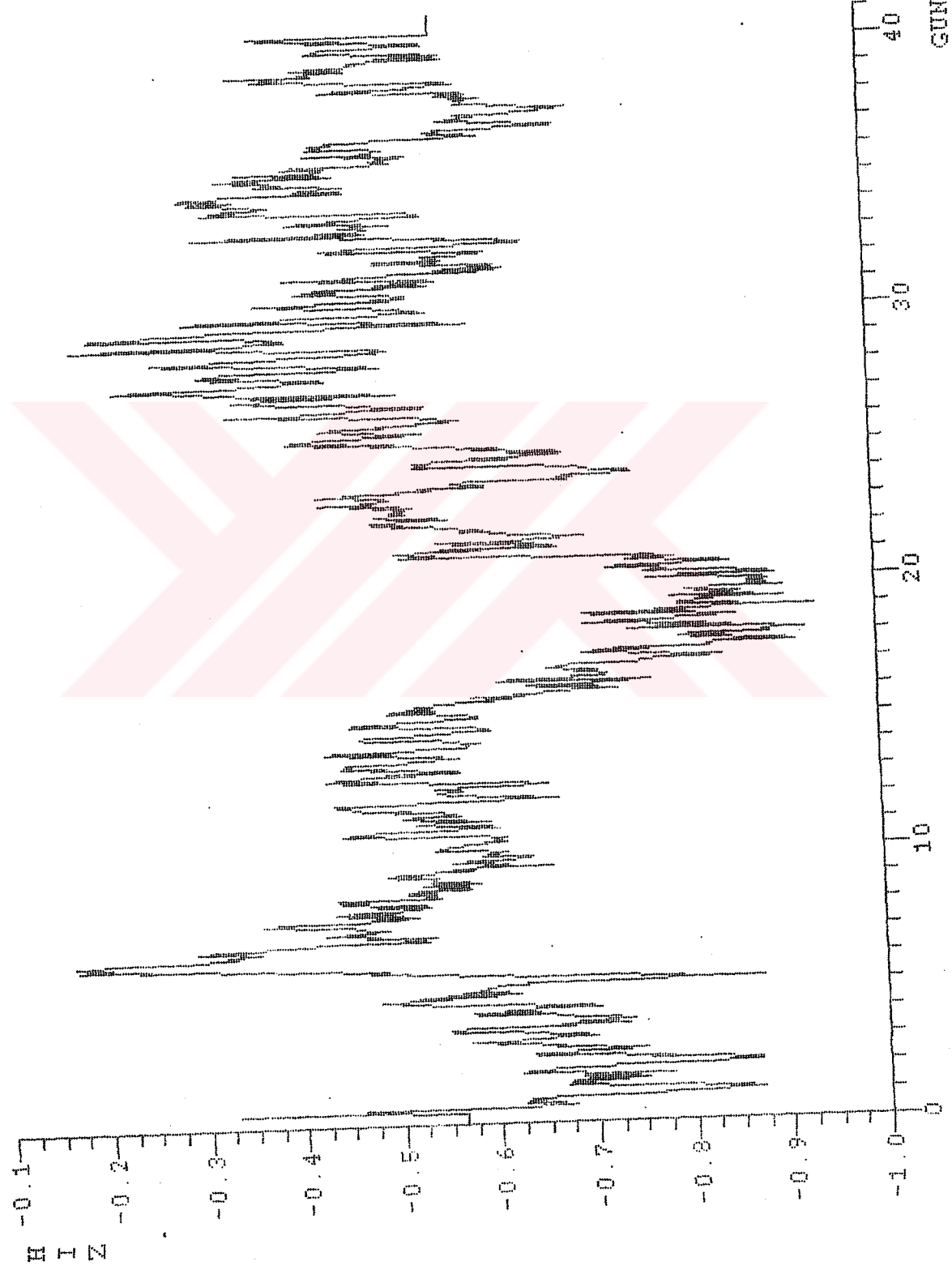
"ANADOLU KAVAGI" AKINTI HIZI OLÇÜMLERİ (m/sn.)

KG 4NB 6D4

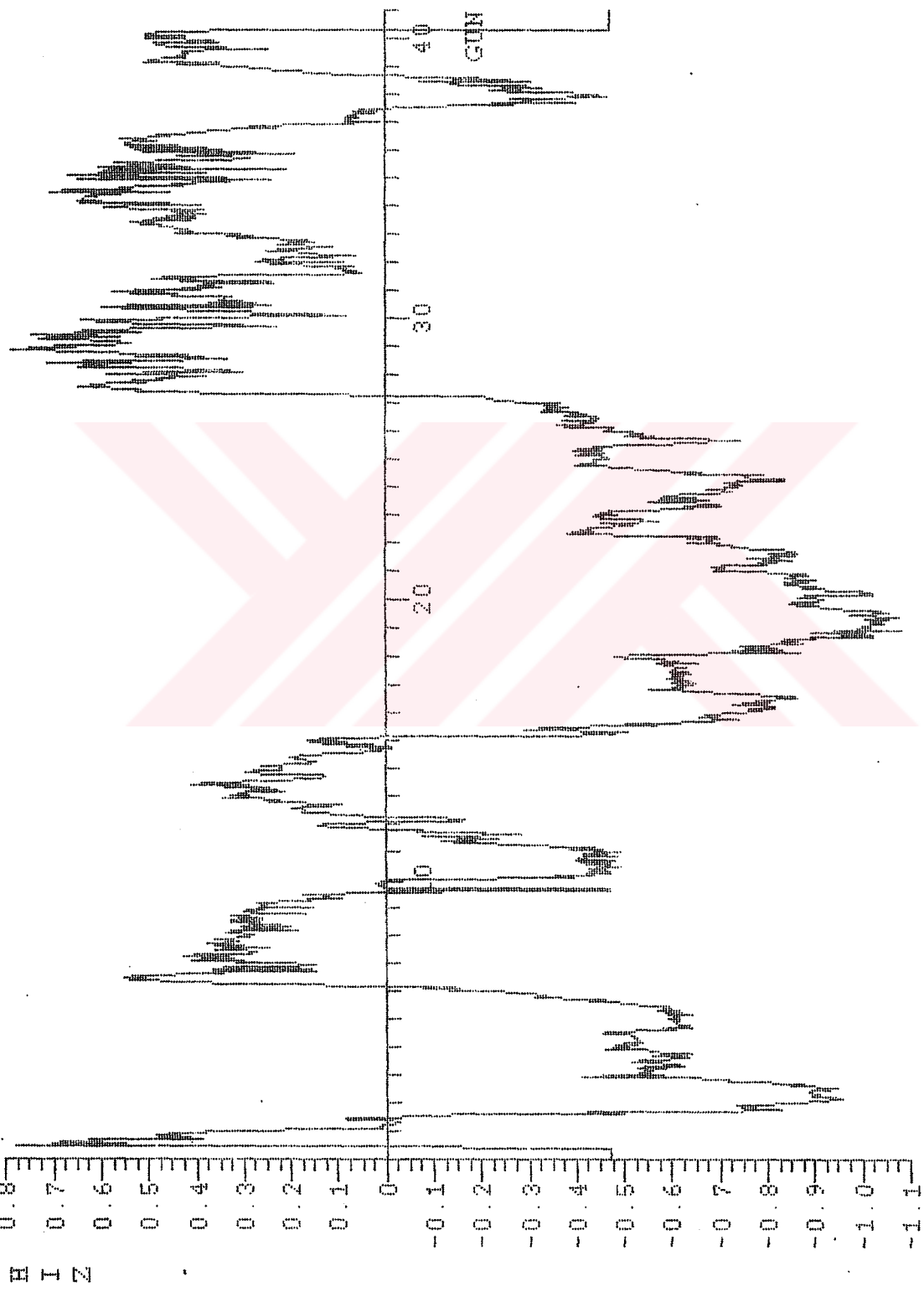


"ANADOLU KAVAGI" AKINTI HIZI OLCLMLERI (m/sn)

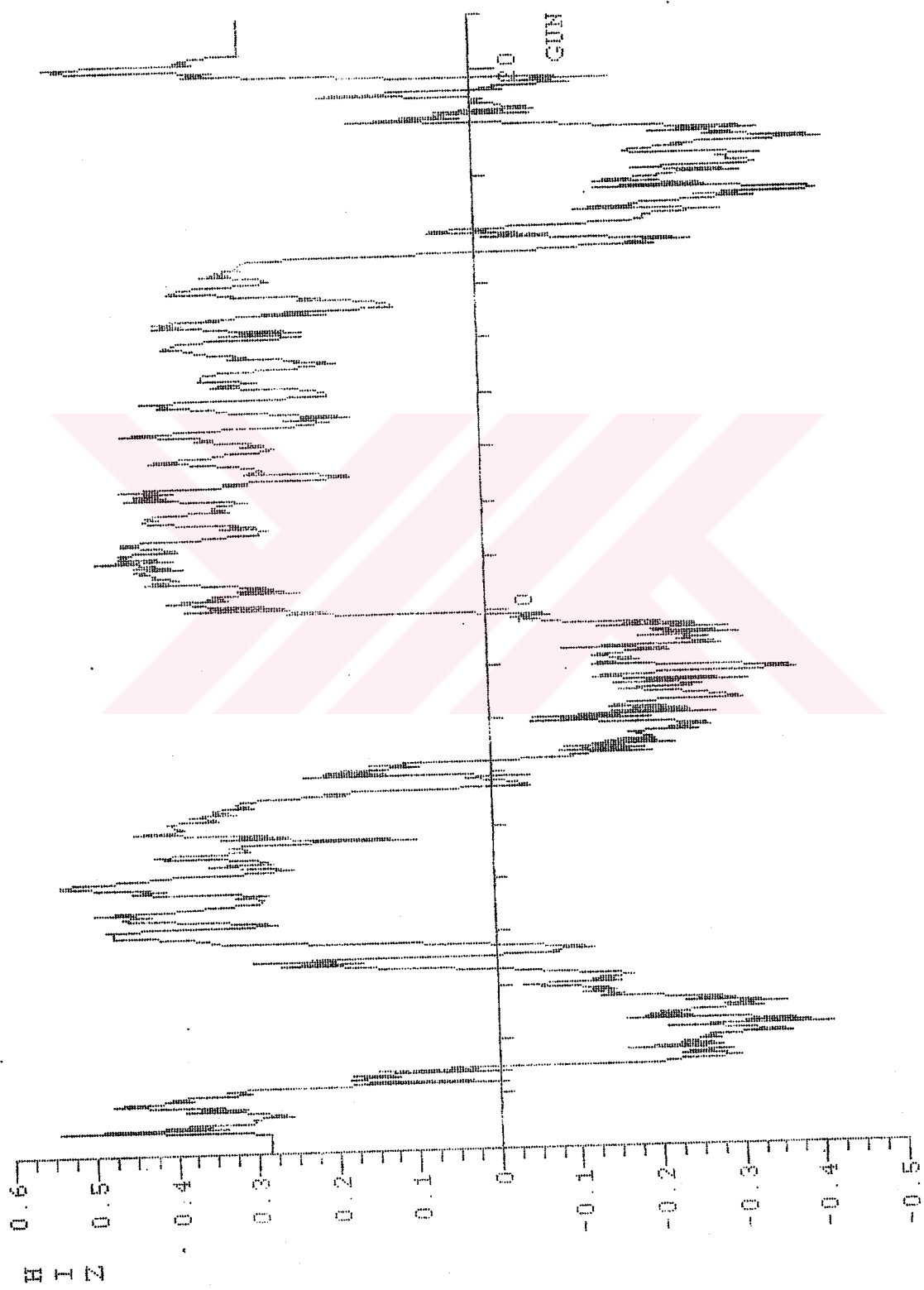
KG5MR1D5



KG5NBR2D5

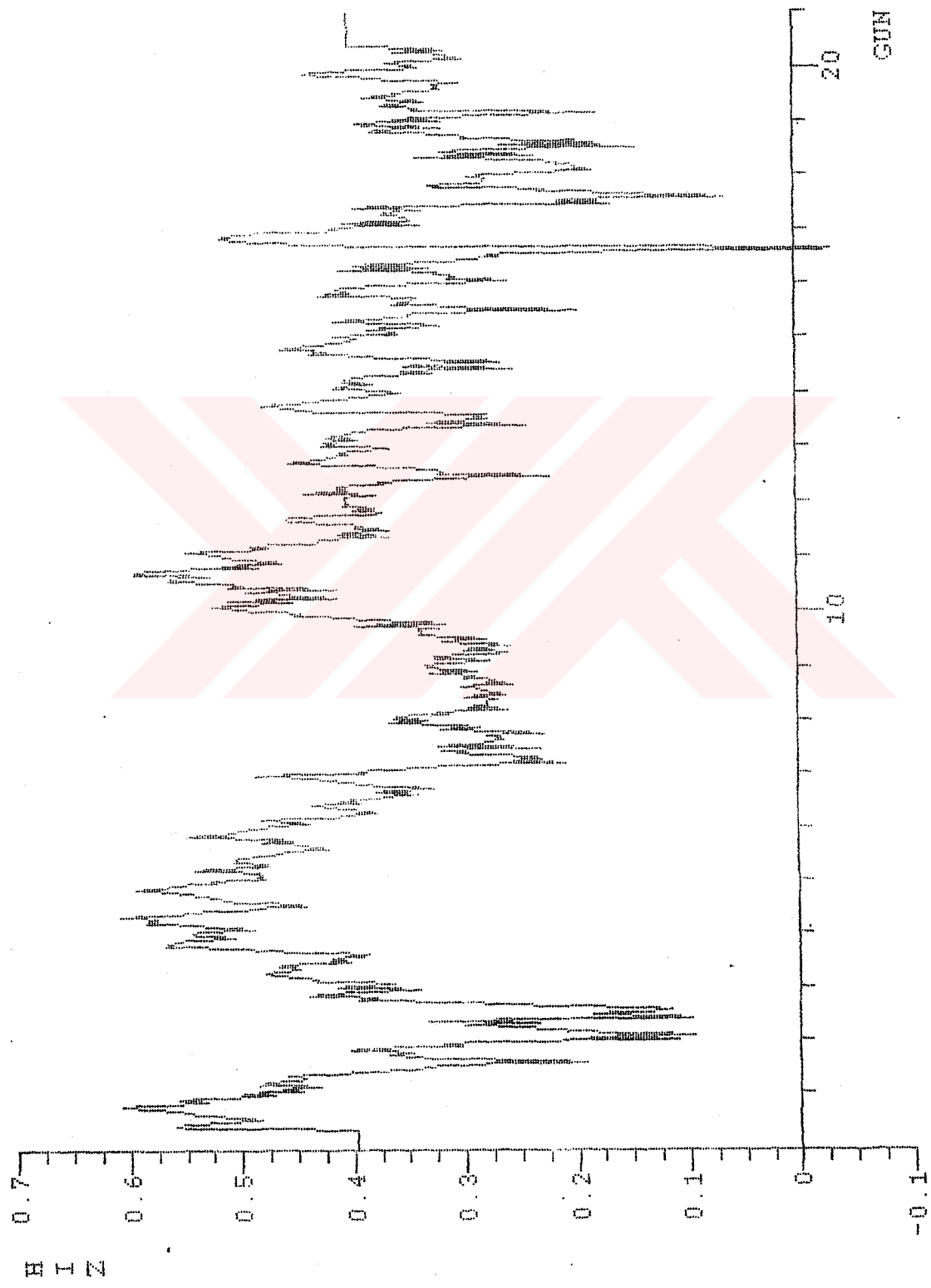


"PASABAHEE" SKIN 1 LINE 1
PK1NR1D1



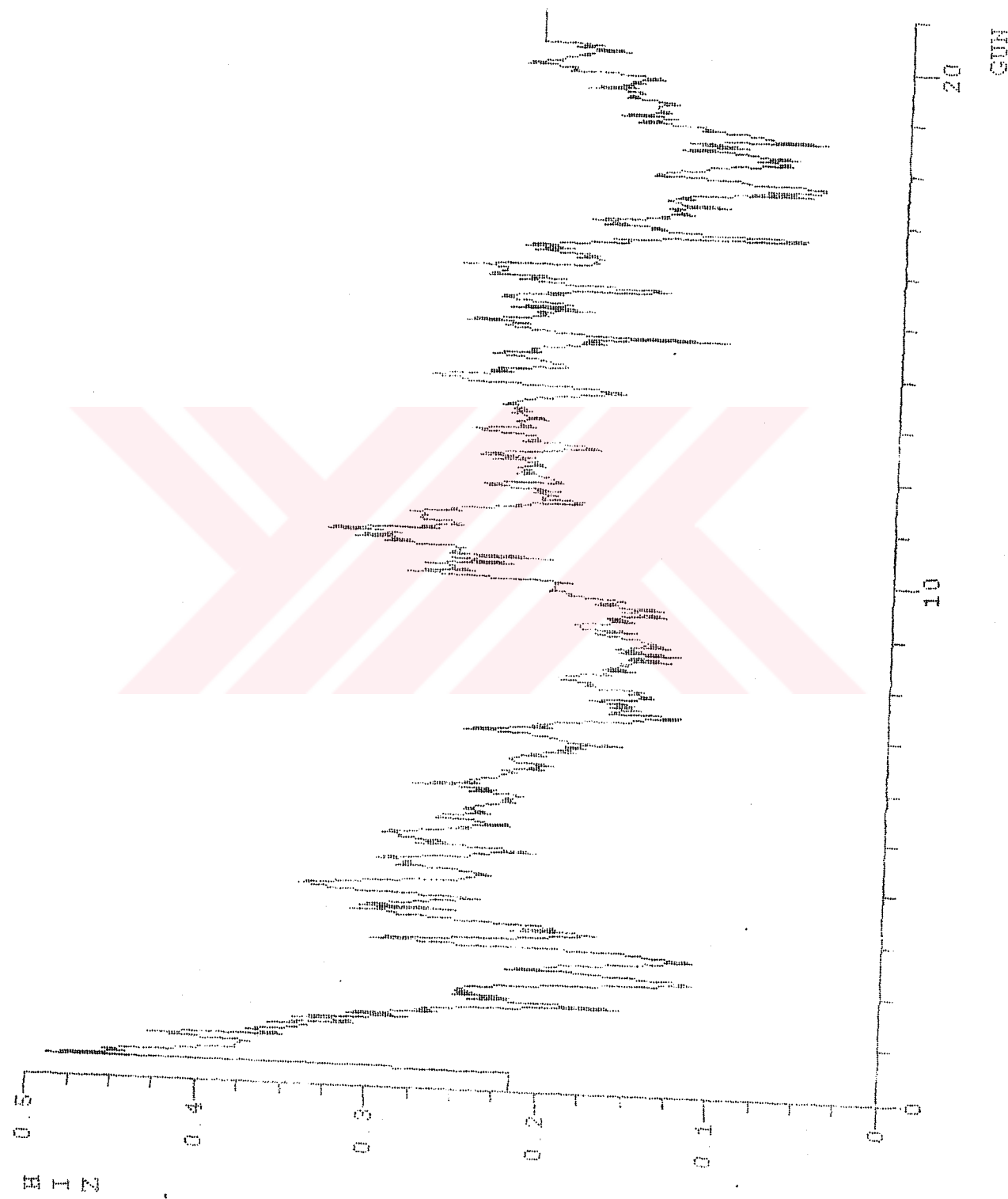
"PASABAHCİ" AKINTI HIZI OLÇÜMLERİ (m/sn)

PK 4INR2D1



"PASABAHCİ" AKINTI HIZI OLÇÜMLERİ (m/sn)

PK. 1135



"BALTAZMANI" AKINTI HIZI OLÇÜMLERİ (m/sn.)

BL 1 MRIDI

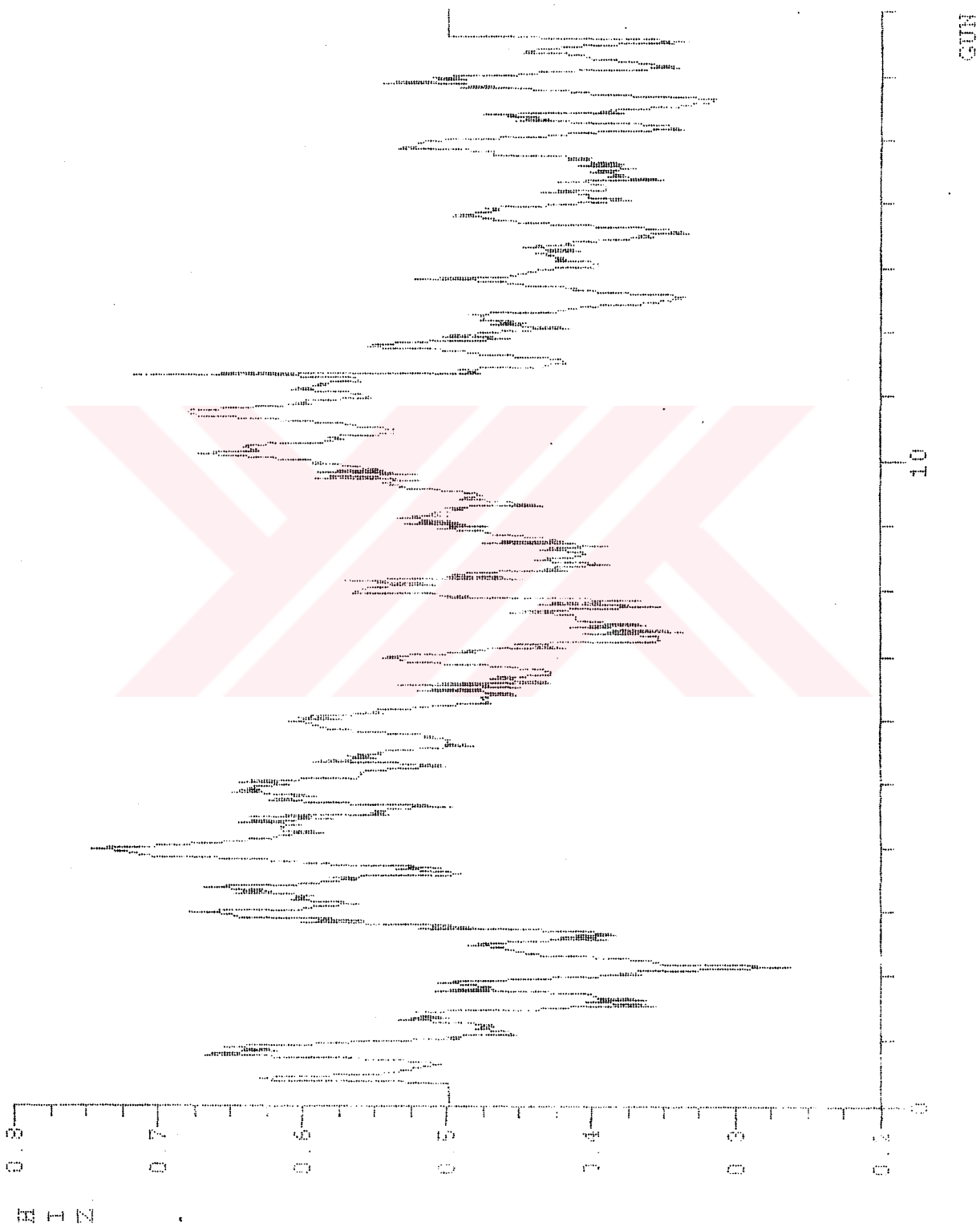


REBALTA LIMANINI ARKINTİ HİZI OLÇÜMLERİ (m/sn.)

BL 1 MR2 D1

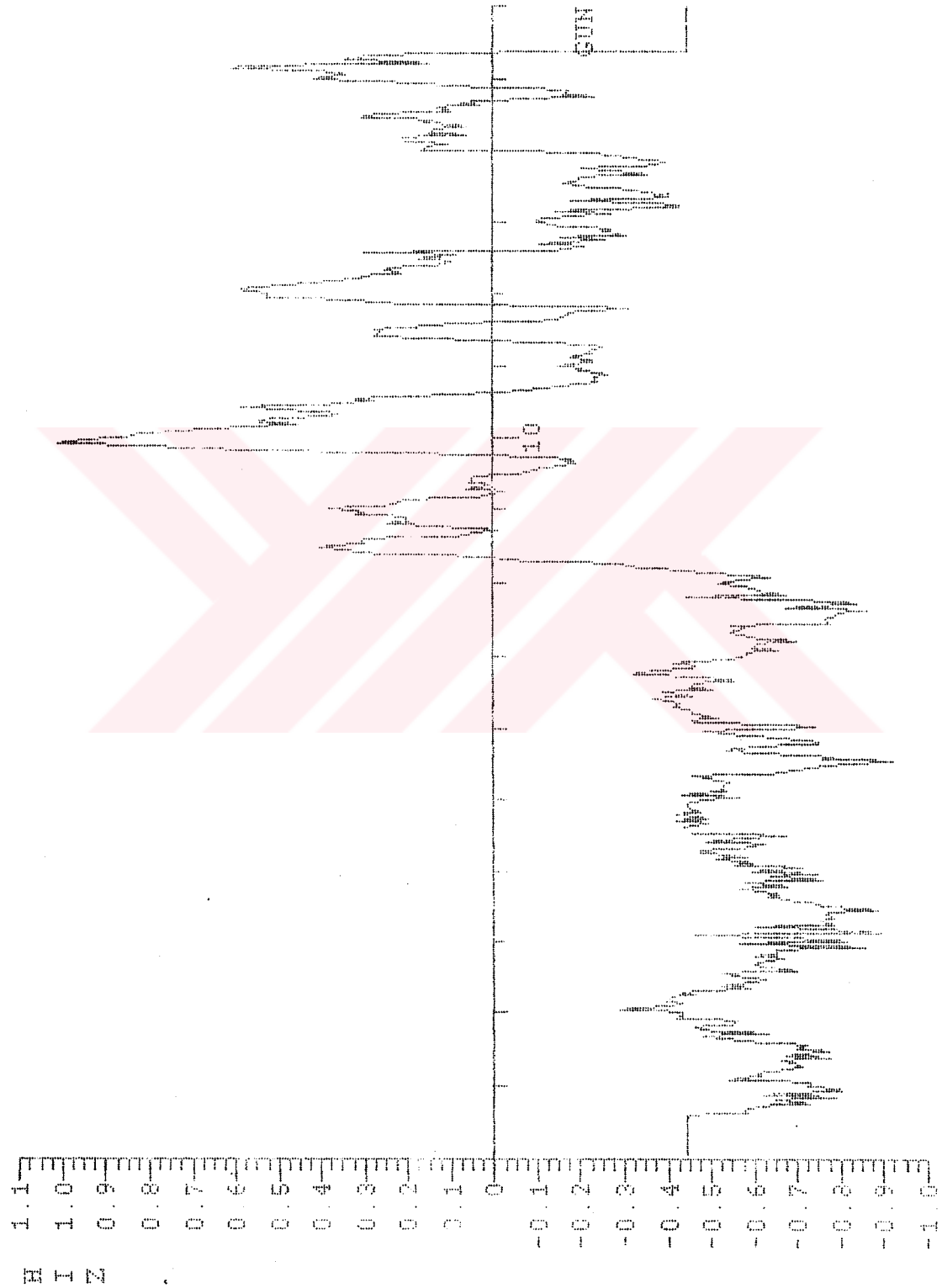


BL1MR3D1



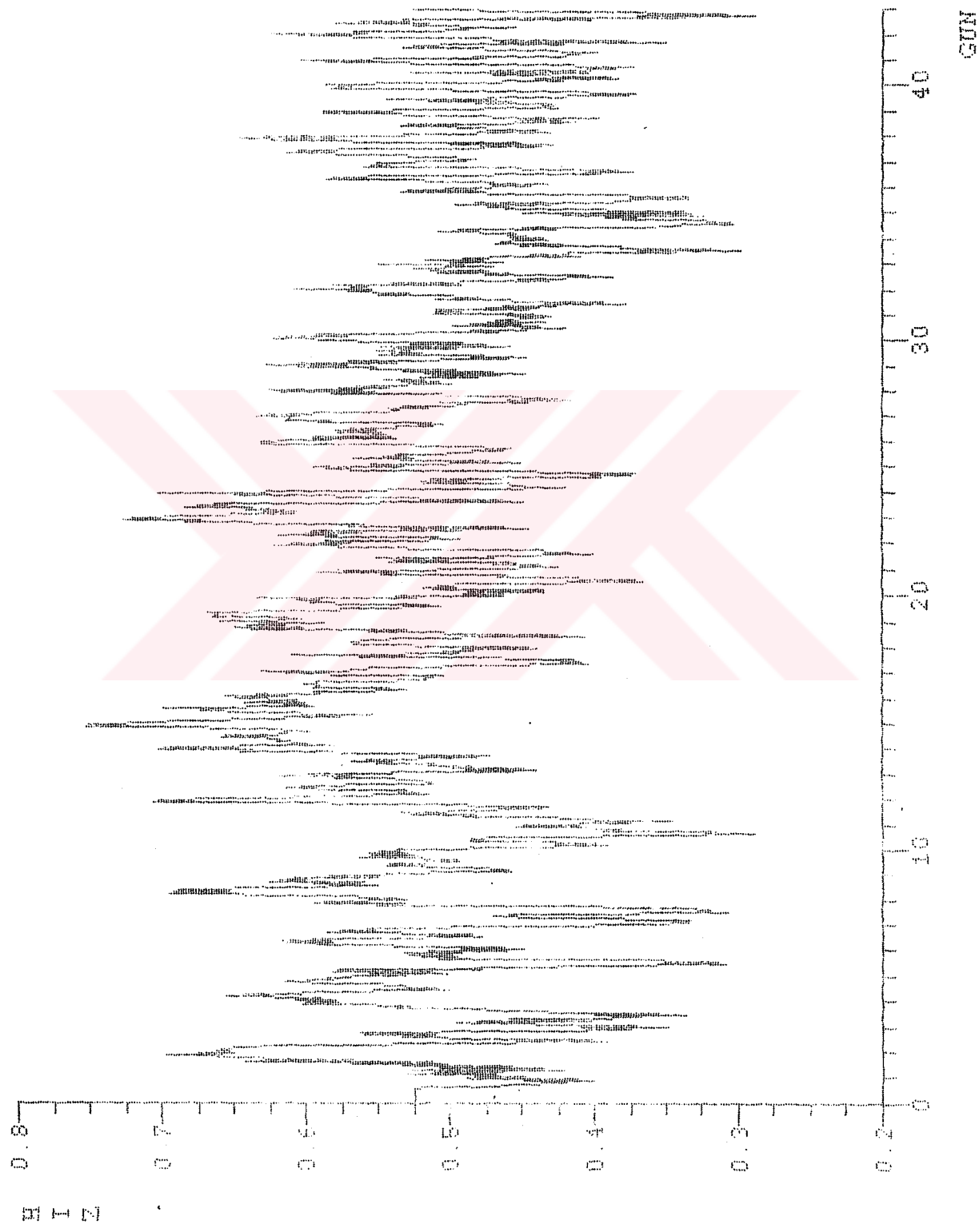
"BALTIMARİ" AKINTI HİZI OLÇÜMLERİ (m/sn)

BL ZNR ID 2



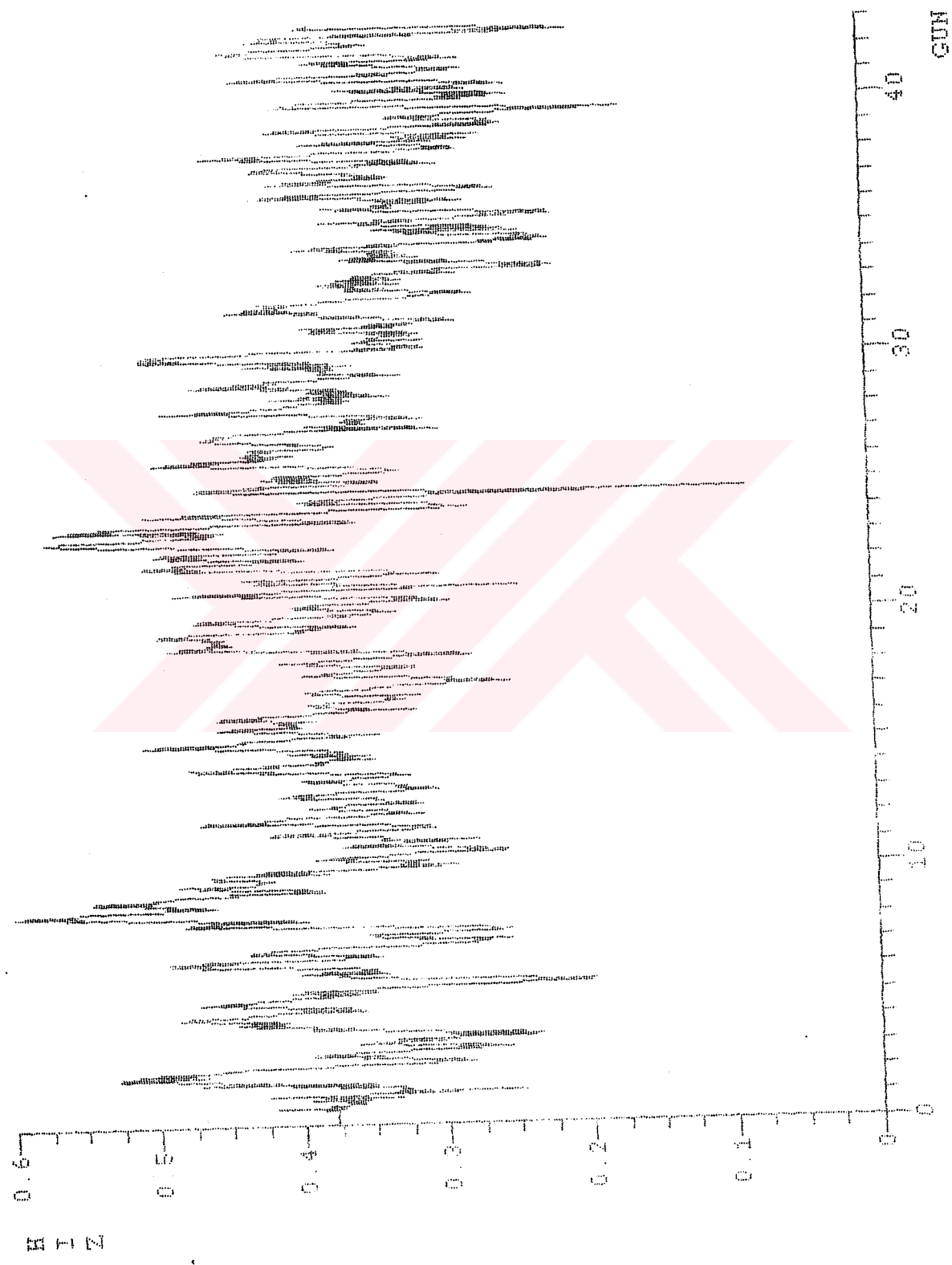
"BALTAZARI" AKINTI HIZI OLÇÜMLERİ (m/sn)

BL2NR2D2

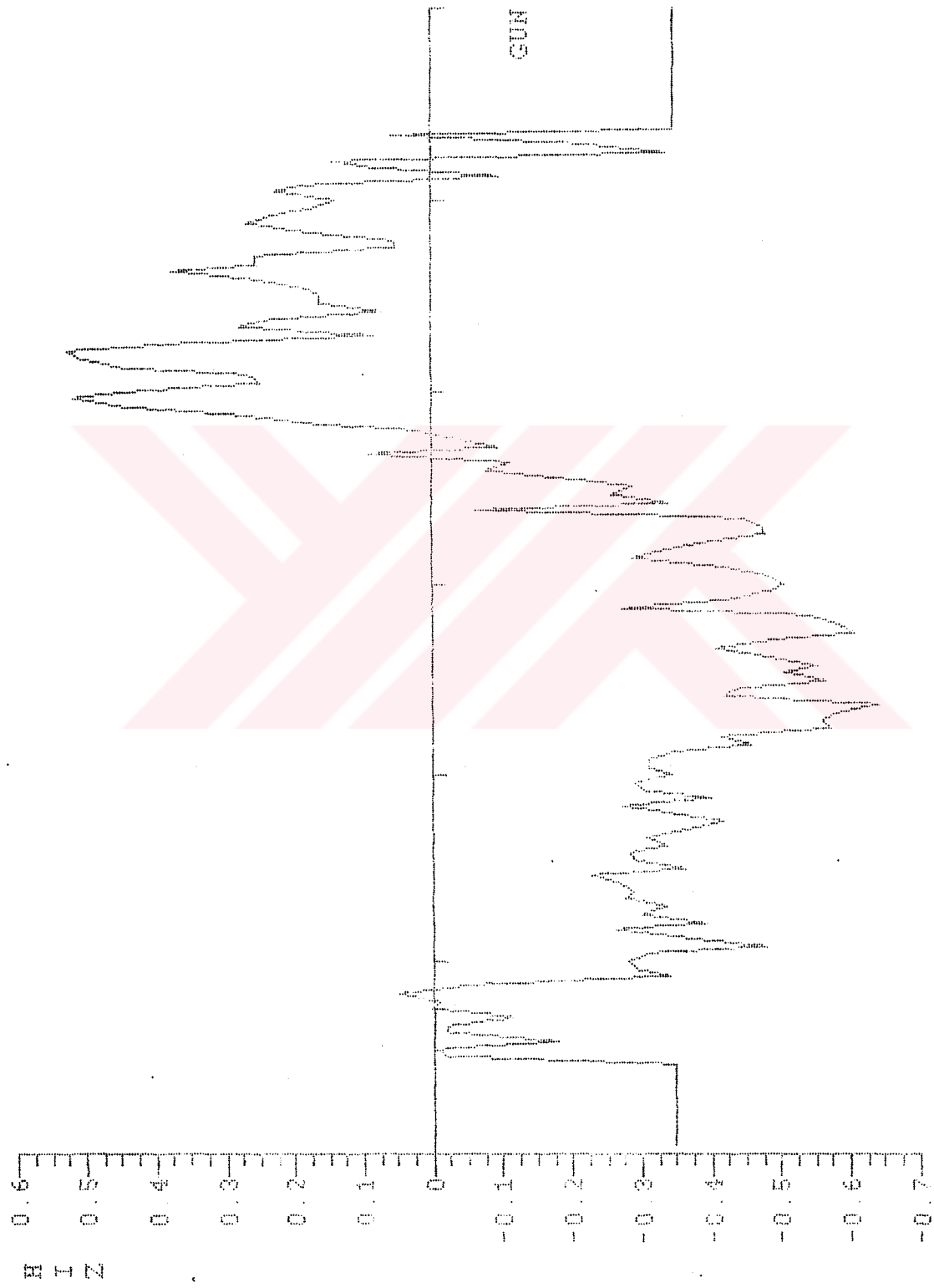


DATA SOURCE: NIST
APOLLO 17 - LUNAR SURFACE
1000 Hz / 250 ms

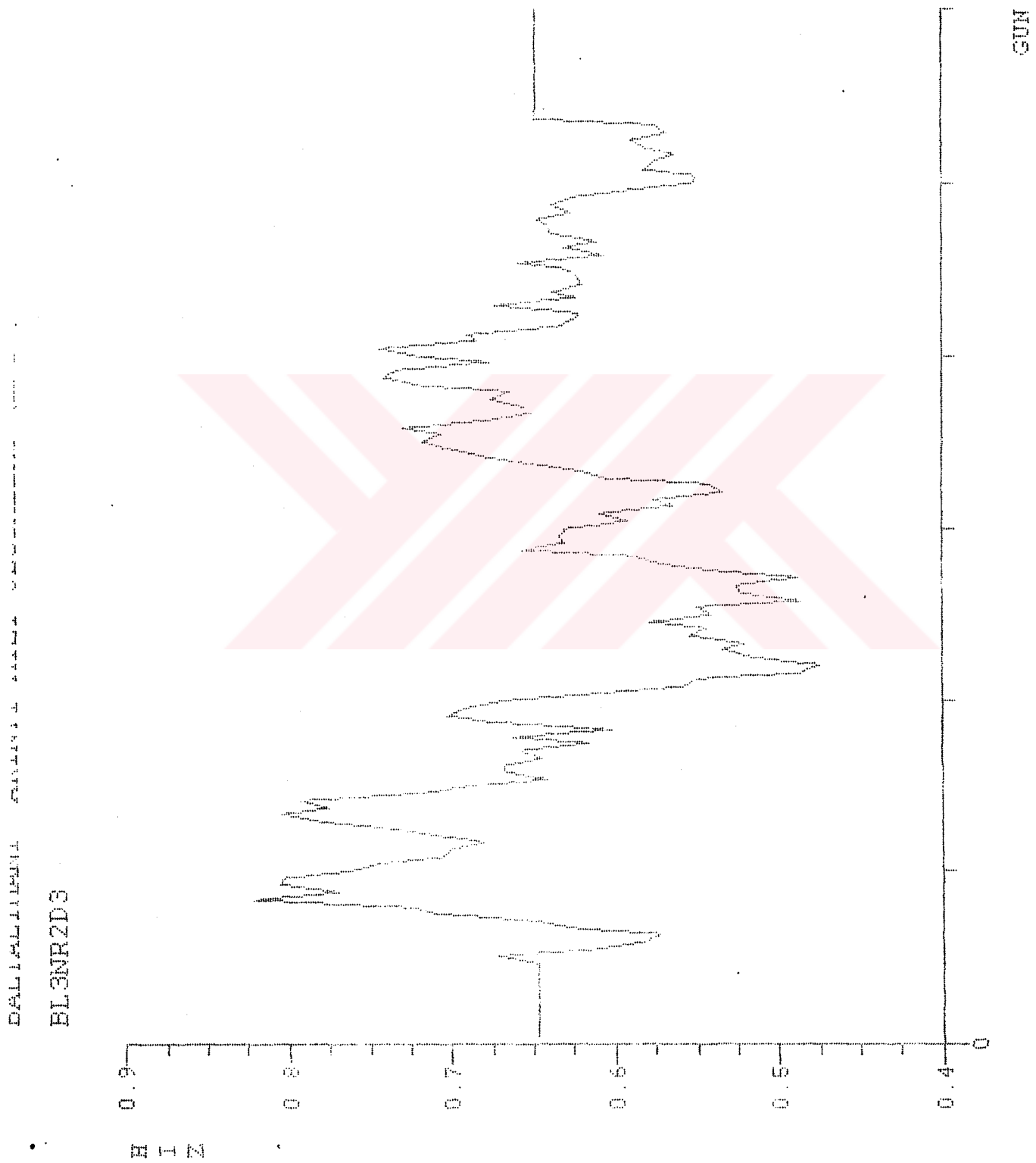
BL2MR3D2



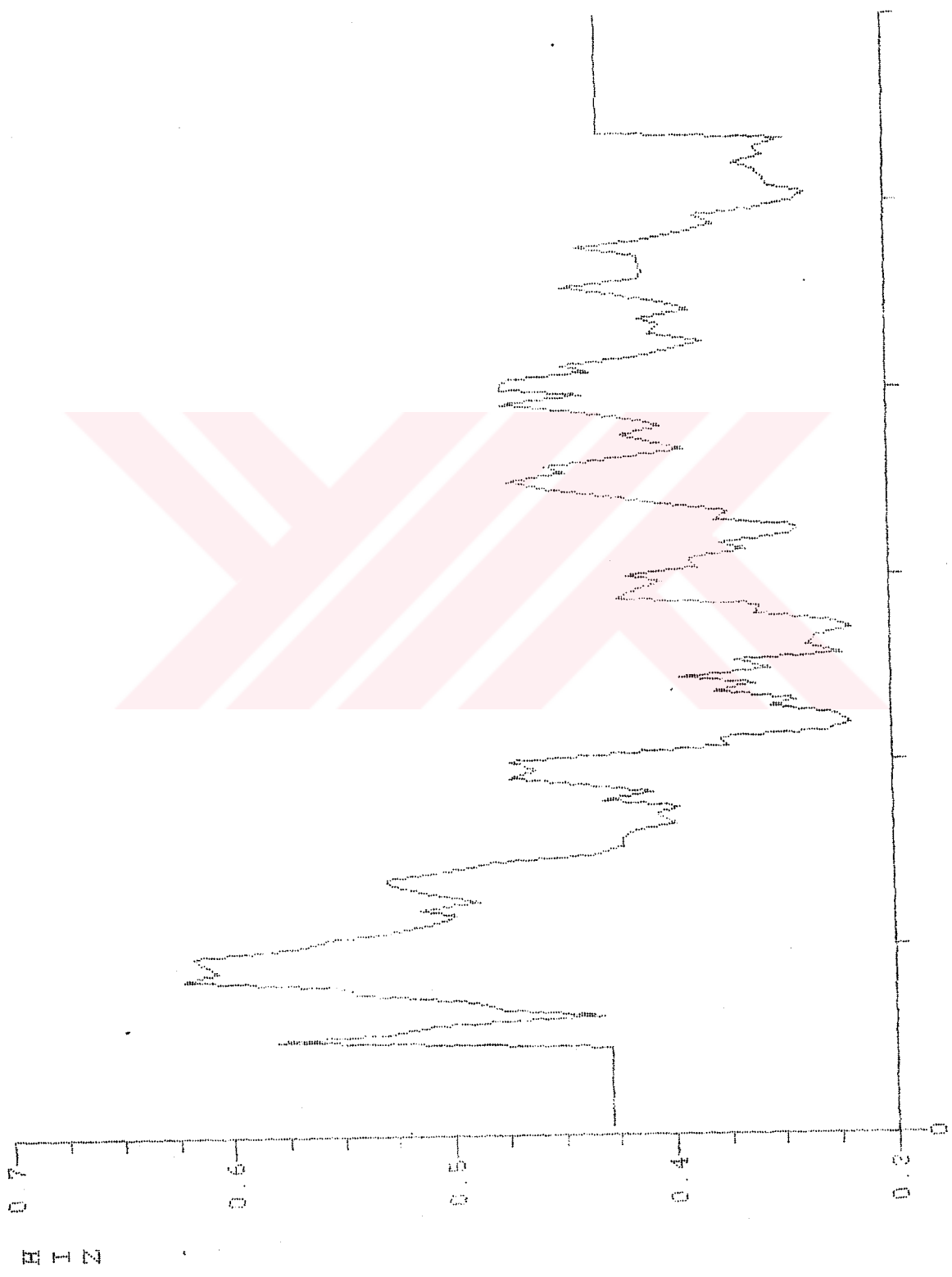
BL3MR1D3



BL 3kR2D3

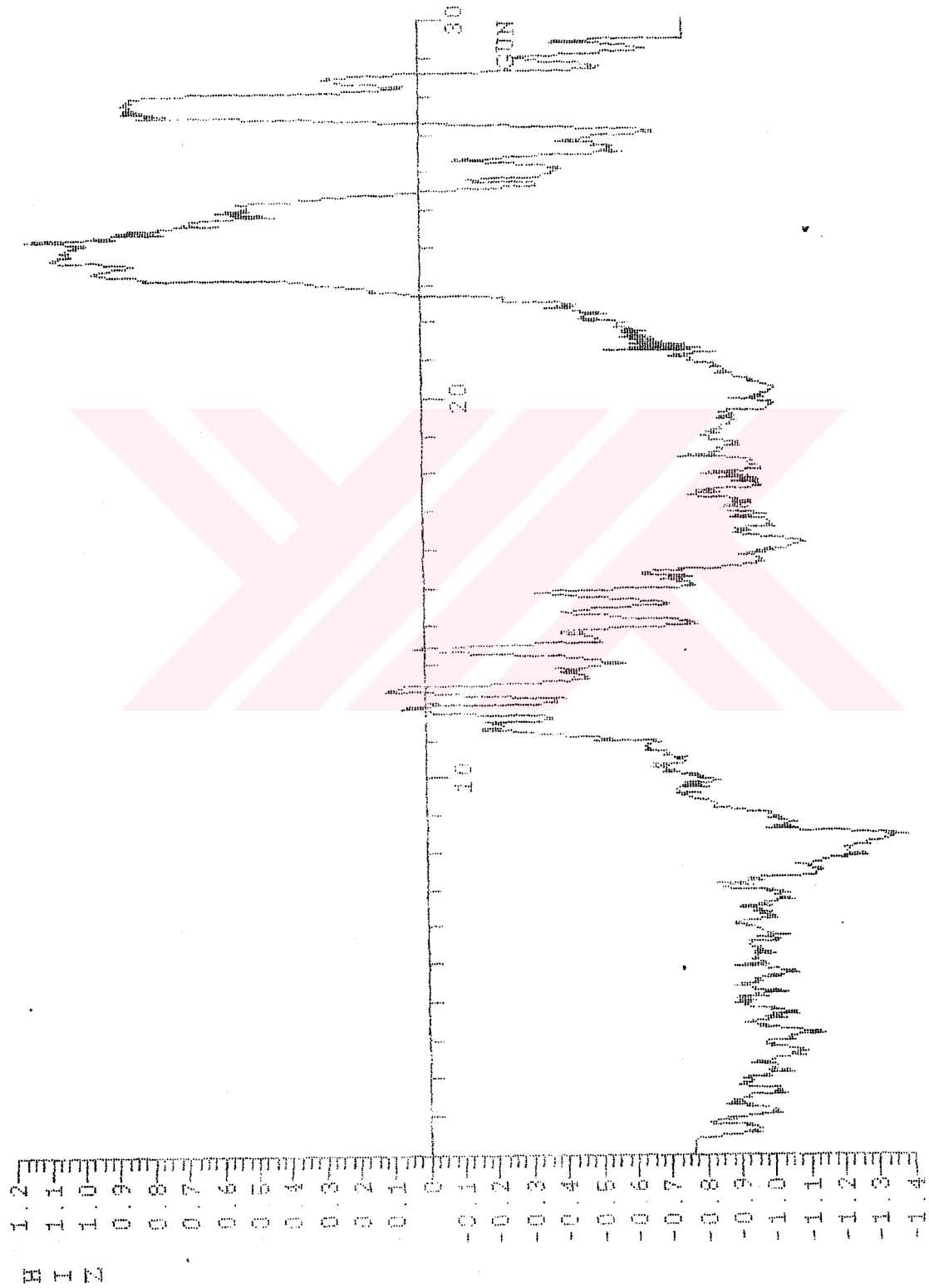


BLINDSIDE



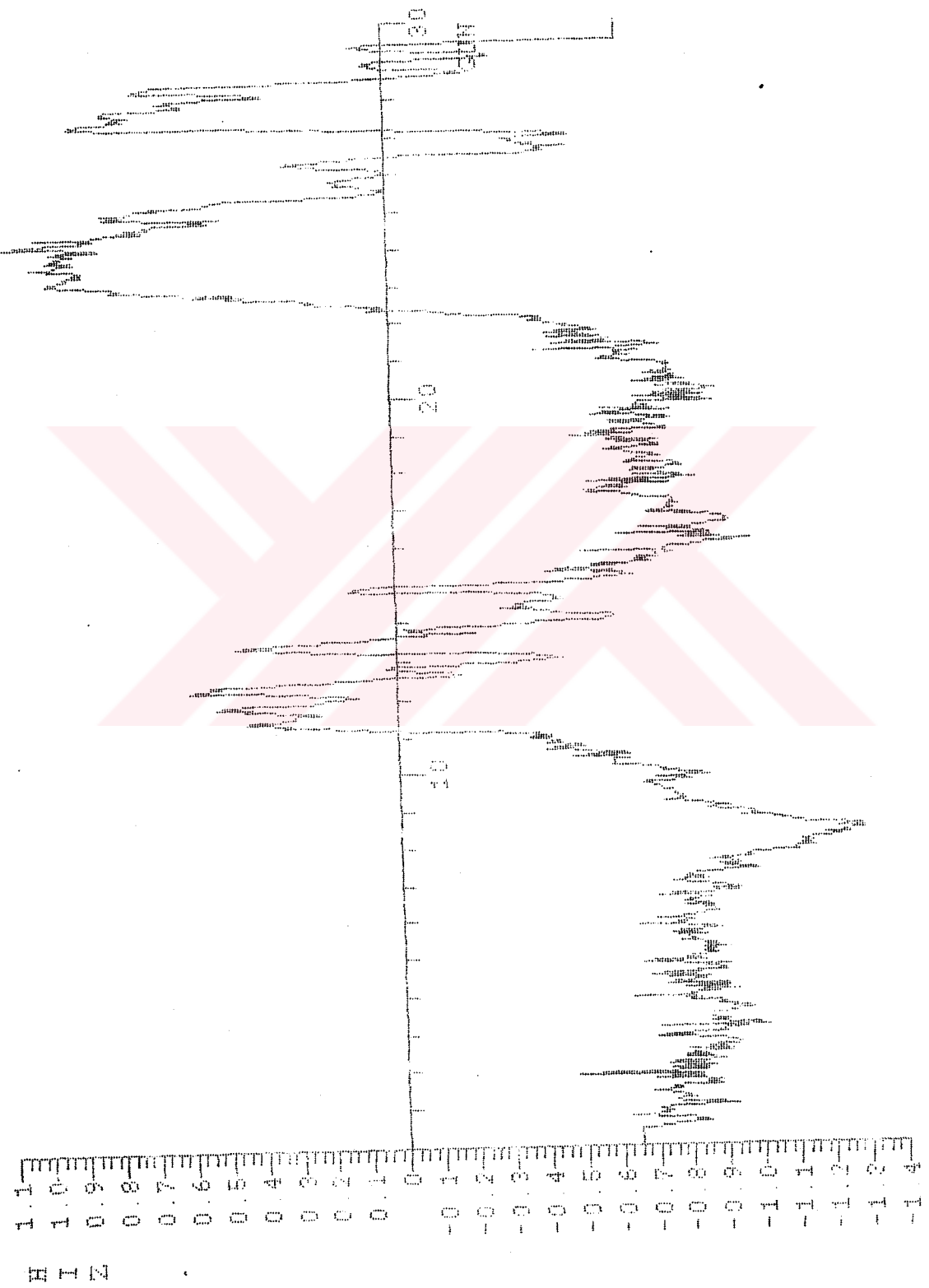
GUN

BL 4MH1D4



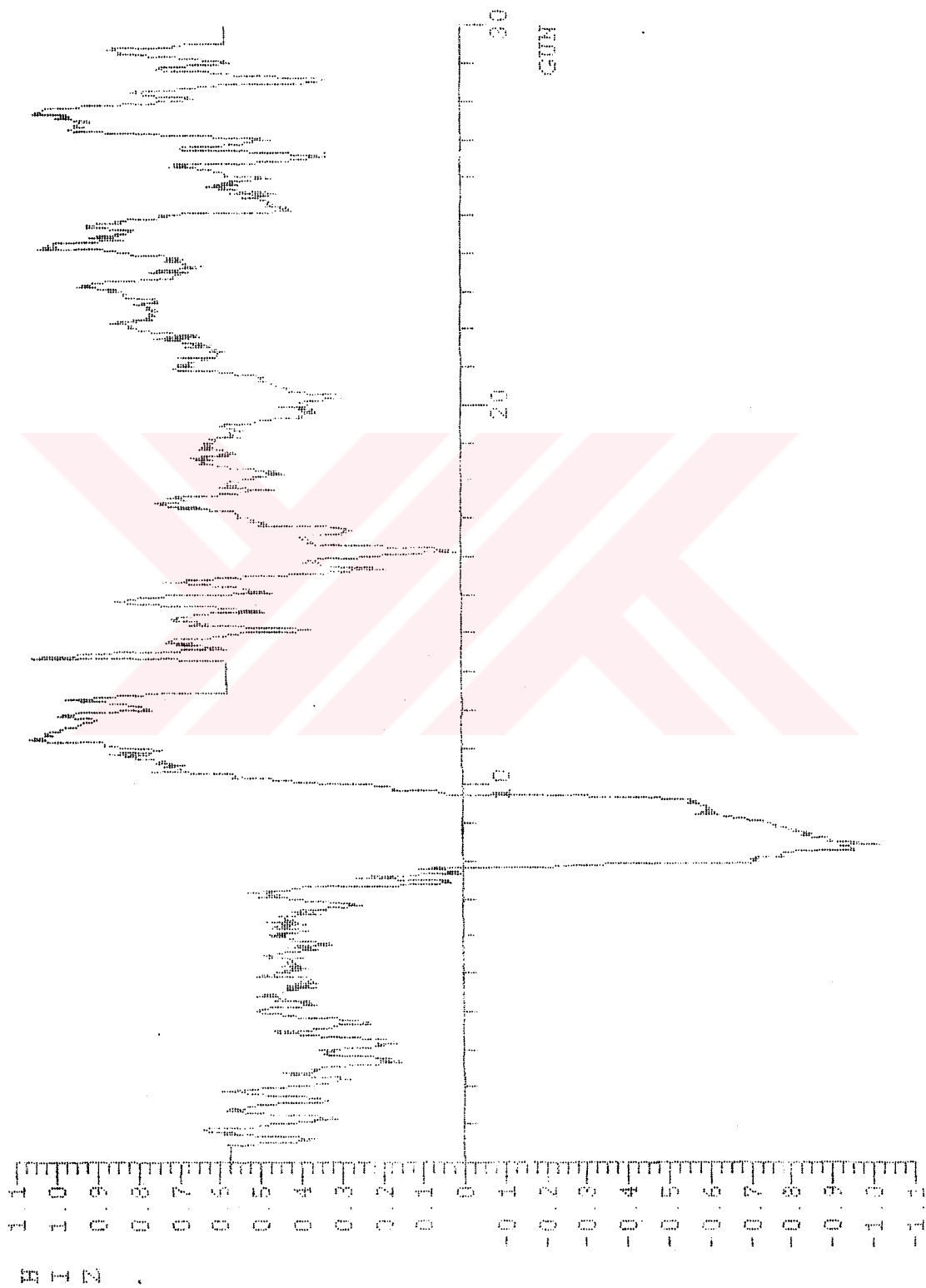
DATA PLATE NUMBER : 20010101 DATE : 01/01/2001 TIME : 09:00:00

BL4MR2D4



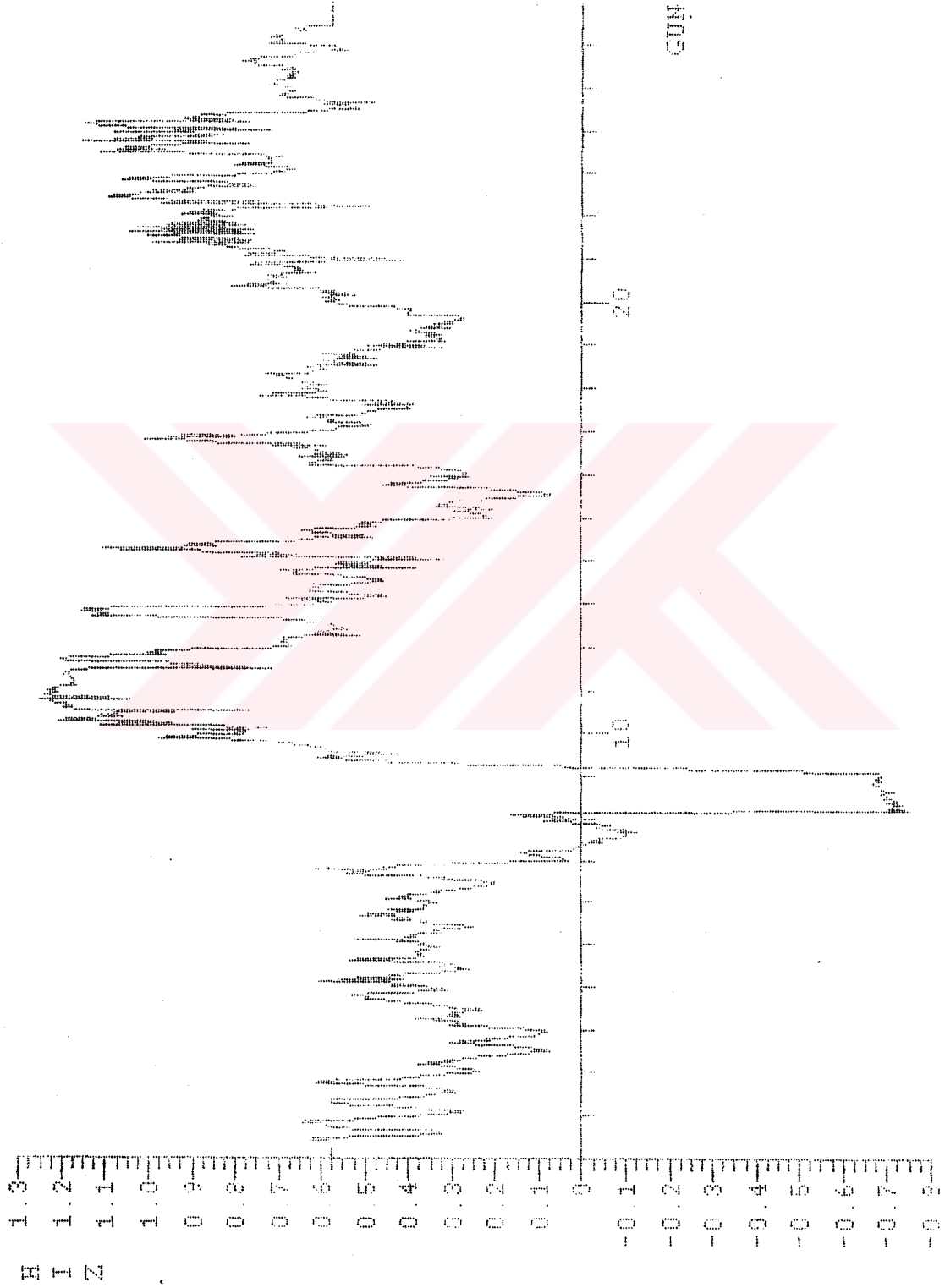
"BALTALIMANI" AKINTI HIZI OLÇÜMLERİ (m/sn)

BL 4NR3D4



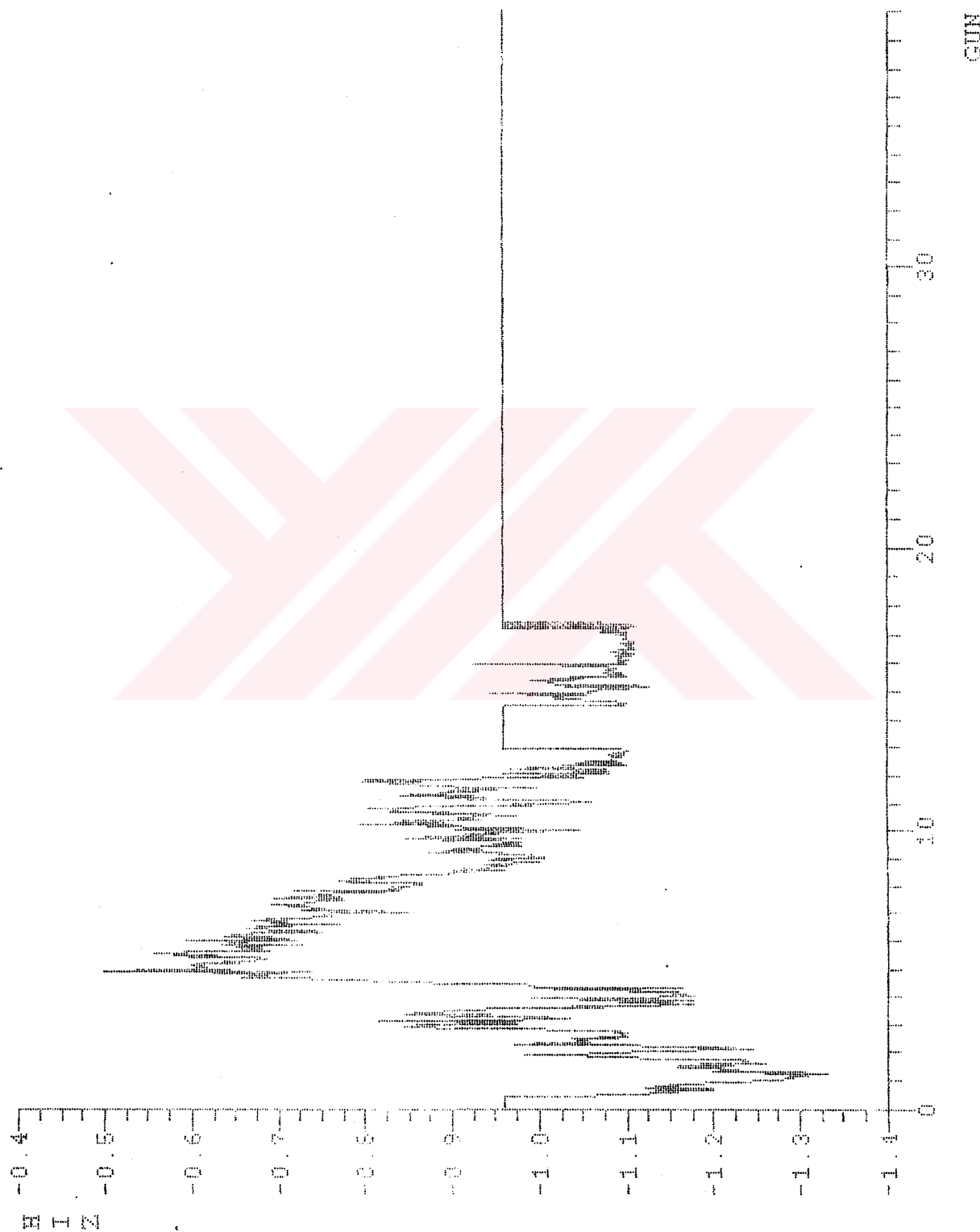
"BAL TALIMANI" AKINTI HIZI OLÇÜMLERİ (m/sn)

BL 4 MR4 D4



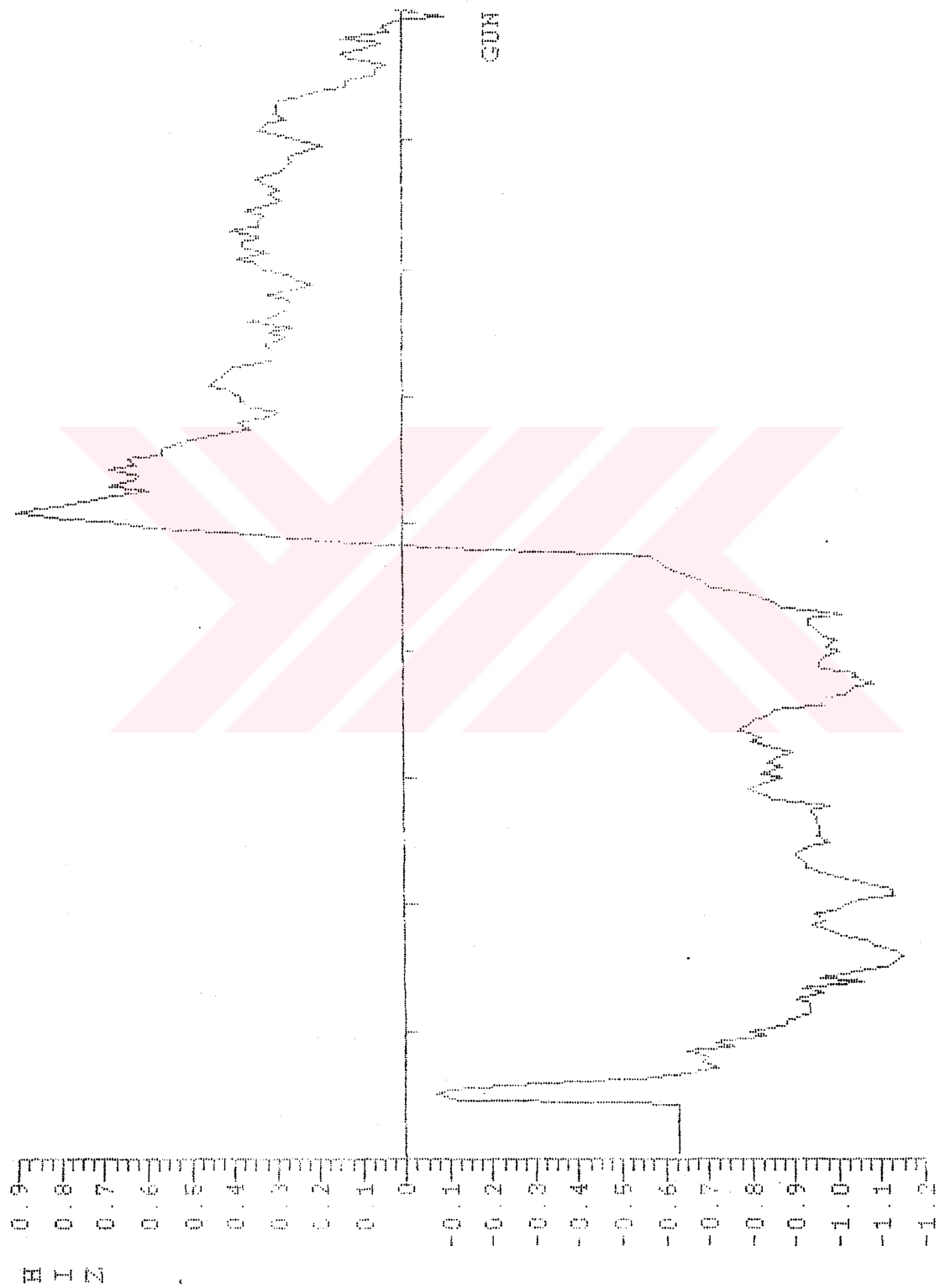
DELLAVALLE, PERNINI, TADDEI, VILLALBA, VILLALBA

BL5K11D5

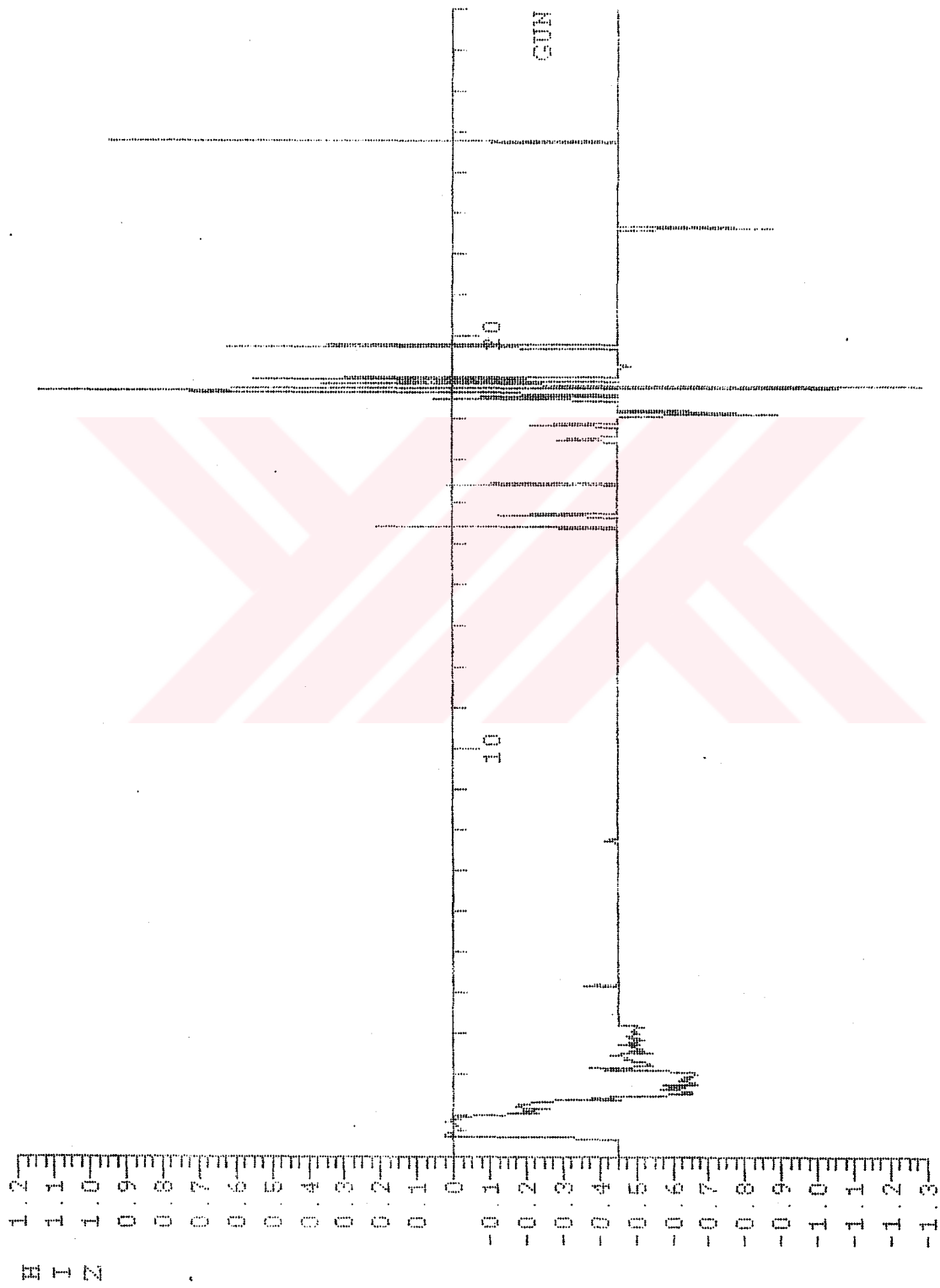


... DALLALITTA, RAVINDRI, HILDE ULGURTEKRE (M/SN.)

BL5MR2D5

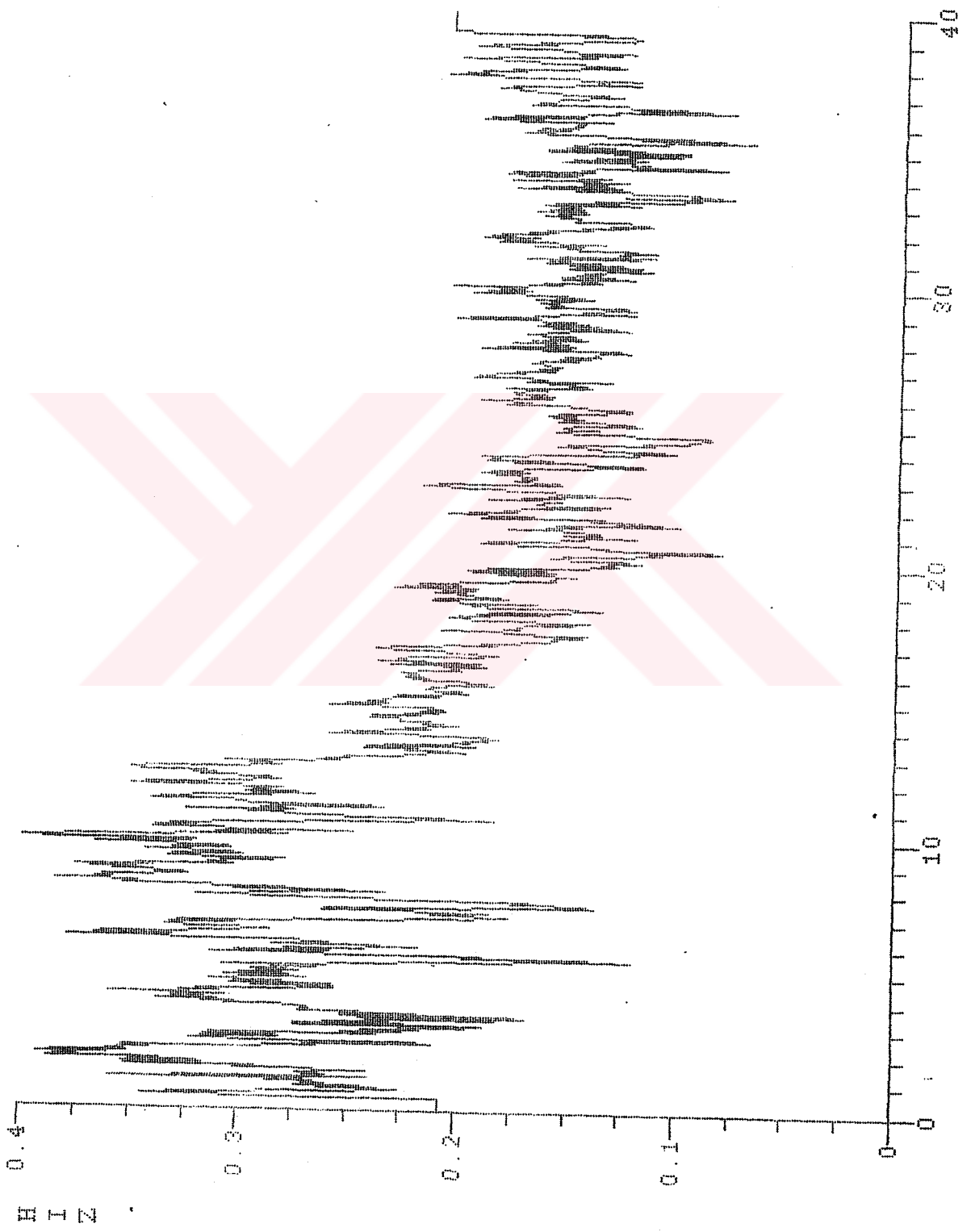


BL5NIR3D5



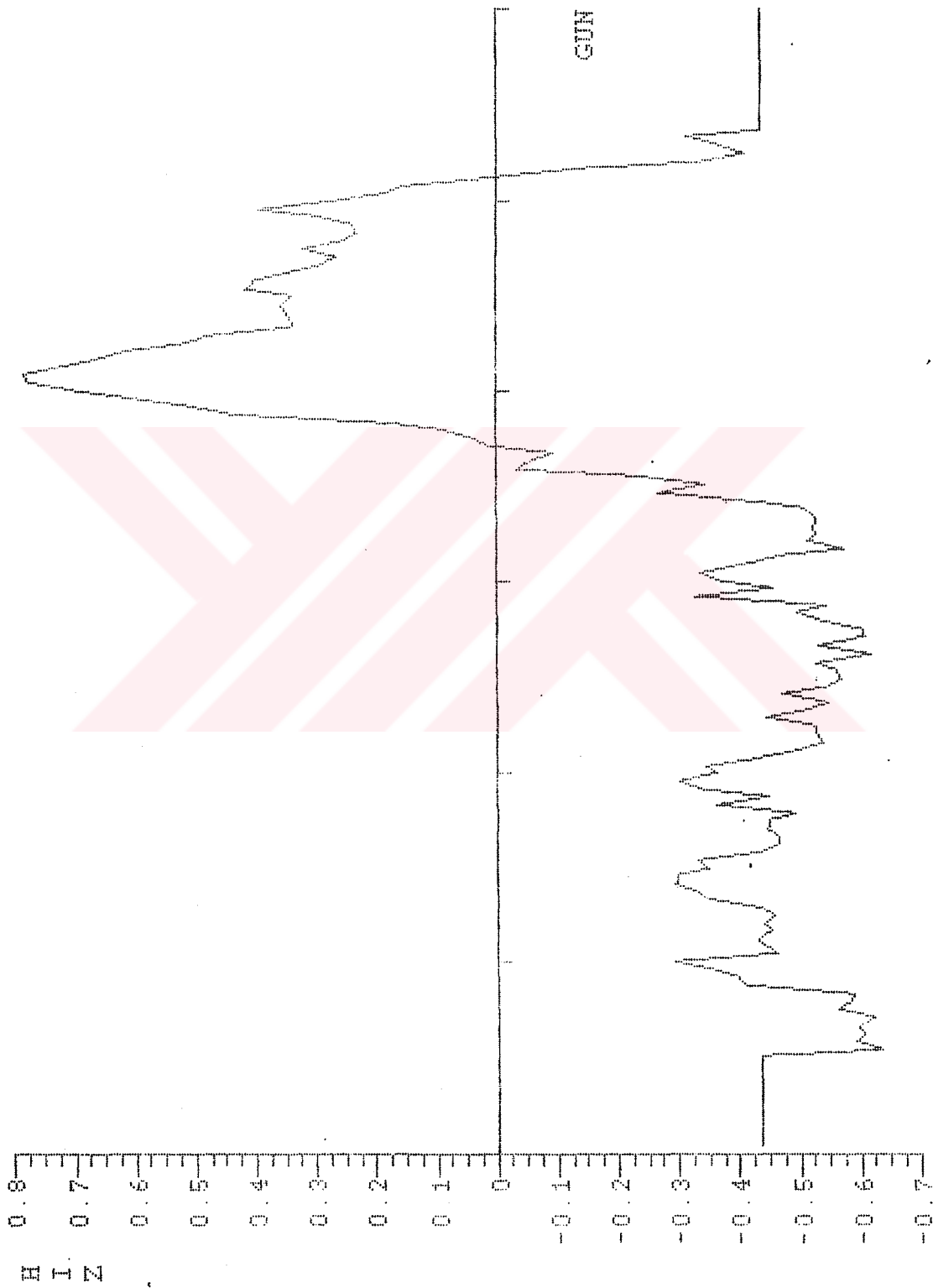
"KUCUKSU" AKINTI HIZI OLCLIMLERI

KS1NR4D1



"KLİCİKSİ" AKINTI HİZİ OLCLİMLERİ (m/sn)

KS 2NR1D2



"KUCUKSU" AKINTI HIZI OLCEMLERI (m/sn)

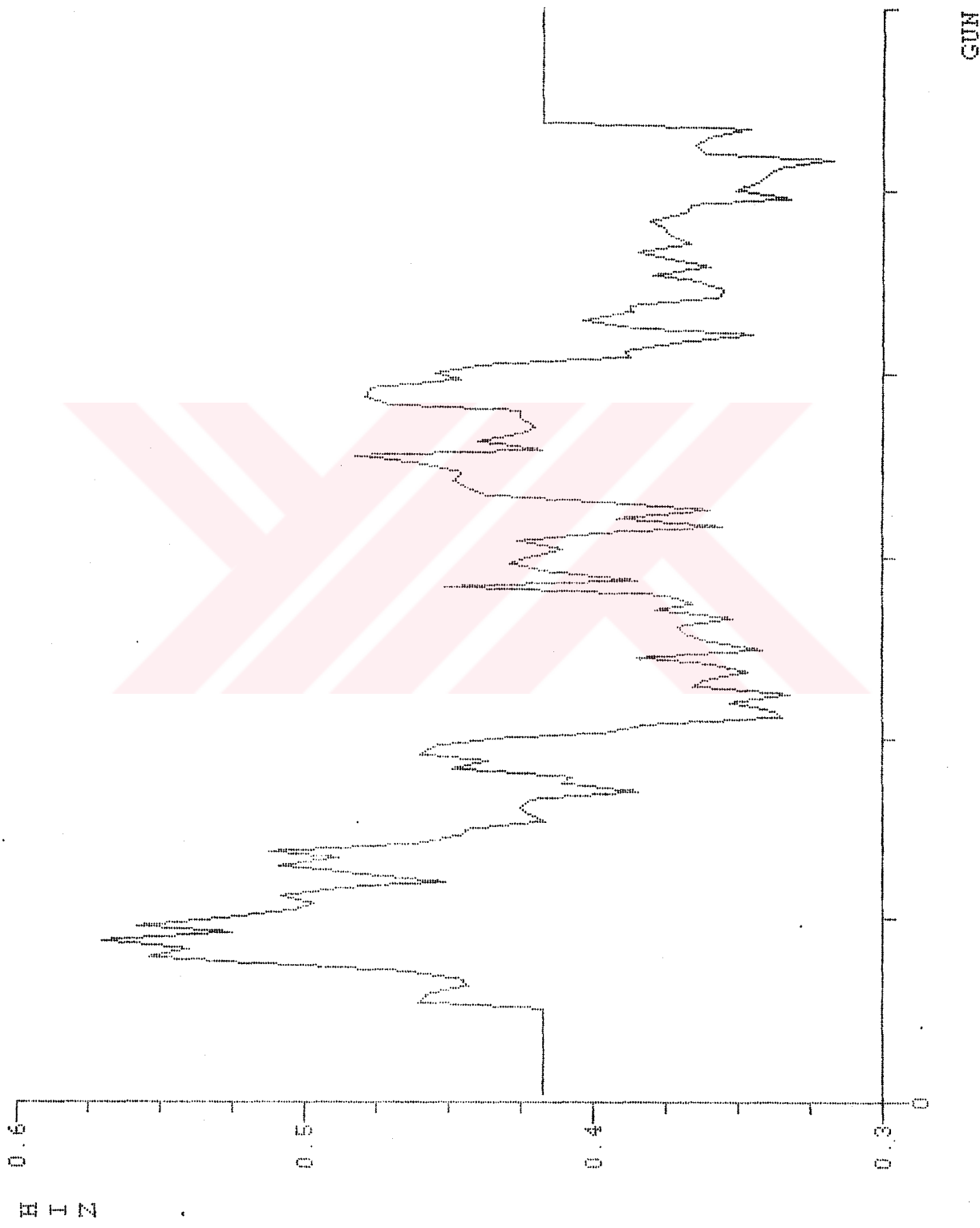
KS 200R 2D 2



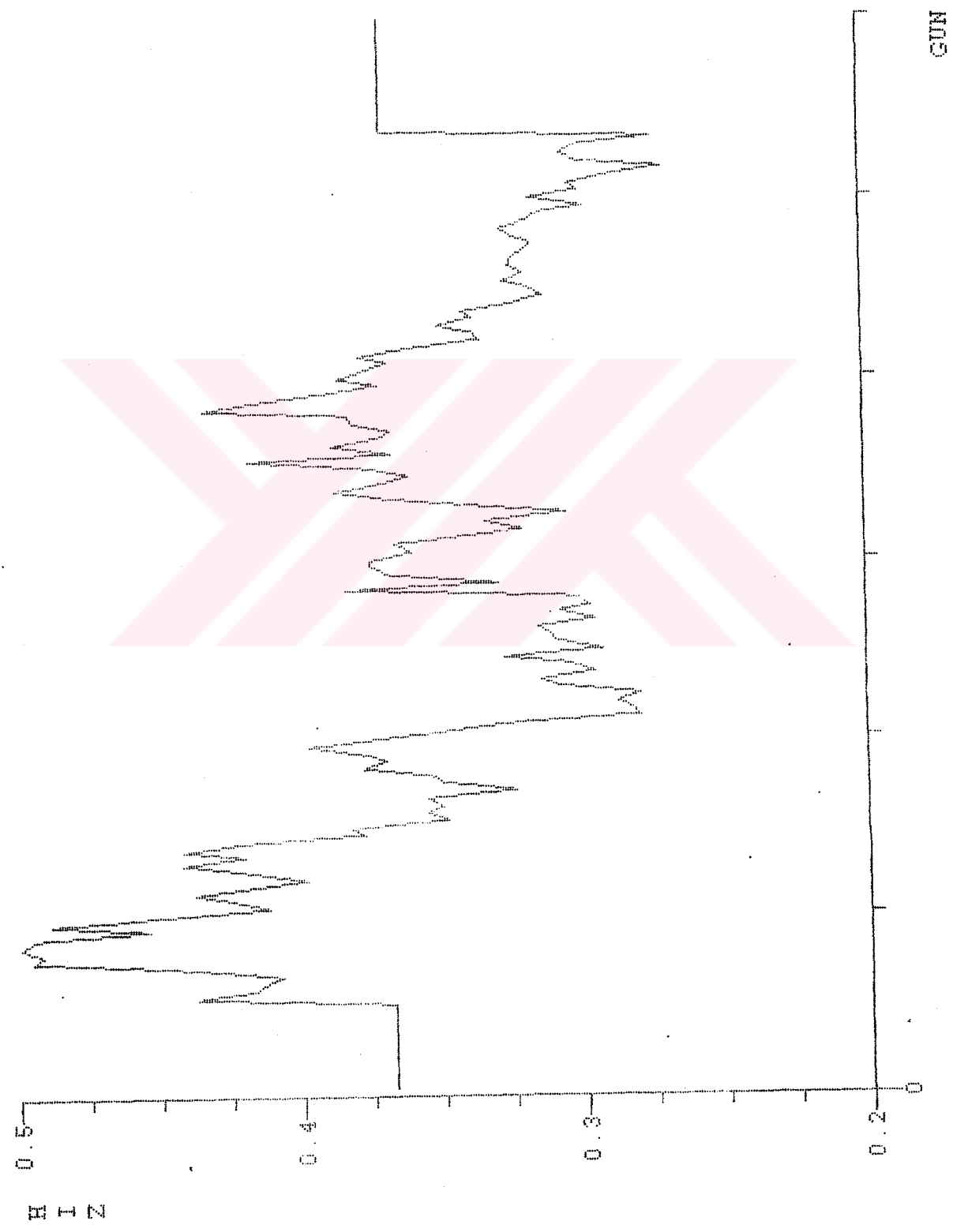
GUN

INCLUDES
PREDICTED PLATE MULTIPLETS (ML/SEC)

KS2MR3D2

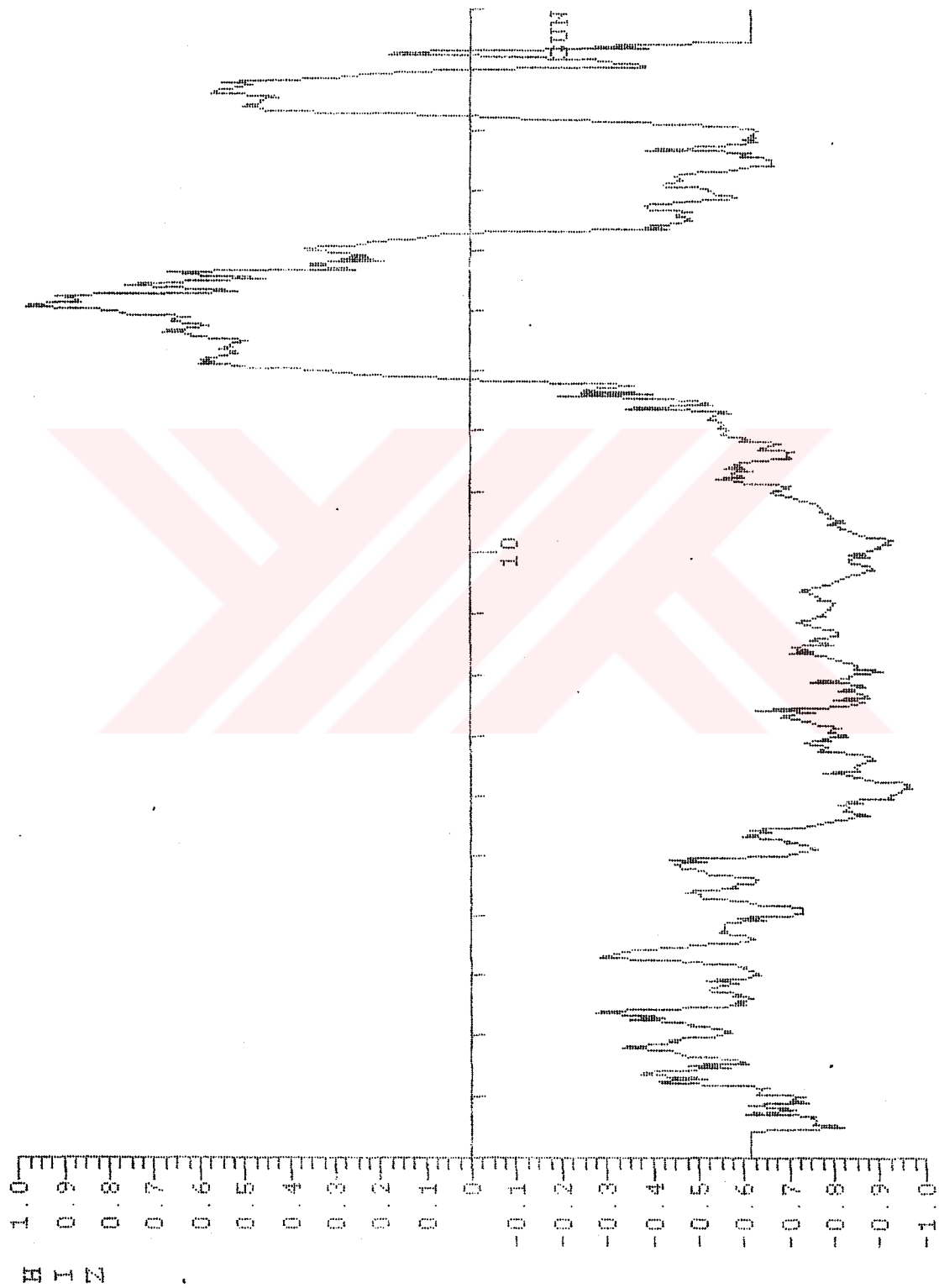


KGZNR4D2

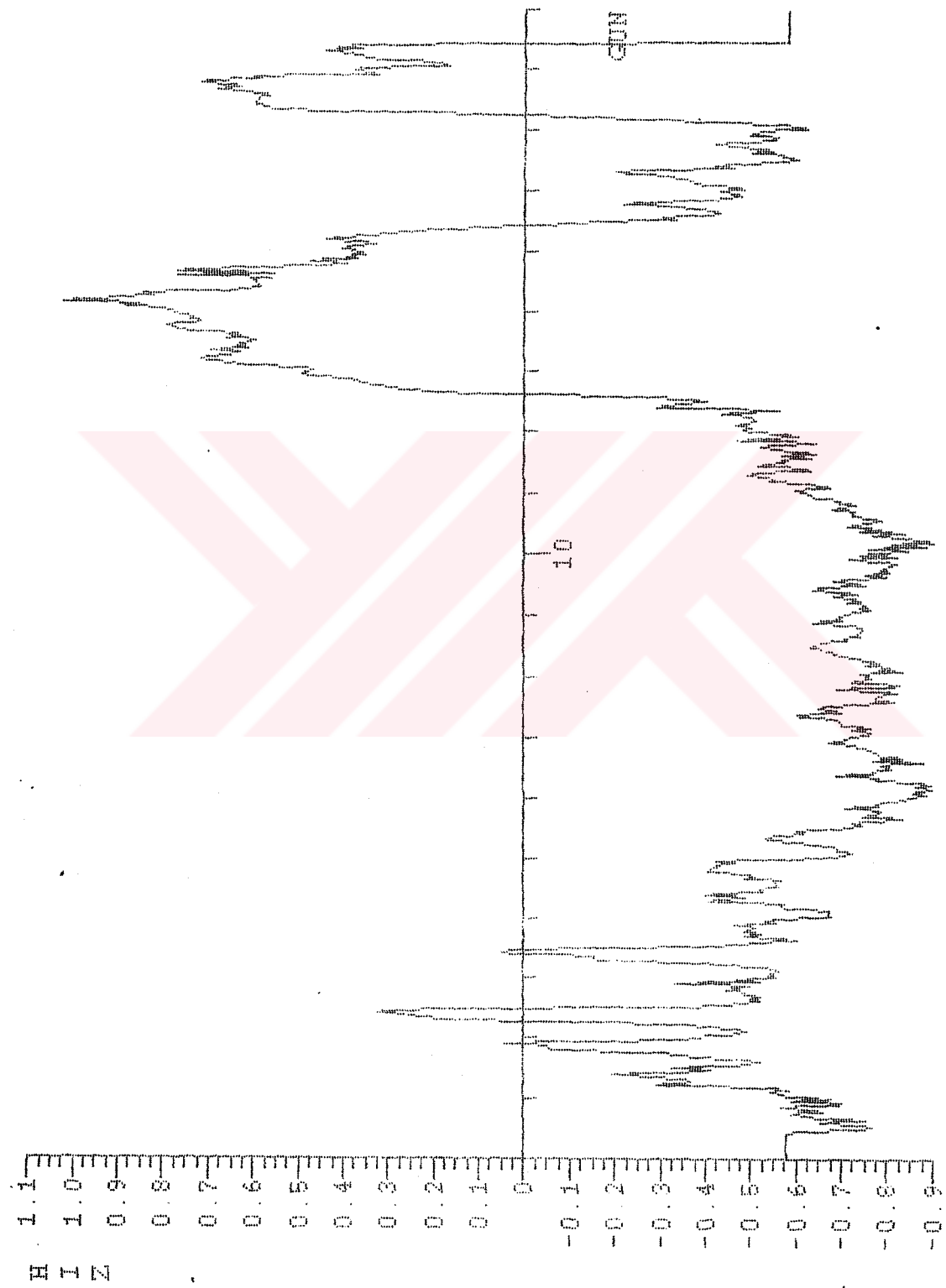


"KUCUKSU" AKINTI HIZI OLCLIMLERI (m/sn)

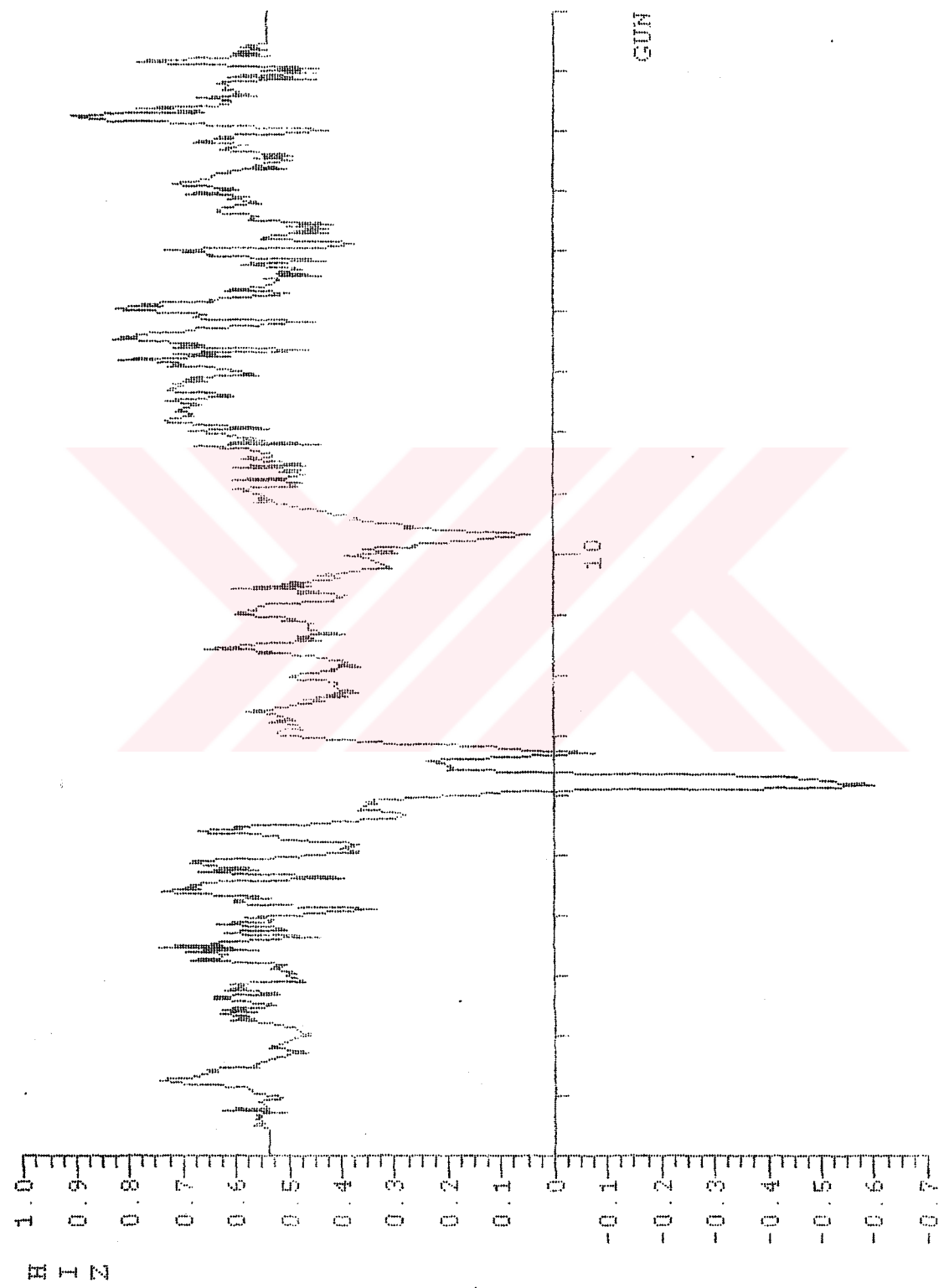
KS 3NR1D3



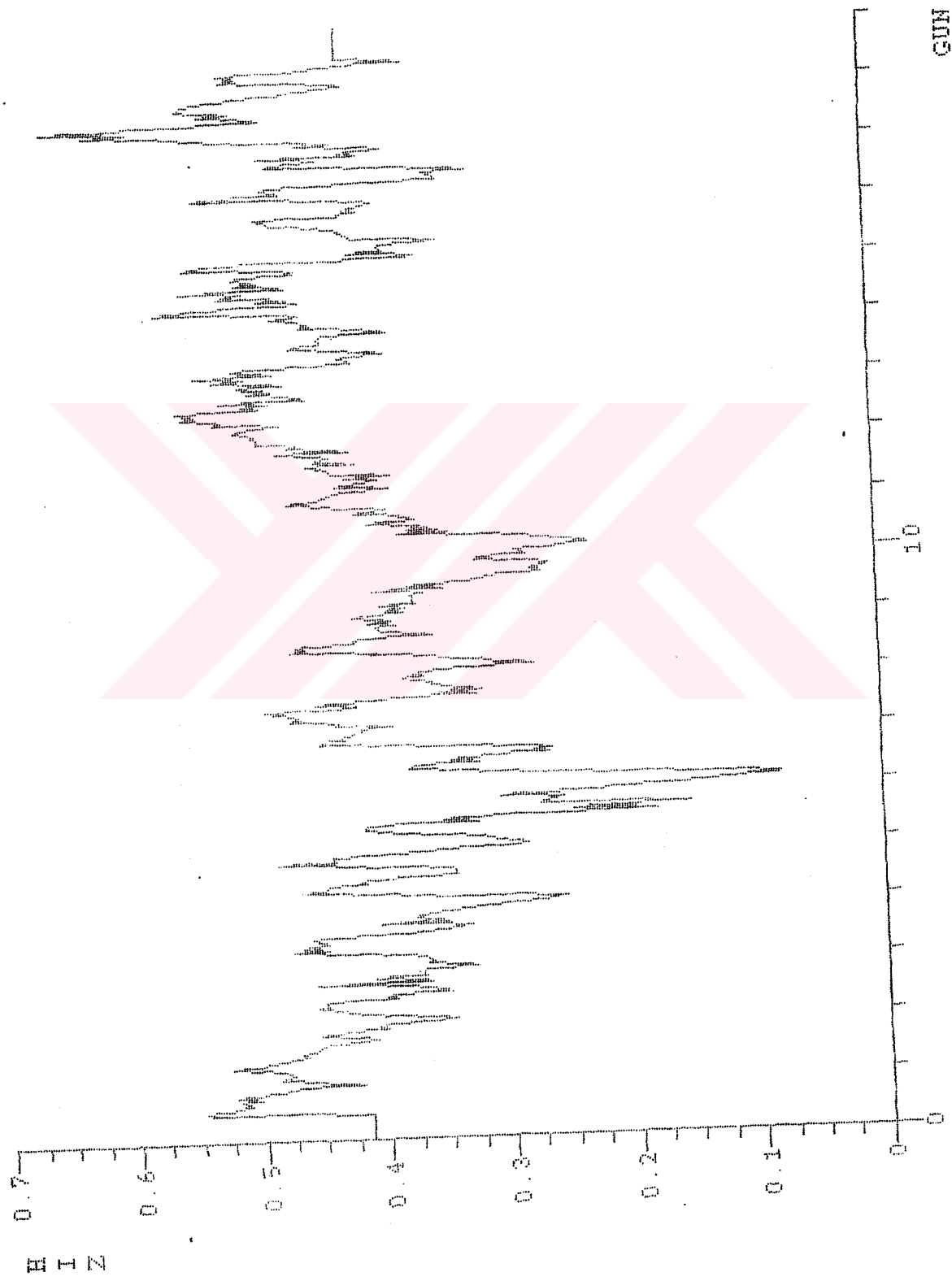
KS 3H R2D 3



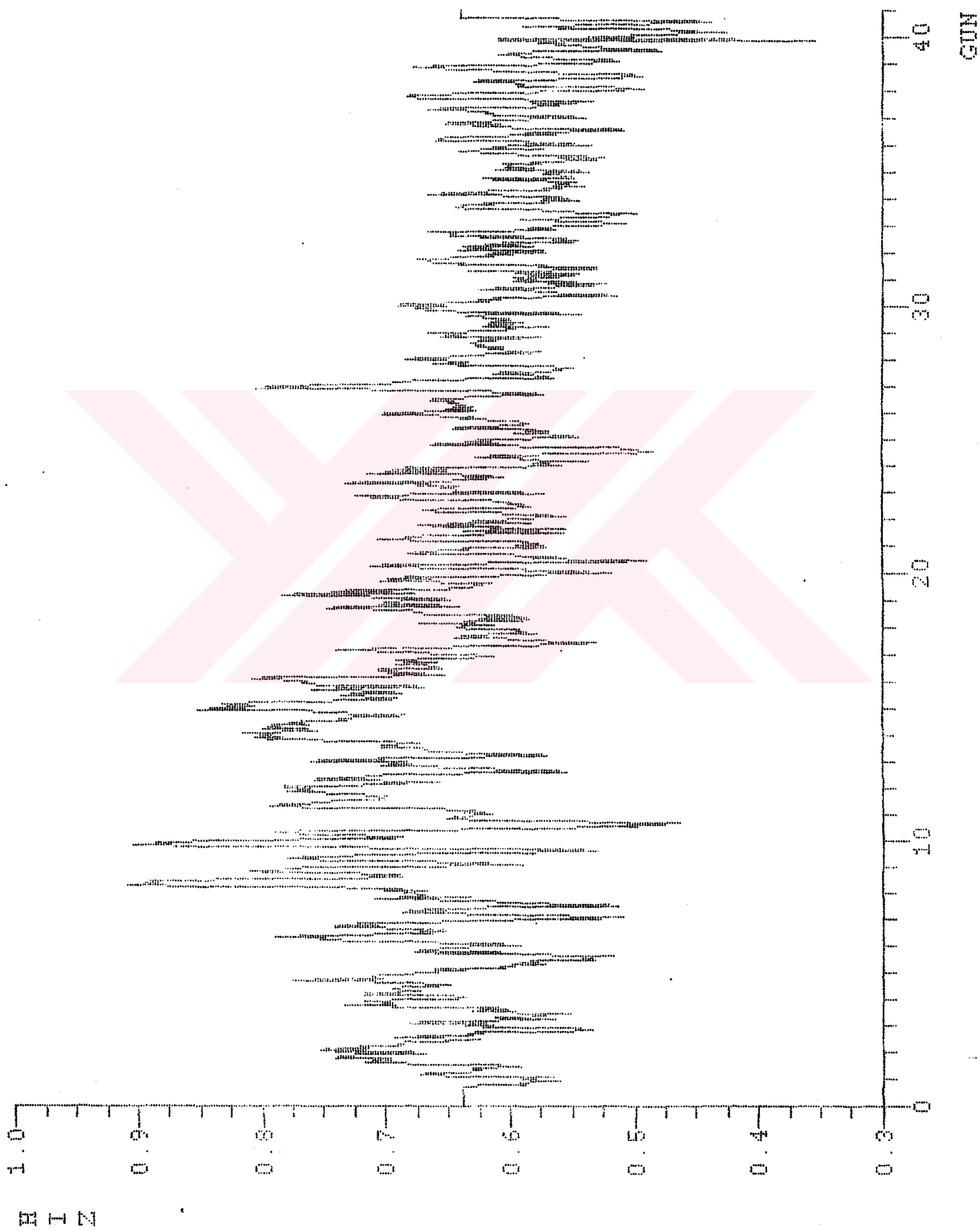
KSR3D3



KS3MR4D3



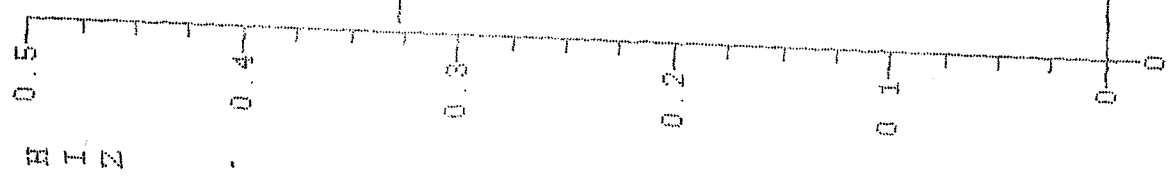
MK IMR1D1



MRI-NR2D1

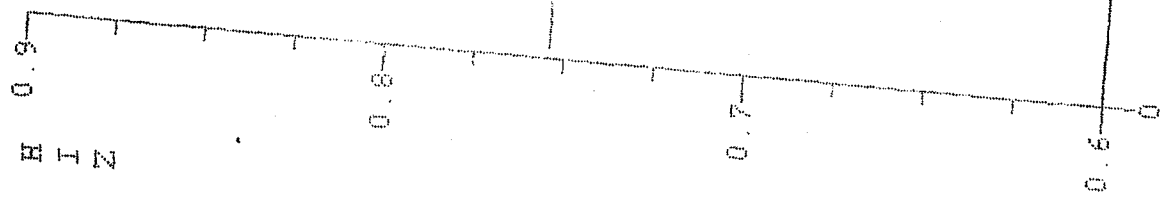
2000 1500 1000 500 0

1000 500 0



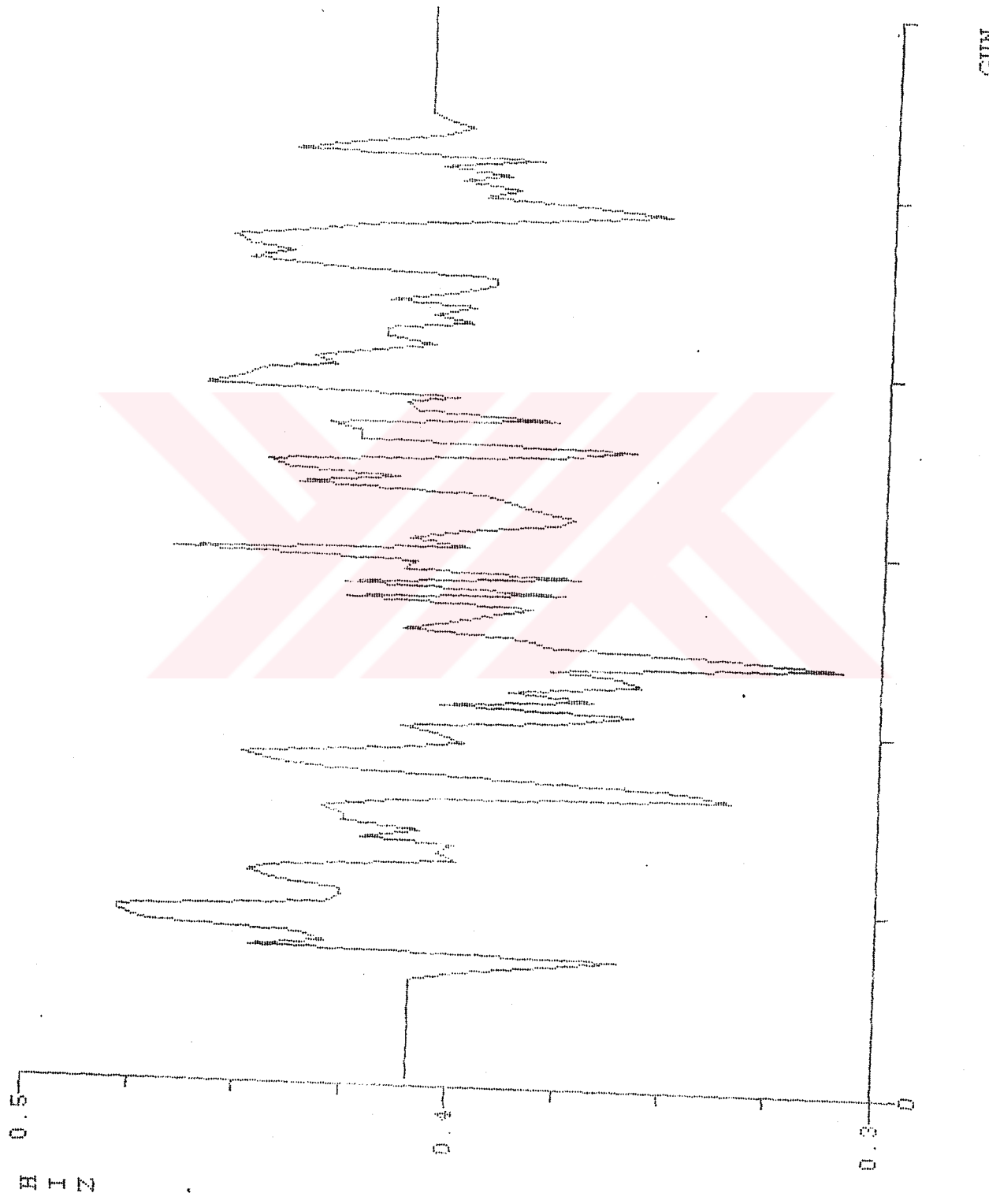
GUN

MK2MFLD2



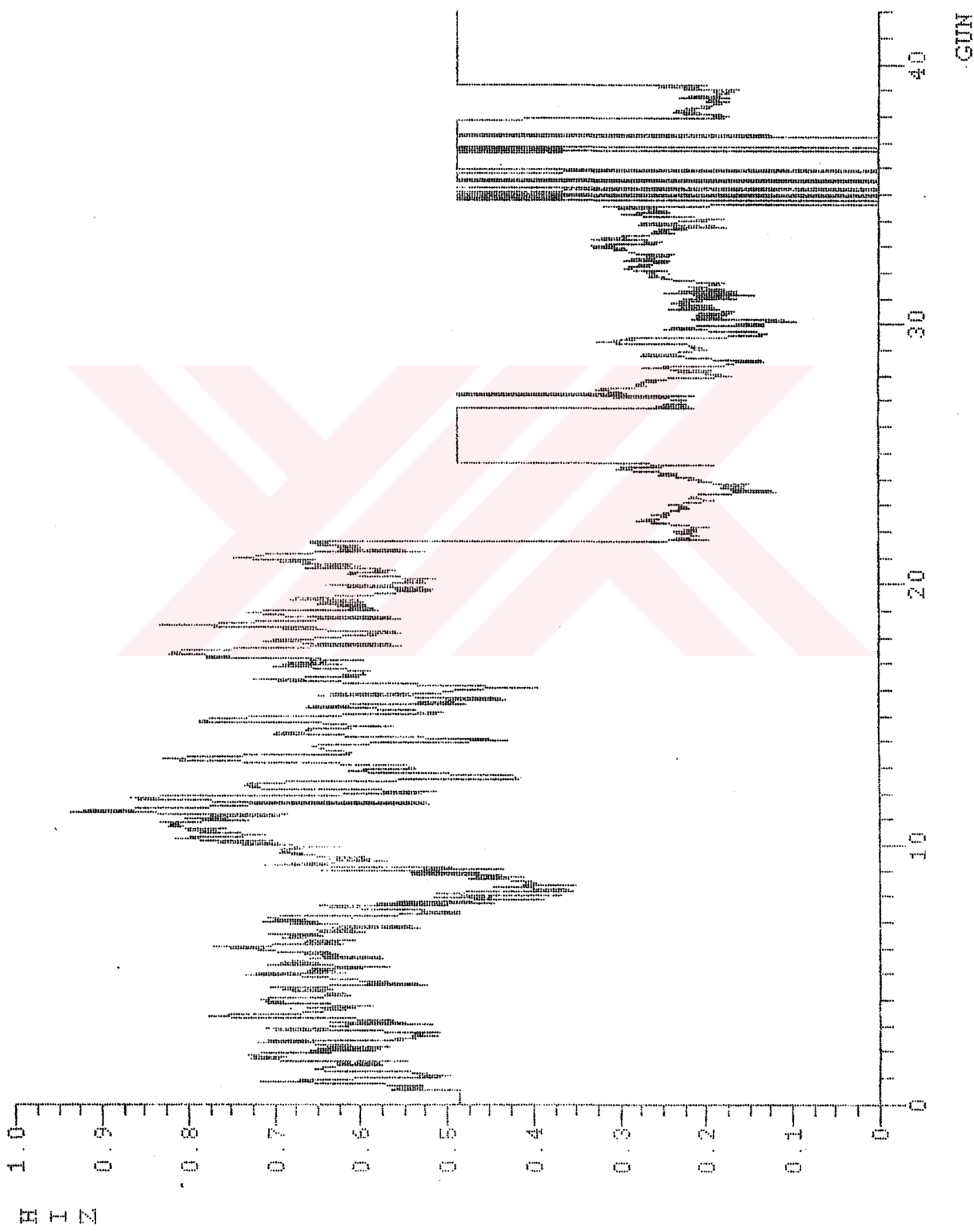
SMY

MEASURED



MEASURED

MK3NB1D3

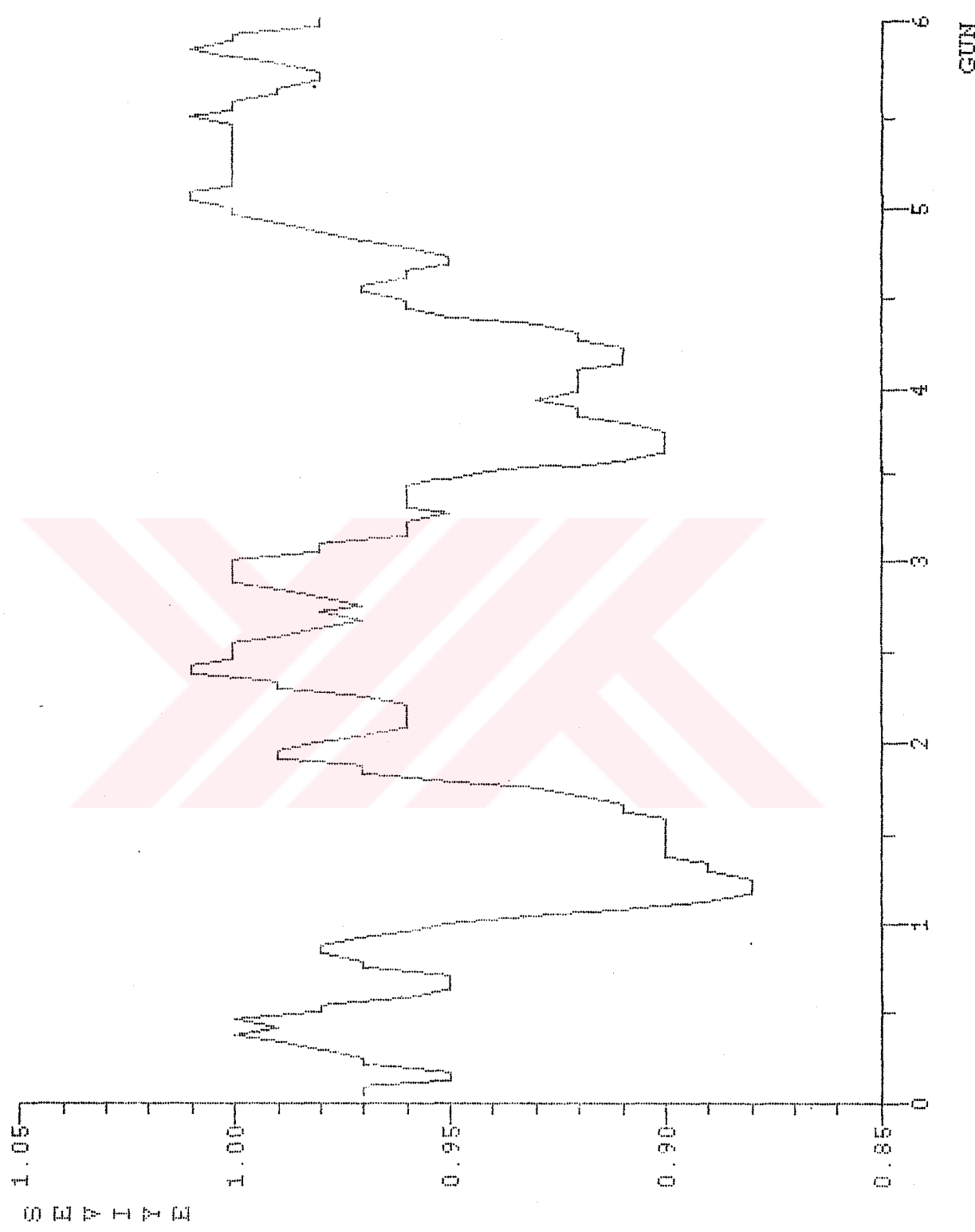


KZ ZNR 1D 2



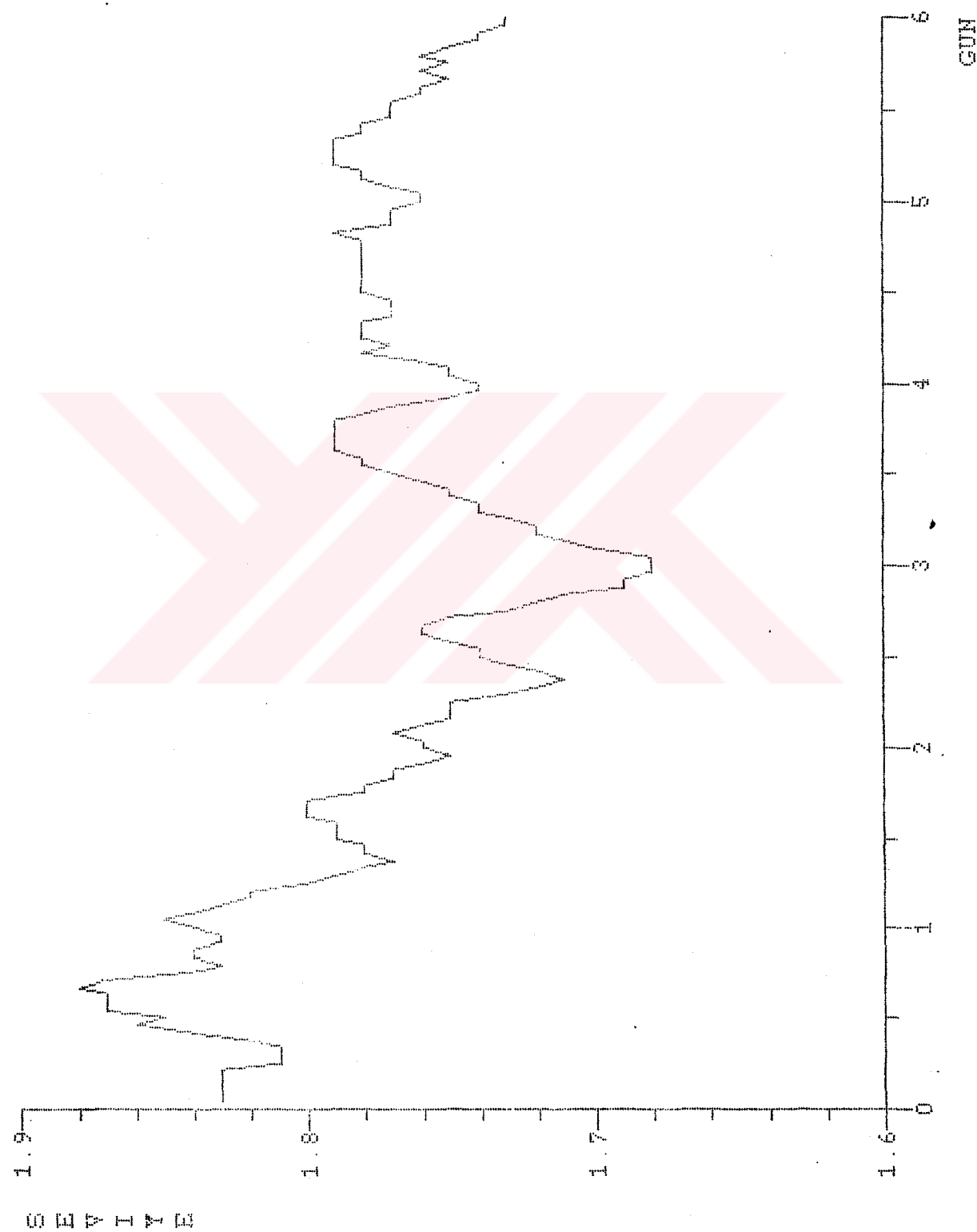
KILIMAKLI SEV. IST. (3)

4/08/1985 - 9/08/1985



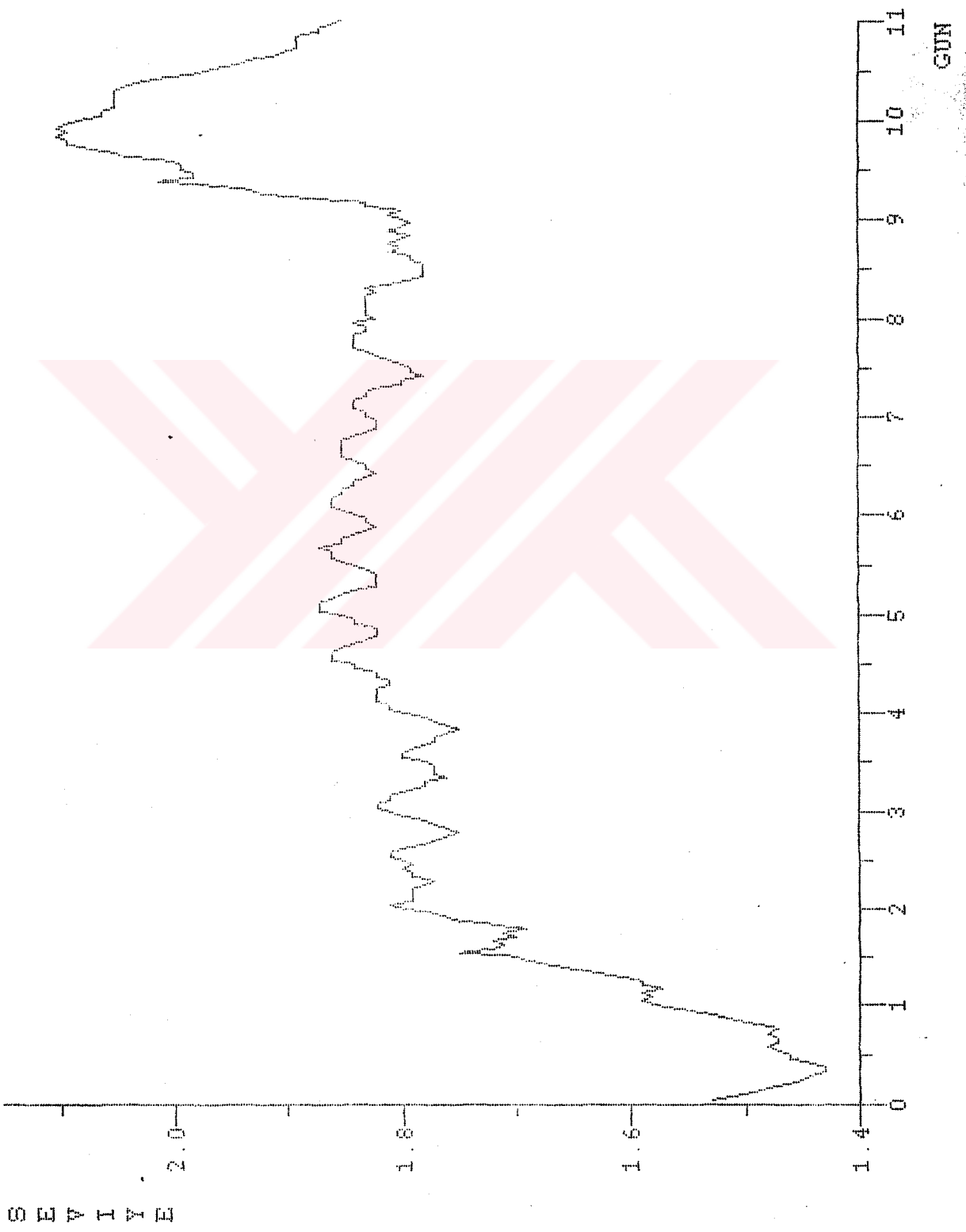
POYRAKÖY SEV. YST.

4/08/1985-9/08/1985



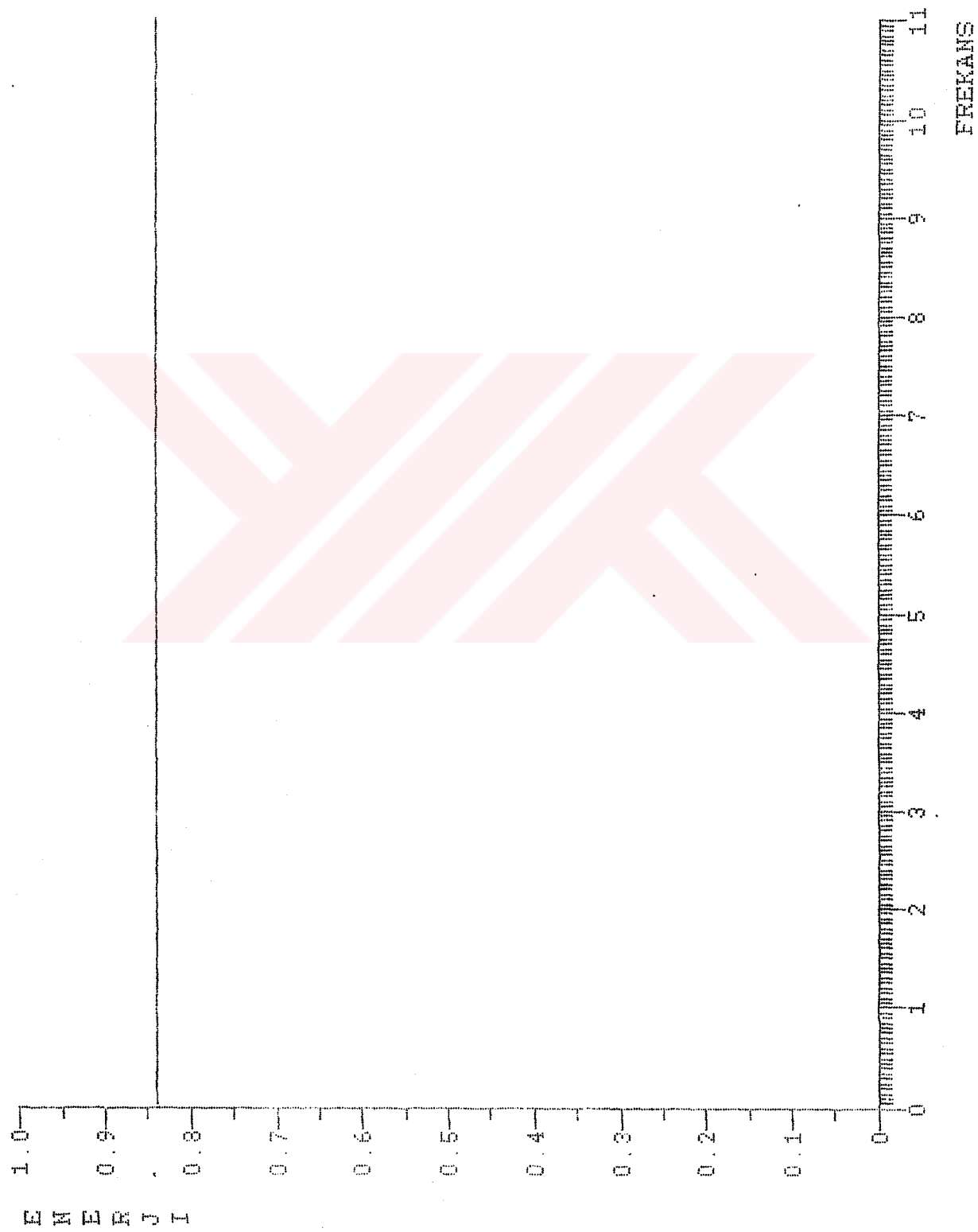
POYRAZKOV SEV. IST. (4)

26/01/1986 - 5/02/1986



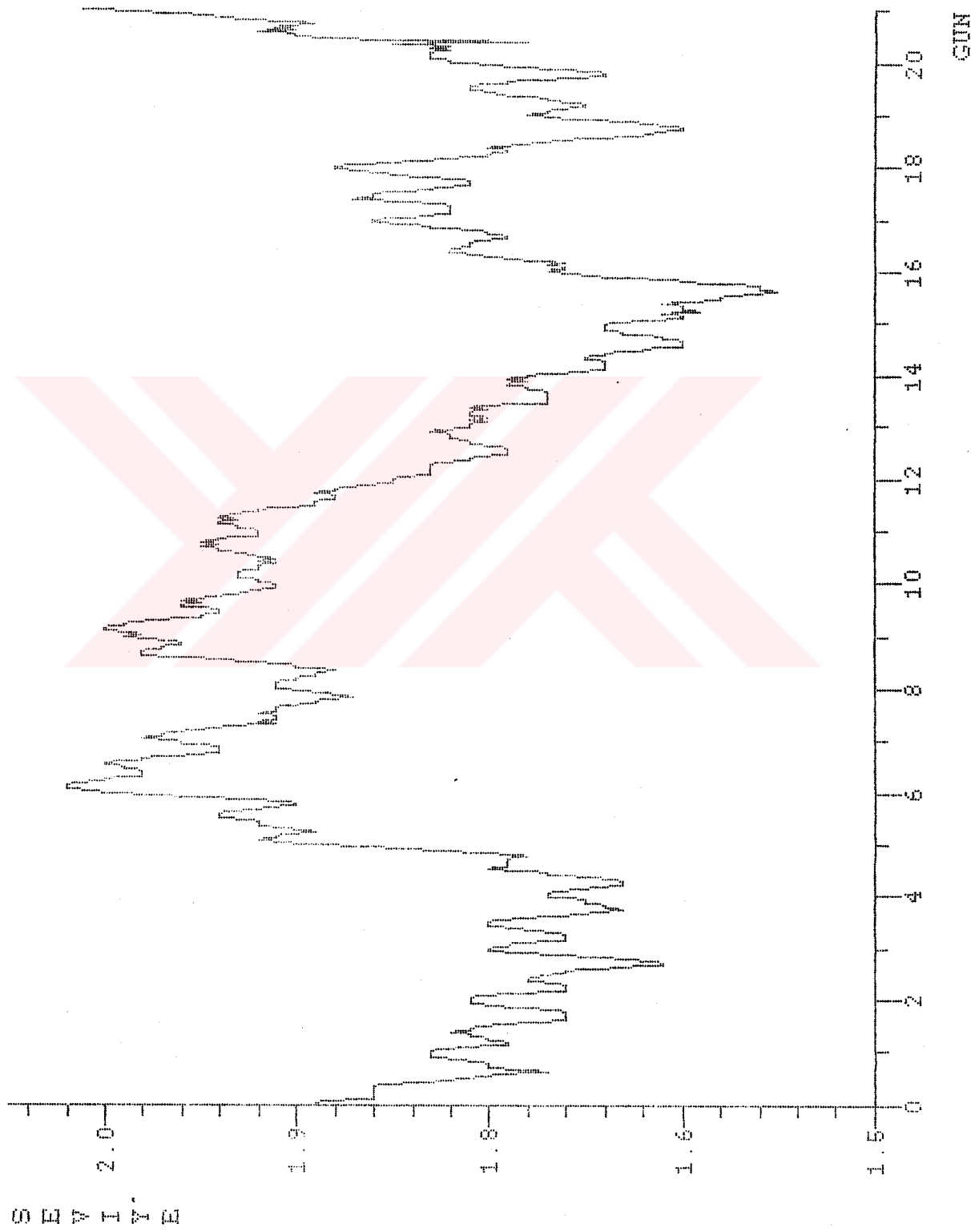
KUMLAKAPI SEV. 1ST. (4)

26/01/1986 - 5/02/1986



PÖYPAZKÖY SEV. IST. (5)

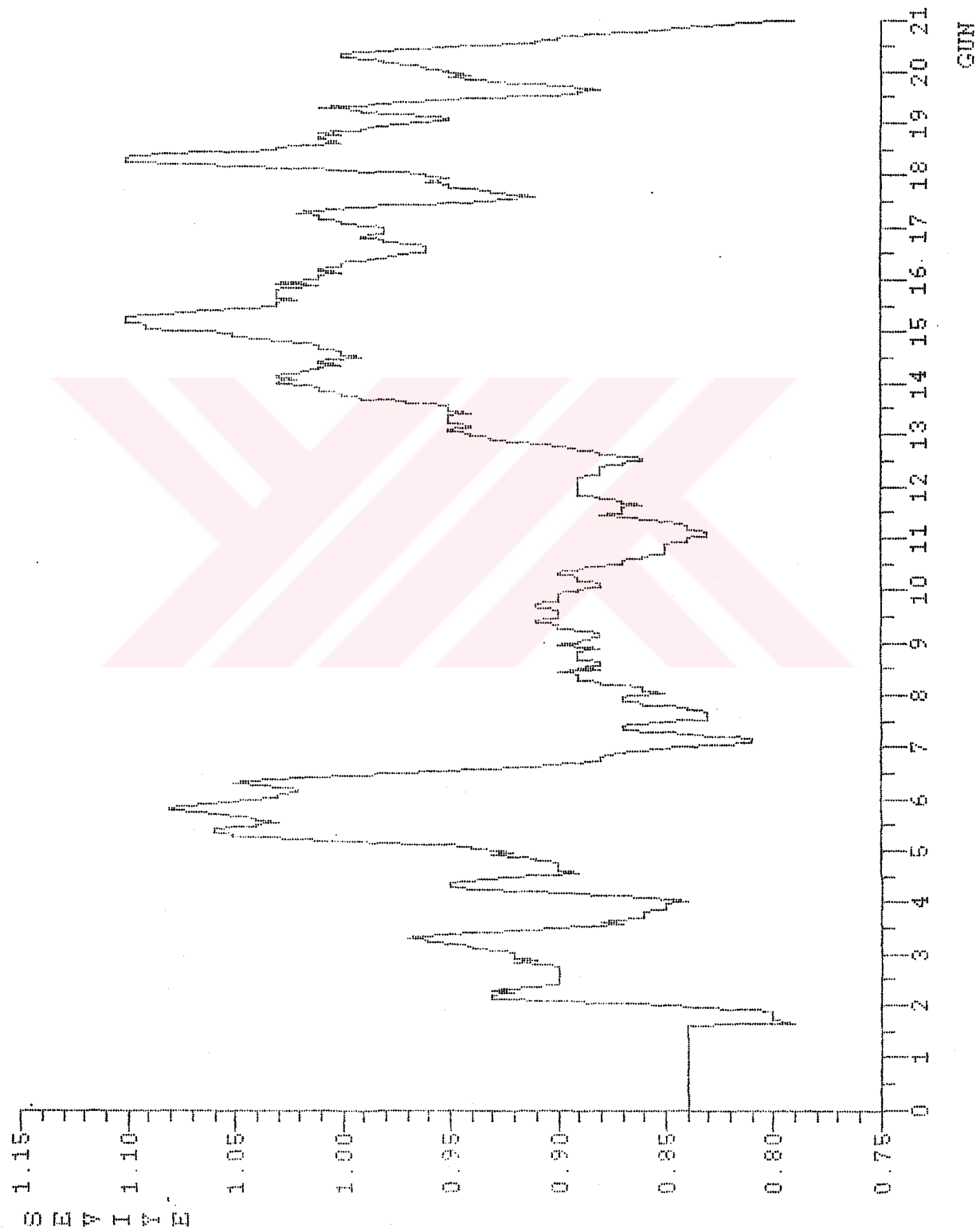
6/02/1986 - 25/02/1986



GTRN

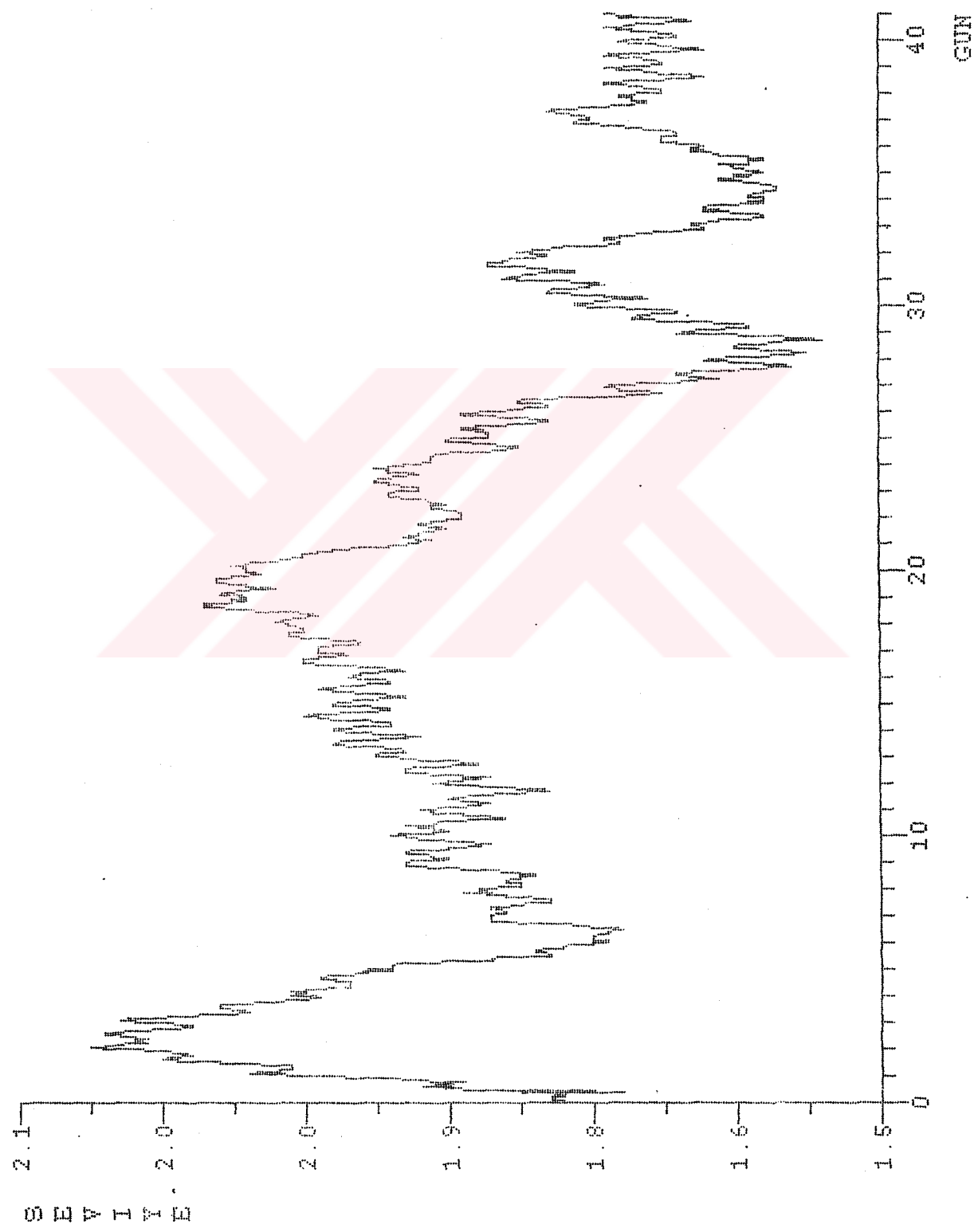
KLMKAPI SEV. IST. (5)

6/02/1986 - 25/02/1986



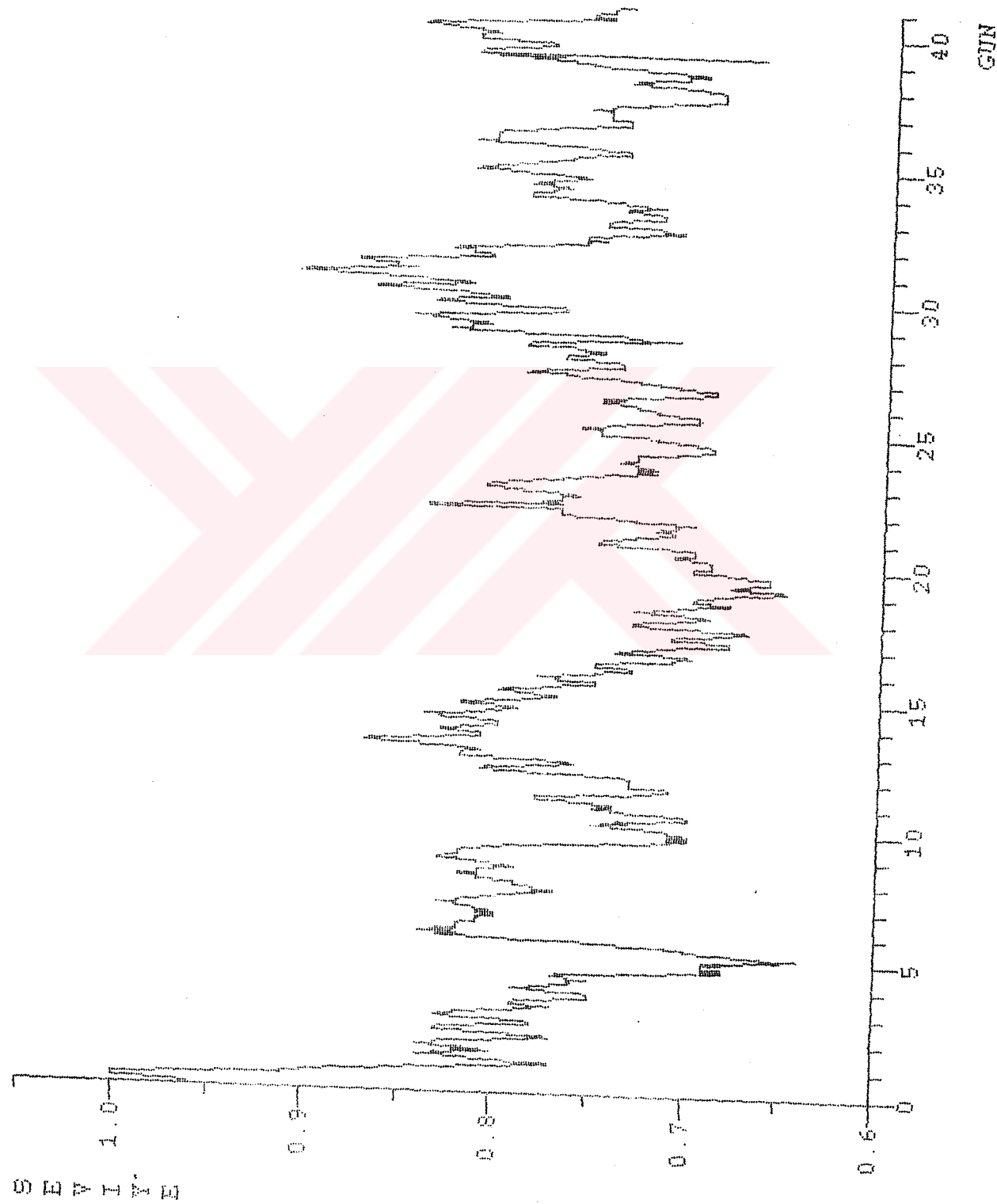
POVRAZHOV SEV. -IST. (6)

25/02/1986 - 6/04/1986



KUMKAPI SEV. IST. (-6)

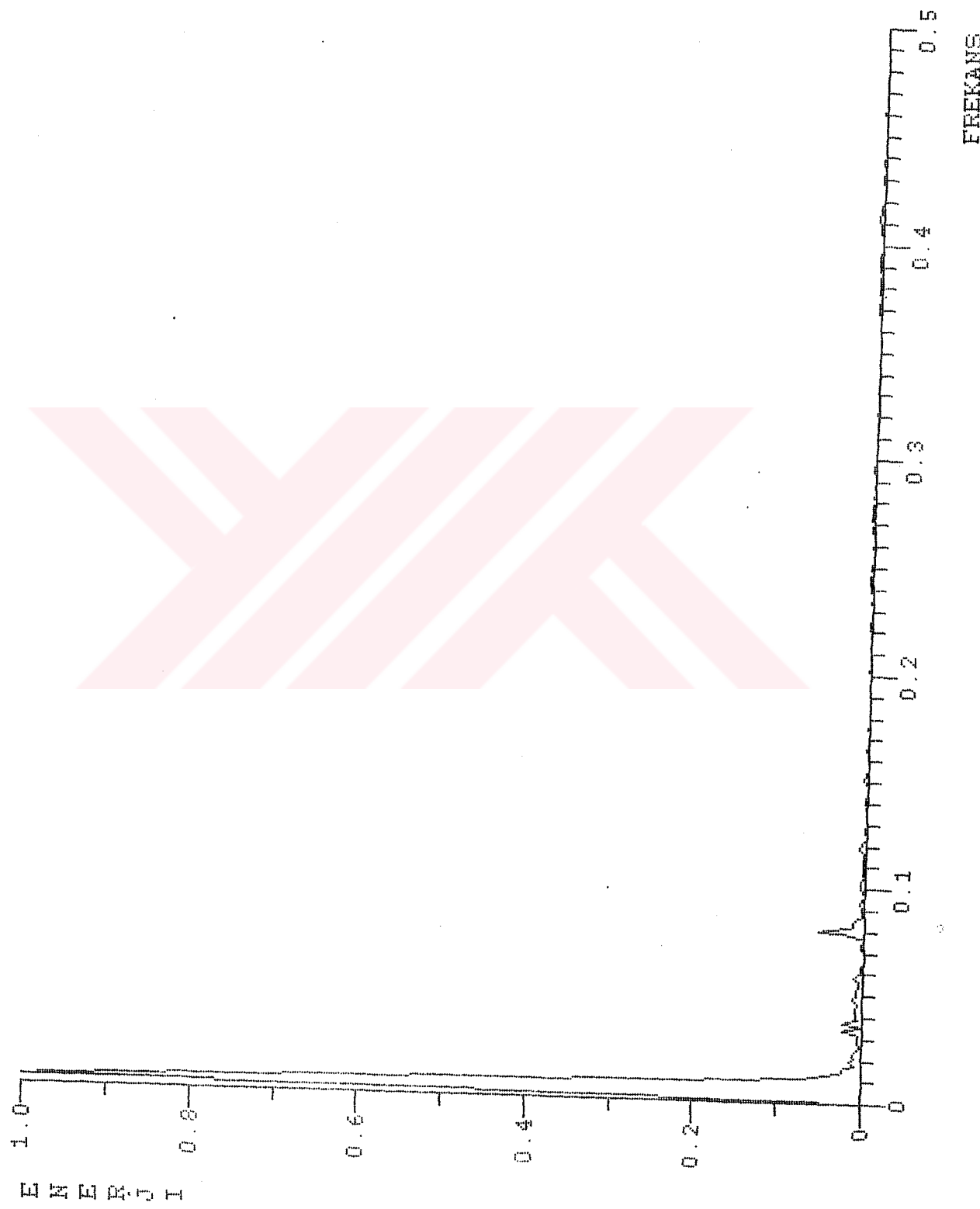
25/02/1986 - 6/04/1986



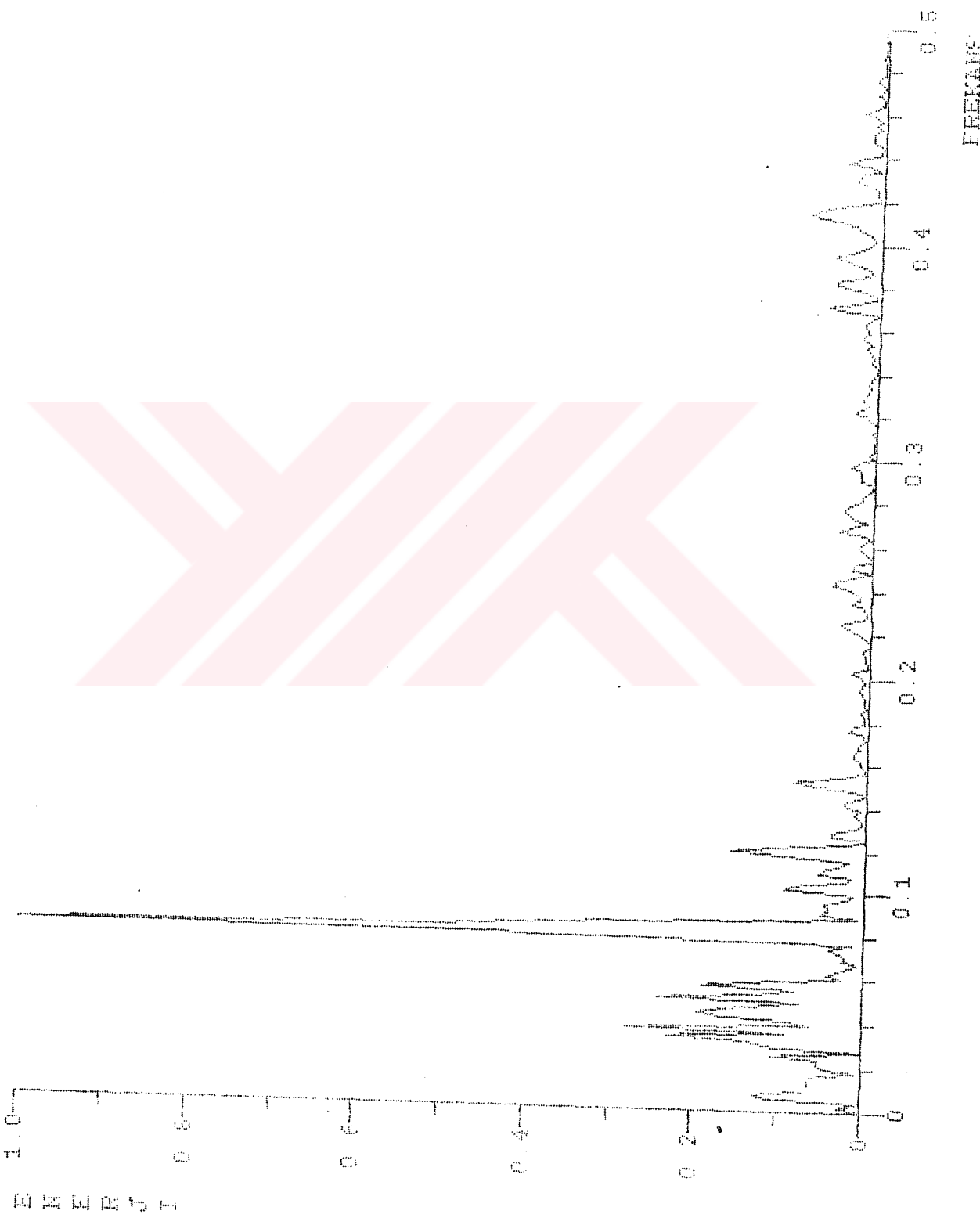
EK-2 AKINTI HIZI VE SEVİYE FARKI VERİ KUTUKLERİ SPEKTRUM GRAFİKLERİ

ANADOLU KAVAGI Spektrum Grafigi

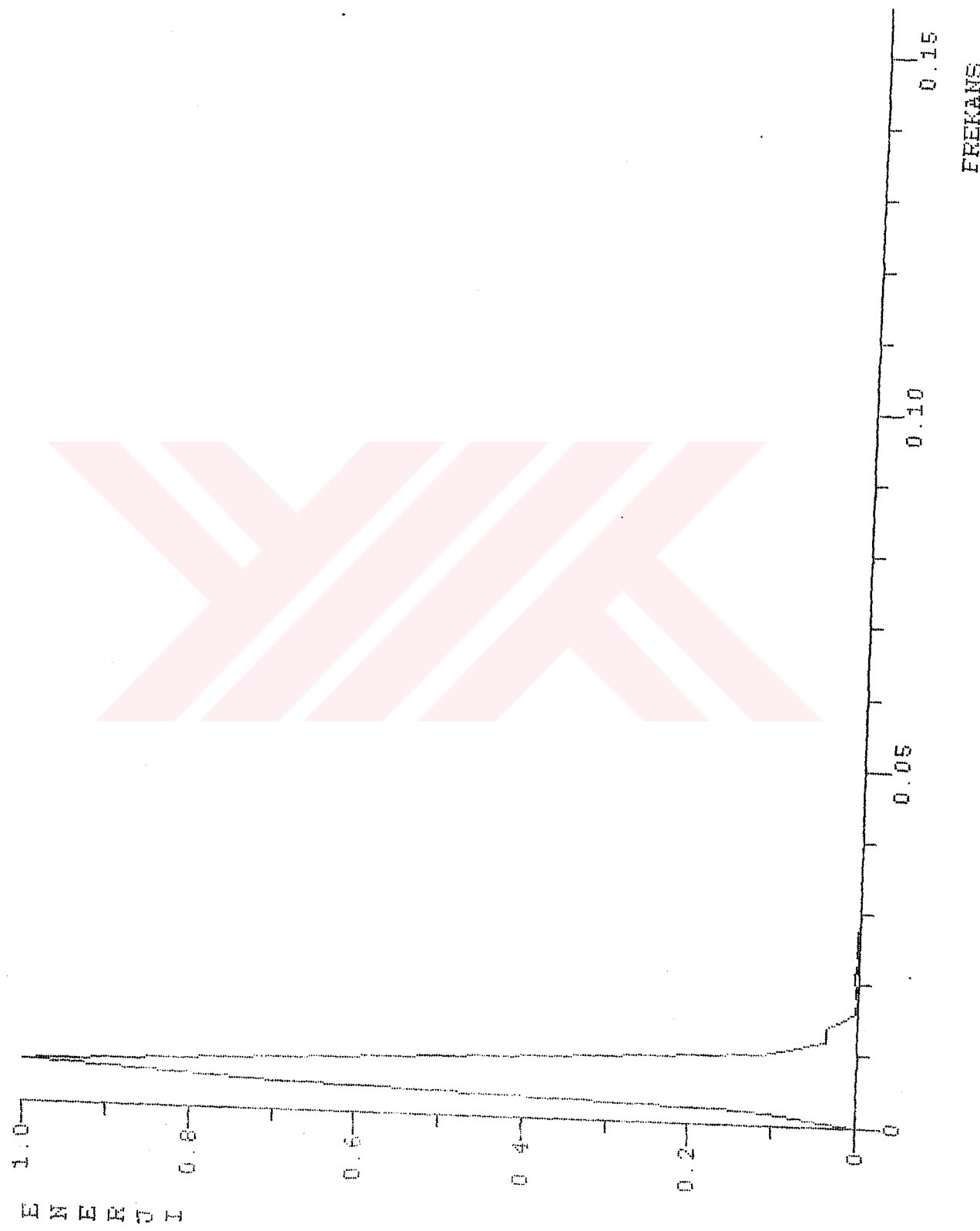
KGINRID1 (19 Mayıs-4 Haziran 1985)



KG1NP1.HP FILTER

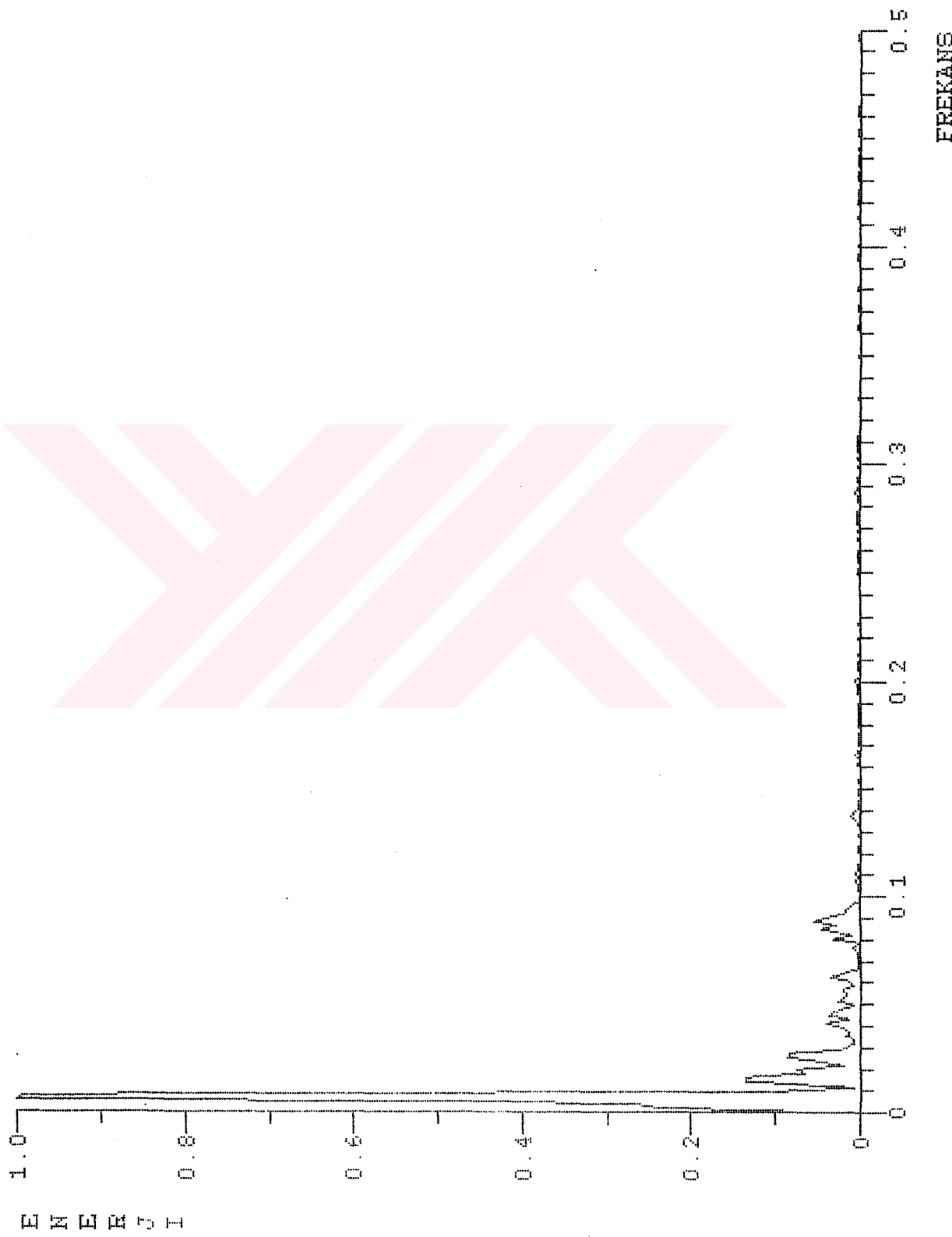


KGINR1.LP FILTRE

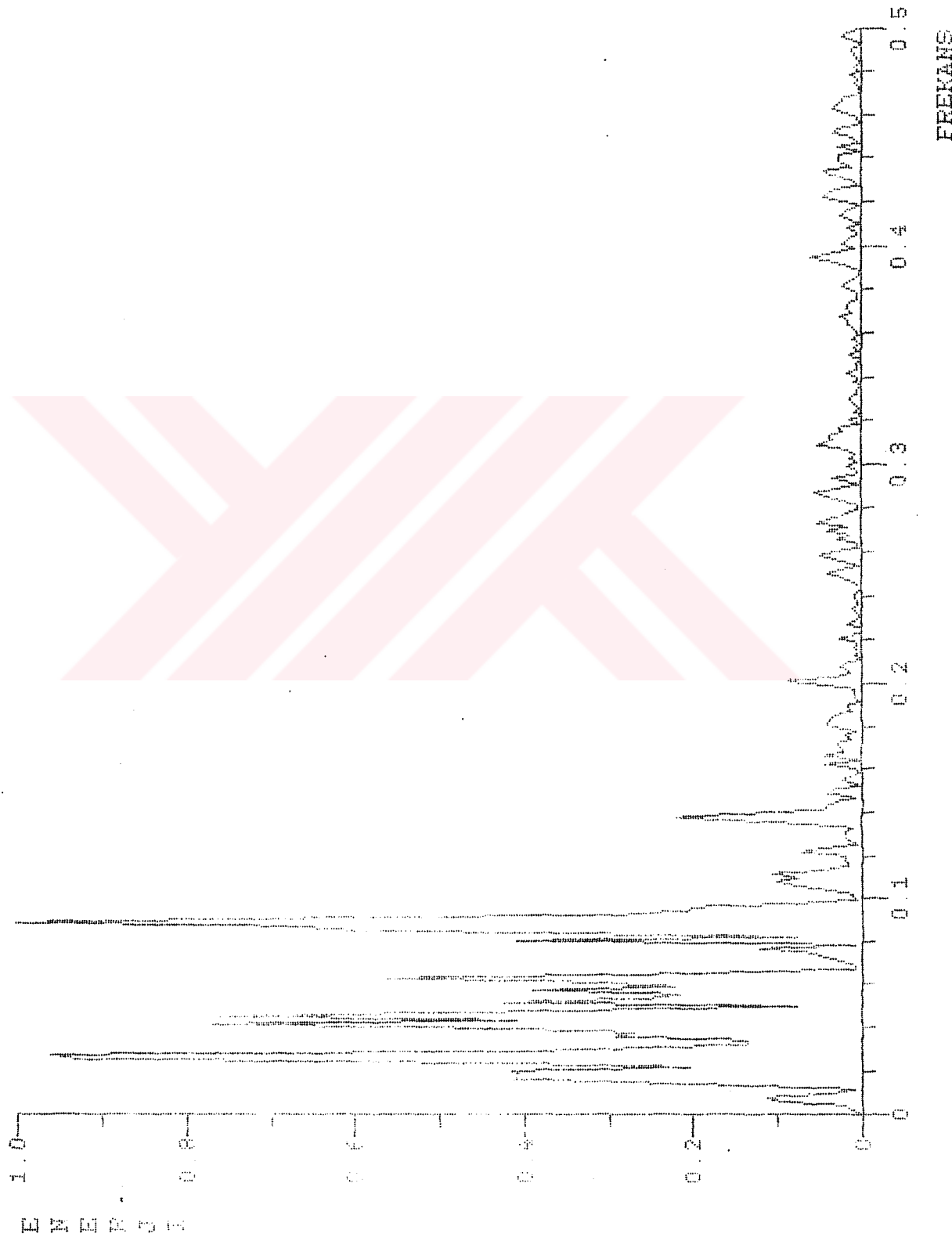


ANADOLU KAVAGI Spectrum Grafigi

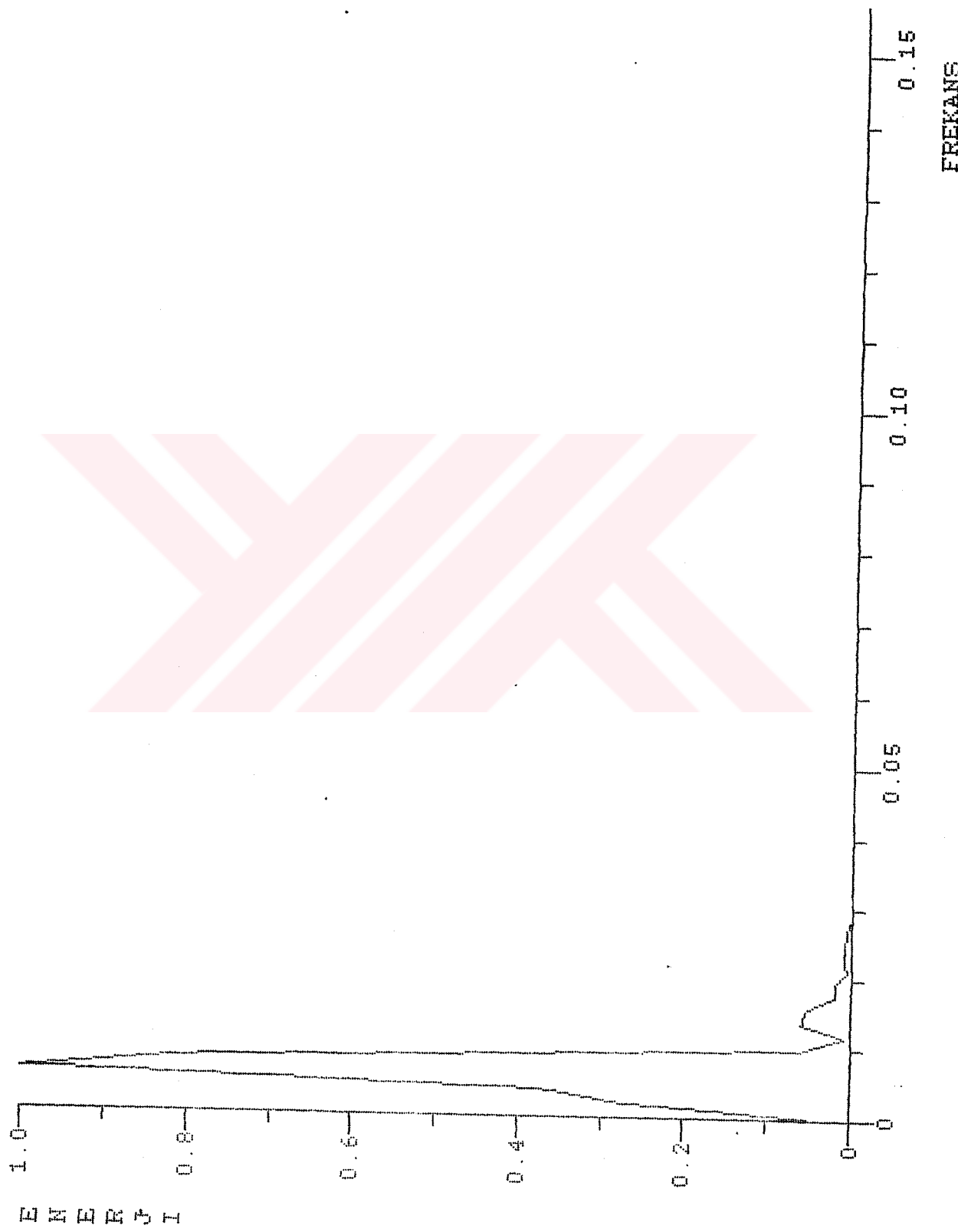
KG1NR2D1 (19 Mayıs-4 Haziran)



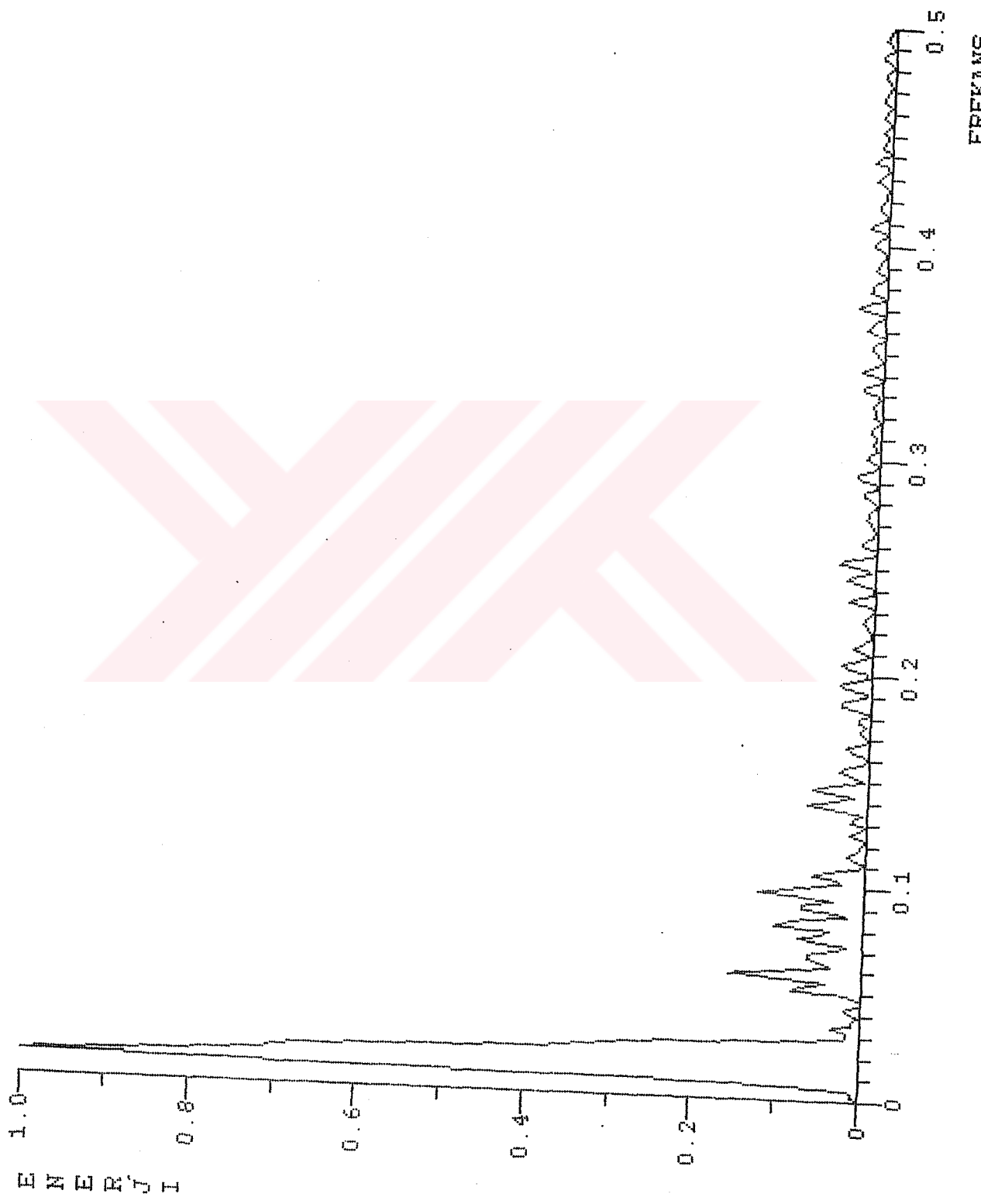
KG1NR2.HD FILTRE



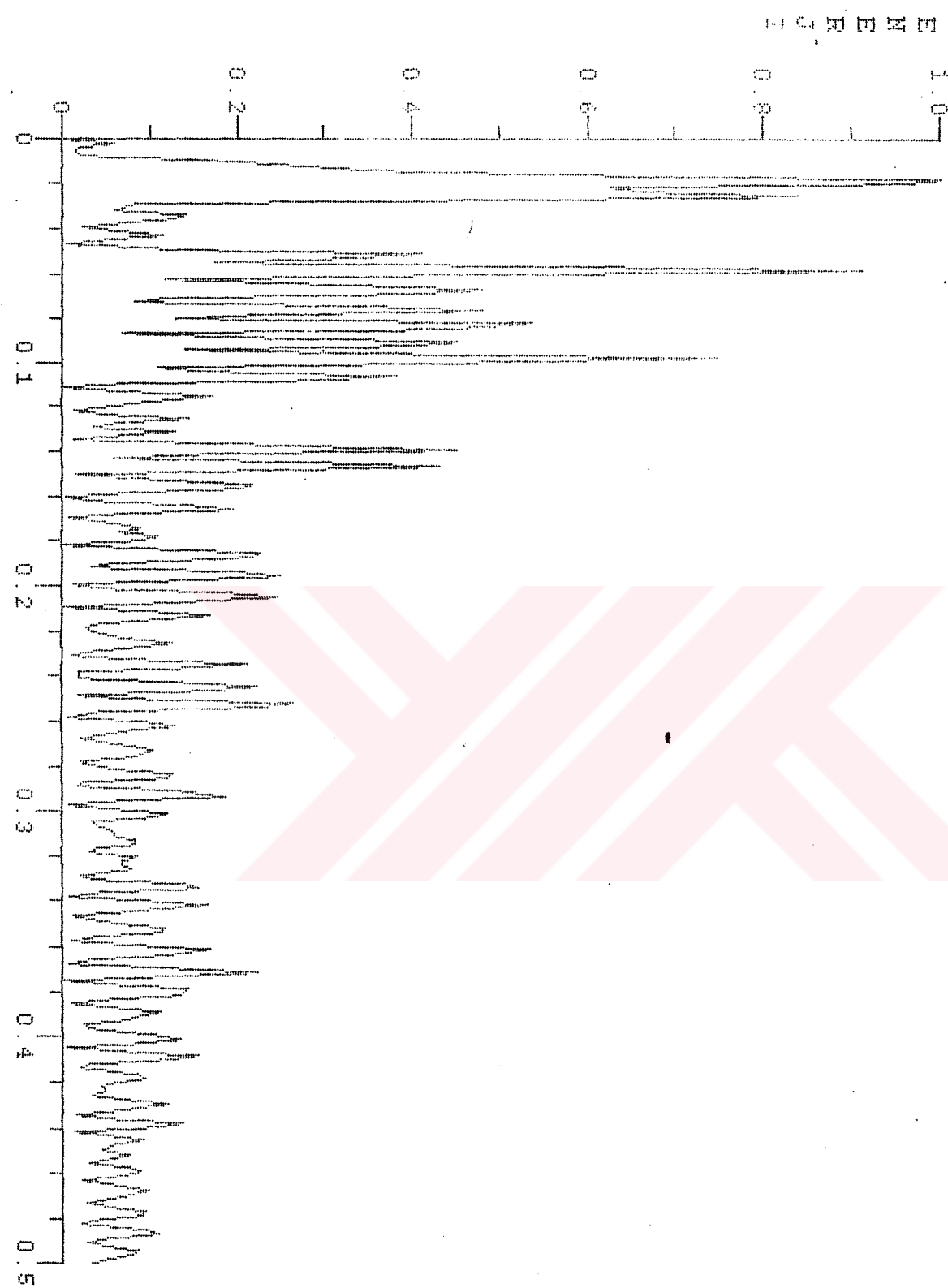
KG1NR2.LP



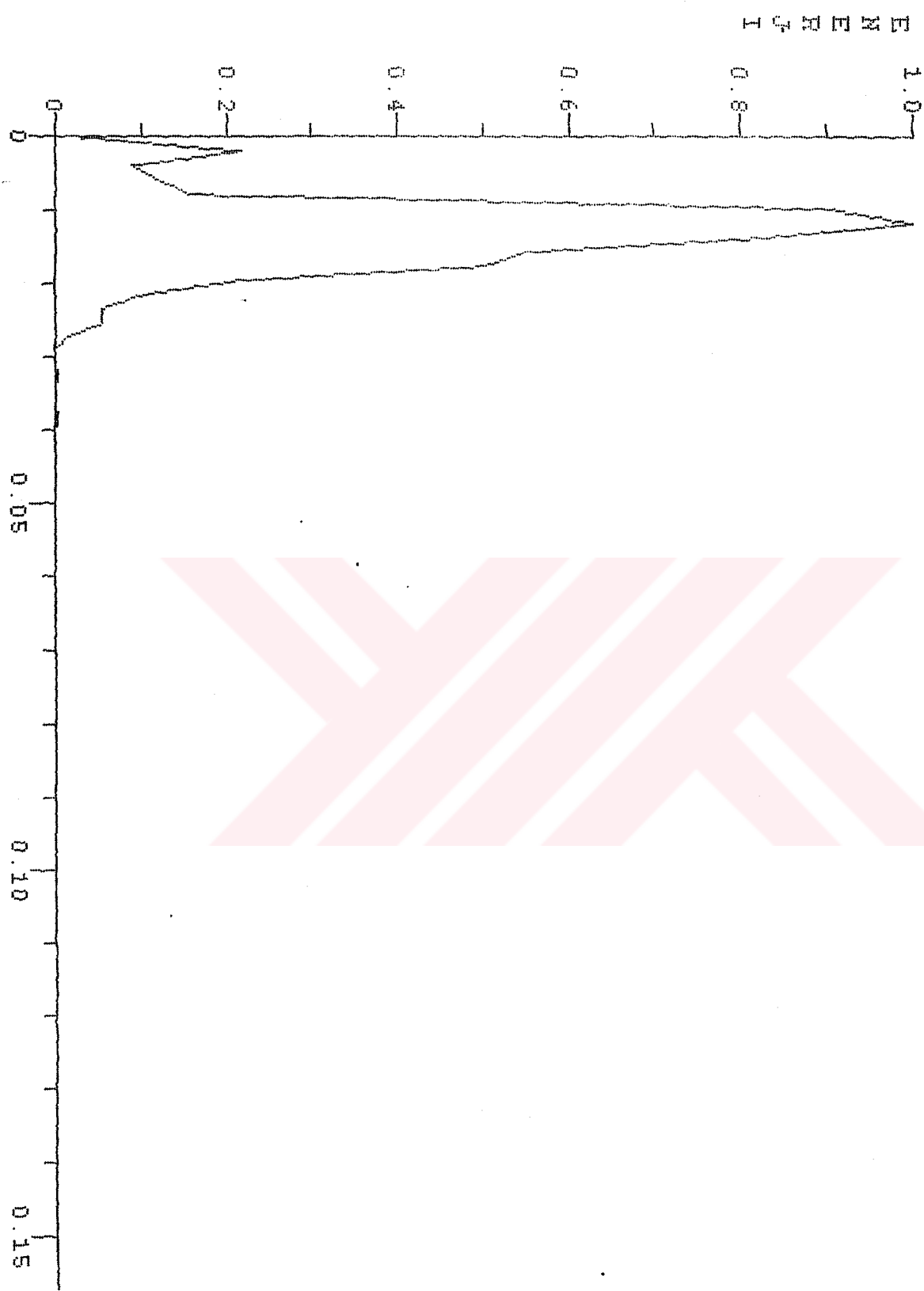
ANADOLU KAVAGI Spectrum Grafigi
KG1NR3D1 (19 Mayıs-4 Haziran)



KG1MR3.HP FILTRE

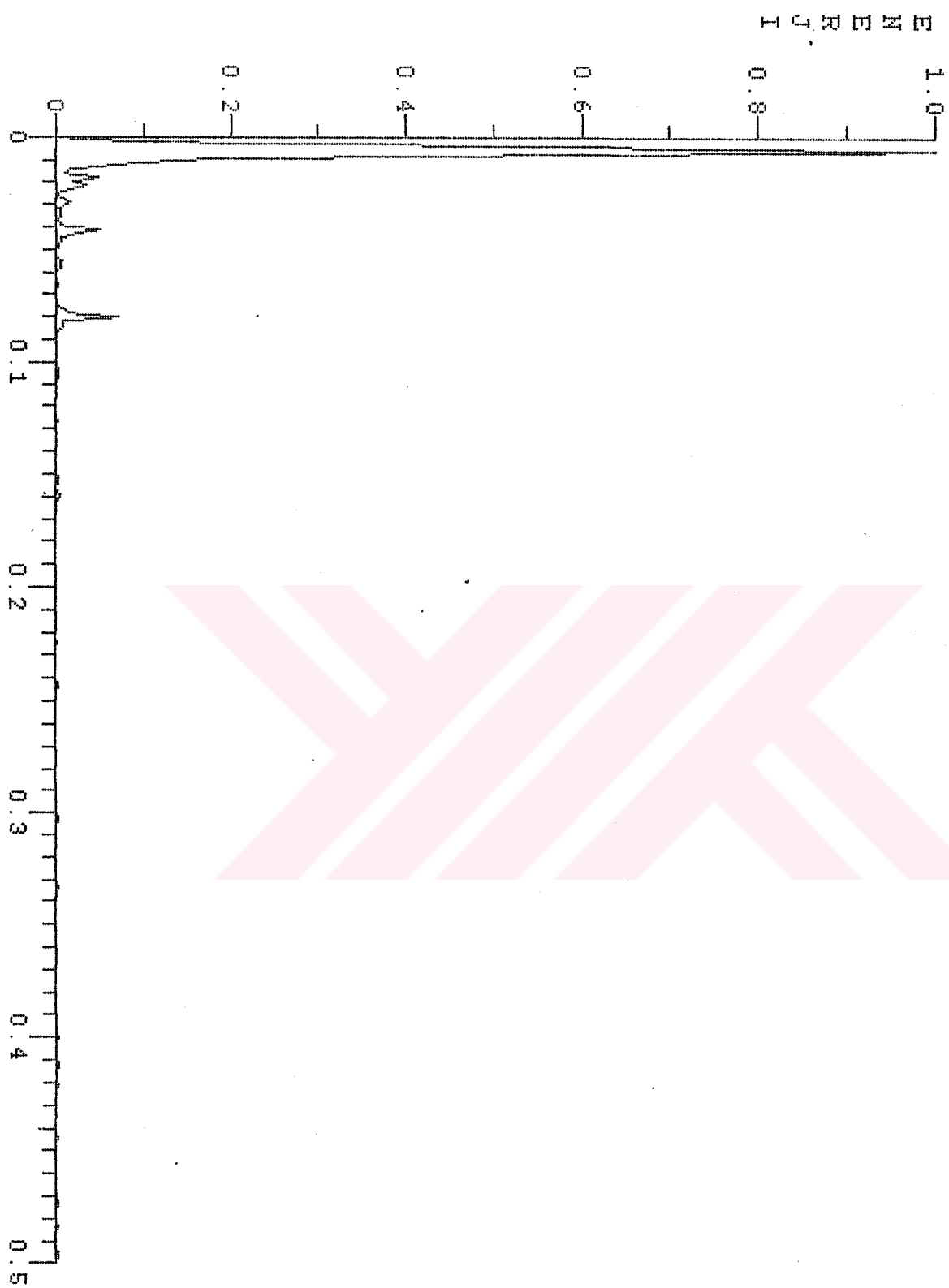


KGIMR3.LP FILTER

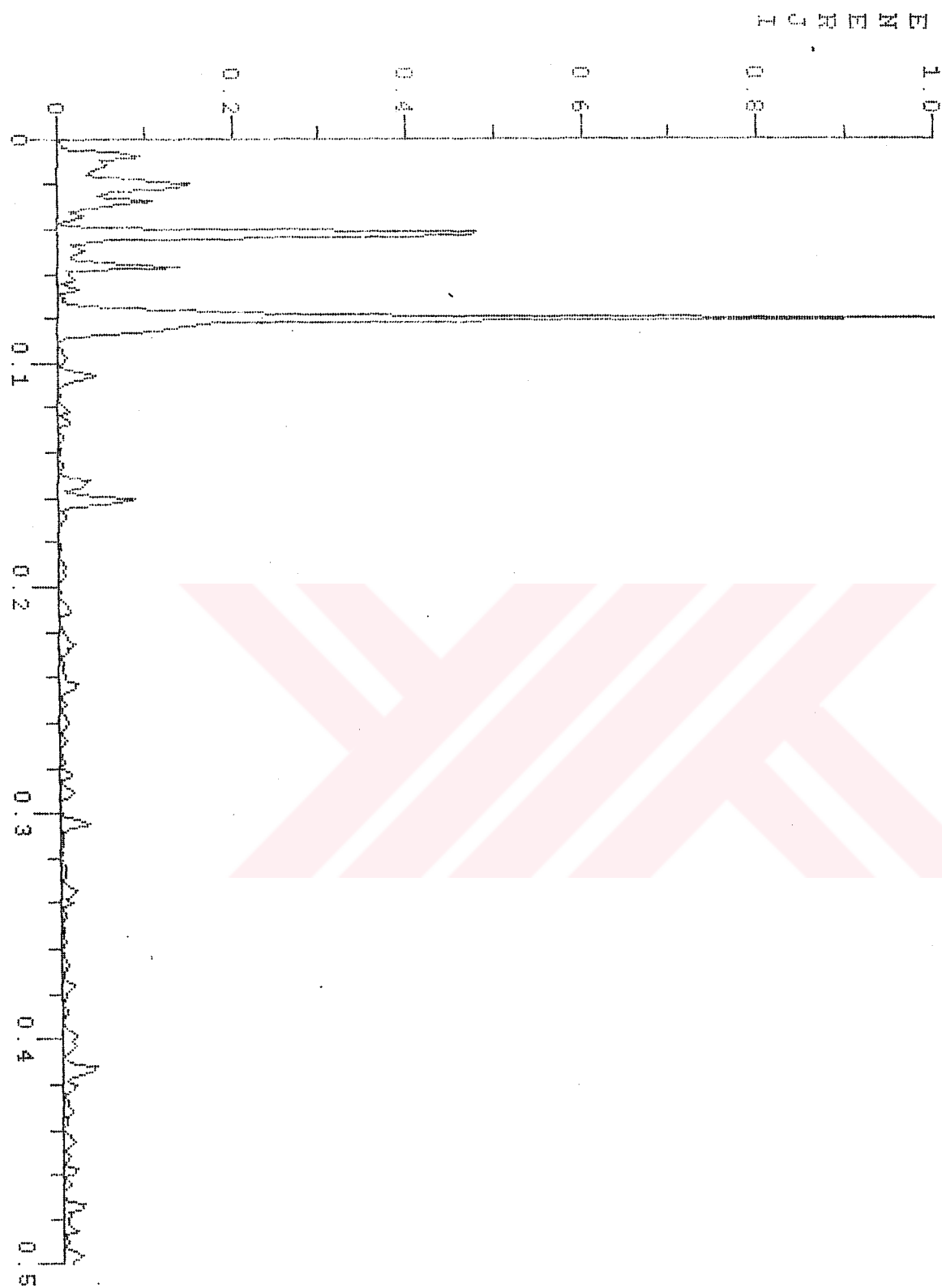


PASABAHÇE Spectrum Grafigi

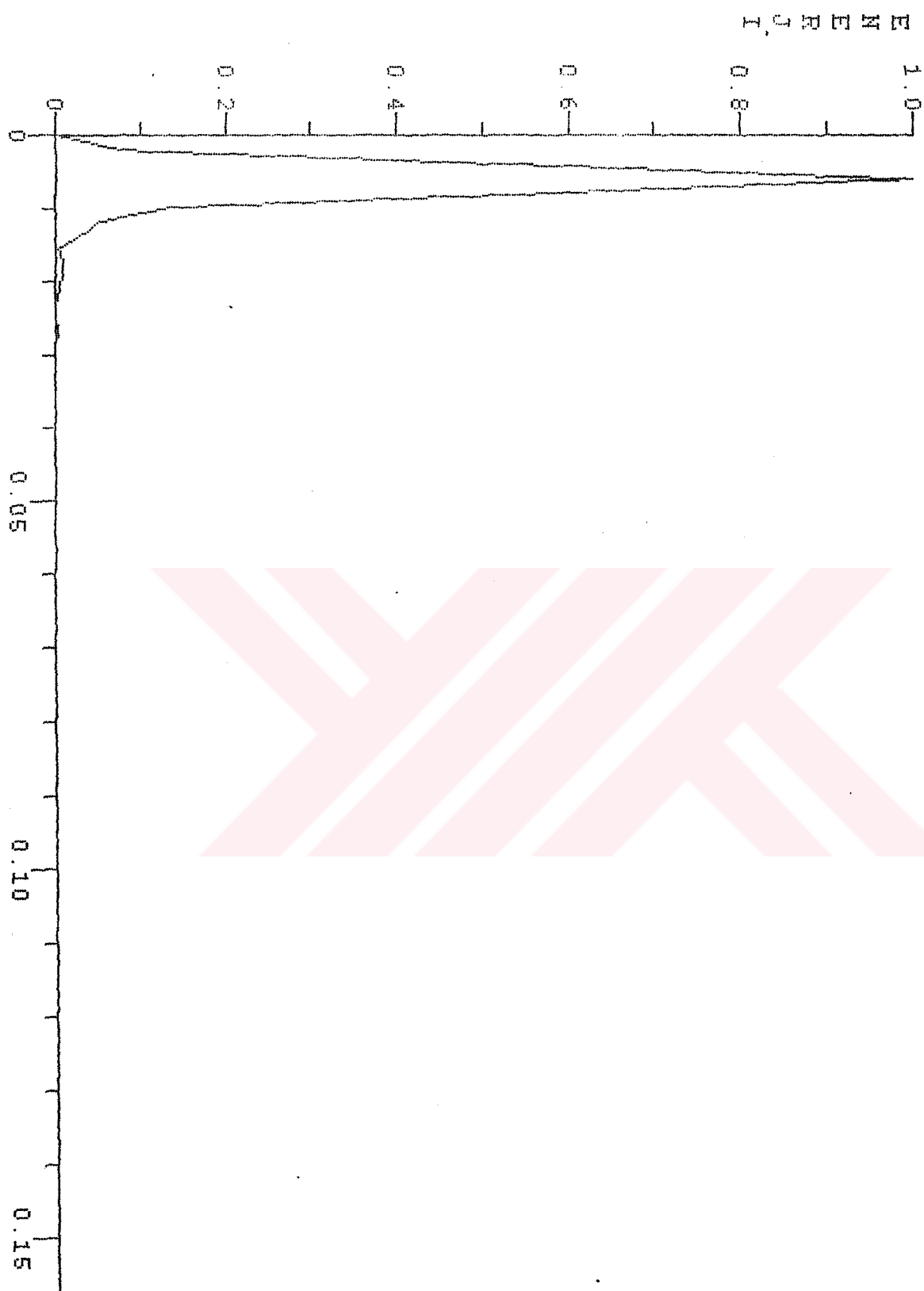
PKINR1D1 (19 Mayıs-4 Haziran)



PRIMER.HP FILTRE

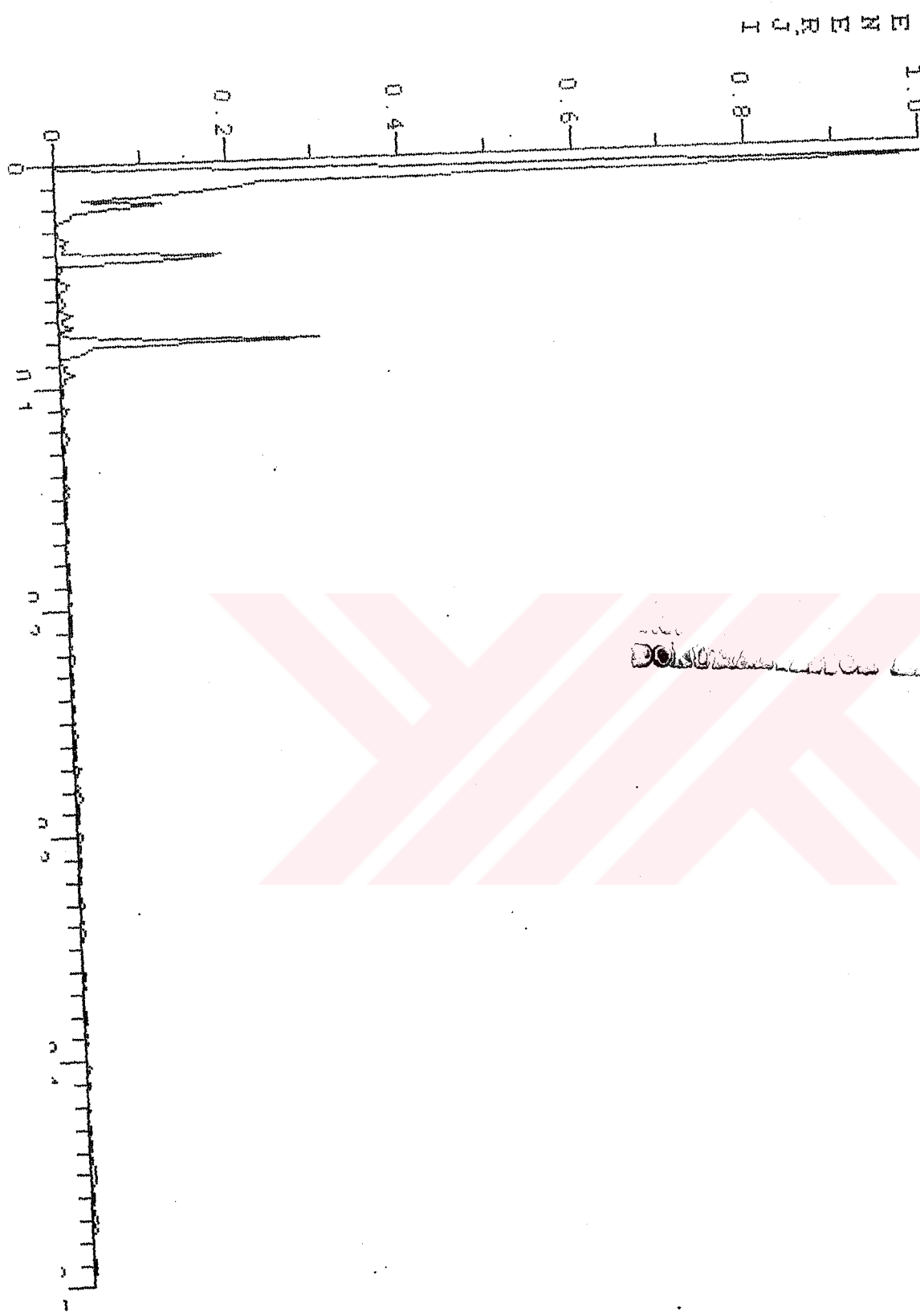


PK1NRI.LP FILTER

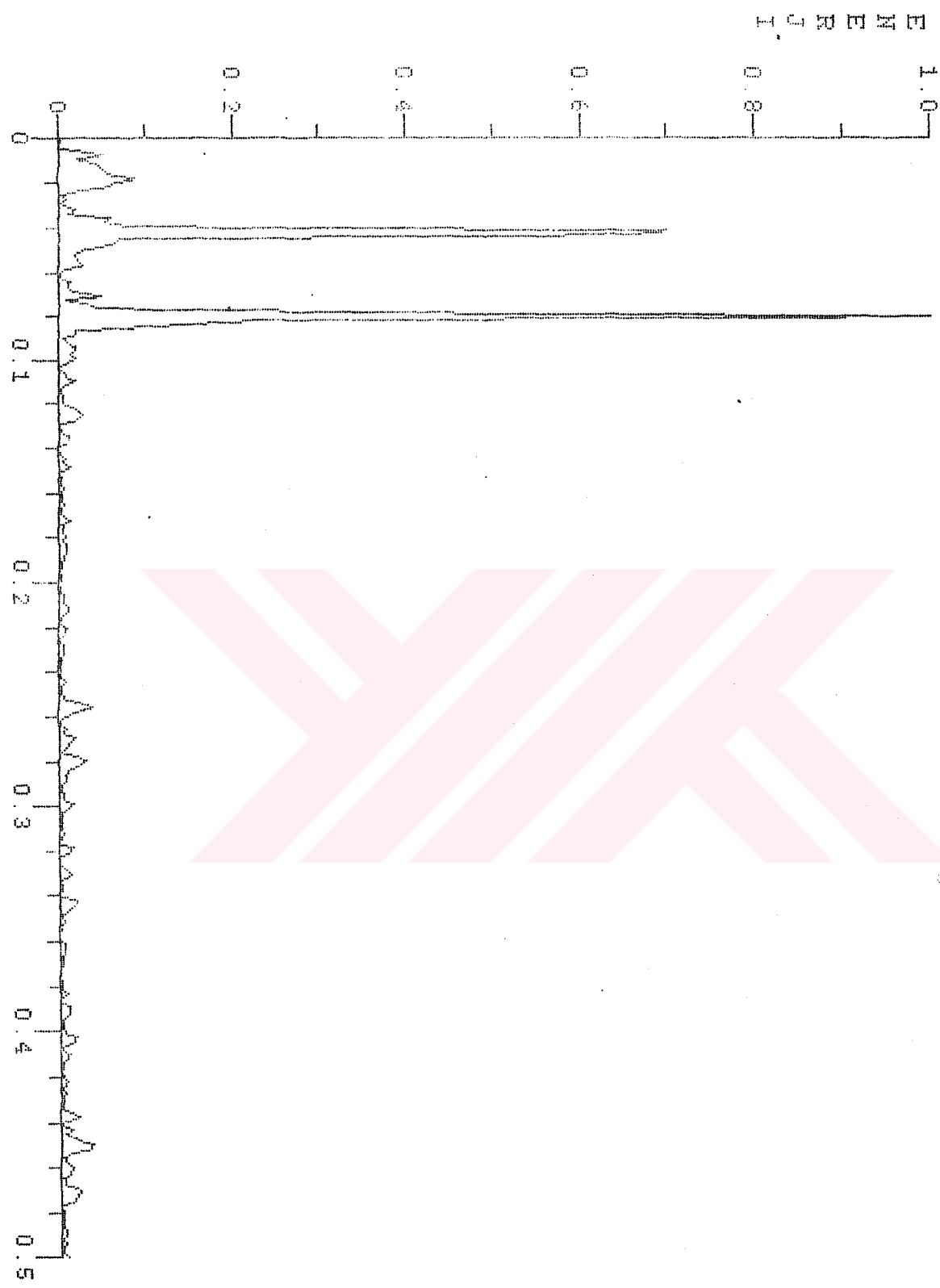


PASABAHC Spektrum Grafiği

PKINR2D1 (19 Mayıs-4 Haziran)

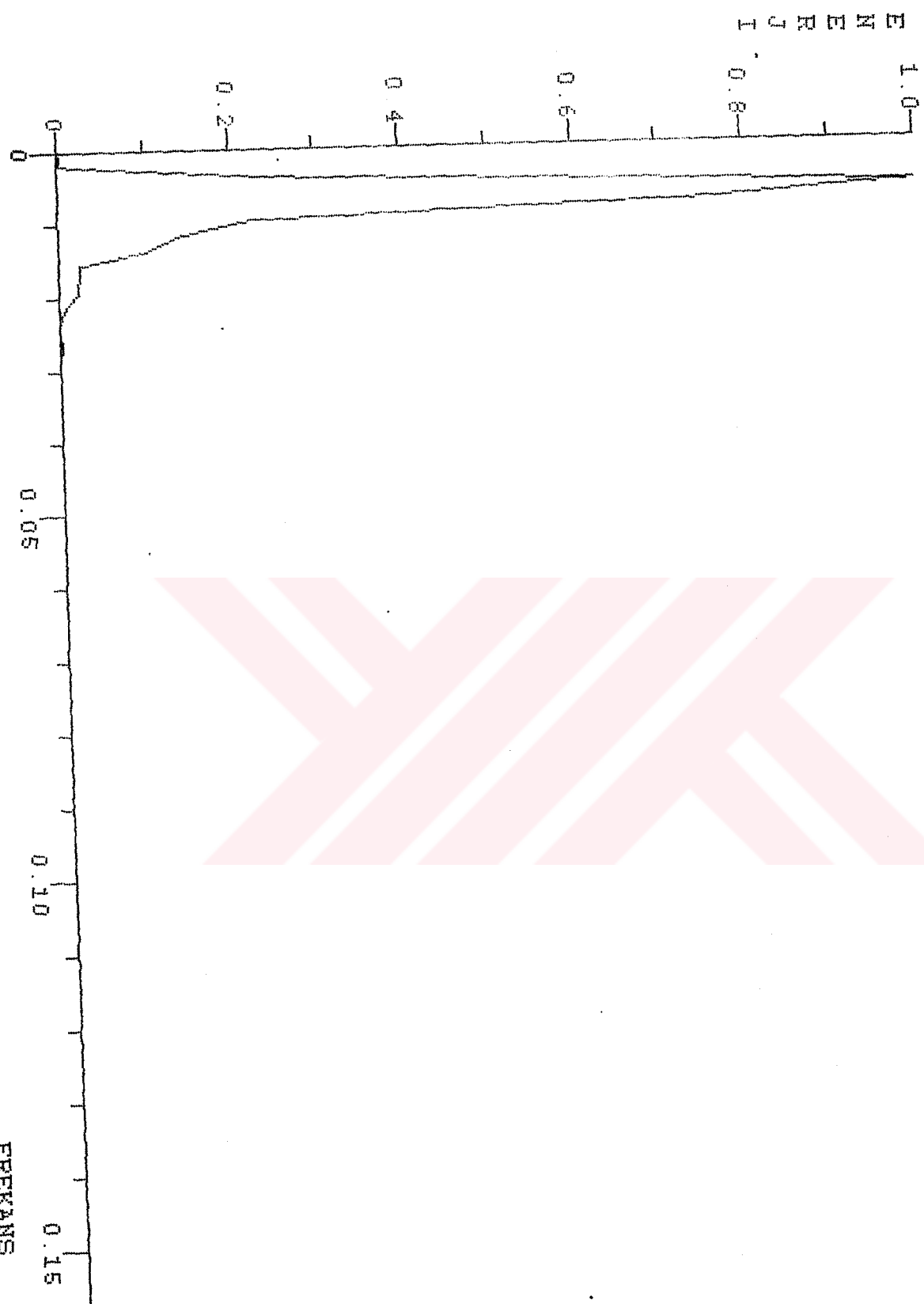


PR1NR2.HP FILTRE



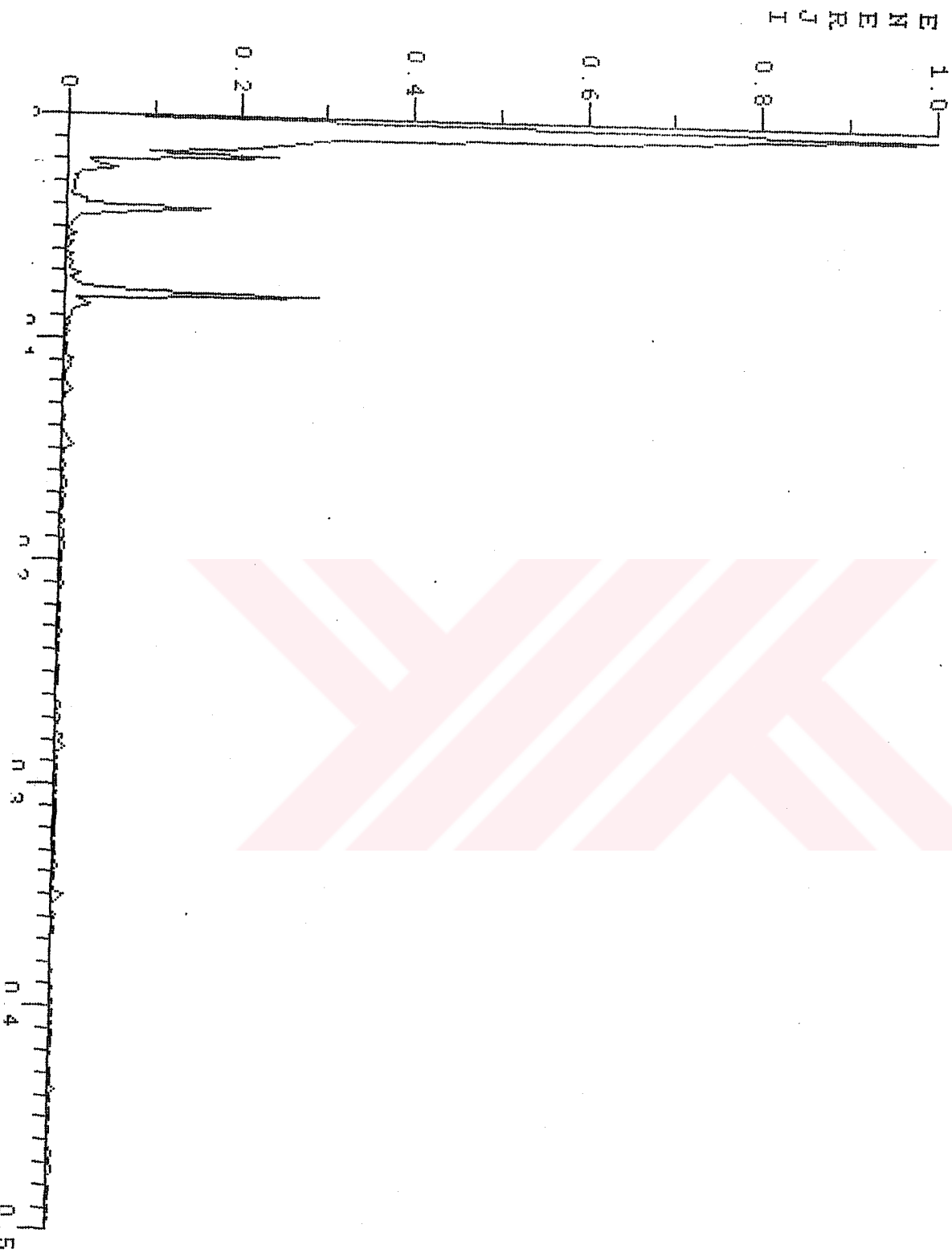
FREKANS

PK1MR2, LP FILTRE

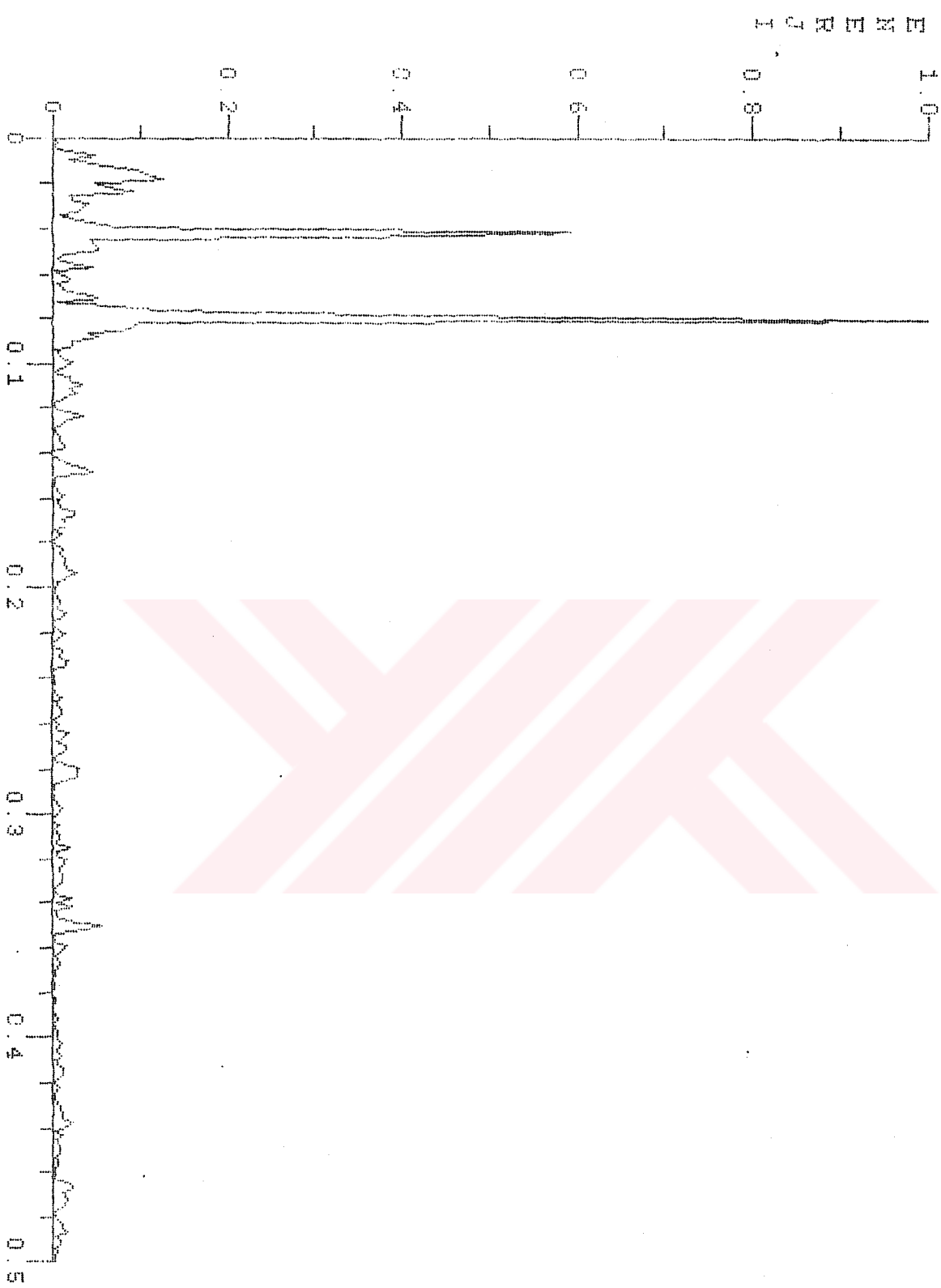


PASABALICE Spektrum Grafiği

PKINR3D1 (19 Mayıs-4 Haziran)

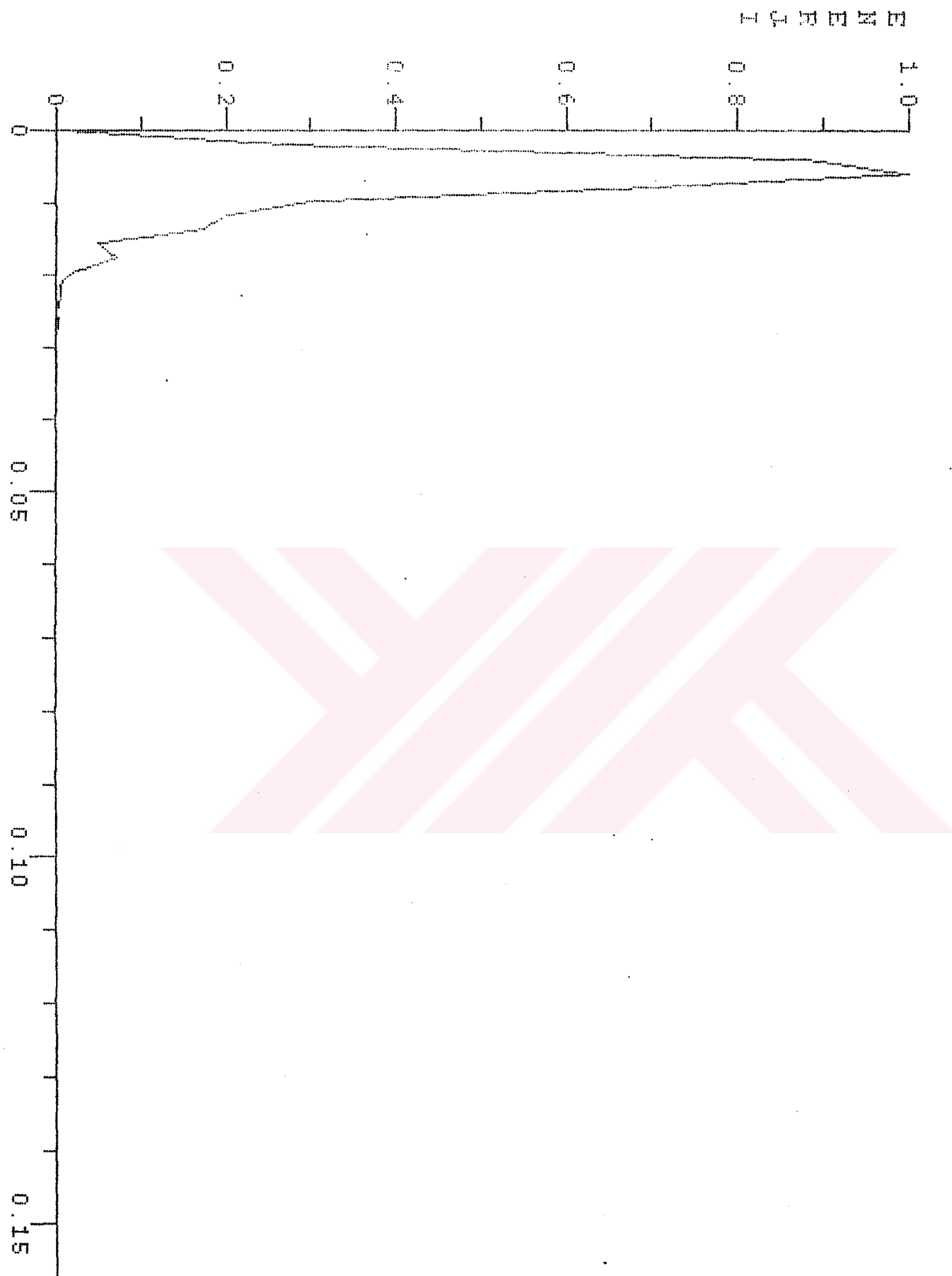


PK1NRS.HP FILTRE



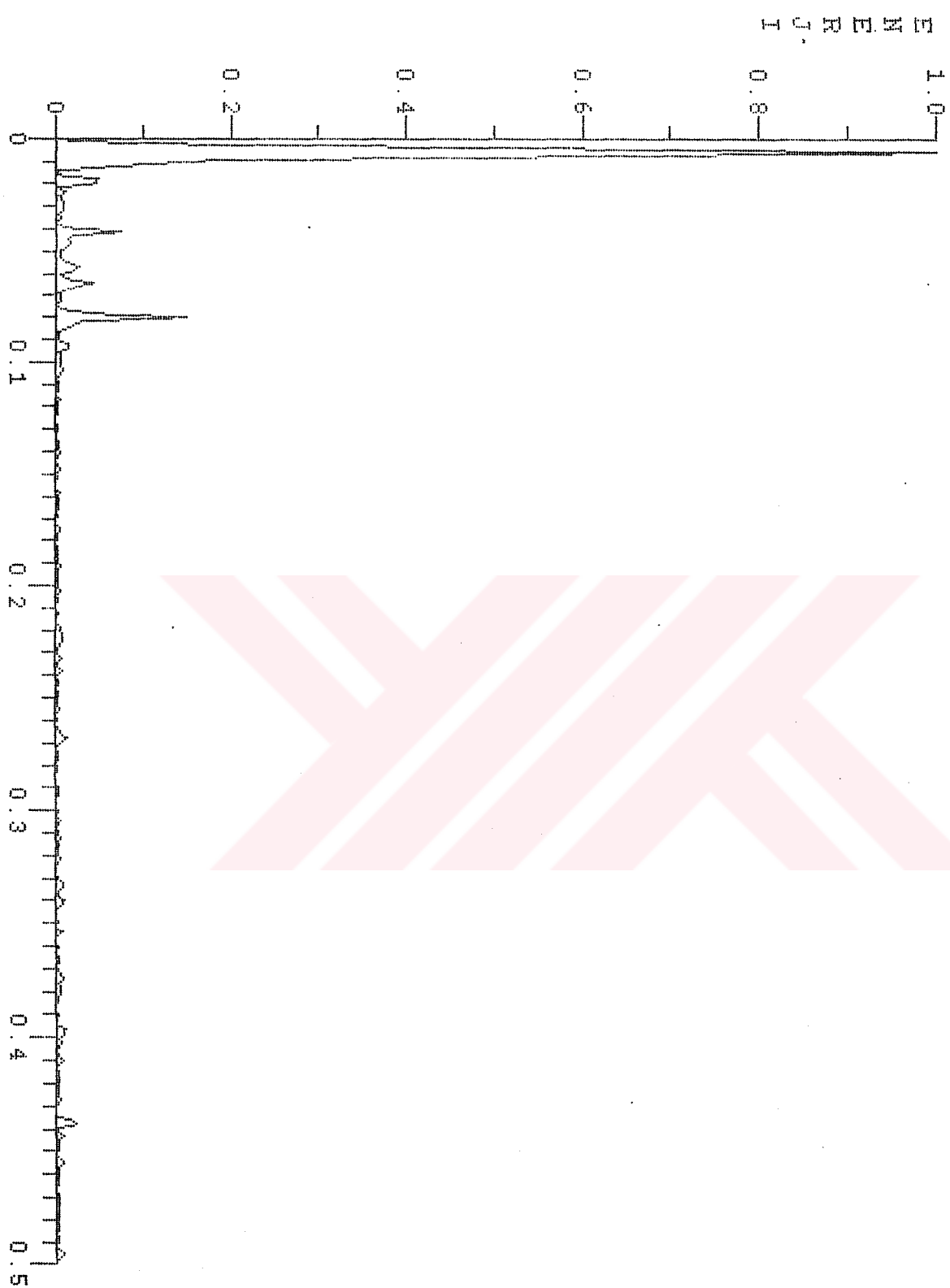
FREKANS

PRIMUS LP FILTRE

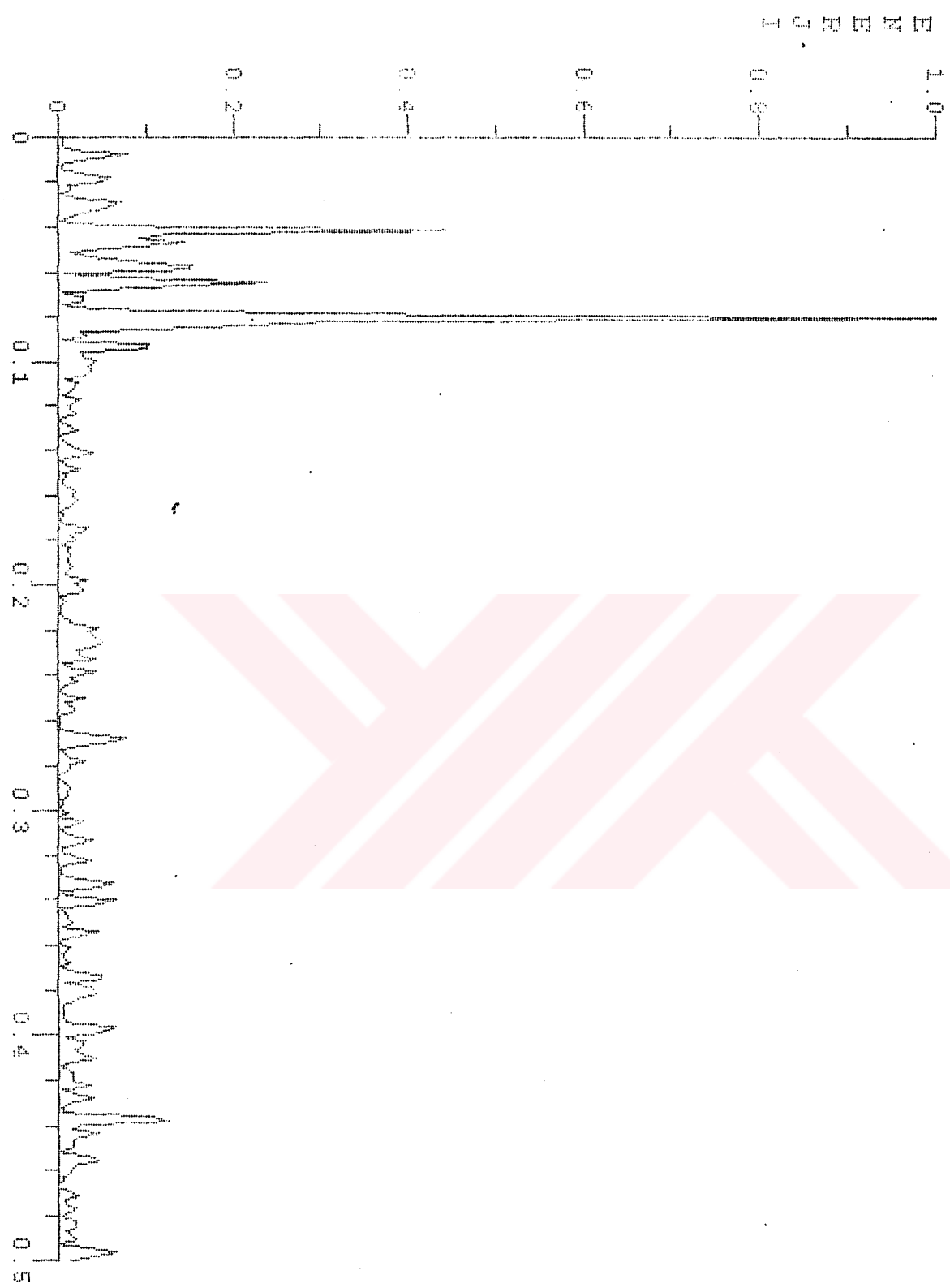


BALTALIMAN Spektrum Grafiği

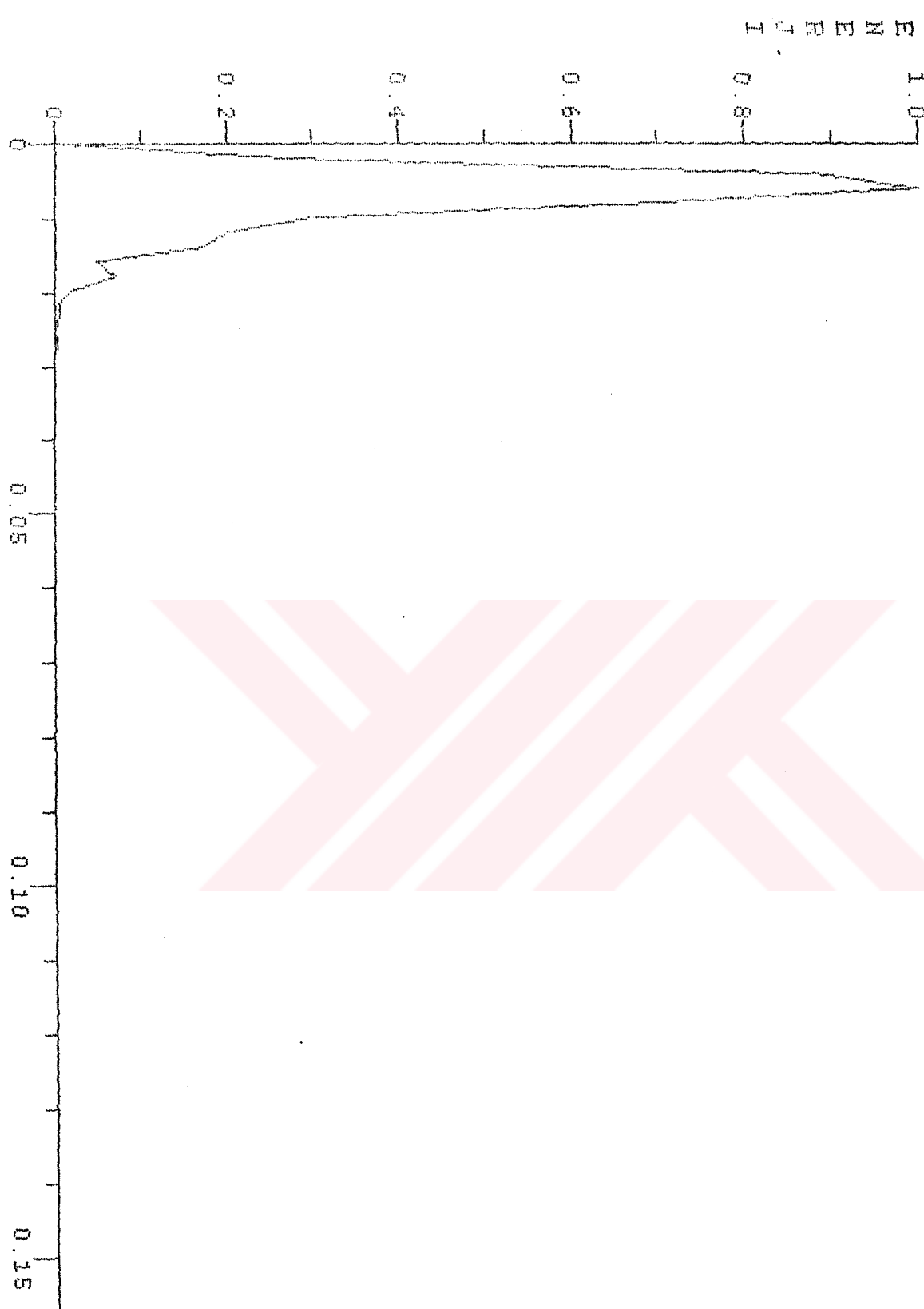
BL1MR1D1 (19 Mayıs-4 Haziran)



BL INRI.HP FILTRE



BL1MR1.LP FILTRE

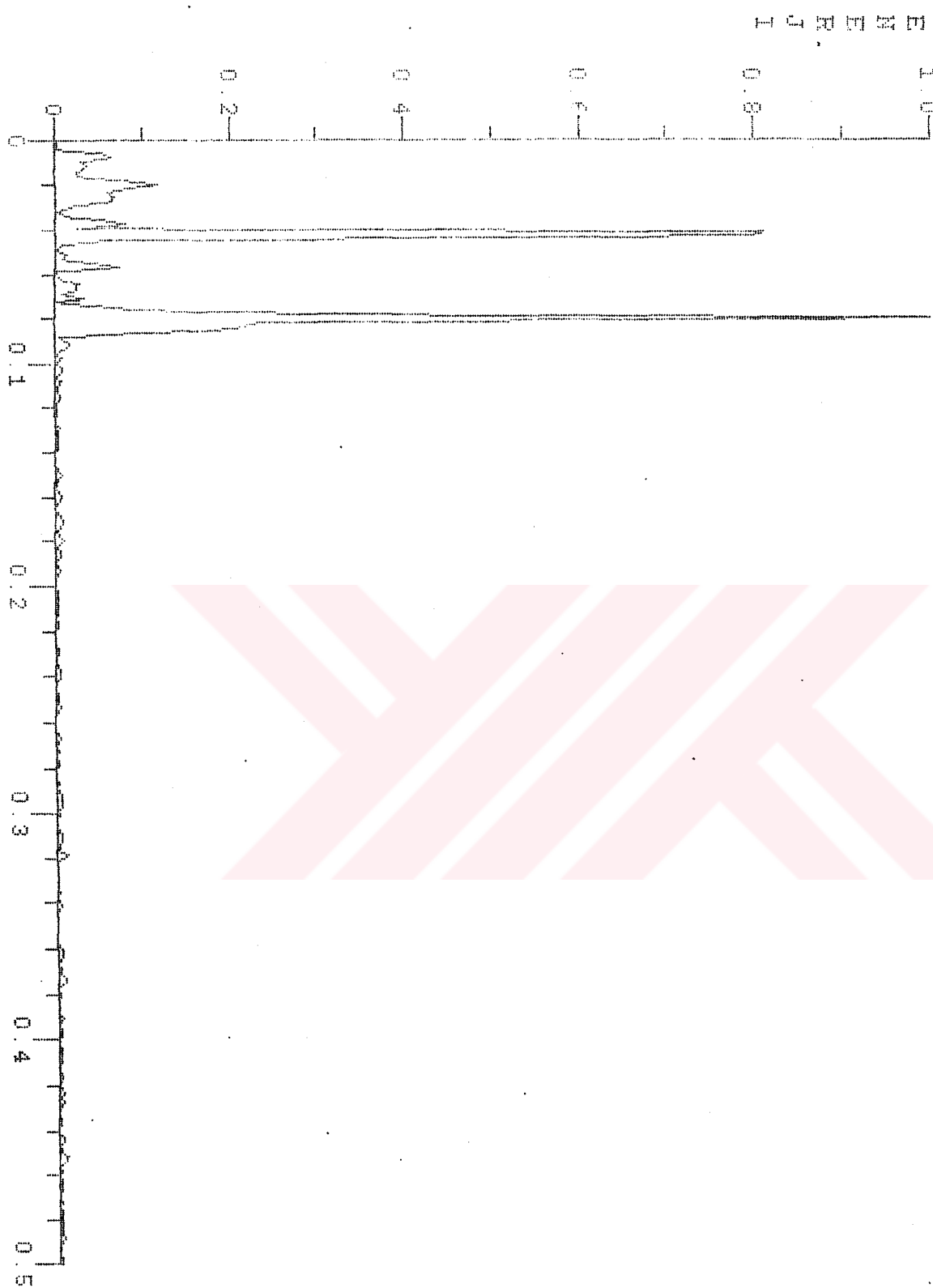


BALTALIMANİ Spektrum Grafiği

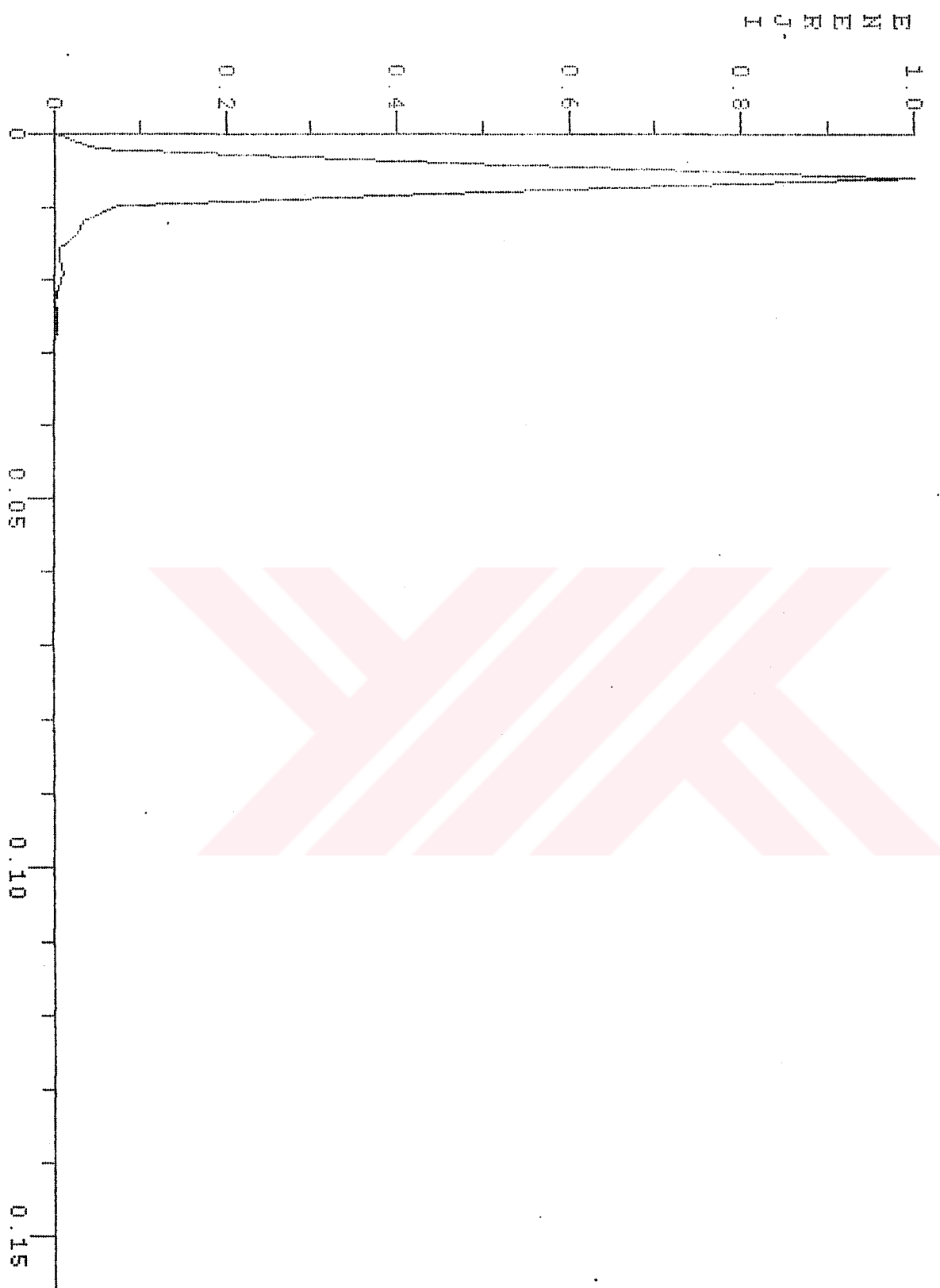
BLINR2D1 (19 Mayıs-4 Haziran)



BL IMP2, HF FILTRE

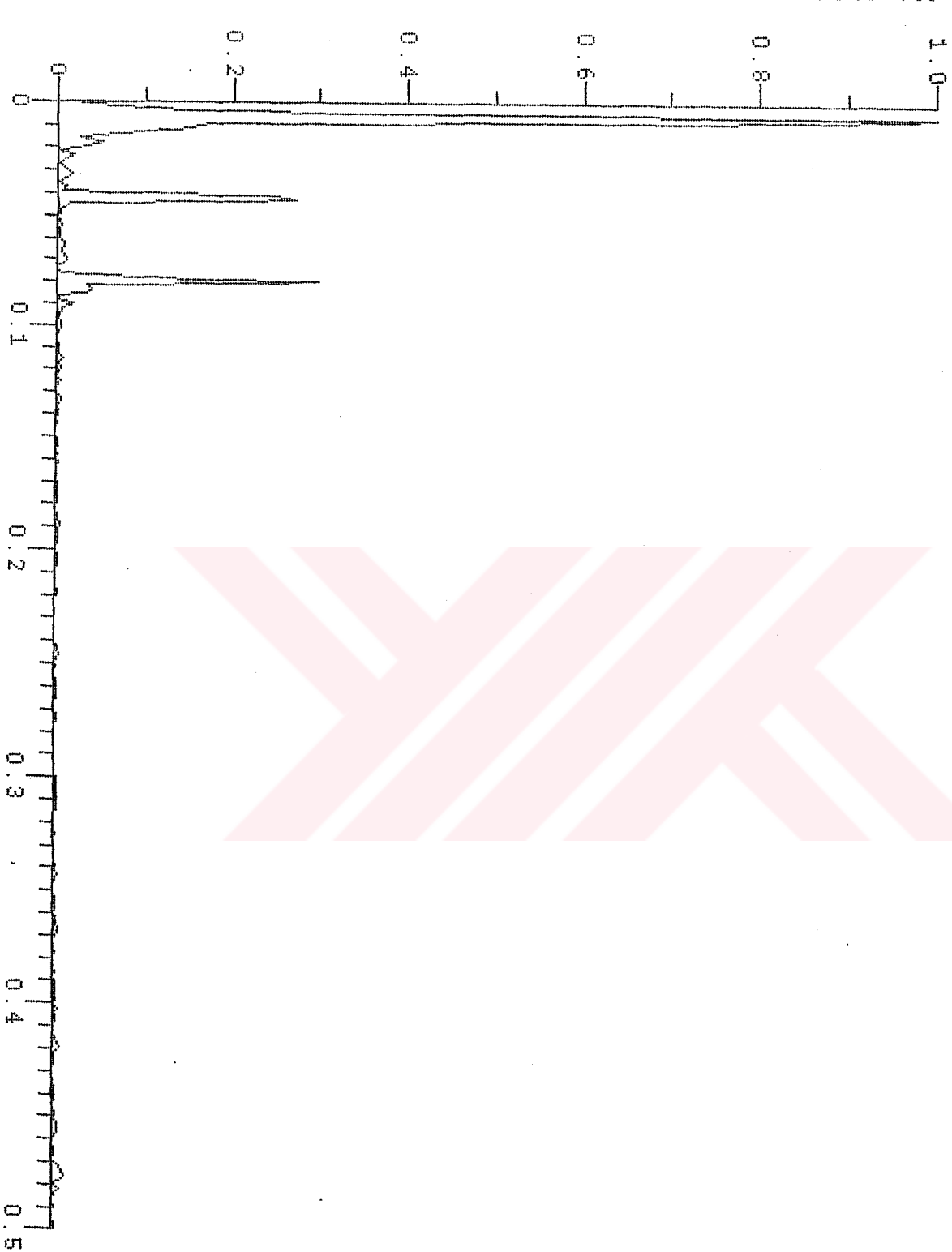


BL LINE2, LP FILTER

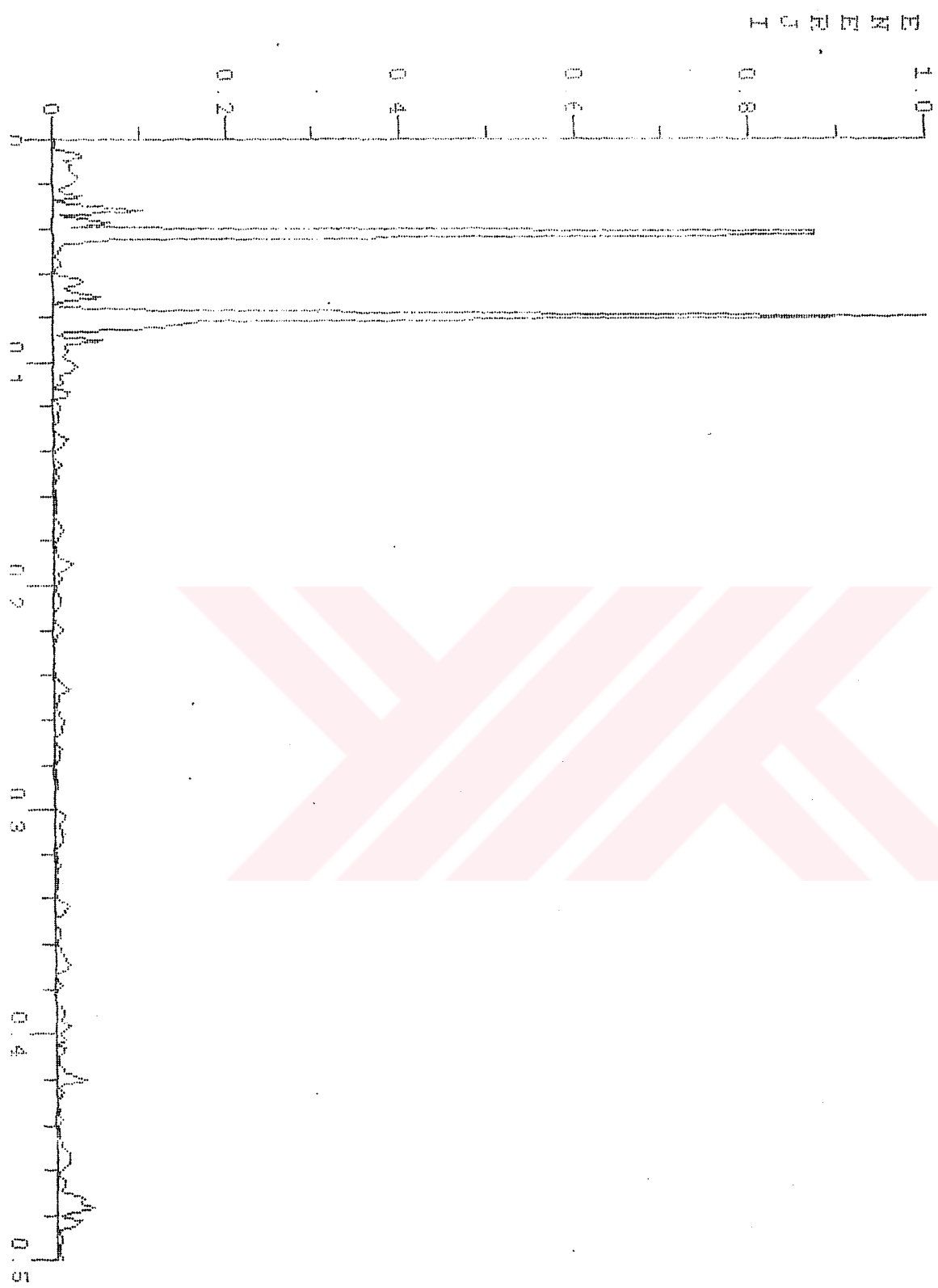


BALTALIMANI Spektrum Gafığı

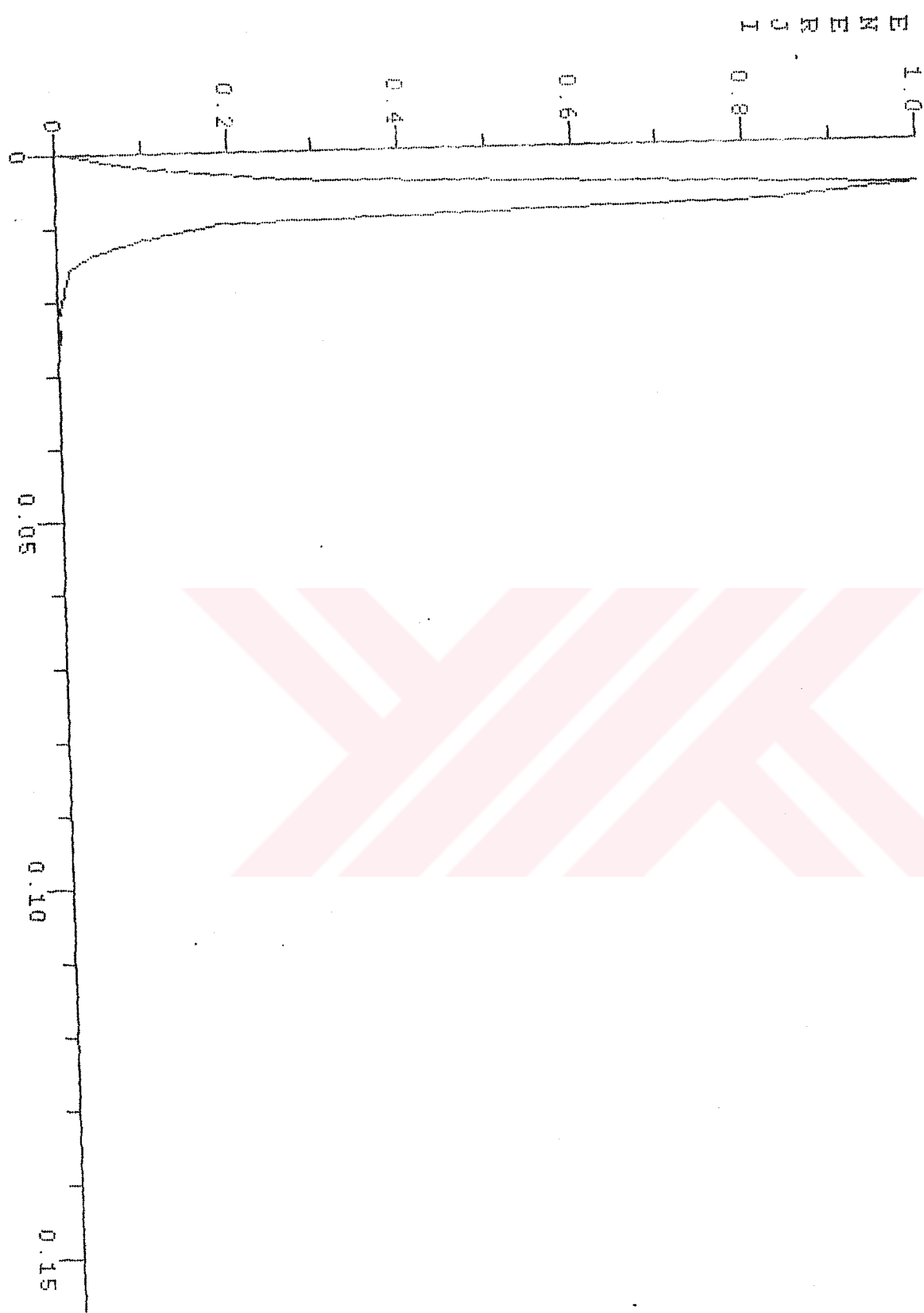
BL1NR3D1 (19 Mayıs-4 Haziran)



BLINKS.HD FILTRE



BL1MRS, LP FILTRE

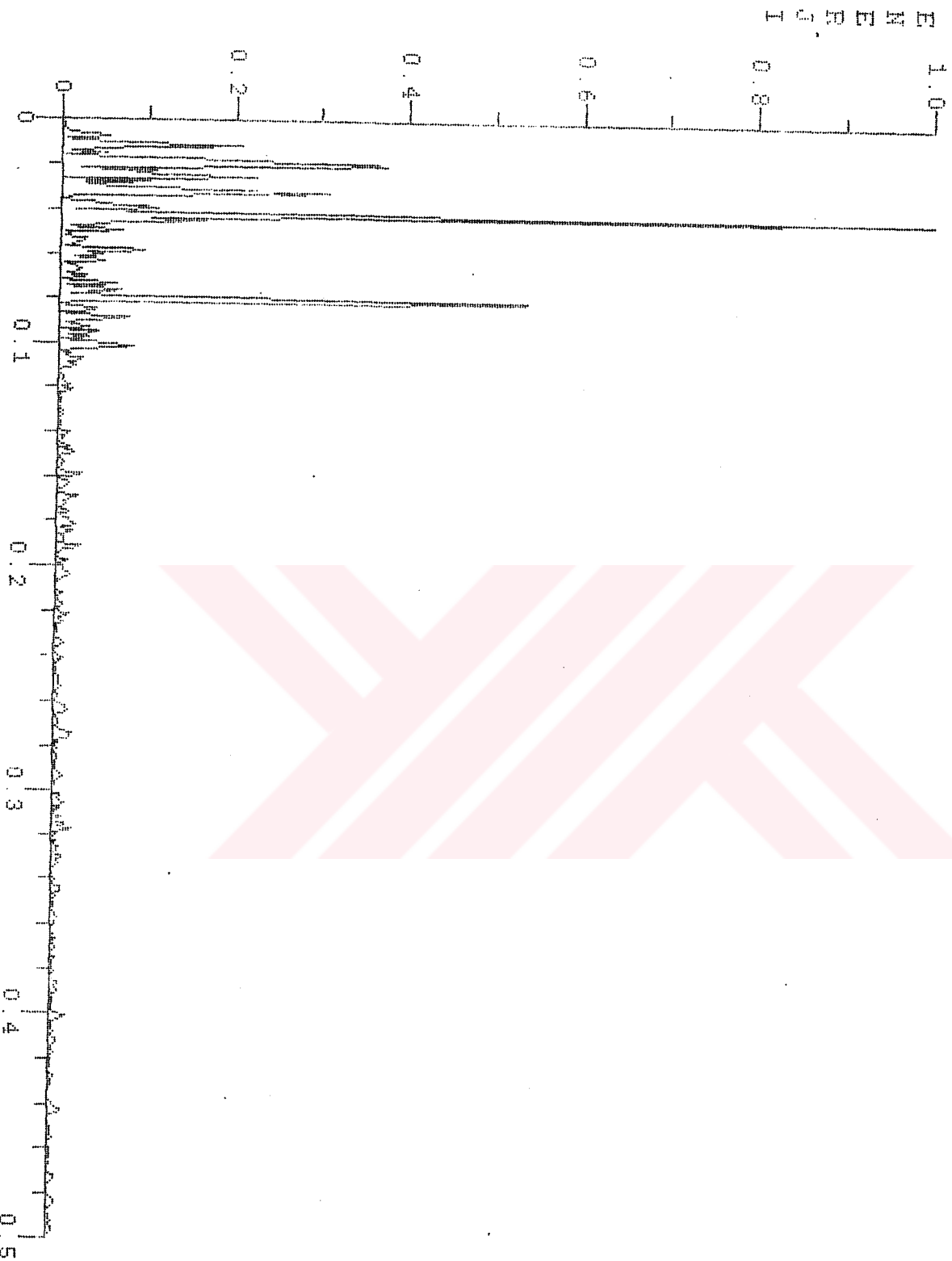


ANADOLU KAVAGI Spektrum Grafigi

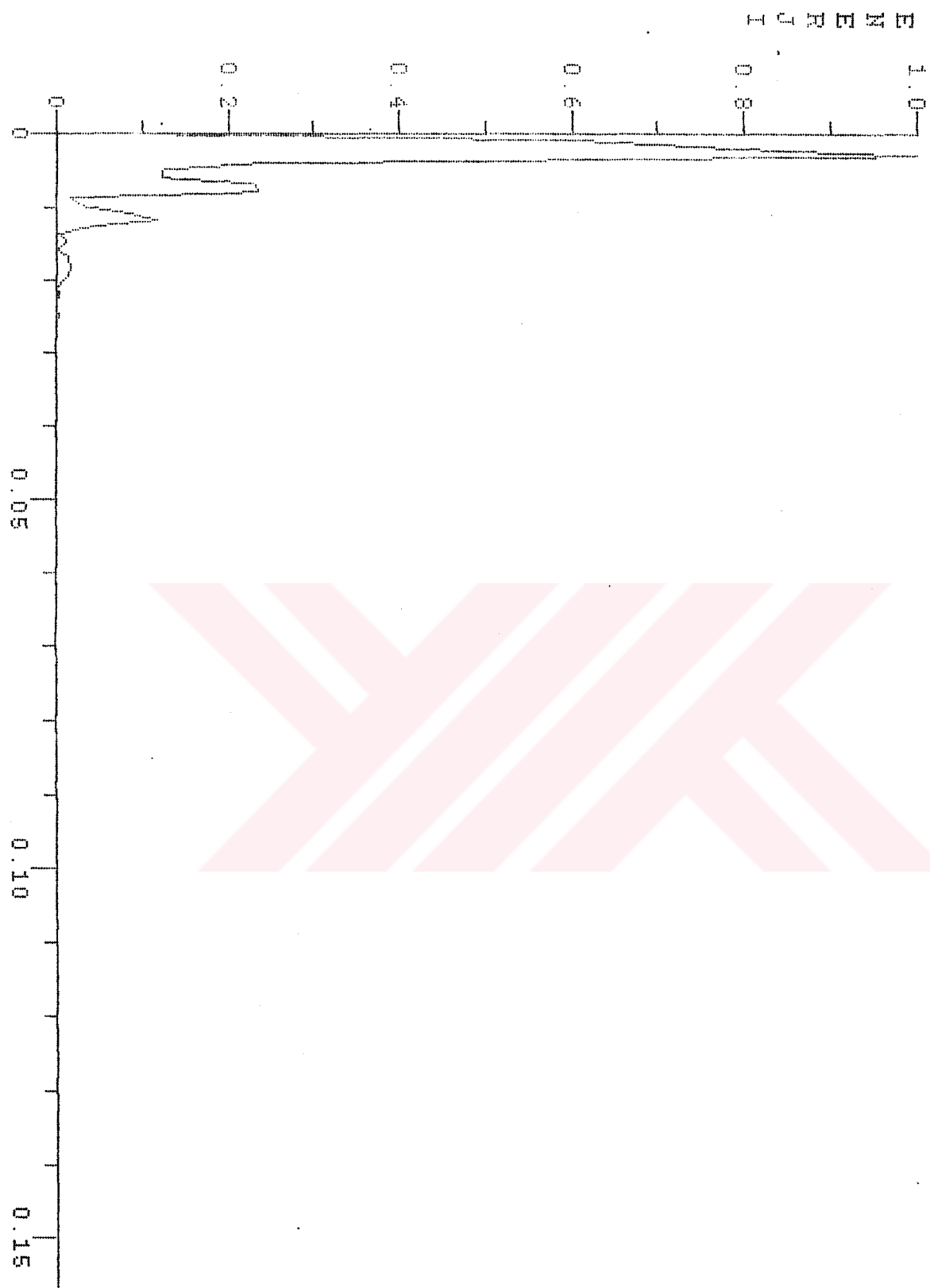
KG2MR1D2 (10 Haziran - 22 Temmuz)



KG2NRI HD FILTRE

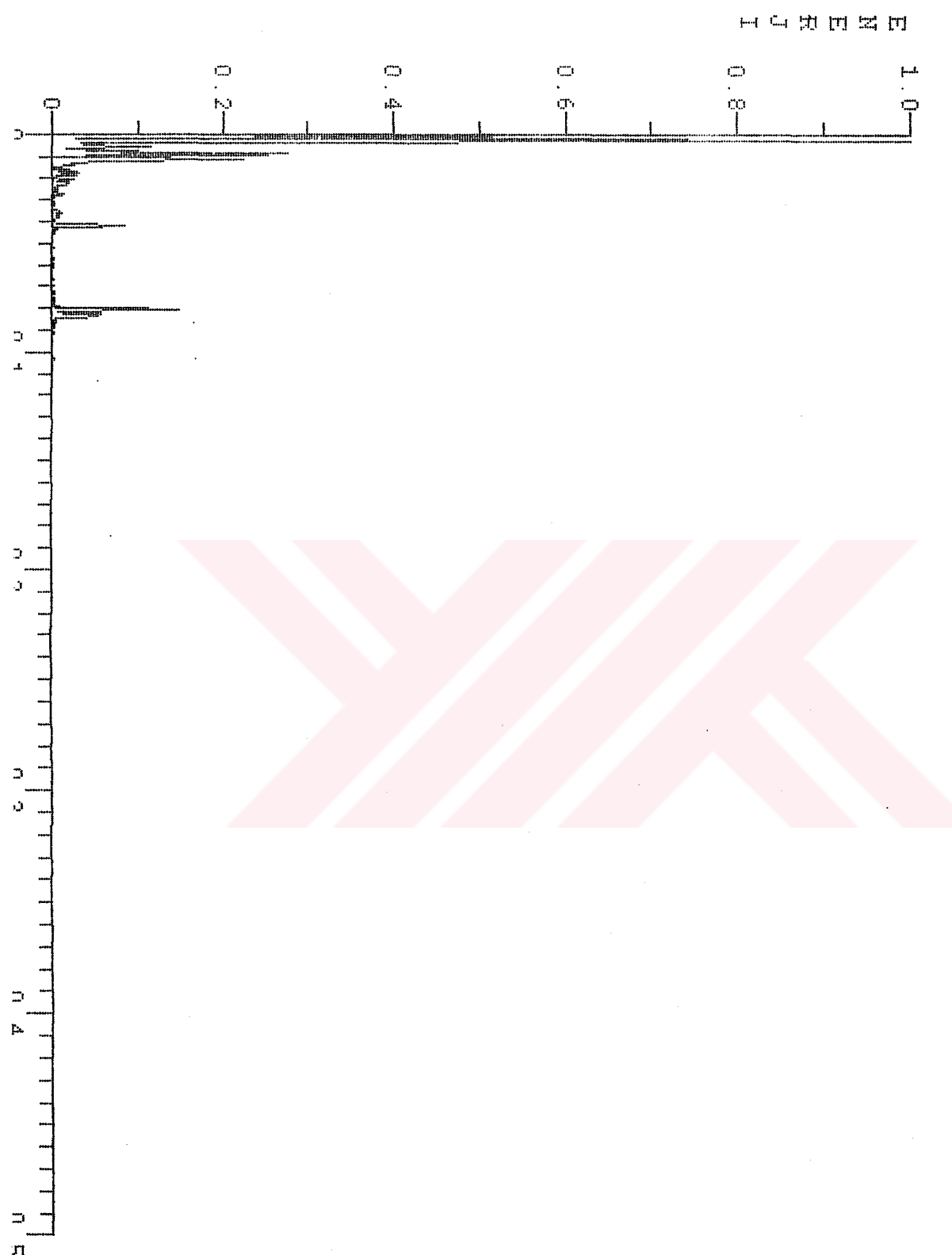


MEZINI, LP FILTER

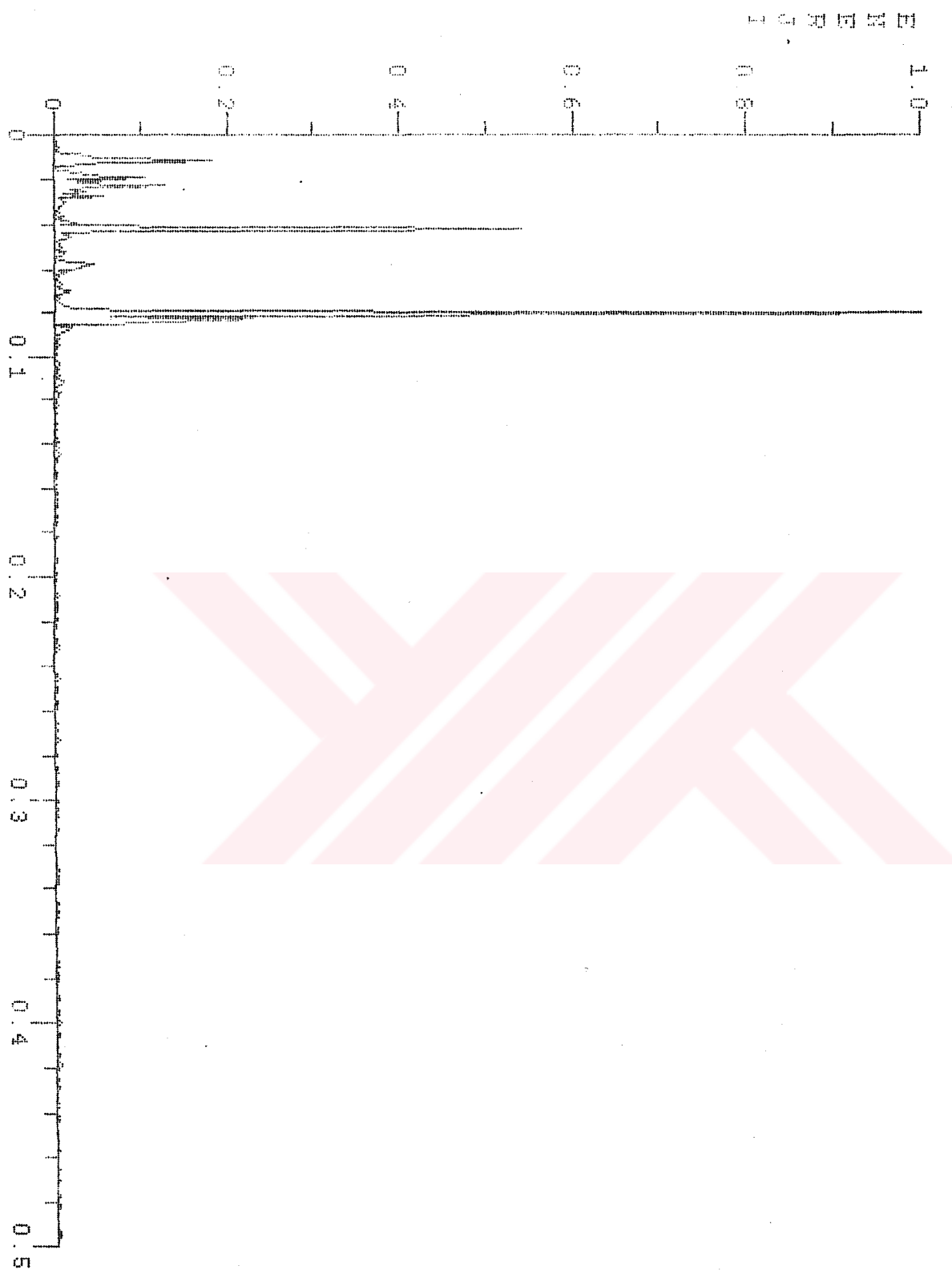


ANDOLU KAVAGI Spectrum Grafigi

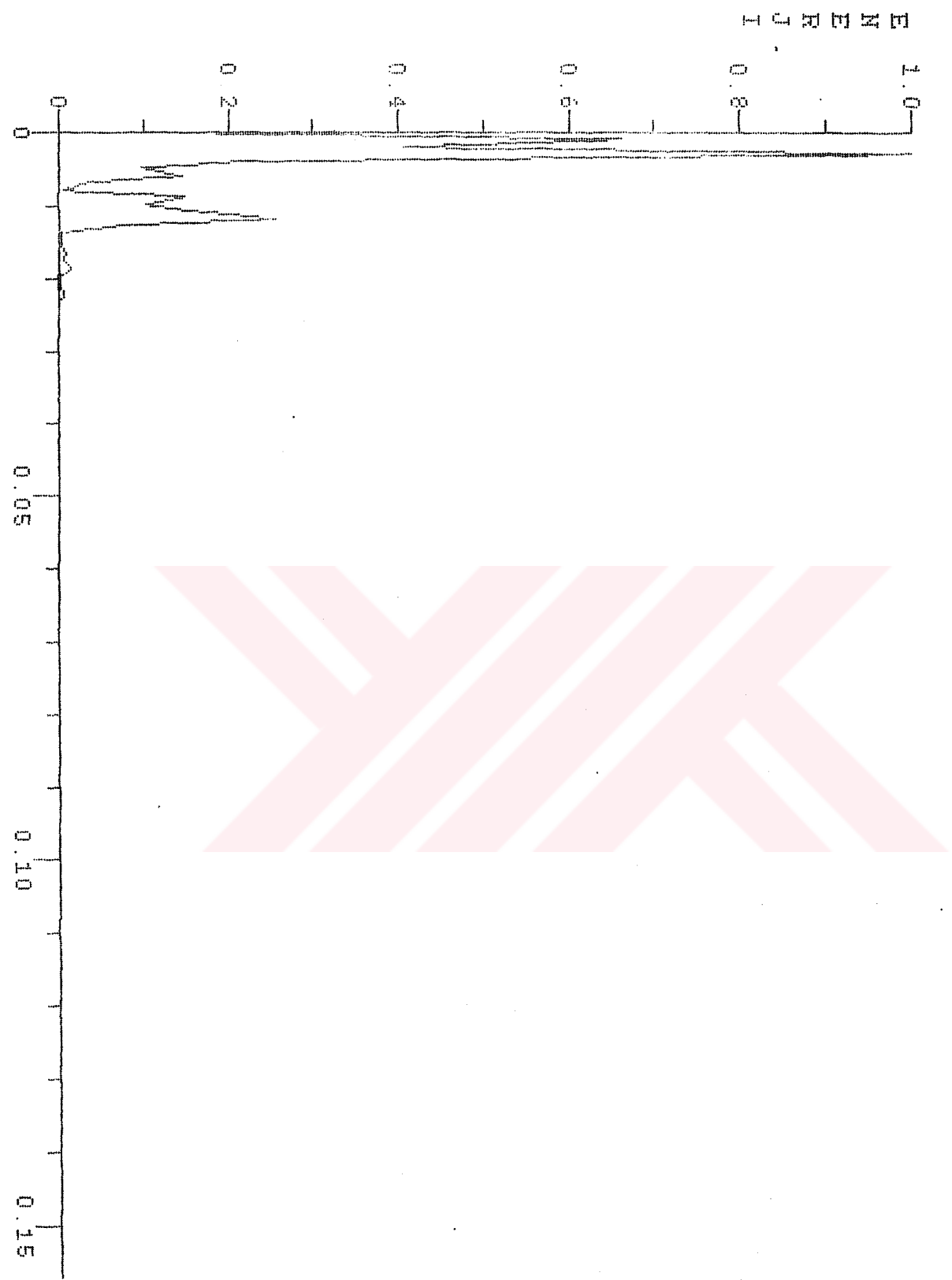
KG2NR3D2 (10 Haziran - 22 Temmuz)



KG2MRS.HP FILTER

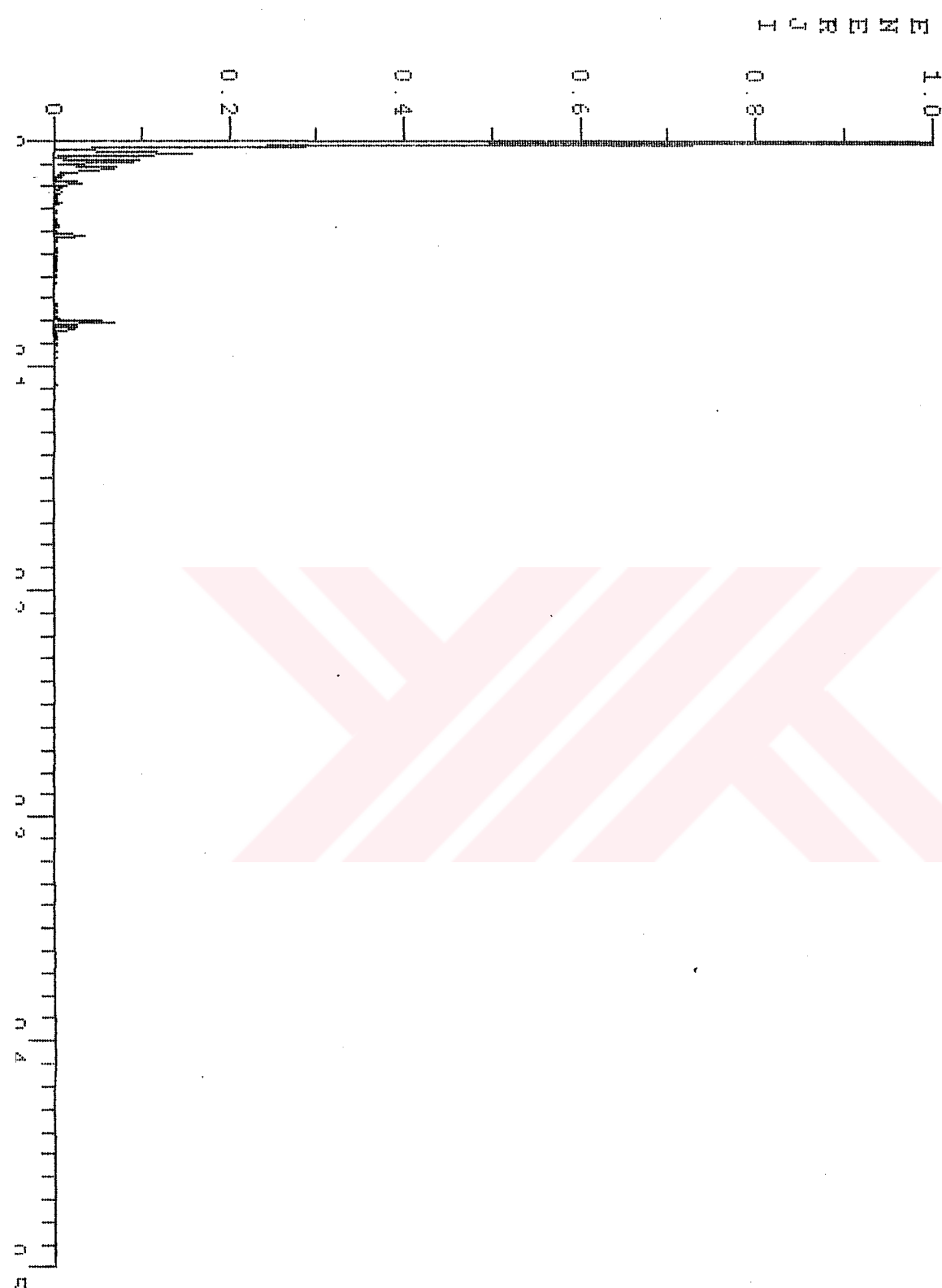


KG2NRS.LP FILTER

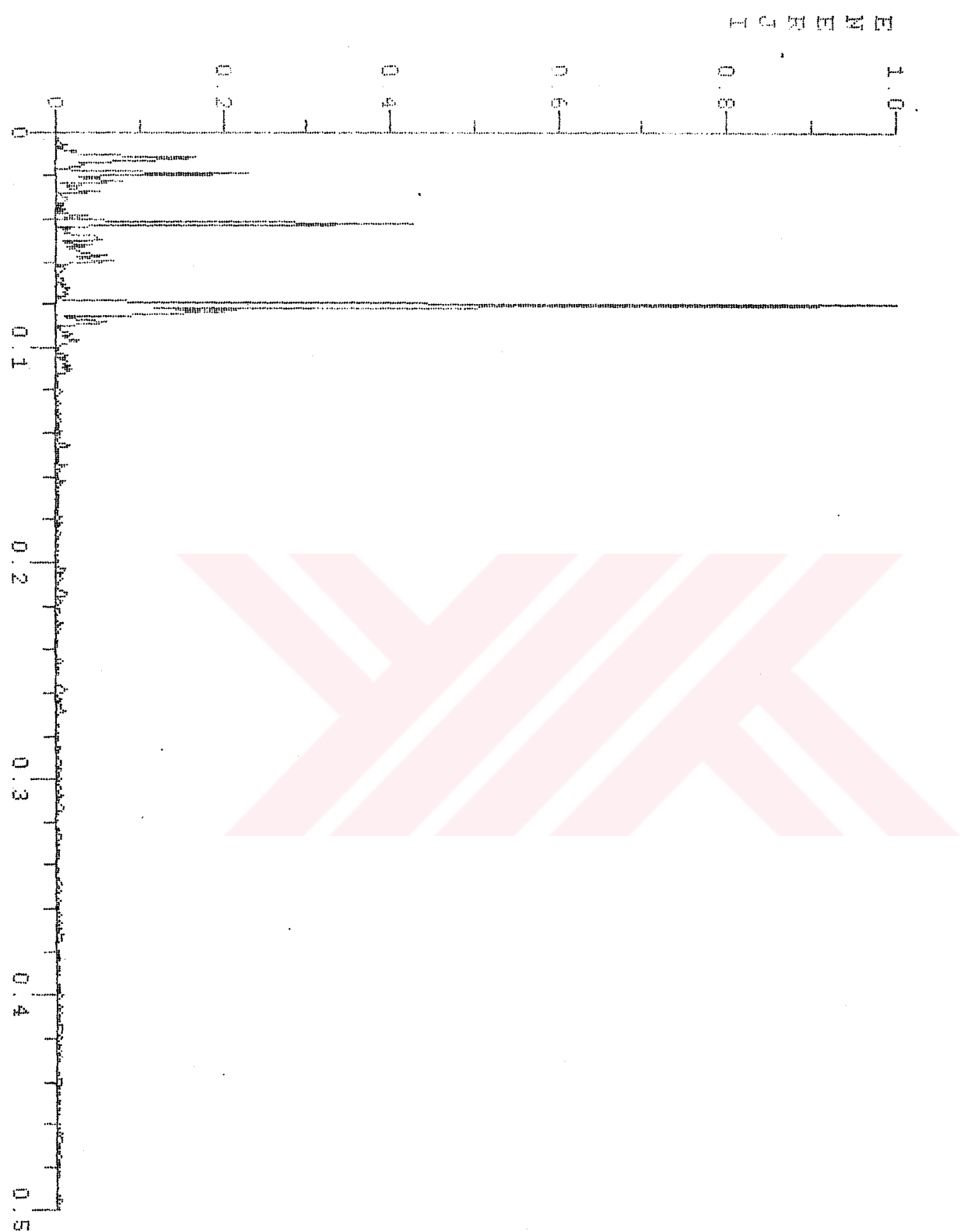


ANADOLU KAVAGI Spektrum Grafigi

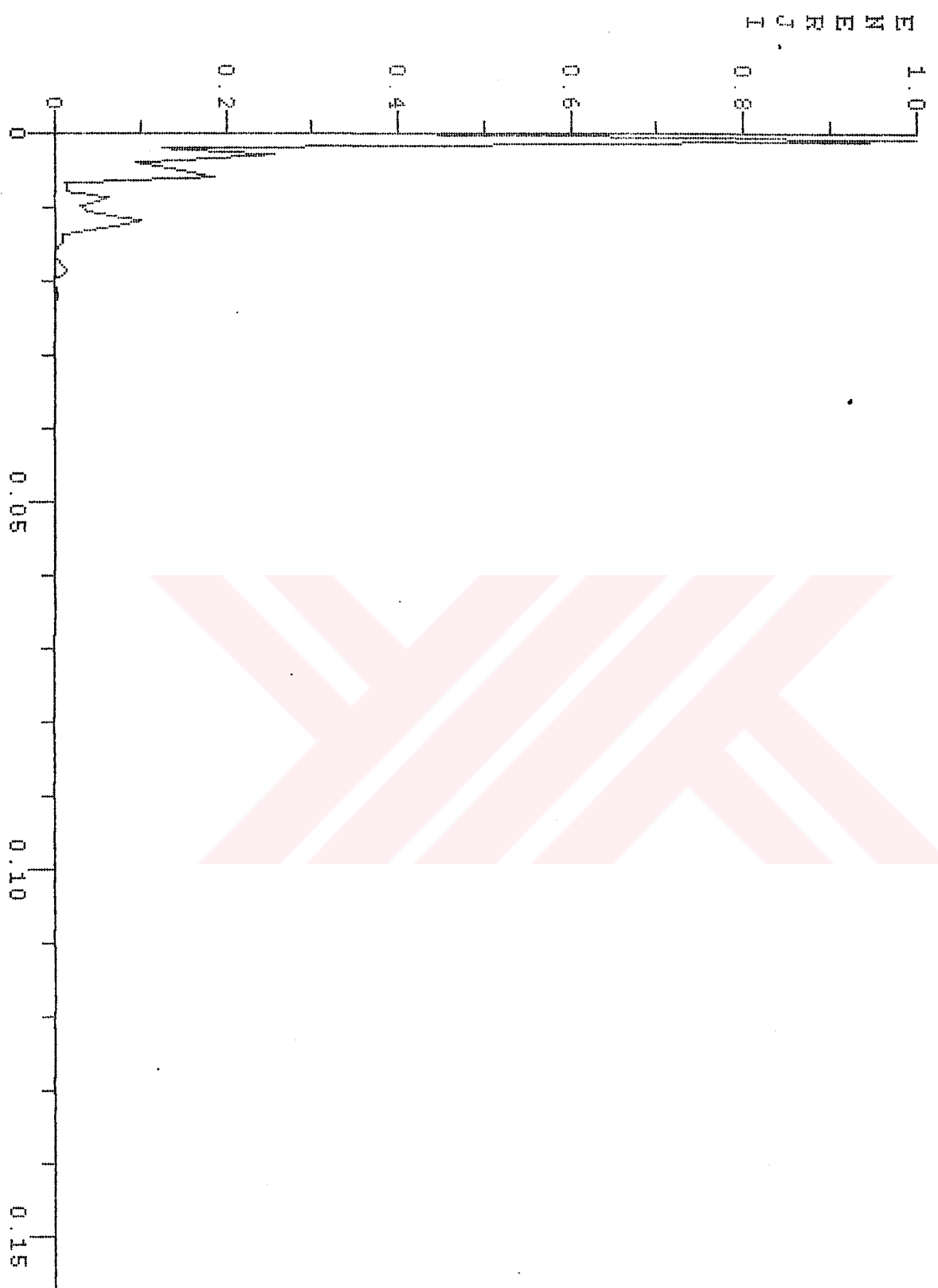
KG2NR4D2 (10 Haziran - 22 Temmuz)



KG2NR4, HP FILTRE



KG2NRA.LP FILTER



ANADOLU KAVACI Spektrum Grafigi

KG2NR5D2 (10 Haziran - 22 Temmuz)

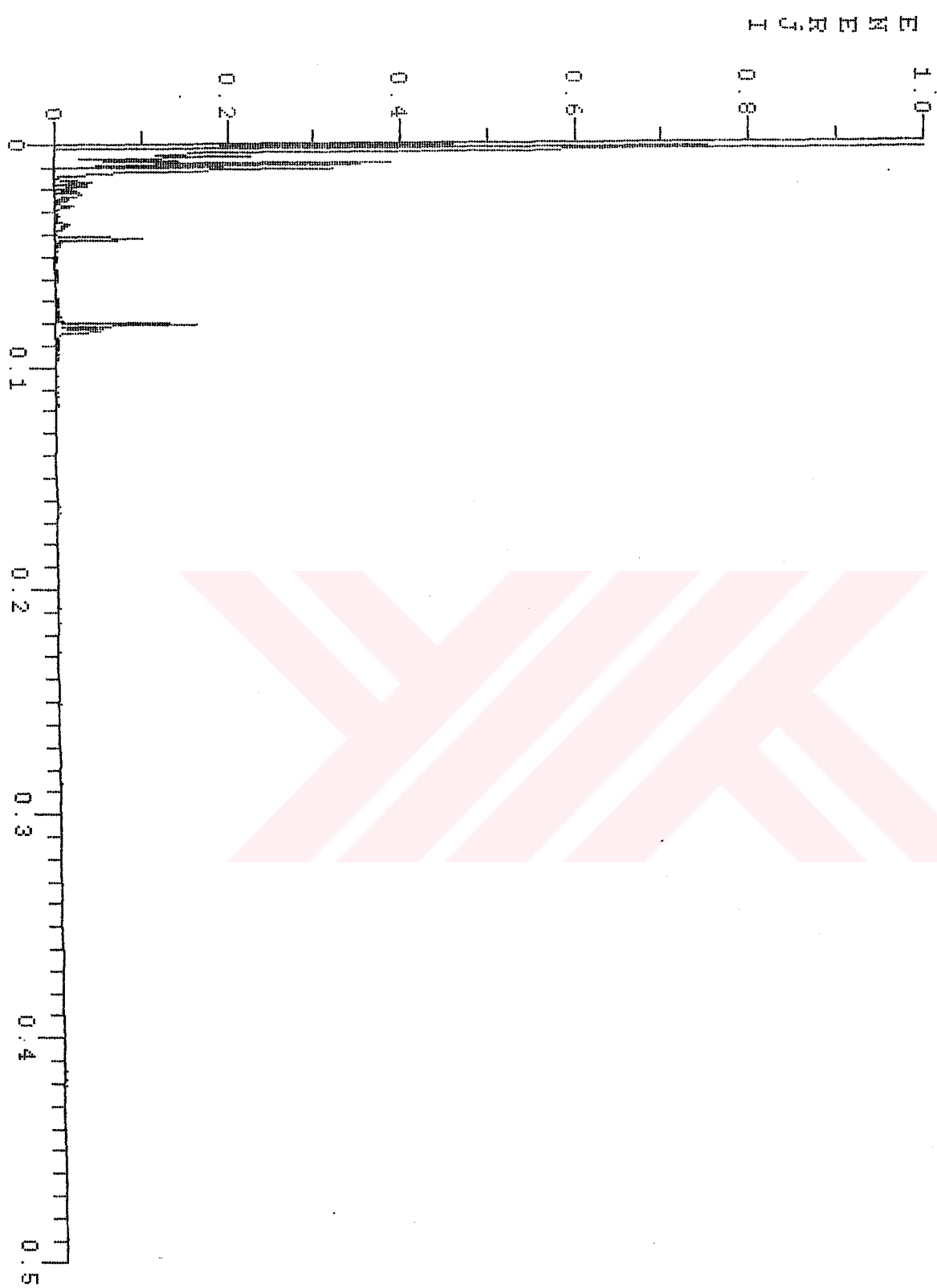
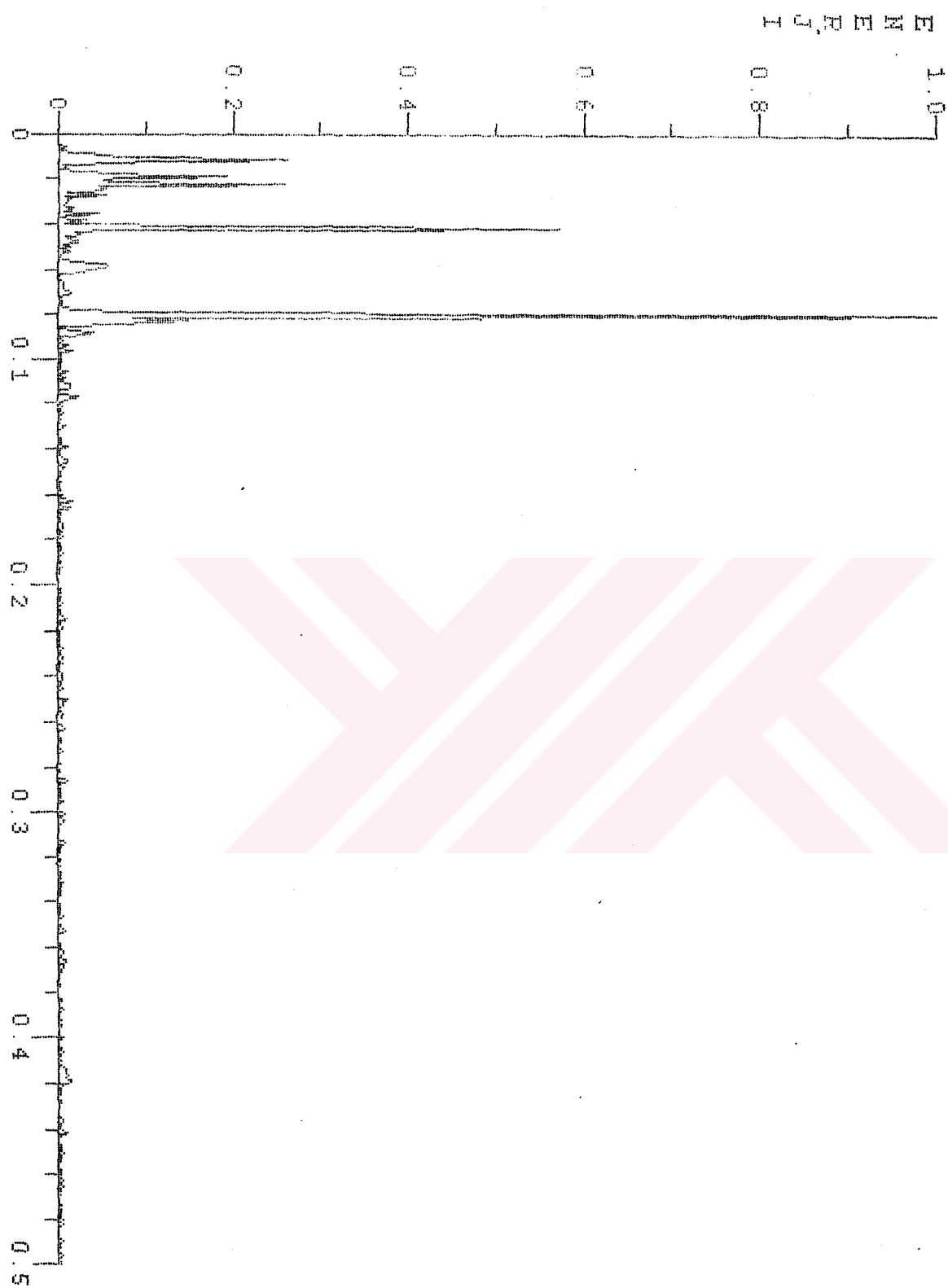
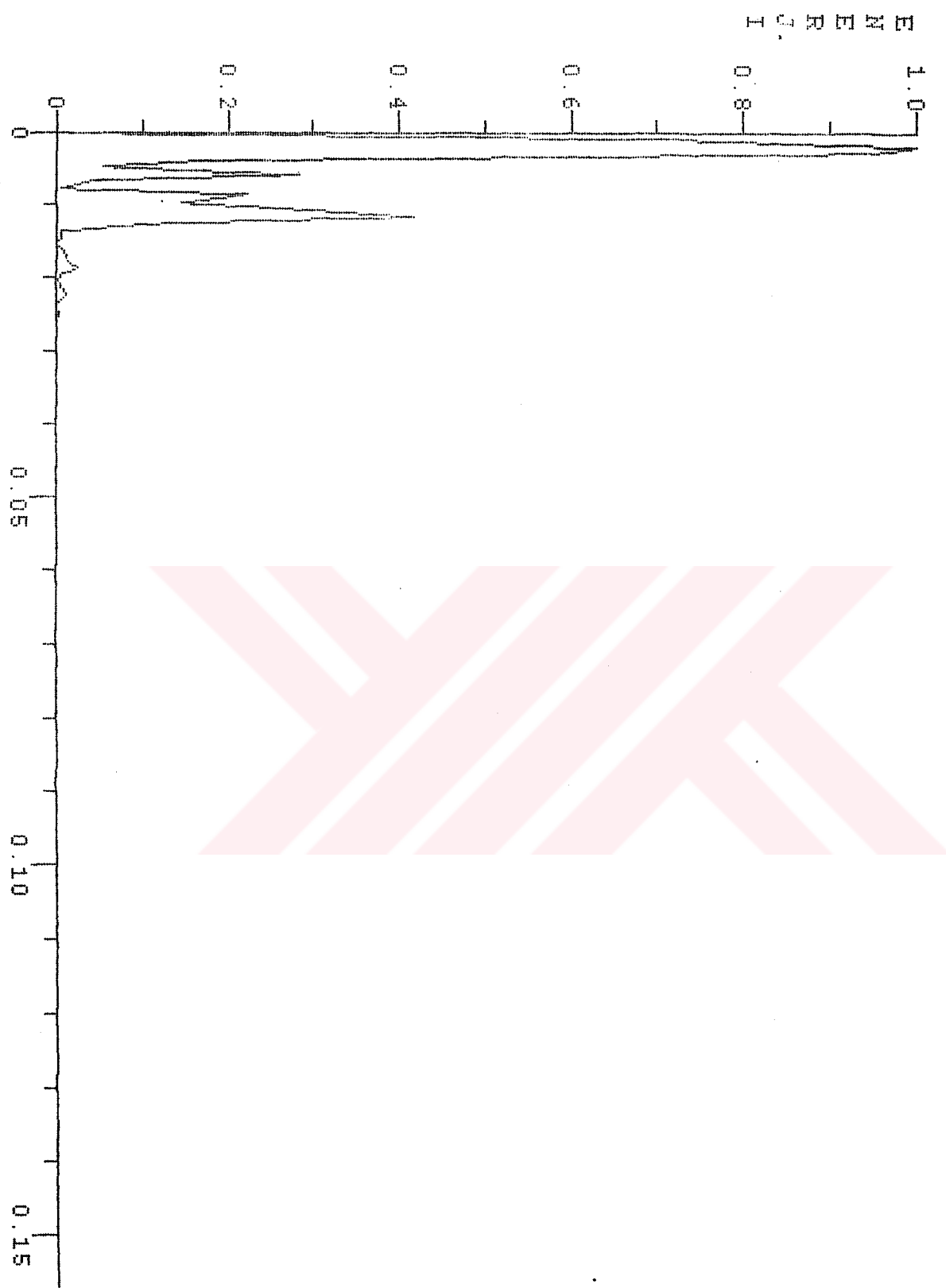


FIGURE 1B. THE FILTER

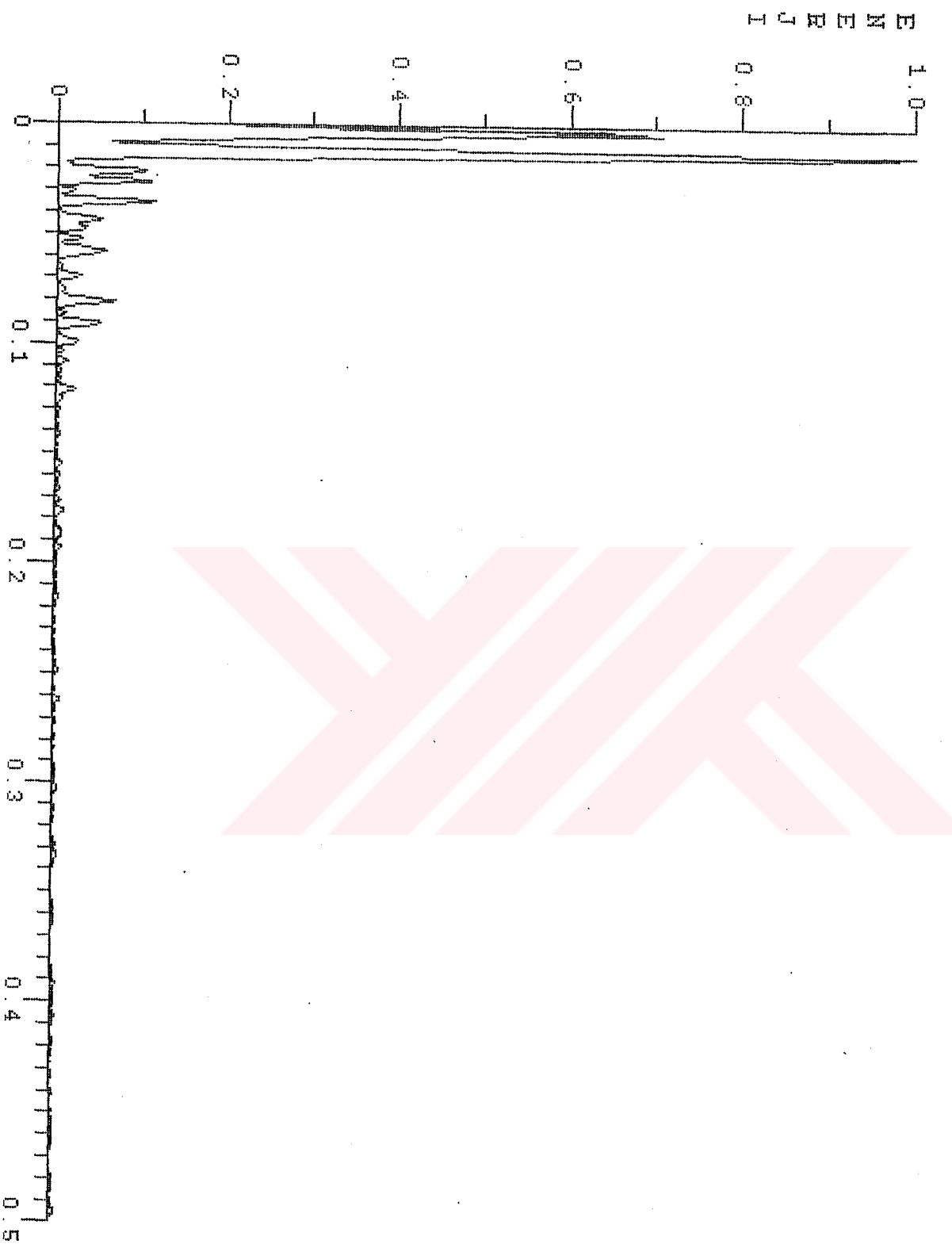


KGZNRS.LP FILTER

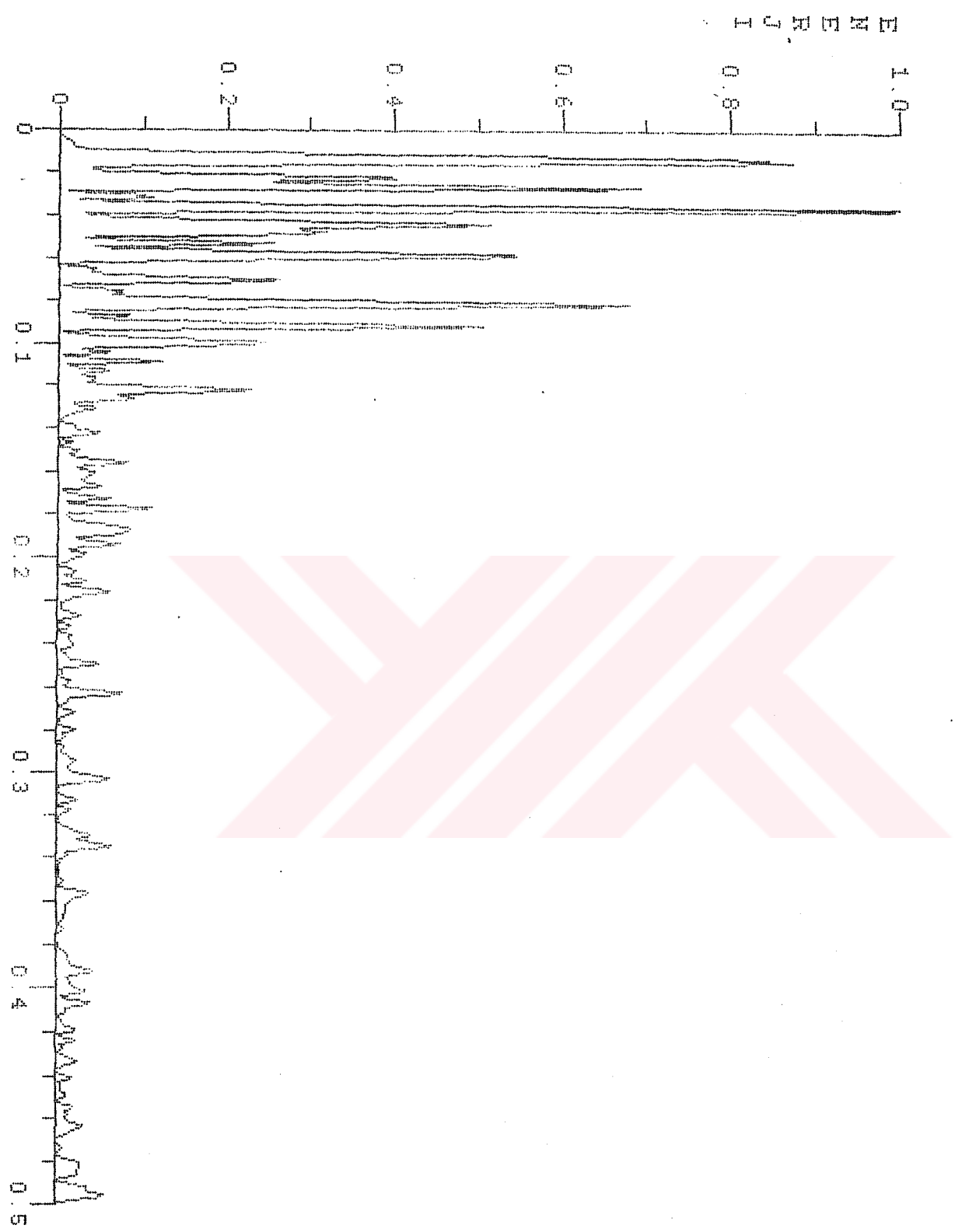


ANADOLU KAVAGI Spektrum Grafigi

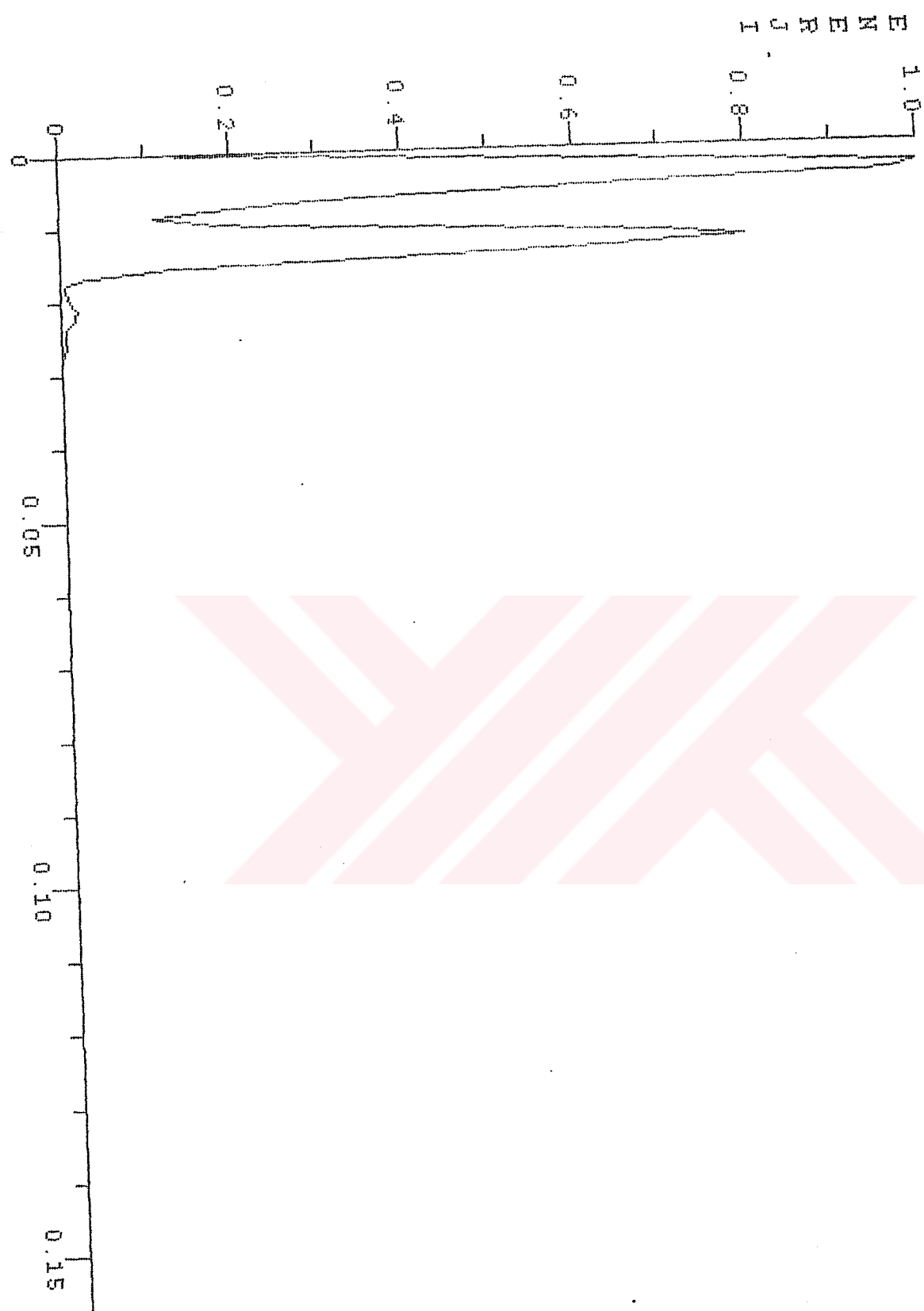
KG2MR6D2 (10 Haziran - 22 Temmuz)



KGZMFB, HE FILTER

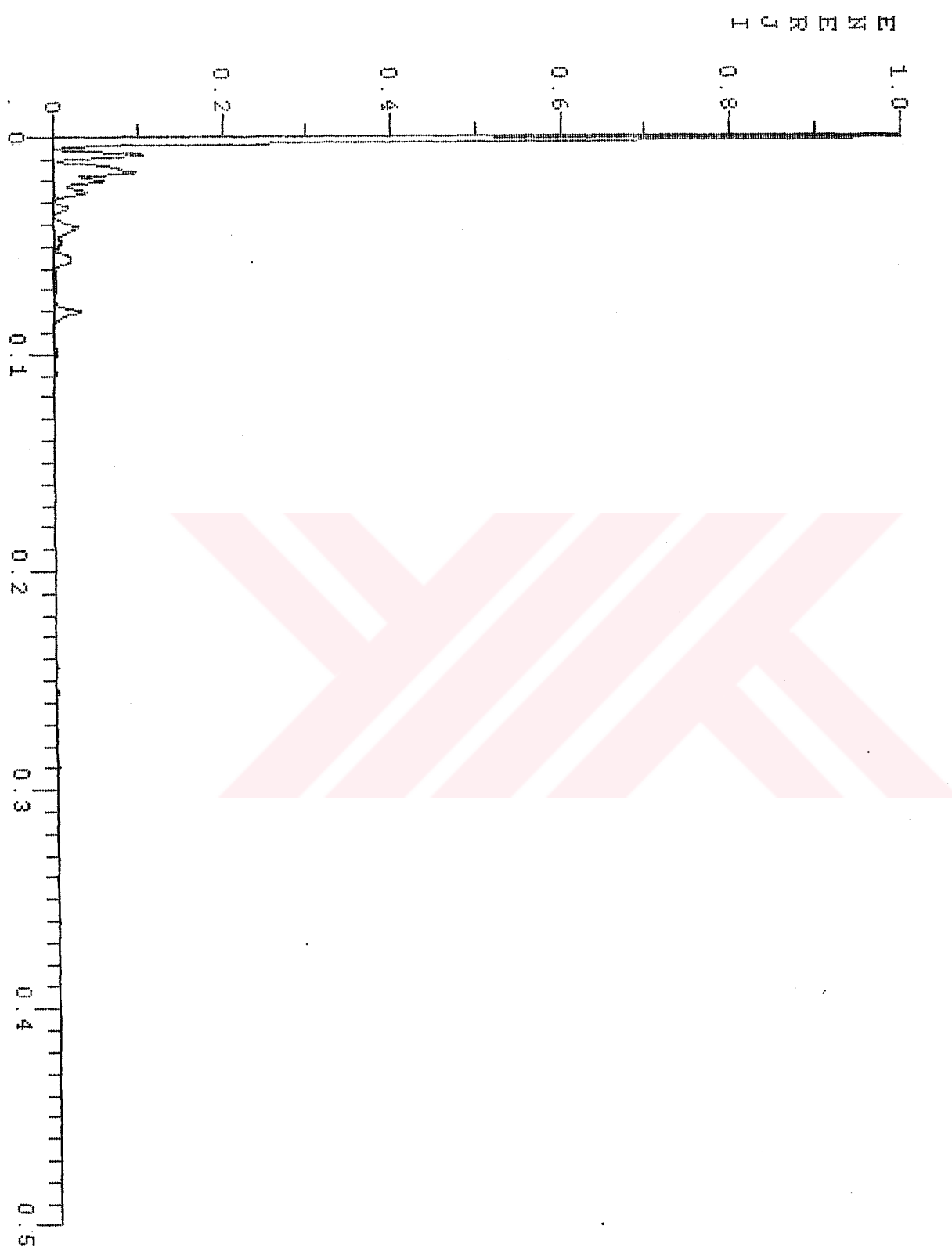


KGZMRS, LP FILTEE



BALTALIMAN Spektrum Grafiği

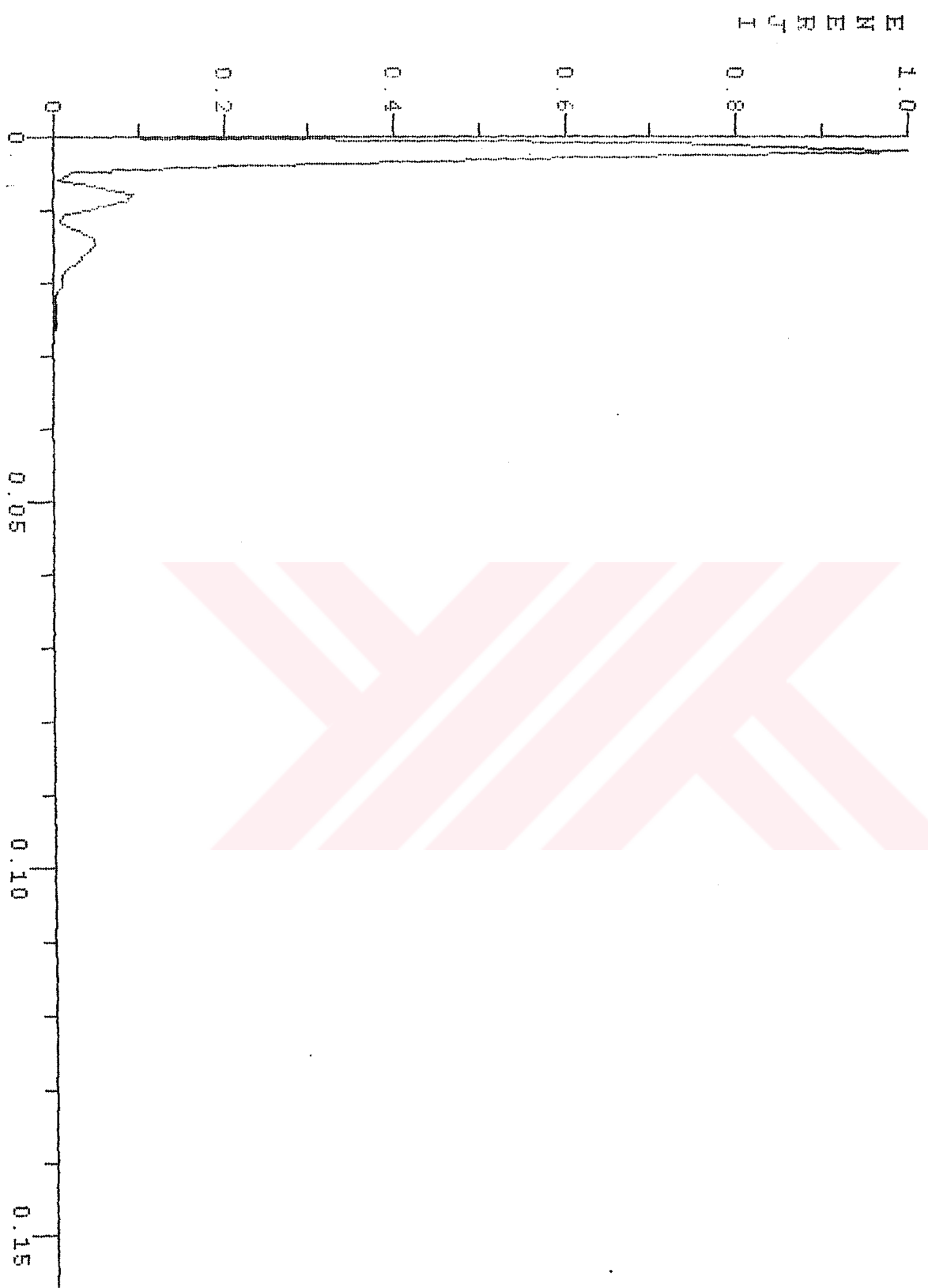
BL2NR1D2 (10 Haziran-22 Temmuz)



BL2NMR1.HP FILTRE

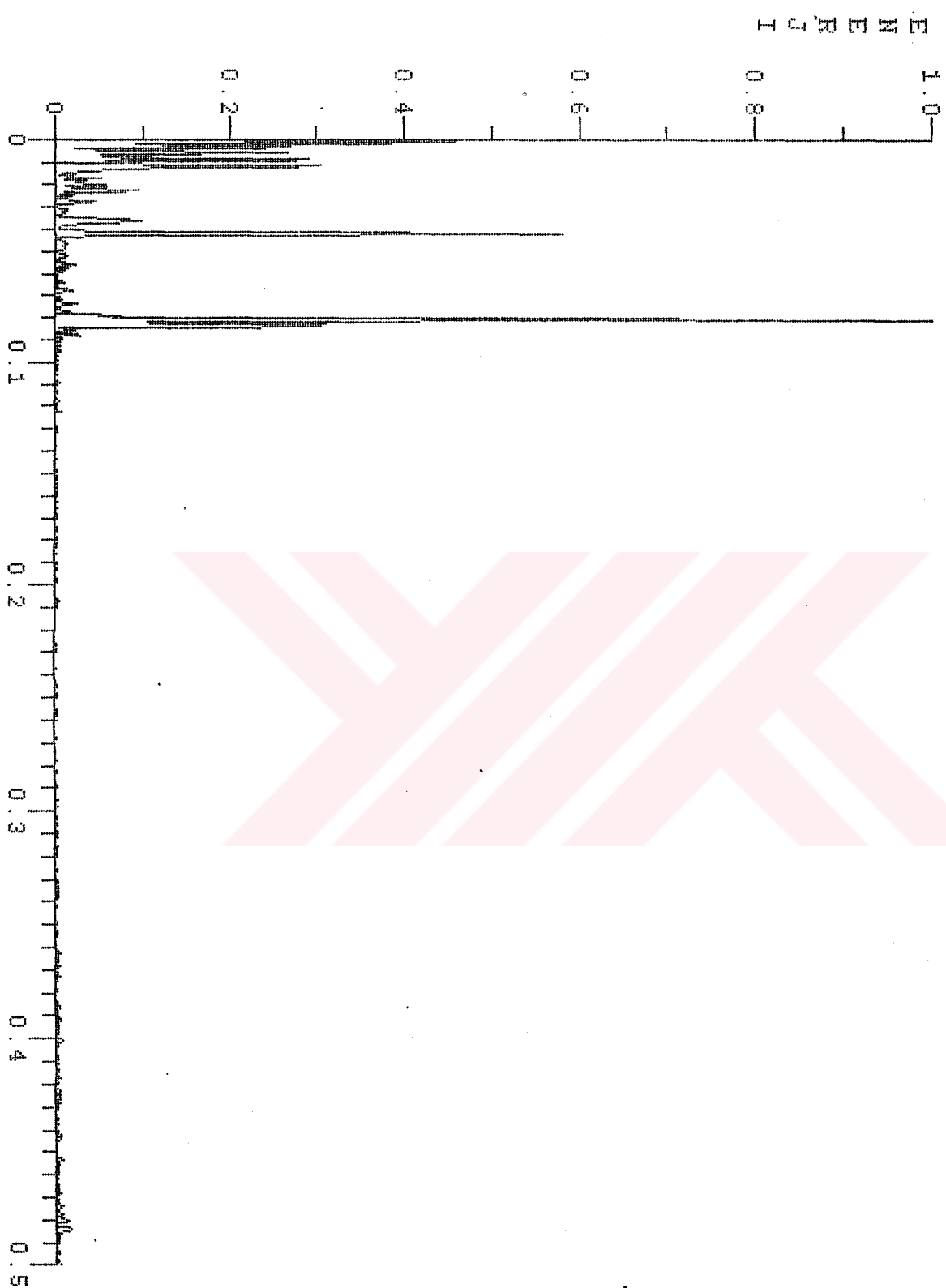


BL2MRI-LP FILTRE

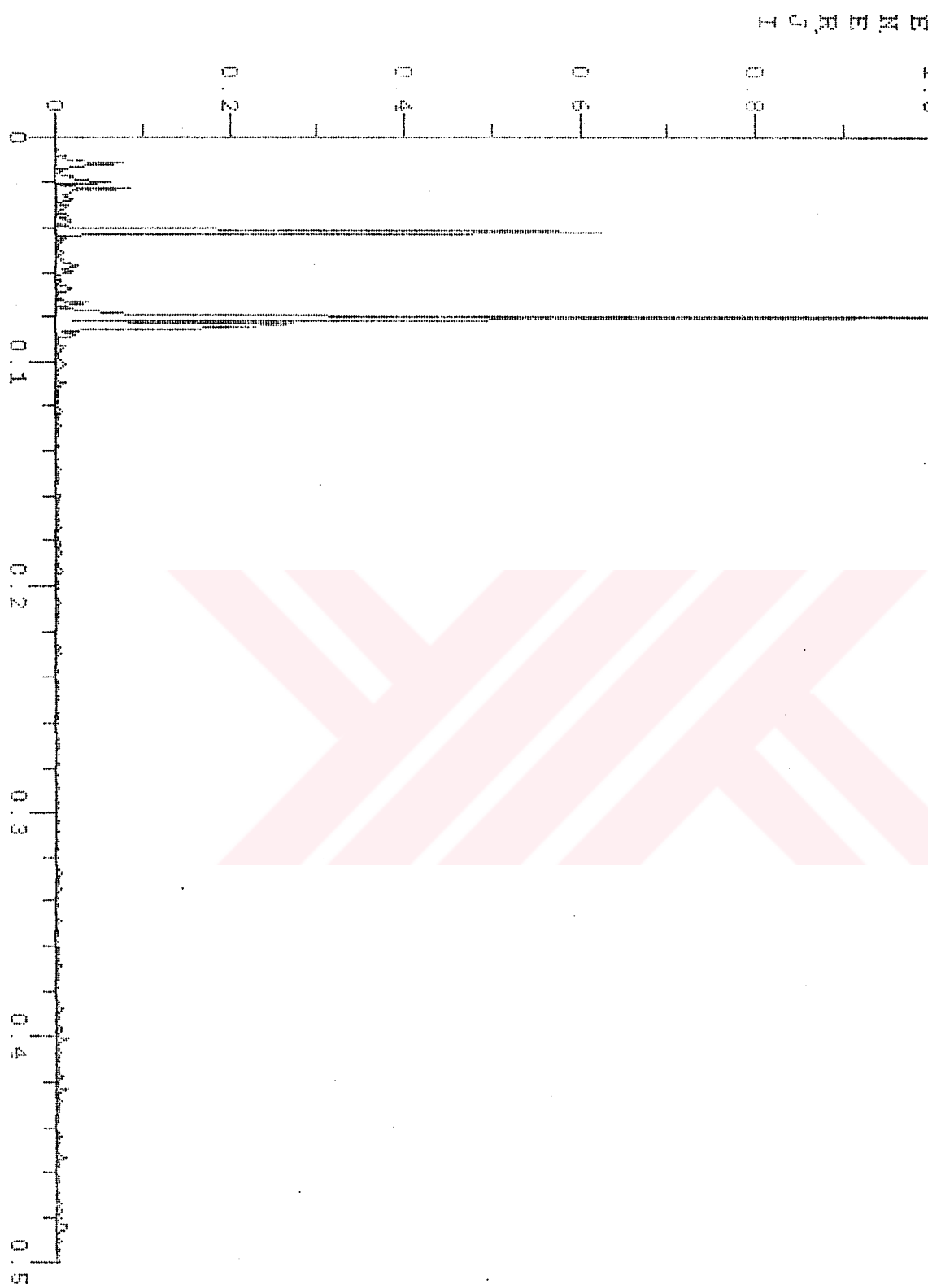


BALTALIMANİ Spectrum Grafiği

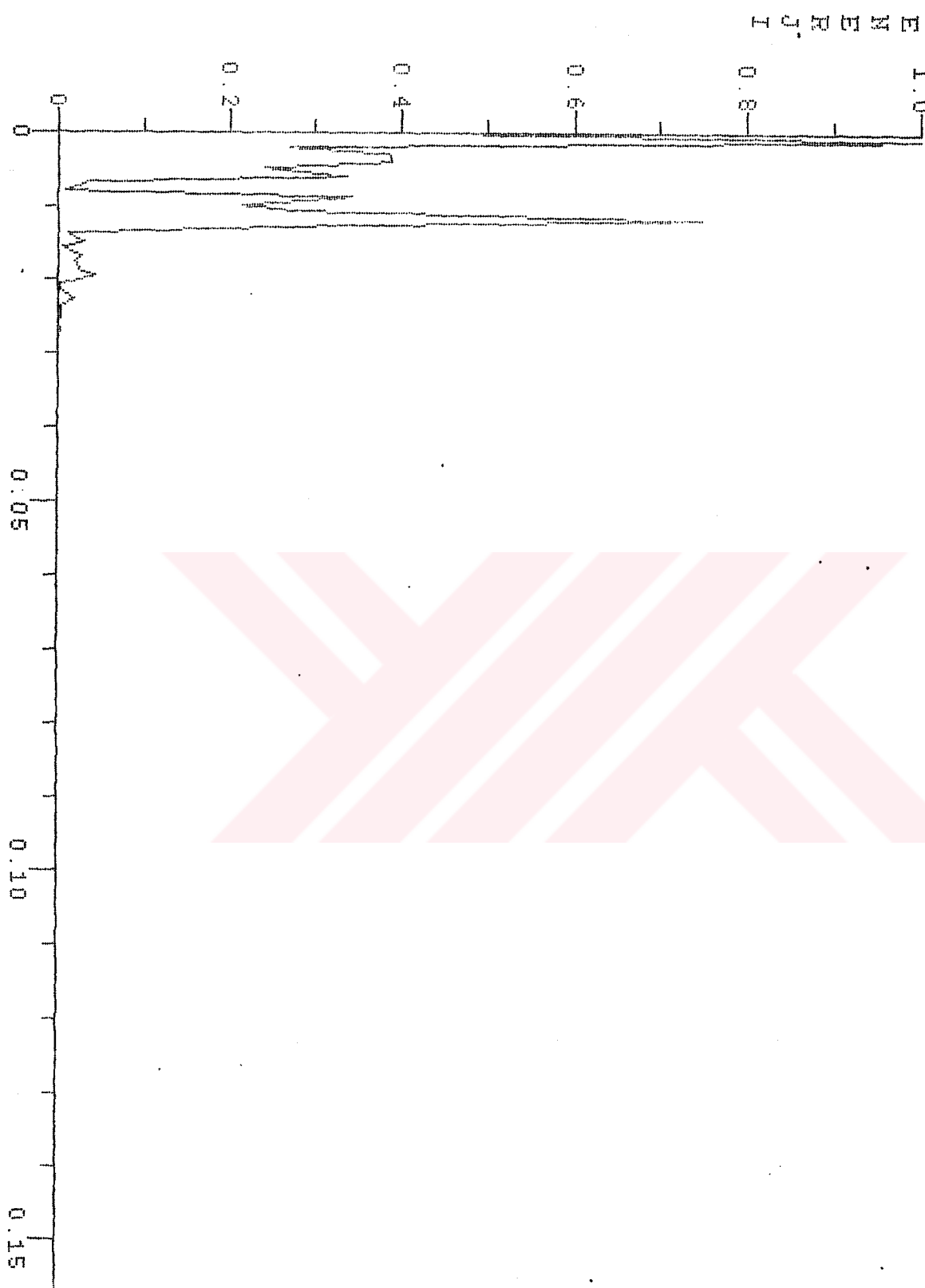
BL2MR2D2 (10 Haziran - 22 Temmuz)



BL2NFR2.HP FILTRE

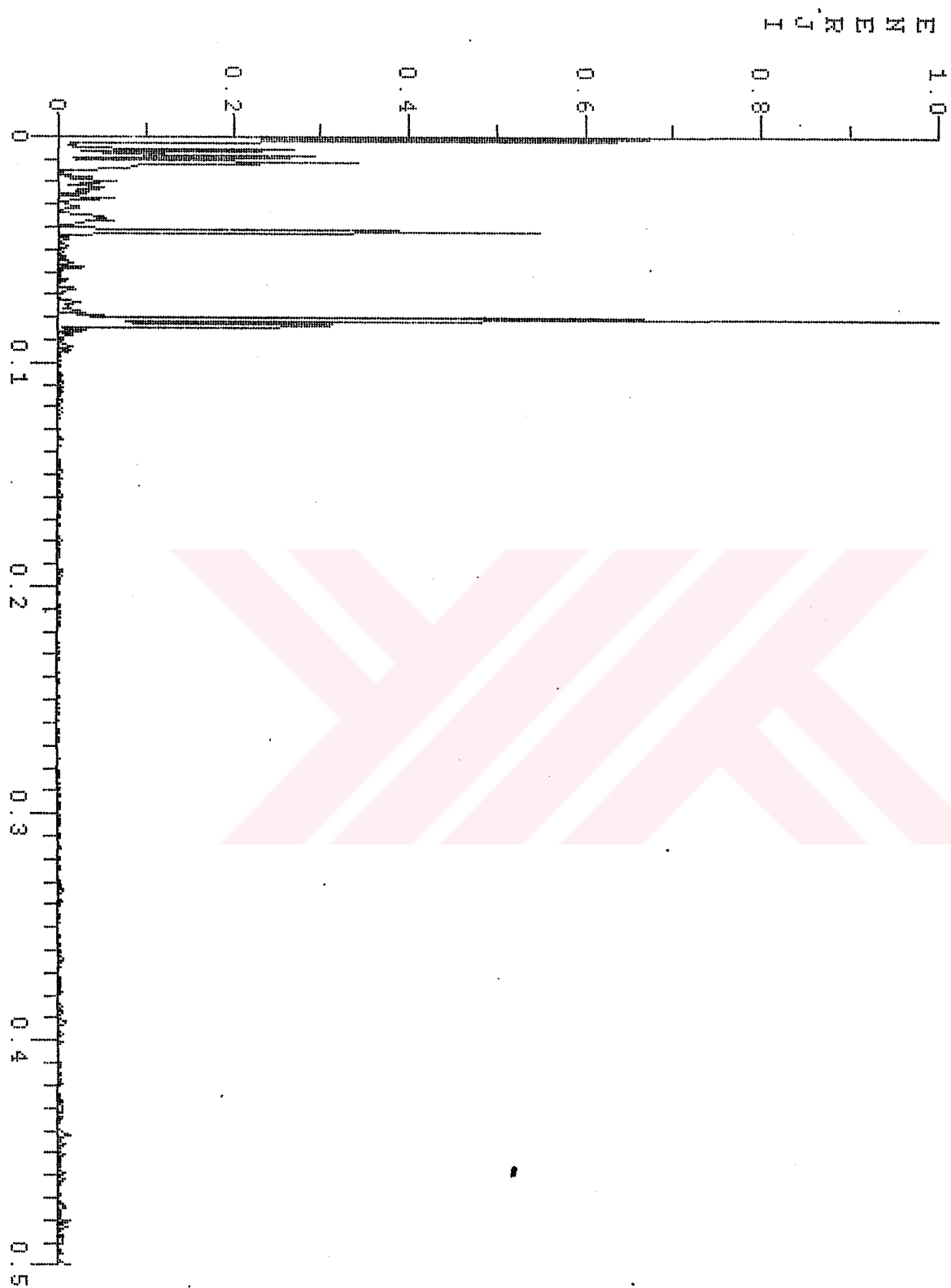


BL2MR2.LP FILTRE

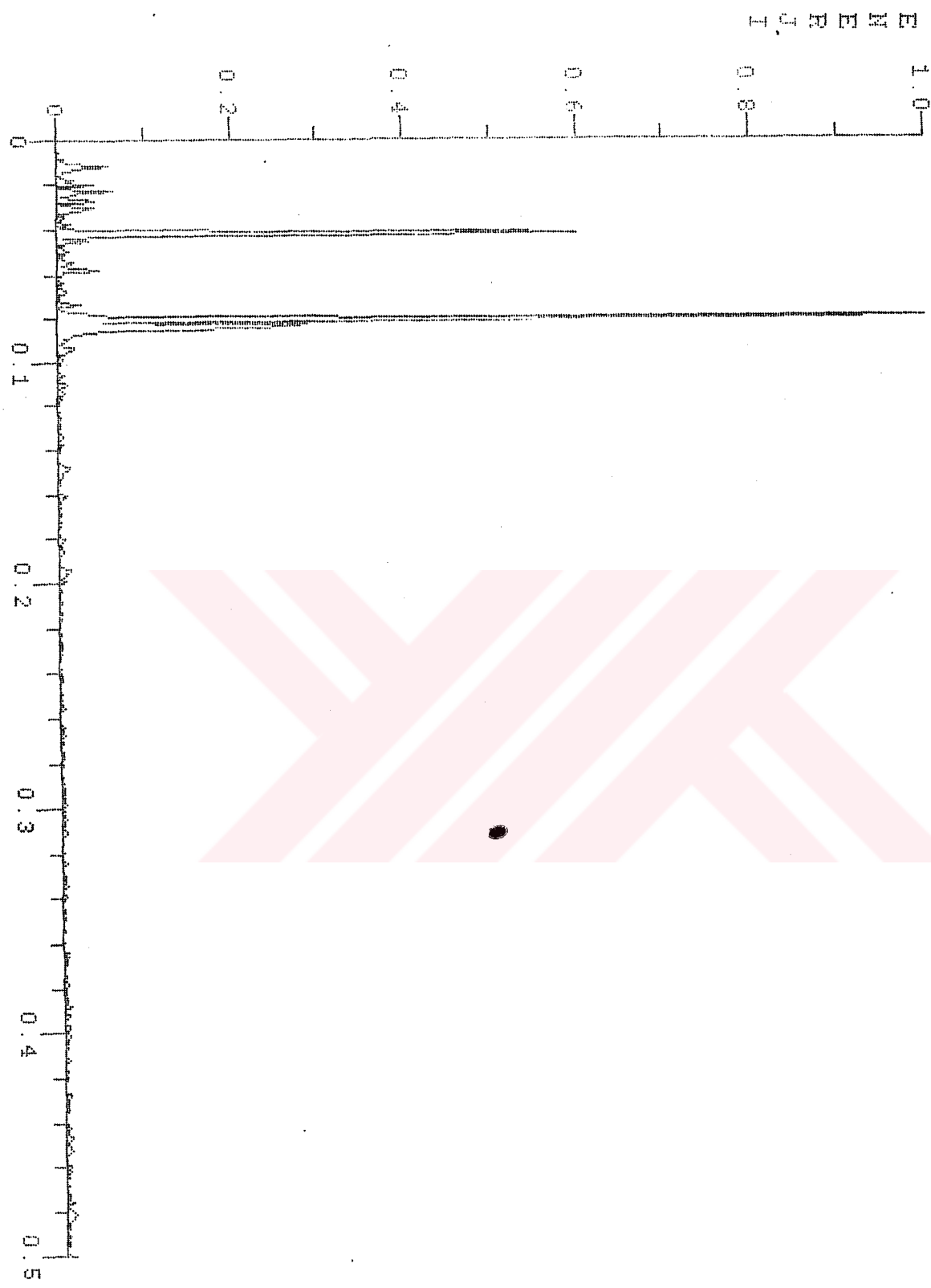


BALTALIMANI Spektrum Grafigi

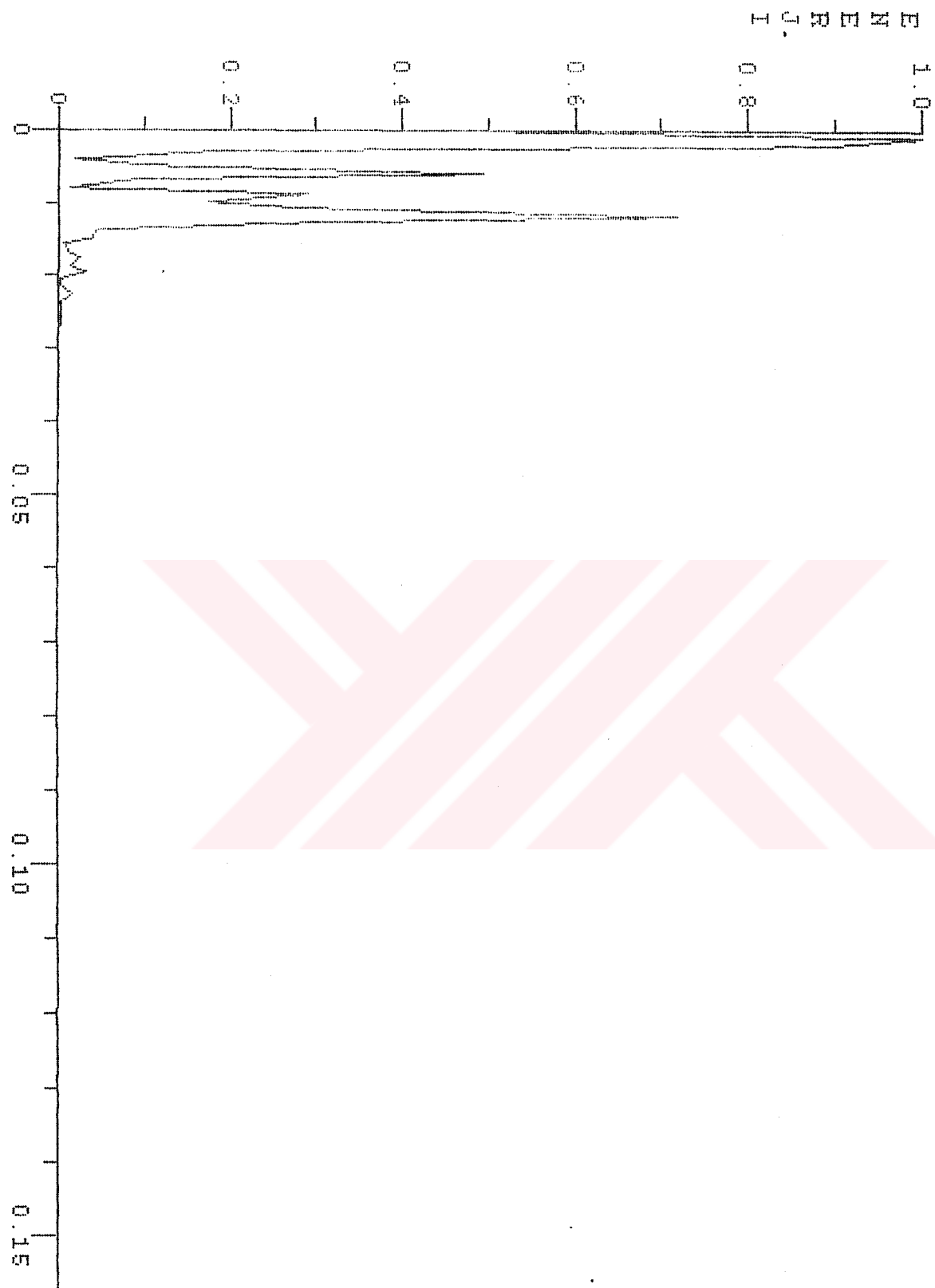
BL2MR3D2 (10 Haziran-22 Temmuz)



BL2MR3.HP FILTRE

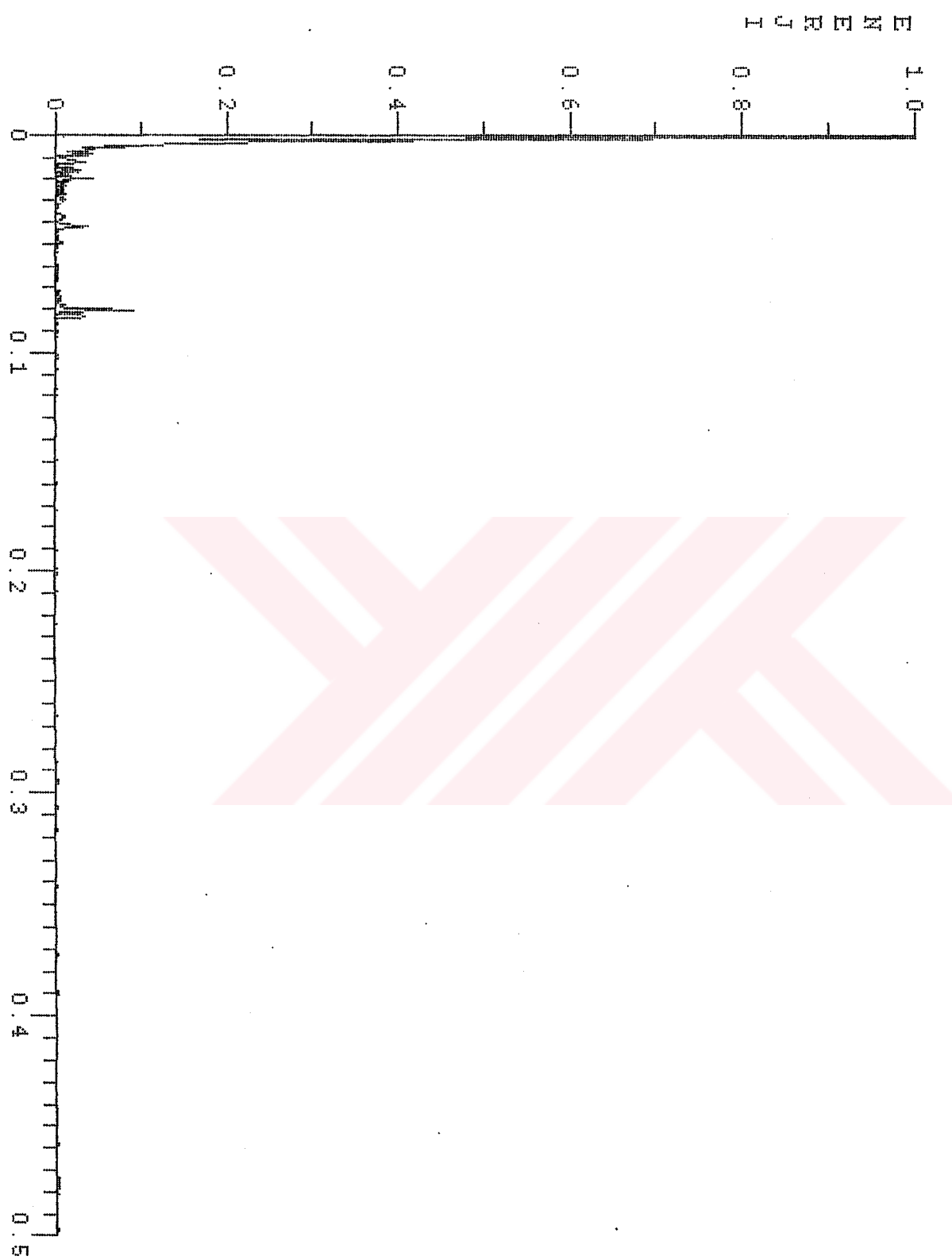


BL2NIR3.LP FILTRE

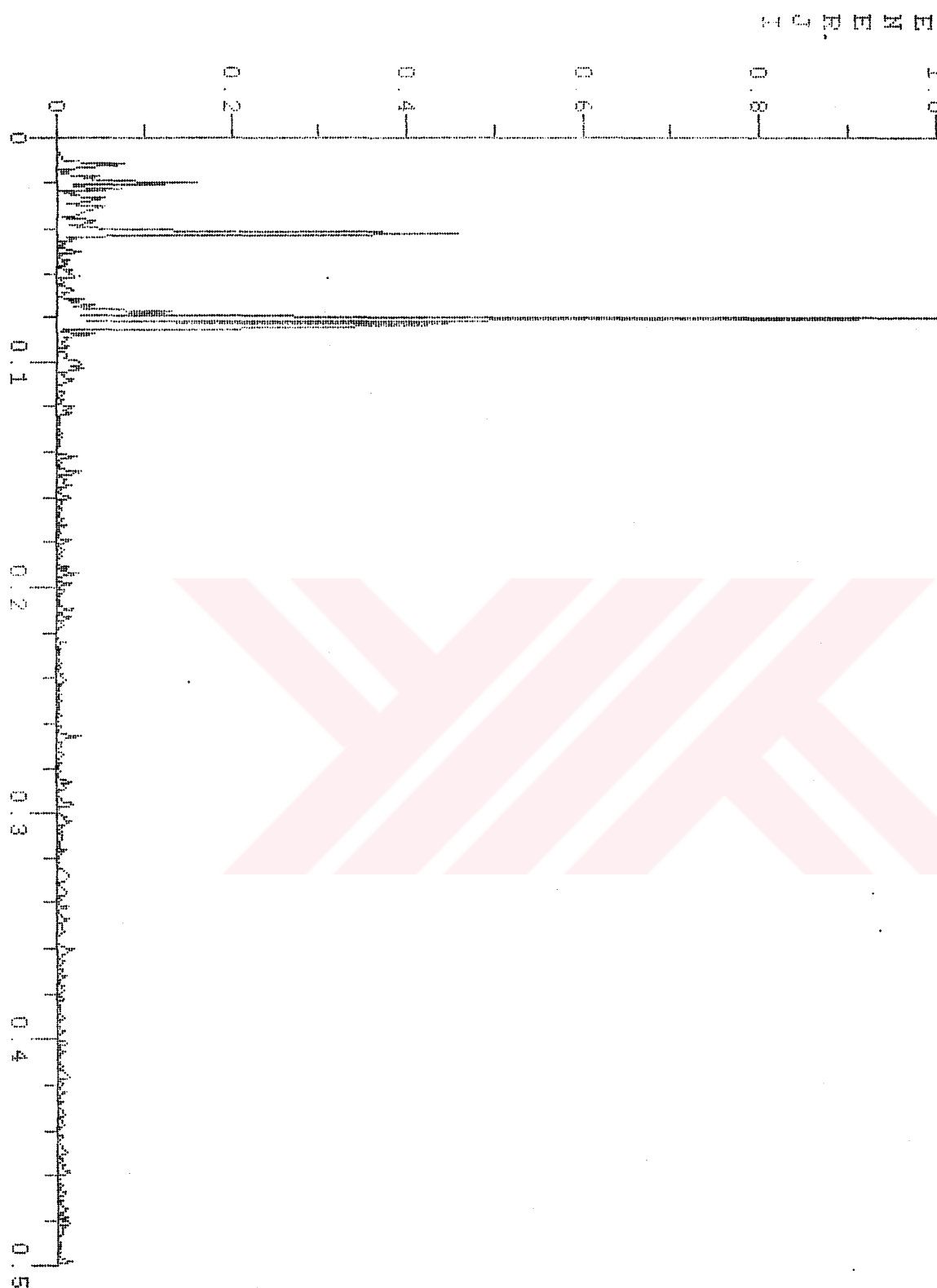


KUCUKSU Spektrum Grafigi

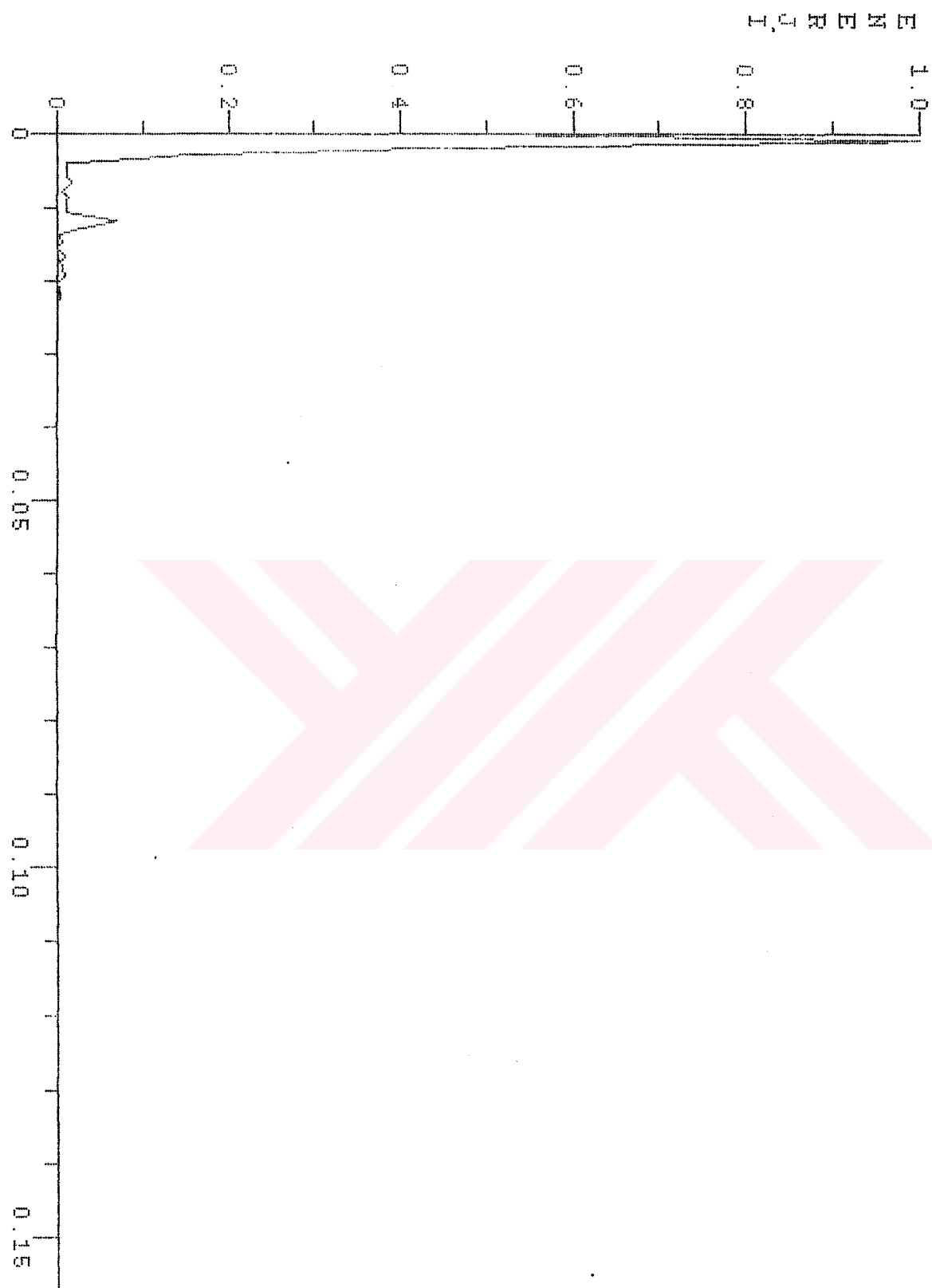
KS1NR4D1 (10 Haziran-22 Temmuz)



KS1NIR4.HP FILTRE

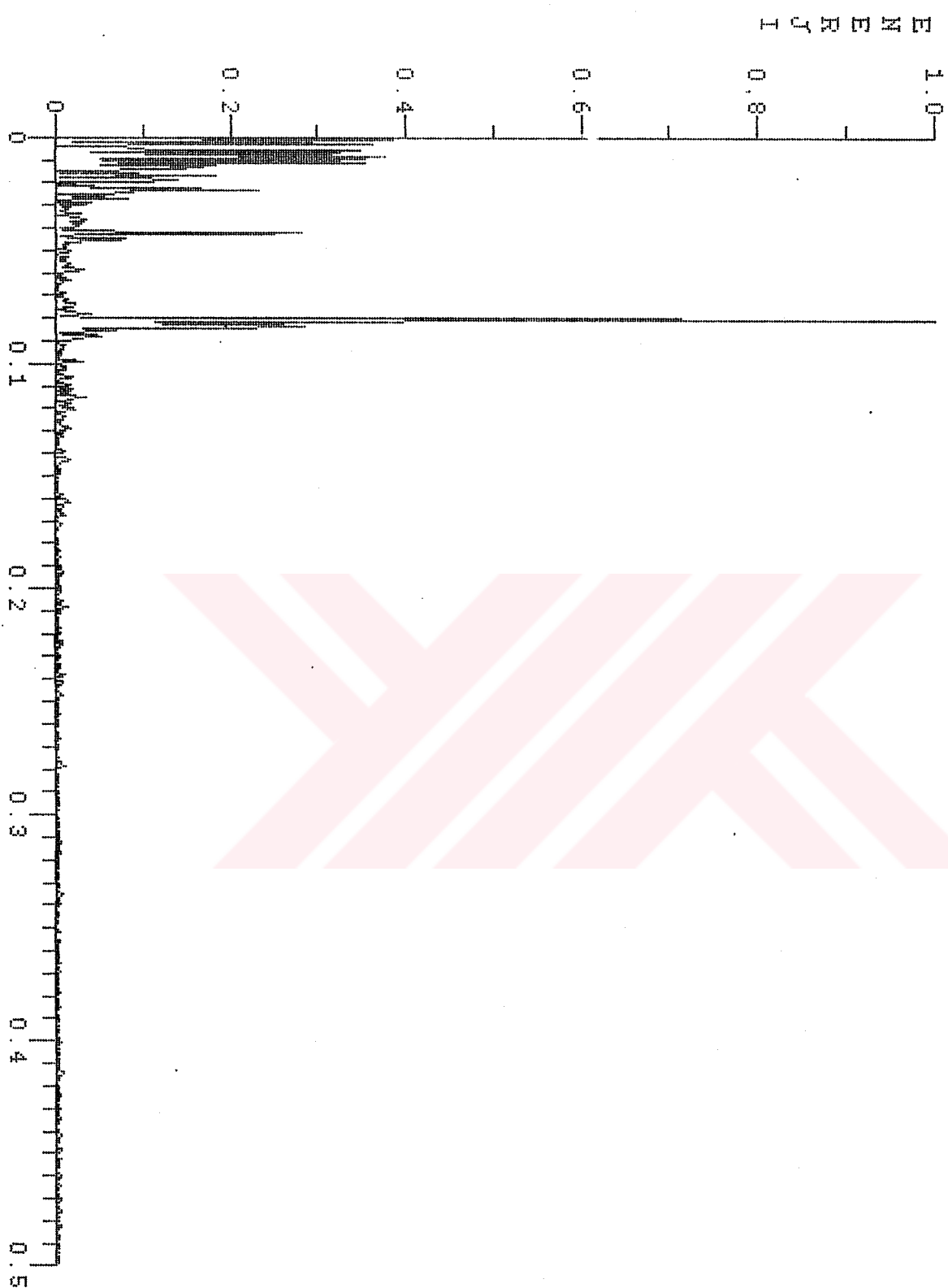


KS INFR4 LP FILTRE

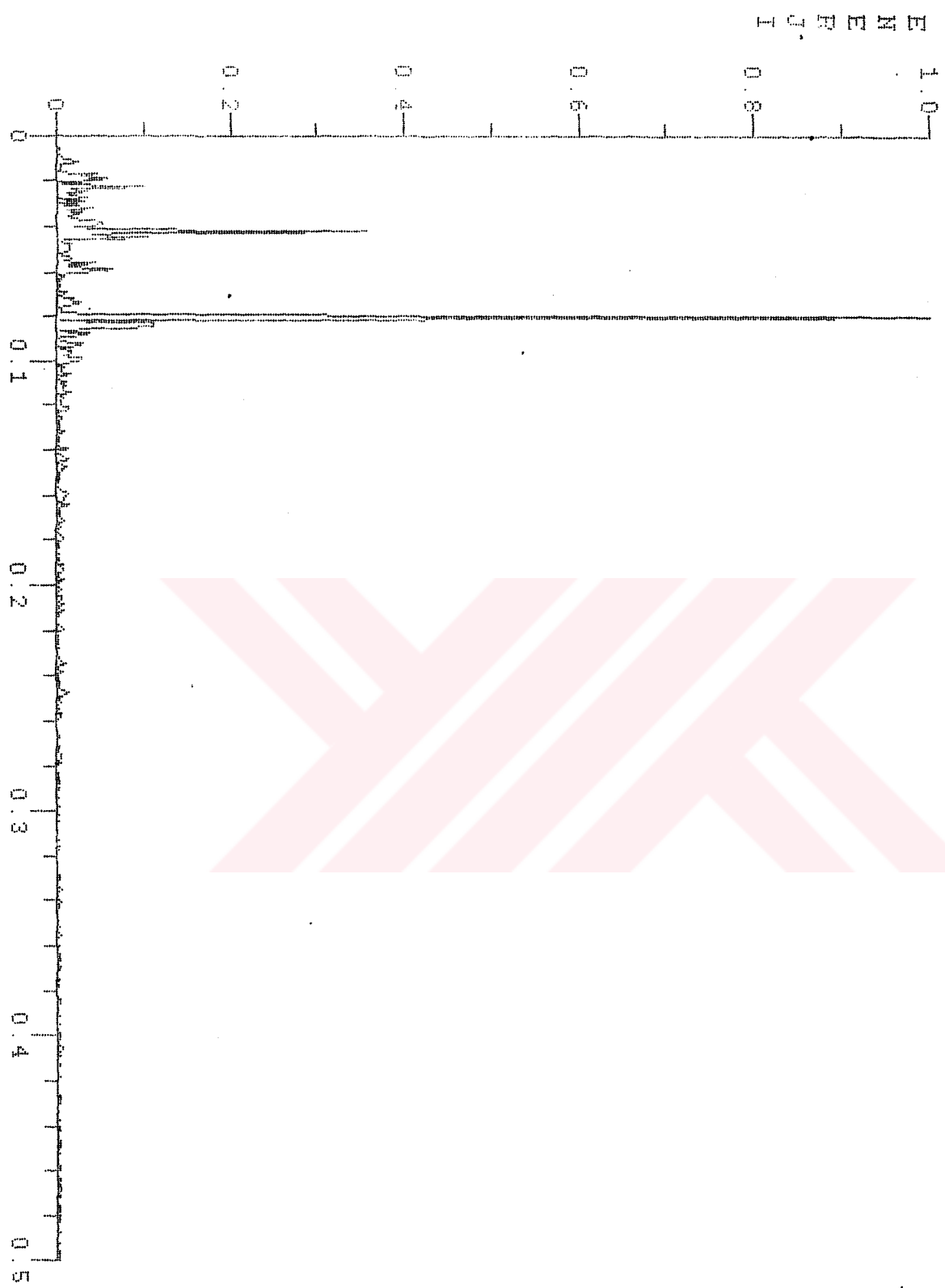


SARAYEJMU Spektrum Grafigi

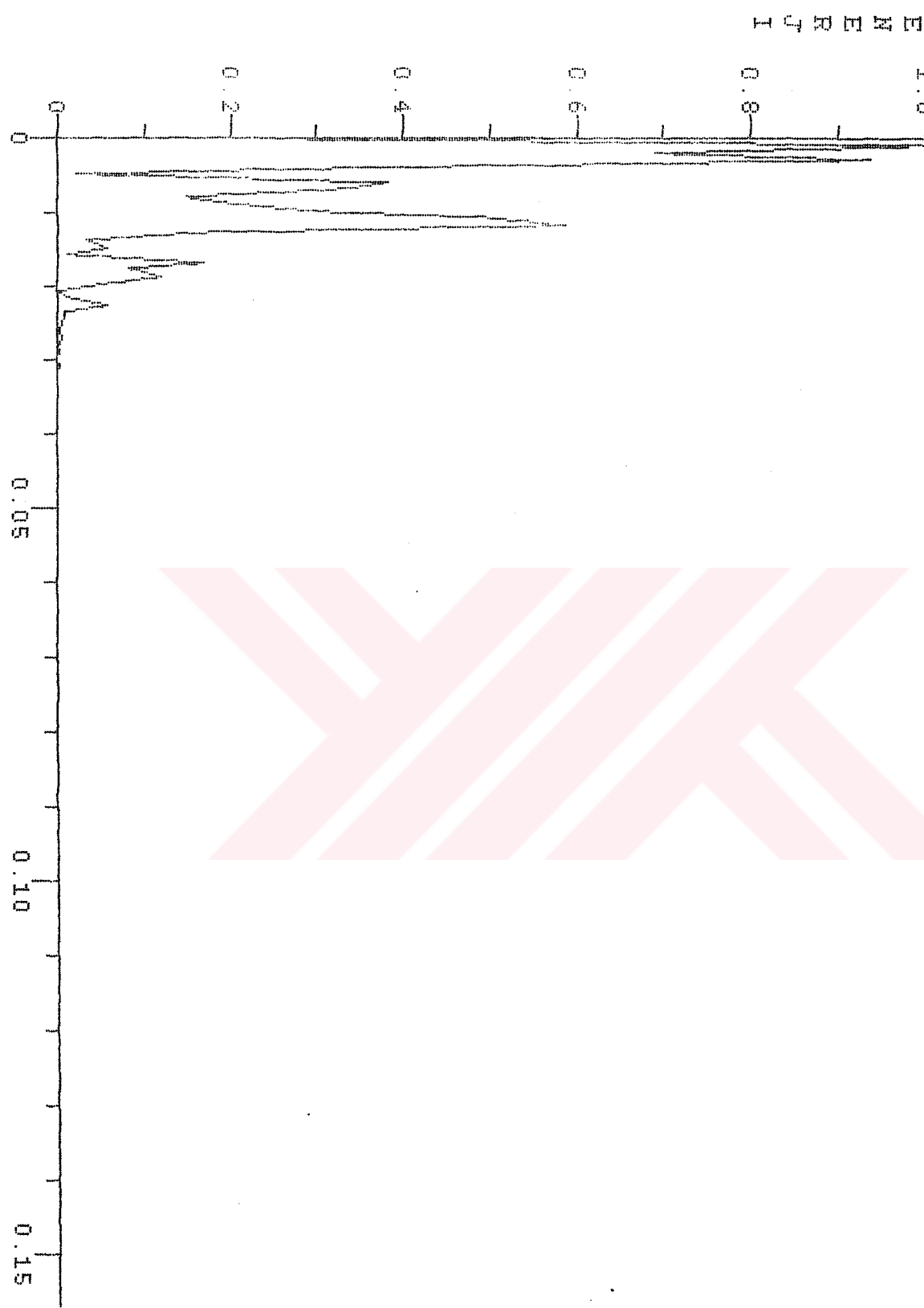
MK1NR1D1 (10 Haziran - 22 Temmuz)



MK.IMRI.HP FILTRE

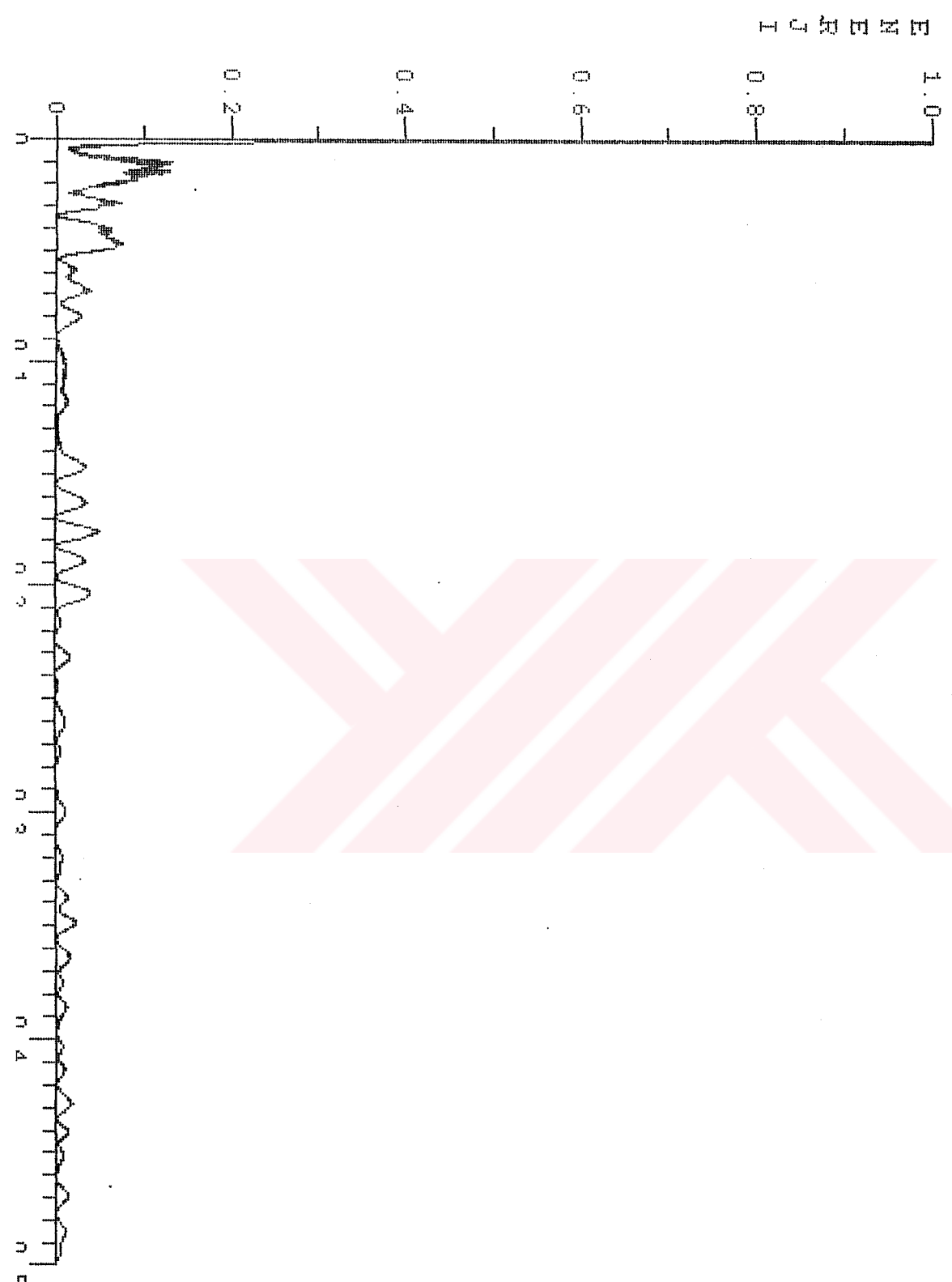


MK INR1 LP FILTRE

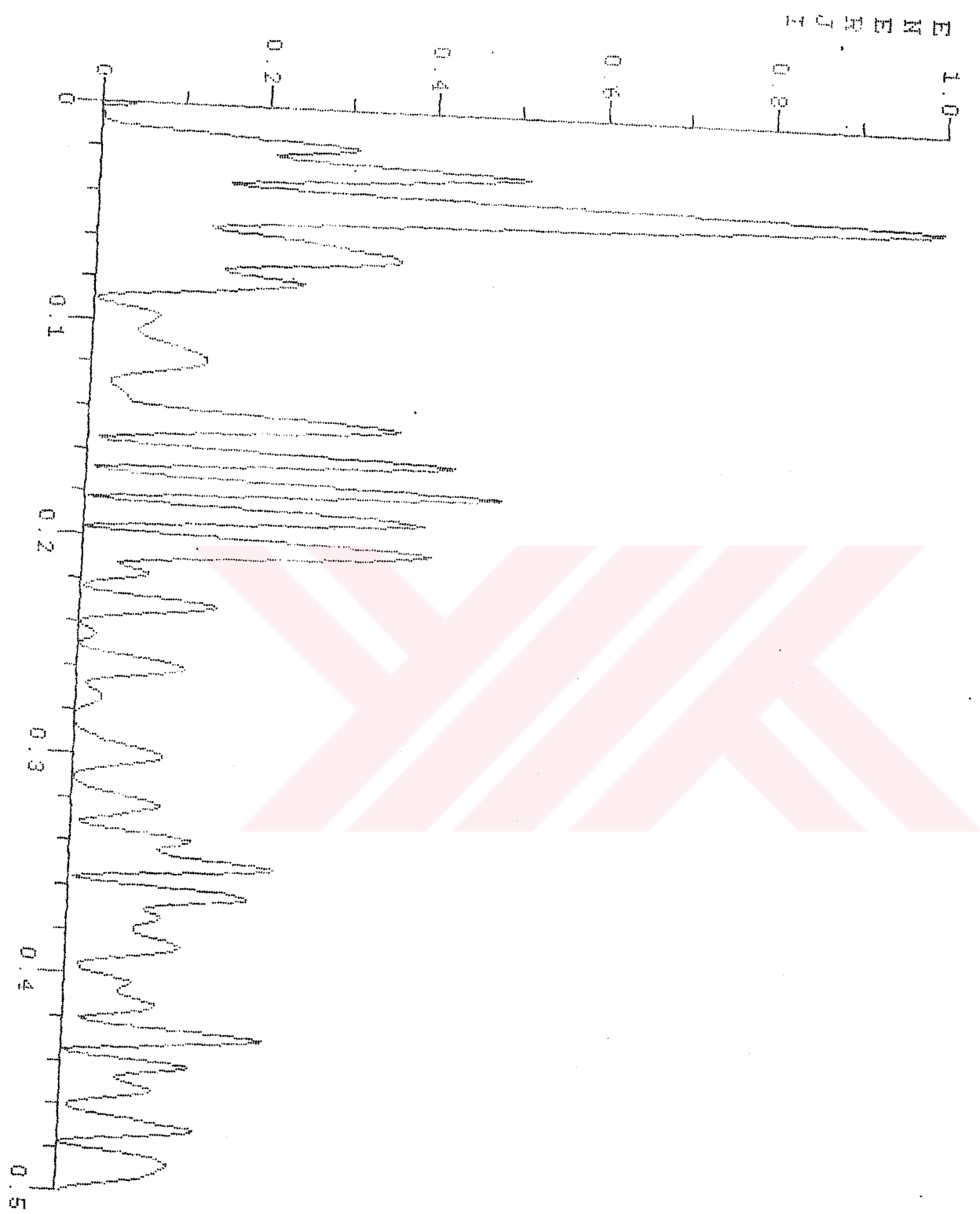


SARAYBURNU Spektrum Grafigi

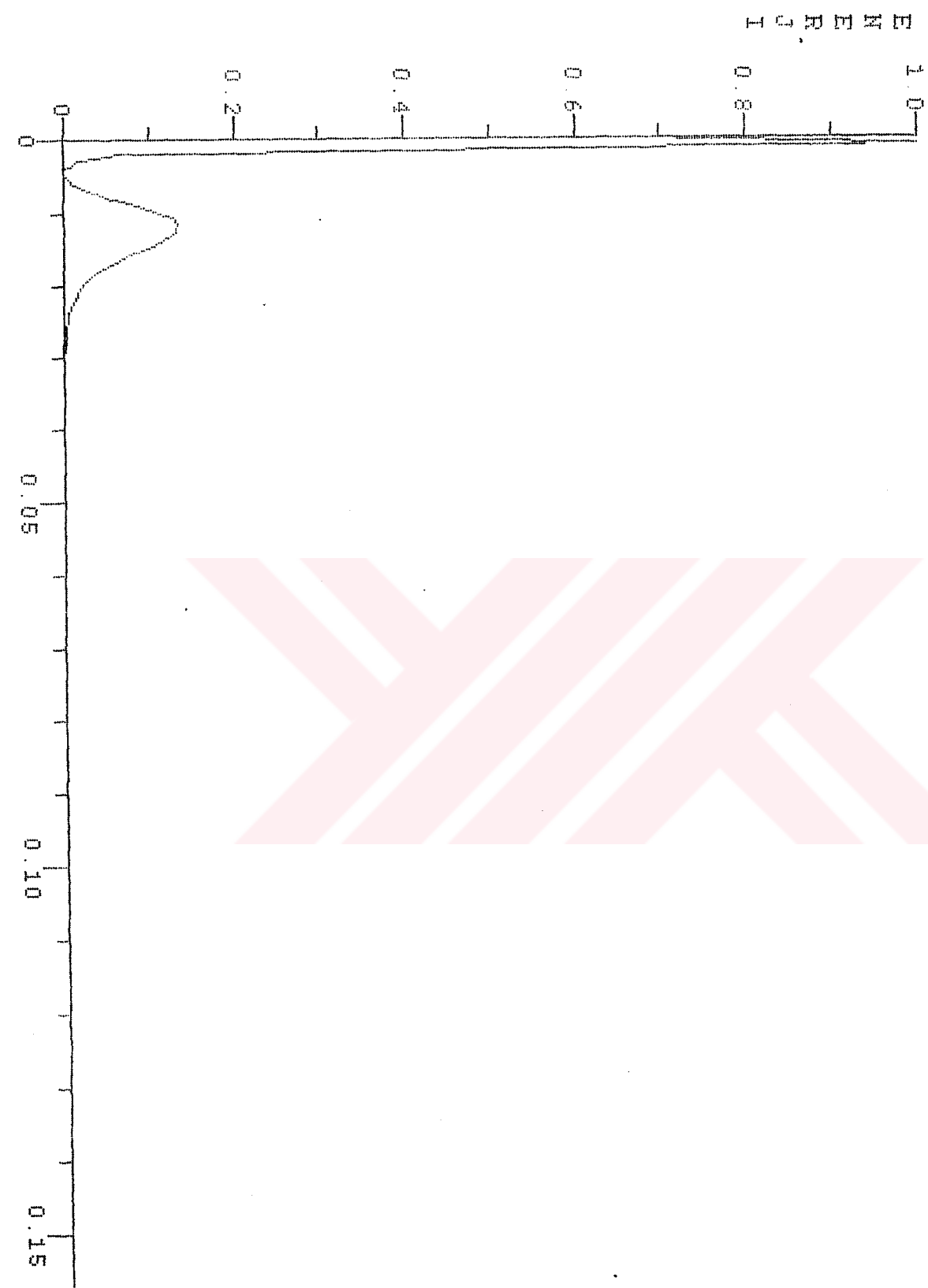
MK1MR2D1 (10 Haziran-22 Temmuz)



MK4INR2.HP FILTRE

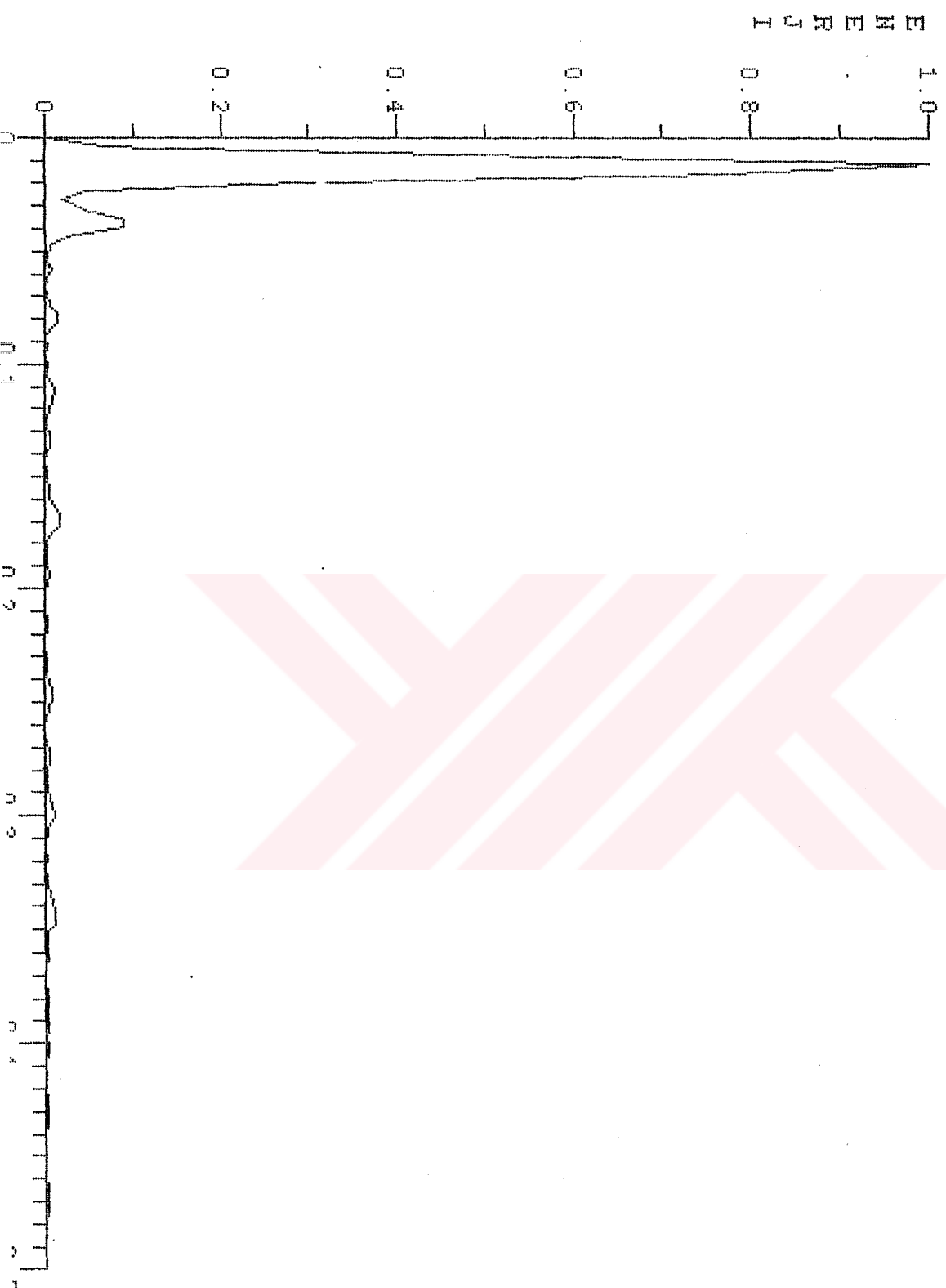


MK1NMR2 . LP FILTRE

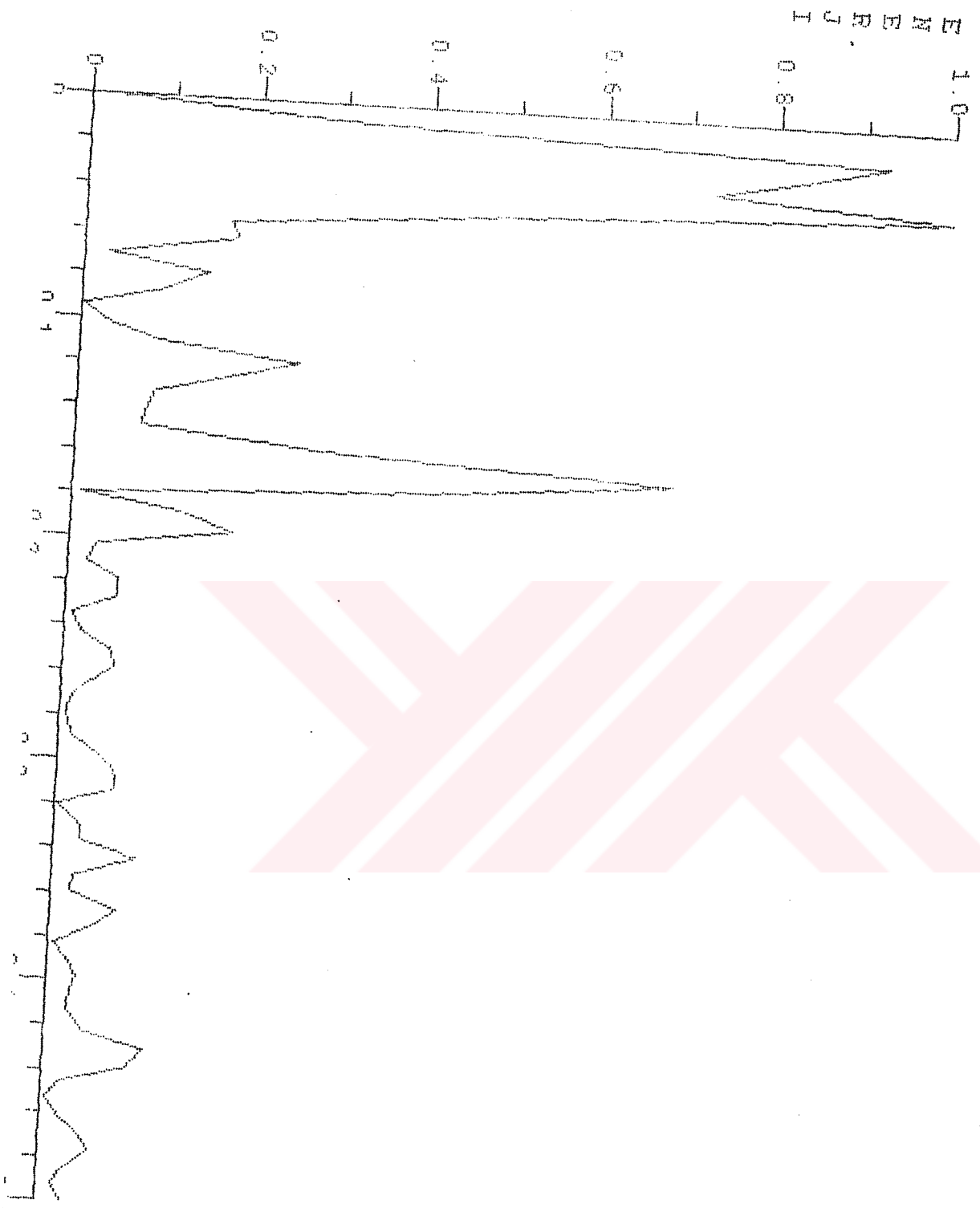


BALTALIMANI Spektrum Grafigi

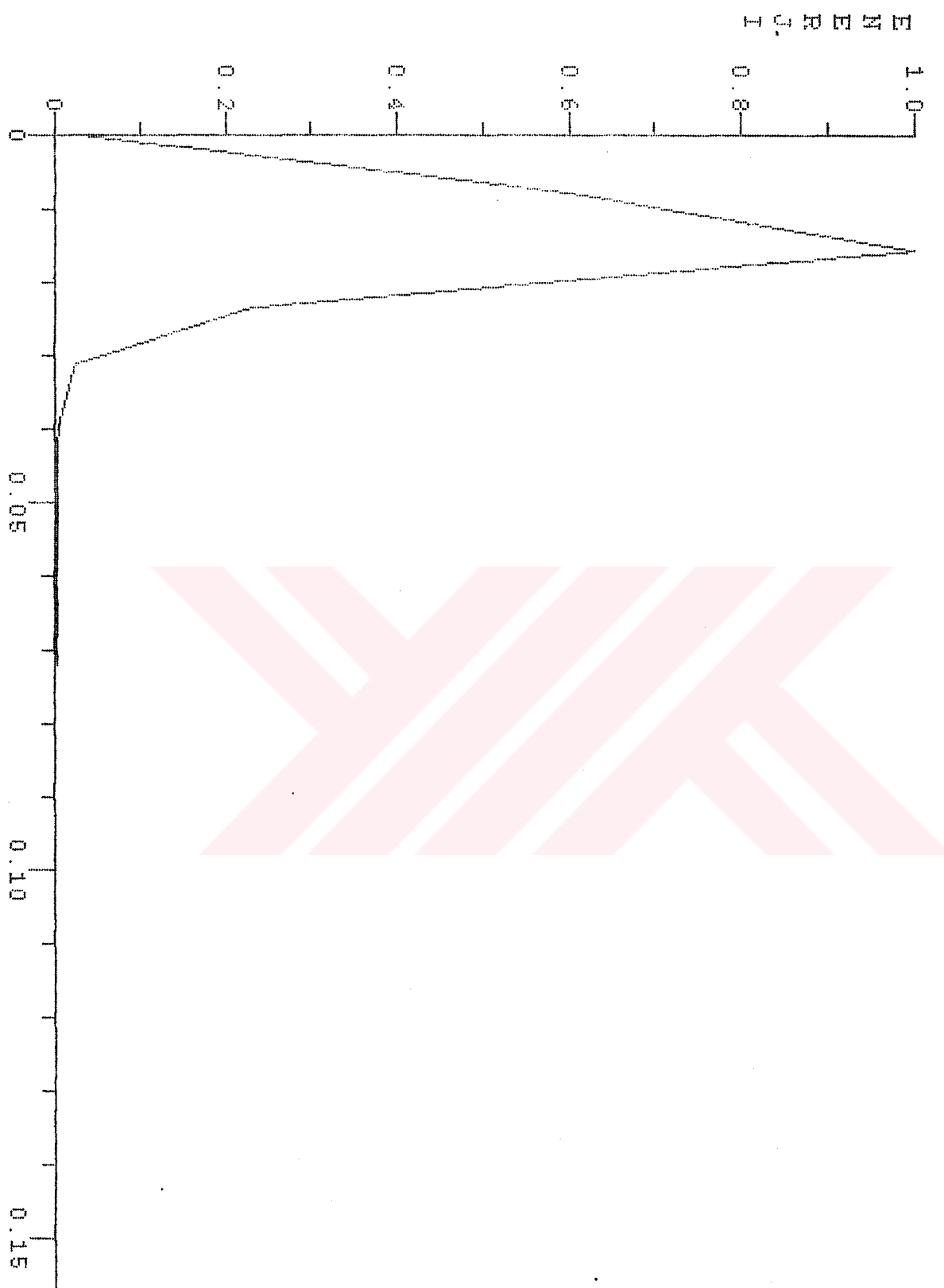
BL3MR1D3 (4 Agustos-9 Agustos)



BL3MRI.HP FILTER



BLOOM LP FILTER



BALTALIMANI Spektrum Grafigi

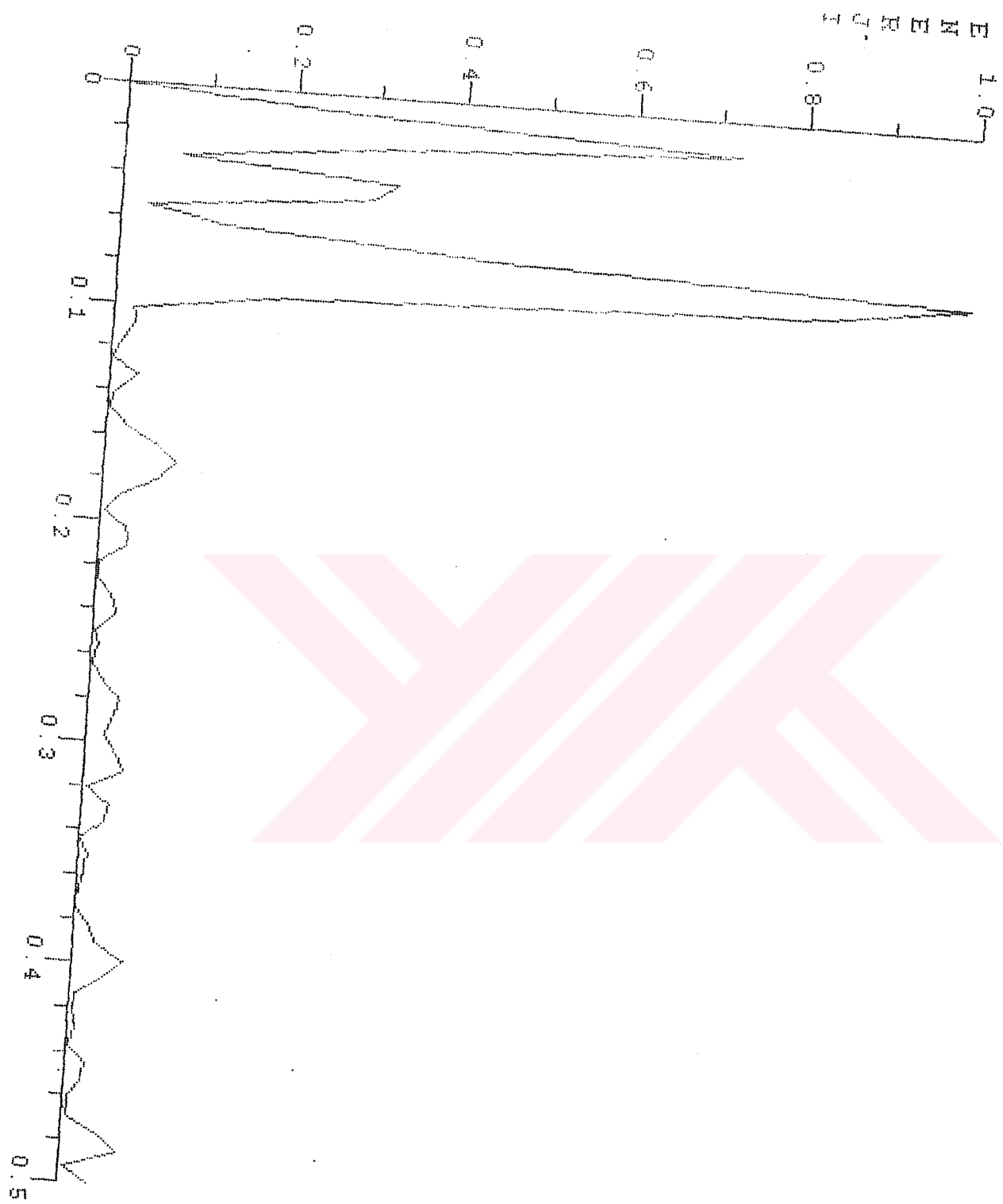
BL3NR2D3 (4 Agustos-9 Agustos)

E
W
E
R
I
J
1.0
0.8
0.6
0.4
0.2
0

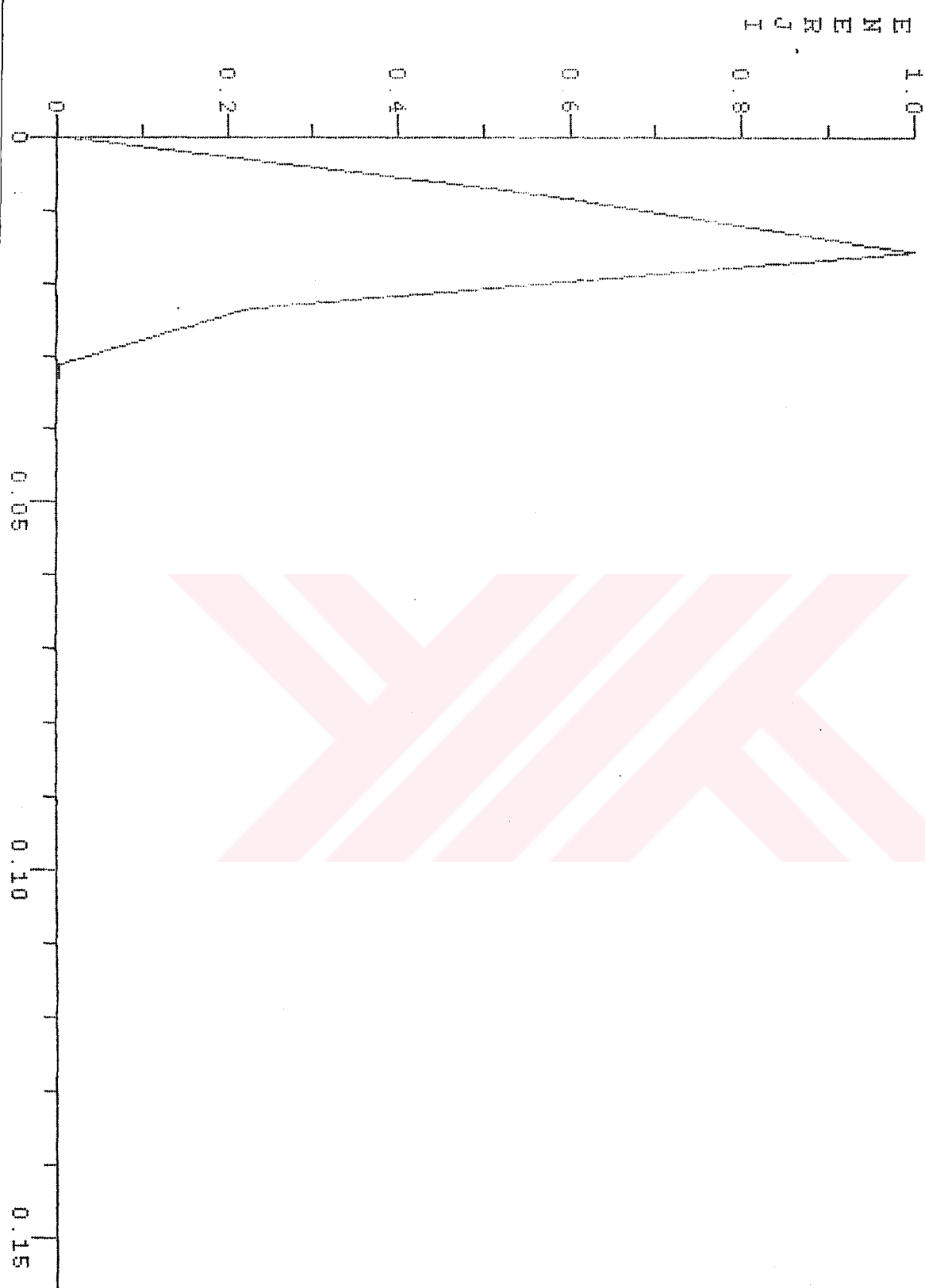
0
0.2
0.4
0.6
0.8
1.0



BL SNR2, HP FILTRE

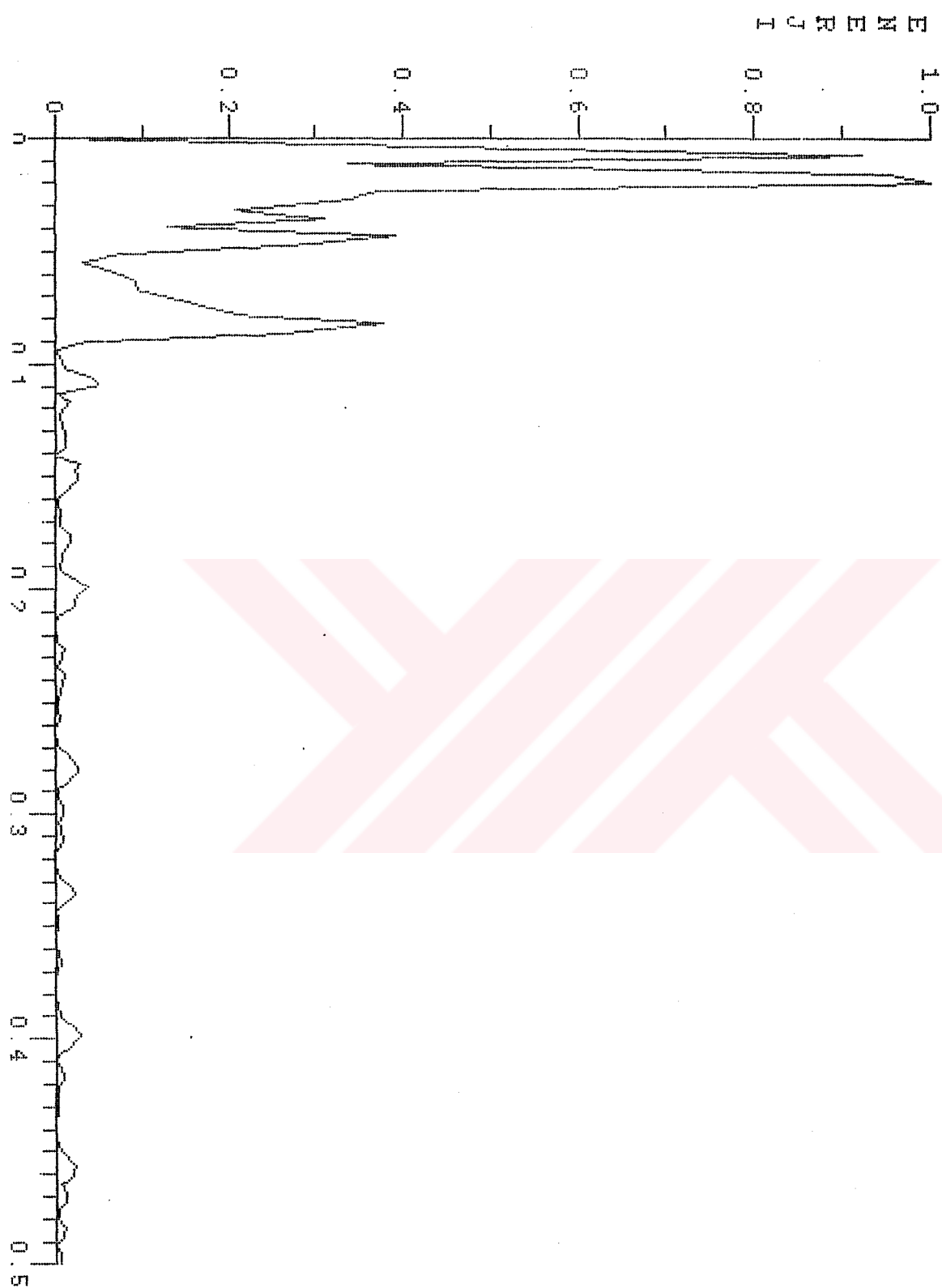


EL34M2.LP FILTRE

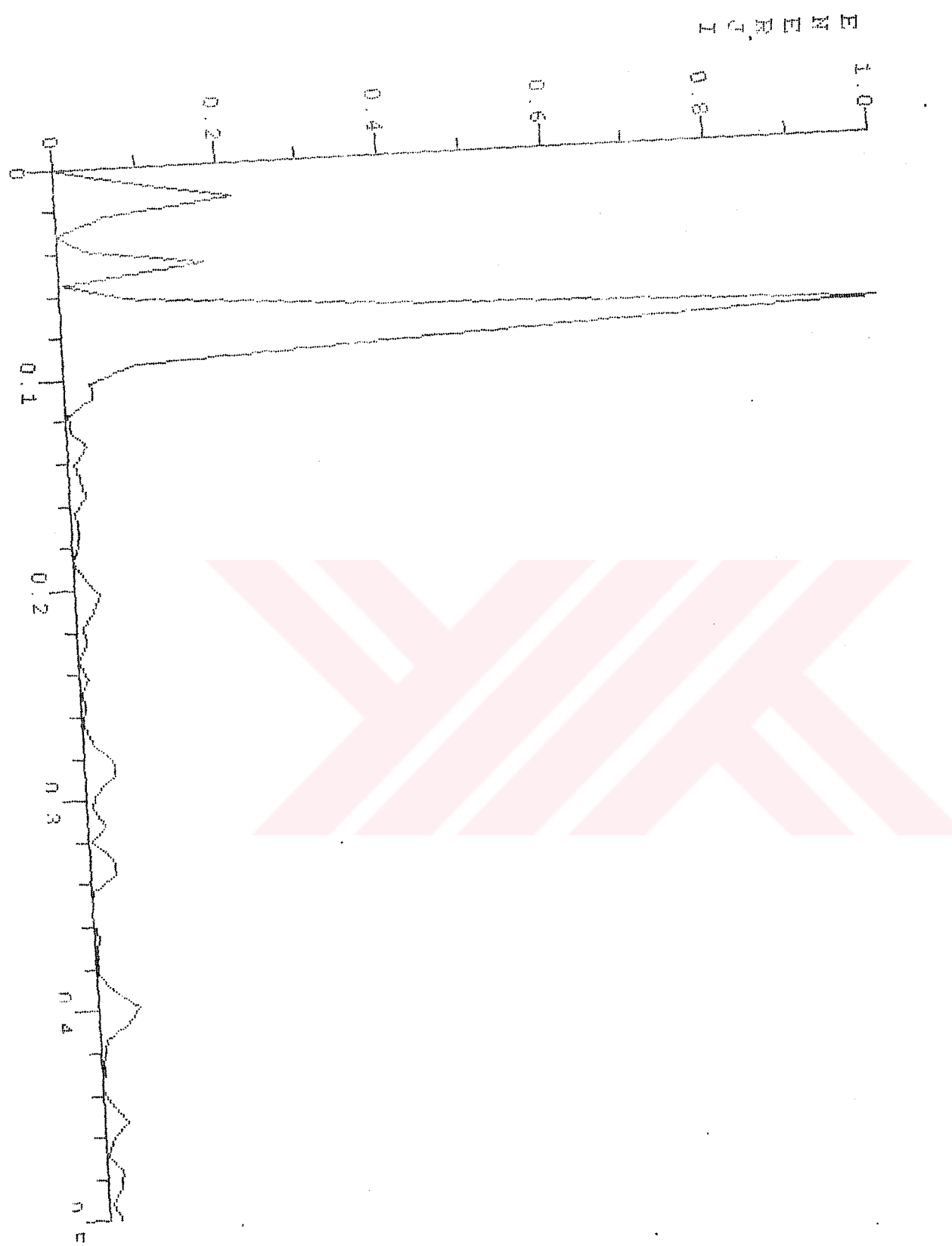


BALTALIMAN Spektrum Grafigi

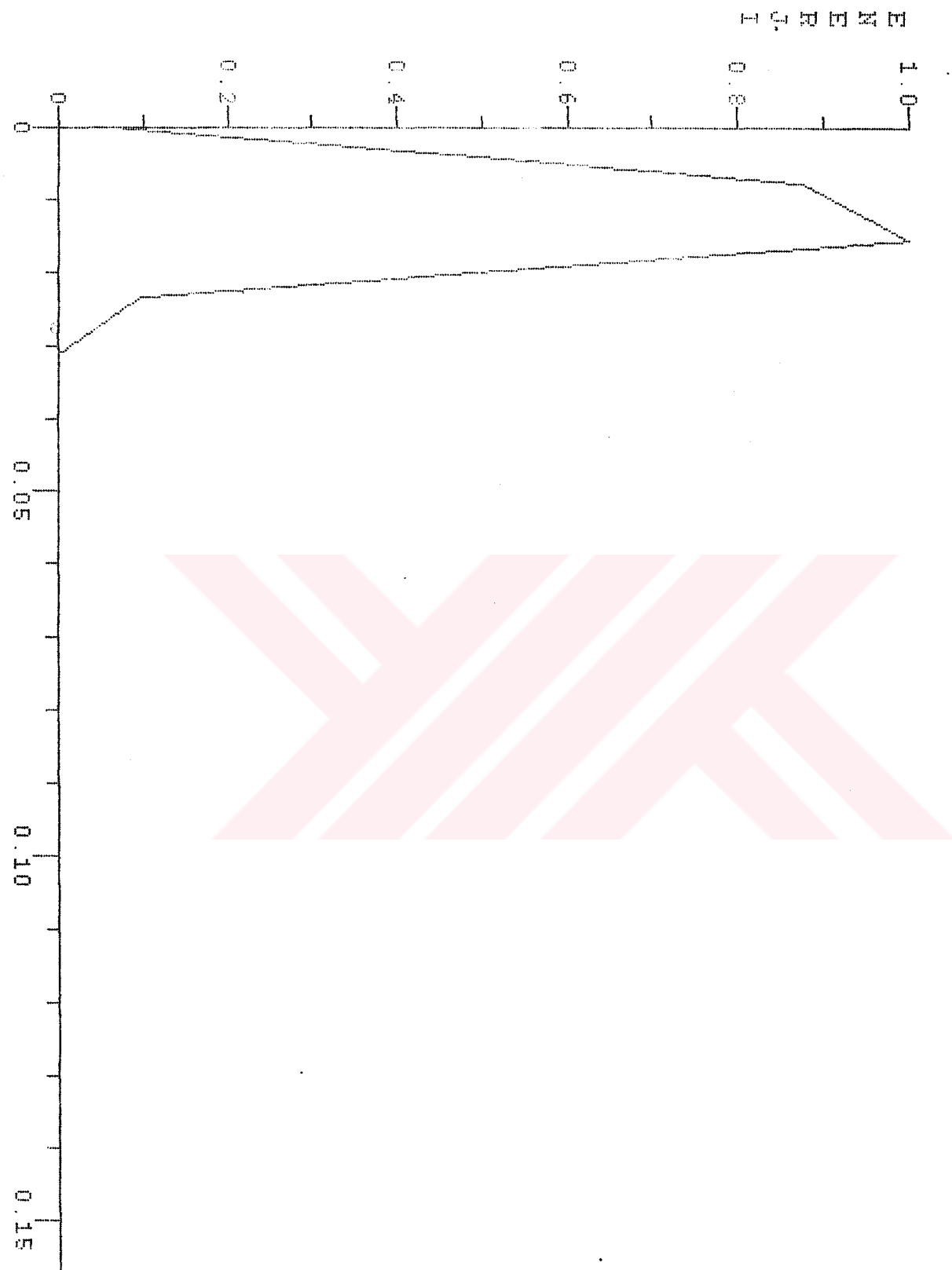
BL3MR3D3 (4 Agustos-9 Agustos)



BL3MR3.HP



B13MR3.LP FILTRE

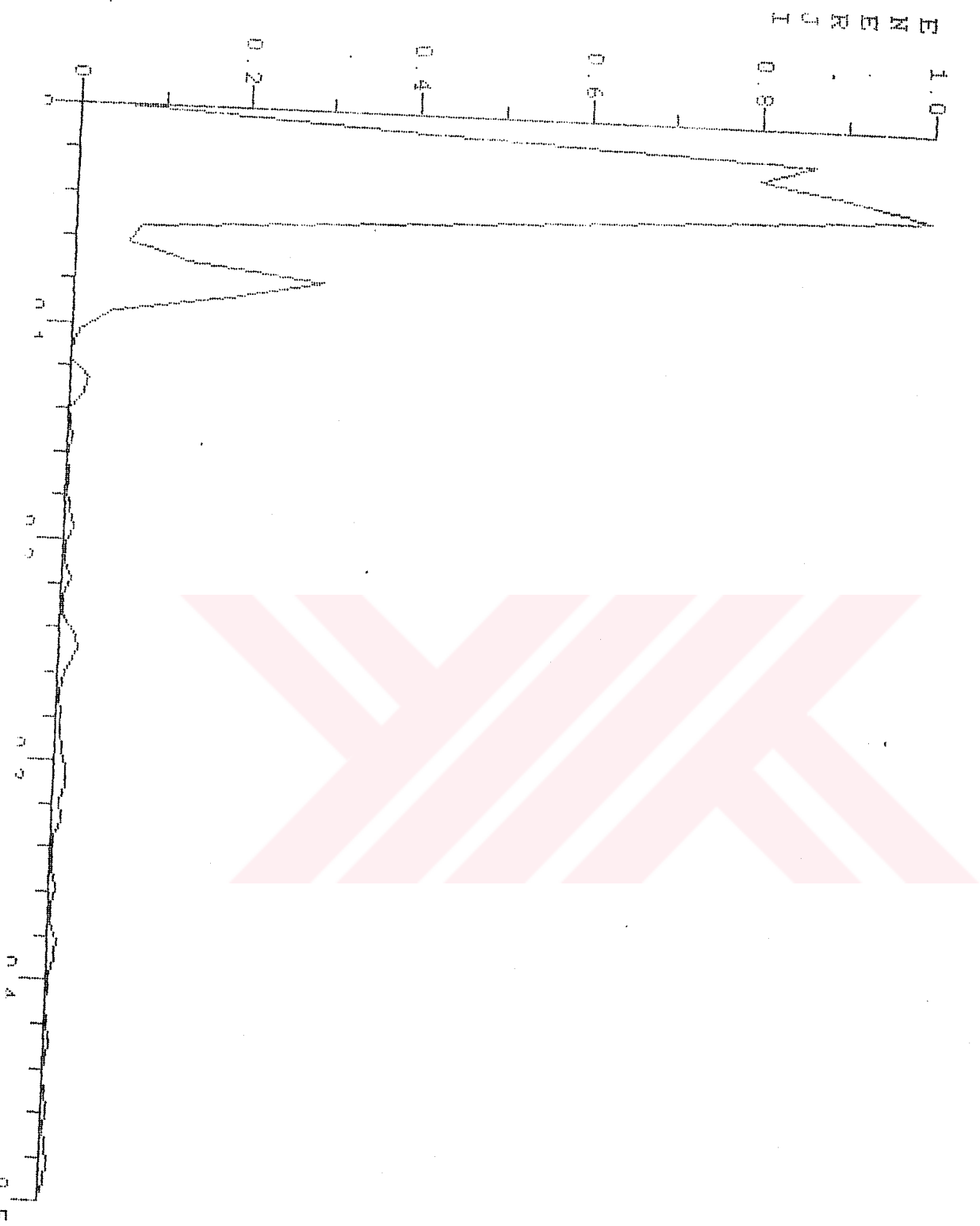


KUCUKSU Spektrum Grafigi

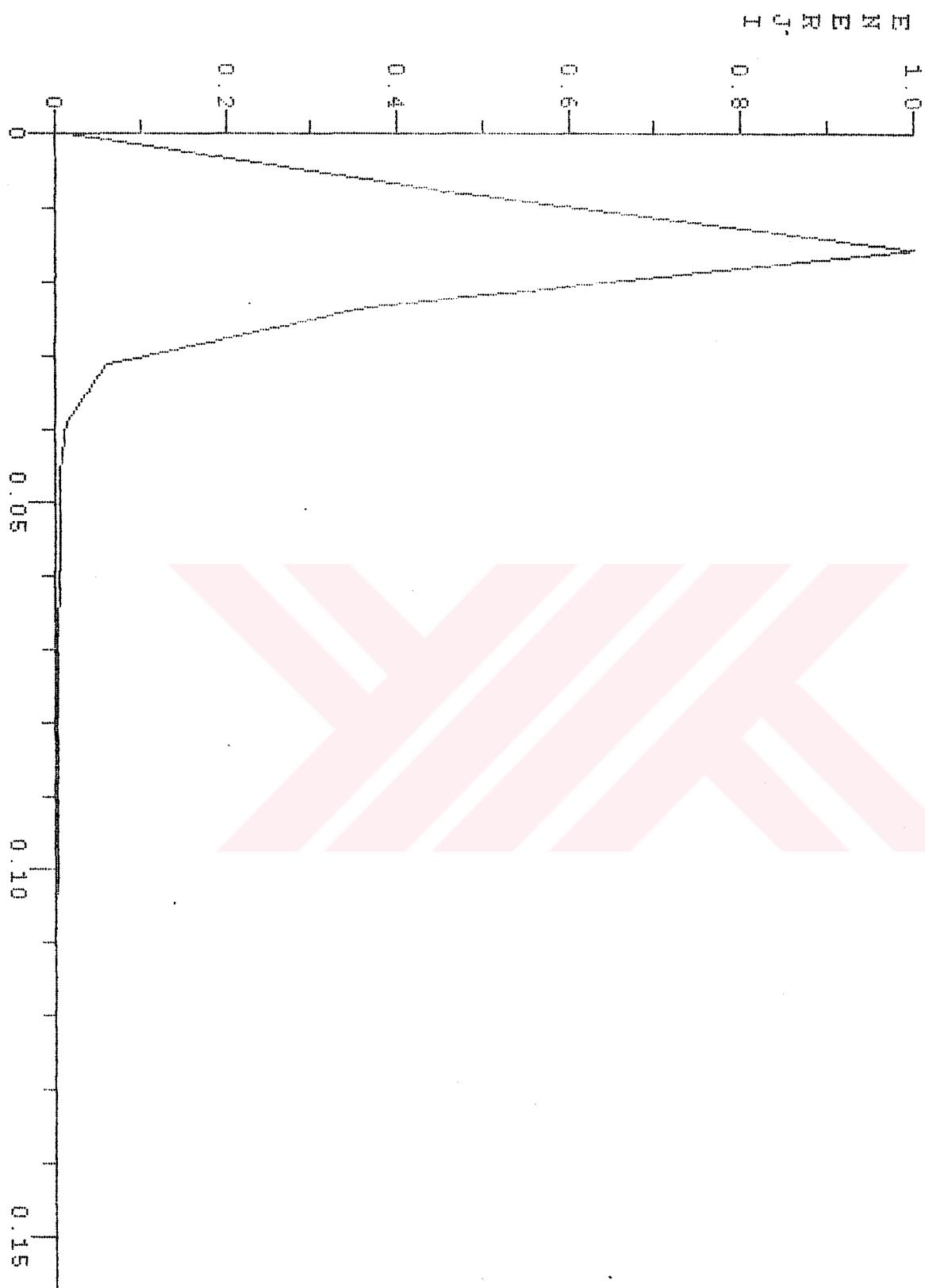
KS2NR1D2 (4 Agustos-9 Agustos)



KS2MRI, HP

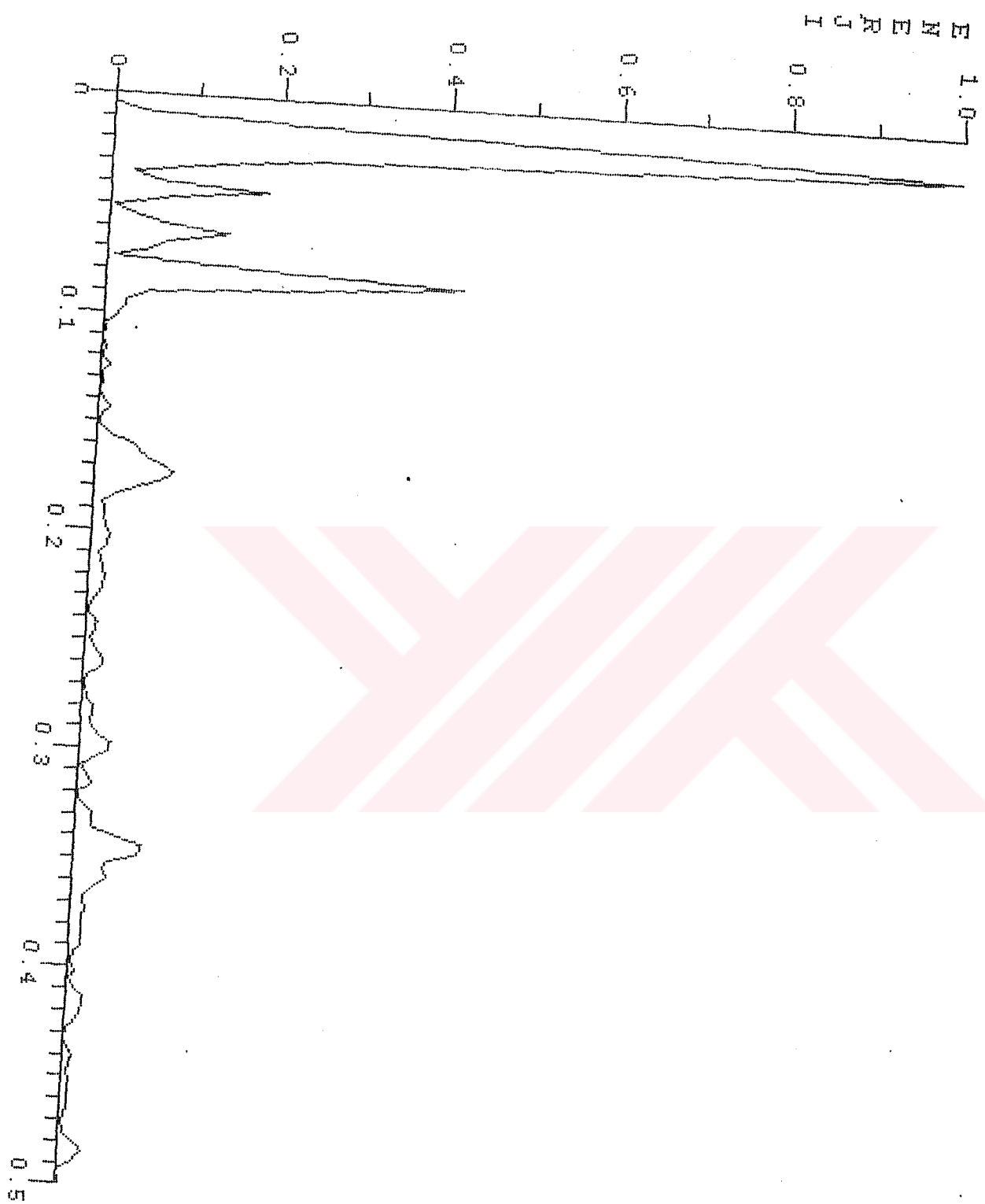


KS2NR1.LP FILTER

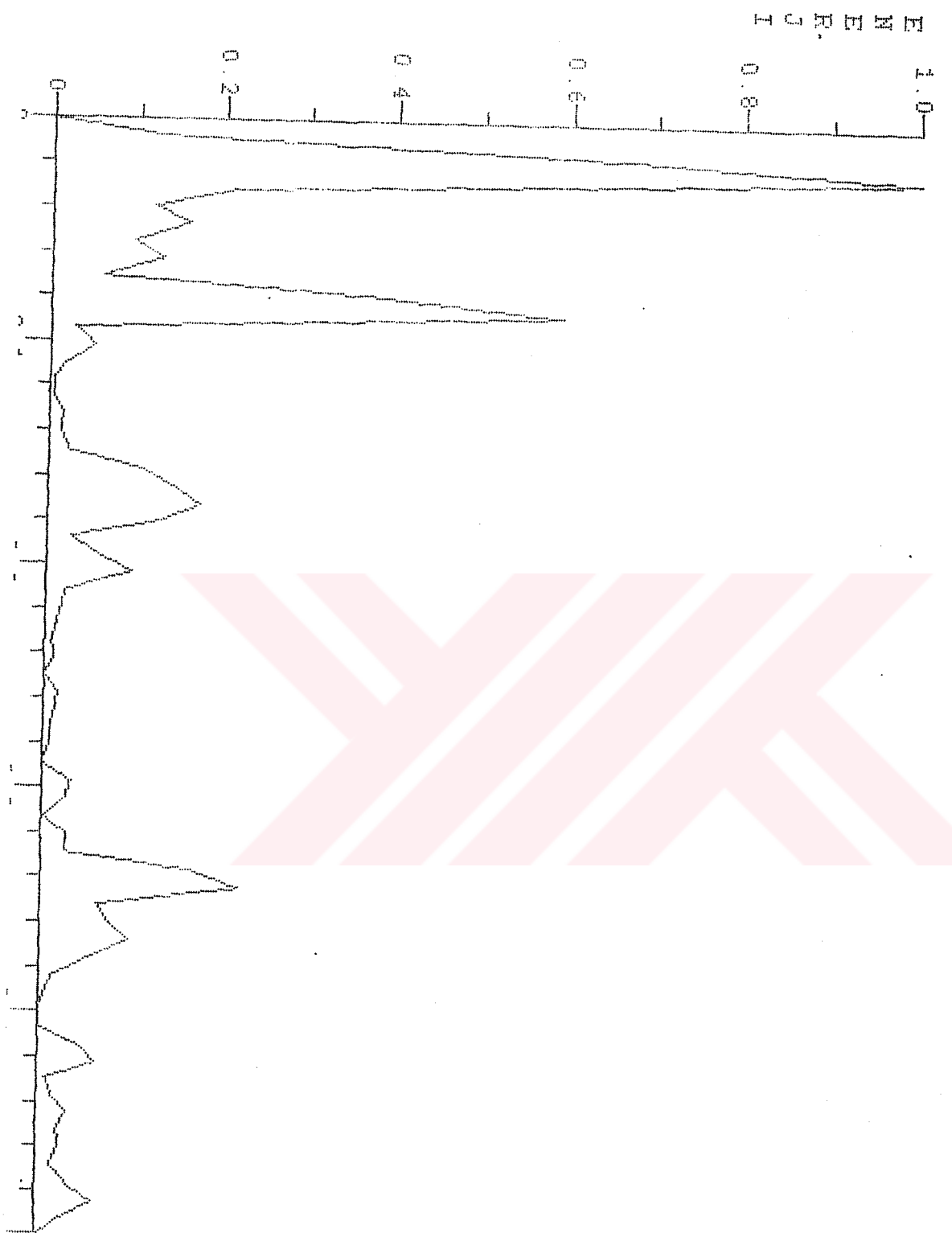


KUCLIKSU Spektrum Grafigi

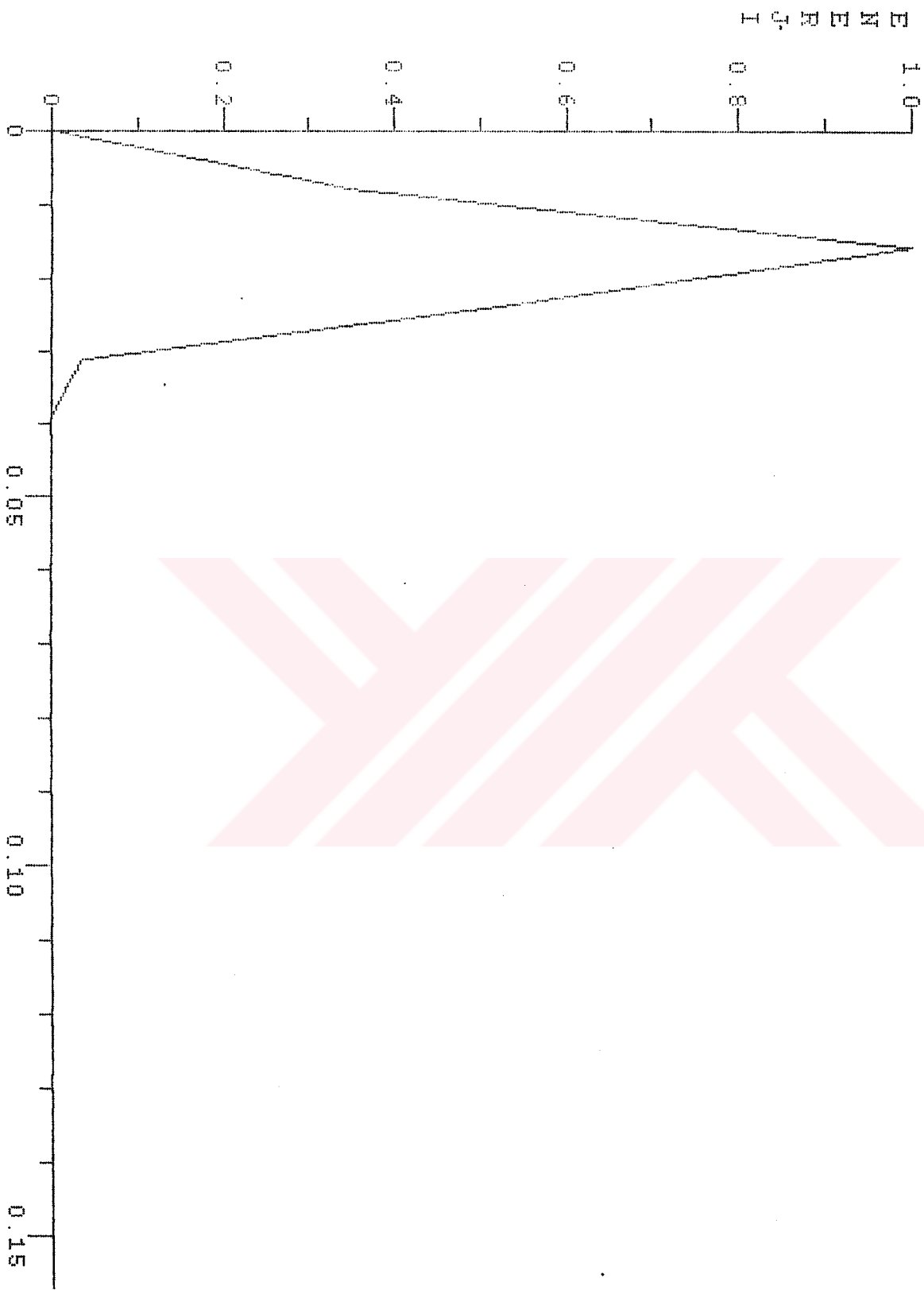
KS 2NR2D2 (4 Agustos - 9 Agustos)



KG2NMR2, HP FILTER

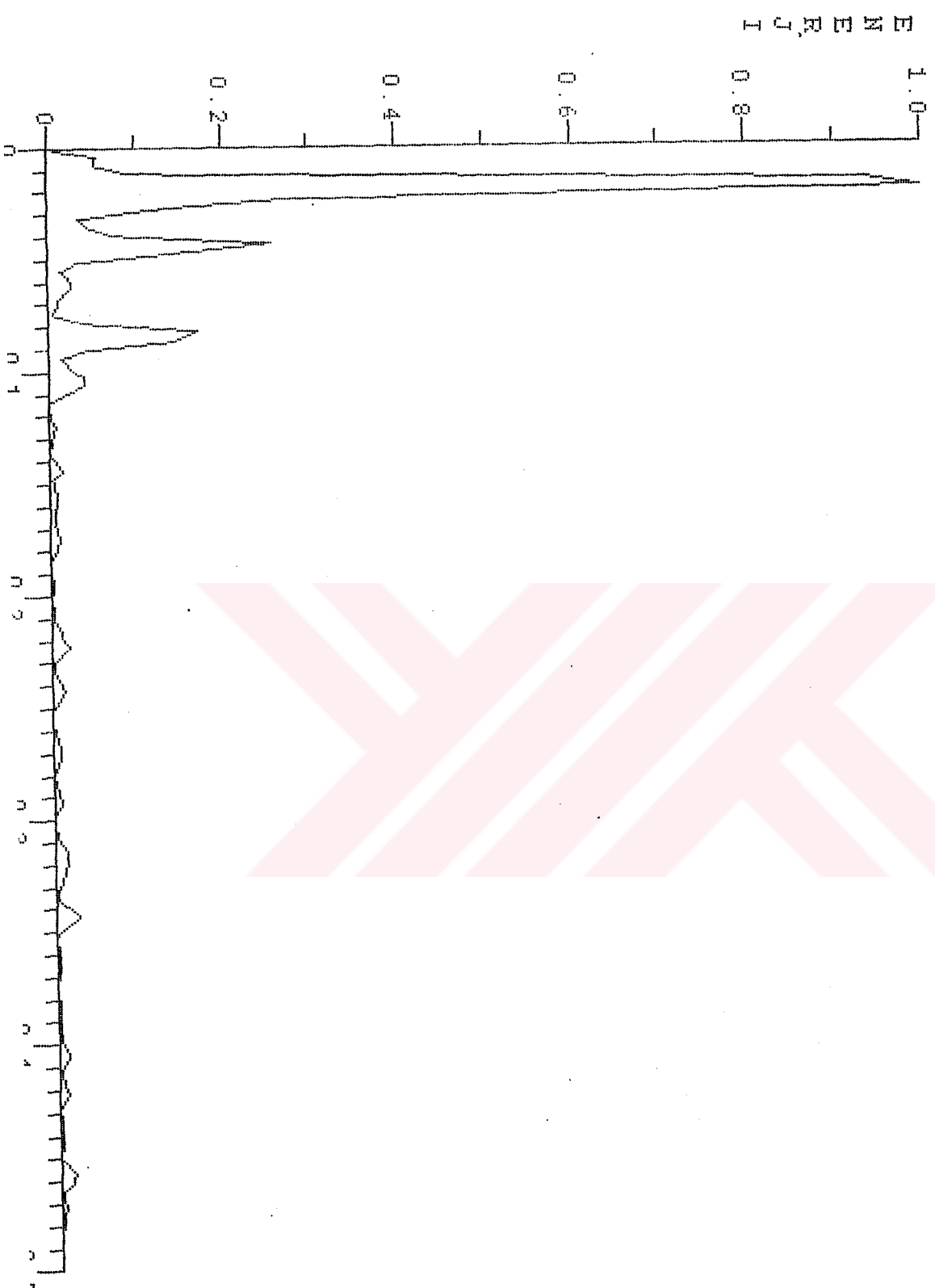


KS2NMR2.LP FILTRE

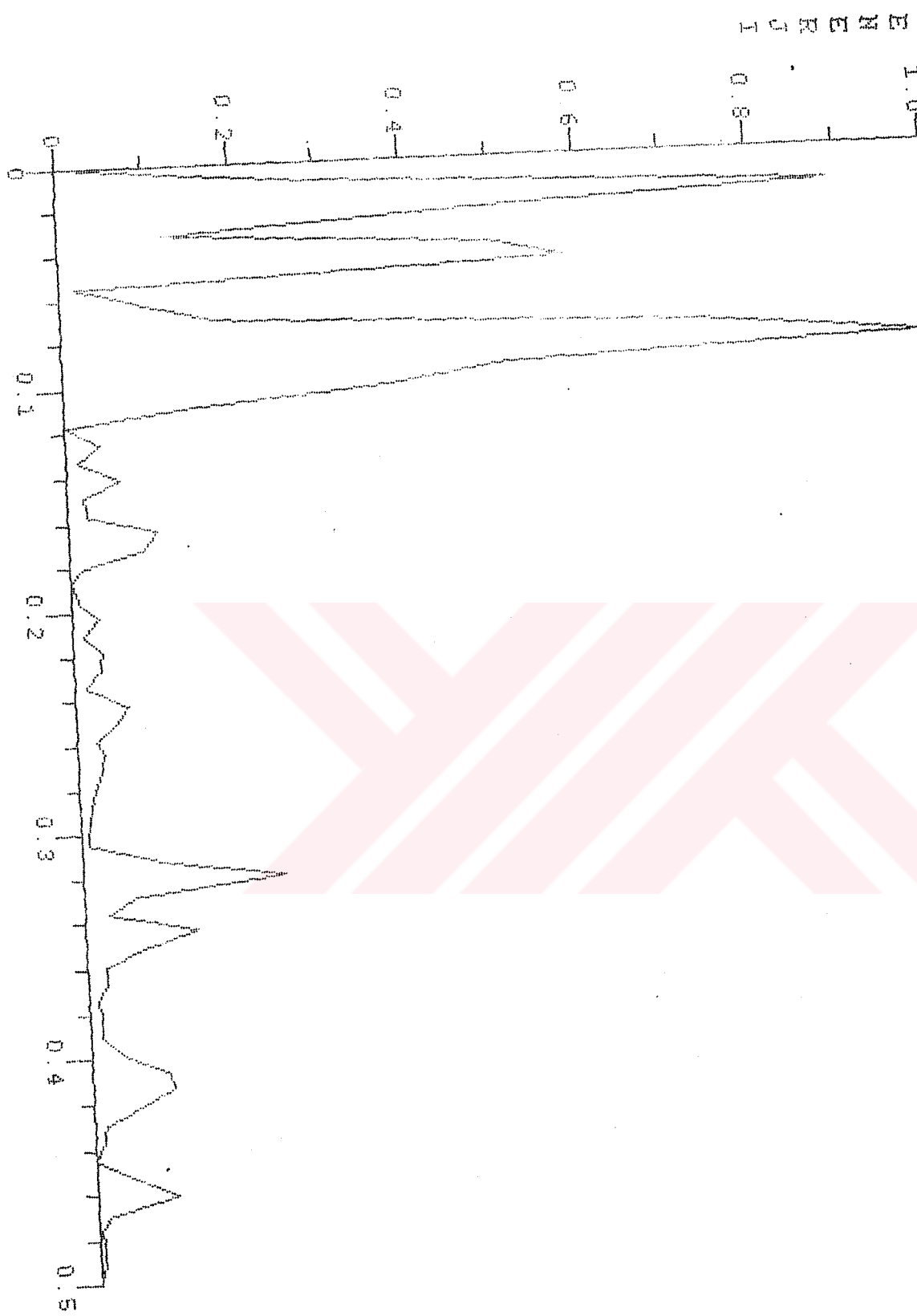


KUJUKSU Spektrum Grafigi

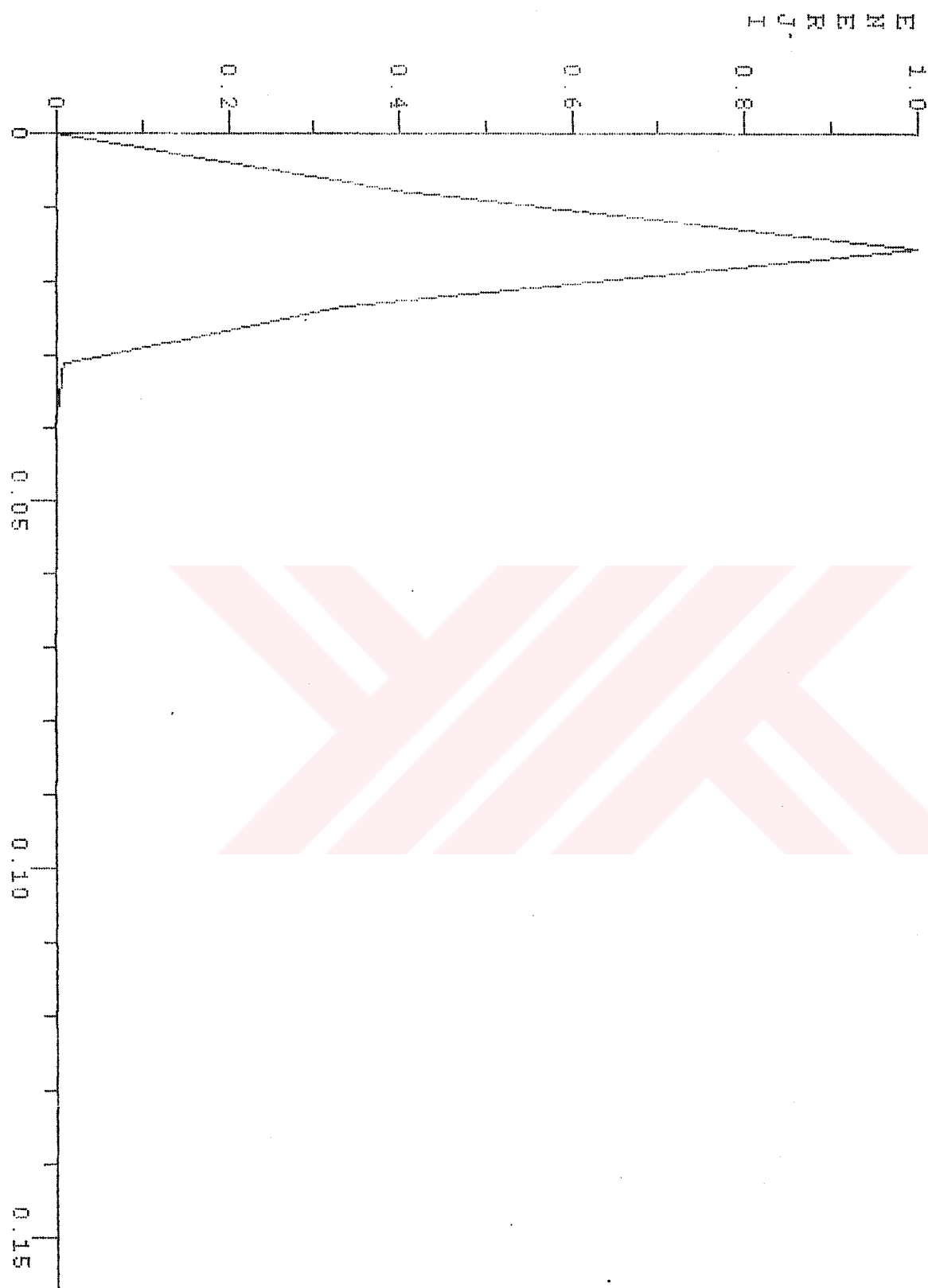
KS2NR3D2 (4 Agustos-9 Agustos)



KS2NRS, HP FILTRE

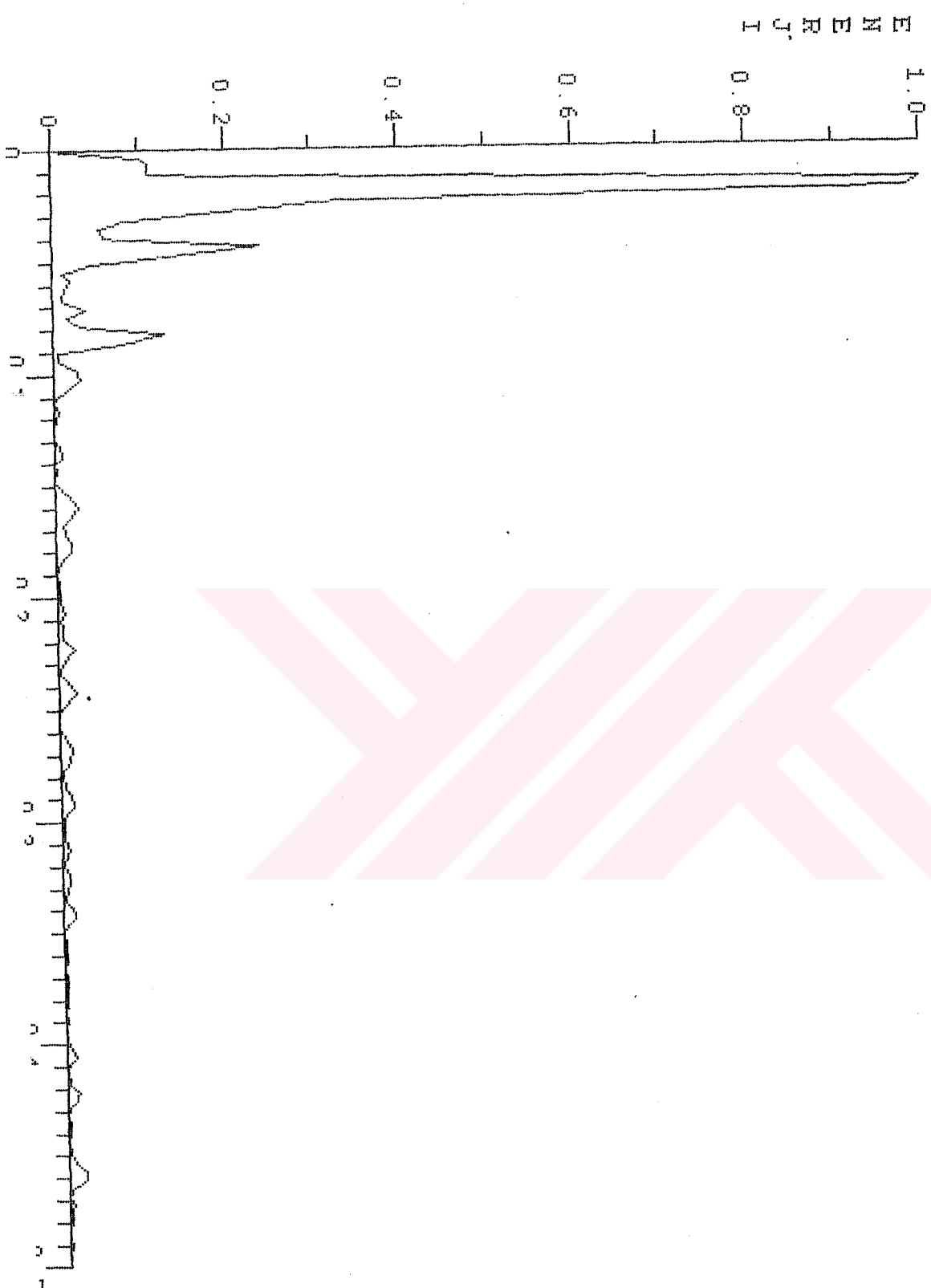


KS2NR3 . LP FILTRE

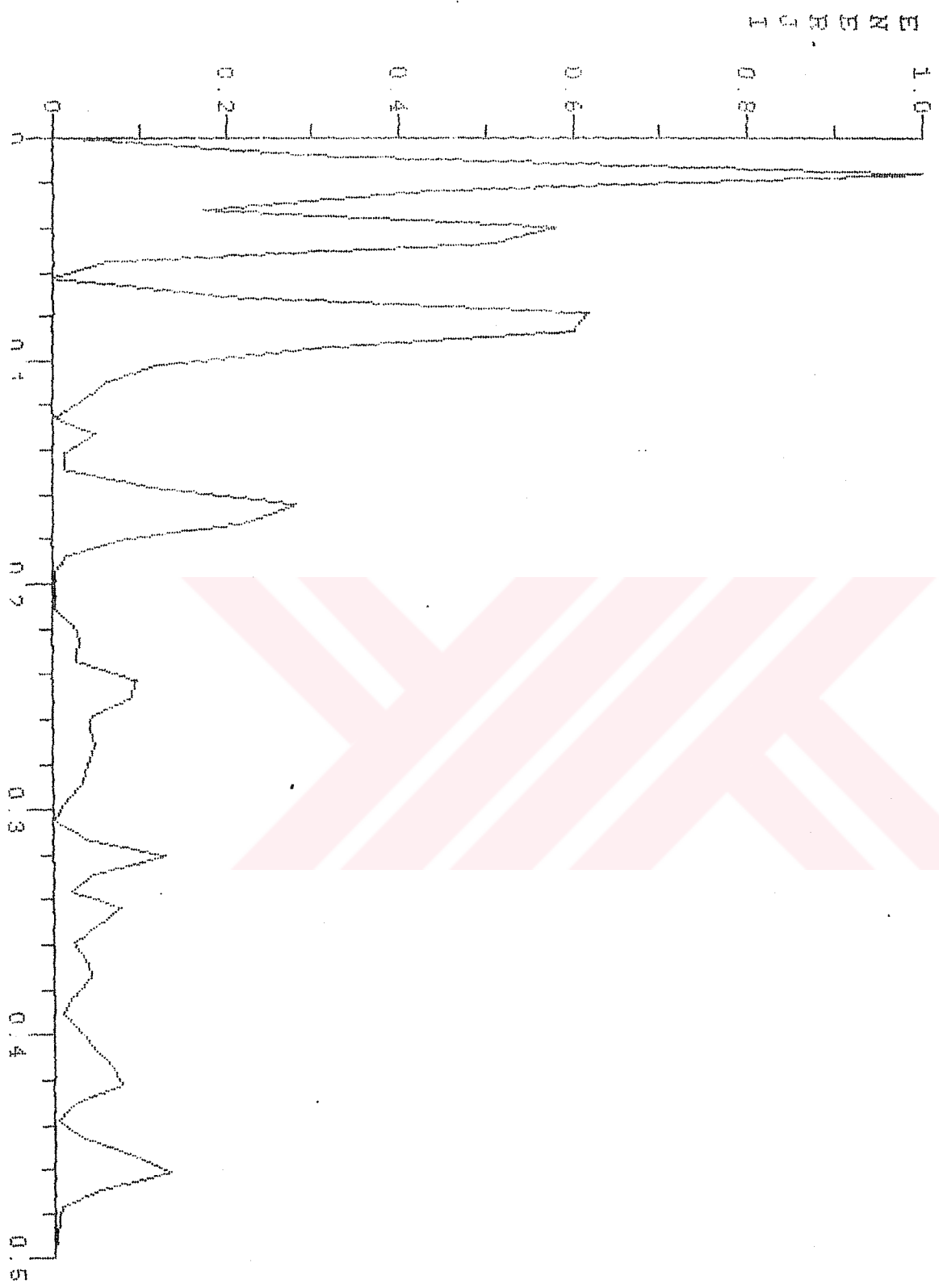


KUCUKSU Spektrum Grafigi

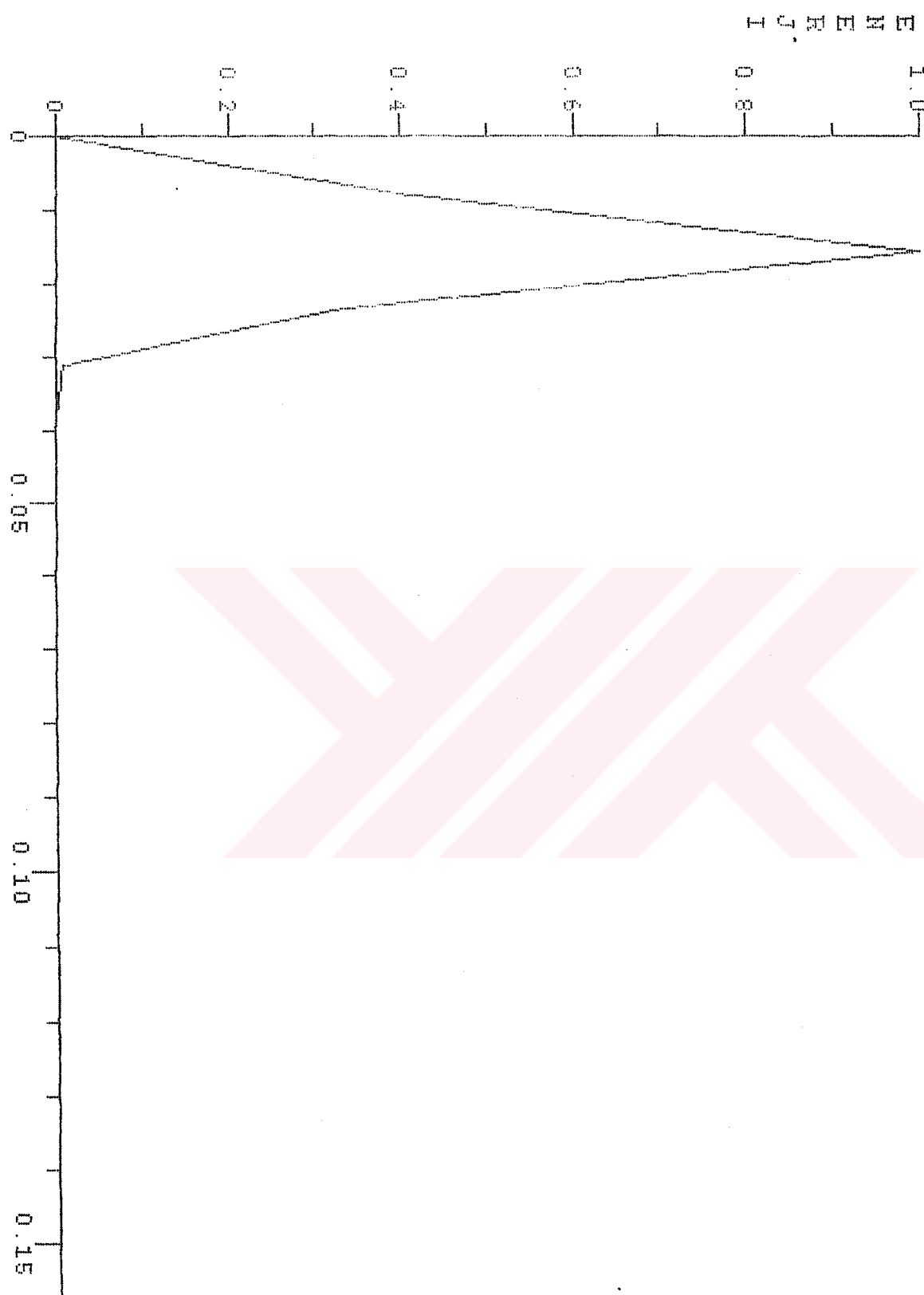
KS2MR4D2 (4 Agustos-9 Agustos)



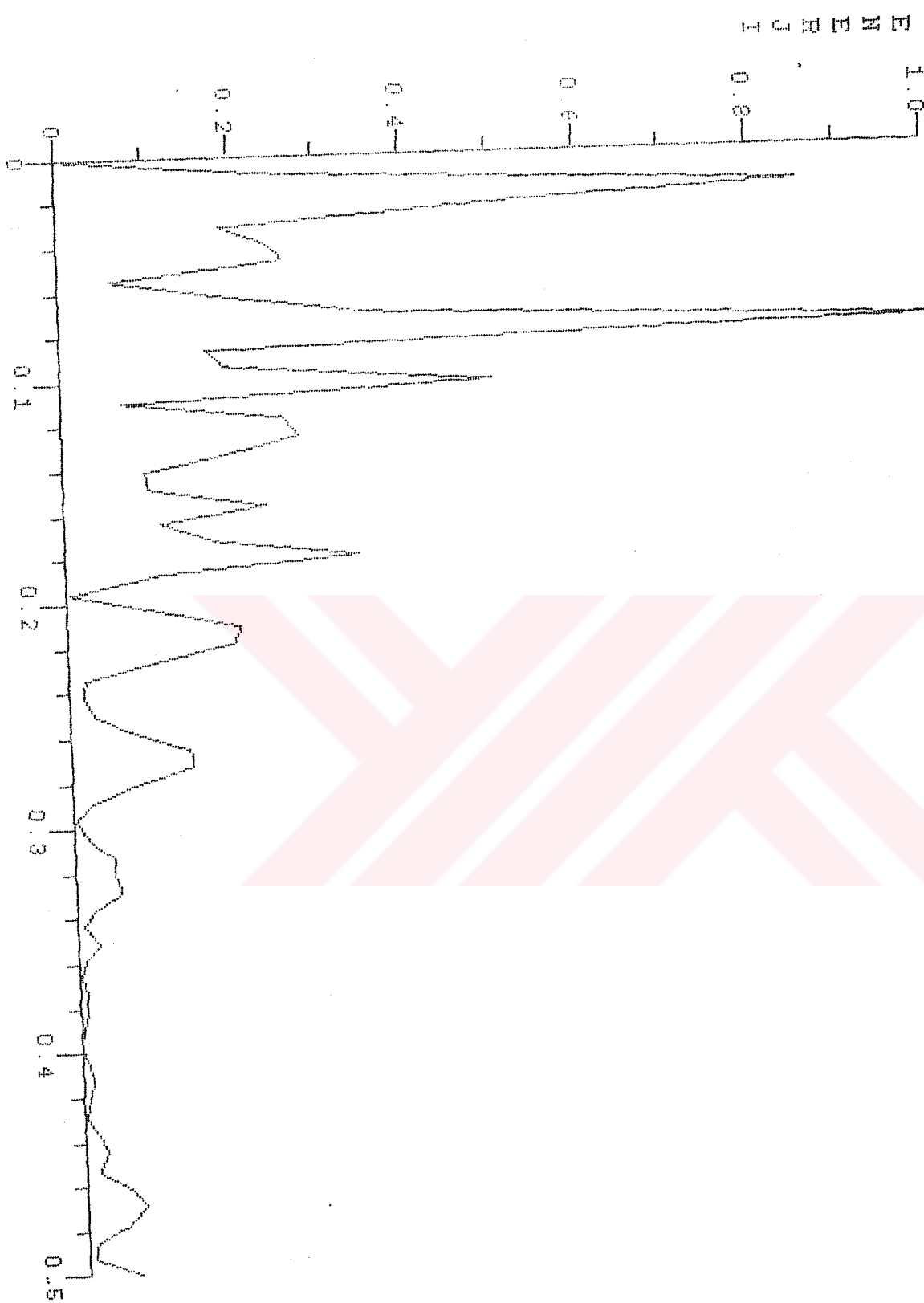
KS 2NRA4.HP FILTRE



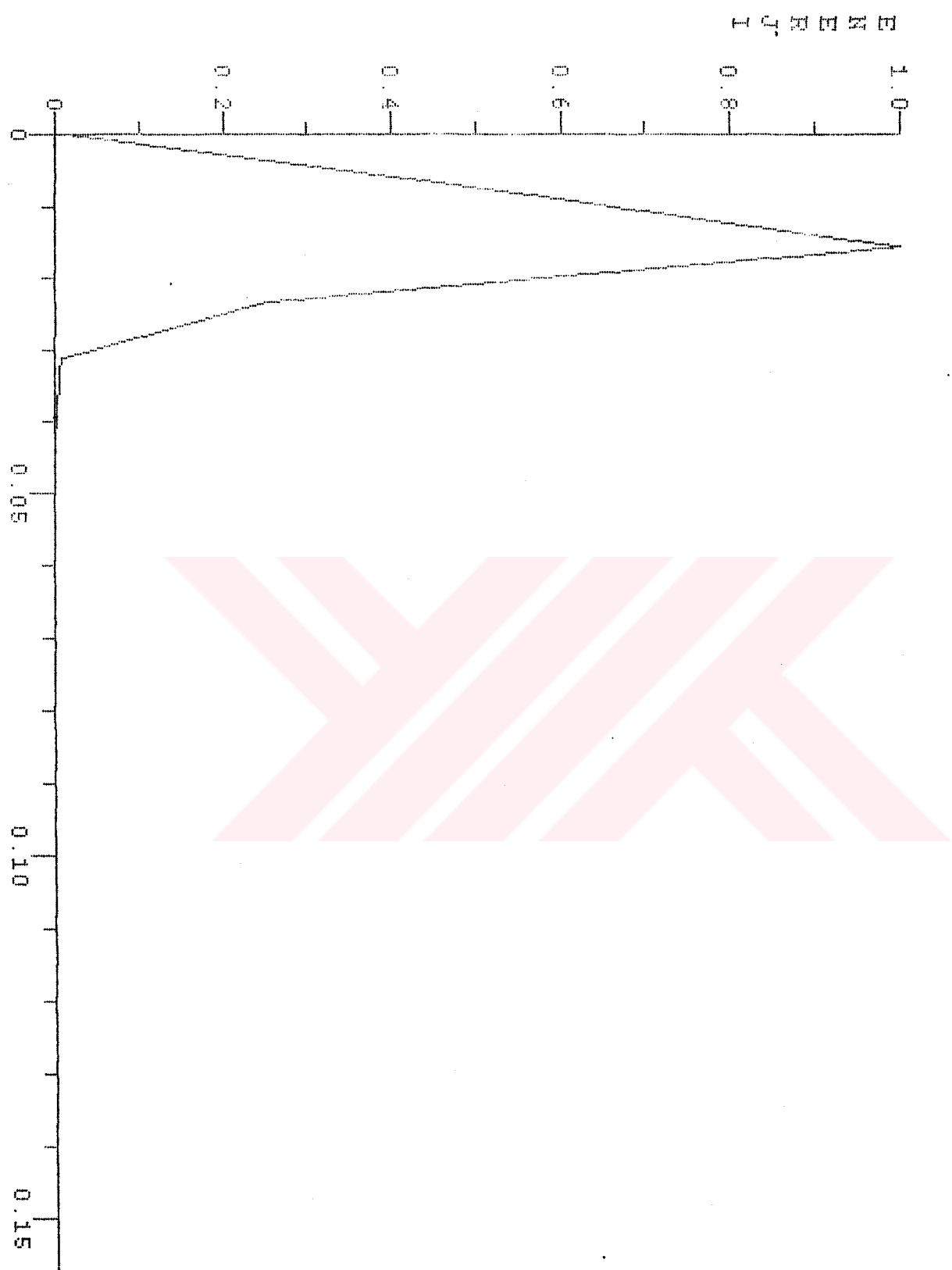
KS2MR4.LP FILTRE



MK2NMR1.HP FILTRE

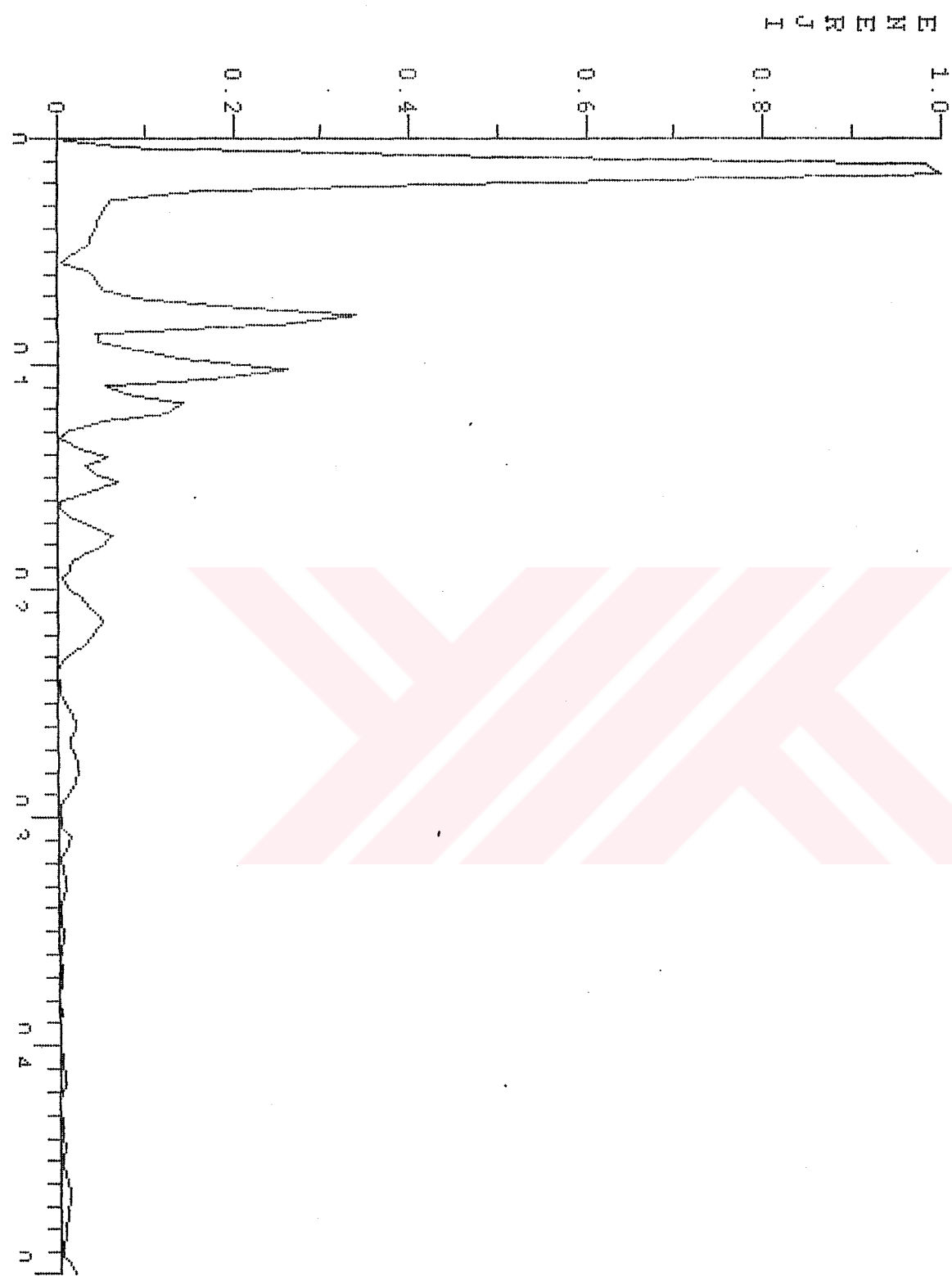


MK2MRI.LP FILTRE

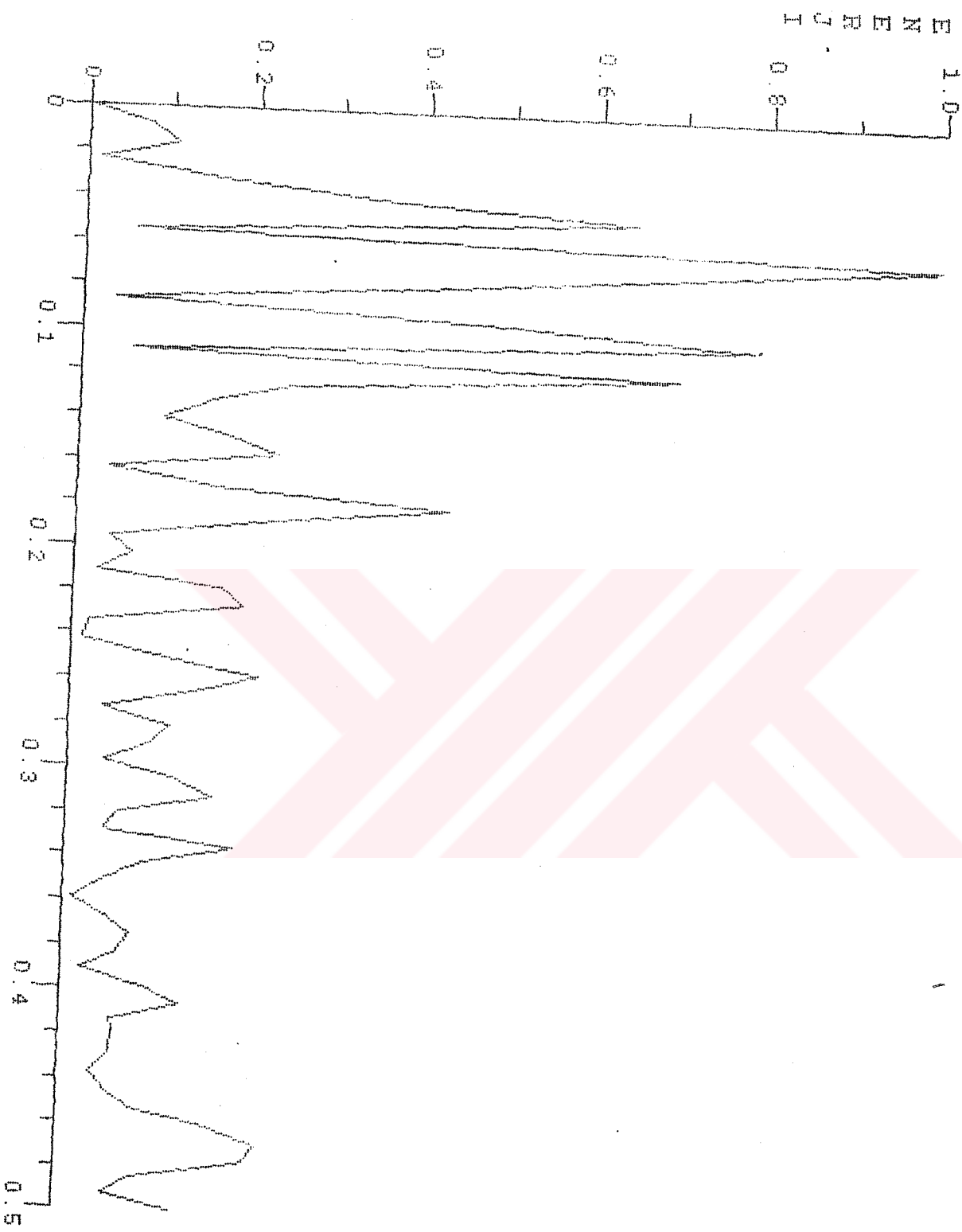


SARAYBURNU Spektrum Grafigi

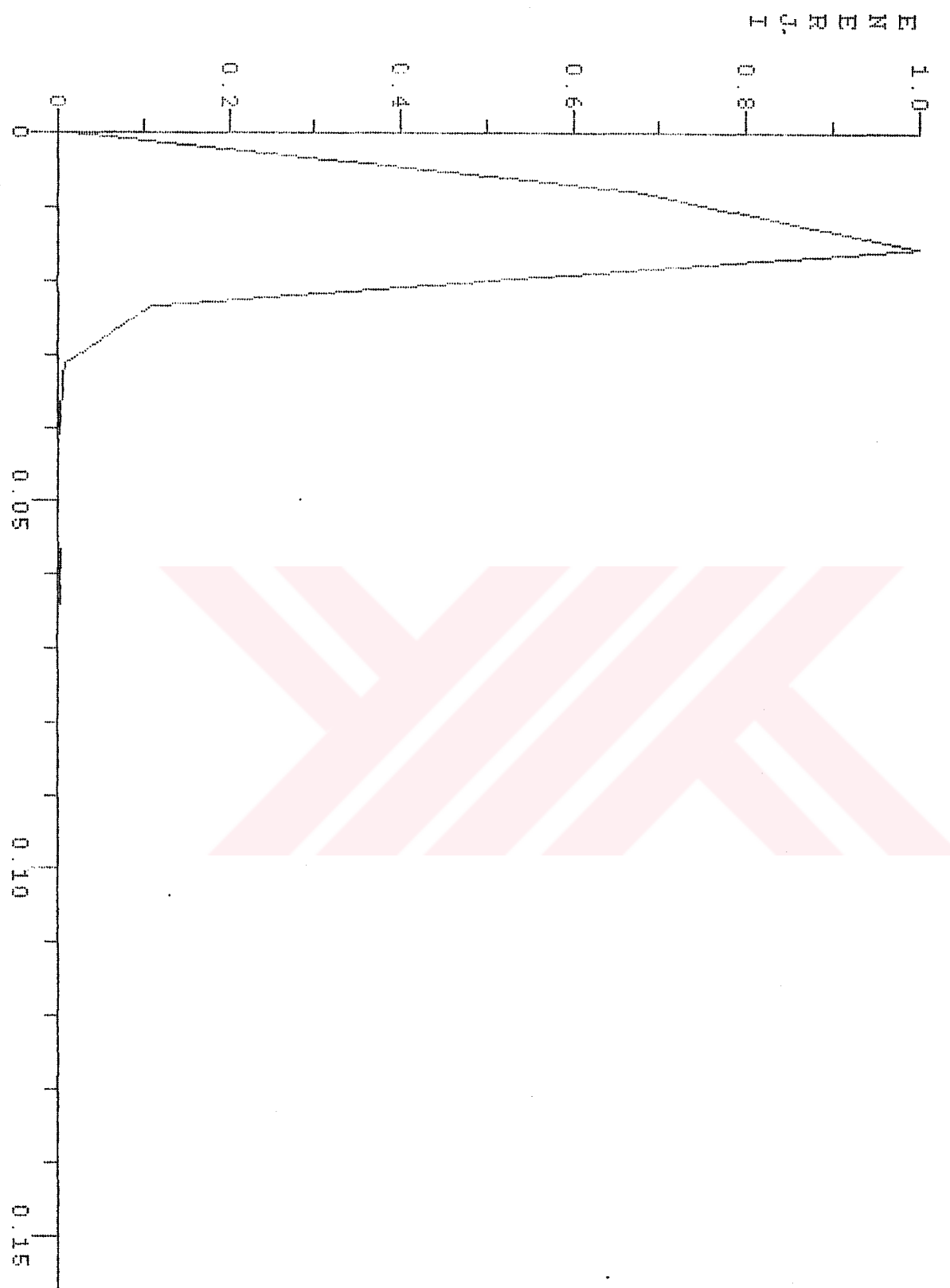
MK2MR2D2 (4 Agustos-9 Agustos)



MR2MR2.HP FILTRE

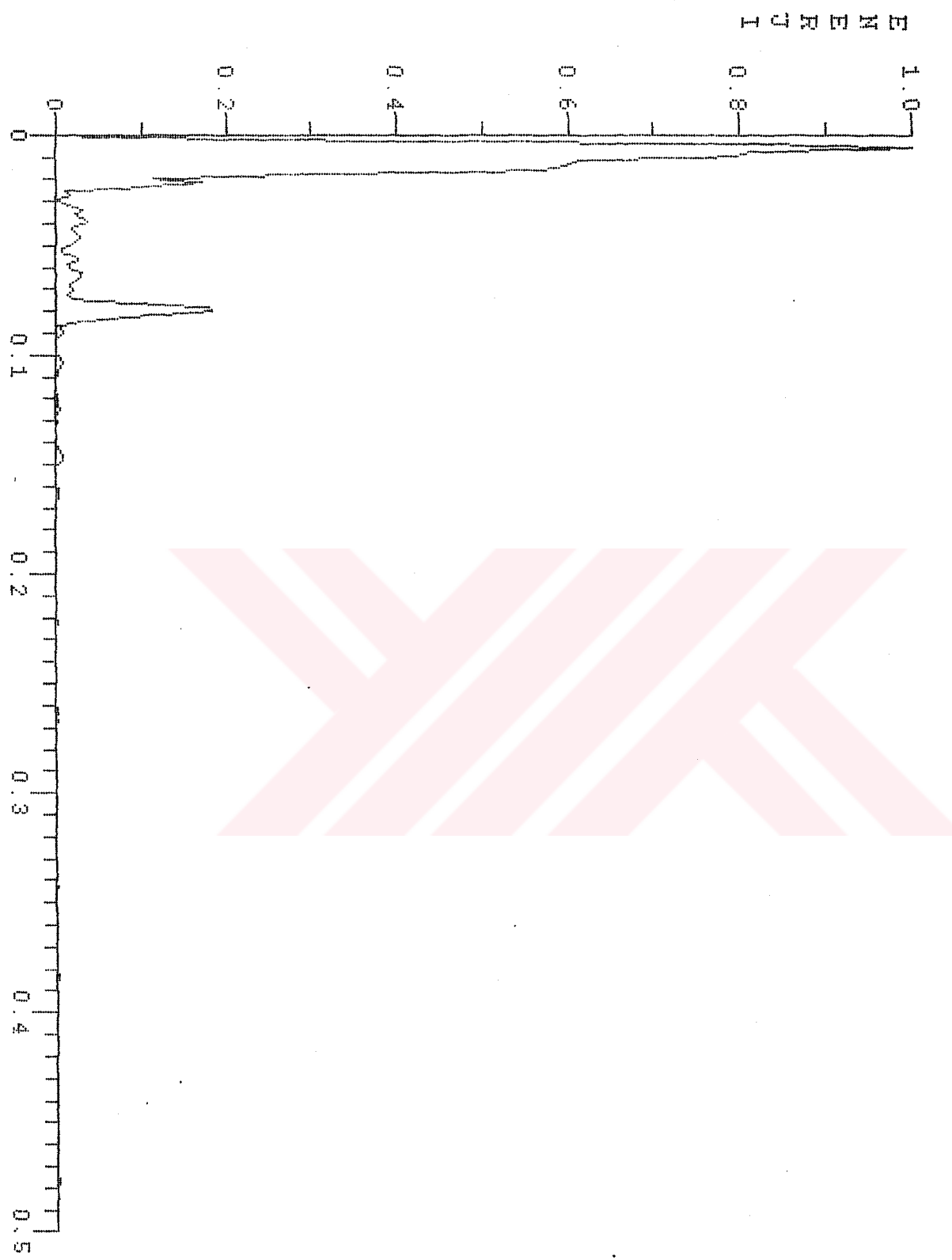


MR2NIR2_LP FILTER

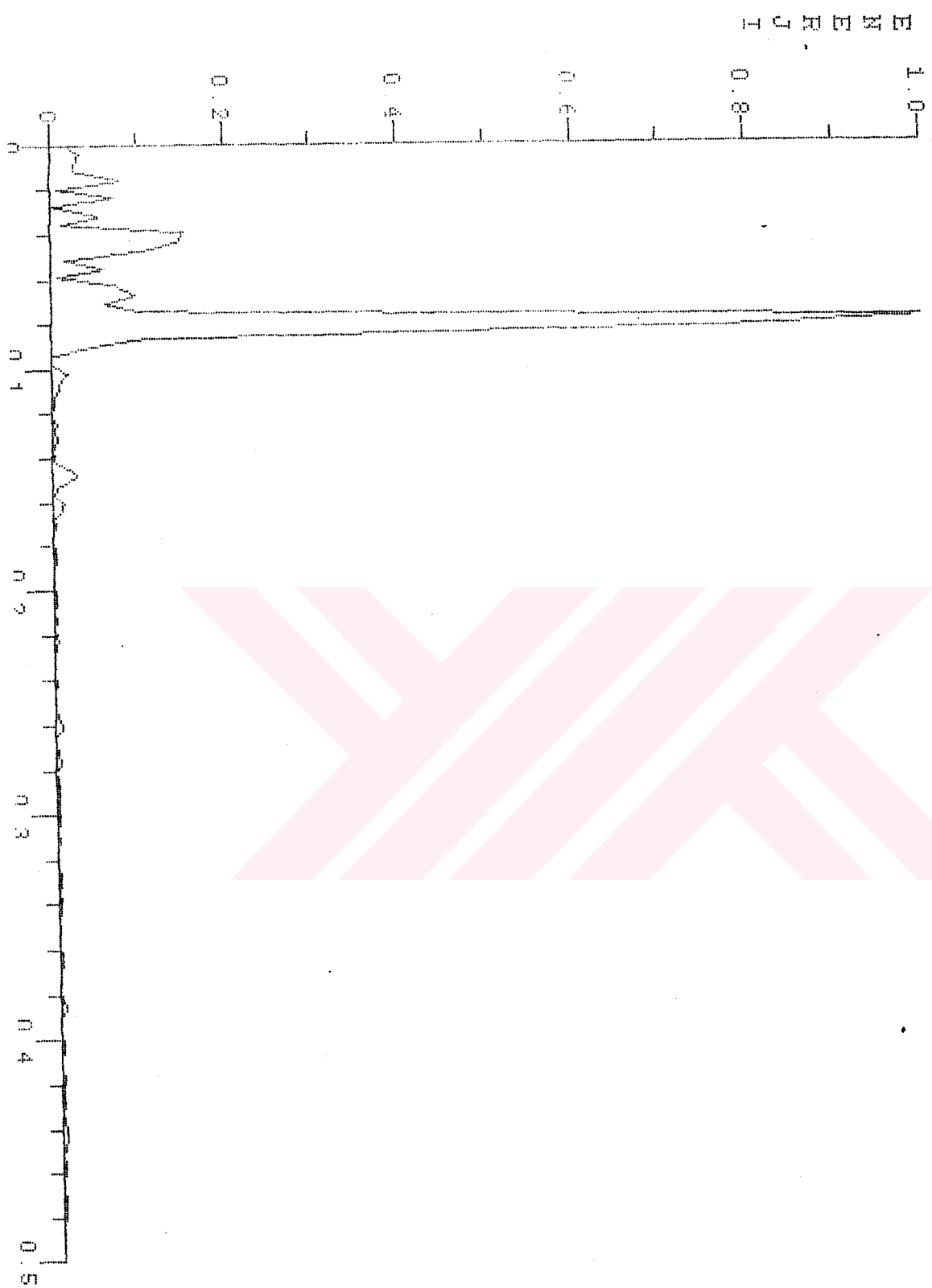


ANADOLU KAVŞI Spektrum Grafiği

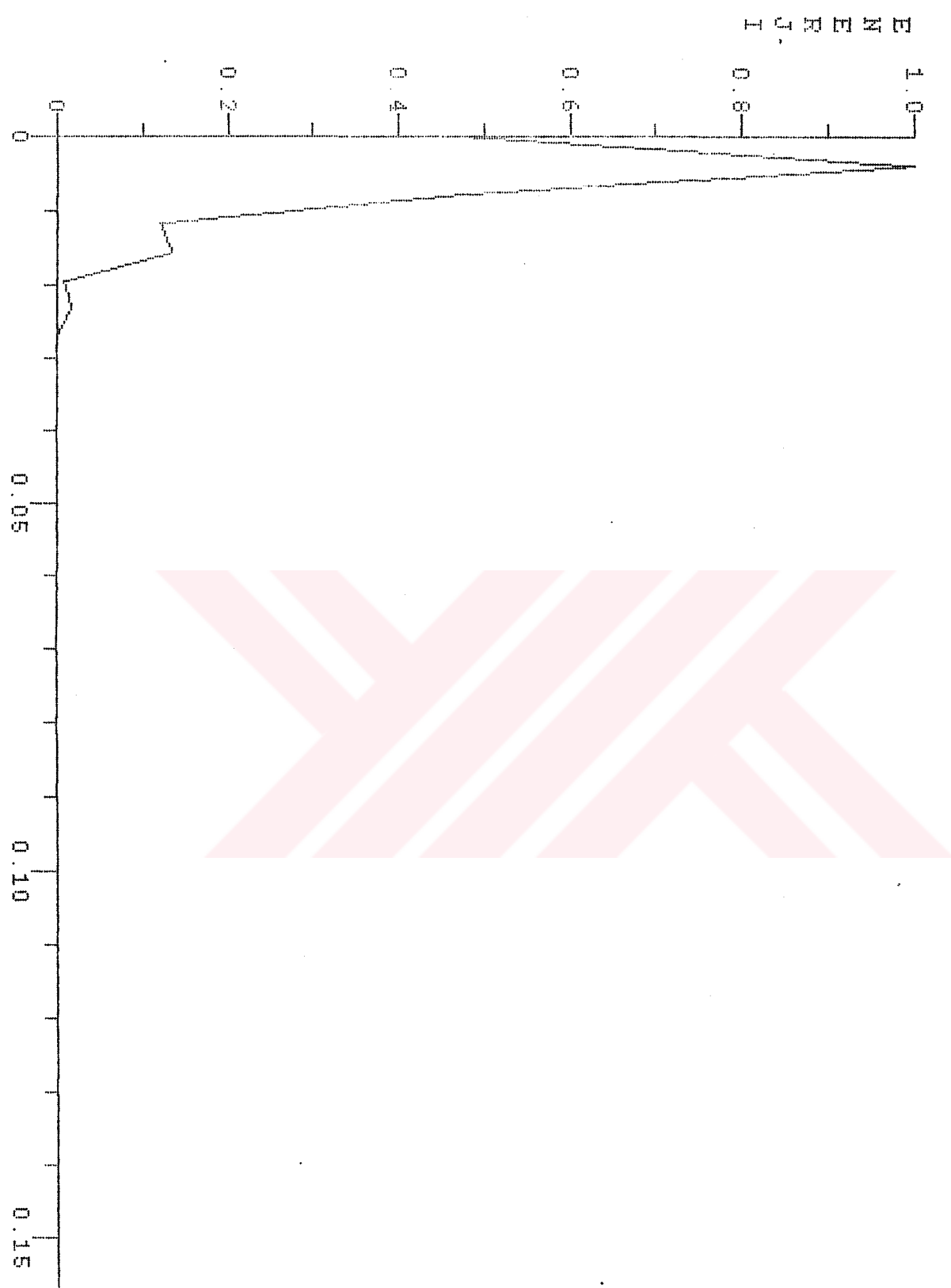
KG3NR1D3 (26 Ocak-5 Subat)



KG3NR1.HP-FILTRE

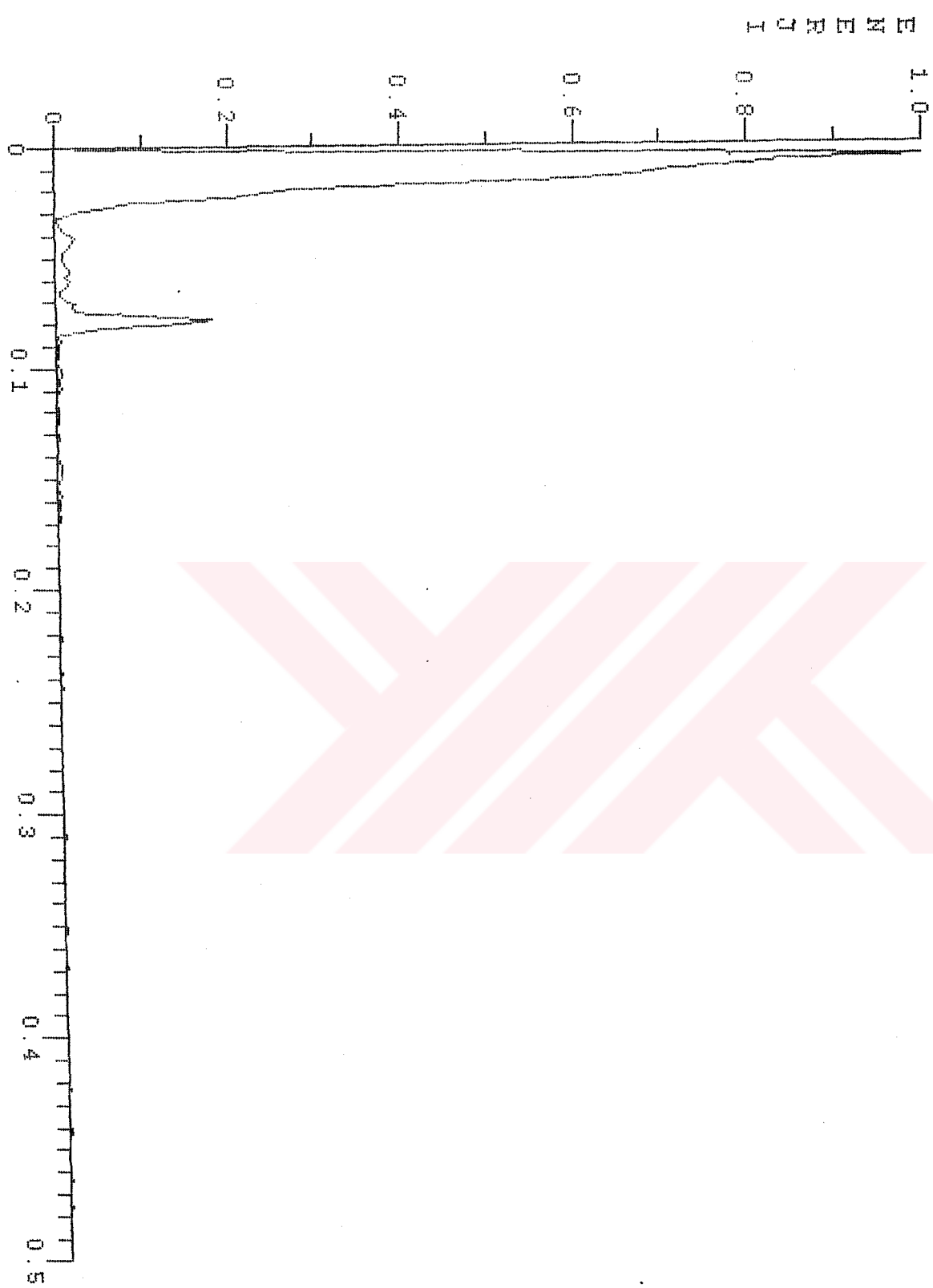


KG3MRI, LP FILTER

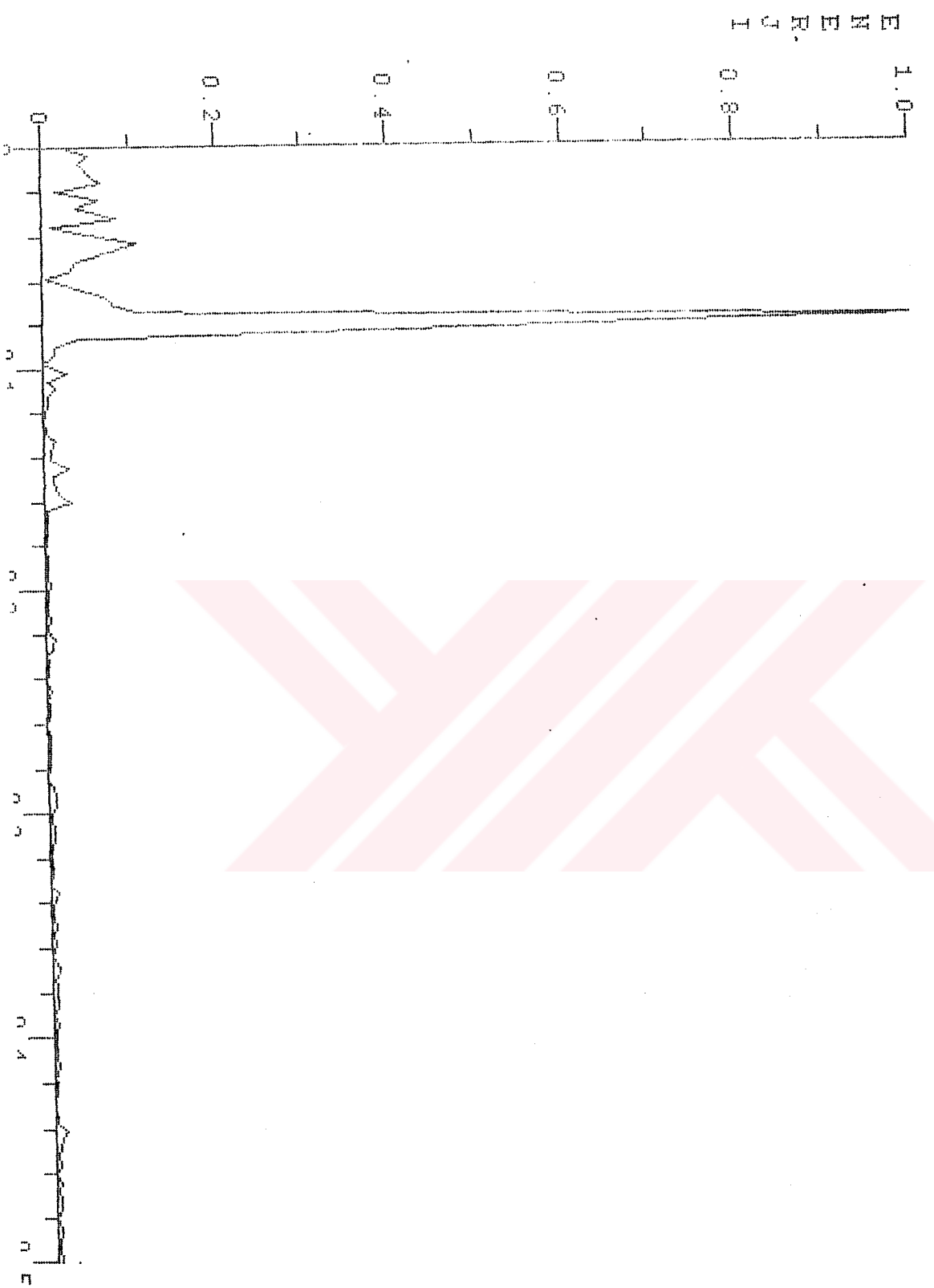


AMADOLU KAVAGI Spektrum Grafigi

KG3MR2D3 (26 Ocak-5 Şubat)



KG3MRZ, HF FILTER

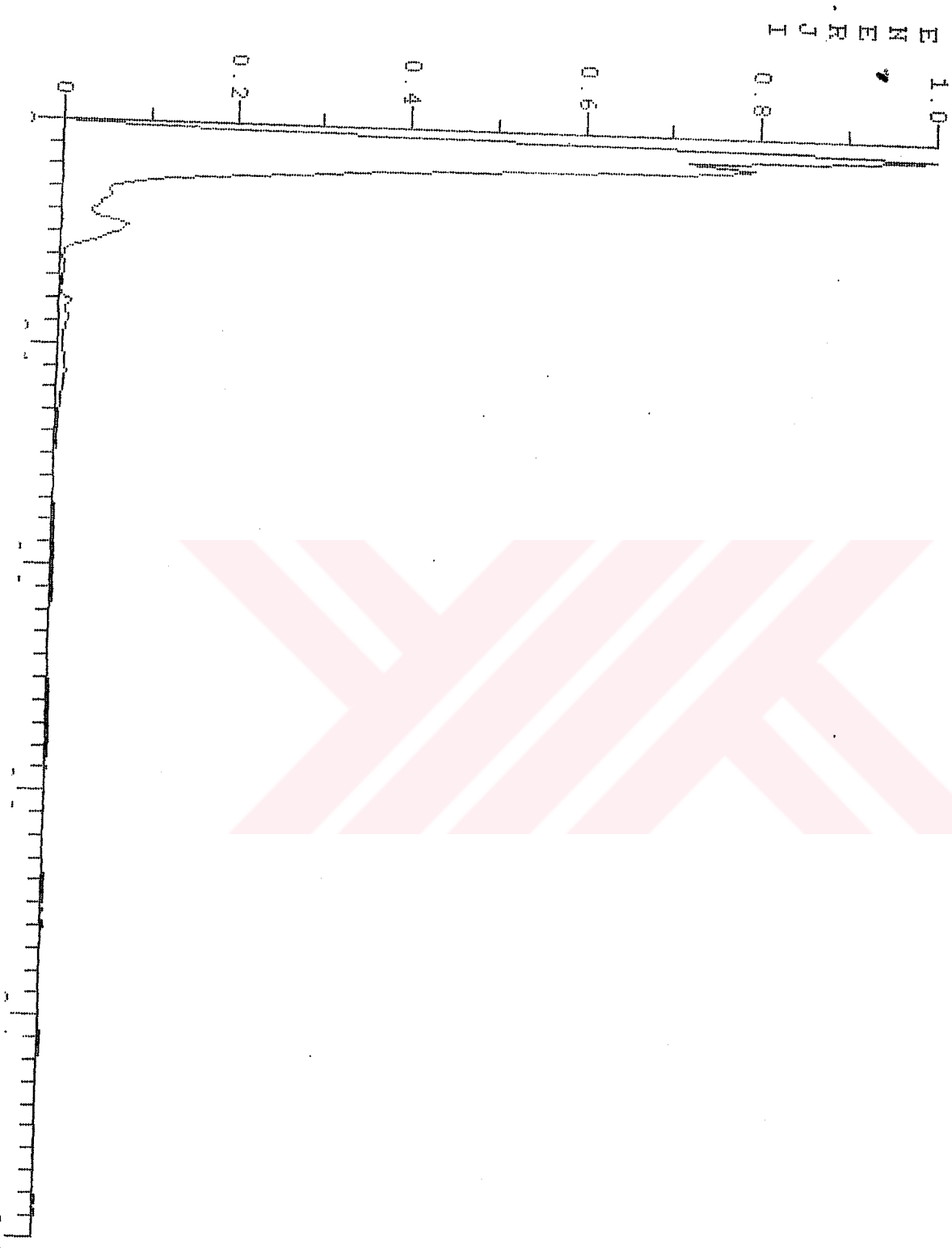


KG3MR2, LP FILTRE

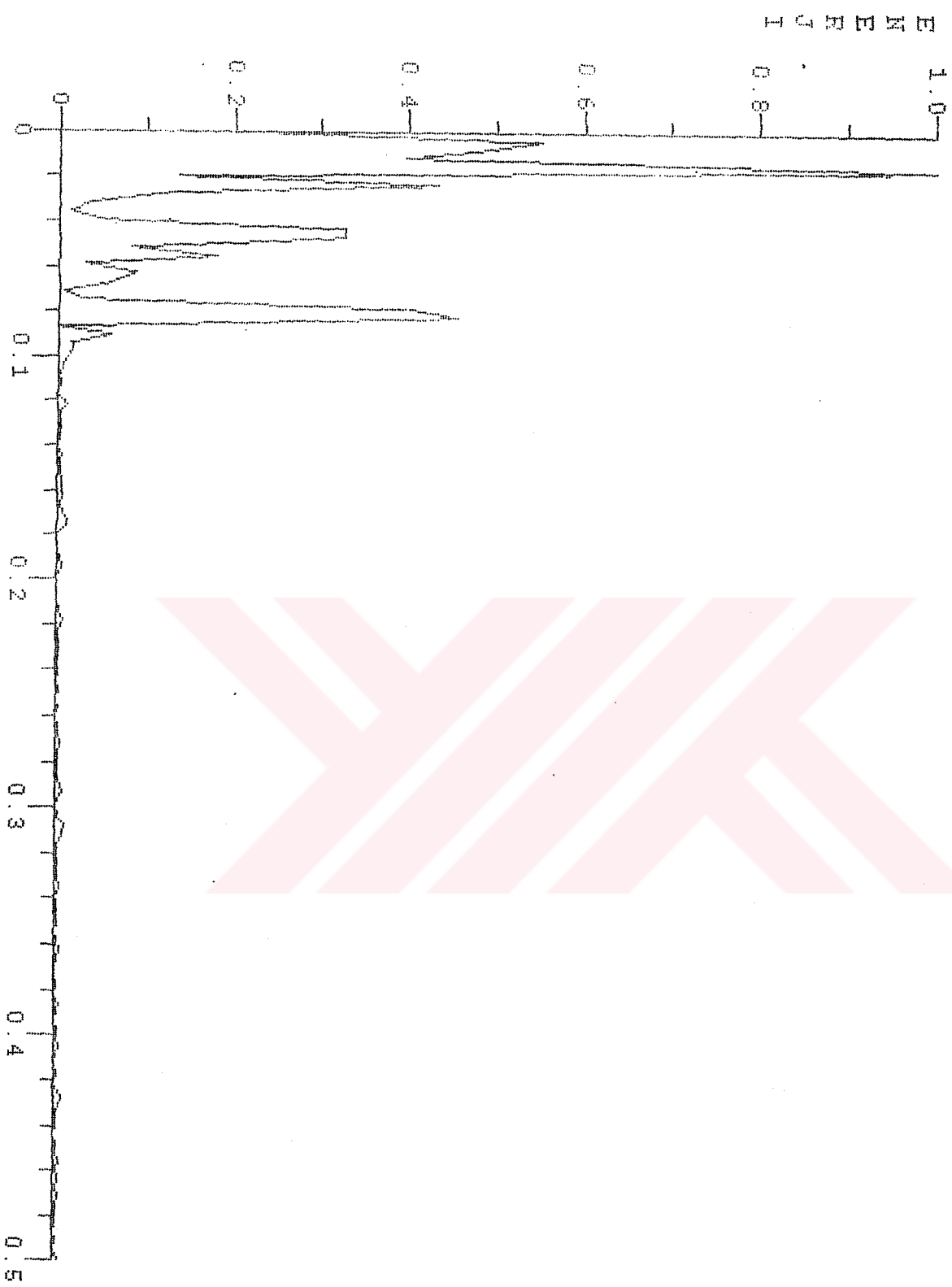


MADOLU KAVAGI Spektrum Grafigi

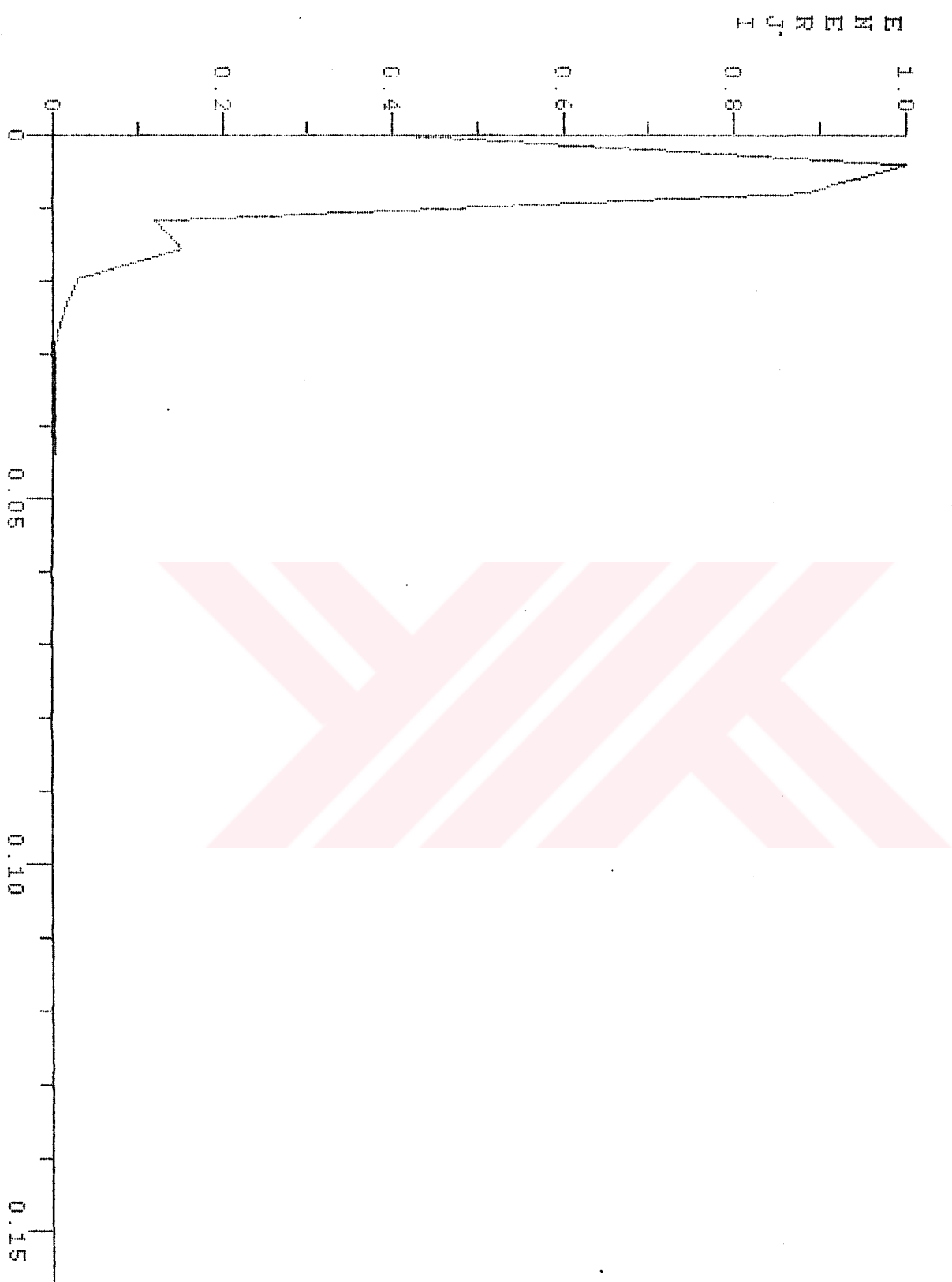
KG3NR3D3 (26 Ocak-5 Subat)



KG3NRS.HP FILTRE

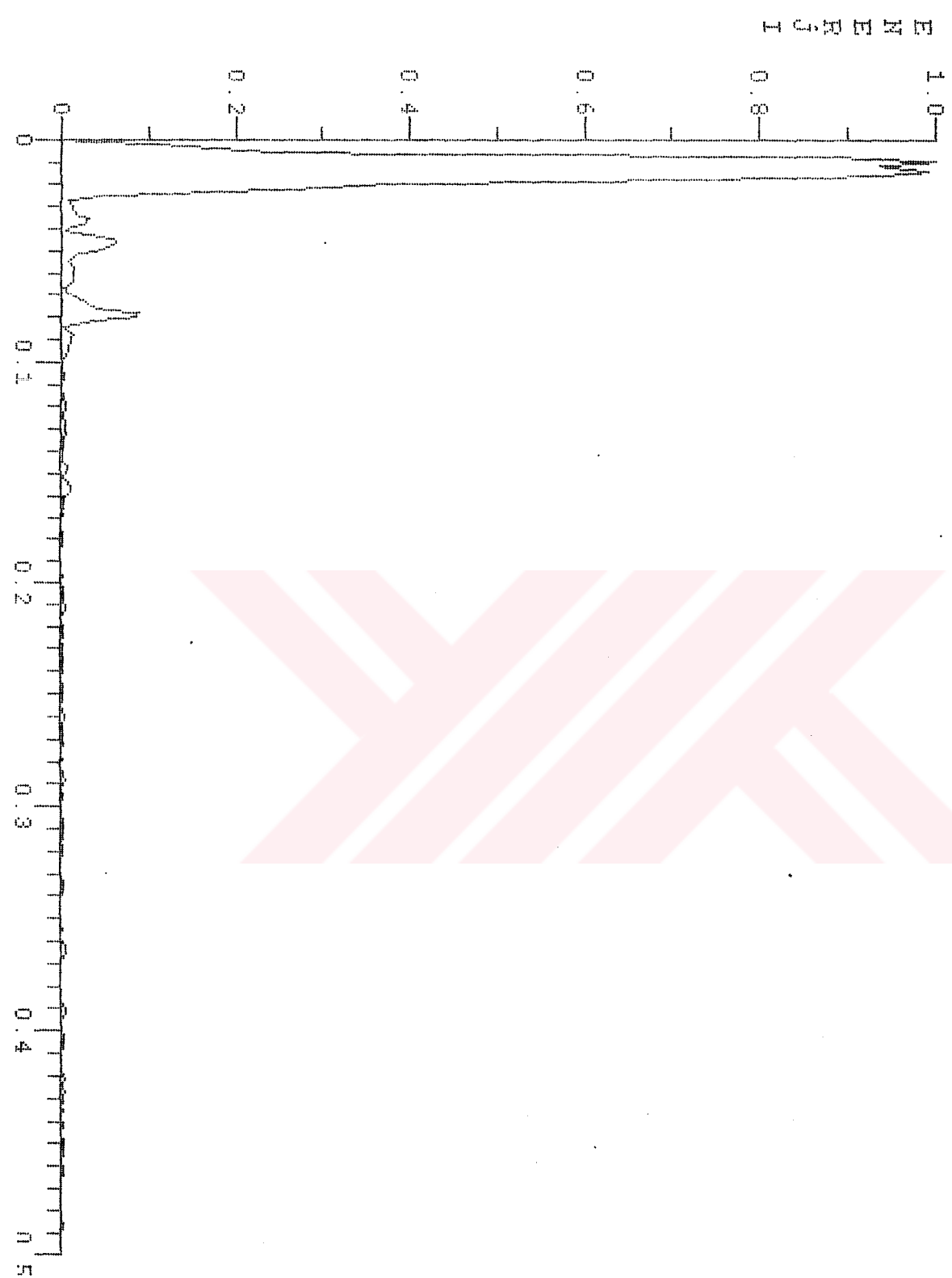


KG3MR3.LP FILTRE

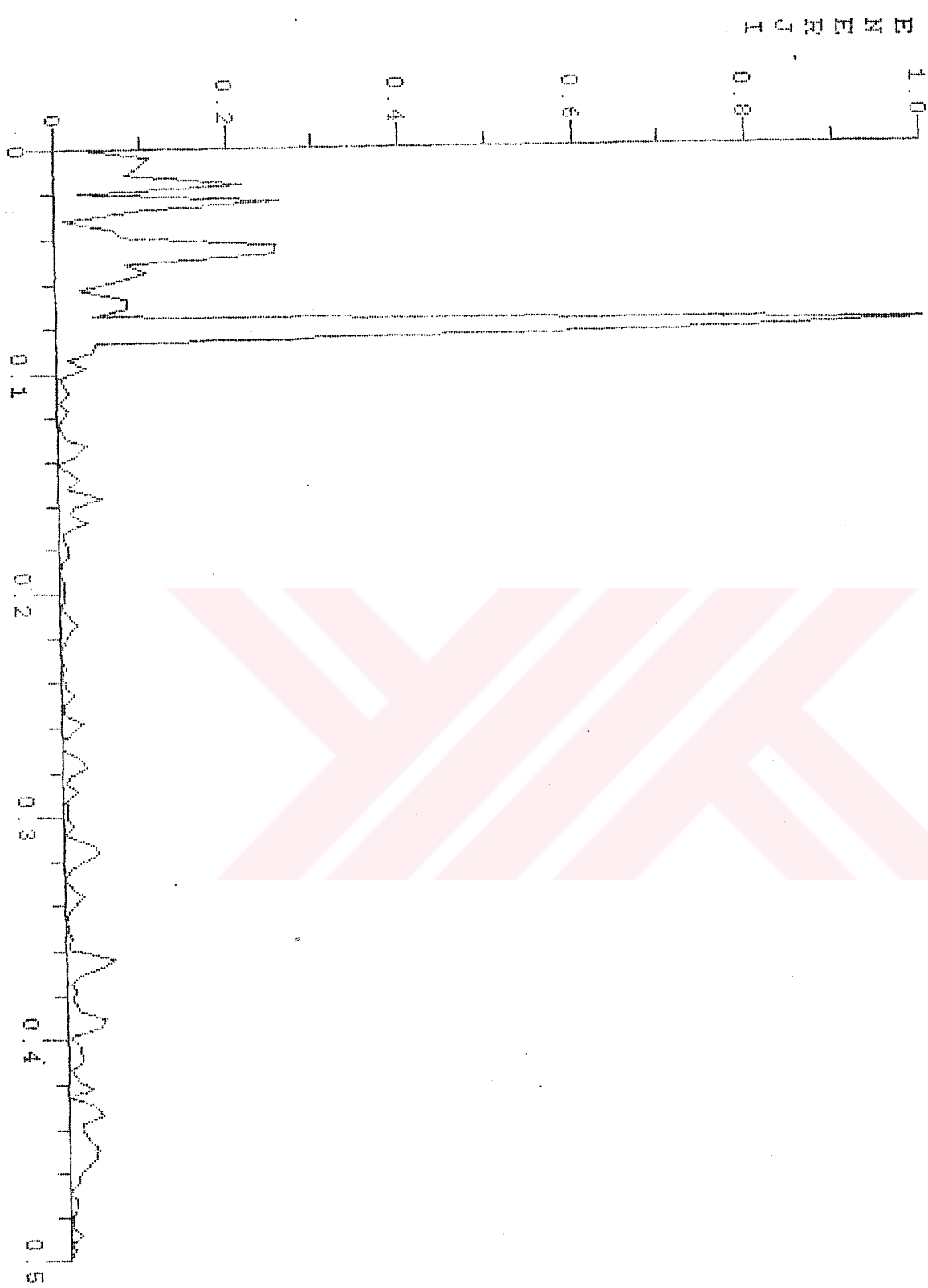


BALTALIMANI Spektrum Grafigi

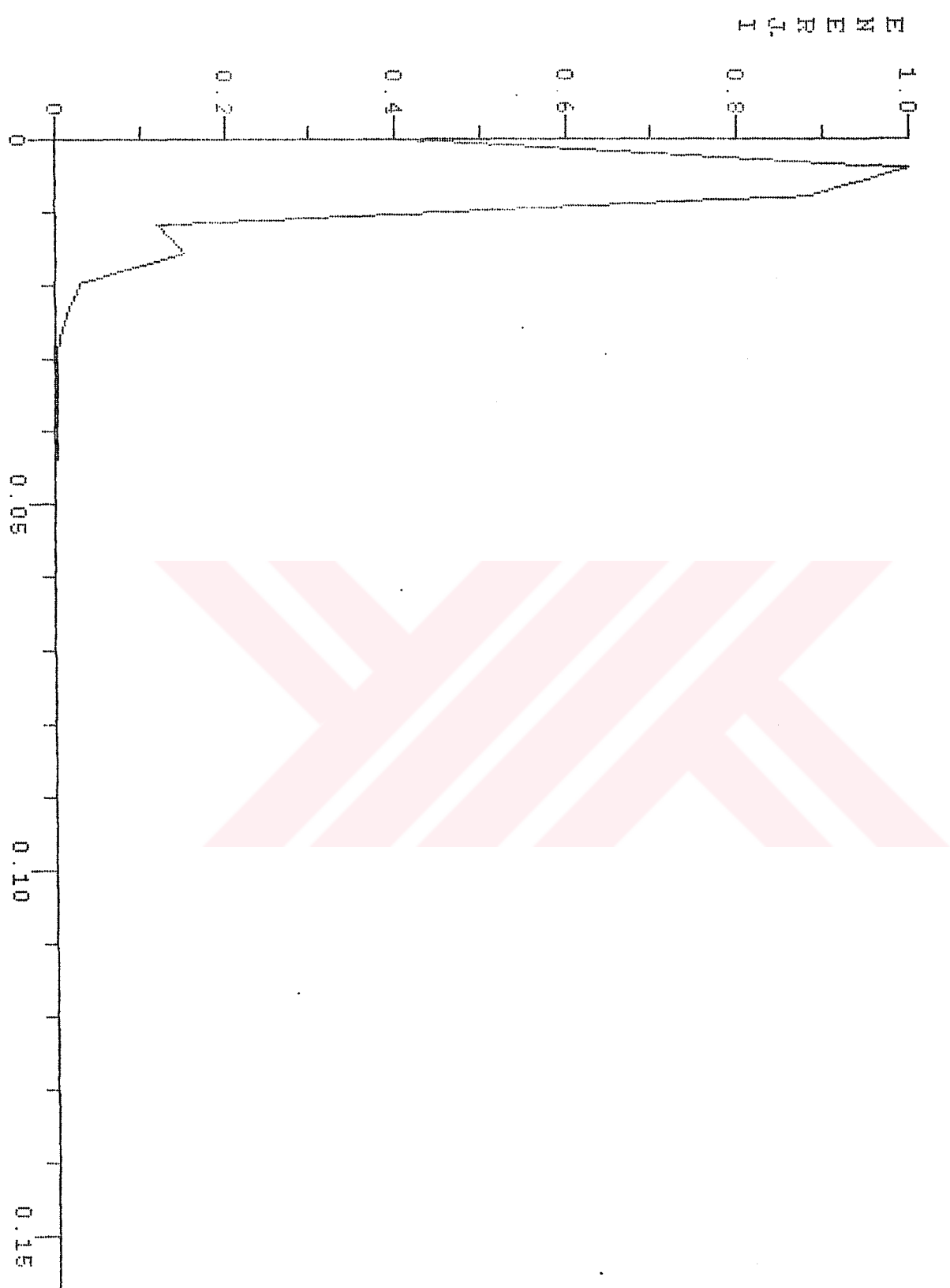
BL4MR1D4 (26 Ocak-5 Subat)



BL4ME1.HP FILTER

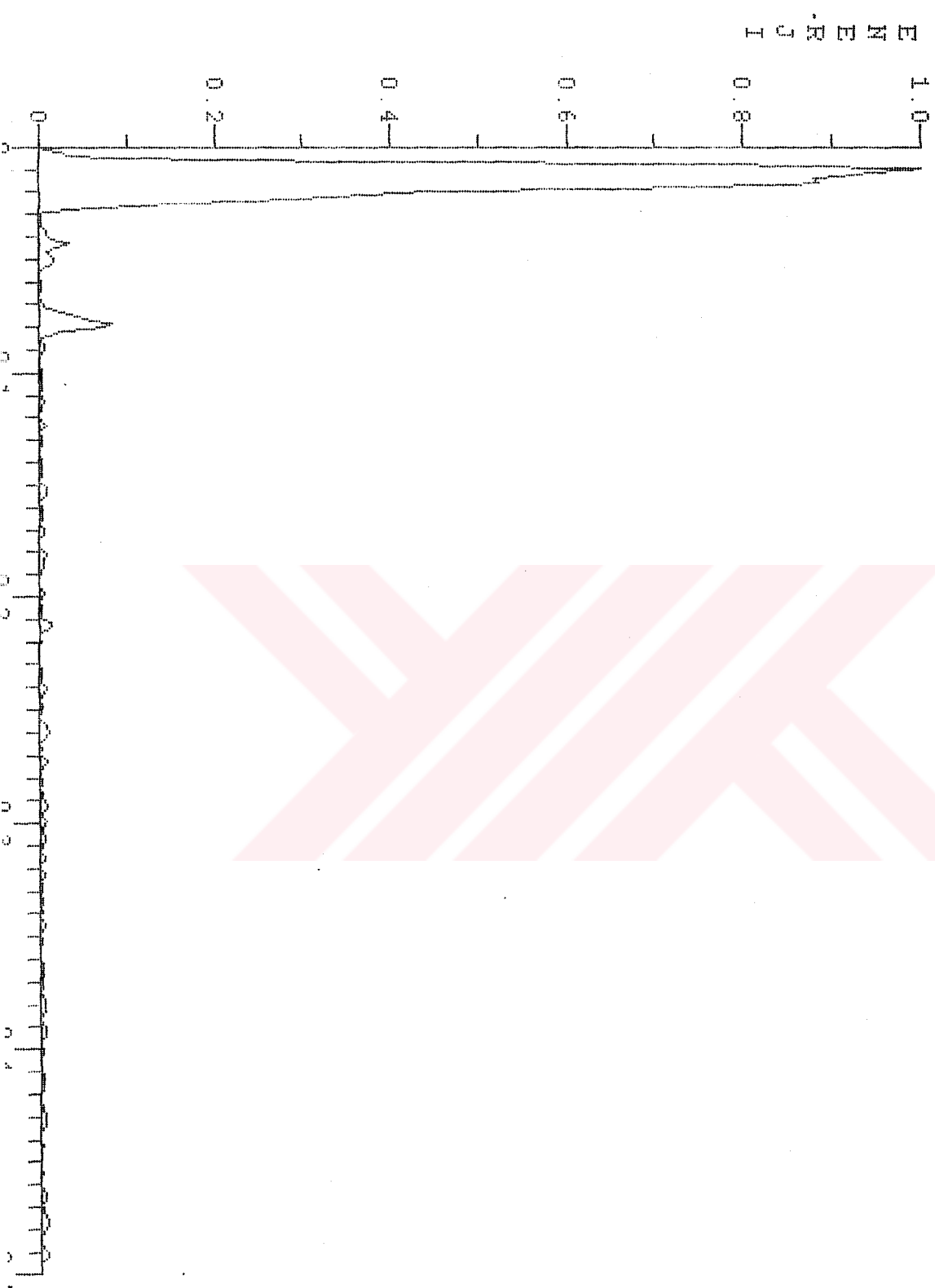


BL 4NRI.LP FILTER

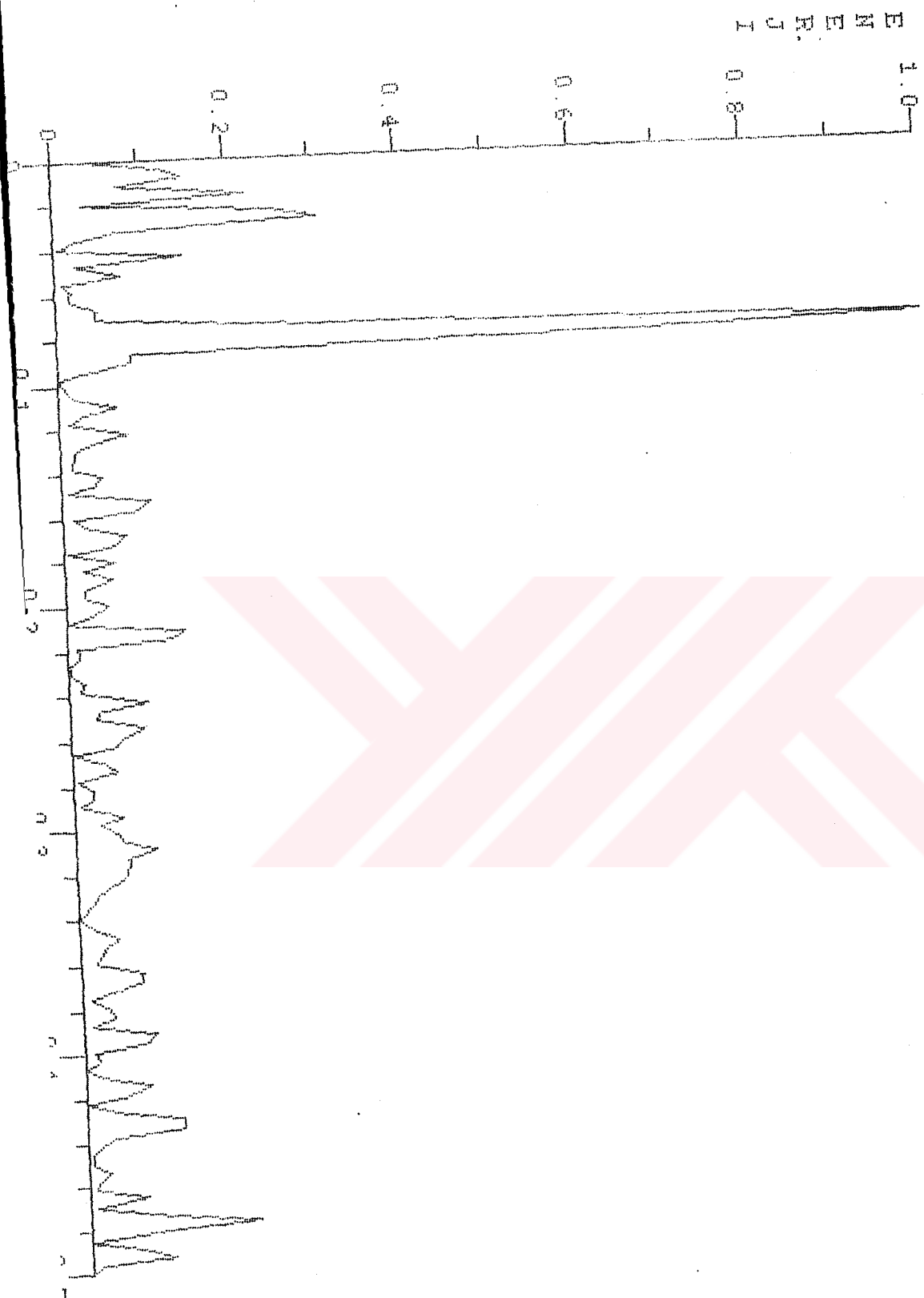


BALTALIMAN Spektrum Grafigi

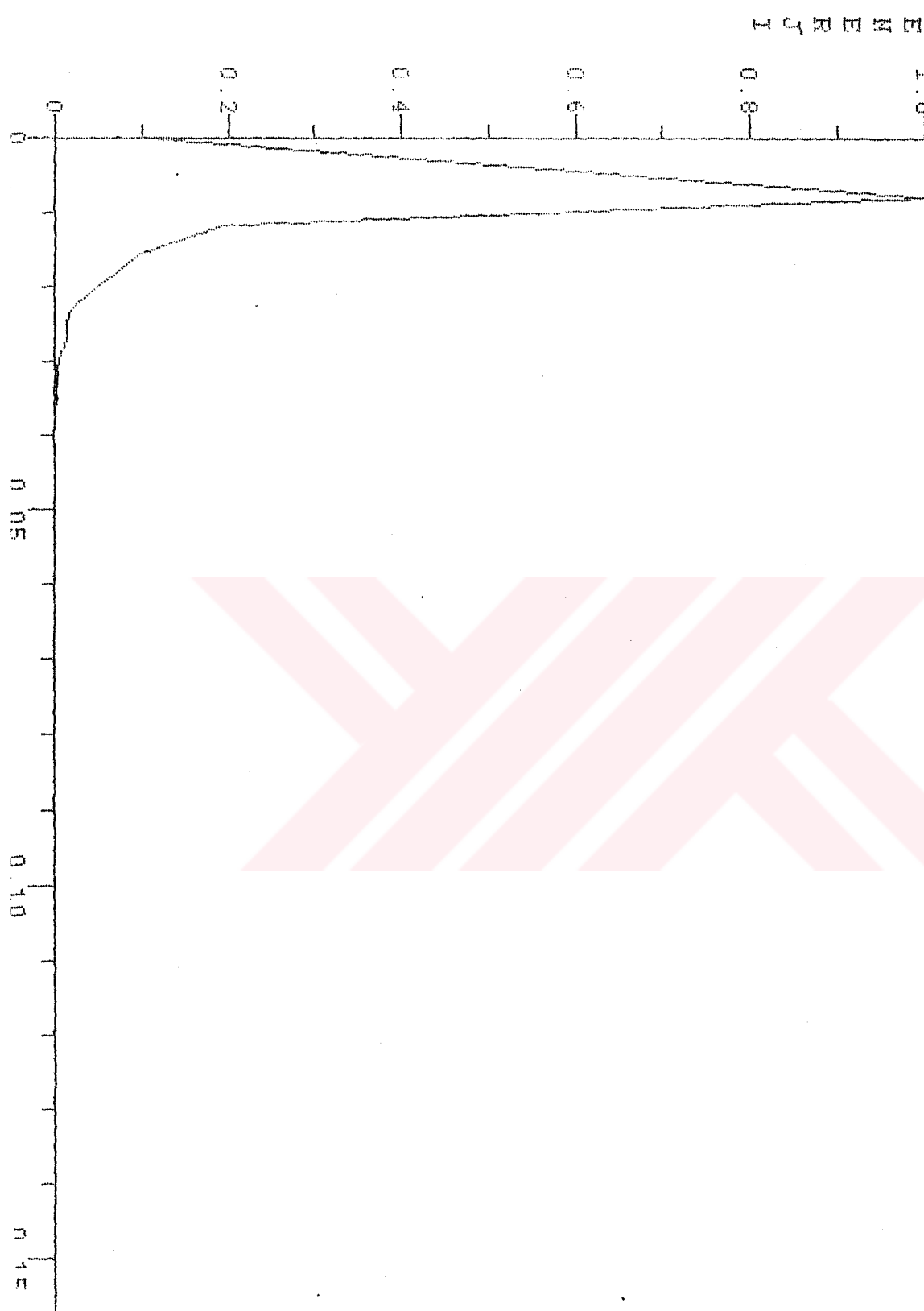
BL4NR2D4 (26 Ocak-5 Şubat)



• BL4NMR2.HP FILTRE

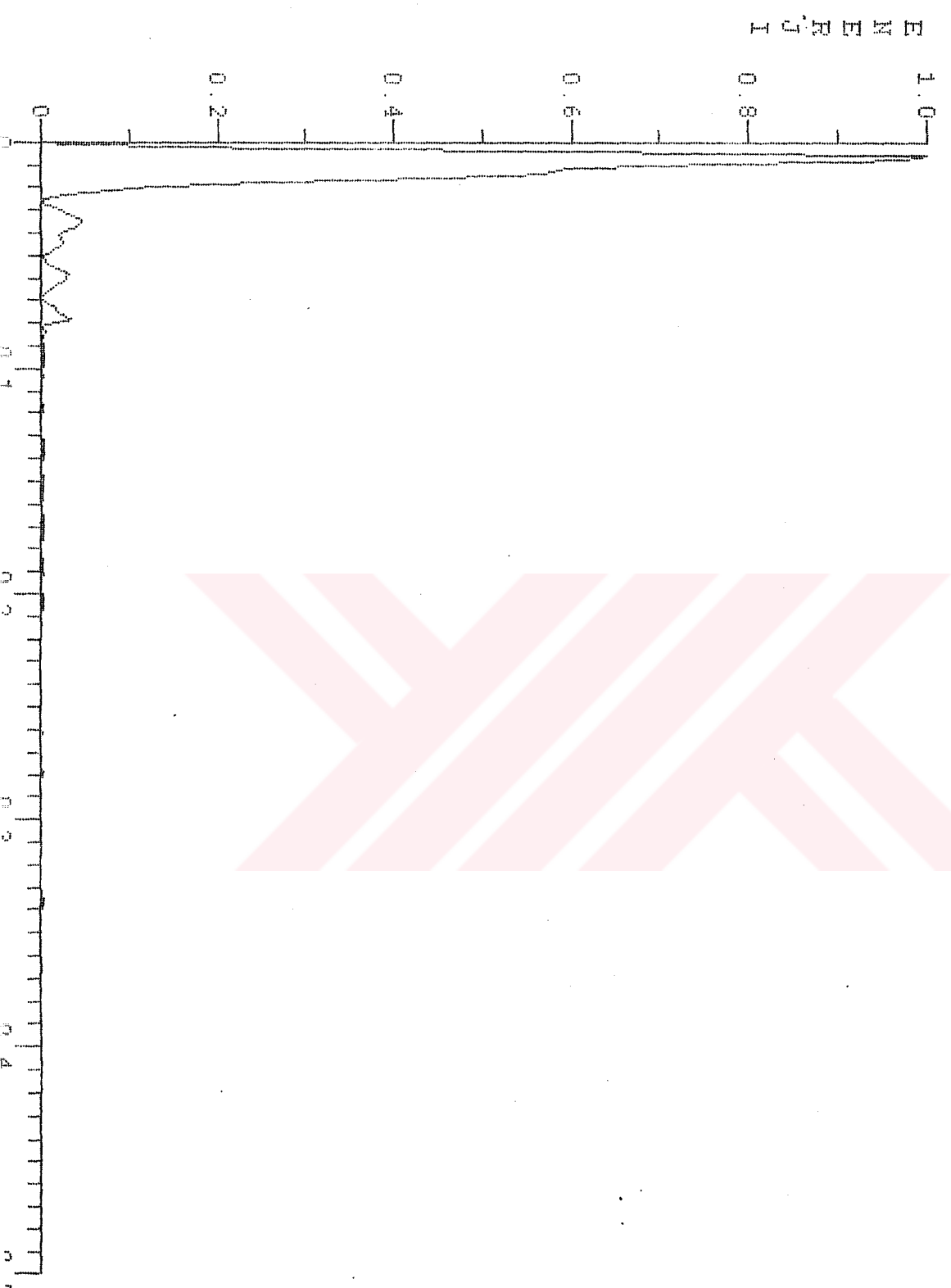


BL4NRC2 LP FILTRE

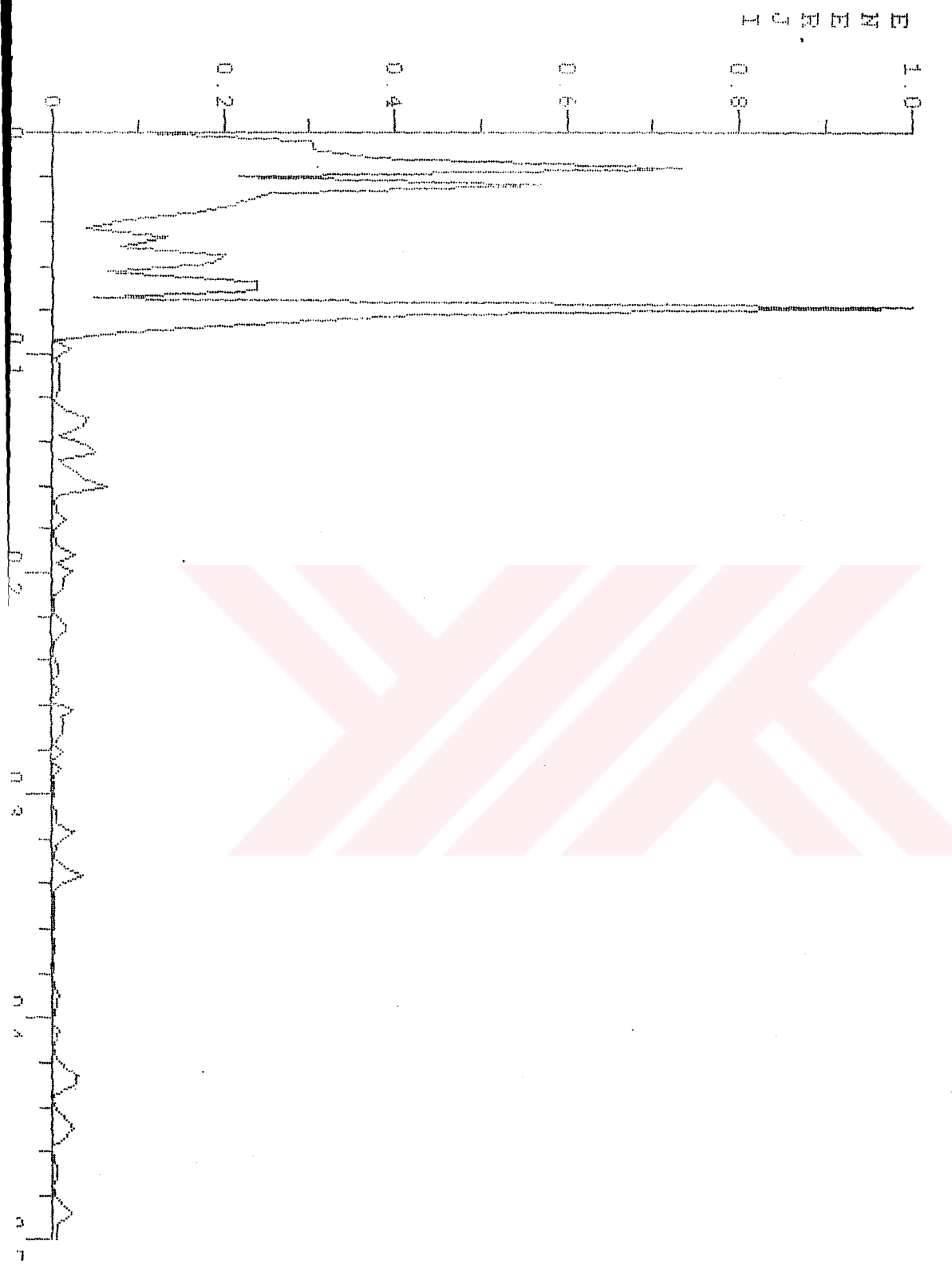


BALTALIMANI Spektrum Grafigi

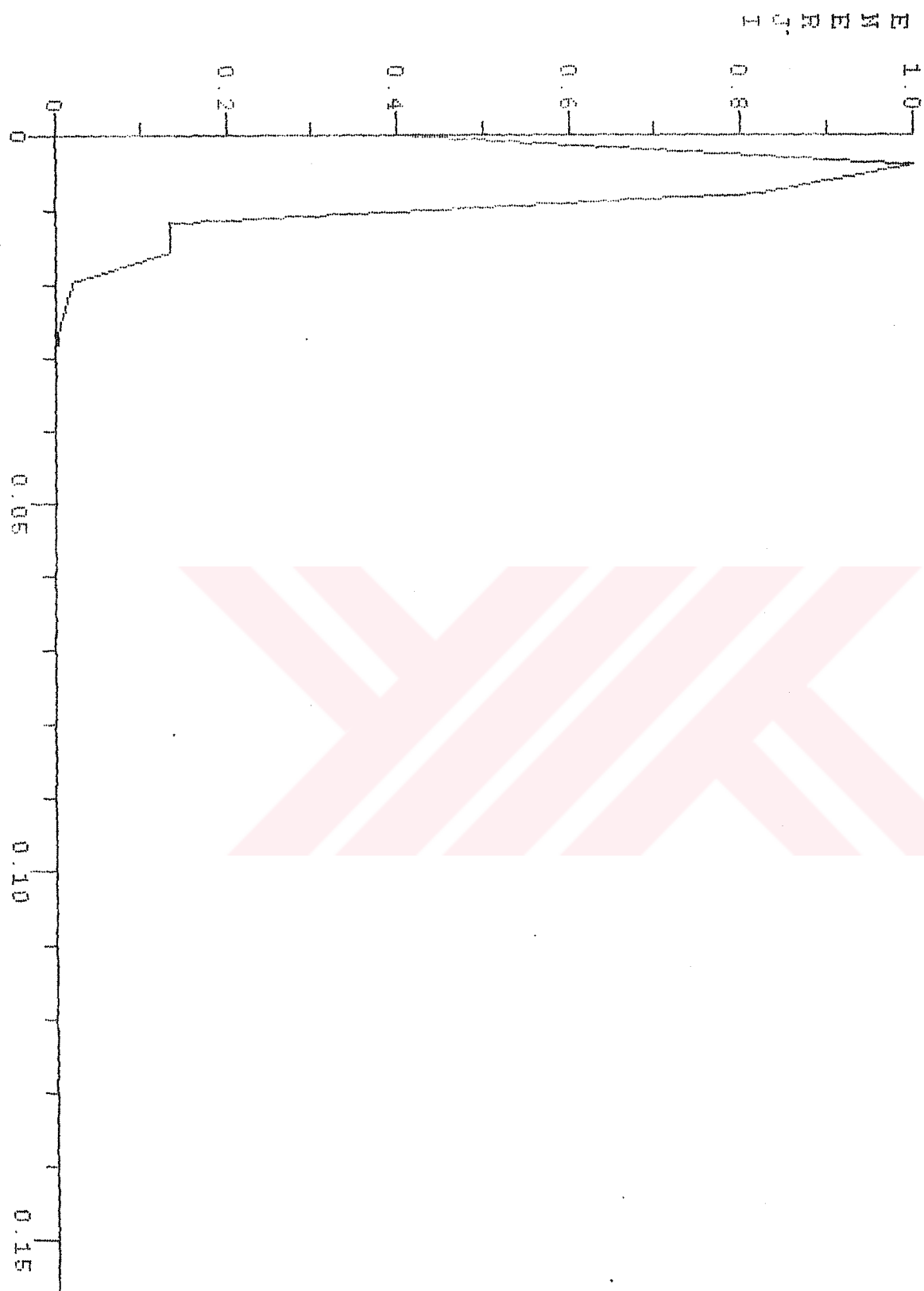
BL 4MR3D4 (26 Ocak - 5 Şubat)



BL4NR3.HP FILTRE

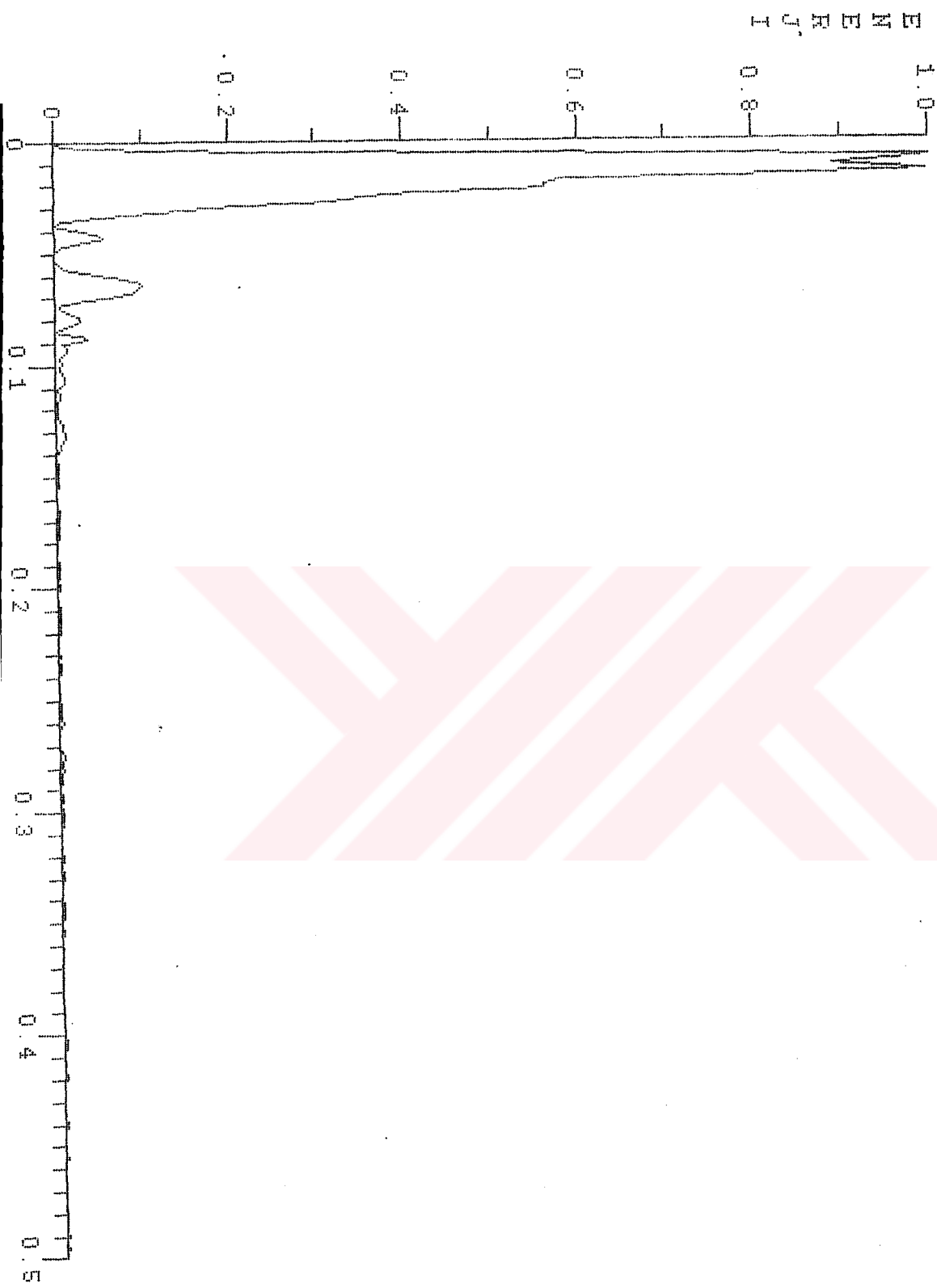


BL4NFS, LP FILTRE

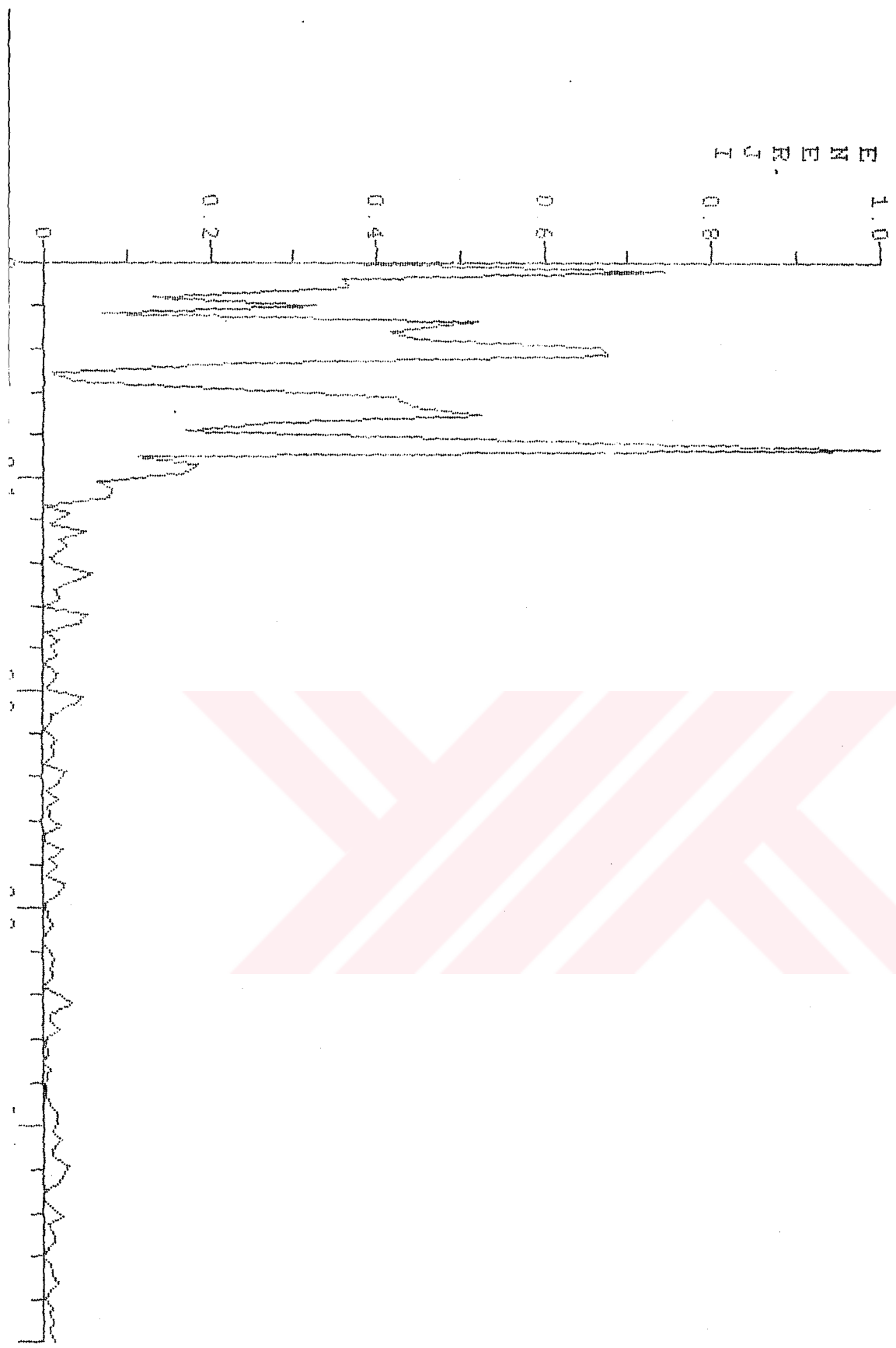


BALTALIMANI Spektrum Grafigi

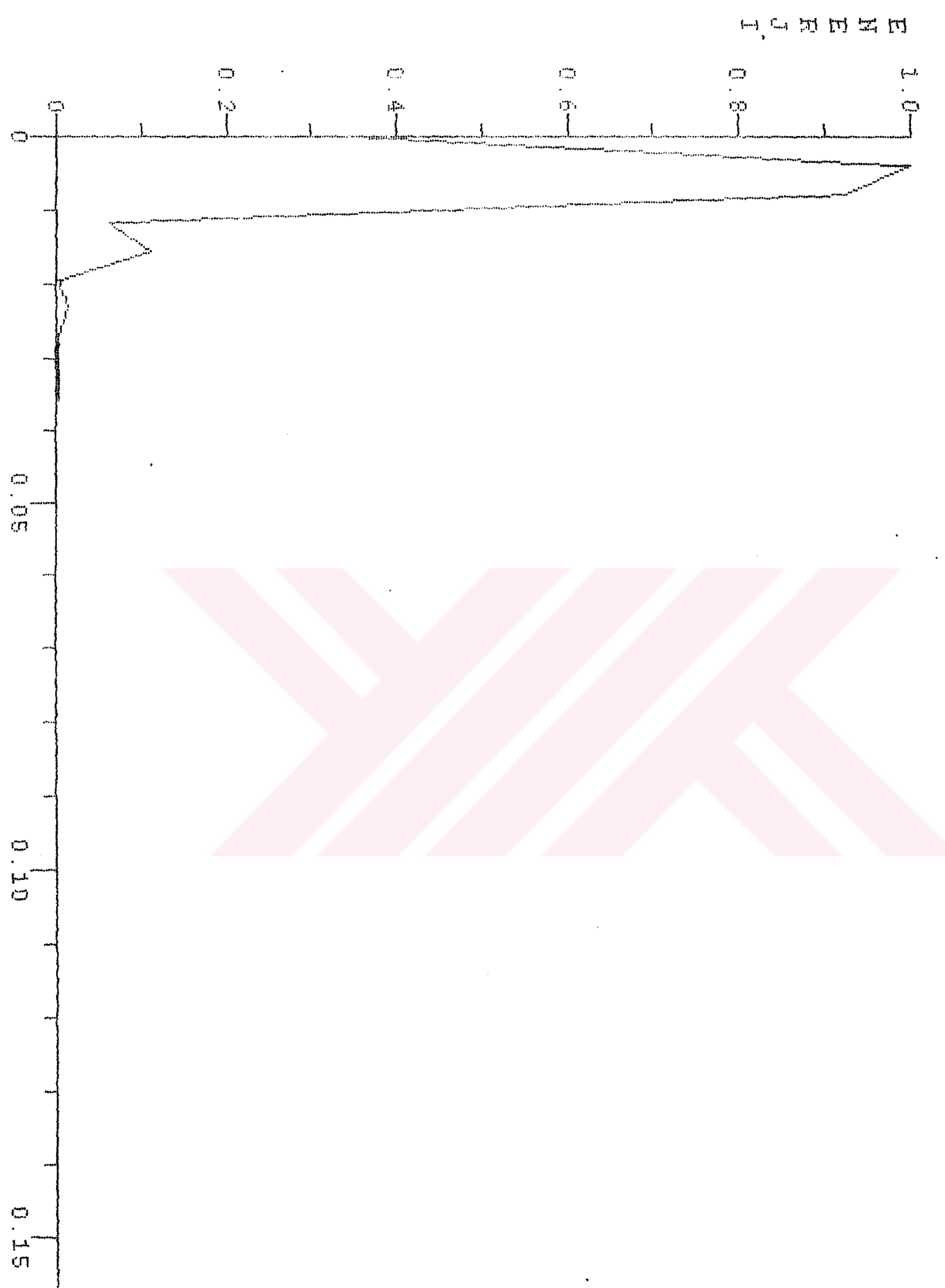
BL 4NR4D4 (26 Ocak-5 Şubat)



BLANCHE-HP FILTRE

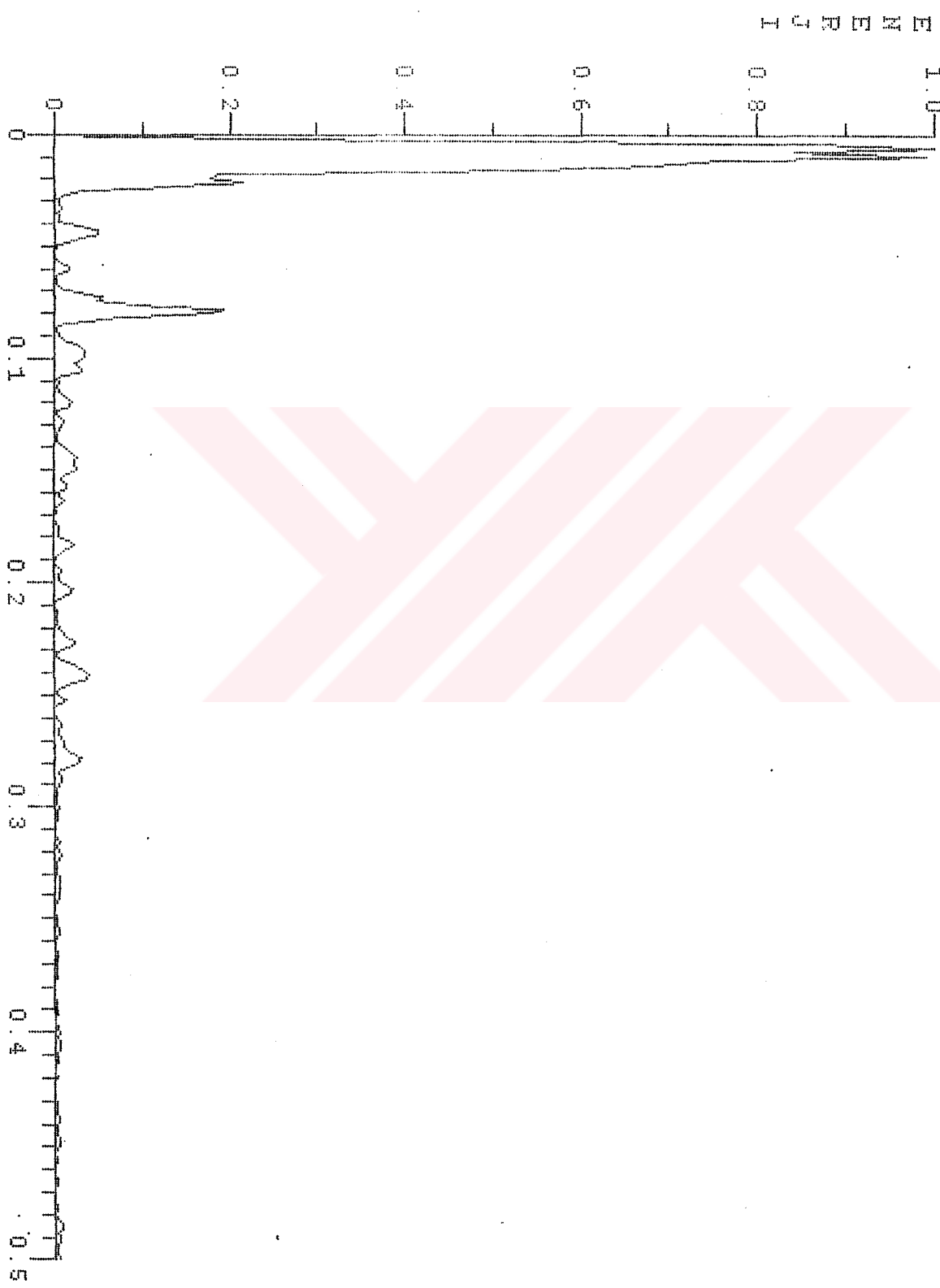


BL4NR4-LP FILTRE

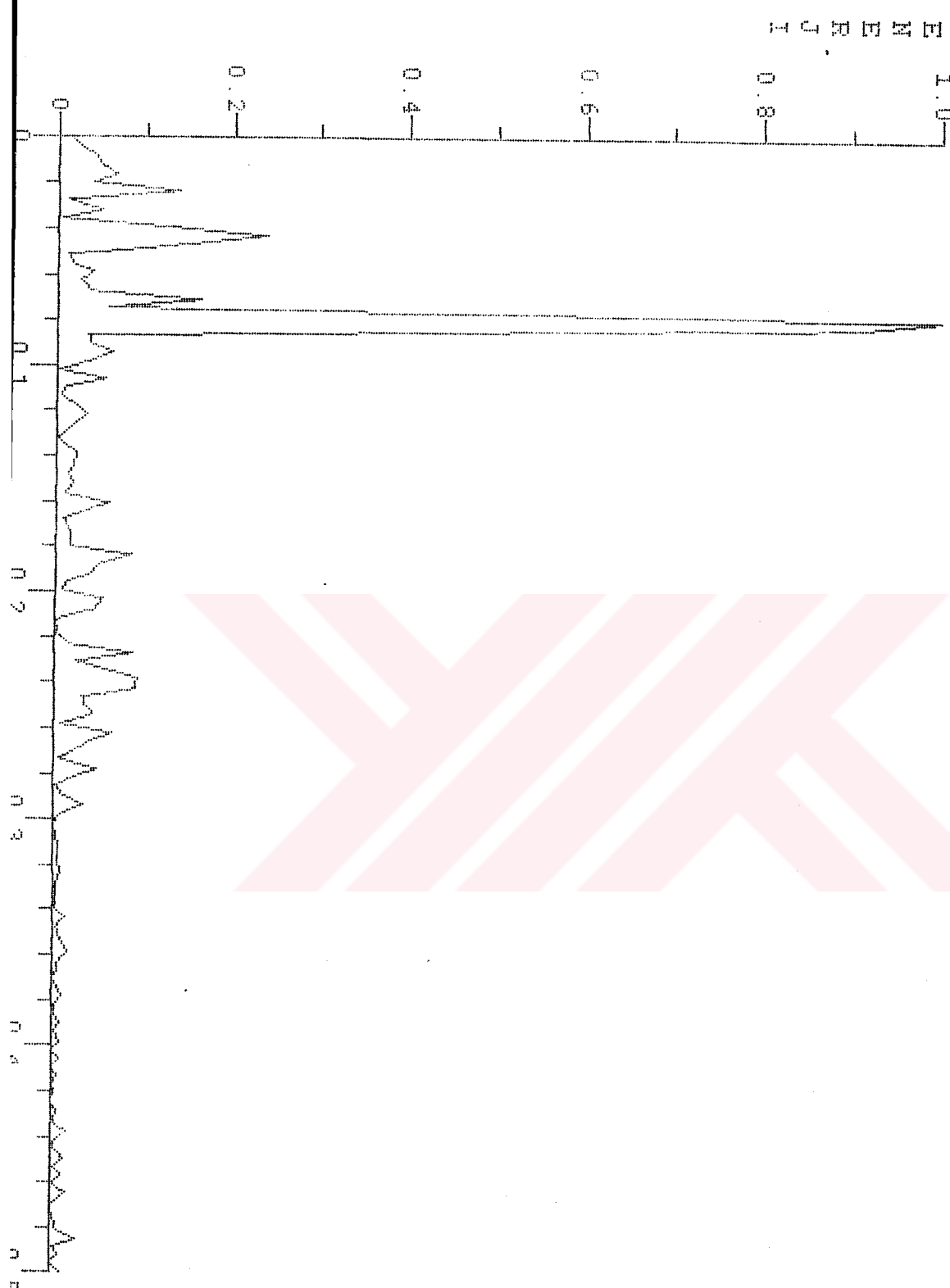


SARAYBURNU Spektrum Grafigi

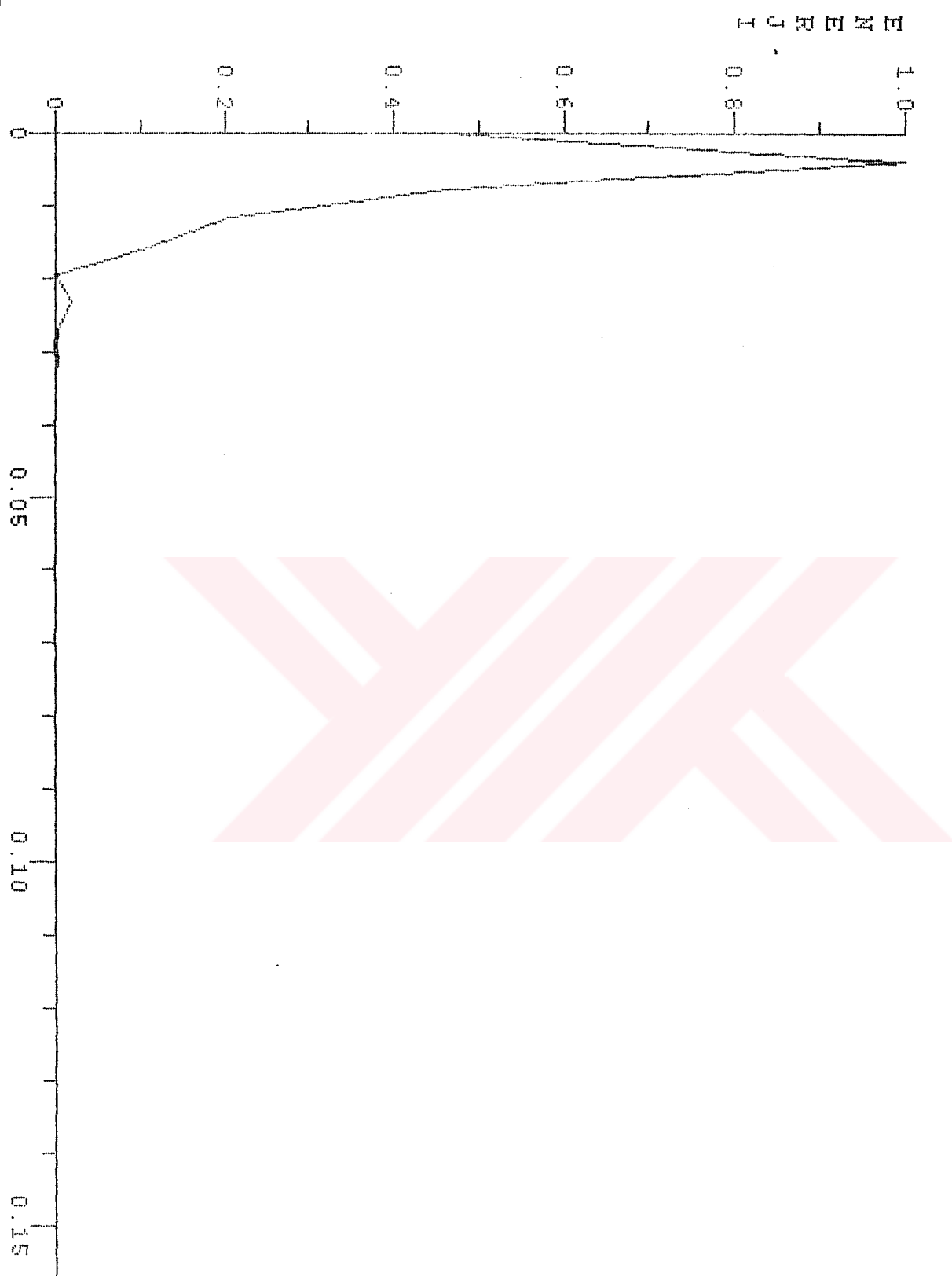
MK3MR1D3 (26 Ocak-5 Şubat)



MK3MR1.HP

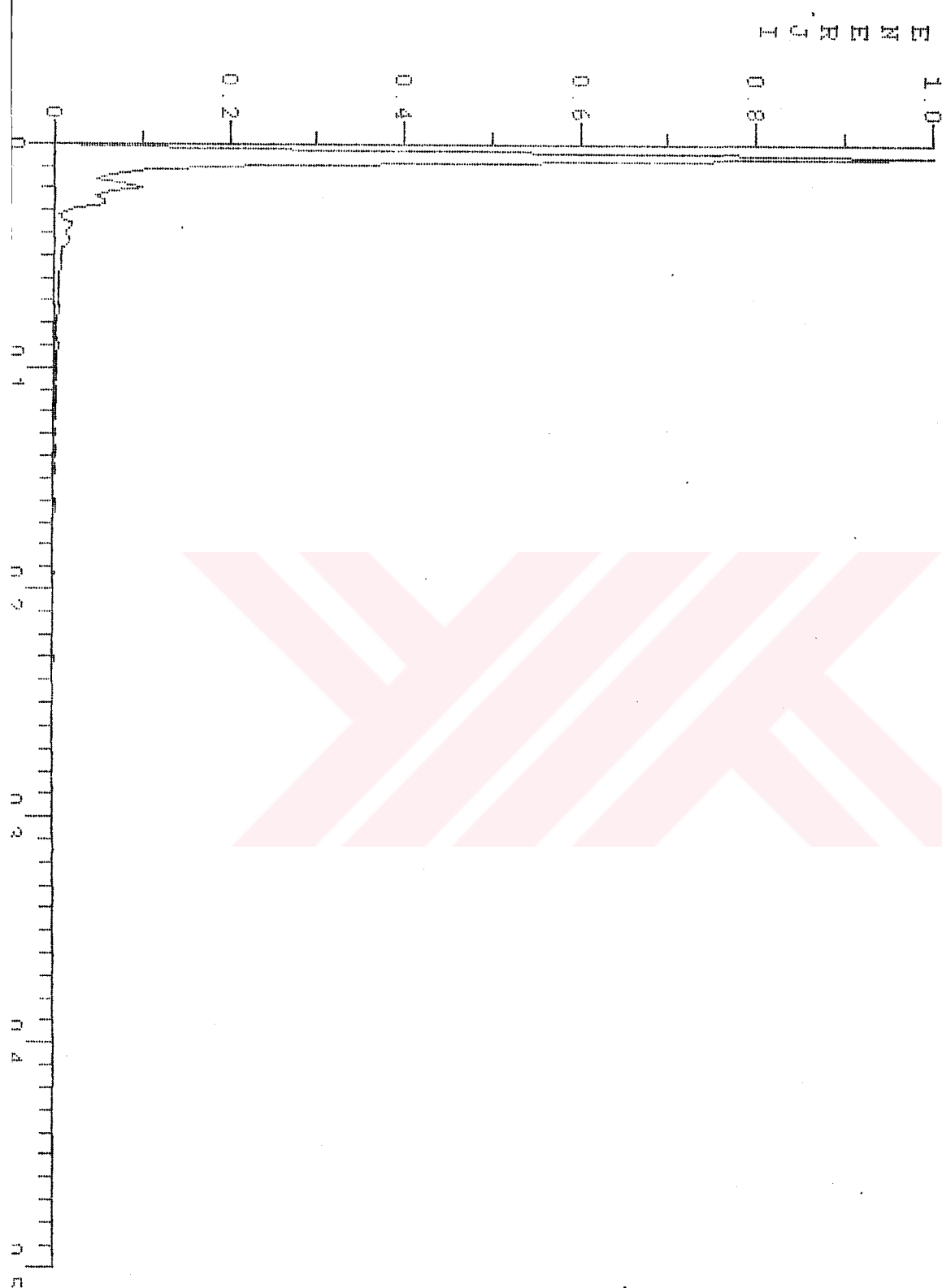


MK3NRL LP FILTRE

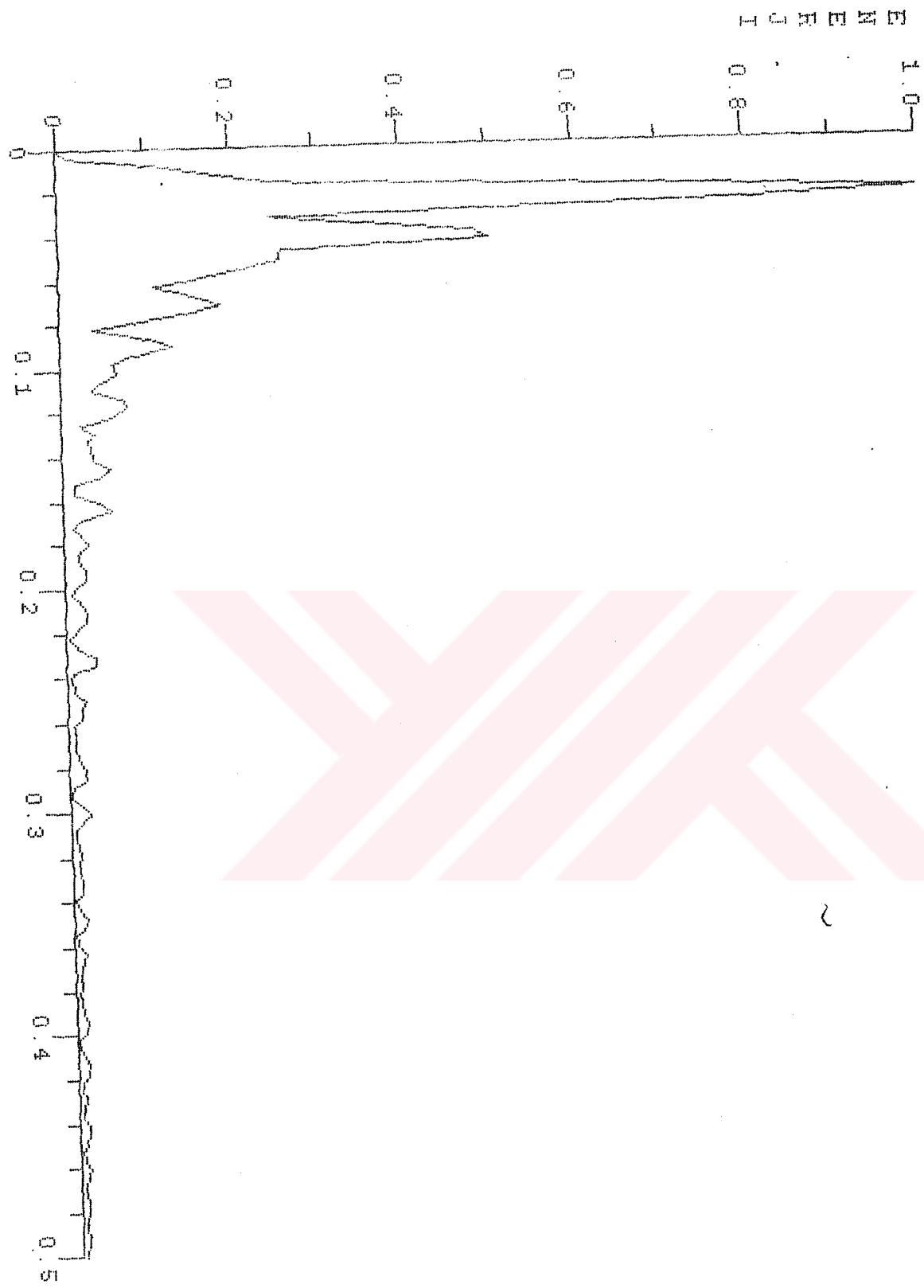


KIZKULESI Spektrum Grafigi

KZNR1D2 (26 Ocak -5 Subat)



KZ 2NP1.HP FILTRE

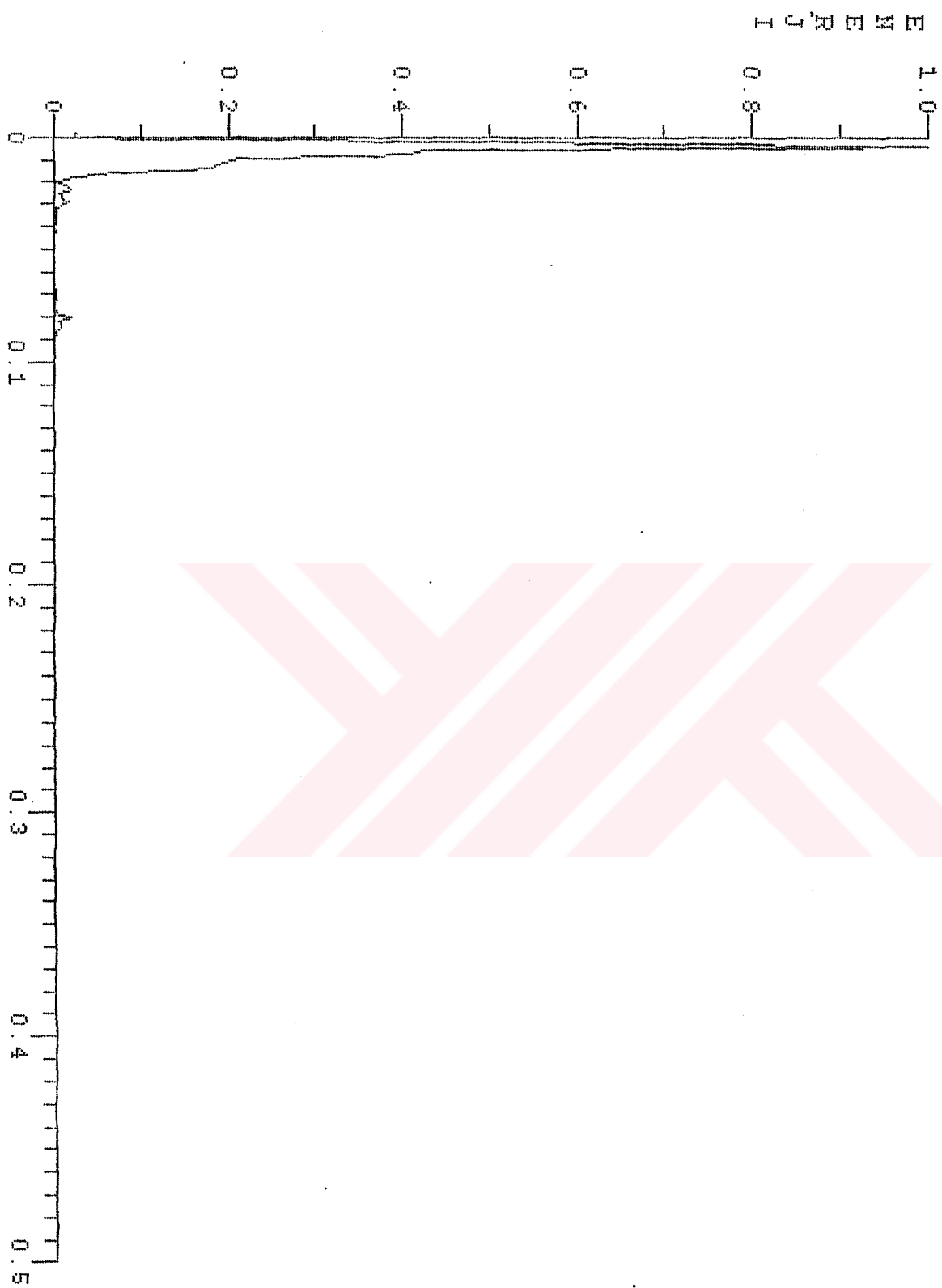


KZ2MR1.LP FILTER

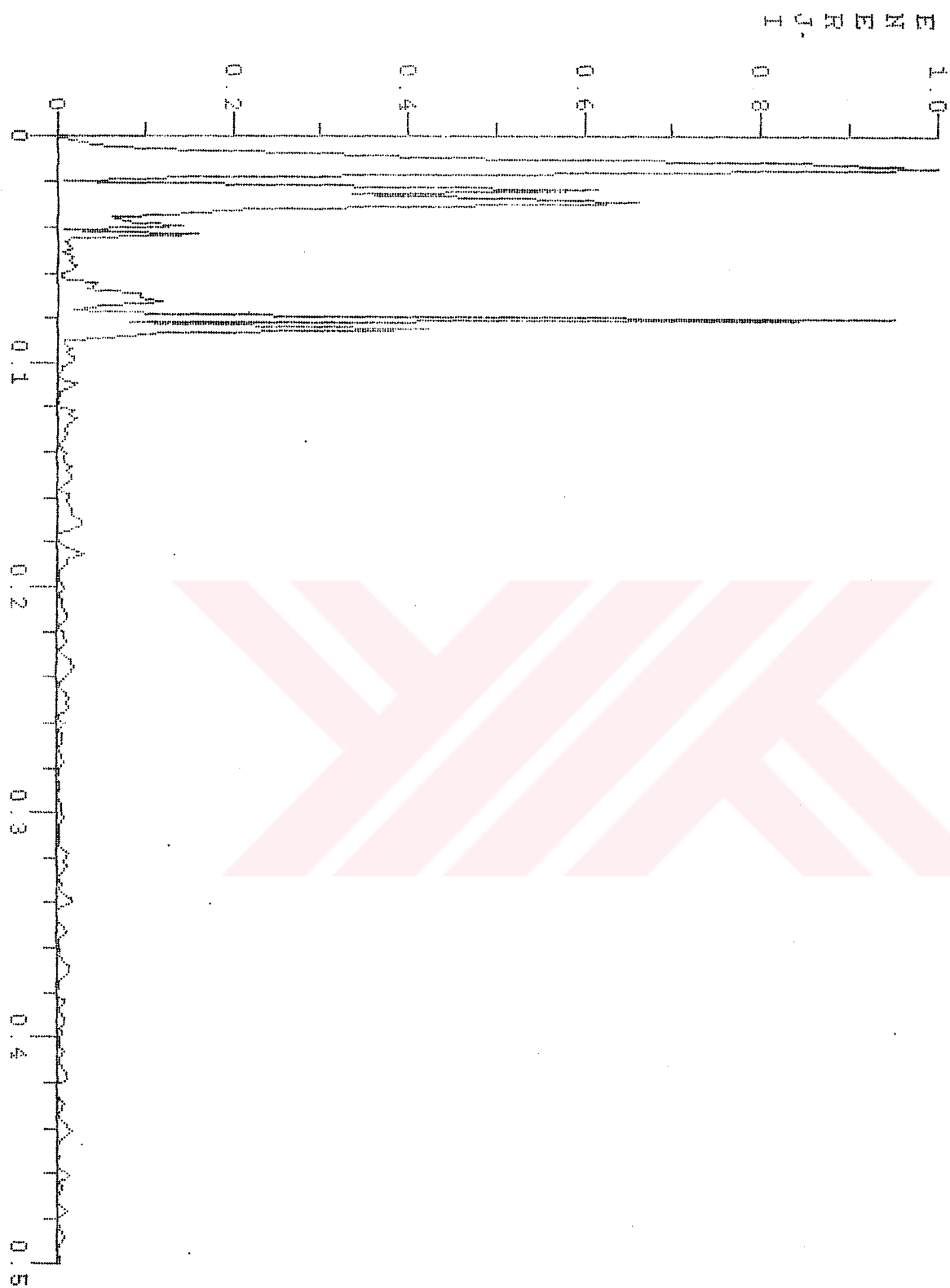


ANADOLU KAVAGI Spektrum Grafigi

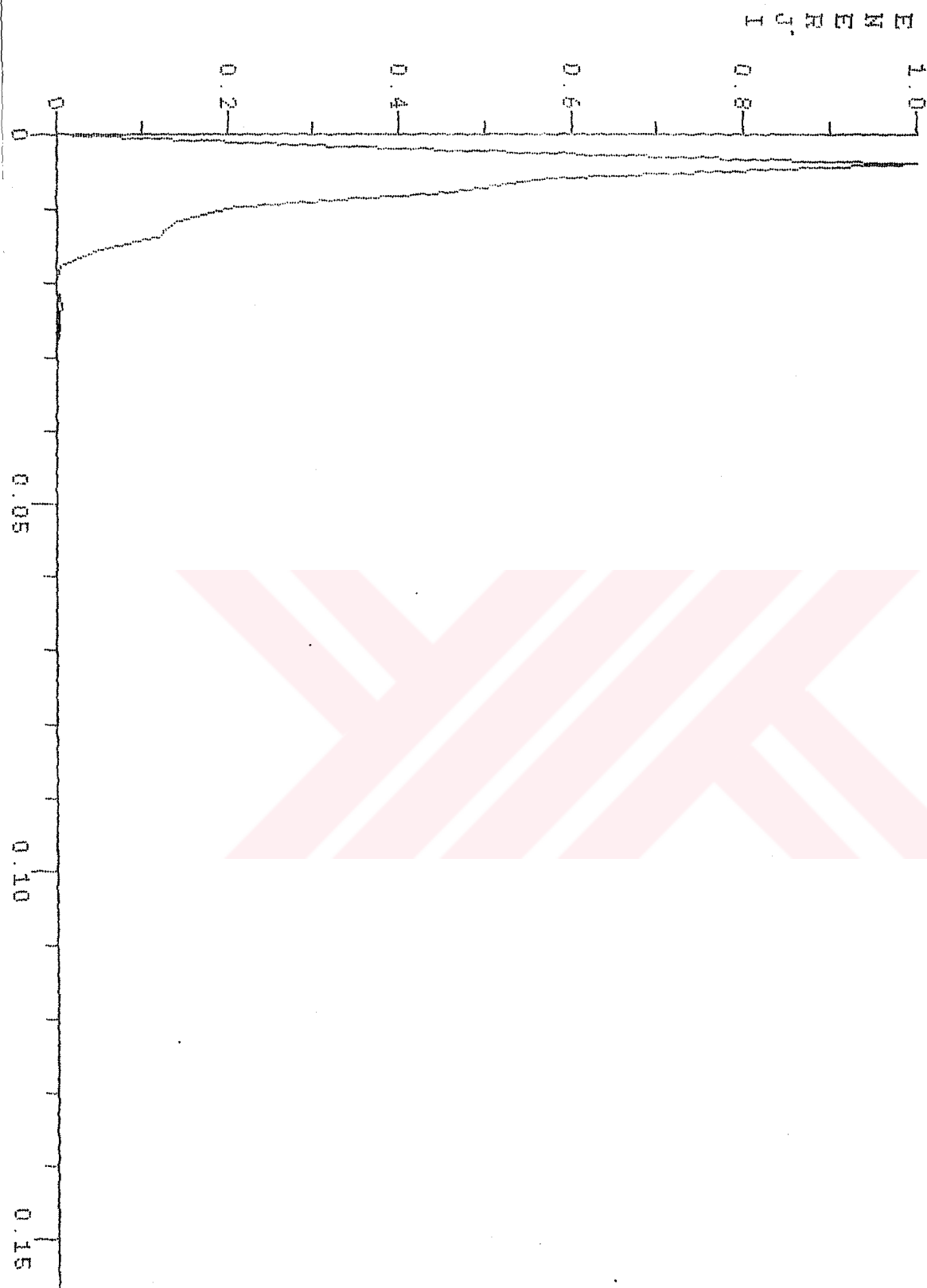
KG4NR1D4 (6 Subat - 25 Subat)



KGANR1.HP FILTRE

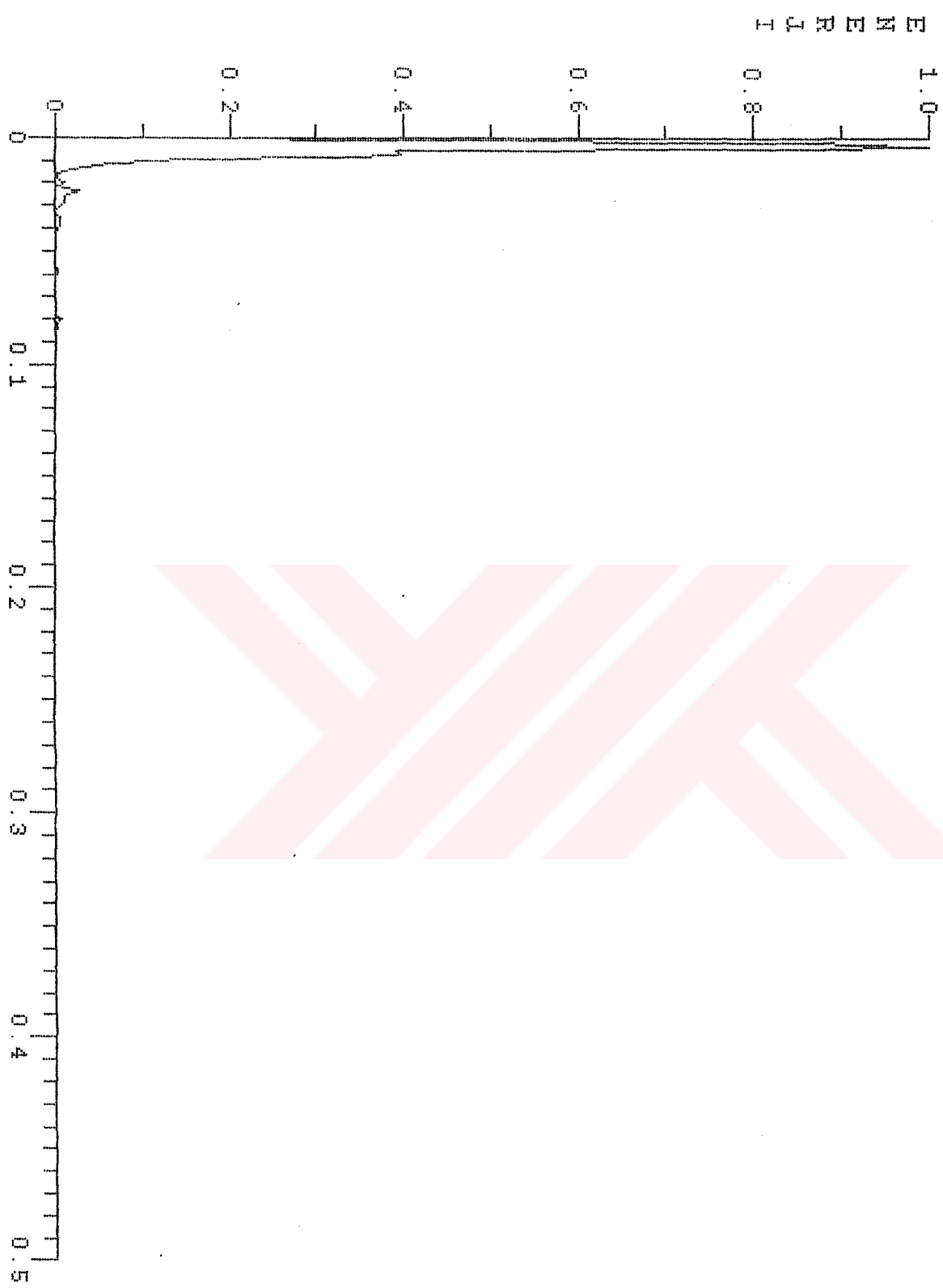


KG4NR1.LP FILTRE

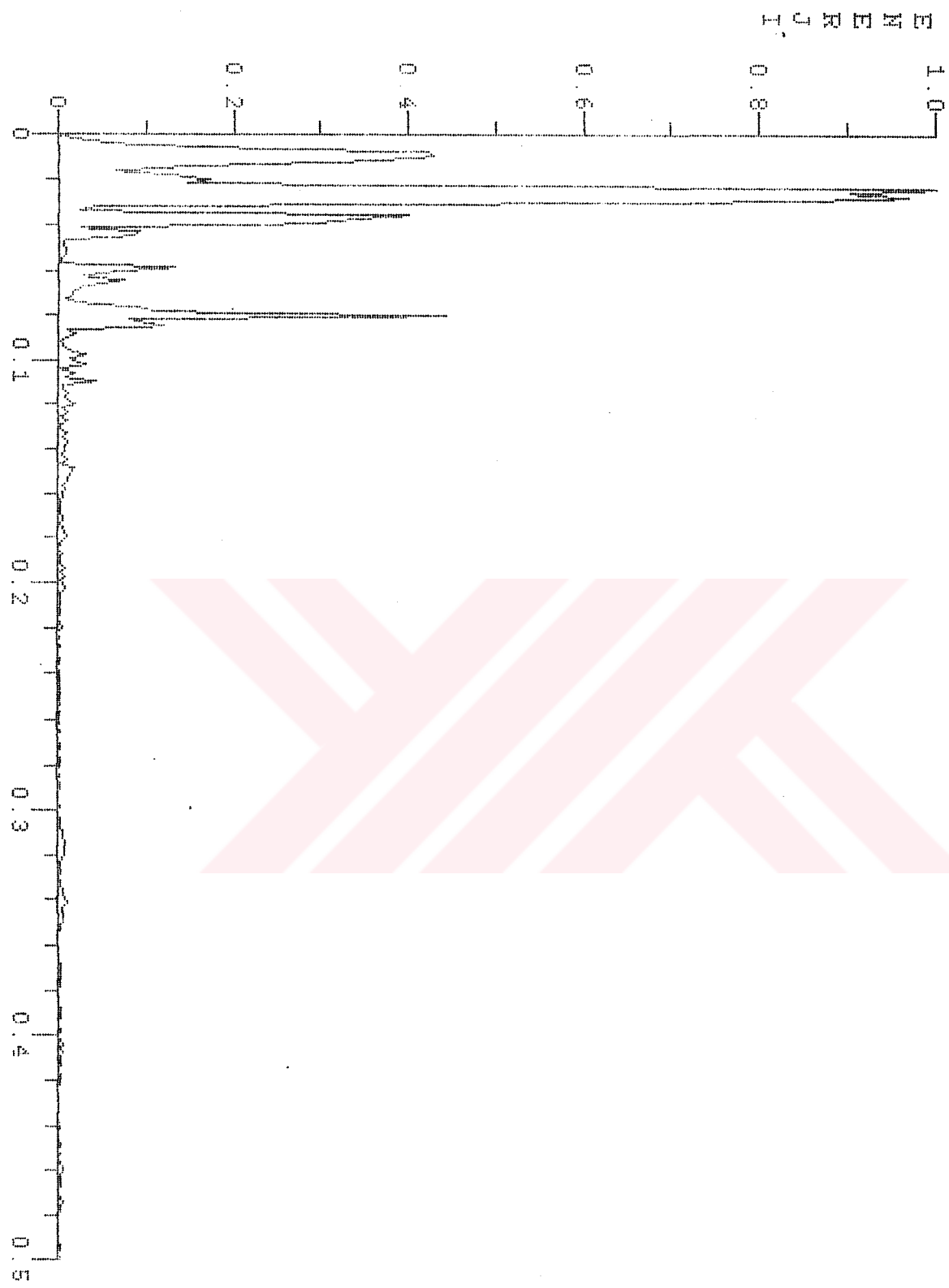


ANADOLU KAVAGI Spektrum Grafigi

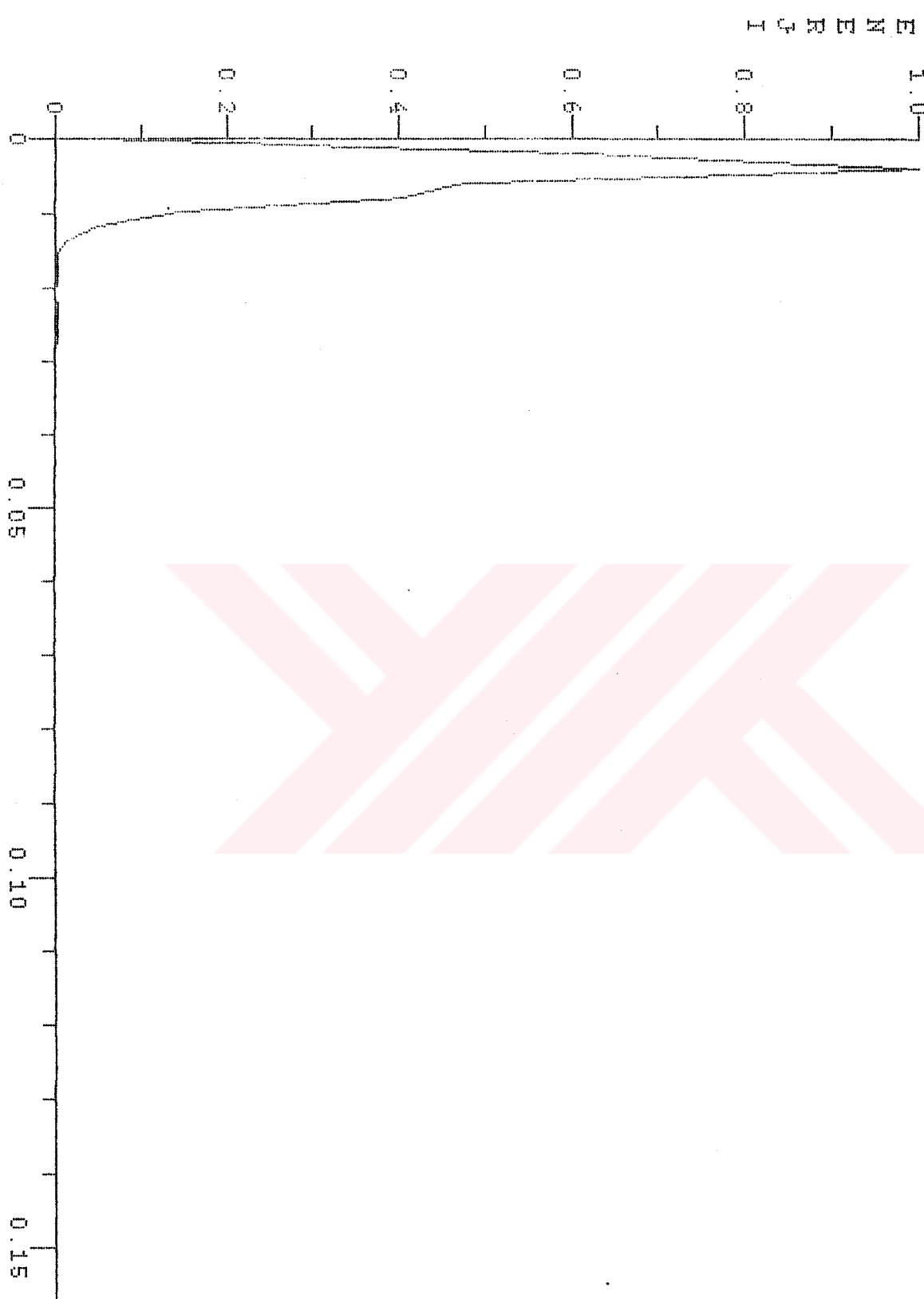
KG 4NR2D4 (6 Subat - 25 Subat)



KG4NR2.HP FILTER



KG4MR2.LP FILTRE

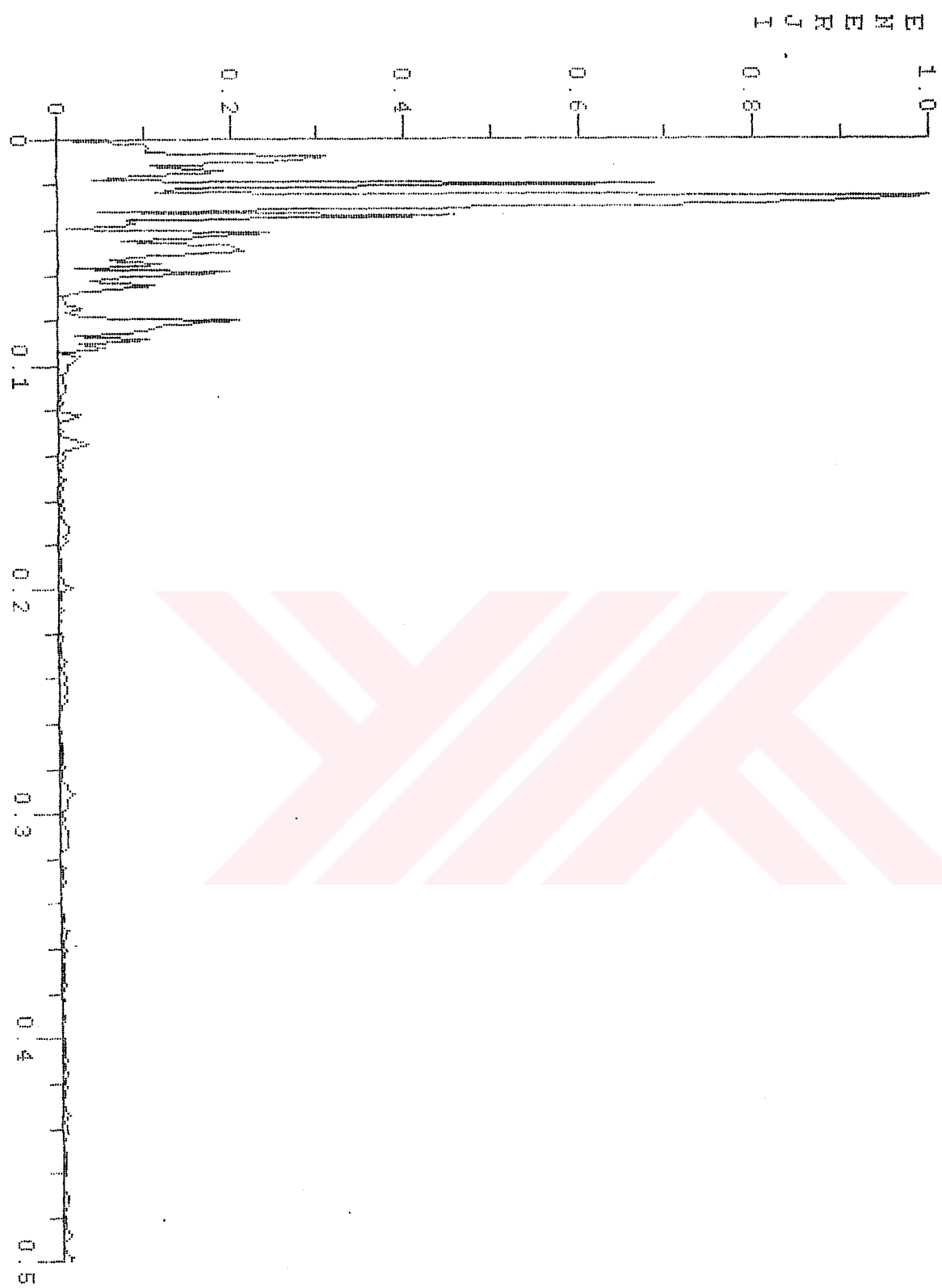


ANADOLU KAVAGI Spektrum Grafı

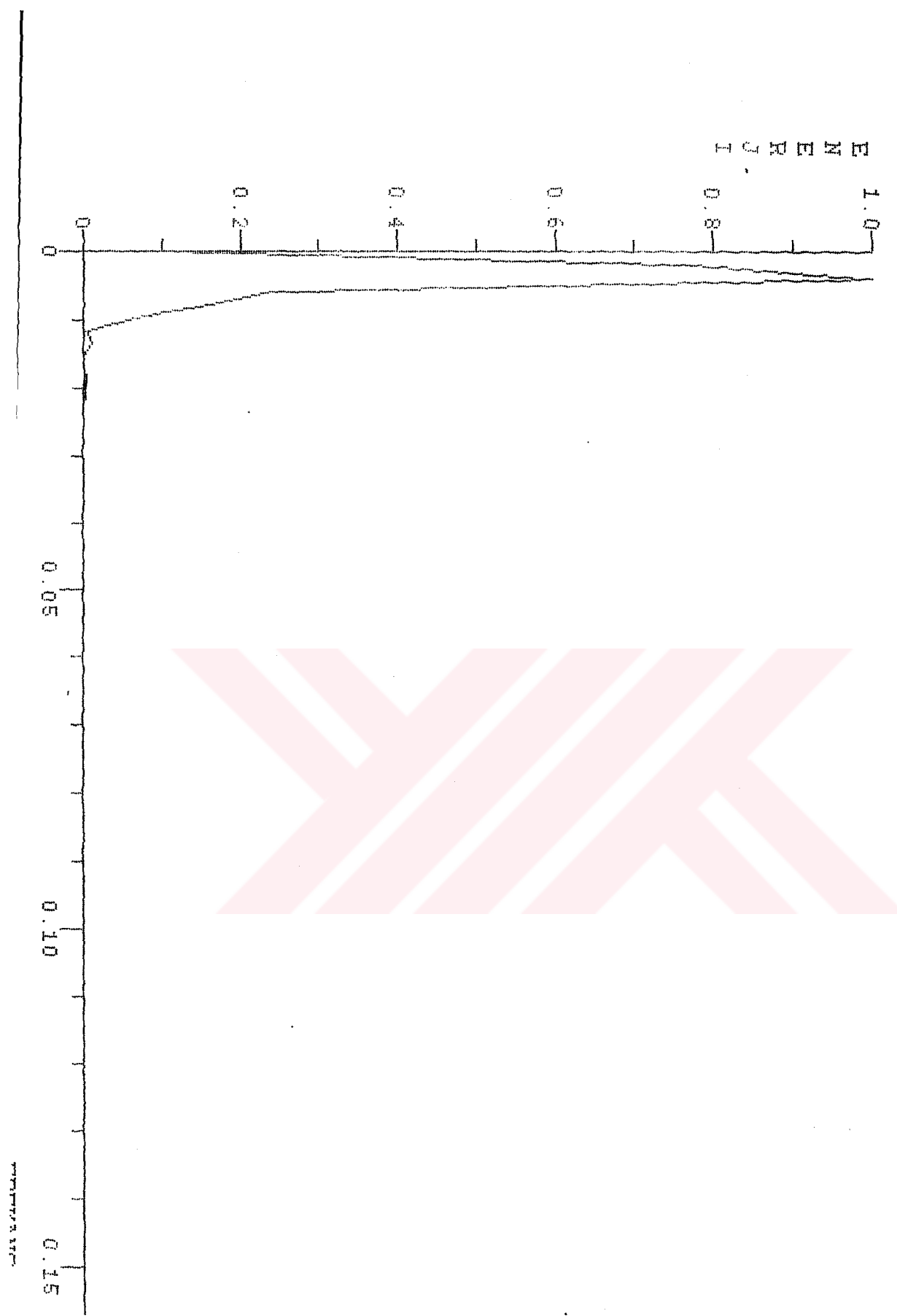
KG4NR3D4 (6 Şubat - 25 Şubat)



KG4NRS.HP FILTER

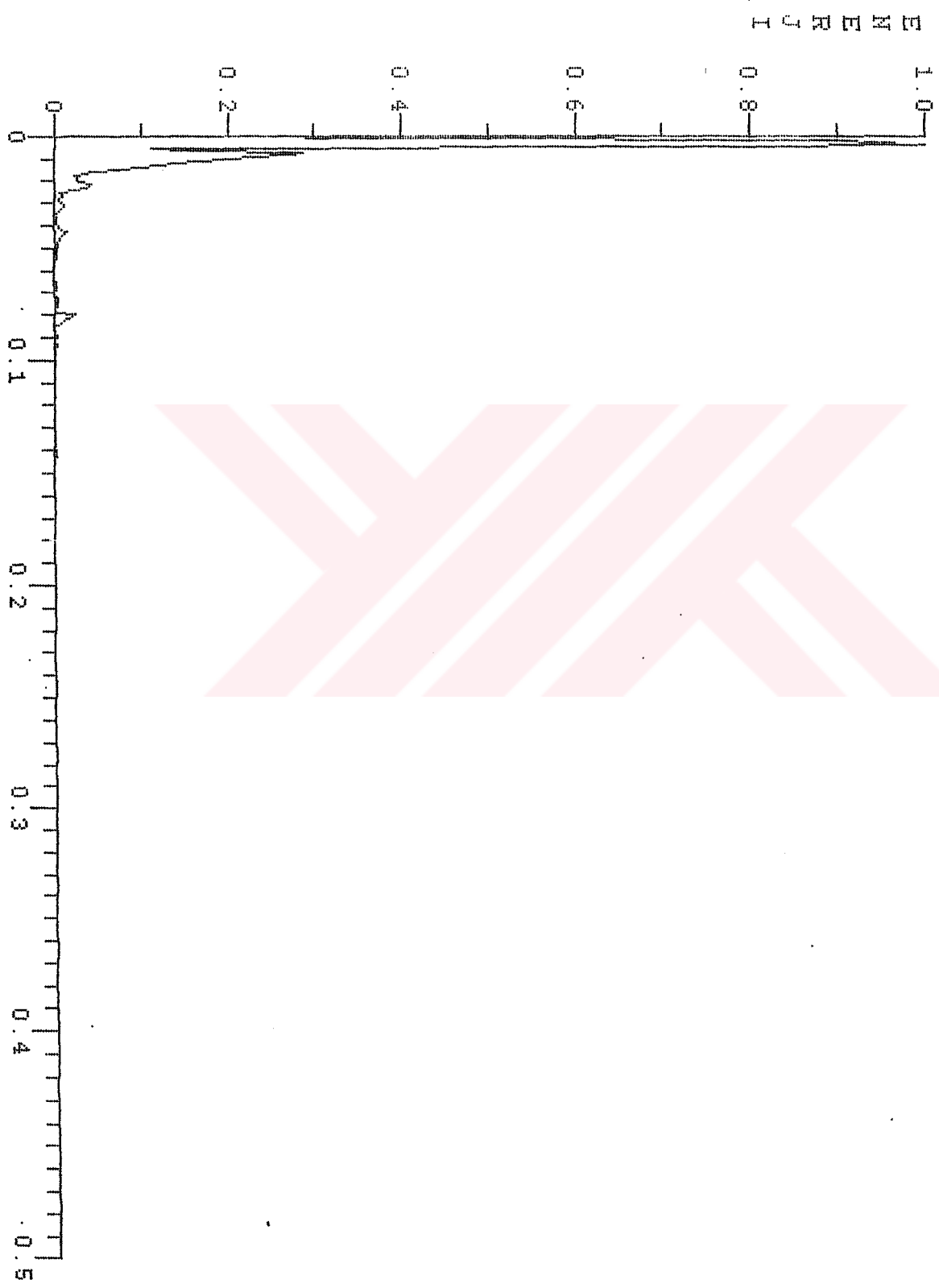


KG4NRS.LP FILTRE

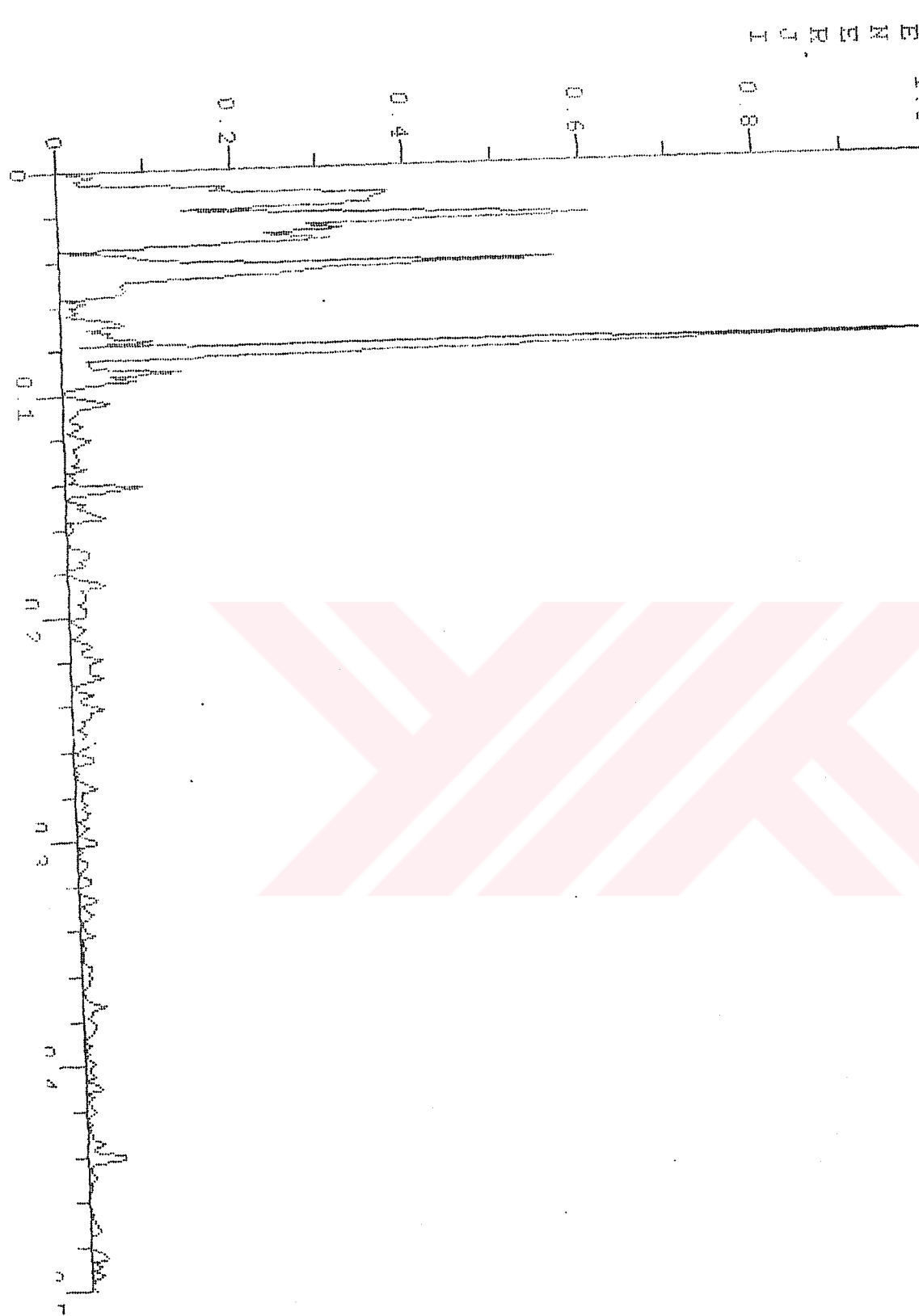


ANADOLU KAVAGI Spektrum Grafiği

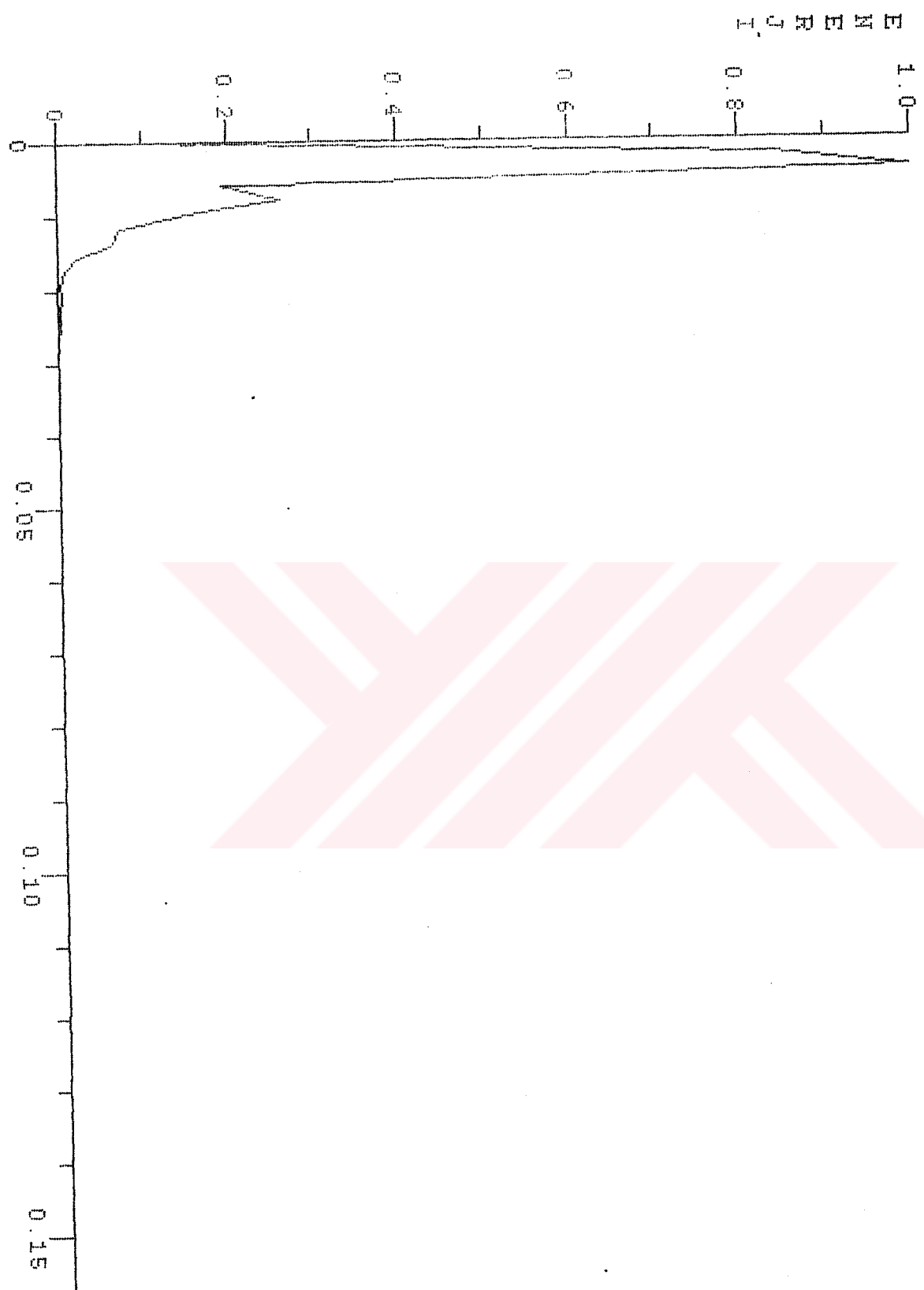
KG4MR4D4 (6 Şubat - 25 Şubat)



XG4NP4, HP FILTRE

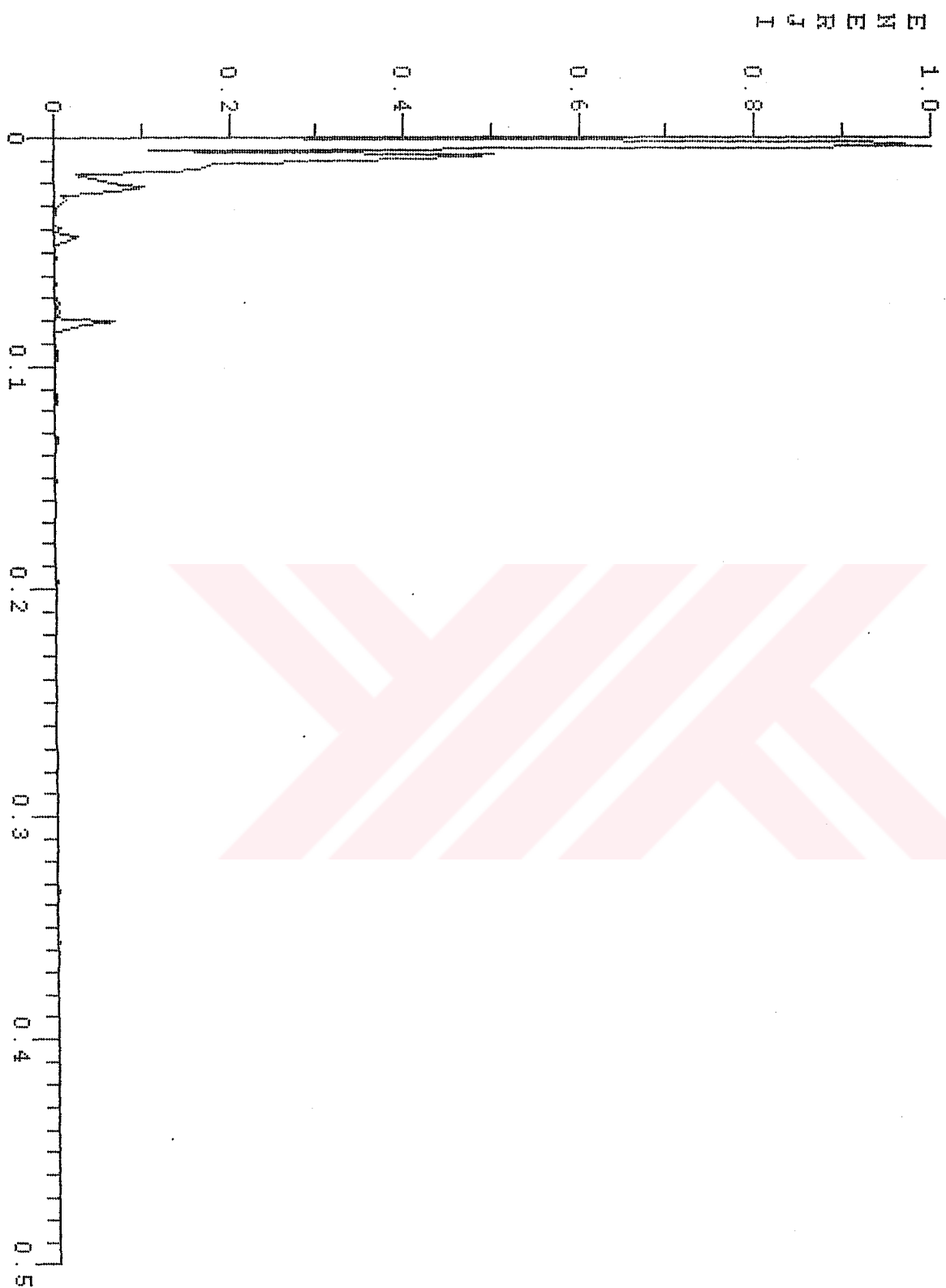


KG4NR4, LP FILTER

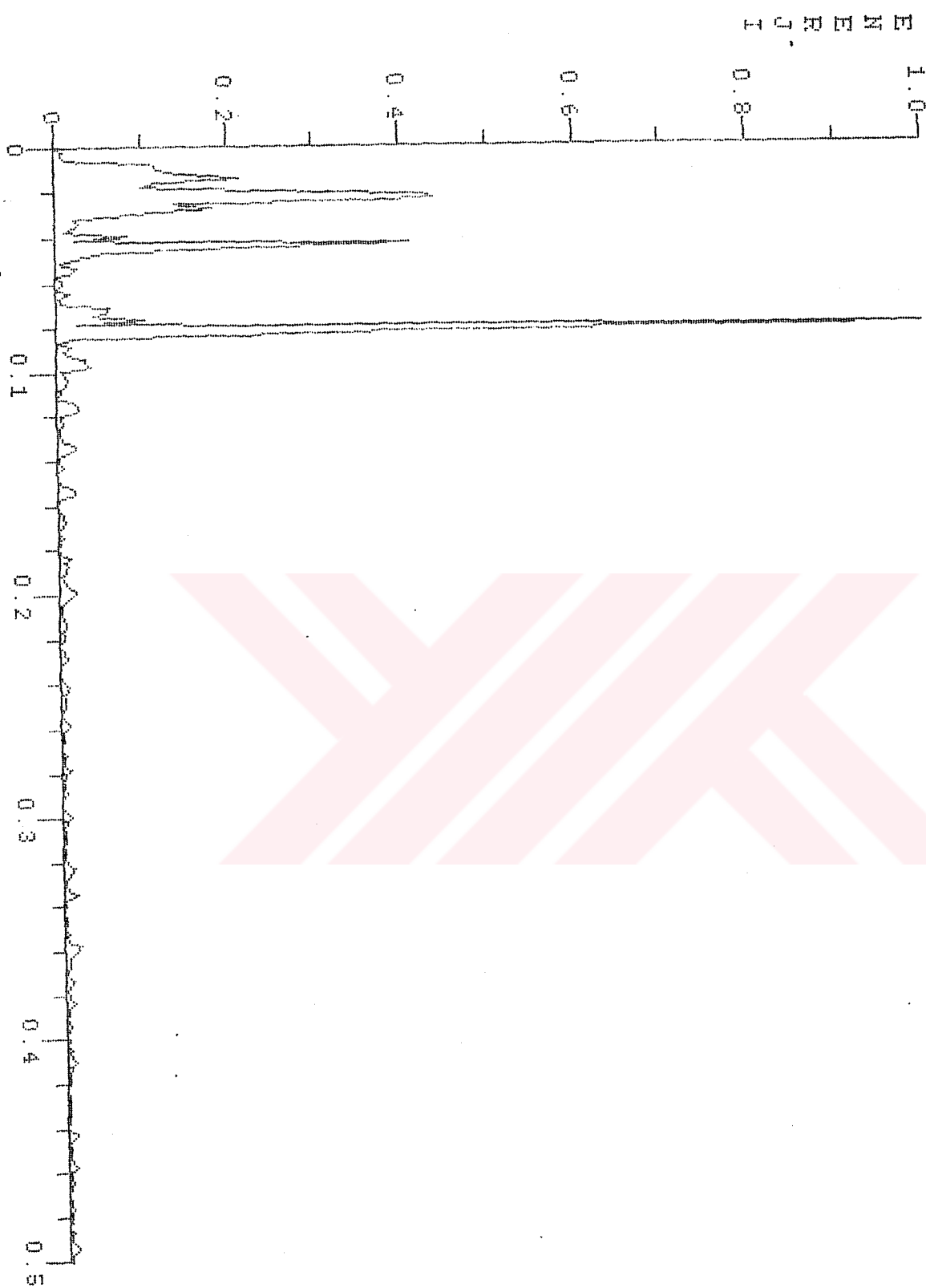


ANADOLU KAVAGI Spektrum Grafıgı

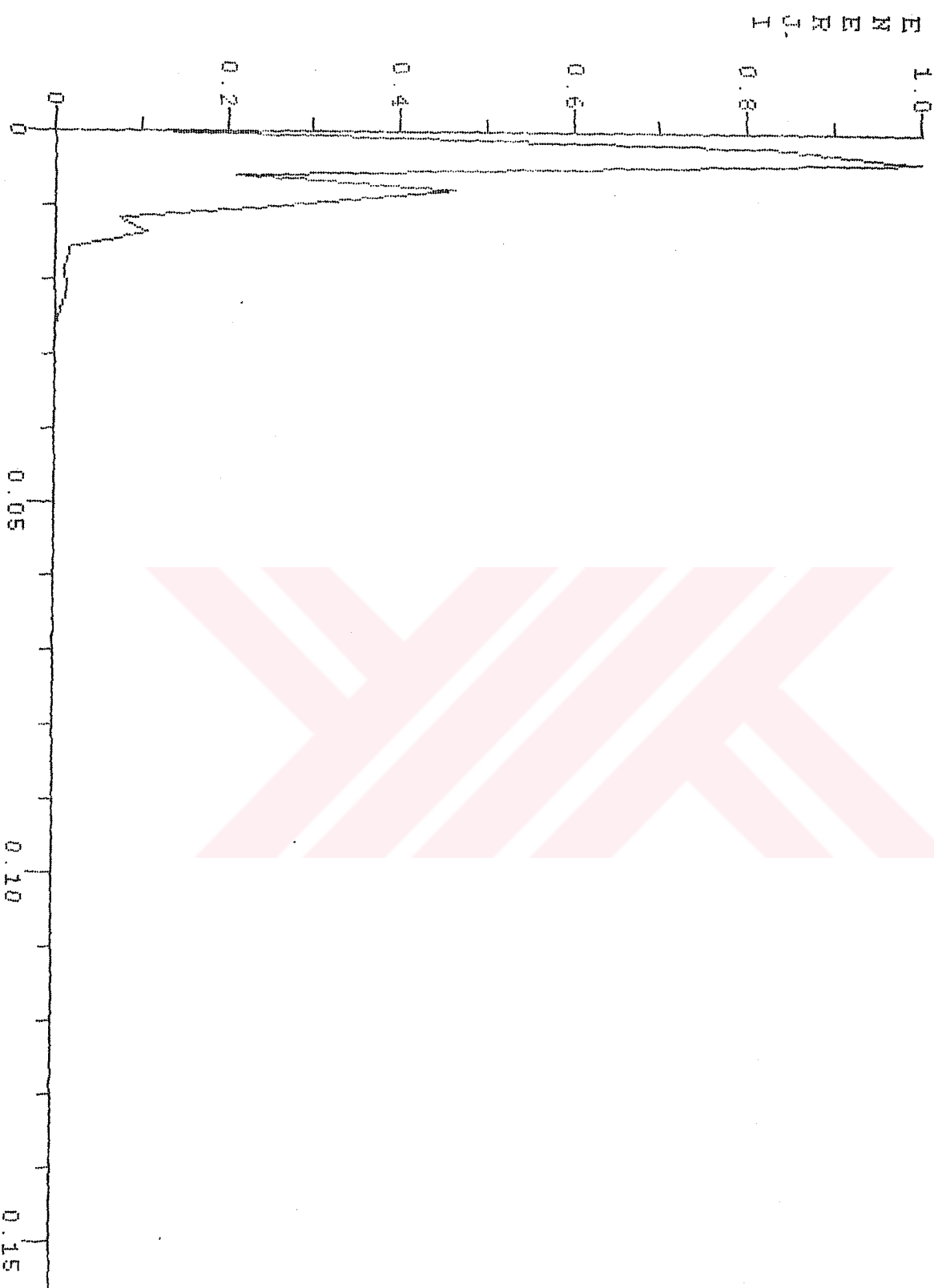
KG4NR5D4 (6 Subat-25 Subat)



KG4NRS.HP FILTER

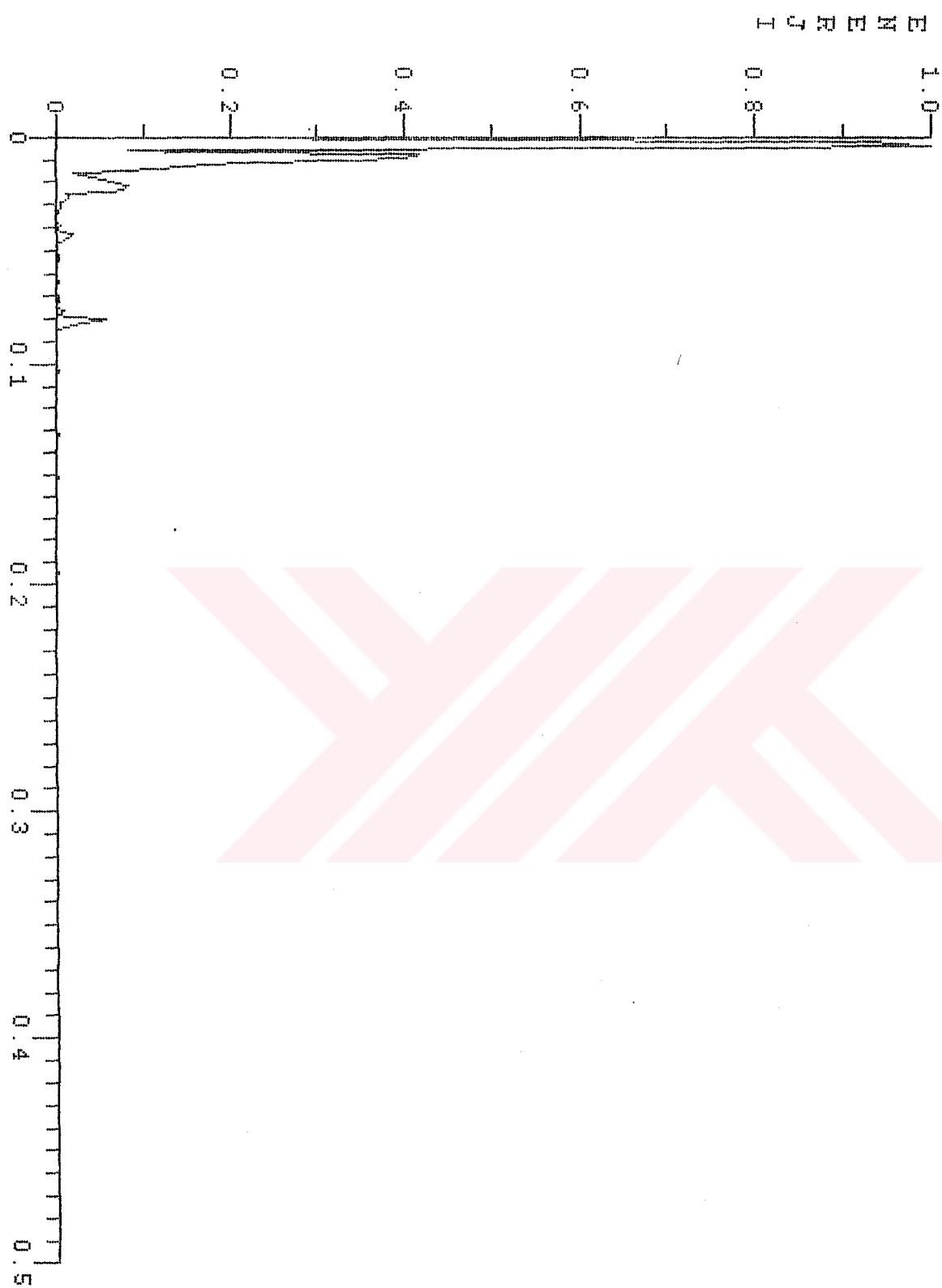


PG4MRS.LP FILTRE

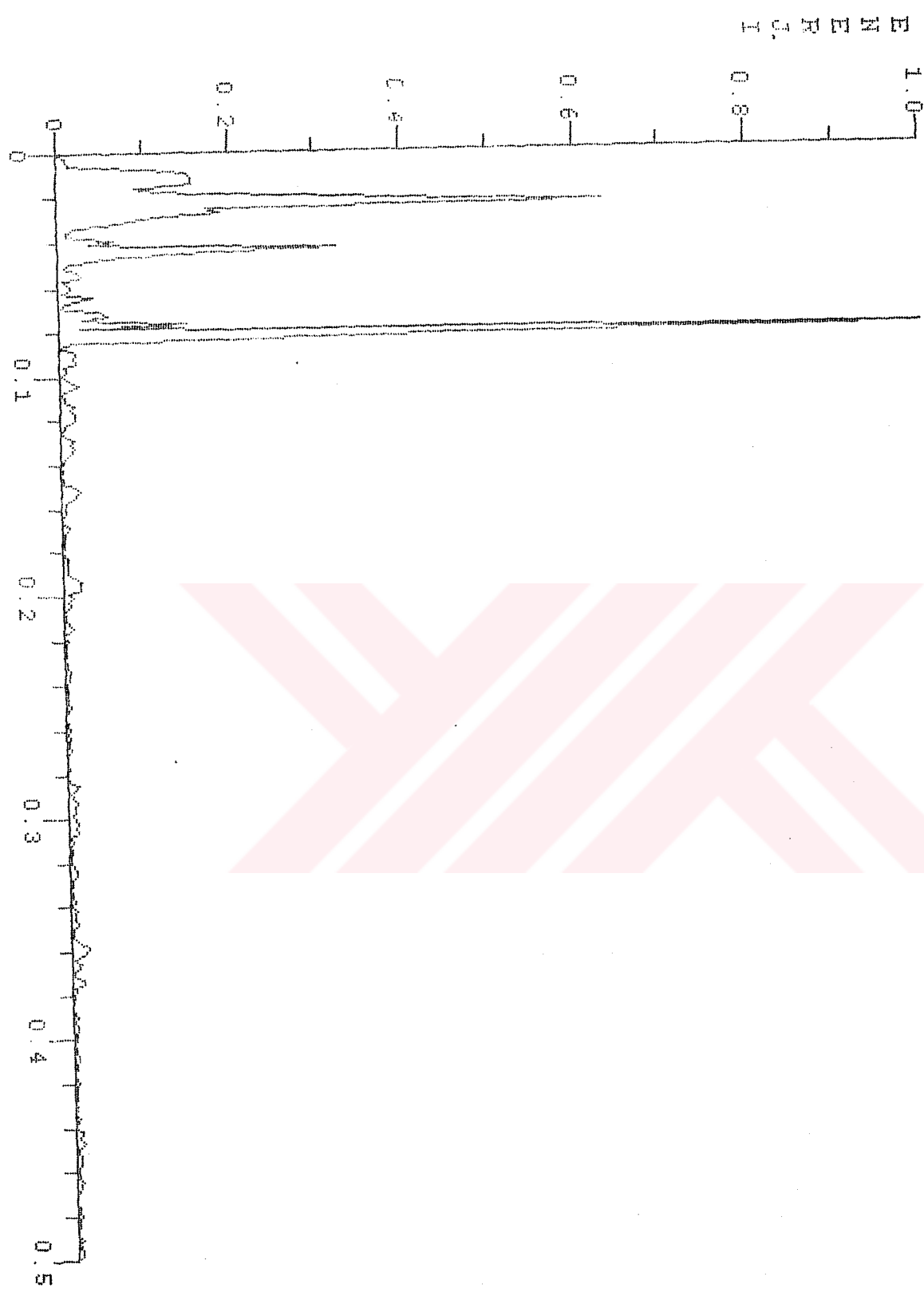


ANADOLU KAVAGI Spektrum Grafiği

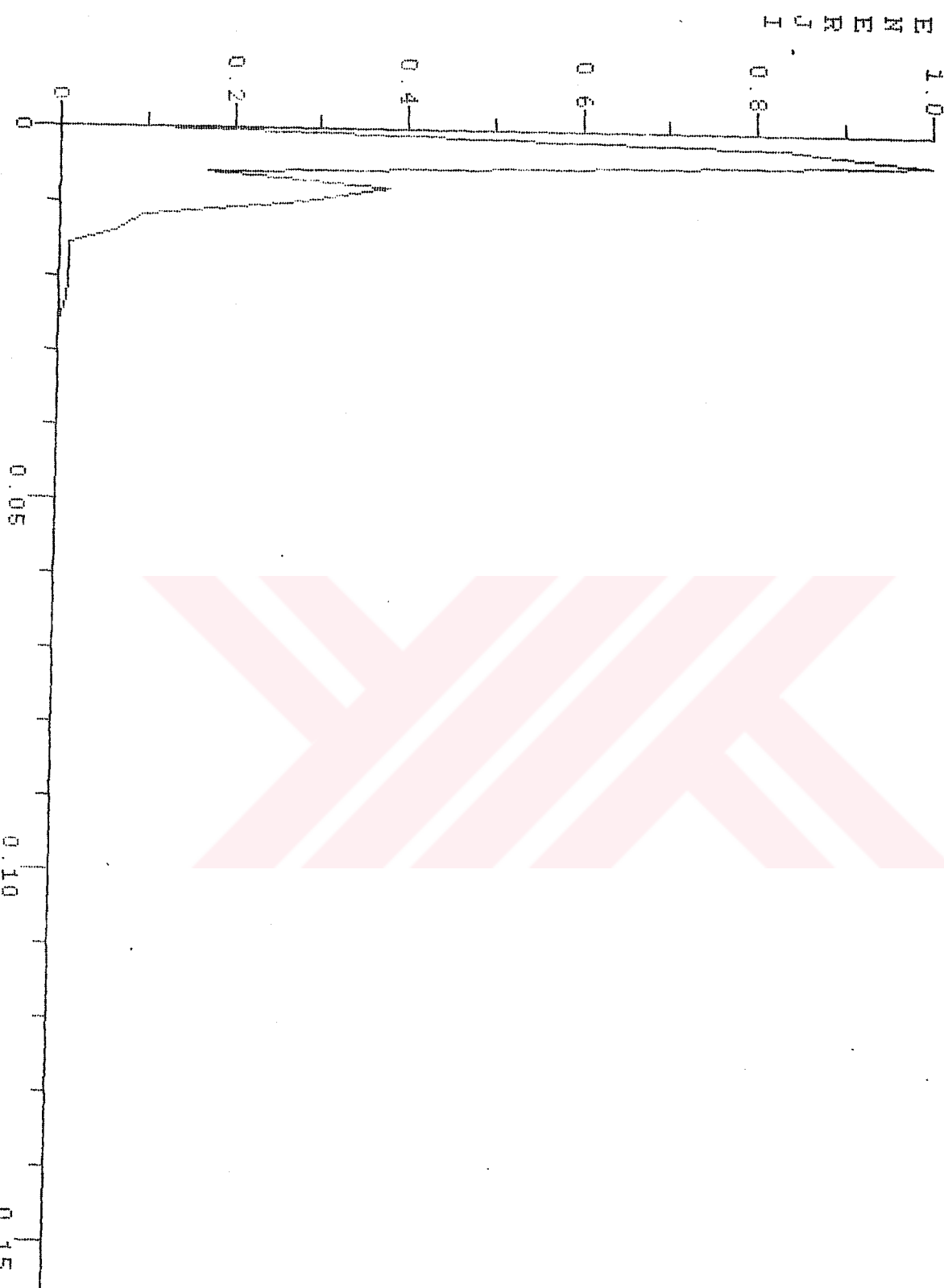
KG4NR6D4 (6 Şubat-25 Şubat)



NOGMR5-HD FILTER

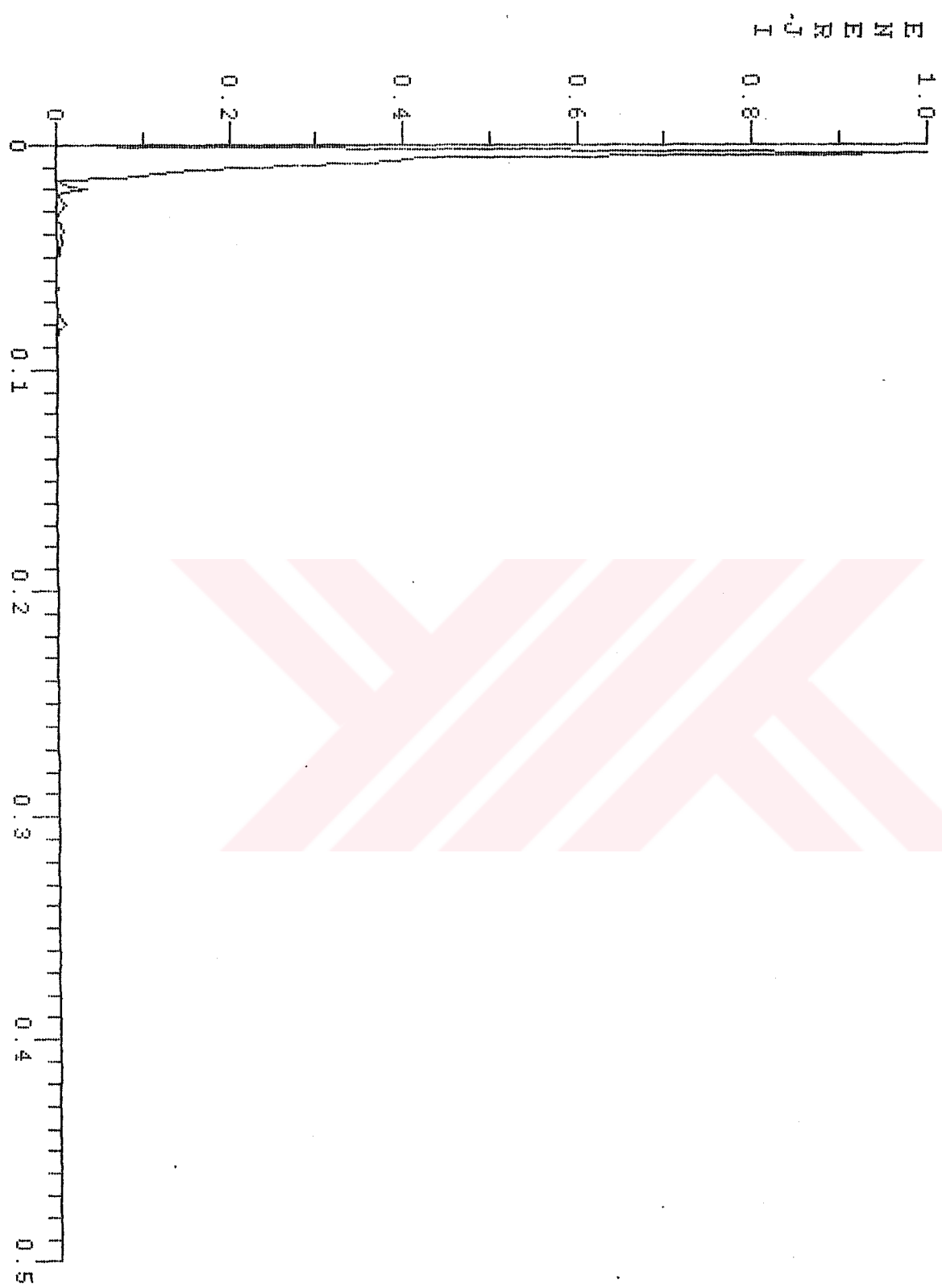


KG4NRS LP FILTRE

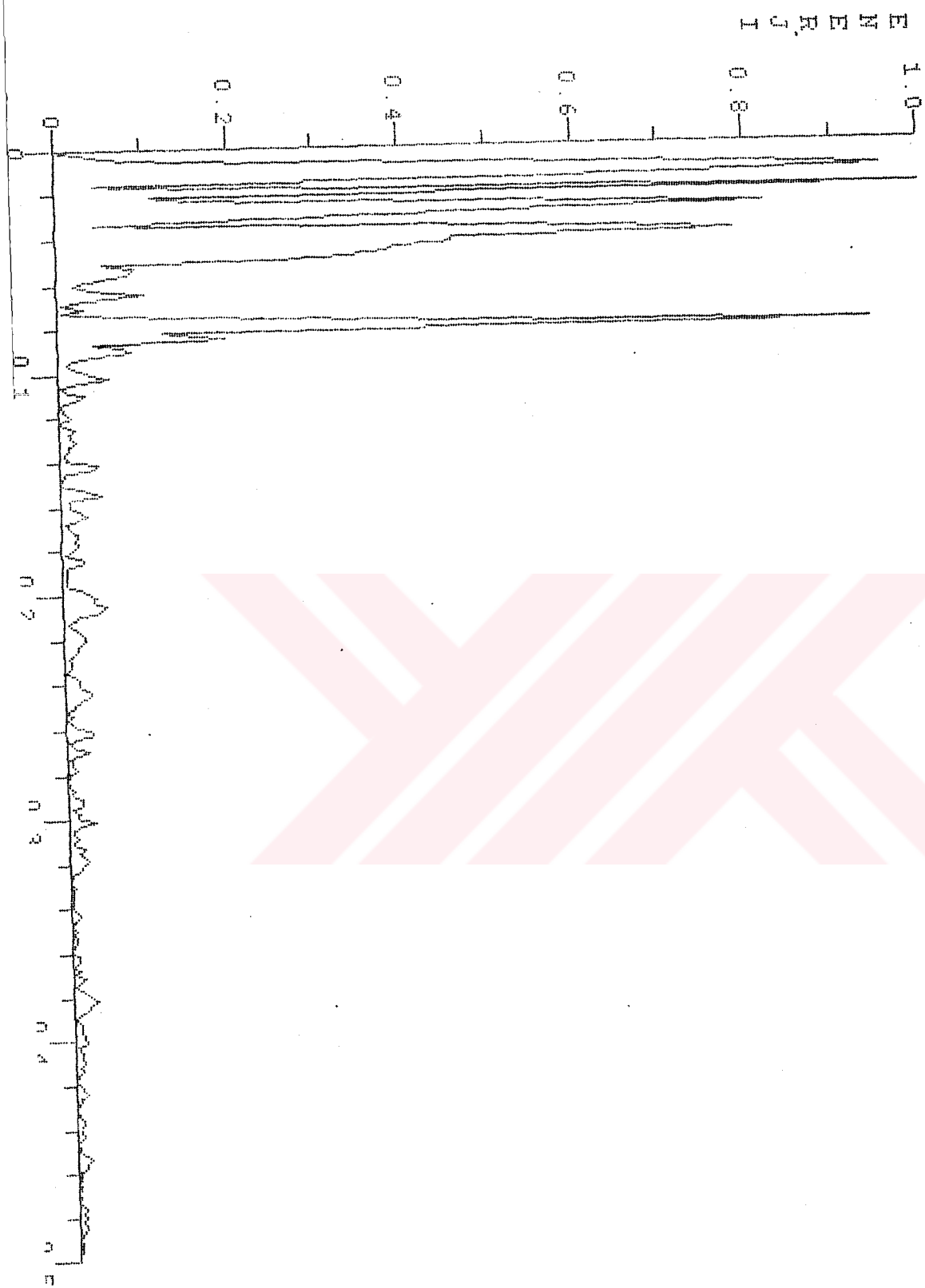


KUJUKSU Spektrum Grafigi

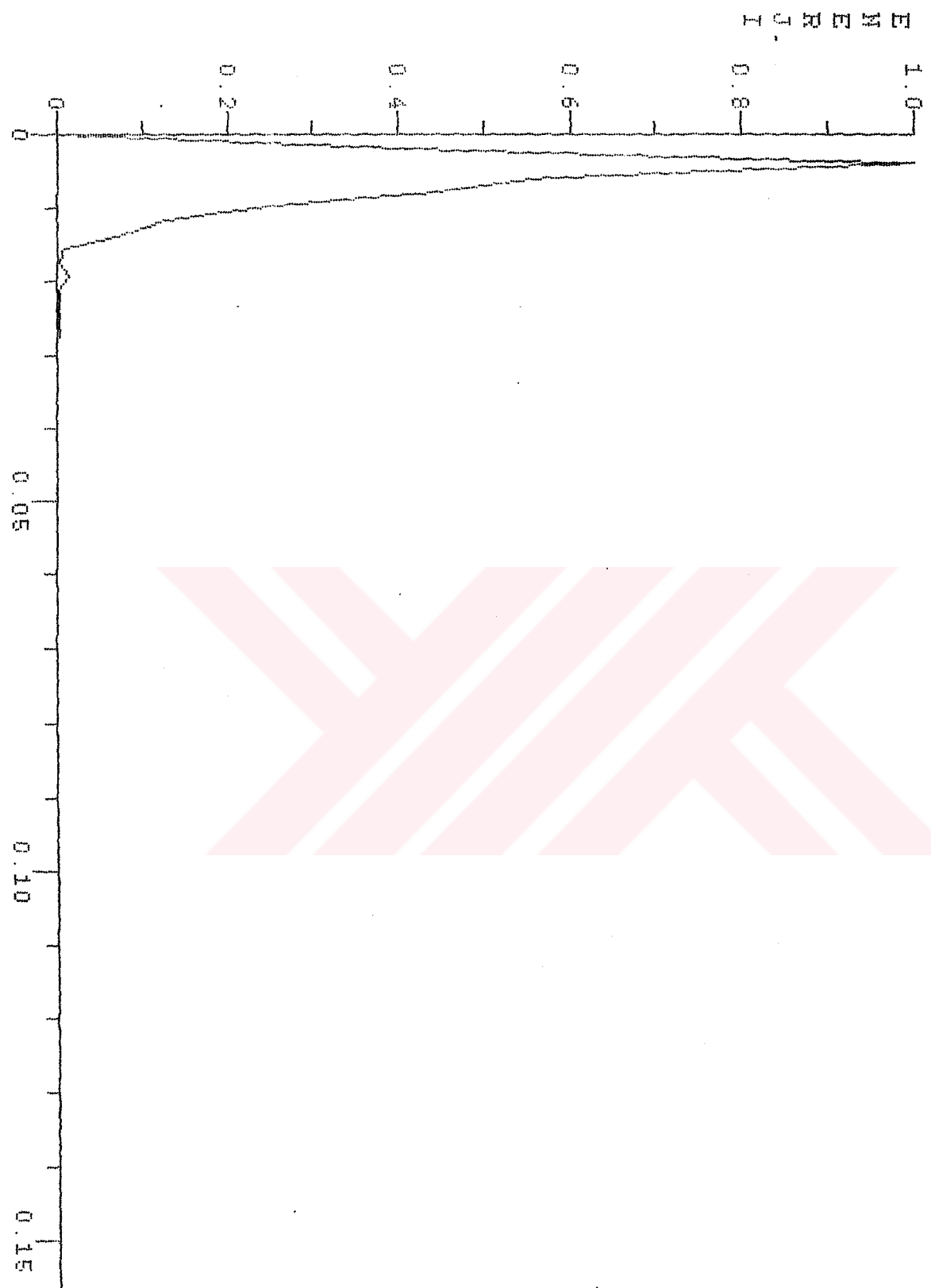
KS3NR1D3 (6 Subat-25 Subat)



K3MRI.HP FILTRE

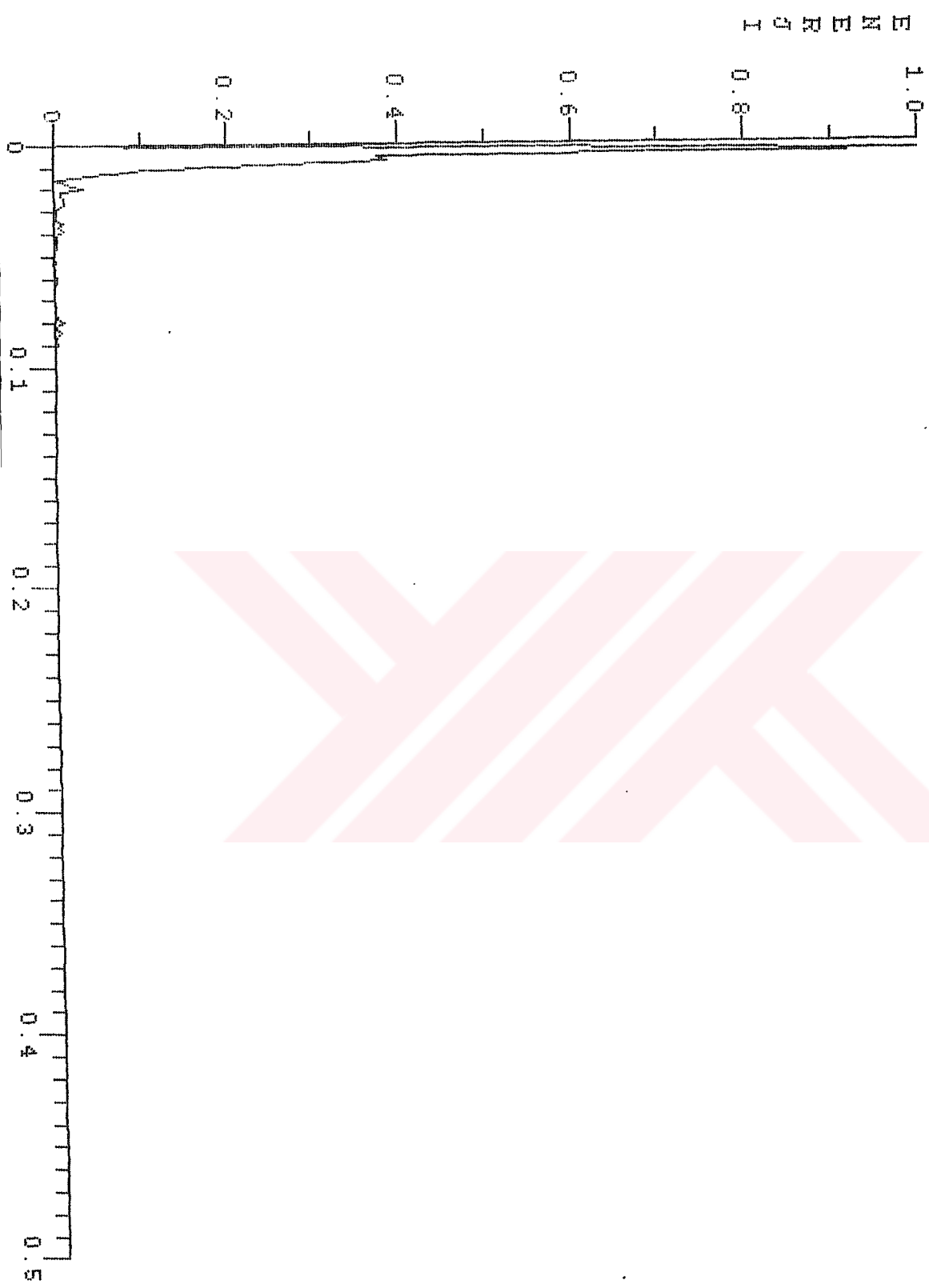


RIS3MRI LP FILTRE

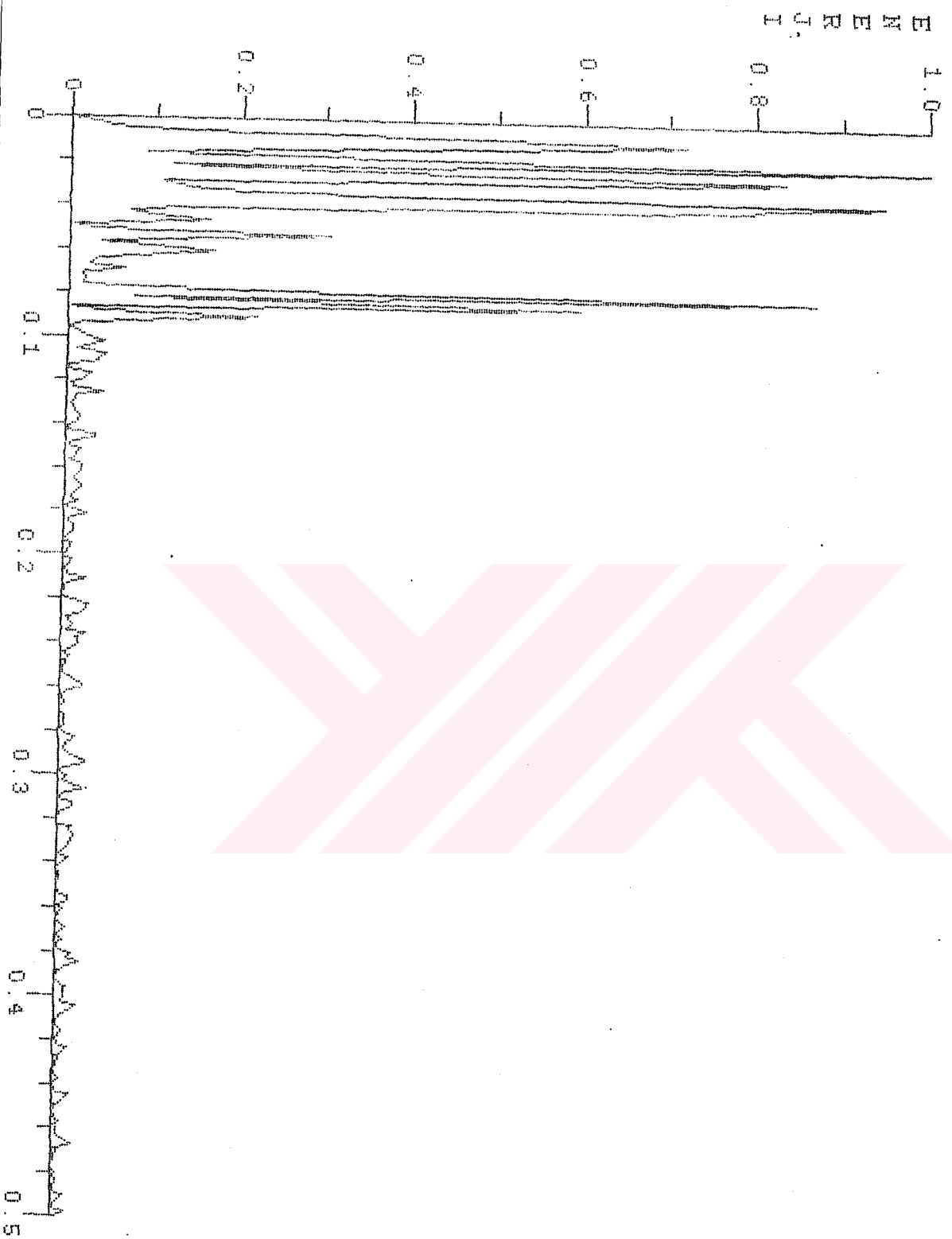


KUCUKSU Spektrum Grafigi

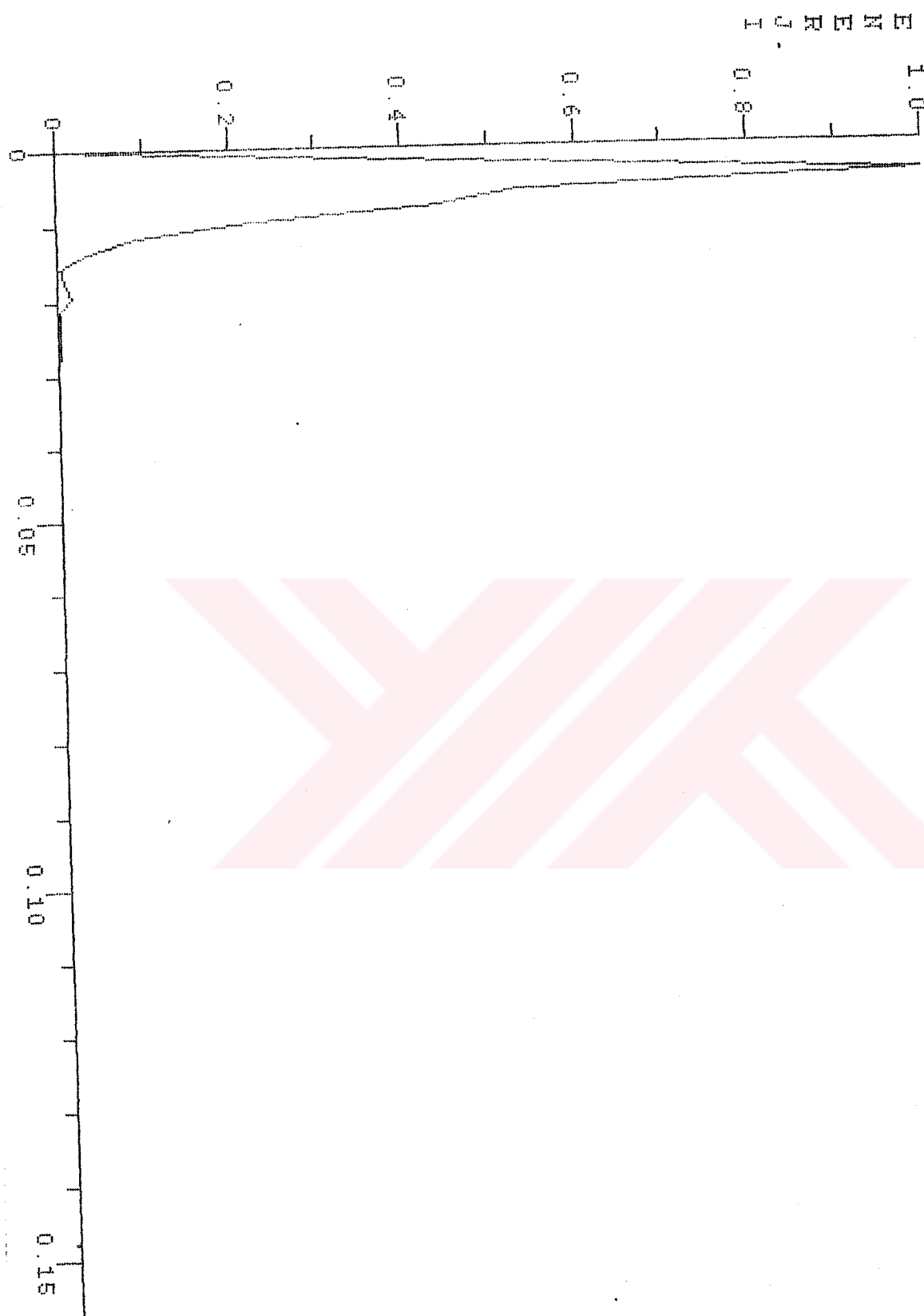
KS3NR2D3 (6 Subat-25 Subat)



KS SNR2 - HP FILTRE

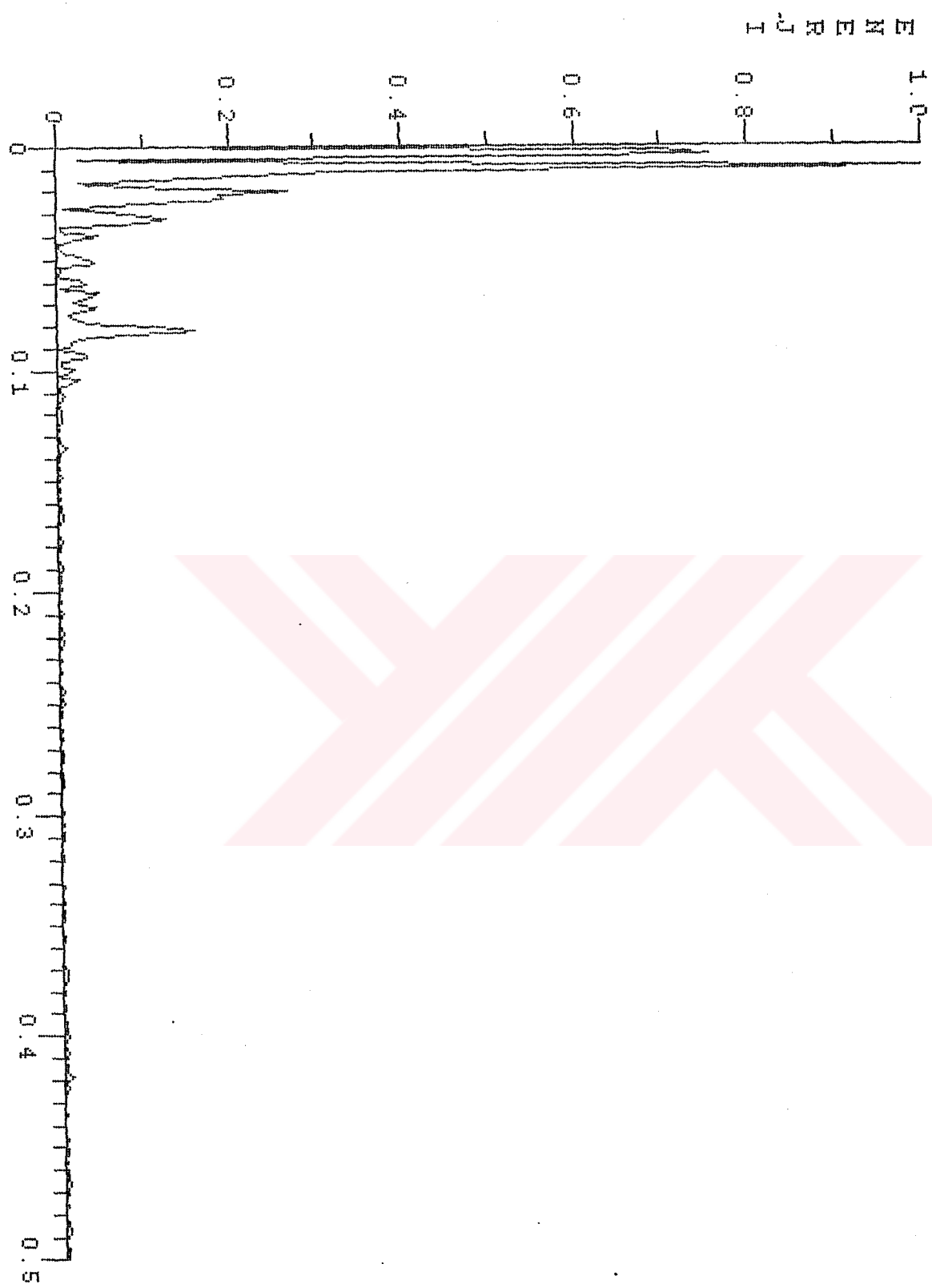


FS3MR2.LP FILTRE

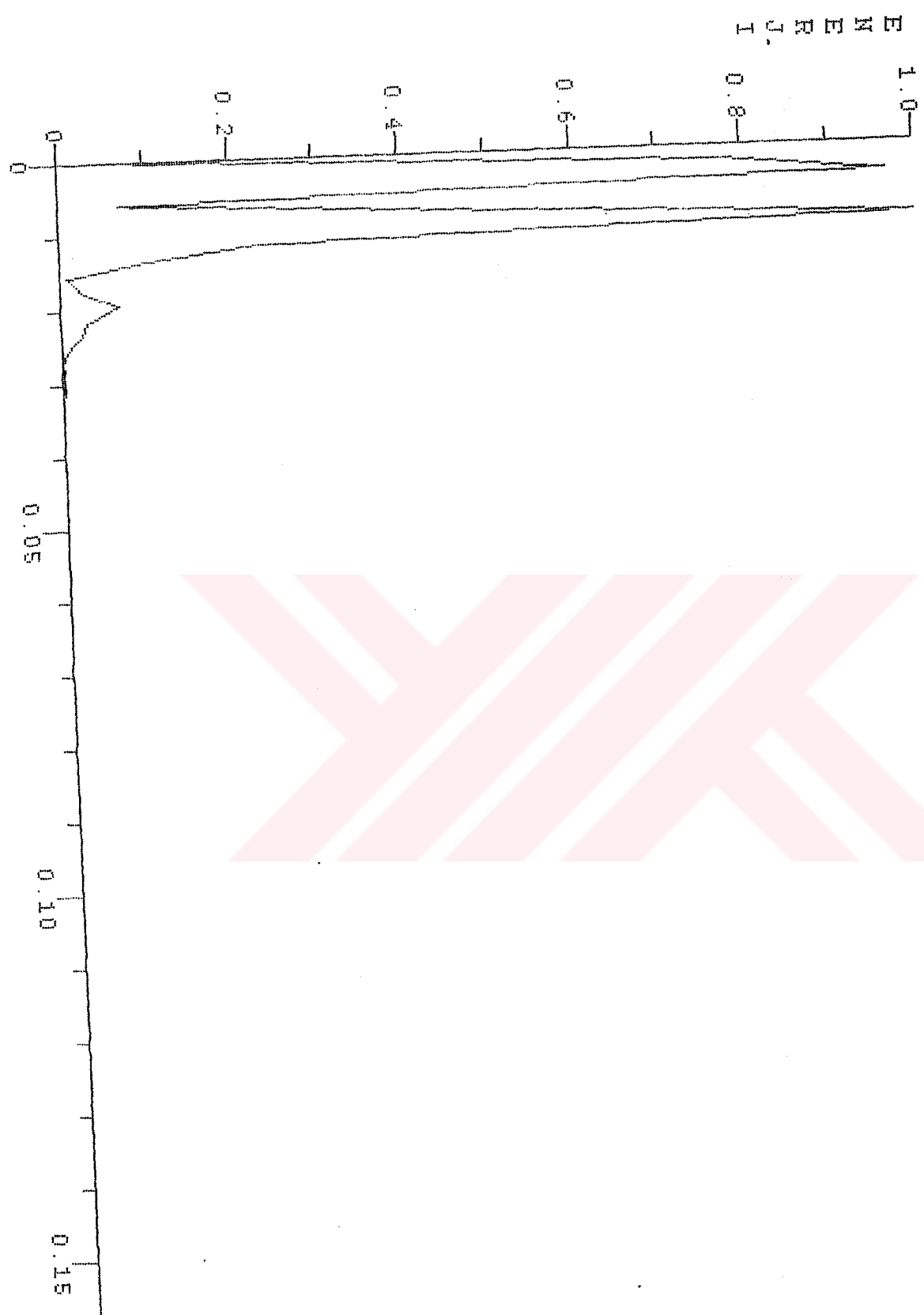


KLICUKSU Spektrum Grafigi

KS3NR3D3 (6 Subat - 25 Subat)

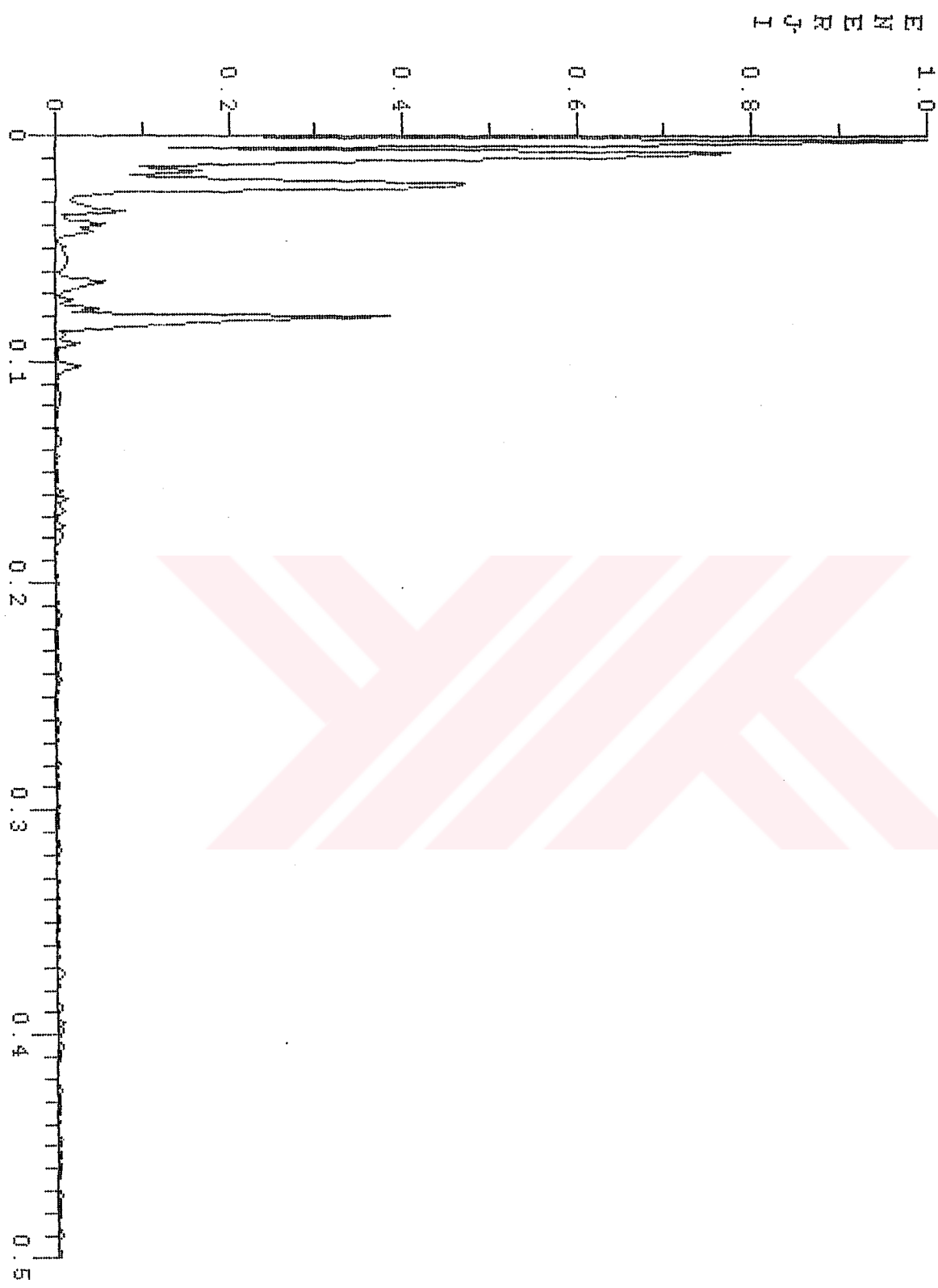


KS3MRS, LP FILTRE

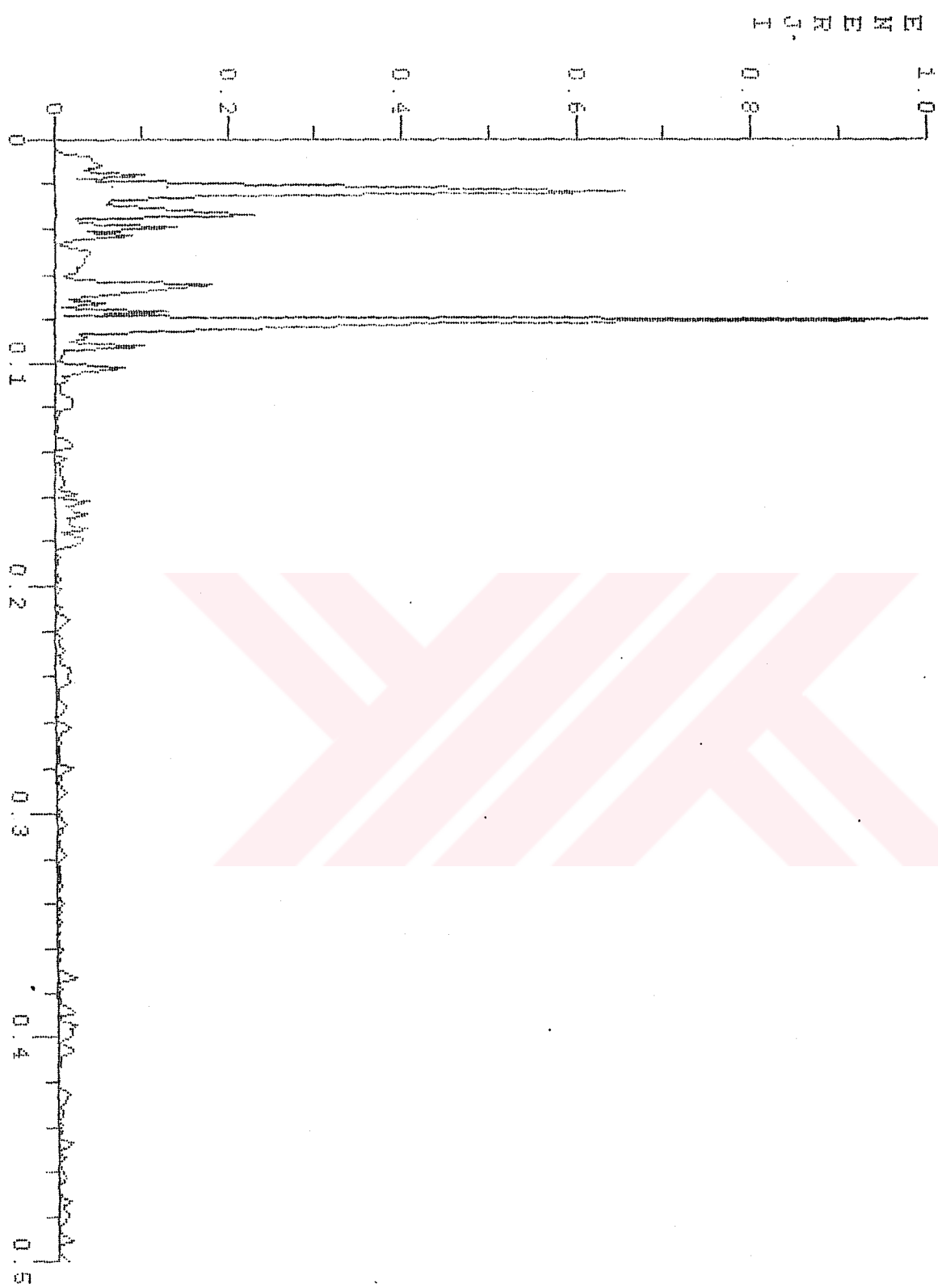


KUJUKSU Spektrum Grafigi

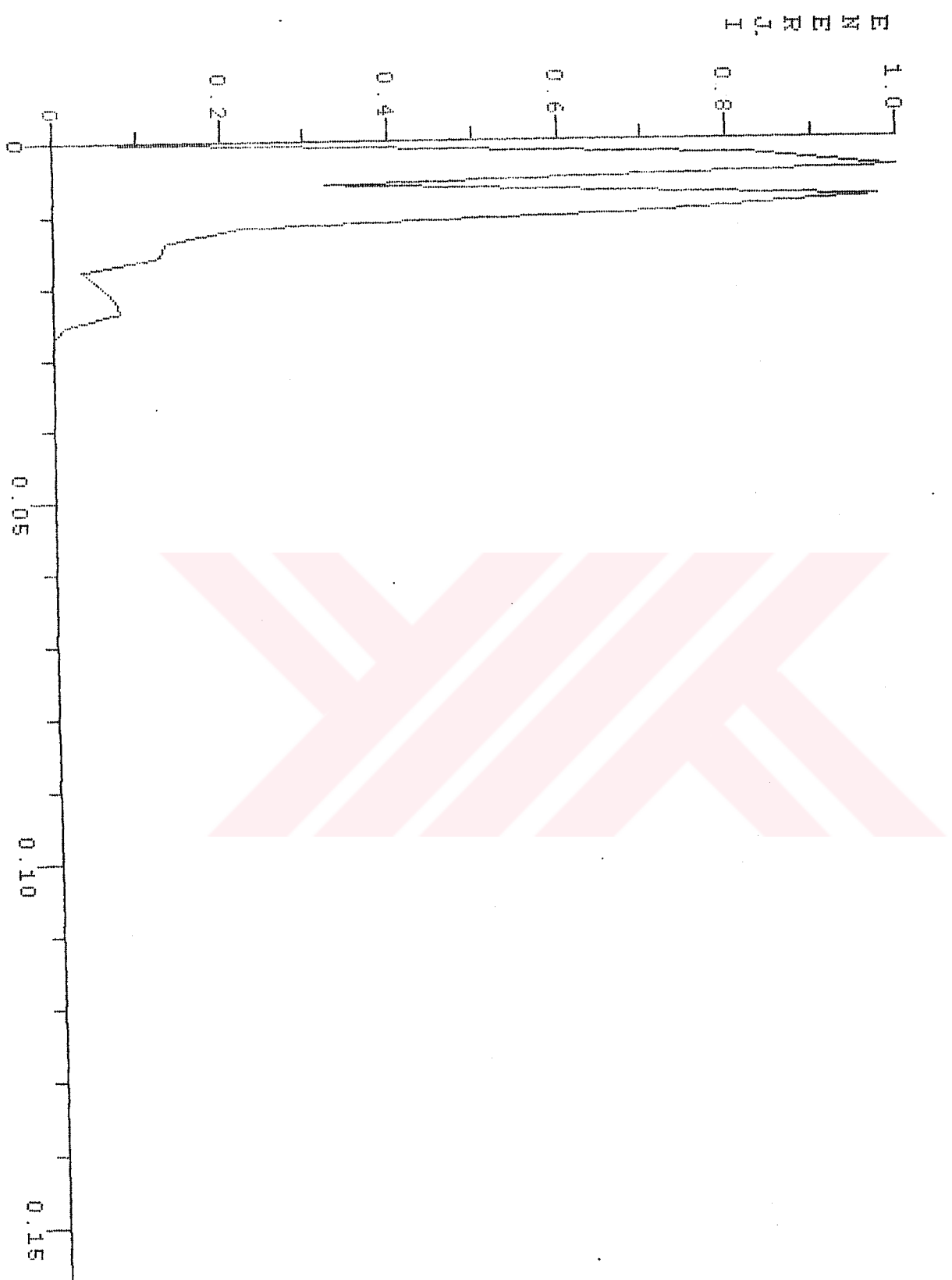
KS3NR4D3 (6 Subat-25 Subat)



K33NR4.HP FILTRE

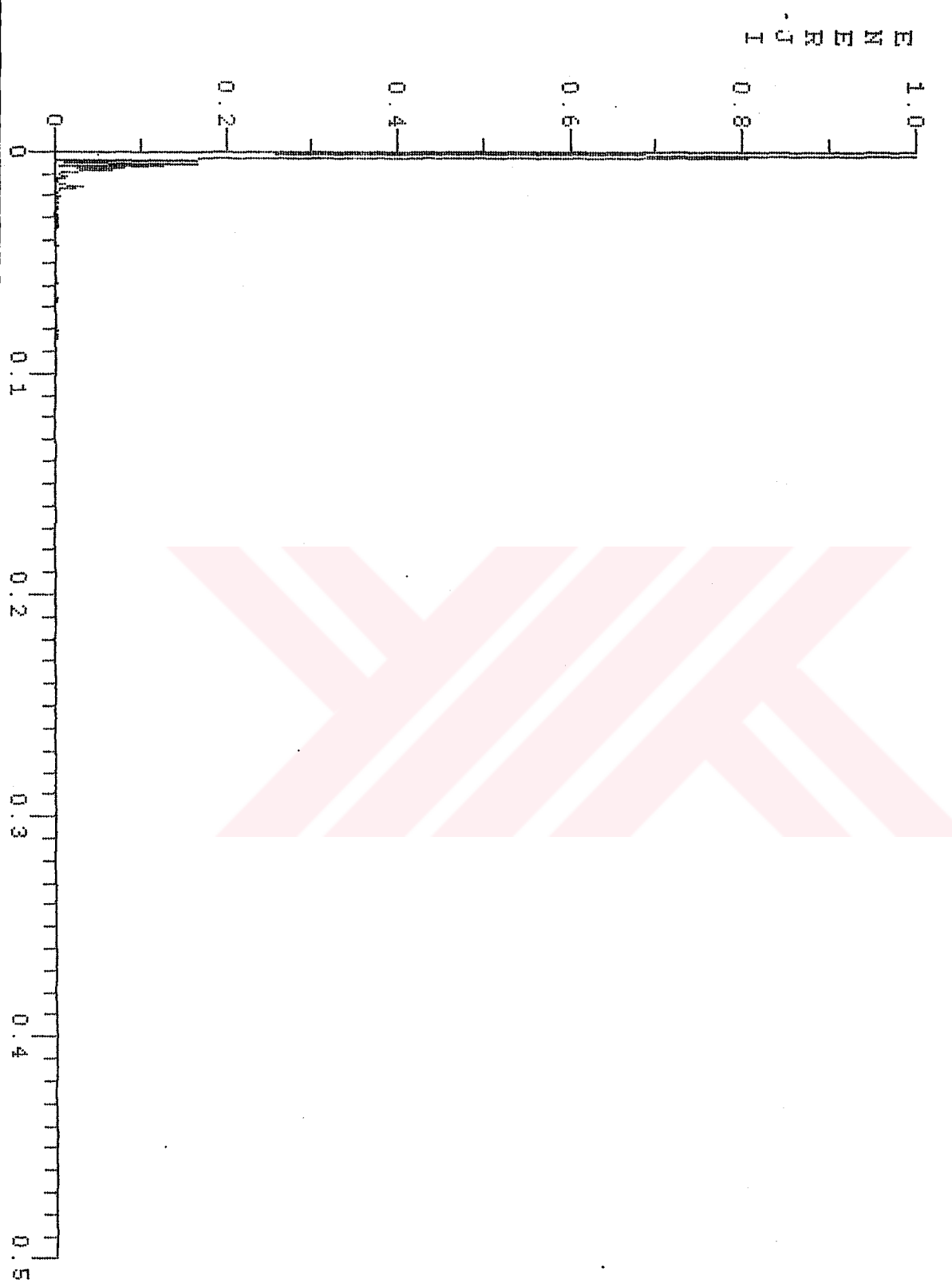


KS3NR4.LP FILTRE

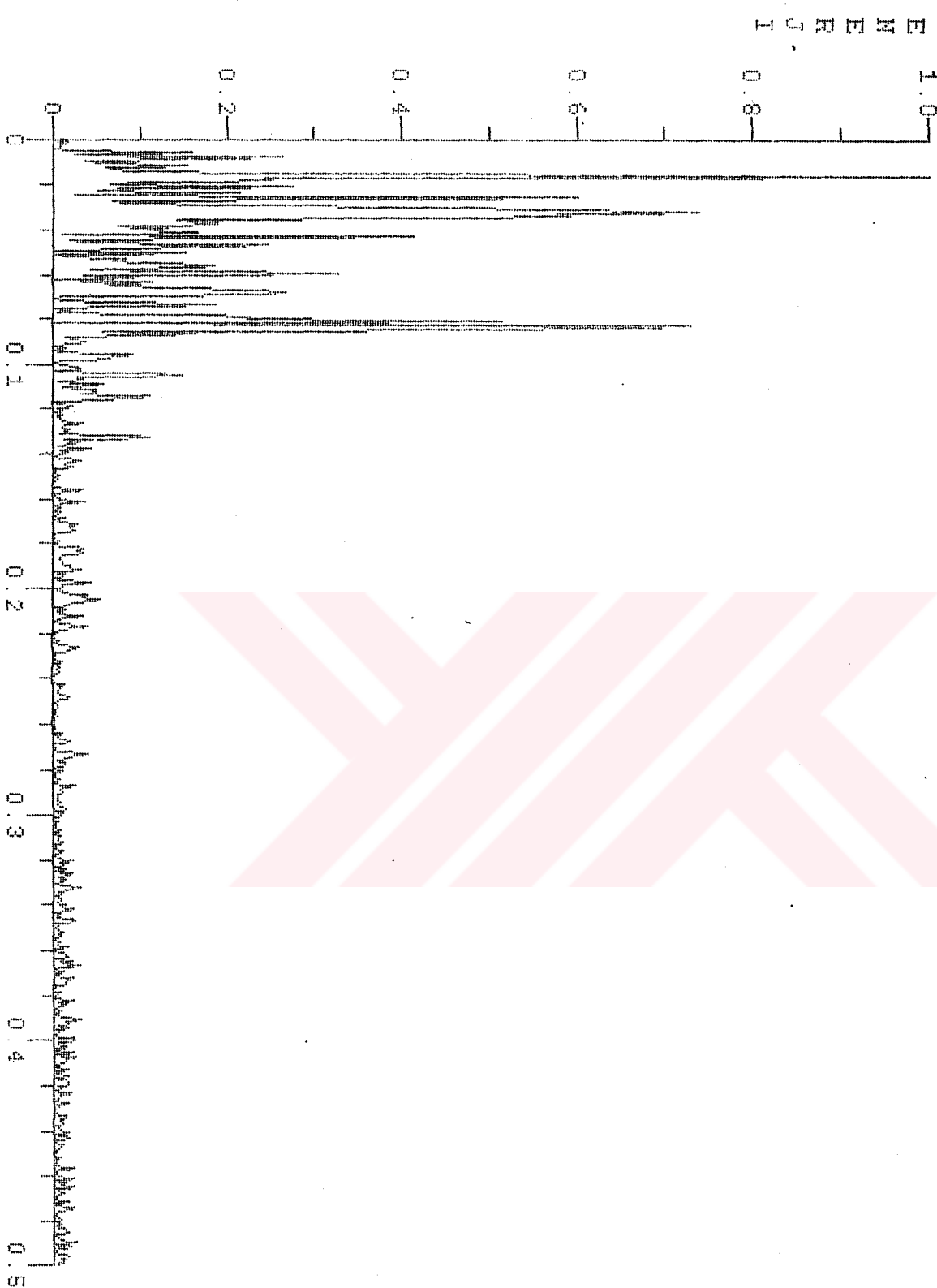


ANADOLU KAVAGI Spektrum Grafiği

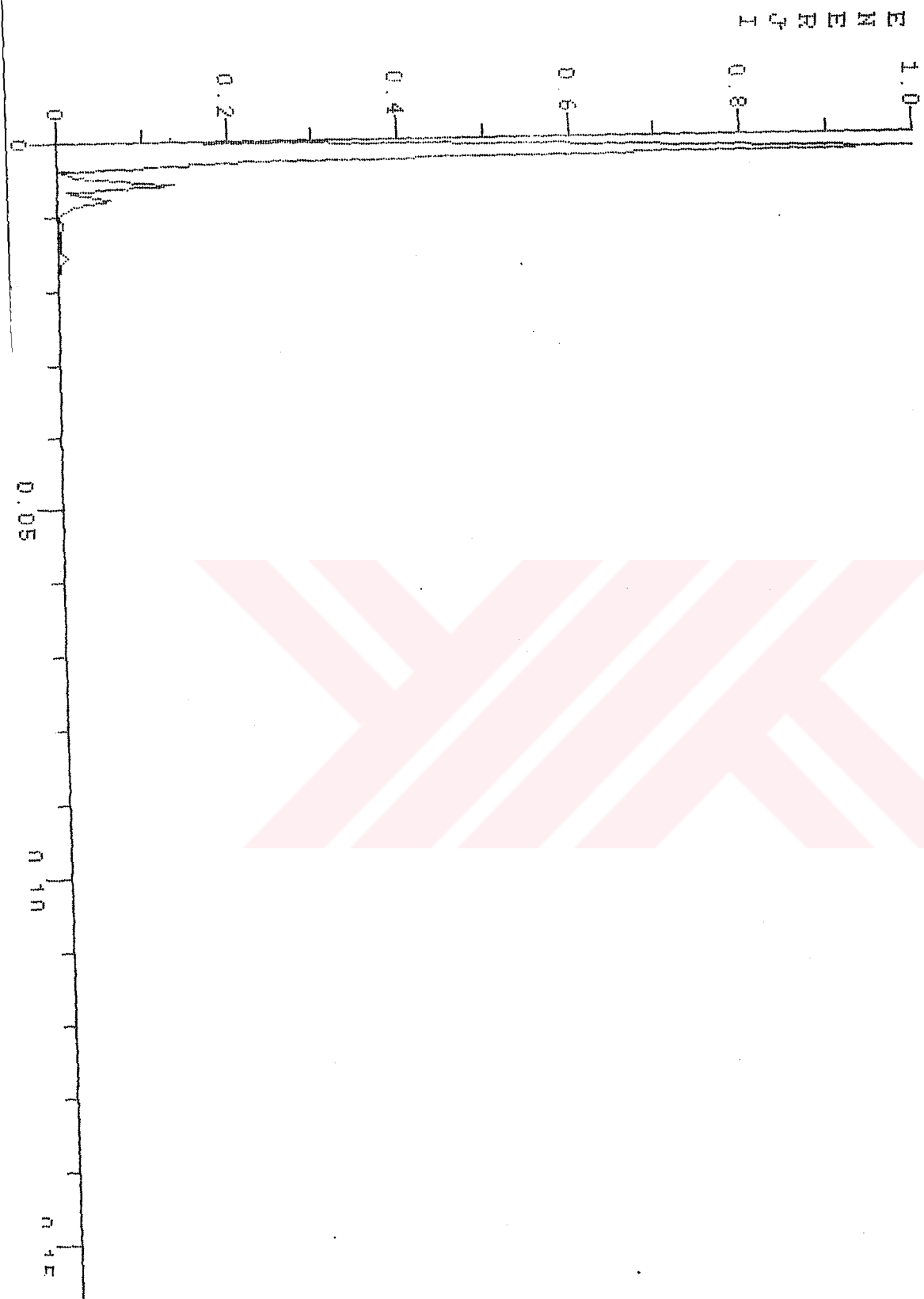
KG5NR2D5 (25 Şubat - 6 Nisan)



KGSNR2.HP FILTRE

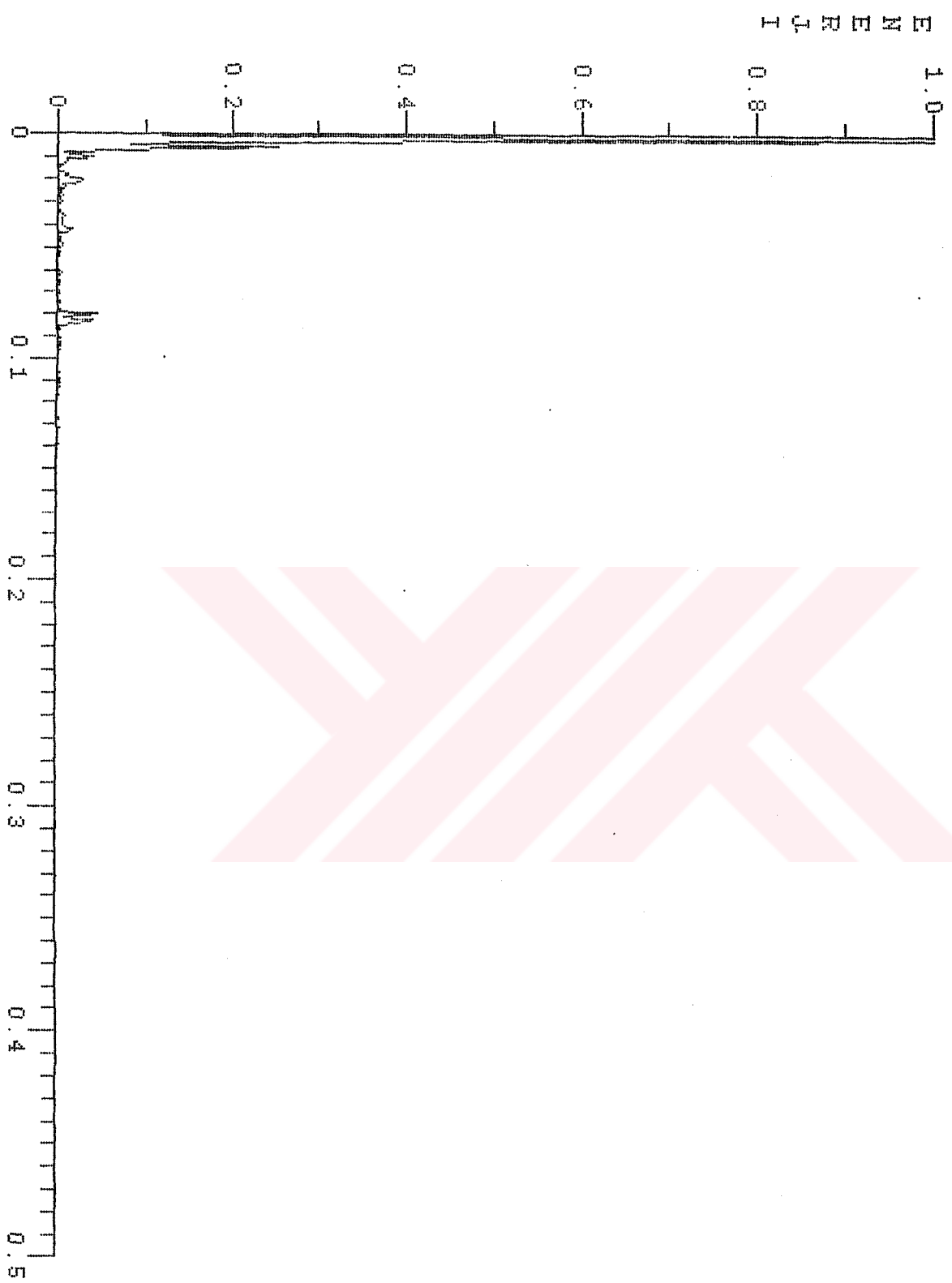


KGSNR2 . LP FILTRE

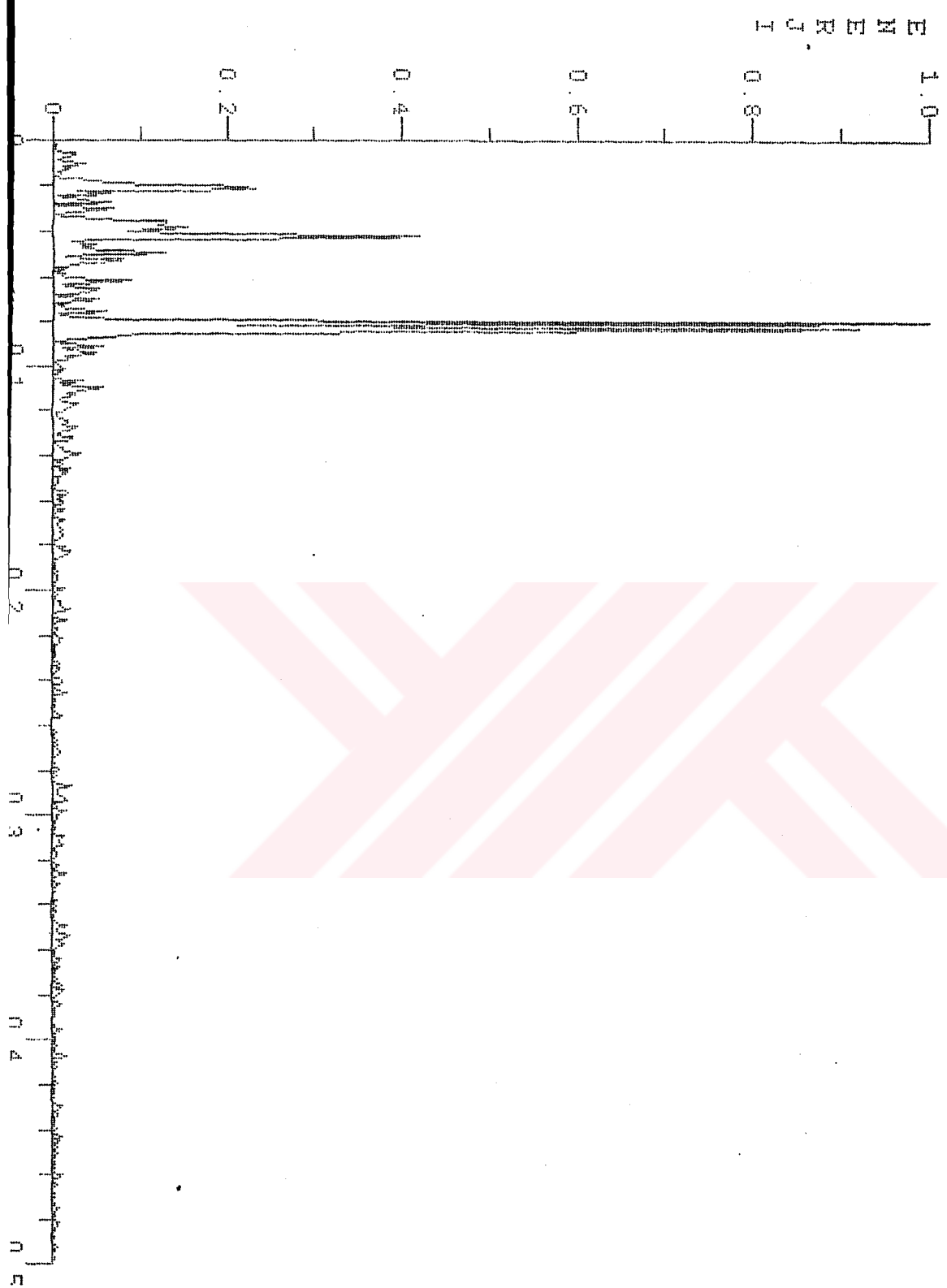


ANADOLU RAVAGI Spektrum Grafigi

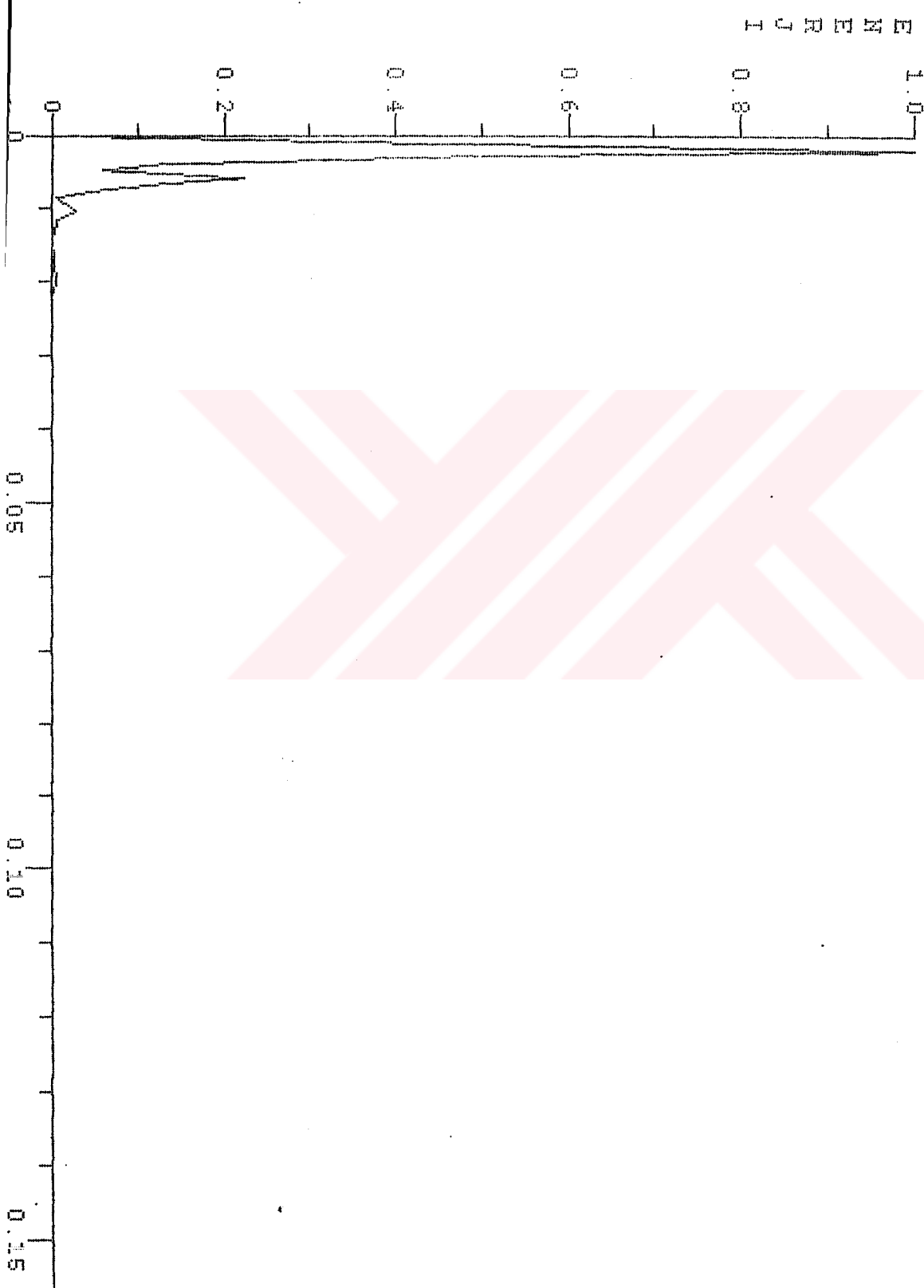
KG5NR1D5 (25 Subat-6 Nisan)



KG5MP1.HP FILTRE

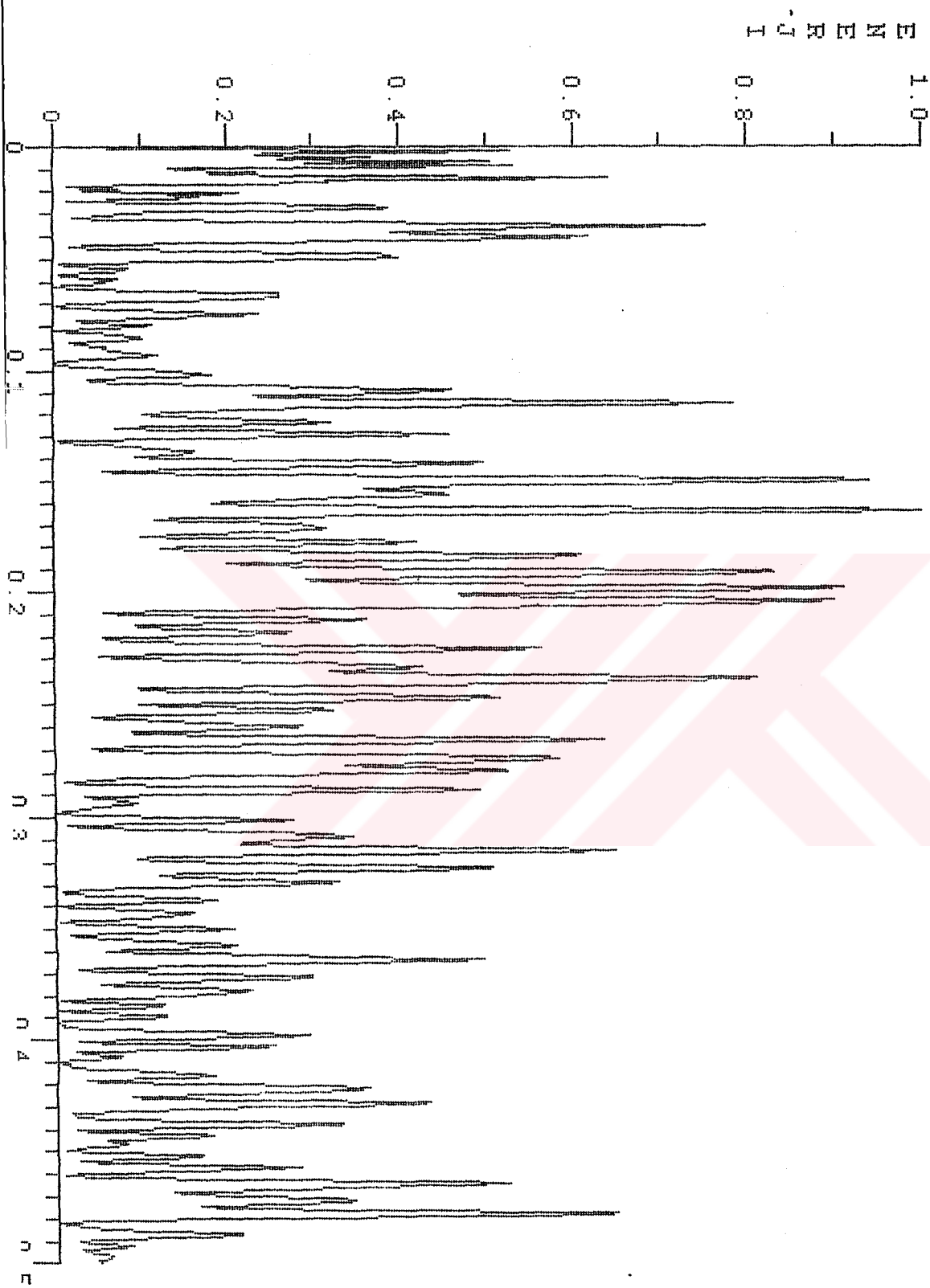


KOSNRLP FILTRE



BALTALIMANI Spektrum Grafigi

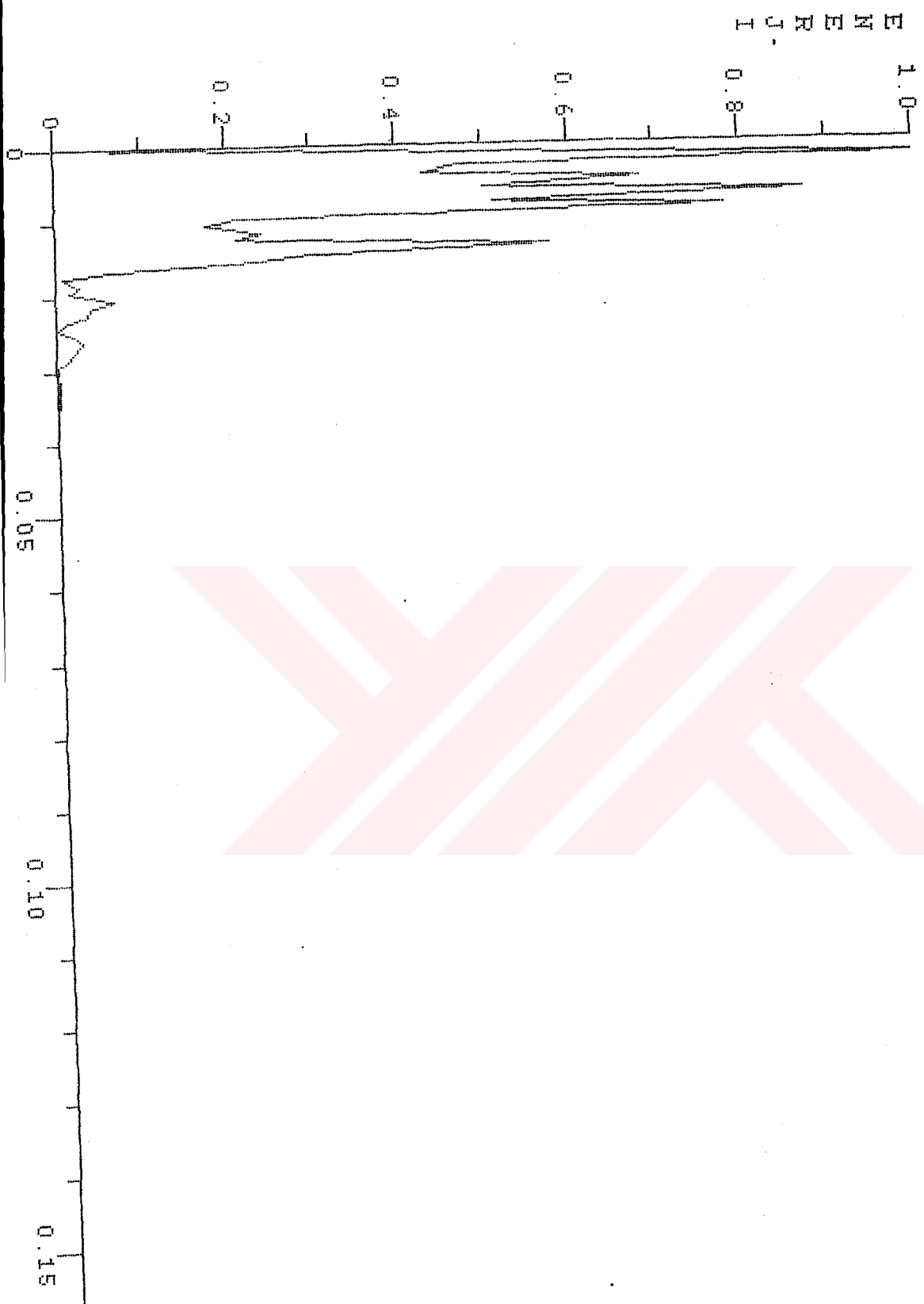
BL5NR3D5 (25 Subat-6 Nisan)



B15MRS.HP FILTRE



BL5MR3.LP FILTRE

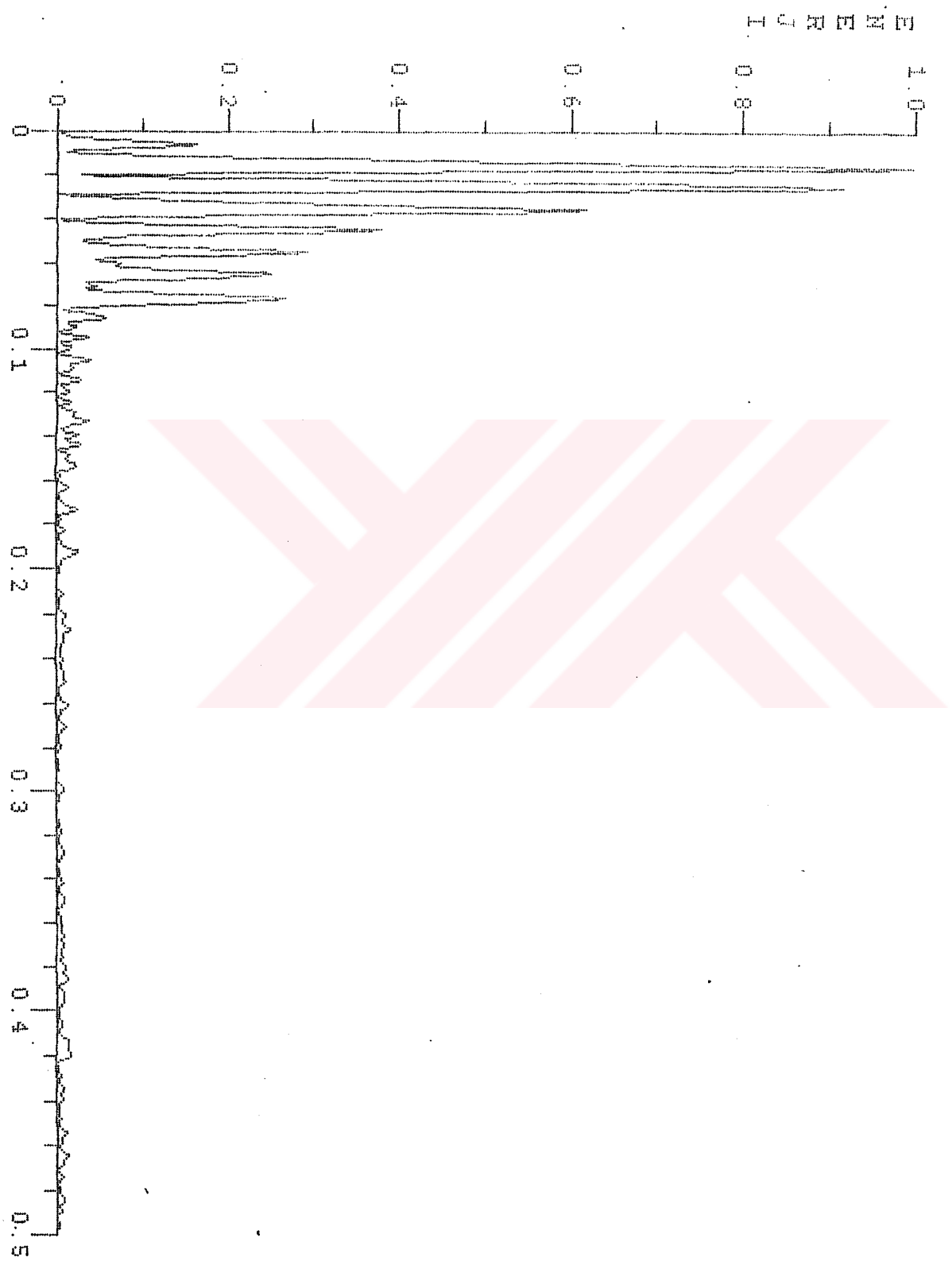


BALTALIMANI Spektrum Grafigi

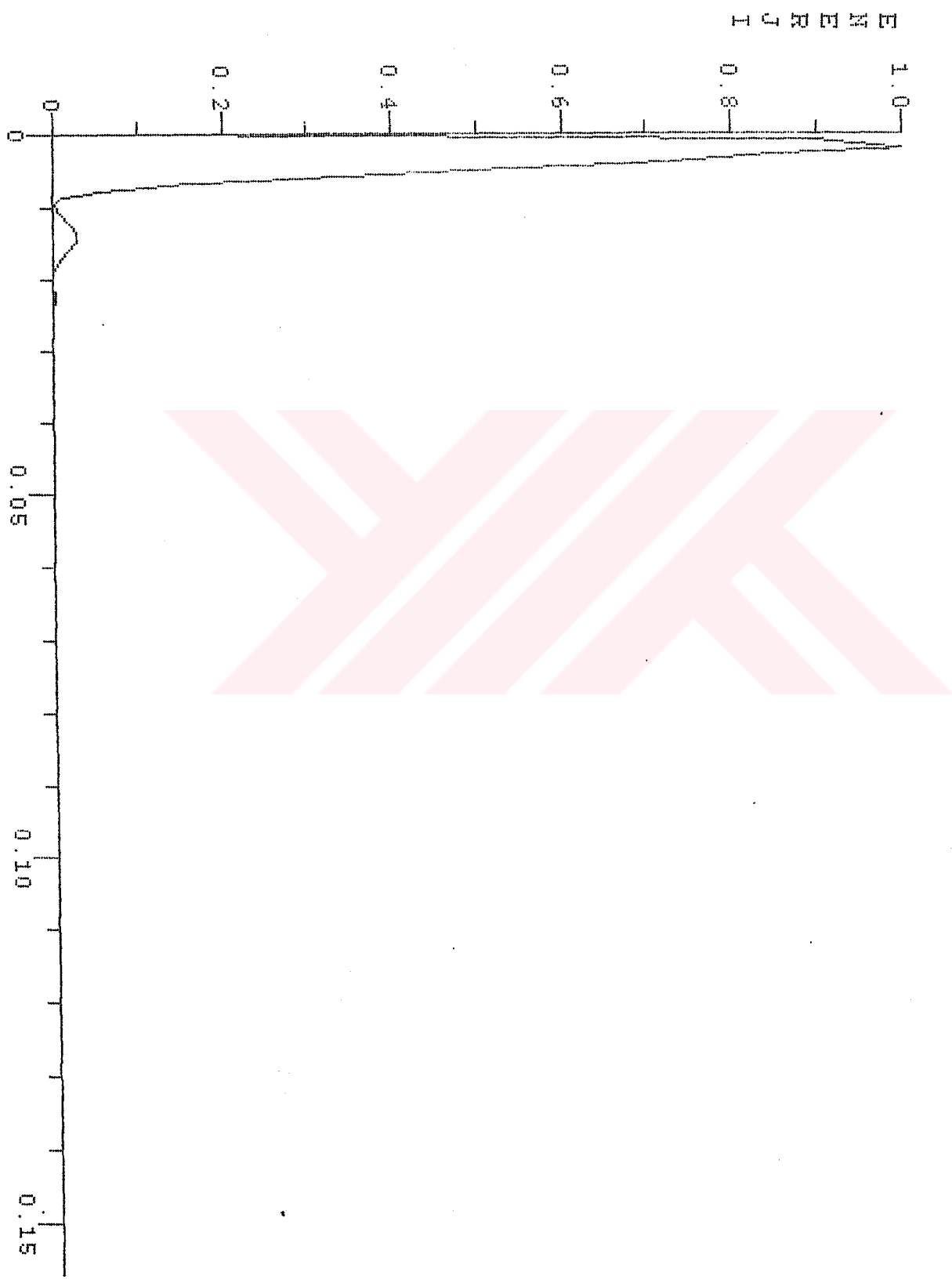
BL5NR2D5 (25 Subat-6 Nisan)



BL5NR2.HP FILTRE

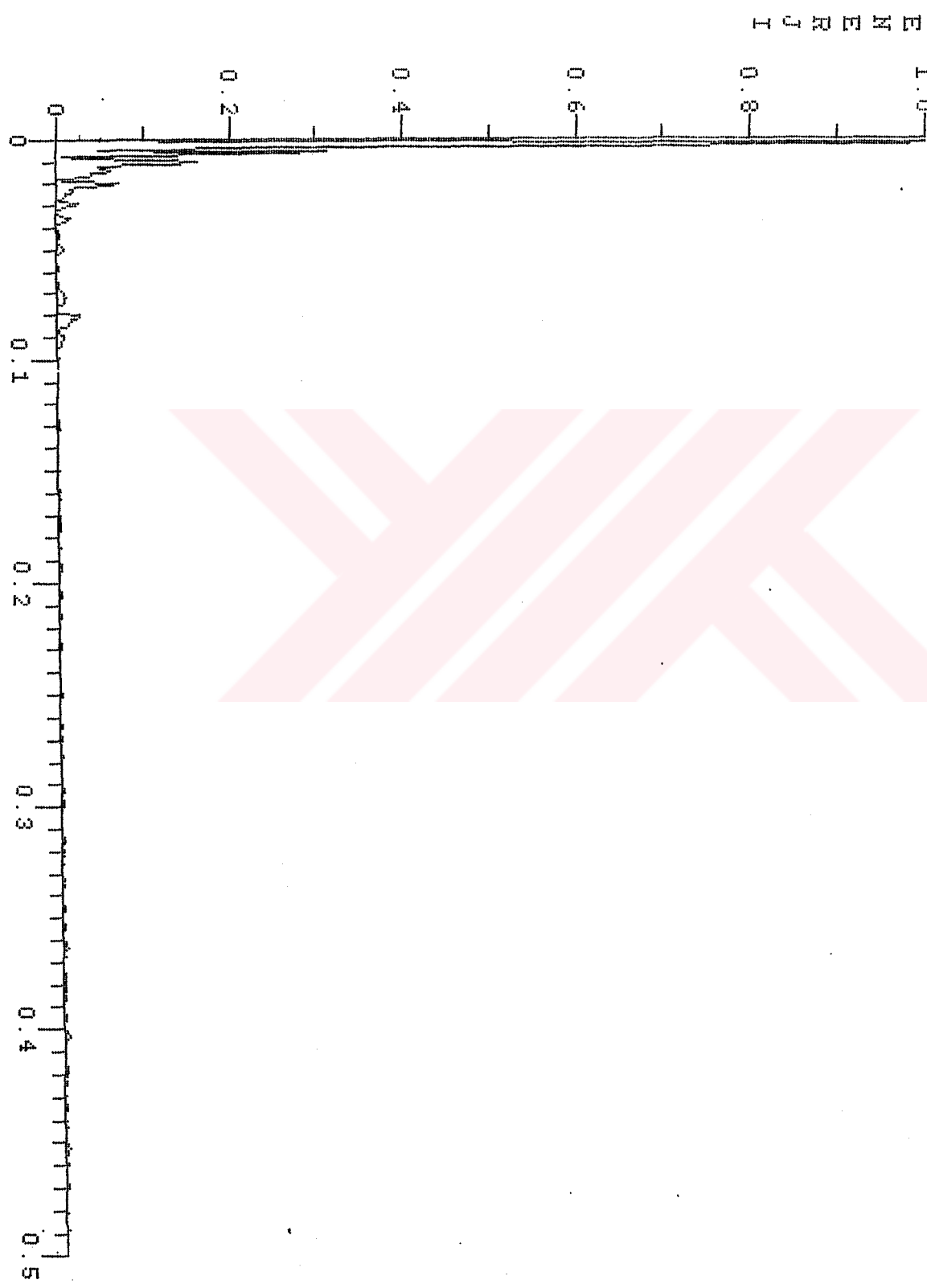


BL5NR2.LP FILTRE



BALTALIMANİ Spektrum Grafiği

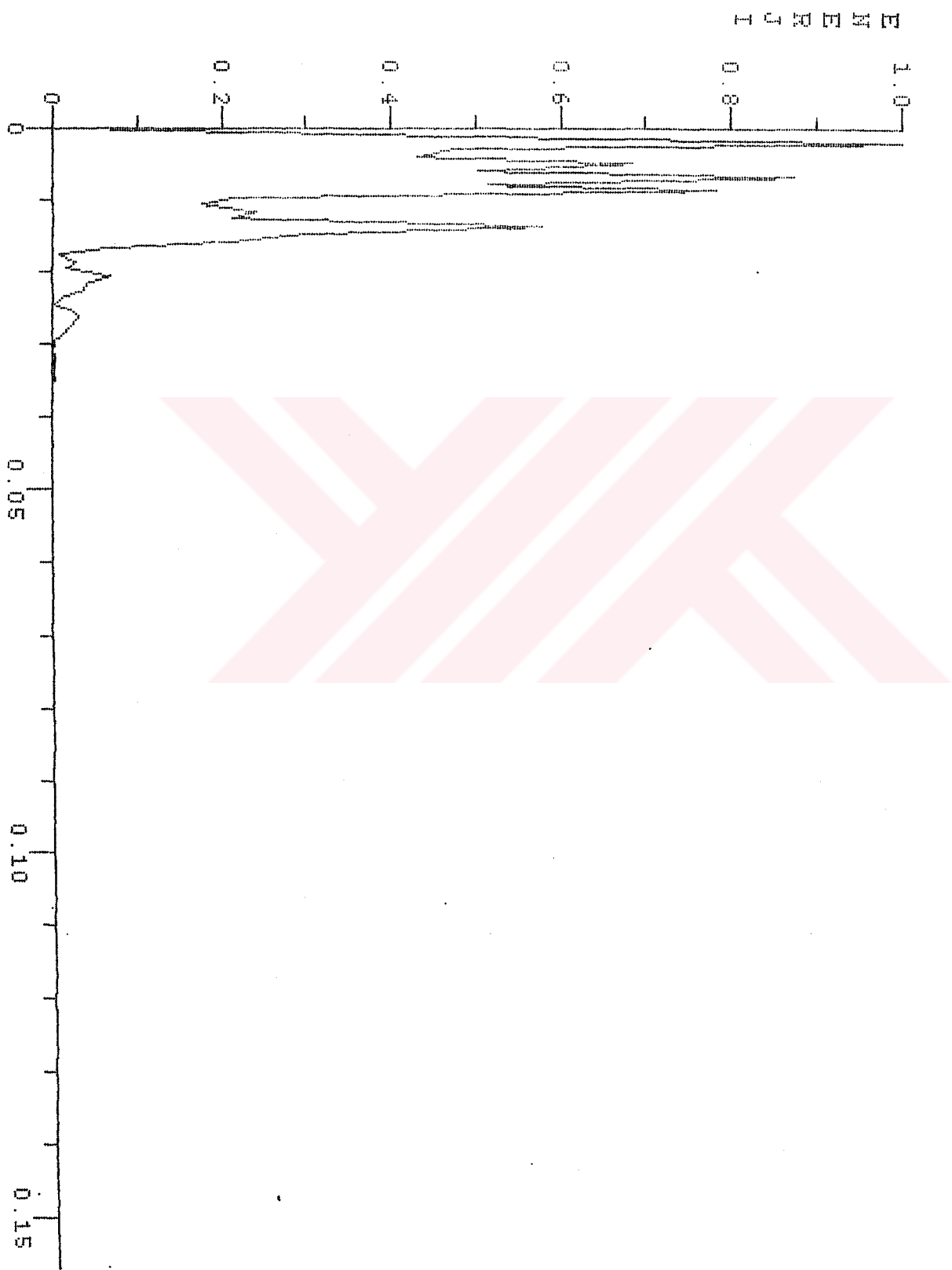
BL5NR1D5 (25 Şubat - 6 Nisan)



BL5MR1, HP FILTRE



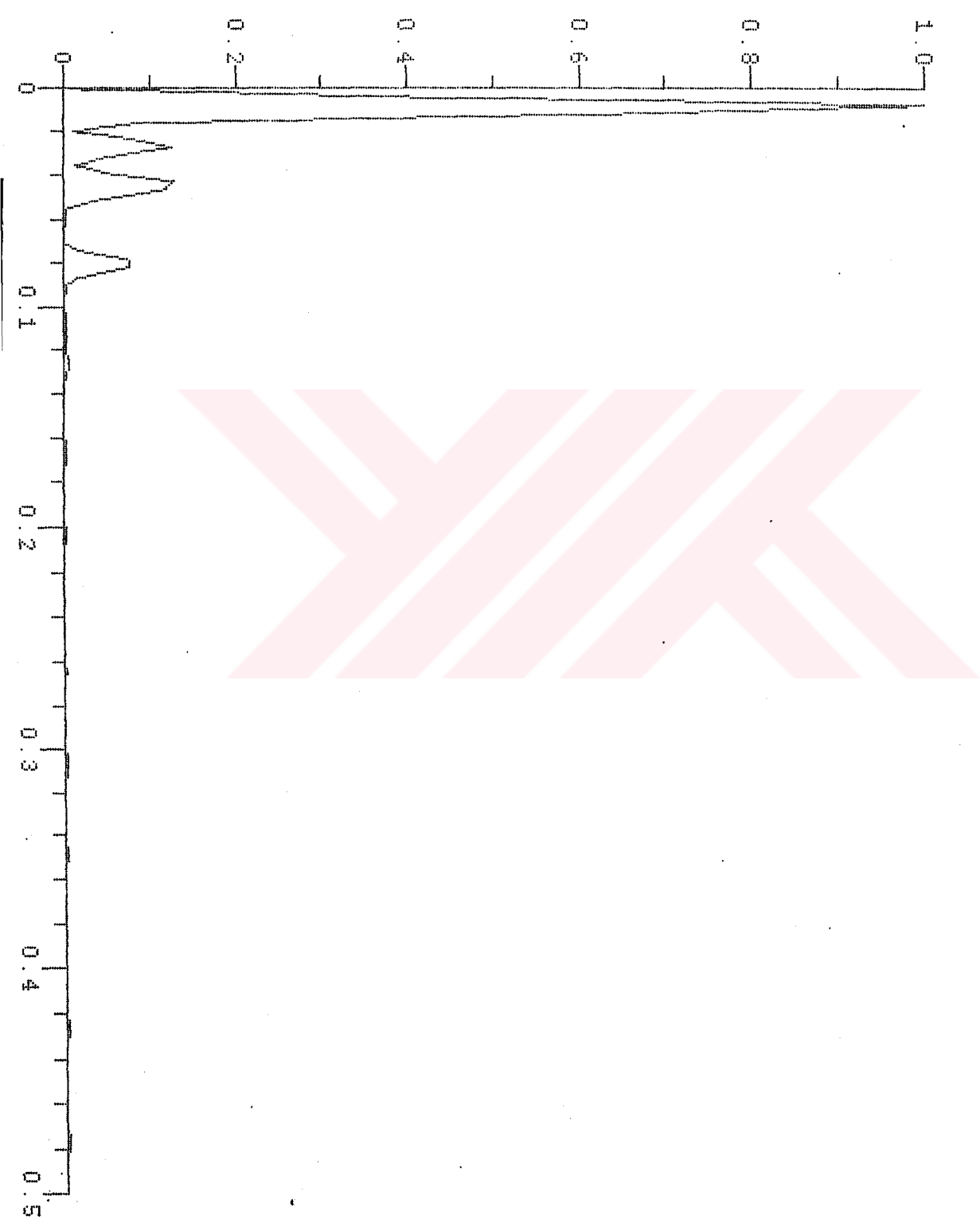
BLSNR1.LP FILTER



POYRAZKOV (3) SPEKTRUM GRAFIKI

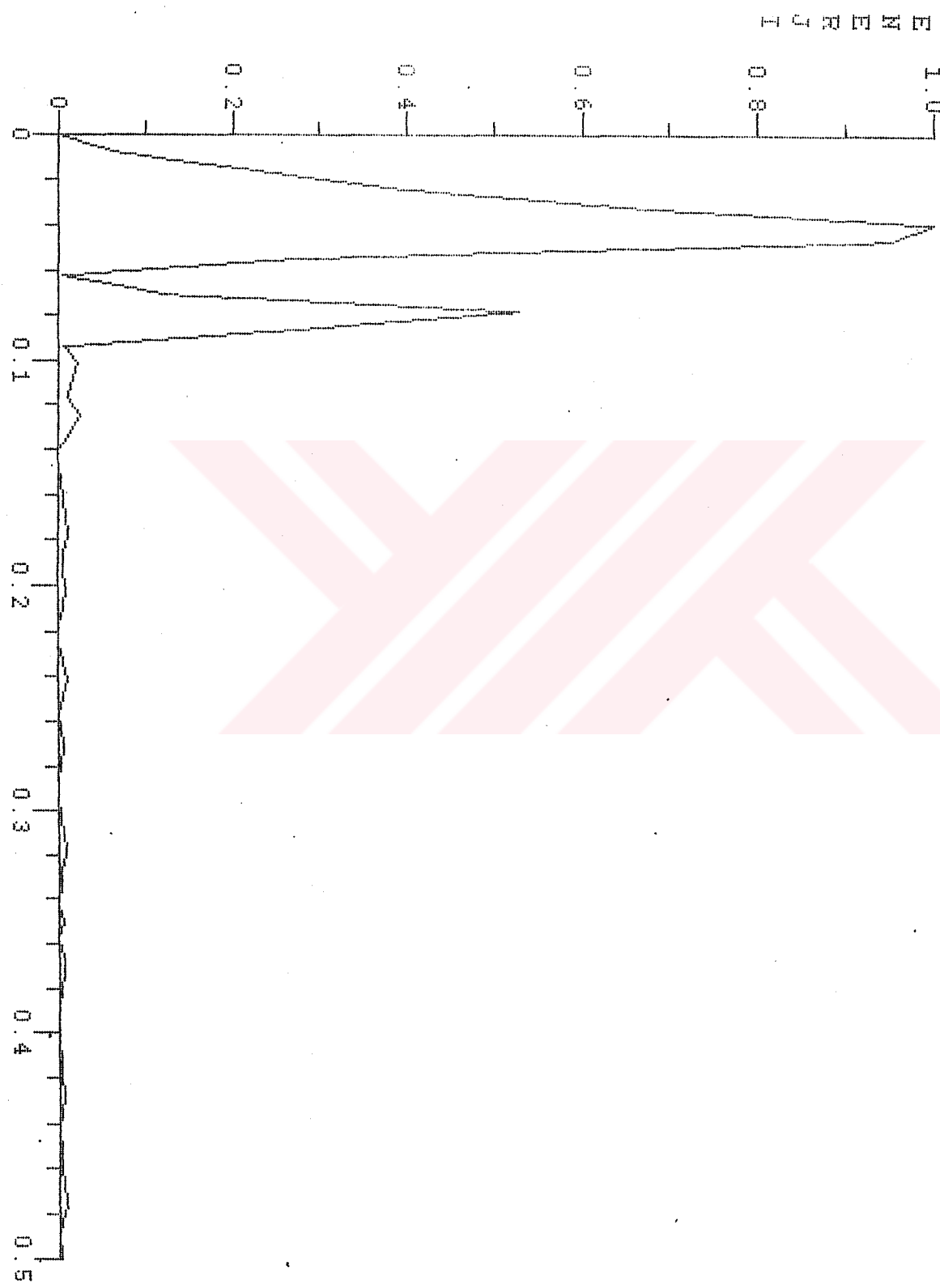
4/08/1985 - 9/08/1985

И Е Д Г М



POY3.HP

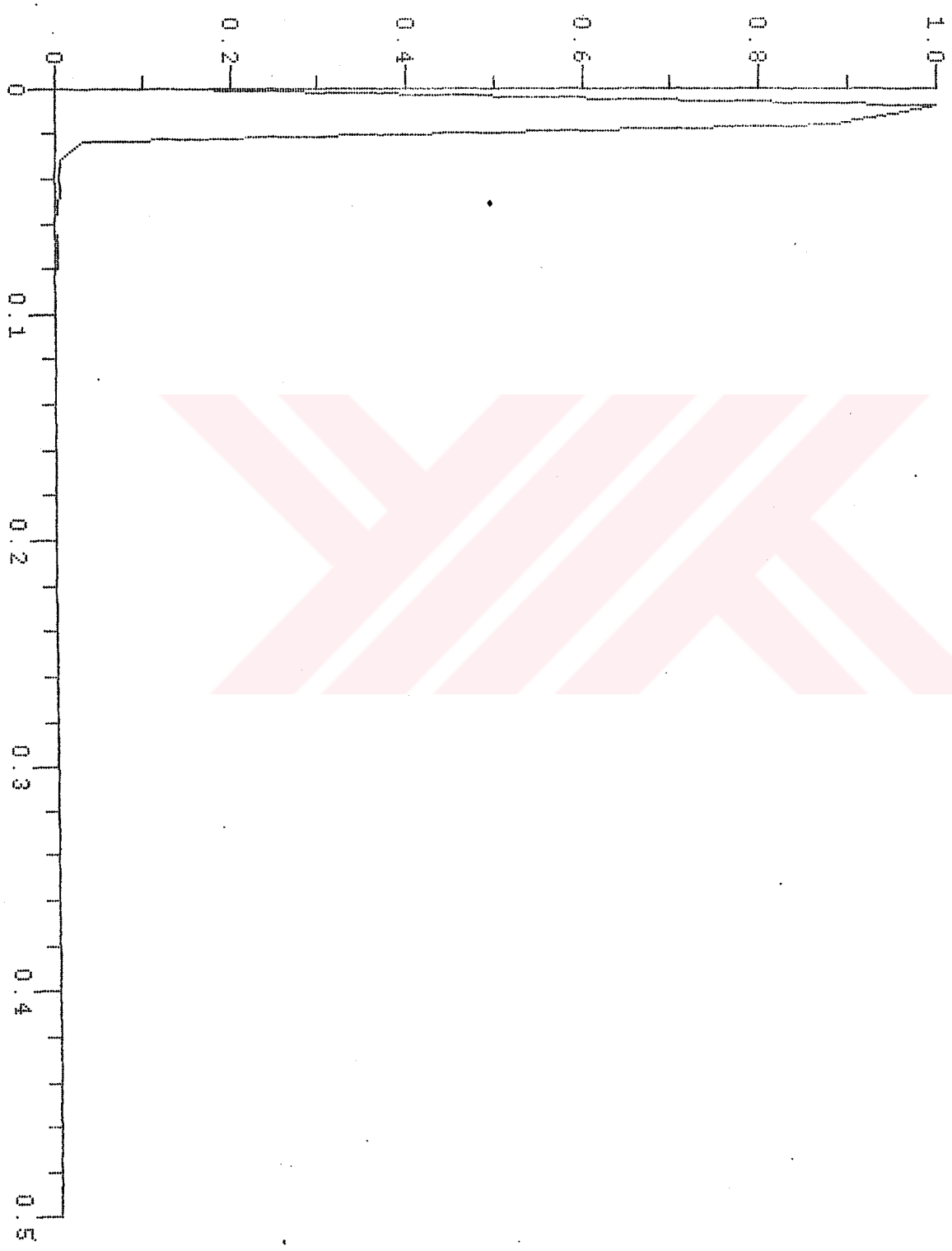
4/08/1985-9/08/1985



POY3.LP

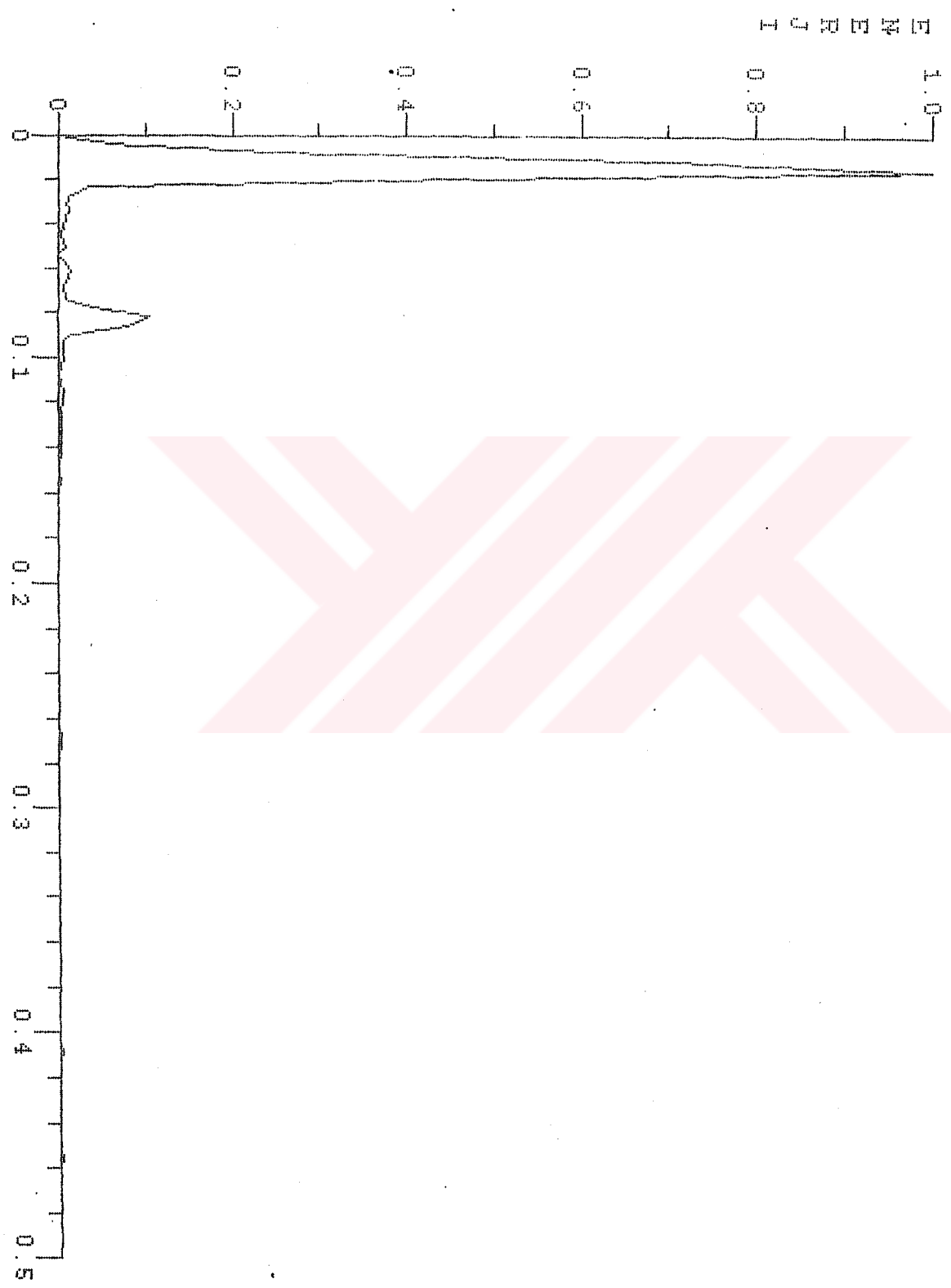
4/08/1985-9/08/1985

E N E R G Y



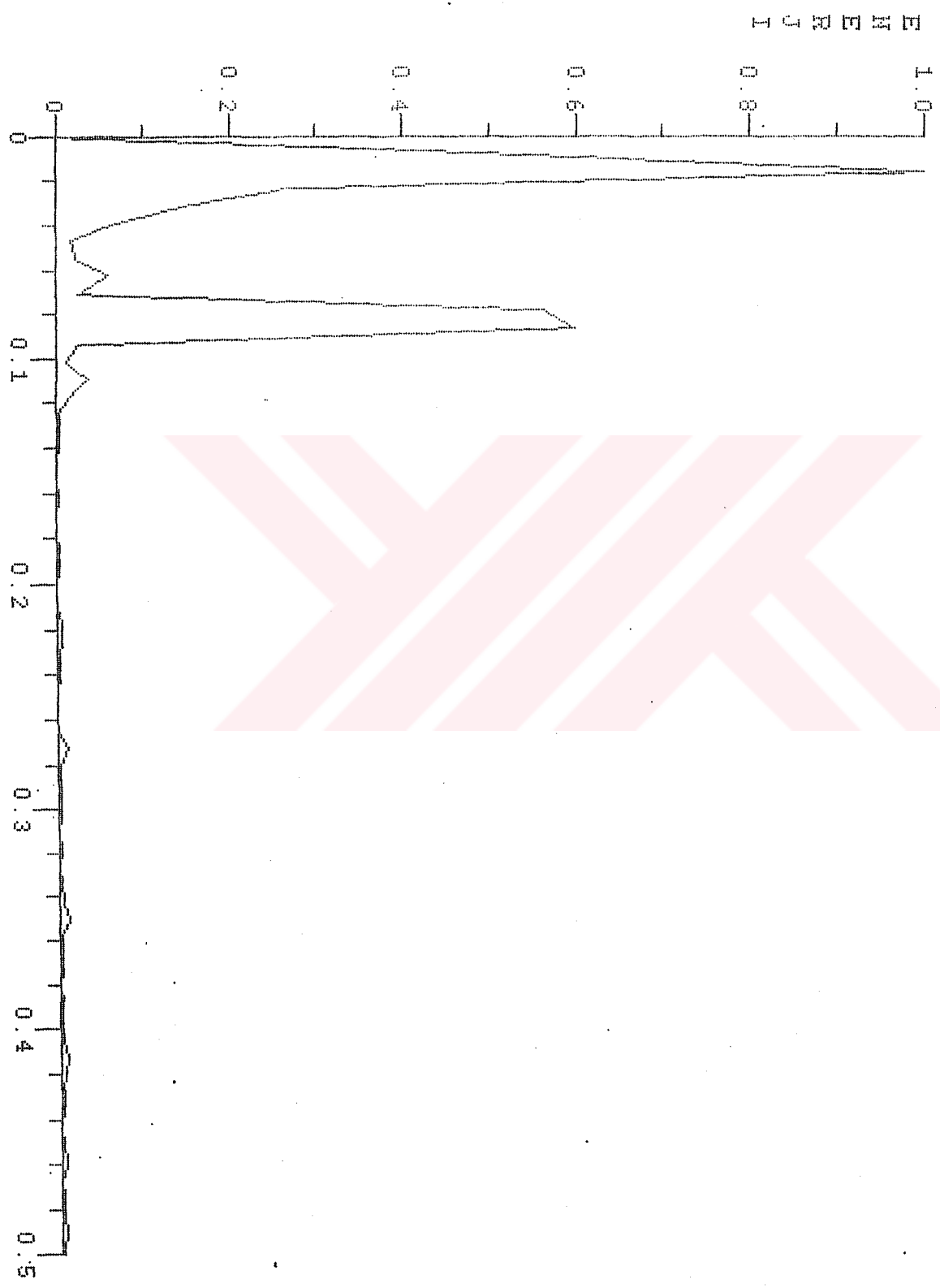
KUMKAP (3) SPEKTRUM GRAFIKI

4/08/1985 - 9/08/1985



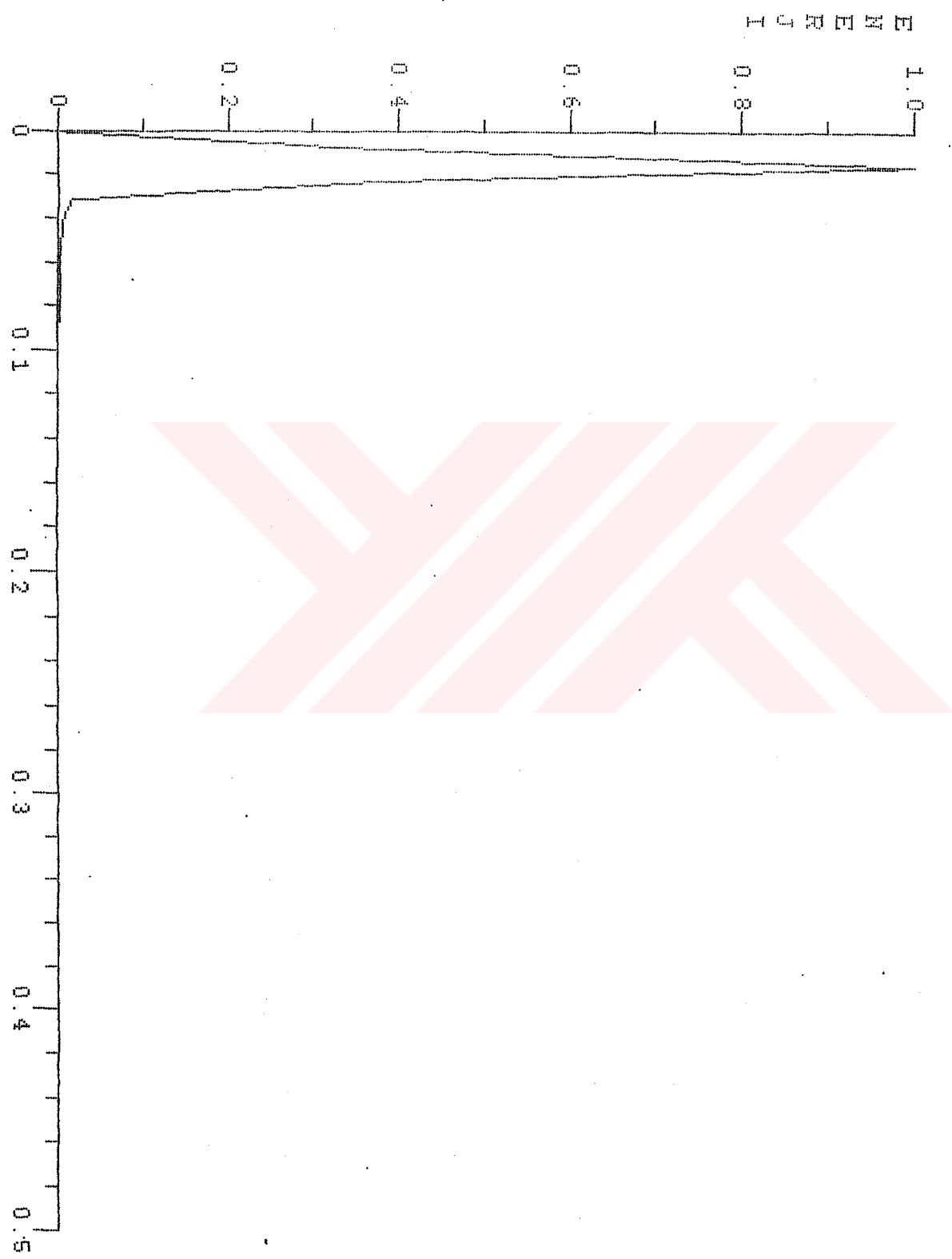
KKP 3 . HP

4/08/1985 - 9/08/1985



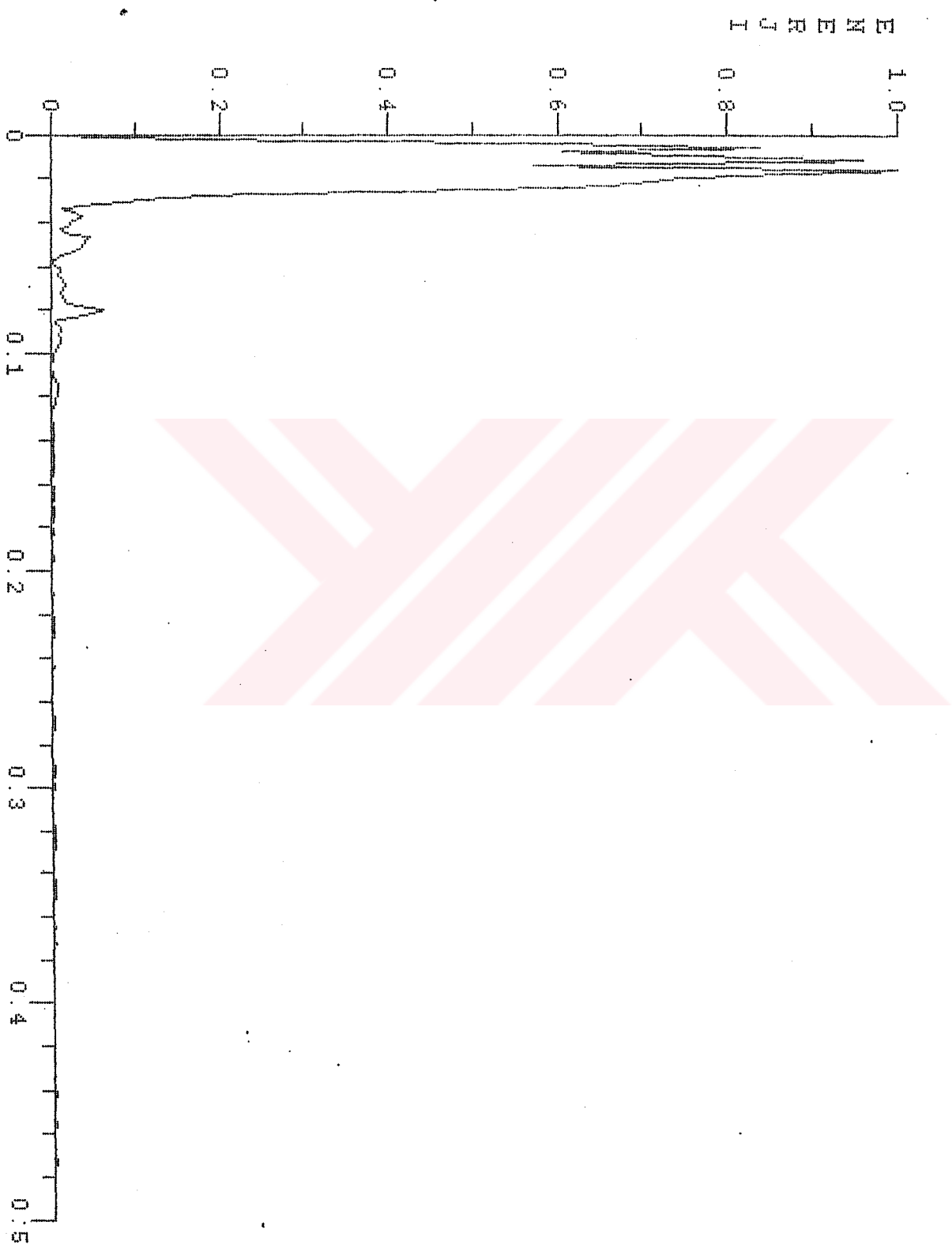
KKP3.LP

4/08/1985 - 9/08/1985



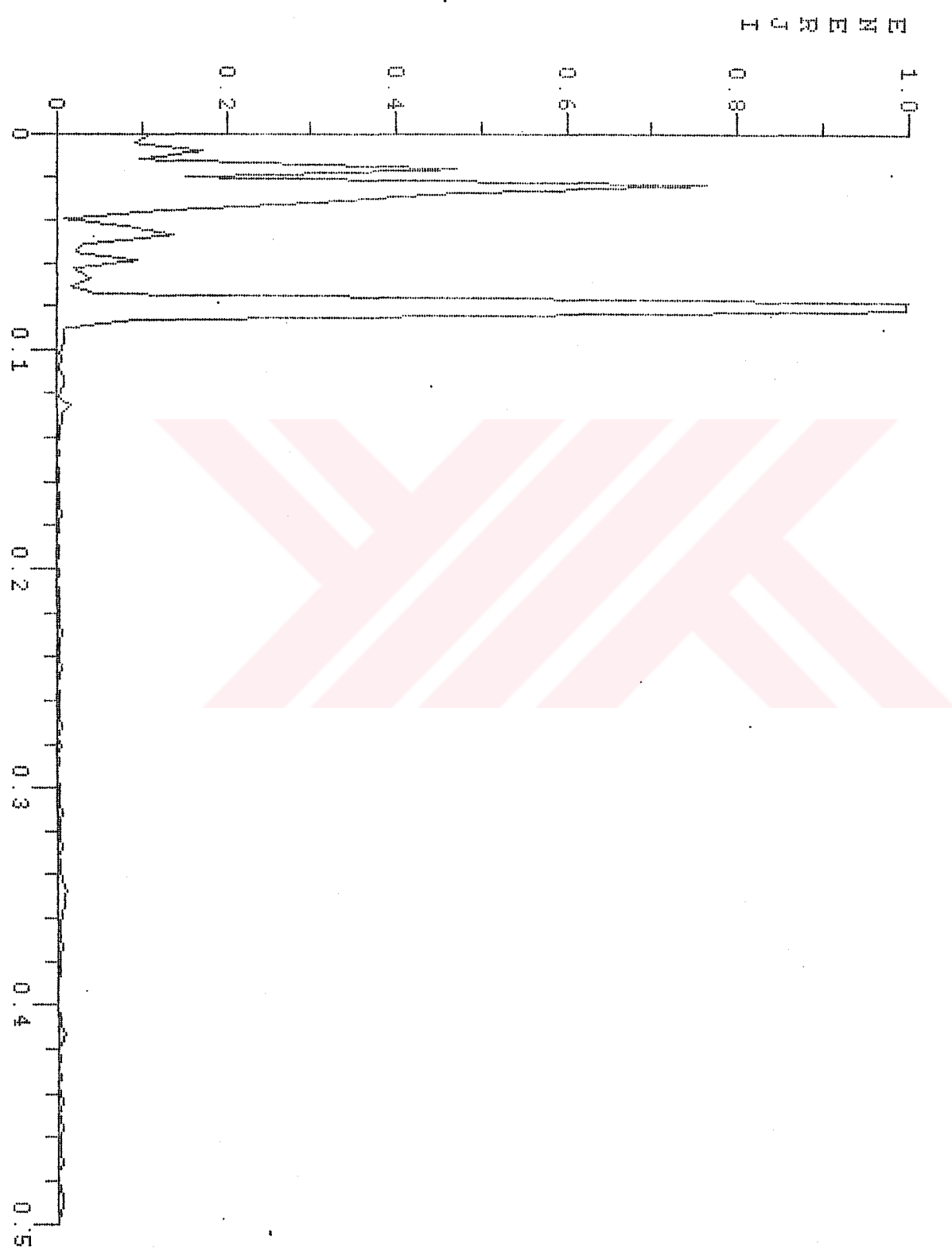
POYRAZKOV (4) SPEKTRUM GRAFIKT

26/01/1986 - 5/02/1986



POY4.HP

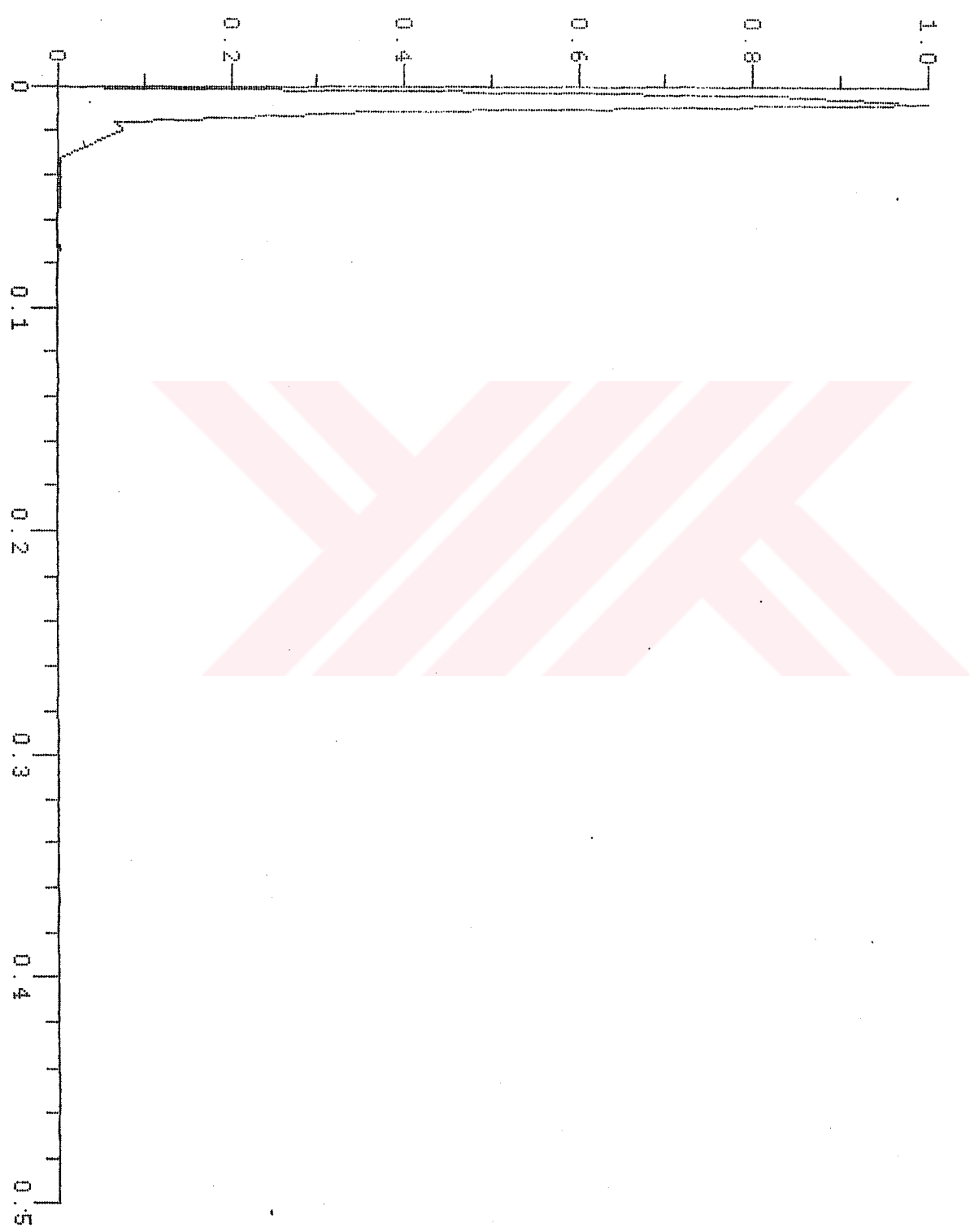
25/01/1986 - 5/02/1986



E0X4.LP

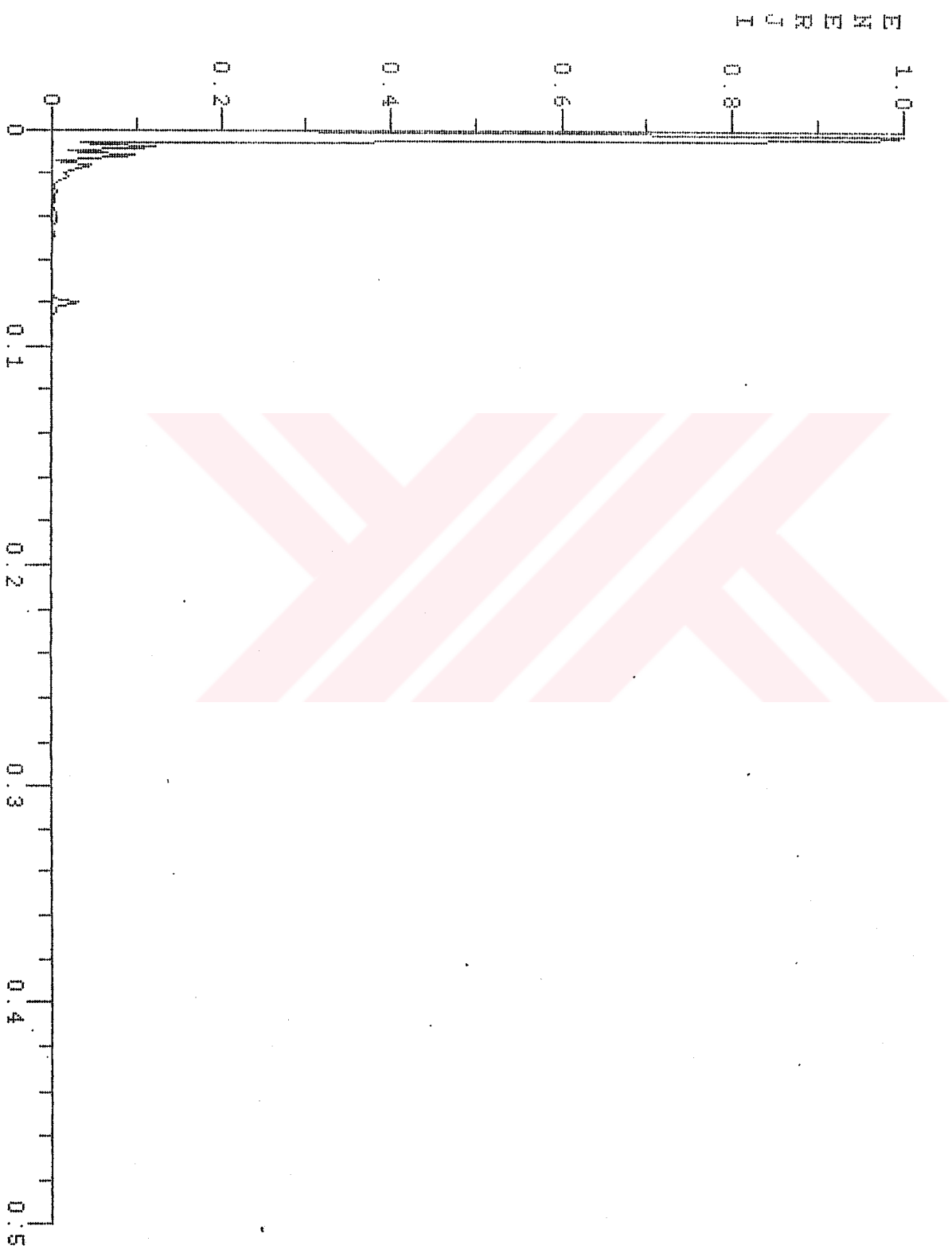
26/01/1986 - 5/02/1986

E N D R G H



POYFAZKOV (5) SPEKTRUM GRAFTI

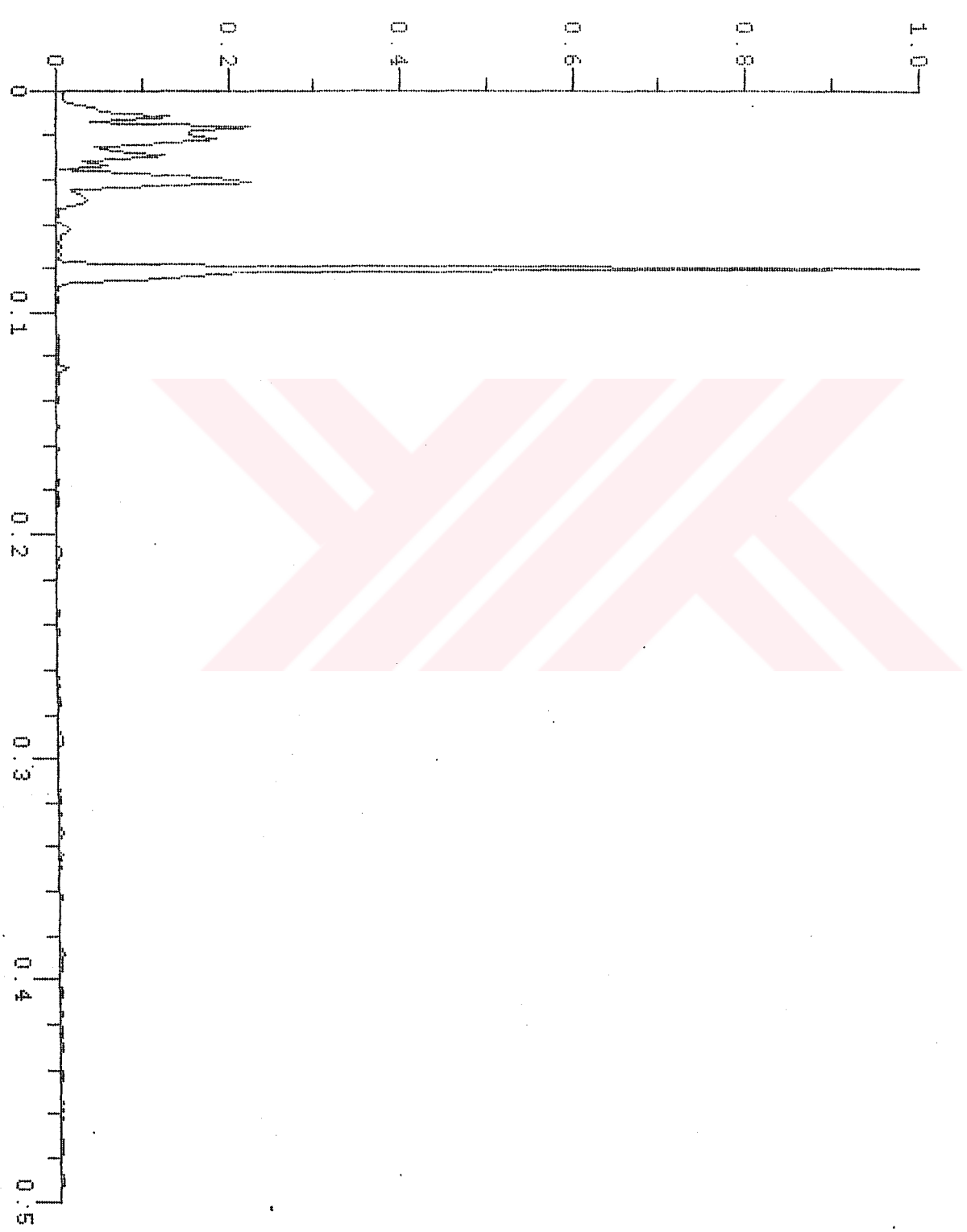
6/02/1986 - 25/02/1986



POY5.HP

6/02/1986 - 25/02/1986

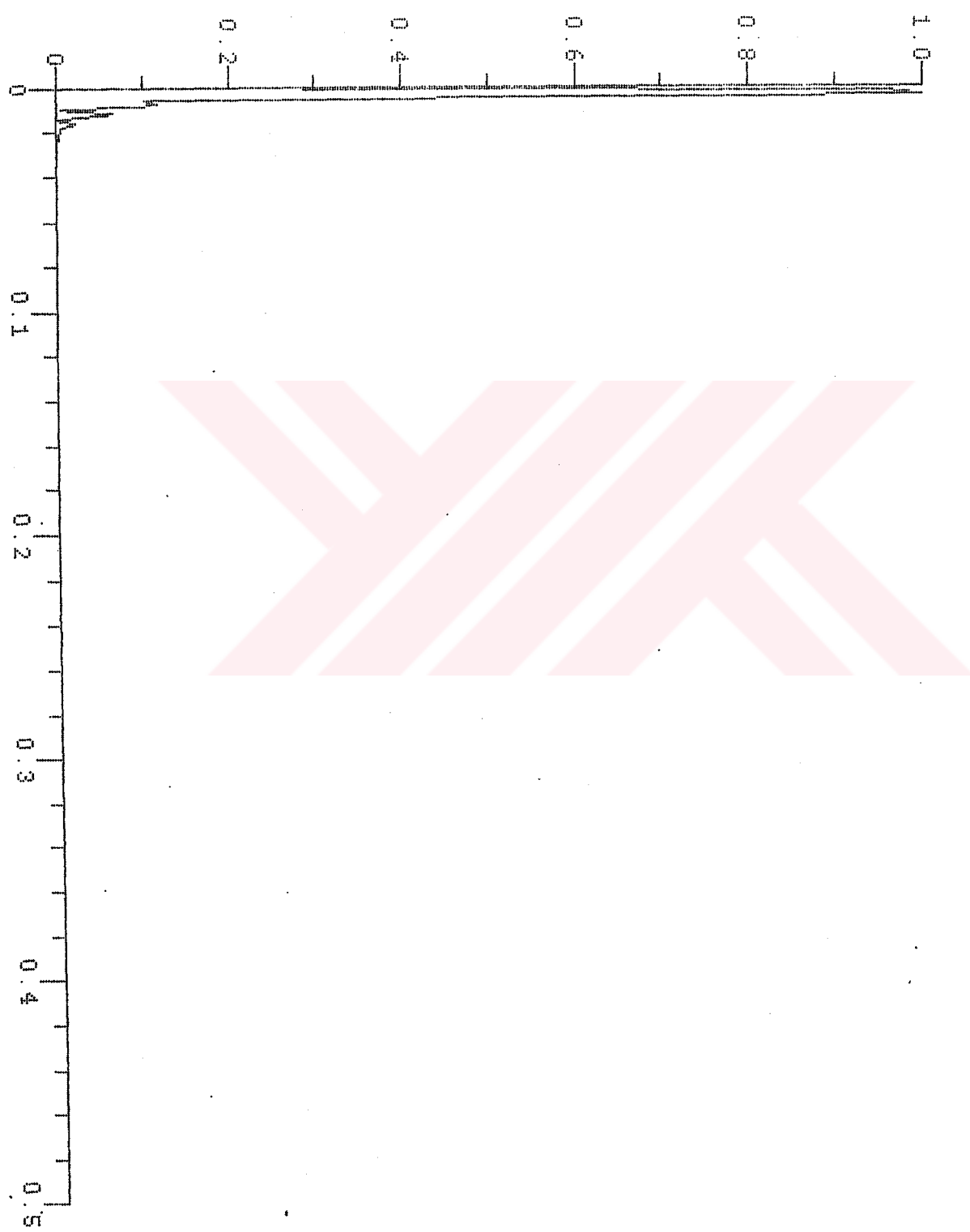
E N E T R I



POY5.LP

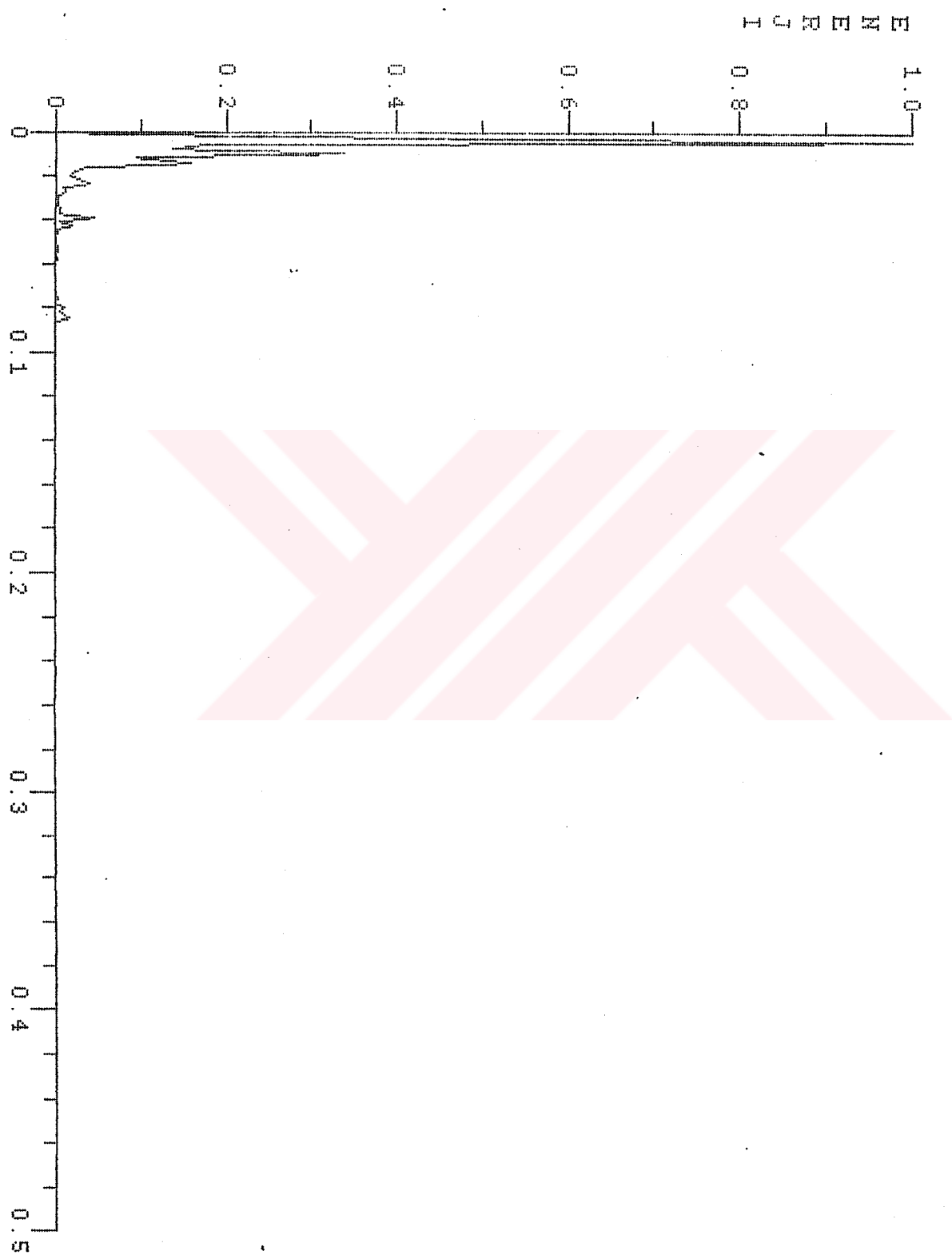
6/02/1986 - 25/02/1986

日 月 週 月 日
1.0
0.8
0.6
0.4
0.2
0



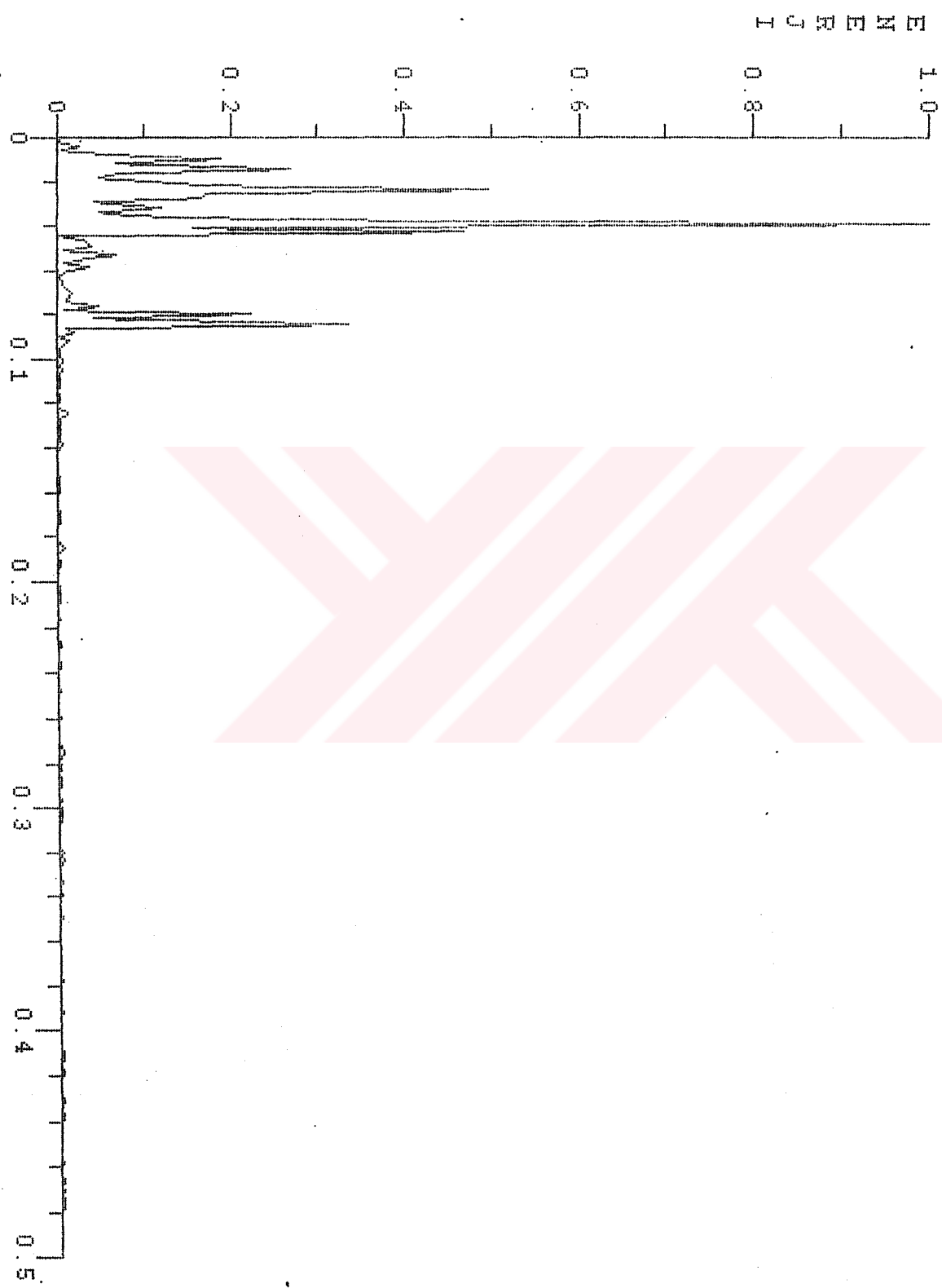
KNIKAFT (5) SPEKTRUM GRAFIKI

6/02/1986 - 25/02/1986



KKP5.HP

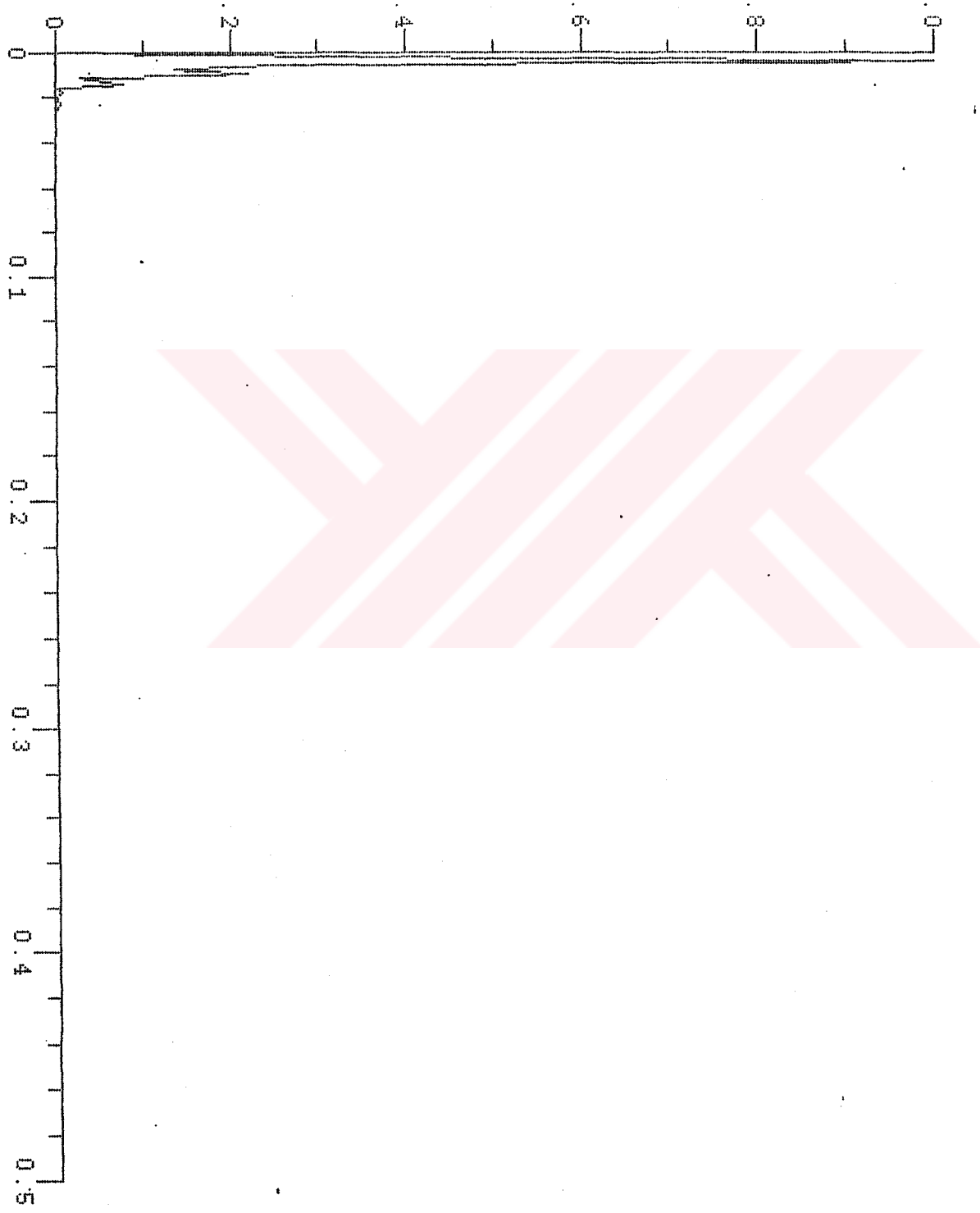
6/02/1986 - 25/02/1986



KRPS.LP

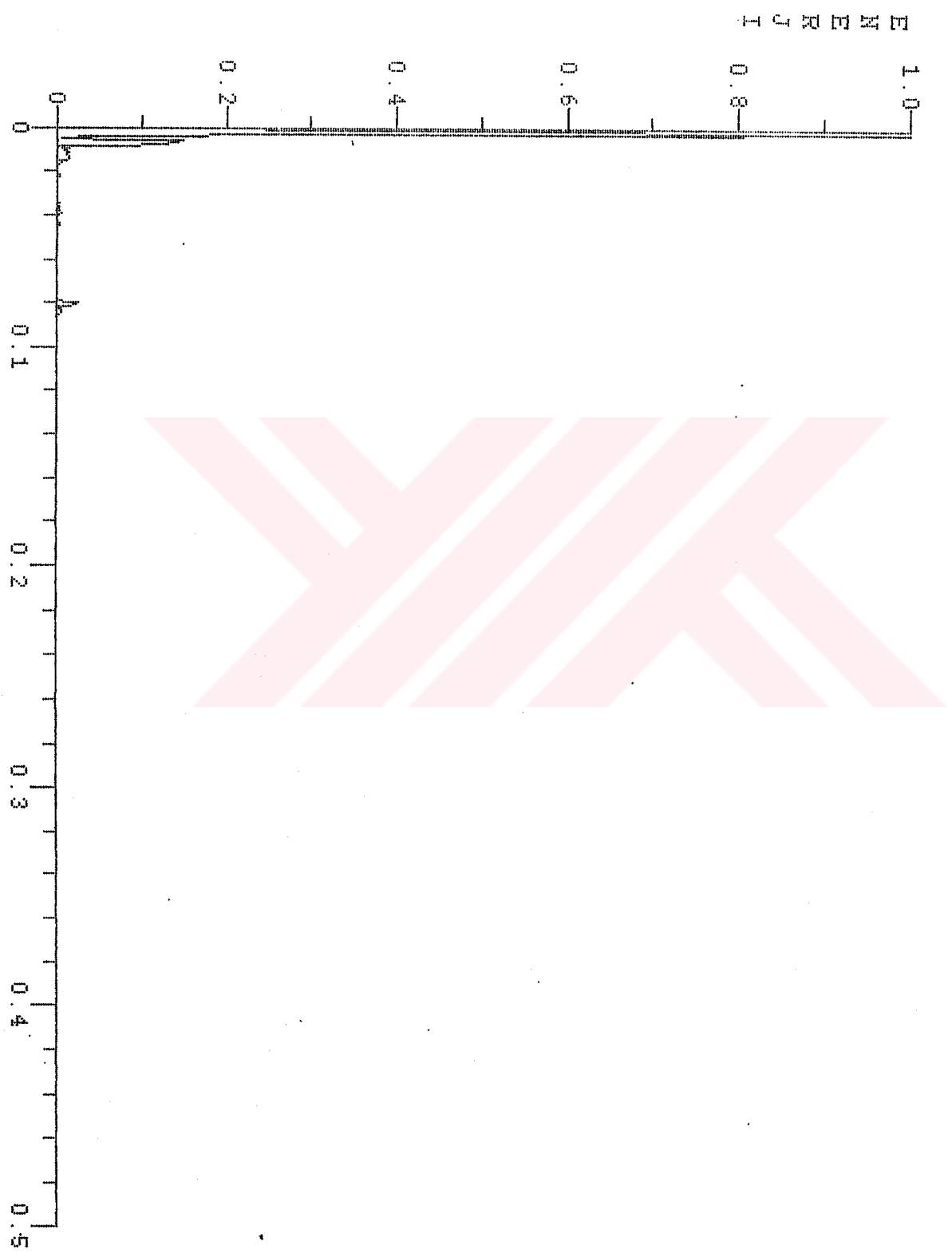
6/02/1986 - 25/02/1986

E
H
E
R
J
I



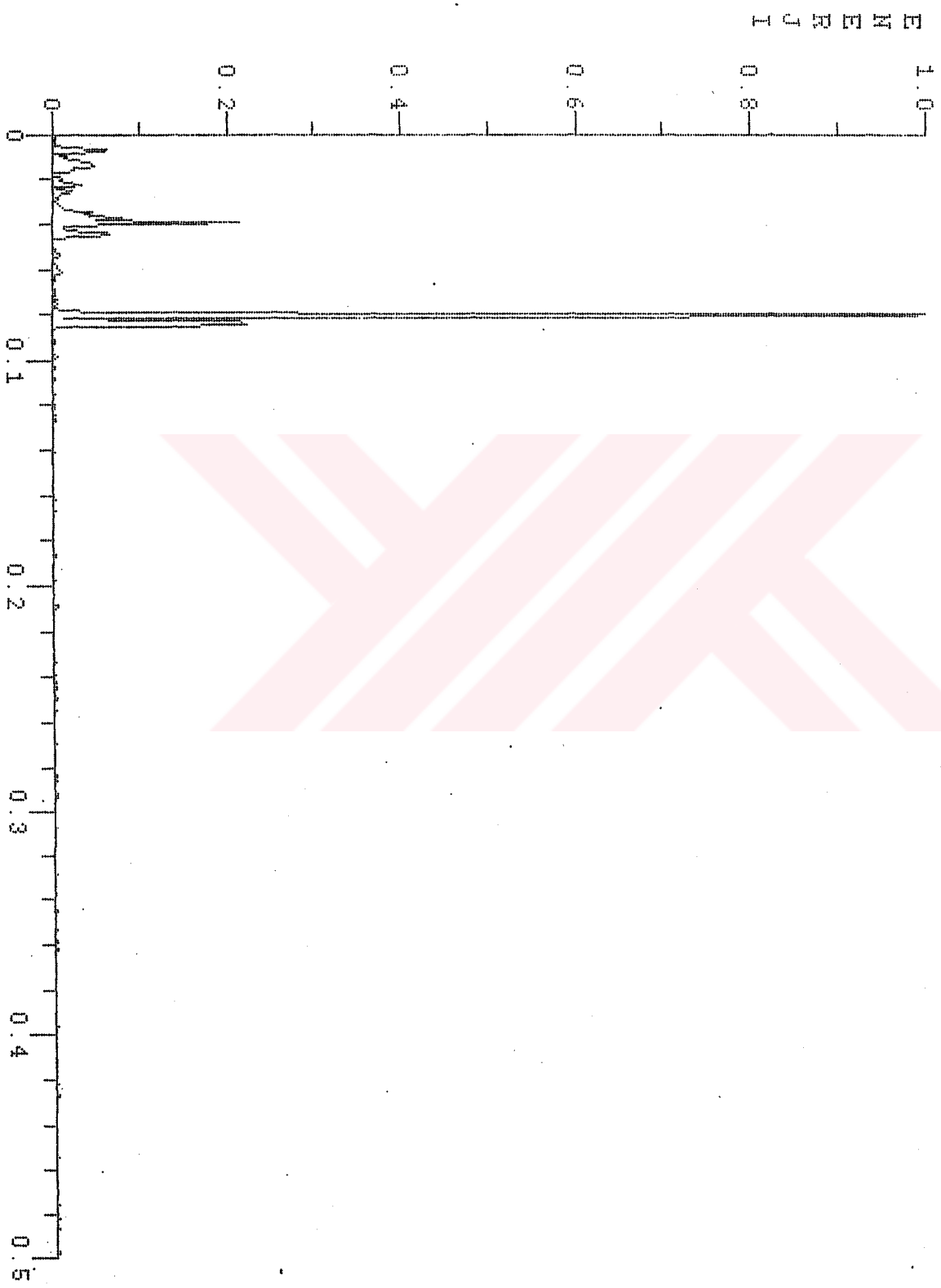
POYRAZKOV (6) SPECTRUM GRAPH

25/02/1986 - 6/04/1986



POY6.HP

25/02/1986 - 6/04/1986



POY6.LP

25/02/1986 - 6/04/1986

E
H
E
R
C
I

0.8

1.0

0.6

0.4

0.2

0

0.1

0.2

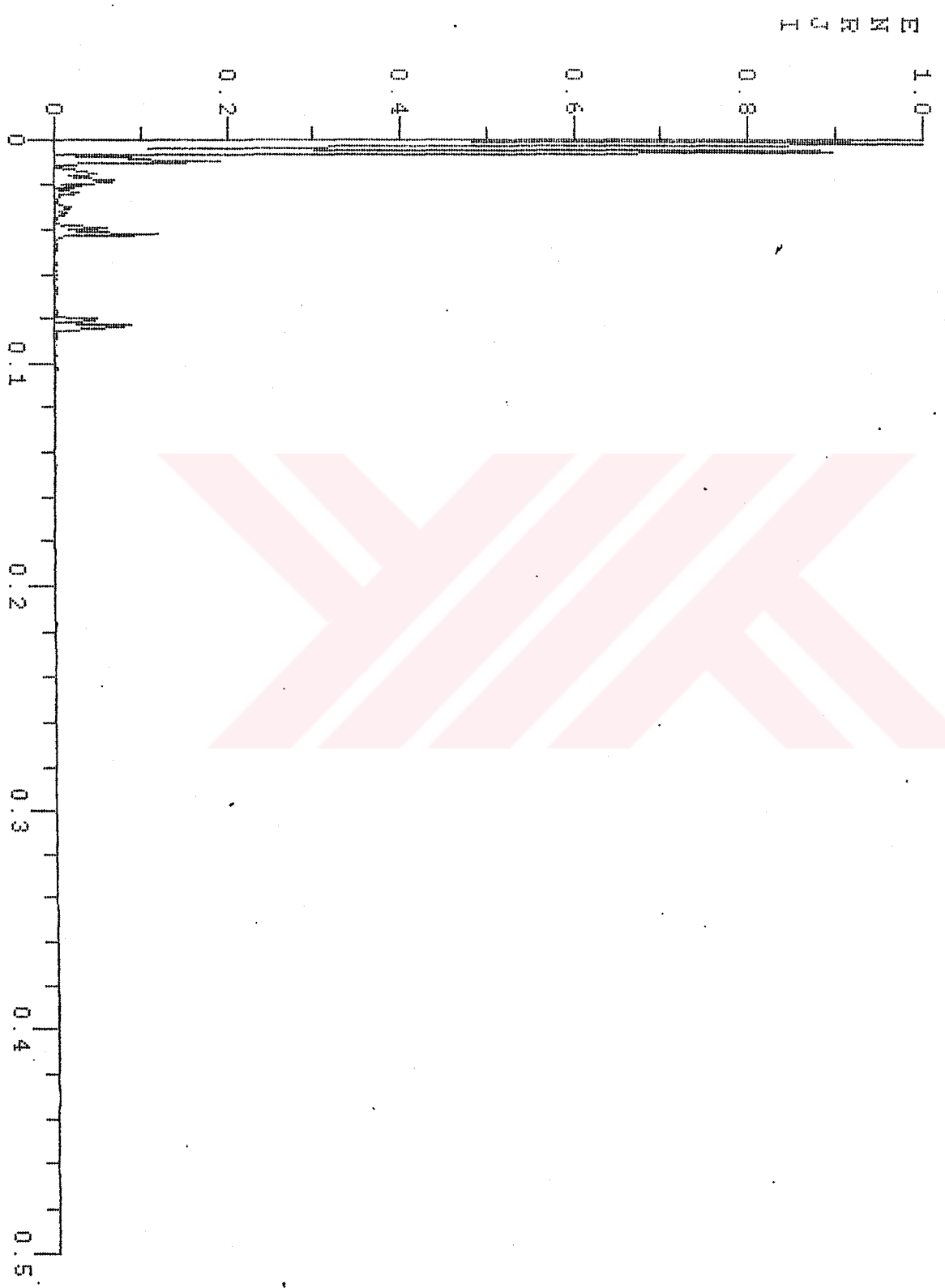
0.3

0.4

0.5

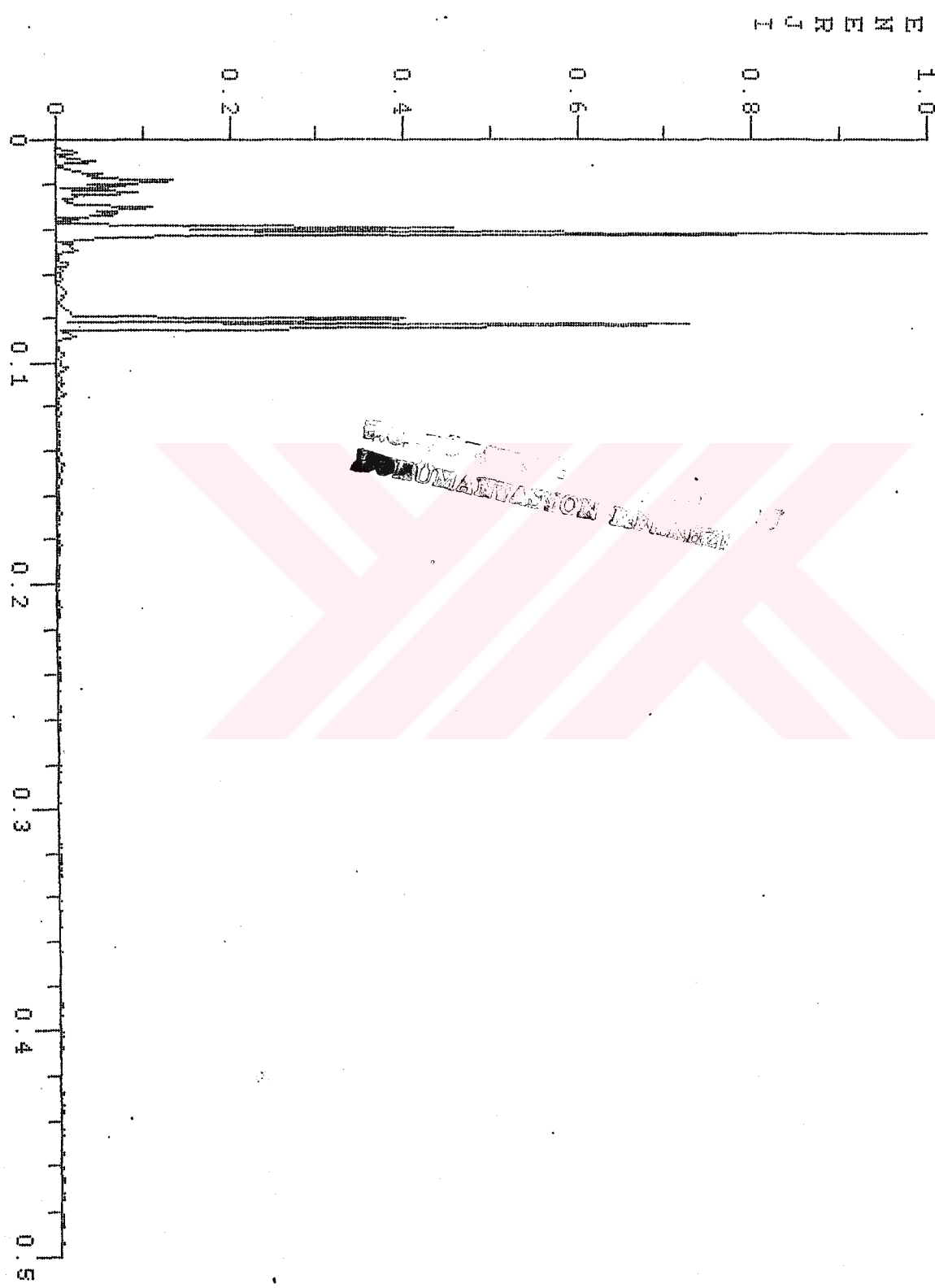
KUMKAPI (6) SPEKTRUM GRAFIKI

25/02/1986 - 6/04/1986



KKP6.HP

25/02/1986 - 5/04/1986



KRFS.LP

25/02/1986 - 6/04/1986

